



دانشگاه صنعتی شریف  
دانشکده مهندسی هوافضا

رساله دکتری  
گرایش دینامیک پرواز و کنترل

عنوان  
توسعه و پیاده‌سازی فیلترهای چندمدلی در فرود خودکار  
پرنده بدون سرنشین جهت شناسایی برخط و جبران‌سازی  
اغتشاشات اتمسفری

نگارش  
علیرضا شریفی

استاد راهنما  
دکتر هادی نوبهاری

تابستان ۱۳۹۹

تصویب نامه

به نام خدا  
دانشگاه صنعتی شریف  
دانشکده مهندسی هوافضا

رساله دکتری

این رساله به عنوان تحقق بخشی از شرایط دریافت درجه دکتری است.

عنوان: توسعه و پیاده سازی فیلترهای چندمدلی در فرود خودکار پرنده بدون  
سرنشین جهت شناسایی برخط و جبران سازی اغتشاشات اتمسفری

نگارش: علیرضا شریفی

کمیته ممتحنین:

استاد راهنما: دکتر هادی نوبهاری

استاد ممتحن داخلی: دکتر سید حسین پورتاک دوست

استاد ممتحن داخلی: دکتر افشین بنازاده

استاد ممتحن خارجی: دکتر حامد مرادی

استاد ممتحن خارجی: دکتر امیرعلی نیکخواه

تاریخ: ۱۳۹۹/۵/۵

## اظهارنامه



### (اصالت متن و محتوای رساله دکتری)

**عنوان رساله:** توسعه و پیاده‌سازی فیلترهای چندمدلی در فرود خودکار پرنده بدون سرنشین جهت شناسایی برخط و جبرانشازی اغتشاشات اتمسفری

نام استاد راهنما: دکتر هادی نوبهاری

اینجانب علیرضا شریفی اظهار می‌دارم:

۱- متن و نتایج علمی ارائه شده در این رساله اصیل بوده و منحصراً توسط اینجانب و زیر نظر استاد راهنما نامبرده شده در بالا تهیه شده است.

۲- متن رساله به این صورت در هیچ جای دیگری منتشر نشده است.

۳- متن و نتایج مندرج در این رساله، حاصل تحقیقات اینجانب به عنوان دانشجوی دکتری دانشگاه صنعتی شریف است.

۴- کلیه مطالبی که از منابع دیگر در این رساله مورد استفاده قرار گرفته، با ذکر مرجع مشخص شده است.

نام دانشجو: علیرضا شریفی

تاریخ: ۹۹/۵/۵

امضاء:

نتایج تحقیقات مندرج در این رساله و دستاوردهای مادی و معنوی ناشی از آن (شامل فرمول‌ها، نرم‌افزارها، سخت‌افزارها و مواردی که قابلیت ثبت اختراع دارد) متعلق به دانشگاه صنعتی شریف است. هیچ شخصیت حقیقی یا حقوقی بدون کسب اجازه از دانشگاه صنعتی شریف حق فروش و ادعای مالکیت مادی یا معنوی بر آن یا ثبت اختراع از آن را ندارد. همچنین، کلیه حقوق مربوط به چاپ، تکثیر، نسخه‌برداری، ترجمه، اقتباس و نظائر آن در محیط‌های مختلف اعم از الکترونیکی، مجازی یا فیزیکی برای دانشگاه صنعتی شریف محفوظ است. نقل مطالب با ذکر ماخذ بلا مانع است.

نام دانشجو: علیرضا شریفی

تاریخ: ۹۹/۵/۵

امضاء:

نام استاد راهنما: دکتر هادی نوبهاری

تاریخ: ۹۹/۵/۲۵

امضاء:

تقدیم بہ مولایم

حضرت زہرا (س)

علما کربلا حضرت عباس (ع)

پدر و مادر بزرگوارم

## تشکر و قدردانی

خداوند بزرگ را به سبب همه‌ی الطافش شکرگزارم که بزرگ‌ترین داشته‌ام خود اوست. بر خود لازم می‌دانم از استاد بزرگووارم جناب آقای دکتر هادی نوبهاری به پاس زحماتی که برای این شاگرد کوچکشان کشیدند، کمال تشکر را بنمایم. چه بسیار آموزه‌هایی که در زمینه‌های مختلف علمی، اخلاقی و انسانی از ایشان فراگرفتم و یقیناً توفیق شاگردی ایشان برای بنده لطفی الهی بود و به این خاطر بر خود می‌بالم. بسیاری از موفقیت‌هایم در دوره کارشناسی ارشد و دکتری را مدیون زحمات این بزرگووار هستم. برای ایشان و خانواده‌ی محترمشان سلامتی، عزت و سربلندی را در همه‌ی مراحل زندگی آرزومندم و امیدوارم بتوانم حق شاگردی ایشان را به‌خوبی ادا کنم.

مراتب تشکر بی‌پایان خود را از زحمات جناب آقای دکتر حامد محمدکریمی و دکتر سعید نصراللهی ابراز می‌دارم؛ چرا که راهنمایی‌های ارزشمند ایشان، در فائق آمدن بر چالش‌های این پژوهش بسیار راه‌گشا بود. همچنین، شایسته است از زحمات دوستان عزیزم آقایان احسان هادی‌زاده، حسن نامداری، سعید ولیان، محمد شوکتیان و علی‌محمد رستگار تشکر کنم. امیدوارم بتوانم روزی پاسخگوی این همه لطف و بزرگواری ایشان باشم.

همچنین، از زحمات پدر و مادر مهربانم که همواره دعای خیرشان سبب پیشرفت اینجانب در تمام دوران زندگی‌ام شده‌است، صمیمانه تشکر می‌کنم. از خداوند متعال سلامتی، عزت، سربلندی و طول عمر را برای این بزرگواران را مسئلت دارم و امیدوارم دینی را که به گردن بنده دارند به درستی ادا کنم.

## توسعه و پیاده‌سازی فیلترهای چندمدلی در فرود خودکار پرنده بدون سرنشین جهت شناسایی برخط و جبران‌سازی اغتشاشات اتمسفری

### چکیده

در این پژوهش، استفاده از رویکرد تخمین چندمدلی به منظور شناسایی برخط نوع مدل باد، پارامترهای آن و نیز متغیرهای حالت یک پرنده بدون سرنشین بال ثابت بدون اندازه‌گیری مستقیم از حسگر سرعت هوا، و جبران‌سازی آن توسط کنترل پیش‌بین غیرخطی ابتکاری مورد توجه قرار گرفته است. به این منظور، روش فیلتر کالمن توسعه یافته چندمدلی استاتیکی شامل چهار فیلتر به منظور تخمین باد ثابت، باد "1-cosine"، باد برشی و مایکروبرست استفاده شده است که هر فیلتر با یک مدل باد منطبق شده و به صورت جداگانه کار می‌کند. همچنین، یک فیلتر چندمدلی ابتکاری، که فیلتر چندمدلی توسعه یافته مبتنی بر سیستم پیوسته اجتماع مورچه‌ها نامیده می‌شود، با الهام‌گیری از هوش جمعی مورچه‌ها به منظور پوشش مسائل چندمدلی توسعه داده شده است. در گام بعد، مشاهده‌پذیری متغیرهای حالت و مولفه‌های باد تحلیل شده است. به این منظور، چهار قضیه جدید برای سیستم‌های خطی پیوسته و گسسته زمان معرفی و اثبات شده است. به علاوه، مشاهده‌پذیری پارامترهای باد با استفاده از تئوری مشاهده‌پذیری سیستم‌های غیرخطی بررسی شده است. در مرحله بعد، جبران‌سازی نتایج تخمین در حلقه‌های کنترل‌کننده پیش‌بین ابتکاری غیرخطی مبتنی بر بهینه‌سازی گروهی ذرات انجام شده است. همچنین، اثبات پایداری این کنترل‌کننده انجام شده است. در نهایت، عملکرد فیلترهای چندمدلی و نیز کنترل‌کننده پیش‌بین ابتکاری به منظور اعتبارسنجی توانایی پیاده‌سازی زمان حقیقی با انجام شبیه‌سازی سخت‌افزار در حلقه بررسی شده است. نتایج حاکی از بهبود فرآیند فرود خودکار پرنده بال ثابت در صورت جبران‌سازی مدل باد در کنترل‌کننده پیش‌بین غیرخطی ابتکاری است.

### واژه‌های کلیدی:

پرنده بدون سرنشین، مدل باد، تخمین باد، فیلتر چند مدلی، فیلتر ابتکاری، مشاهده‌پذیری غیرخطی، کنترل‌کننده پیش‌بین، شبیه‌سازی سخت‌افزار در حلقه.

## صفحه

## فهرست عناوین

۱	مقدمه	۱
۸	پیشینه پژوهش و نوآوری‌های آن	۸
۸	۱.۲ اغتشاشات اتمسفری	۸
۹	۱.۱.۲ مدل‌سازی اغتشاشات اتمسفری	۹
۱۳	۲.۱.۲ تخمین اغتشاشات اتمسفری	۱۳
۱۳	۱.۲.۱.۲ روش مثلث باد	۱۳
۲۱	۲.۲.۱.۲ تخمین باد بر مبنای مدل دینامیکی پرنده	۲۱
۲۲	۳.۲.۱.۲ مقایسه روش‌های تخمین اغتشاشات اتمسفری	۲۲
۲۳	۳.۱.۲ اثرات آیرودینامیکی اغتشاشات اتمسفری	۲۳
۲۳	۴.۱.۲ اصلاح مسیر پروازی در حضور اغتشاشات اتمسفری	۲۳
۲۴	۵.۱.۲ جبران‌سازی اغتشاشات اتمسفری در کنترل‌کننده	۲۴
۲۶	۲.۲ مشاهده‌پذیری در حضور ورودی‌های نامعلوم	۲۶
۲۸	۳.۲ فیلترهای چندمدلی	۲۸
۳۸	۴.۲ نتیجه‌گیری و بیان نوآوری‌ها	۳۸
۴۰	۳ مدل‌سازی دینامیکی پرنده و پدیده باد	۴۰
۴۰	۱.۳ مدل‌سازی دینامیکی پرنده بدون سرنشین	۴۰
۴۰	۱.۱.۳ سیستم‌های مختصات	۴۰
۴۱	۲.۱.۳ مدل‌سازی پرنده	۴۱
۴۵	۳.۱.۳ مدل‌سازی حسگرها	۴۵
۴۵	۴.۱.۳ بیان معادلات غیرخطی حرکت در فضای حالت	۴۵
۴۸	۵.۱.۳ معادلات خطی پرنده	۴۸
۵۱	۲.۳ مدل‌سازی پدیده باد	۵۱
۵۱	۱.۲.۳ مدل‌سازی باد معین	۵۱
۵۲	۱.۱.۲.۳ مدل‌سازی باد ثابت	۵۲
۵۴	۲.۱.۲.۳ مدل‌سازی باد "1-cosine"	۵۴
۵۵	۳.۱.۲.۳ مدل‌سازی باد برشی	۵۵
۵۷	۴.۱.۲.۳ مدل‌سازی میکروبرست	۵۷
۶۰	۲.۲.۳ مدل‌سازی باد تصادفی	۶۰
۶۰	۱.۲.۲.۳ نویز سفید	۶۰
۶۰	۲.۲.۲.۳ مدل درآیدن	۶۰
۶۲	۴ تحلیل مشاهده‌پذیری متغیرهای حالت و پدیده باد	۶۲

۶۲	تحلیل مشاهده‌پذیری سیستم‌های خطی پیوسته زمان	۱.۴
۶۳	تحلیل مشاهده‌پذیری متغیرهای حالت	۱.۱.۴
۶۴	تحلیل مشاهده‌پذیری قوی	۲.۱.۴
۶۵	تحلیل مشاهده‌پذیری ورودی نامعلوم	۳.۱.۴
۶۷	تحلیل مشاهده‌پذیری توأمان متغیرهای حالت و ورودی نامعلوم	۴.۱.۴
۶۸	تحلیل مشاهده‌پذیری متغیرهای حالت سیستم غیرخطی در حضور خطای خطی‌سازی	۵.۱.۴
۷۰	تحلیل مشاهده‌پذیری ورودی‌های نامعلوم در حضور ماتریس متغیر با زمان ورودی‌های نامعلوم	۶.۱.۴
۷۱	تحلیل مشاهده‌پذیری سیستم‌های خطی گسسته زمان	۲.۴
۷۲	تحلیل مشاهده‌پذیری متغیرهای حالت	۱.۲.۴
۷۳	تحلیل مشاهده‌پذیری قوی	۲.۲.۴
۷۴	تحلیل مشاهده‌پذیری ورودی نامعلوم	۳.۲.۴
۷۵	تحلیل مشاهده‌پذیری توأمان متغیرهای حالت و ورودی نامعلوم	۴.۲.۴
۷۷	تحلیل مشاهده‌پذیری سیستم‌های غیرخطی افاین پیوسته زمان	۳.۴
۷۷	تحلیل مشاهده‌پذیری متغیرهای حالت	۱.۳.۴
۷۹	تحلیل مشاهده‌پذیری قوی	۲.۳.۴
۸۰	تحلیل مشاهده‌پذیری ورودی نامعلوم	۳.۳.۴
۸۲	تحلیل مشاهده‌پذیری توأمان متغیرهای حالت و ورودی نامعلوم	۴.۳.۴
۸۴	تحلیل مشاهده‌پذیری پرنده	۴.۴
۸۵	تحلیل مشاهده‌پذیری معادلات پیوسته-زمان پرنده	۱.۴.۴
۸۶	تحلیل مشاهده‌پذیری معادلات گسسته-زمان پرنده	۲.۴.۴
۸۹	تحلیل مشاهده‌پذیری پارامترهای مدل باد	۳.۴.۴
۸۹	نتیجه‌گیری	۵.۴
<b>۹۲</b>	<b>طراحی فیلترهای چندمدلی</b>	<b>۵</b>
۹۲	فرمولاسیون مساله چندمدلی	۱.۵
۹۳	الگوریتم فیلتر چندمدلی پدیده باد	۲.۵
۹۳	مقداردهی اولیه	۱.۲.۵
۹۳	اجرای فیلتر کالمن توسعه‌یافته منطبق با هر مدل	۲.۲.۵
۹۴	به‌روز رسانی احتمال هر فیلتر	۳.۲.۵
۹۵	تخمین متغیرهای حالت و کواریانس	۴.۲.۵
۹۵	تخمین مولفه‌های باد	۵.۲.۵
۹۶	مدل‌سازی مساله تخمین باد	۶.۲.۵
۹۶	نتایج تخمین چندمدلی پدیده باد	۳.۵
۹۸	تخمین مدل باد ثابت	۱.۳.۵
۱۰۰	تخمین مدل باد "1-cosine"	۲.۳.۵



۳.۳.۵	تخمین باد برشی	۱۰۱
۴.۳.۵	تخمین مایکروبرست	۱۰۲
۵.۳.۵	تخمین مدل باد در حضور عدم قطعیت آیرودینامیکی	۱۰۶
۶.۳.۵	حساسیت‌سنجی نسبت به کواریانس نویز فرآیند به‌منظور تخمین مدل باد	۱۰۸
۷.۳.۵	تخمین مدل باد در حین مانور	۱۱۰
۸.۳.۵	تخمین مدل باد ترکیبی	۱۱۰
۹.۳.۵	تخمین مدل باد آغشته به اغتشاشات تصادفی	۱۱۰
۱۰.۳.۵	مقایسه فیلتر چندمدلی تخمین باد با فیلتر کالمن توسعه‌یافته	۱۱۱
۱۱.۳.۵	مقایسه فیلتر چندمدلی تخمین باد با یک تخمین‌گر باد ثابت	۱۱۴
۴.۵	نتیجه‌گیری	۱۱۶
<b>۶ توسعه فیلترهای چندمدلی ابتکاری</b>		
۱.۶	معرفی فیلتر چندمدلی ابتکاری	۱۱۷
۱.۱.۶	مقداردهی اولیه	۱۱۸
۲.۱.۶	انتشار متغیرهای حالت و کواریانس	۱۱۸
۳.۱.۶	به‌روز رسانی اندازه‌گیری	۱۱۹
۴.۱.۶	ارزیابی تابع هزینه	۱۲۰
۵.۱.۶	حرکت مورچه‌ها	۱۲۰
۶.۱.۶	اجرای فیلتر ECACF منطبق با هر مدل	۱۲۱
۷.۱.۶	به‌روز رسانی احتمال هر مدل	۱۲۲
۸.۱.۶	تخمین متغیرهای حالت و ماتریس کواریانس	۱۲۲
۹.۱.۶	تخمین مدل	۱۲۲
۲.۶	نتایج تخمین چندمدلی پدیده باد	۱۲۳
۱.۲.۶	تخمین باد ثابت	۱۲۳
۲.۲.۶	تخمین باد "1-cosine"	۱۲۵
۳.۲.۶	تخمین باد برشی	۱۲۵
۴.۲.۶	تخمین مایکروبرست	۱۲۸
۵.۲.۶	تخمین مدل باد در حین مانور	۱۲۹
۶.۲.۶	تخمین مدل باد ترکیبی	۱۲۹
۷.۲.۶	مقایسه با یک فیلتر مبتنی بر سیستم پیوسته توسعه‌یافته اجماع مورچه‌ها	۱۳۰
۸.۲.۶	مقایسه با فیلتر کالمن چندمدلی توسعه‌یافته	۱۳۴
۳.۶	نتیجه‌گیری	۱۳۶
<b>۷ طراحی کنترل‌کننده پیش‌بین</b>		
۱.۷	مدل دینامیکی سیستم	۱۴۱

۲.۷	کنترل کننده پیش بین غیرخطی گروهی ذرات.....	۱۴۱
۱.۲.۷	مقداردهی اولیه.....	۱۴۲
۲.۲.۷	پیش بینی خروجی های آینده سیستم.....	۱۴۲
۳.۲.۷	انتشار فرامین کنترلی آینده.....	۱۴۴
۴.۲.۷	ارزیابی تابع هزینه.....	۱۴۵
۵.۲.۷	به روزرسانی بهترین تجربه عمومی و محلی فرامین کنترلی.....	۱۴۶
۶.۲.۷	به روزرسانی سرعت تغییرات فرامین کنترلی آینده.....	۱۴۶
۷.۲.۷	به روزرسانی موقعیت فرامین کنترلی آینده.....	۱۴۷
۸.۲.۷	شرط توقف.....	۱۴۷
۹.۲.۷	تخمین فرامین کنترل.....	۱۴۷
۳.۷	تحلیل همگرایی کنترل کننده پیش بین غیرخطی گروهی ذرات.....	۱۴۷
۱.۳.۷	پایداری رفتار پیش بینی شده از آینده سیستم.....	۱۴۸
۲.۳.۷	همگرایی ذرات به سمت بهترین ذره.....	۱۵۱
۴.۷	نتایج شبیه سازی.....	۱۵۴
۱.۴.۷	تحلیل پایداری کنترل کننده پیش بین غیرخطی گروهی ذرات.....	۱۵۵
۲.۴.۷	شبیه سازی الگوریتم فرود.....	۱۵۵
۳.۴.۷	بررسی اثر باد بر عملکرد الگوریتم فرود.....	۱۵۷
۴.۴.۷	جبران اثر باد.....	۱۵۸
۵.۷	نتیجه گیری.....	۱۶۰
۸	پایه سازی فیلترهای چندمدلی و کنترل کننده.....	۱۶۱
۱.۸	شبیه سازی سخت افزار در حلقه فیلترهای چندمدلی.....	۱۶۱
۱.۱.۸	فیلتر چندمدلی کالمن توسعه یافته.....	۱۶۲
۲.۱.۸	فیلتر چندمدلی ابتکاری توسعه یافته پیوسته تودهای مورچه ها.....	۱۶۵
۲.۸	شبیه سازی پردازشگر در حلقه کنترل کننده پیش بین.....	۱۶۹
۳.۸	نتیجه گیری.....	۱۷۱
۹	جمع بندی و نتیجه گیری.....	۱۷۲
۱.۹	نوآوری ها.....	۱۷۳
۲.۹	مقالات مستخرج.....	۱۷۴
۱۷۶	منابع و مراجع.....	
۱۸۸	پیوست ها.....	
۱۸۹	پیوست الف: معرفی حسگرهای پرنده.....	

- پیوست ب: مشتقات آیرودینامیکی و کنترلی پرنده ..... ۱۹۲
- پیوست پ: پارامترهای پرنده ..... ۱۹۷
- پیوست ت: اثبات قضایای مشاهده پذیری برای سیستم‌های خطی پیوسته زمان ..... ۲۰۰
- پیوست ث: اثبات قضایای مشاهده پذیری برای سیستم‌های خطی گسسته زمان ..... ۲۱۷
- پیوست ج: اثبات قضایای مشاهده پذیری برای سیستم‌های پیوسته غیر خطی افاین ..... ۲۲۵
- پیوست چ: قضایای کمکی به منظور اثبات قضایای مشاهده پذیری ..... ۲۳۴
- پیوست ح: اعتبارسنجی قضایای مشاهده پذیری غیر خطی ..... ۲۳۶
- پیوست خ: تحلیل مشاهده پذیری پرنده بر مبنای انواع سنسورها ..... ۲۴۴
- پیوست د: تخمین باد با استفاده از فیلتر کالمن توسعه یافته مقاوم ..... ۲۴۶
- پیوست ذ: فیلتر ابتکاری جدید توسعه یافته پیوسته توده‌ای مورچه‌ها ..... ۲۵۱
- پیوست ر: اعتبارسنجی فیلتر ابتکاری جدید توسعه یافته پیوسته توده‌ای مورچه‌ها ..... ۲۵۶
- پیوست ز: پارامترهای مرتبط با شبیه‌سازی فیلتر چندمدلی MMECACF ..... ۲۶۶

## صفحه

## فهرست اشکال

شکل ۱.۱	تعداد سوانح ناشی از شرایط نامناسب جوی در سال‌های ۲۰۰۳ تا ۲۰۰۷ [۲].....	۲
شکل ۲.۱	تعداد سوانح ناشی از انواع باد در سال‌های ۲۰۰۳-۲۰۰۷ [۲].....	۲
شکل ۳.۱	عکس‌العمل پرنده در مواجهه با باد: الف) انحراف پرنده در اثر وزش باد، ب) تصحیح وضعیت.....	۳
شکل ۴.۱	درصد سوانح هوایی در مراحل مختلف پروازی [۲].....	۳
شکل ۵.۱	نمونه‌ای از سانحه هوایی در فرآیند فرود.....	۴
شکل ۶.۱	اجزای سیستم هدایت و کنترل و ارتباطات بین آن‌ها در فرآیند فرود.....	۴
شکل ۷.۱	بخش‌های مختلف مسیر در فرآیند فرود [۵].....	۵
شکل ۸.۱	مراحل فرآیند فرود.....	۵
شکل ۹.۱	بلوک دیاگرام الگوریتم تخمین مدل باد به منظور استفاده در کنترل‌کننده مدل پیش‌بین.....	۷
شکل ۱.۲	وزش باد جانبی در حین فرآیند فرود.....	۱۰
شکل ۲.۲	پدیده دانبرست.....	۱۱
شکل ۳.۲	پدیده ماکروبرست [۸].....	۱۲
شکل ۴.۲	پدیده میکروبرست [۸].....	۱۲
شکل ۵.۲	تخمین سرعت و جهت باد در روش مثلث باد.....	۱۴
شکل ۶.۲	حسگر چند کاناله به منظور اندازه‌گیری زوایای حمله و لغزش.....	۱۵
شکل ۷.۲	نمایی از لوله پیتوت [۲۳].....	۱۸
شکل ۸.۲	روش مثلث باد.....	۱۹
شکل ۹.۲	اجتناب از اغتشاشات اتمسفری در فرآیند فرود.....	۲۴
شکل ۱۰.۲	اجتناب از اغتشاشات اتمسفری در فرآیند فرود [۳۱].....	۲۵
شکل ۱۱.۲	جبران سرعت باد در کانال پیچ کنترل‌کننده فیدفورارد برای چهارپره [۳۱].....	۲۶
شکل ۱۲.۲	شماتیک نحوه عملکرد فیلترهای چندمدلی استاتیک.....	۳۰
شکل ۱۳.۲	شماتیک نحوه عملکرد فیلترهای شبه‌بیزین تعمیم‌یافته مرتبه اول.....	۳۱
شکل ۱۴.۲	شماتیک نحوه عملکرد فیلترهای شبه‌بیزین تعمیم‌یافته مرتبه دوم.....	۳۵
شکل ۱۵.۲	شماتیک نحوه عملکرد فیلترهای تعاملی چندمدلی.....	۳۶
شکل ۱۶.۲	الگوریتم فیلتر ذرات چندمدلی کمکی.....	۳۷
شکل ۱۷.۲	فقر ذرات ناشی از باریک‌بودن تابع توزیع احتمال بالا.....	۳۸
شکل ۱.۳	دستگاه مختصات NED.....	۴۱
شکل ۲.۳	تعاریف قاب‌های بدنی و NED.....	۴۱
شکل ۳.۳	مواجهه پرنده با تندباد لبه تیز ایده‌آل [۸۳].....	۵۲
شکل ۴.۳	مواجهه پرنده با باد ثابت خالص روبه‌رو.....	۵۳
شکل ۵.۳	مواجهه پرنده با باد ثابت خالص از پشت.....	۵۳

- شکل ۶.۳ ..... ۵۳ مواجهه پرنده با باد ثابت خالص جانبی.
- شکل ۷.۳ ..... ۵۴ انحراف پرنده از مسیر مطلوب در صورت وزش باد جانبی.
- شکل ۸.۳ ..... ۵۶ پروفیل سرعت باد "1-cosine".
- شکل ۹.۳ ..... ۵۶ ساختار ایده‌آل باد شامل باد "1-cosine" [۸۹].
- شکل ۱۰.۳ ..... ۵۷ چگونگی ایجاد باد برشی.
- شکل ۱۱.۳ ..... ۵۸ مواجهه پرنده با میکروبرست.
- شکل ۱۲.۳ ..... ۶۰ سیستم مختصات مدل Vicroy [۹۳].
- شکل ۱.۴ ..... ۷۸ دو متغیر حالت غیرقابل تشخیص.
- شکل ۲.۴ ..... ۷۹ دو متغیر حالت غیرقابل تشخیص در حضور دو ورودی نامعلوم.
- شکل ۳.۴ ..... ۸۱ دو ورودی نامعلوم غیرقابل تشخیص.
- شکل ۴.۴ ..... ۸۴ دو متغیر حالت افزونه غیرقابل تشخیص.
- شکل ۱.۵ ..... ۹۵ فیلتر چندمدلی پدیده باد به منظور تخمین مدل باد و متغیرهای حالت.
- شکل ۲.۵ ..... ۹۸ بلوک دیاگرام الگوریتم تخمین مدل باد.
- شکل ۳.۵ ..... ۹۸ تخمین باد ثابت: الف)  $W_n$  ب)  $W_e$  ج)  $W_d$ .
- شکل ۴.۵ ..... ۹۹ تاریخچه زمانی واریانس مولفه‌های سرعت باد: الف)  $W_n$  ب)  $W_e$  ج)  $W_d$ .
- شکل ۵.۵ ..... ۱۰۰ تخمین متغیرهای حالت در حضور باد ثابت: الف) سرعت طولی ب) سرعت عرضی پ) سرعت عمودی ت) نرخ رول ث) نرخ پیچ ج) نرخ یاو چ) زاویه رول ح) زاویه پیچ خ) زاویه یاو د)  $r$ - موقعیت طولی، عرضی و ارتفاع.....
- شکل ۶.۵ ..... ۱۰۱ تخمین باد "1-cosine": الف) (پ) مولفه‌های باد (ت) (ج) دامنه‌های باد (چ) (خ) طول موج‌های باد.....
- شکل ۷.۵ ..... ۱۰۱ تخمین متغیرهای حالت در حضور باد "1-cosine": الف) سرعت طولی ب) سرعت عرضی پ) سرعت عمودی ت) نرخ رول ث) نرخ پیچ ج) نرخ یاو چ) زاویه رول ح) زاویه پیچ خ) زاویه یاو د)  $r$ - موقعیت طولی، عرضی و ارتفاع.....
- شکل ۸.۵ ..... ۱۰۳ تخمین باد "1-cosine" اعمال شده در نقطه آغازین متفاوت با پرنده.....
- شکل ۹.۵ ..... ۱۰۴ تخمین باد برشی: الف)  $W_n$  ب)  $W_e$  پ)  $W_d$  ت) سرعت باد در ارتفاع ۲۰ فوت ث) جهت باد.....
- شکل ۱۰.۵ ..... ۱۰۵ تخمین متغیرهای حالت در حضور باد برشی: الف) سرعت طولی ب) سرعت عرضی پ) سرعت عمودی ت) نرخ رول ث) نرخ پیچ ج) نرخ یاو چ) زاویه رول ح) زاویه پیچ خ) زاویه یاو د)  $r$ - موقعیت طولی، عرضی و ارتفاع.....
- شکل ۱۱.۵ ..... ۱۰۵ تخمین میکروبرست: الف)  $W_n$  ب)  $W_e$  پ)  $W_d$  ت) (ث) مرکز طولی و عرضی برست (ج) (ح) ارتفاع، فاصله شعاعی و اندازه متناظر با حداکثر سرعت افقی بیشینه.....
- ۱۰۶.....

- شکل ۱۲.۵ تخمین متغیرهای حالت در حضور مایکروبرست: الف) سرعت طولی ب) سرعت عرضی پ) سرعت عمودی ت) نرخ رول ث) نرخ پیچ ج) نرخ یاو چ) زاویه رول ح) زاویه پیچ خ) زاویه یاو د) ر) موقعیت طولی، عرضی و ارتفاع..... ۱۰۷
- شکل ۱۳.۵ تخمین باد در حضور عدم قطعیت آیرودینامیکی الف) باد ثابت ب) باد "1-cosine" ج) باد برشی د) مایکروبرست..... ۱۰۸
- شکل ۱۴.۵ حساسیت فیلتر چندمدلی در تخمین باد ثابت: الف)  $w_n$  ب)  $w_e$  ج)  $w_d$ ..... ۱۰۸
- شکل ۱۴.۵ تخمین باد نسبت به مقادیر مختلف کوارینانس نویز فرآیند الف) باد ثابت ب) باد "1-cosine" ج) باد برشی د) مایکروبرست..... ۱۰۹
- شکل ۱۵.۵ تخمین باد در حضور مانور الف) باد ثابت ب) باد "1-cosine" ج) باد برشی د) مایکروبرست..... ۱۱۲
- شکل ۱۶.۵ تخمین مدل باد ترکیبی: الف) باد ترکیبی ثابت - "1-cosine" ب) باد ترکیبی ثابت - برشی ج) باد ترکیبی ثابت - مایکروبرست..... ۱۱۲
- شکل ۱۷.۵ تخمین مولفه‌های باد معین در حضور مدل باد تصادفی درآیدن با توربولانس کم الف) باد ثابت ب) باد "1-cosine" ج) باد برشی د) مایکروبرست..... ۱۱۳
- شکل ۱۸.۵ مقایسه MMWE و یک فیلتر EKF در تخمین مولفه‌های باد الف) باد ثابت ب) باد "1-cosine" ج) باد برشی د) مایکروبرست..... ۱۱۵
- شکل ۱۹.۵ تخمین باد ثابت با استفاده از MMWE و روش پیشنهادی در [۹۶]..... ۱۱۶
- شکل ۱۰.۶ شبه‌کد فیلتر چندمدلی MMECAF..... ۱۲۴
- شکل ۲۰.۶ الگوریتم تخمین چندمدلی پدیده باد..... ۱۲۵
- شکل ۳۰.۶ تخمین باد ثابت: الف) احتمال هر مدل ب) باد افقی پ) باد عمودی ت) سرعت افقی ث) سرعت عمودی ج) نرخ پیچ چ) زاویه پیچ ح) ارتفاع..... ۱۲۶
- شکل ۴۰.۶ تخمین باد "1-cosine": الف) احتمال هر مدل ب) باد افقی پ) باد عمودی ت) و ث) پارامترهای باد افقی ج) و چ) پارامترهای باد عمودی ح) سرعت طولی خ) سرعت عمودی د) نرخ پیچ ذ) زاویه پیچ ر) ارتفاع..... ۱۲۷
- شکل ۵۰.۶ تخمین باد برشی: الف) احتمال هر مدل ب) باد افقی پ) باد عمودی ت) سرعت باد در  $h=20$  ft ث) سرعت طولی ج) سرعت عمودی چ) نرخ پیچ ج) زاویه پیچ ح) ارتفاع..... ۱۲۸
- شکل ۶۰.۶ تخمین مایکروبرست: الف) احتمال هر مدل ب) باد افقی پ) باد عمودی ت) مرکز برست ث) فاصله شعاعی از مرکز برست ج) سرعت افقی چ) سرعت عمودی ح) نرخ پیچ خ) زاویه پیچ د) ارتفاع..... ۱۳۱
- شکل ۷۰.۶ تخمین مدل باد در حضور مانور: الف) باد ثابت ب) باد "1-cosine" ج) باد برشی د) مایکروبرست..... ۱۳۲
- شکل ۸۰.۶ تخمین مدل باد ترکیبی: الف) باد ترکیبی ثابت - "1-cosine" ب) باد ترکیبی ثابت - برشی ج) باد ترکیبی ثابت - مایکروبرست..... ۱۳۲
- شکل ۹۰.۶ تخمین باد ثابت با استفاده از MMECAF و ECACF..... ۱۳۳
- شکل ۱۰۰.۶ تخمین باد "1-cosine" با استفاده از MMECAF و ECACF..... ۱۳۴

- شکل ۱۱.۶ تخمین باد برشی با استفاده از MMECACF و ECACF ..... ۱۳۴
- شکل ۱۲.۶ تخمین مایکروبرست با استفاده از MMECACF و ECACF ..... ۱۳۴
- شکل ۱۳.۶ احتمال تخمین زده شده از هر فیلتر با استفاده از MMEKF (الف) باد ثابت (ب) باد "1-cosine" (ج) باد برشی (د) مایکروبرست ..... ۱۳۵
- شکل ۱.۷ شماتیک کنترل کننده پیش بین به منظور کمینه کردن تابع هزینه مربعی در افق محدود ..... ۱۳۸
- شکل ۲.۷ فلوجارت الگوریتم پیش بین غیرخطی گروهی ذرات ..... ۱۴۳
- شکل ۳.۷ شبه کد کنترل کننده پیش بین غیرخطی گروهی ذرات ..... ۱۴۴
- شکل ۴.۷ اجزا کنترل کننده پیش بین غیرخطی گروهی ذرات ..... ۱۴۸
- شکل ۵.۷ ارتفاع مطلوب برحسب زمان در مرحله فرود ..... ۱۵۴
- شکل ۶.۷ تغییرات  $\alpha$  بر حسب تعداد دفعات تکرار حلقه داخلی: (الف) بیشینه (ب) کمینه ..... ۱۵۵
- شکل ۷.۷ عملکرد کنترل کننده پیش بین غیرخطی گروهی ذرات در مرحله فرود (الف) مقایسه ارتفاع مطلوب با مقدار شبیه سازی شده (ب) مقایسه سرعت طولی مطلوب با مقدار شبیه سازی شده (ج) زاویه پیچ پرنده (د) مسیر فرود ..... ۱۵۶
- شکل ۸.۷ تاریخچه زمانی فرامین کنترلی در مرحله فرود (الف) انحراف سطح کنترلی الویتور (ب) انحراف تراتل ..... ۱۵۶
- شکل ۹.۷ بررسی عملکرد کنترل کننده پیش بین غیرخطی گروهی ذرات در حضور پدیده باد و در مرحله فرود (الف) باد ثابت (ب) باد "1-cosine" (ج) باد برشی (د) مایکروبرست ..... ۱۵۷
- شکل ۱۰.۷ بررسی عملکرد کنترل کننده پیش بین غیرخطی گروهی ذرات با جبران پدیده باد در مرحله فرود (الف) باد ثابت (ب) باد "1-cosine" (ج) باد برشی (د) مایکروبرست ..... ۱۵۸
- شکل ۱۱.۷ تاریخچه زمانی انحراف سطح کنترلی الویتور در مرحله فرود (الف) باد ثابت (ب) باد "1-cosine" (ج) باد برشی (د) مایکروبرست ..... ۱۵۹
- شکل ۱.۸ شبیه سازی سخت افزار در حلقه فیلتر چندمدلی پدیده باد ..... ۱۶۲
- شکل ۲.۸ ساختار شبیه سازی سخت افزار در حلقه فیلتر چندمدلی پدیده باد با استفاده از ابزارهای زمان حقیقی Simulink Real-Time و تولید خودکار کد ..... ۱۶۳
- شکل ۳.۸ پیاده سازی زمان حقیقی فیلتر چندمدلی کالمن توسعه یافته به منظور تخمین مدل باد ..... ۱۶۳
- شکل ۴.۸ مقایسه نتایج شبیه سازی سخت افزار در حلقه و نرم افزاری فیلتر چندمدلی کالمن توسعه یافته در تخمین مدل باد: (الف) باد ثابت (ب) باد "1-cosine" (ج) باد برشی (د) مایکروبرست ..... ۱۶۵
- شکل ۵.۸ شبیه سازی سخت افزار در حلقه به منظور اعتبارسنجی فیلتر چندمدلی ابتکاری ..... ۱۶۶
- شکل ۶.۸ ساختار شبیه سازی سخت افزار در حلقه فیلتر چندمدلی ابتکاری با استفاده از ابزارهای زمان حقیقی Simulink Desktop Real-Time و تولید خودکار کد ..... ۱۶۷
- شکل ۷.۸ پیاده سازی زمان حقیقی فیلتر چندمدلی ابتکاری ..... ۱۶۸

- شکل ۸.۸ مقایسه نتایج شبیه‌سازی سخت‌افزار در حلقه و شبیه‌سازی نرم‌افزاری فیلتر چندمدلی ابتکاری در تخمین مدل باد: الف) باد ثابت ب) باد "1-cosine" ج) باد برشی د) مایکروبرست ..... ۱۶۹
- شکل ۹.۸ شبیه‌سازی پردازشگر در حلقه کنترل‌کننده پیش‌بین ..... ۱۷۰
- شکل ۱۰.۸ نتایج شبیه‌سازی پردازشگر در حلقه به‌منظور تولید فرمان کنترل‌کننده با جبران پدیده باد الف) باد ثابت ب) باد سینوسی ج) باد برشی د) مایکروبرست ..... ۱۷۰



## صفحه

## فهرست جداول

جدول ۱.۲	مزایا و معایب انواع روش‌های تخمین.....	۲۲
جدول ۱.۳	شدت باد جانبی [۸۴].....	۵۴
جدول ۲.۳	اندازه سرعت باد "1-cosine" [۹۰].....	۵۶
جدول ۳.۳	پارامترهای مدل مایکروبرست Vicroy.....	۵۹
جدول ۴.۳	پارامترهای مدل درآیدن [۹۶].....	۶۱
جدول ۱.۴	بردار متغیرهای حالت برای مدل‌های باد مختلف.....	۹۰
جدول ۱.۵	مدل دینامیکی متغیرهای حالت افزوده تحت انواع مدل‌های باد.....	۹۷
جدول ۱.۷	پارامترهای مدل باد.....	۱۵۹

## فهرست علائم

مرکز جرم پرنده	$O_{xyz}$
موقعیت پرنده در سیستم مختصات NED	$\mathbf{p}^N$
سرعت انتقالی پرنده نسبت به سیستم مختصات NED بیان شده در سیستم مختصات بدنی	$\mathbf{v}_g^B$
سرعت زاویه‌ای قاب بدنی نسبت به سیستم مختصات NED بیان شده در سیستم مختصات بدنی	$\boldsymbol{\omega}_{NB}^B$
زاویه رول	$\phi$
زاویه پیچ	$\theta$
زاویه یاو	$\psi$
جرم پرنده	$m$
ماتریس کسینوس‌های هادی	$\mathbf{C}_B^N$
ماتریس ممان اینرسی	$\mathbf{J}$
ممان اینرسی اصلی	$J_{xx}$
ممان اینرسی اصلی	$J_{yy}$
ممان اینرسی اصلی	$J_{zz}$
ممان اینرسی ضربی	$J_{xz}$
برآیند نیروهای خارجی اعمالی به پرنده	$\mathbf{f}^B$
نیروی جاذبه بیان شده در سیستم مختصات NED	$\mathbf{f}_g^N$
نیروی آیرودینامیکی بیان شده در سیستم مختصات بدنی	$\mathbf{f}_a^B$
سطح مرجع (بال)	$S$

$\rho$	چگالی
$\bar{c}$	میانگین وتر آیرودینامیکی
$b$	طول بال
$V_a$	نشان‌دهنده سرعت هوا
$\mathbf{v}_a^B$	سرعت پرنده نسبت به باد بیان شده در سیستم مختصات بدنی
$\mathbf{v}_w^N$	سرعت باد بیان شده در سیستم مختصات NED
$\alpha$	زاویه حمله
$\beta$	زاویه لغزش جانبی
$C_{x_i}$	ضریب آیرودینامیکی طولی بی بعد
$C_{z_i}$	ضریب آیرودینامیکی طولی بی بعد
$C_L$	ضریب لیفت
$C_D$	ضریب درگ
$C_{y_i}$	ضرایب نیروی آیرودینامیک عرضی
$\mathbf{f}_p^B$	نیروی جلوبرنده
$T$	برآیند نیروی تراست
$\delta_t$	تنظیم ترائل
$\delta_e$	انحراف سطح کنترلی الویتور
$\delta_a$	انحراف سطح کنترلی الرون
$\delta_r$	انحراف سطح کنترلی رادر
$\mathbf{m}^B$	بردار گشتاور آیرودینامیکی

ضرایب گشتاور آیرودینامیکی طولی	$C_{m_i}$
ضرایب گشتاور آیرودینامیکی عرضی	$C_{\ell_i}$
ضرایب گشتاور آیرودینامیکی عرضی	$C_{n_i}$
سرعت زاویه‌ای پرنده نسبت به باد بیان شده در سیستم مختصات بدنی	$\omega_a^B$
سرعت زاویه‌ای باد نسبت به سیستم مختصات NED	$\omega_w^N$
ارتفاع پرنده از سطح زمین	$h$
بردار نويز اندازه‌گیری	$\nu$
سرعت‌های خطی باد بیان شده در سیستم مختصات بدنی	$\mathbf{v}_w^B$
سرعت‌های زاویه‌ای باد بیان شده در سیستم مختصات بدنی	$\omega_w^B$
نويز فرآیند	$\omega_i$
بردار متغیرهای حالت مرتبط با کانال طولی	$\mathbf{x}_{lon}$
بردار متغیرهای ورودی مرتبط با کانال طولی	$\delta_{lon}$
بردار ورودی‌های نامعلوم مرتبط با کانال طولی	$\mathbf{d}_{lon}$
بردار متغیرهای حالت مرتبط با کانال عرضی	$\mathbf{x}_{lat}$
بردار متغیرهای ورودی مرتبط با کانال عرضی	$\delta_{lat}$
بردار ورودی‌های نامعلوم مرتبط با کانال عرضی	$\mathbf{d}_{lat}$
مدل‌های باد معین	$\mathbf{v}_{w_d}$
مدل‌های باد تصادفی	$\mathbf{v}_{w_s}$
مولفه باد معین در جهت شمال	$W_{n_d}$
مولفه باد معین در جهت شرق	$W_{e_d}$

مولفه باد معین در جهت جنوب	$W_{d_d}$
اندازه باد "1-cosine"	$v_m$
طول موج باد "1-cosine"	$d_m$
سرعت باد در ارتفاع ۹/۱۵ متر	$W_{9.15}$
سرعت باد اندازه‌گیری شده در ارتفاع ۲۰ فوت	$W_{20}$
۰/۱۵ فوت برای فاز پروازی C و ۲ فوت برای سایر فازها	$z_0$
جهت بردار باد نسبت به شمال	$\Psi_{wind}$
مقدار متغیر شکل‌دهی	$\alpha_{mb}$
ضریب مقیاس	$\lambda$
فاصله شعاعی متناظر با حداکثر سرعت افقی	$r_{max}$
ارتفاع متناظر با حداکثر سرعت افقی	$h_{max}$
اندازه متناظر با حداکثر سرعت افقی	$u_{max}$
مرکز مایکروپرست	$(x_c, y_c)$
کواریانس	$\mathbf{P}_{w_s}$
شدت توربولانس در امتداد محور X بدنی	$\sigma_u$
شدت توربولانس در امتداد محور Y بدنی	$\sigma_v$
شدت توربولانس در امتداد محور Z بدنی	$\sigma_w$
طول موج توربولانس در امتداد محور X بدنی	$L_u$
طول موج توربولانس در امتداد محور Y بدنی	$L_v$
طول موج توربولانس در امتداد محور Z بدنی	$L_w$

$x$	متغیرهای حالت
$\delta$	ورودی‌های کنترلی
$d$	ورودی‌های نامعلوم
$A$	ماتریس سیستم
$B$	ماتریس ورودی‌های کنترل
$B_d$	ماتریس ورودی‌های نامعلوم
$C$	ماتریس خروجی
$D$	ماتریس پیش‌خور ورودی معلوم
$D_d$	ماتریس پیش‌خور ورودی نامعلوم
$n$	تعداد متغیرهای حالت
$O_n$	ماتریس مشاهده‌پذیری
$W_d$	ماتریس معکوس‌پذیری ورودی‌های نامعلوم
$n_d$	تعداد ورودی‌های نامعلوم
$O_d$	ماتریس مشاهده‌پذیری ورودی‌های نامعلوم
$W'_d$	ماتریس معکوس‌پذیری ورودی‌های نامعلوم مرتب با اولین تا $n$ مشتق زمانی از ورودی نامعلوم
$x_{a_0}$	مقدار اولیه بردار متغیر حالت افزونه
$O_{nd}$	ماتریس مشاهده‌پذیری توأمان متغیرهای حالت و ورودی‌های نامعلوم
$\varepsilon$	خطاهای خطی‌سازی سیستم غیرخطی
$E_n$	ماتریس خطای سیستم خطی شده

بردار مرتبط با بزرگترین مقدار مشتق مرتبه دوم سیستم غیرخطی مورد نظر در یک نقطه مشخص	$\mathbf{m}$
مدل غیرخطی سیستم	$\mathbf{f}$
ماتریس متغیر با زمان ورودی‌های نامعلوم	$\mathbf{B}_d(t)$
ماتریس مشاهده‌پذیری متغیر با زمان ورودی‌های نامعلوم	$\mathbf{O}_d(t)$
مشتق لی بردار خروجی نسبت به $\mathbf{f}$	$\mathbf{l}_n$
بردار سرعت باد در سیستم مختصات جغرافیایی	$\mathbf{d}$
$m$ -امین مدل از مجموعه $M$ مدل	$m$
ورودی کنترلی	$\delta$
گام زمانی نمونه‌برداری	$k$
نویز فرآیند	$\omega_k$
نویز اندازه‌گیری	$v_k$
ماتریس کواریانس نویز فرآیند	$\mathbf{Q}$
ماتریس کواریانس نویز اندازه‌گیری	$\mathbf{R}$
مقدار اولیه متغیرهای حالت ابتدایی مدل $m$ -ام	$\mathbf{x}_0^m$
مقدار اولیه ماتریس کواریانس مدل $m$ -ام	$\mathbf{P}_0^m$
احتمال اولیه هر مدل باد	$\text{Pr}_0^m$
تخمین متغیرهای حالت مرتبط با $m$ -امین مدل	$\hat{\mathbf{x}}_k^m$
ماتریس کواریانس مرتبط با هر مدل	$\mathbf{P}_k^m$
تابع احتمال هر مدل	$\tau_k^m$

تعداد سنسورهای خروجی	$n_m$
باقیمانده فیلتر $m$ -ام	$\mathbf{r}_k^m$
خروجی اندازه‌گیری شده	$\mathbf{z}_k$
خروجی تخمین زده شده	$\hat{\mathbf{z}}_k^m$
ماتریس کواریانس باقیمانده	$\mathbf{S}_k^m$
ماتریس خروجی $m$ -امین مدل در گام زمانی $k$ -ام	$\mathbf{H}_k^m$
احتمال انطباق مدل باد $m$ -ام در لحظه $k$	$\text{Pr}_k^m$
بهترین تخمین مولفه باد طولی	$\hat{W}_n$
بهترین تخمین مولفه باد عرضی	$\hat{W}_e$
بهترین تخمین مولفه باد عمودی	$\hat{W}_d$
تعداد مورچه‌ها	$N$
تعداد بهترین مورچه‌های منتخب	$N_t$
ماتریس انتقال متغیرهای حالت هر فیلتر منطبق با مدل	$\mathbf{F}_{m,k-1}^{i,j}$
ماتریس کواریانس نویز فرآیند $m$ -امین مدل	$\mathbf{Q}_m$
بهره کالمن مرتبط با فیلتر $m$ -ام	$\mathbf{K}_k^{i,j}$
ماتریس‌های کواریانس اندازه‌گیری هر مدل	$\mathbf{R}_m$
ماتریس مشاهدات مرتبط با فیلتر $m$ -ام	$\mathbf{H}_{m,k}^{i,j}$
تابع هزینه مورچه $j$ -ام در زمان $k$	$C_{m,k k}^{i,j}$
بهترین نقطه یافت‌شده در حلقه داخلی $i$ -ام توسط $m$ -امین فیلتر منطبق با هر مدل	$\hat{\mathbf{x}}_{k k}^{i,j,\min}$
واریانس تابع توزیع فرمون نرمال برای بعد $p$	$(\sigma_{m,k}^i)^2_p$



مولفه $\hat{\mathbf{x}}_{m,k k}^{i,j}$ در بعد $p$	$\left( \hat{x}_{m,k k}^{i,j} \right)_p$
مولفه $\hat{\mathbf{x}}_{m,k k}^{i,j \min}$ در بعد $p$	$\left( \hat{x}_{m,k k}^{i,j \min} \right)_p$
تابع احتمال منطبق با هر مدل	$L_{m,k k}$
باقیمانده $m$ -امین فیلتر	$\mathbf{r}_{m,k k}$
ماتریس کواریانس باقیمانده هر فیلتر	$\mathbf{S}_{m,k k}$
مقدار اولیه احتمال	$\text{Pr}_{m,0}$
بهترین مدل	$\hat{m}$
طول افق پیش‌بینی	$T_P$
موقعیت ابتدایی متغیر فرمان کنترلی ذره $j$ -ام	$\mathbf{u}_0^j$
سرعت اولیه هر ذره	$\mathbf{v}_0^j$
خروجی‌های آینده ذره $j$ -ام	$\mathbf{z}_{k+k_p}^j$
بردار فرامین کنترلی آینده ذره $j$ -ام	$\mathbf{u}_{k+k_p}^{j,i}$
بردار متغیر تصادفی	$\boldsymbol{\gamma}_{k-1+k_p}^{j,i}$
تابع هزینه ذره $j$ -ام در $k$ -امین گام زمانی	$C_k^{j,i}$
هزینه ناشی از خطای ردگیری خروجی‌های پیش‌بینی شده ذره $j$ -ام با مقدار مطلوب خروجی	$C_{te}^{j,i}$
هزینه ناشی از تلاش کنترلی در طول افق کنترلی	$C_{ce}^{j,i}$
هزینه ناشی از اختلاف فرامین کنترلی در یک گام زمانی افق پیش‌بین با گام زمانی بعدی	$C_{cs}^{j,i}$
بهترین فرامین کنترلی برای ذره $j$ -ام	$\mathbf{p}_{k+k_p}^{j,i}$

بهترین فرامین کنترلی در بین کل ذرات	$\mathbf{g}_{k+k_p}^i$
سرعت ذره $j$ -ام در گام زمانی $k$ -ام و در حلقه تکرار $i$ -ام	$\mathbf{v}_{k+k_p}^{j,i}$
ماتریس ثابت اصطکاک	$W$
ضریب ثابت مثبت	$C_1$
ضریب ثابت مثبت	$C_2$
عدد تصادفی با توزیع یکنواخت	$\Gamma_1$
عدد تصادفی با توزیع یکنواخت	$\Gamma_2$
موقعیت فرامین کنترلی ذره $j$ -ام	$\mathbf{u}_{k+k_p}^{j,i}$
مقدار بیشینه تکرار	$i_{max}$

## ۱ مقدمه

پرنده‌های بدون سرنشین (UAV)<sup>۱</sup> به صورت گسترده‌ای در کاربردهای نظامی و غیرنظامی هم‌چون شناسایی، دیده‌بانی، کنترل مرزها، جاسوسی، کنترل ترافیک و تشخیص آلودگی مواد شیمیایی استفاده شده‌اند. این وسایل اخیراً به علت مزایای آن‌ها در افزایش مانورپذیری، کاهش هزینه، کاهش سطح مقطع راداری، افزایش مداومت پروازی و کاهش خطر برای خدمه توجه زیادی را به خود جلب کرده‌اند. پرنده‌های بدون سرنشین عموماً به دو دسته، یکی با توانایی نشست و برخاست عمودی (VTOL)<sup>۲</sup> و دیگری با توانایی نشست و برخاست با استفاده از یک باند پروازی یا پرنده‌های بال ثابت طبقه‌بندی می‌شوند. پرنده‌های بال ثابت قابلیت انجام بسیاری از ماموریت‌ها از جمله دیده‌بانی، مداخله در مناطق دشمن، بررسی آلودگی‌ها، نقشه‌برداری و غیره را دارند.

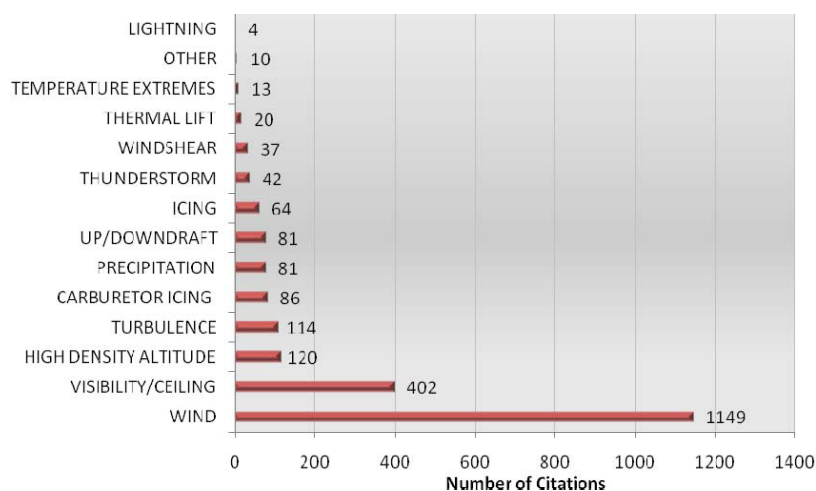
از جمله مهم‌ترین مسائلی که توجه طراحان پرنده‌های بال ثابت را به خود اختصاص داده‌است، مساله ایمنی پرواز است. لذا، به حداقل رساندن عوامل سوانح پروازی و حرکت به سمت سیستم‌های کنترل خودکار گامی موثر در افزایش ایمنی پرواز پرنده‌های بال ثابت محسوب می‌شود. شرایط نامناسب جوی هم‌چون رعد و برق<sup>۳</sup>، یخ‌زدن<sup>۴</sup> بال پرنده، کاهش دید خلبان، وزش باد، توربولانس و باد برشی یکی از مهم‌ترین عواملی است که ایمنی پرواز پرنده‌های بال ثابت را به مخاطره می‌اندازد [۱]. به‌عنوان مثال، تعداد سوانح پروازی ناشی از عوامل پدیدآورنده شرایط نامناسب جوی، که در کشور هند در سال‌های ۲۰۰۳ تا ۲۰۰۷ رخ داده‌است، در شکل ۱.۱ نشان داده شده‌است.

<sup>1</sup> Unmanned Aerial Vehicle

<sup>2</sup> Vertical Takeoff and Landing

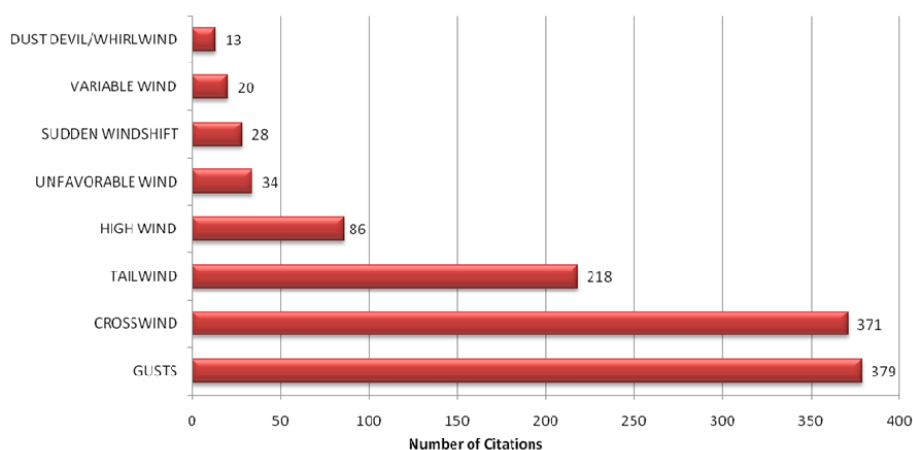
<sup>3</sup> Lightning

<sup>4</sup> Ice



شکل ۱.۱ تعداد سوانح ناشی از شرایط نامناسب جوی در سال‌های ۲۰۰۳ تا ۲۰۰۷ [۲].

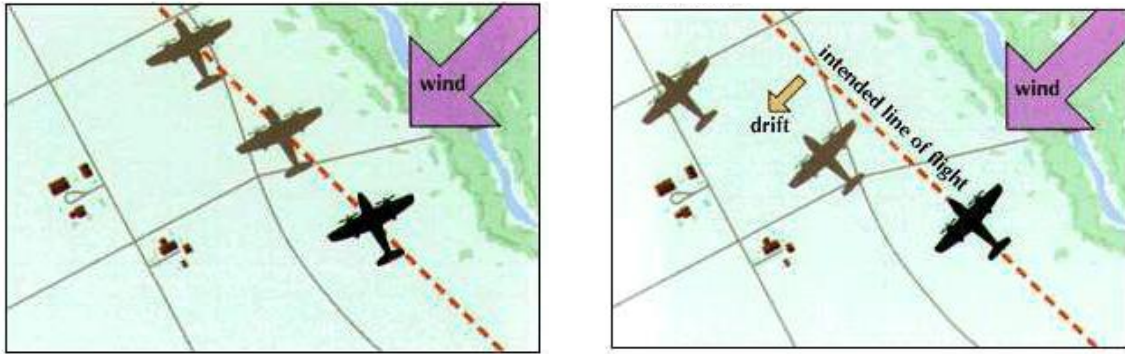
همانطور که در شکل ۱.۱ مشاهده می‌شود، اغتشاشات اتمسفری همچون باد، باد برشی و توربولانس از مهم‌ترین عوامل پدیدآورنده شرایط نامناسب جوی است که باعث ایجاد سوانح هوایی می‌شود. در این میان، وزش باد شامل بادهای جانبی، عرضی، روبه رو و پشت بیشترین تعداد سوانح هوایی را به خود اختصاص داده‌اند. به‌عنوان مثال، تعداد سوانح پروازی ناشی از انواع باد، که در کشور هند در سال‌های ۲۰۰۳ تا ۲۰۰۷ رخ داده‌است، در شکل ۲.۱ نشان داده شده‌است. همانگونه که مشاهده می‌شود، باد جانبی و باد از پشت بیشترین تاثیر را در به مخاطره انداختن ایمنی پرواز دارند.



شکل ۲.۱ تعداد سوانح ناشی از انواع باد در سال‌های ۲۰۰۳-۲۰۰۷ [۲].

از این رو، مطالعه تاثیر اغتشاشات اتمسفری بر روی عملکرد سازه و پرواز پرنده، بخش مهمی از تحقیقات در صنعت هوایی محسوب می‌شود. بارهای سازه‌ای ناشی از مواجهه پرنده با اغتشاشات اتمسفری

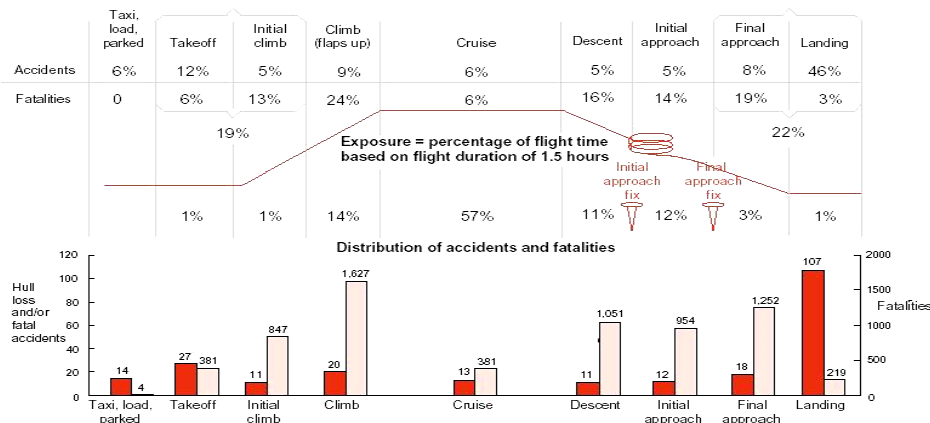
منجر به کاهش عمر سازه و در نتیجه آسیب‌رساندن به آن می‌شود. همچنین، ممکن است کنترل مسیر پرنده در اثر مواجهه با اغتشاشات اتمسفری با مشکلاتی همراه شود. مواجهه با اینگونه اغتشاشات باعث منحرف‌شدن پرنده از مسیر مطلوب پروازی، پرواز ناپایدار و گاهی سقوط پرنده می‌شود [۳]–[۴]. انحراف پرنده در اثر وزش باد و تصحیح وضعیت آن در شکل ۳.۱ نشان داده شده‌است.



(ب)

(الف)

شکل ۳.۱ عکس‌العمل پرنده در مواجهه با باد: (الف) انحراف پرنده در اثر وزش باد، (ب) تصحیح وضعیت. همچنین، درصد سوانح هوایی در مراحل مختلف پرواز در شکل ۴.۱ نشان داده شده‌است. همانطور که مشاهده می‌شود، ۱۷٪ و ۵۴٪ از سوانح هوایی به ترتیب در مراحل برخاست و فرود پرنده اتفاق افتاده است. درصد وقوع سوانح هوایی در فرآیند فرود پرنده نشان‌دهنده زیاد بودن حجم بار کاری و تنش‌های کاری در این مرحله است. از این‌رو، فرآیند فرود از مهم‌ترین مراحل پروازی محسوب می‌شوند. نمونه‌ای از سانحه هوایی در فرآیند فرود، که در کشور هند رخ داده‌است، در شکل ۵.۱ نشان داده شده‌است.



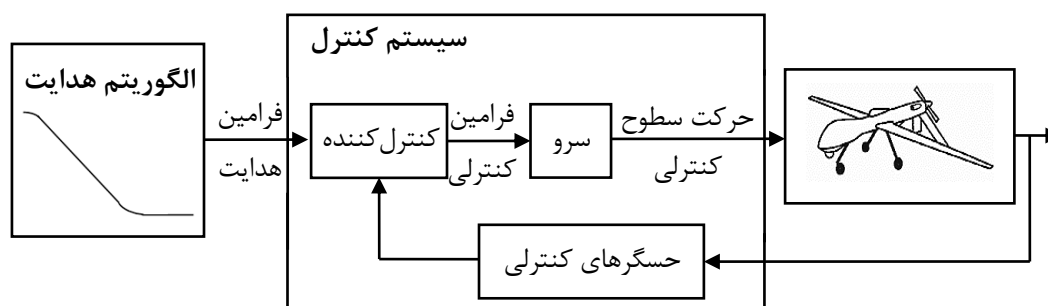
شکل ۴.۱ درصد سوانح هوایی در مراحل مختلف پروازی [۲].

علیرضا شریفی، "توسعه و پیاده‌سازی فیلترهای چندمدلی در فرود خودکار پرنده بدون سرنشین جهت شناسایی برخط و جبران‌سازی اغتشاشات اتمسفری"، رساله دکتری، استاد راهنما: دکتر هادی نوبهاری، دانشگاه صنعتی شریف، دانشکده مهندسی هوافضا، تابستان ۱۳۹۹



شکل ۵.۱ نمونه‌ای از سانحه هوایی در فرآیند فرود.

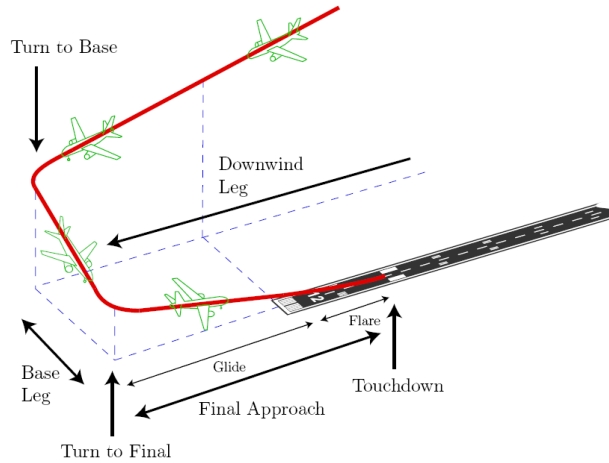
با تلفیق نتایج حاصل از شکل ۱.۱ و شکل ۴.۱ می‌توان به این نکته اشاره کرد که فرآیند فرود از بحرانی‌ترین مراحل پروازی محسوب می‌شود. همچنین، فرآیند فرود از منظر حجم کاری، درصد بالایی از کل عملیات پرواز را به خود اختصاص می‌دهد. بنابراین، به‌کارگیری سیستم‌های فرود خودکار شامل سیستم‌های هدایت، کنترل و ناوبری دقیق در مواجهه با اغتشاشات اتمسفری در پرنده‌های بدون سرنشین، که می‌تواند باعث افزایش ایمنی پرواز شود، همواره مورد توجه بوده‌است. اجزای سیستم‌های هدایت، ناوبری و کنترل و ارتباطات بین آن‌ها در فرآیند فرود برای یک پرنده بدون سرنشین بال‌ثابت در شکل ۶.۱ نشان داده شده‌است.



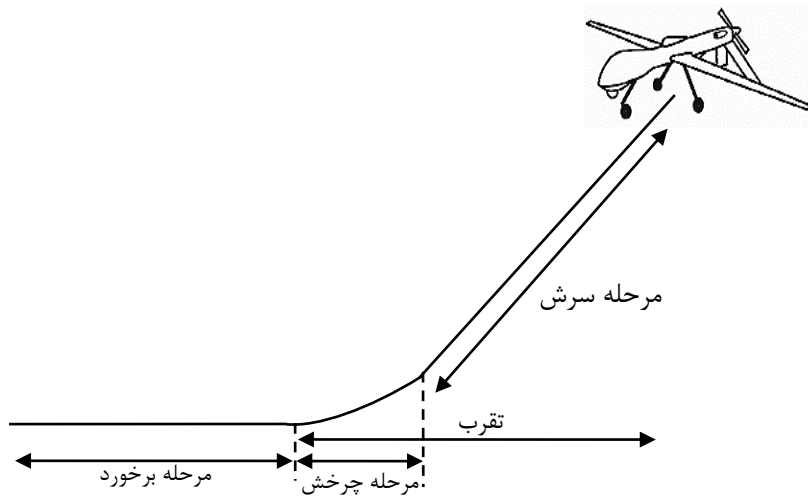
شکل ۶.۱ اجزای سیستم هدایت و کنترل و ارتباطات بین آن‌ها در فرآیند فرود.

هدایت پرنده بدون سرنشین در فرآیند فرود به‌معنای تولید فرامین لازم جهت کنترل مسیر آن است. در این صورت، باید ارتفاع، موقعیت، سرعت و وضعیت مطلوب، که پرنده باید به آن برسد، در هر لحظه توسط سیستم هدایت تعیین شود. الگوریتم فرود خودکار در شکل ۷.۱ نشان داده شده‌است. در این

صورت، پس از ورود پرنده به محدوده فرود، مراحل فرود شامل تقرب<sup>۵</sup>، سرش<sup>۶</sup>، چرخش<sup>۷</sup> و برخورد<sup>۸</sup> به منظور تکمیل فرآیند فرود انجام می‌شود. این مراحل برای پرنده بدون سرنشین بال ثابت در شکل ۸.۱ نشان داده شده است.



شکل ۷.۱ بخش‌های مختلف مسیر در فرآیند فرود [۵].



شکل ۸.۱ مراحل فرآیند فرود.

<sup>5</sup> Approach

<sup>6</sup> Glide

<sup>7</sup> Flare

<sup>8</sup> Touchdown

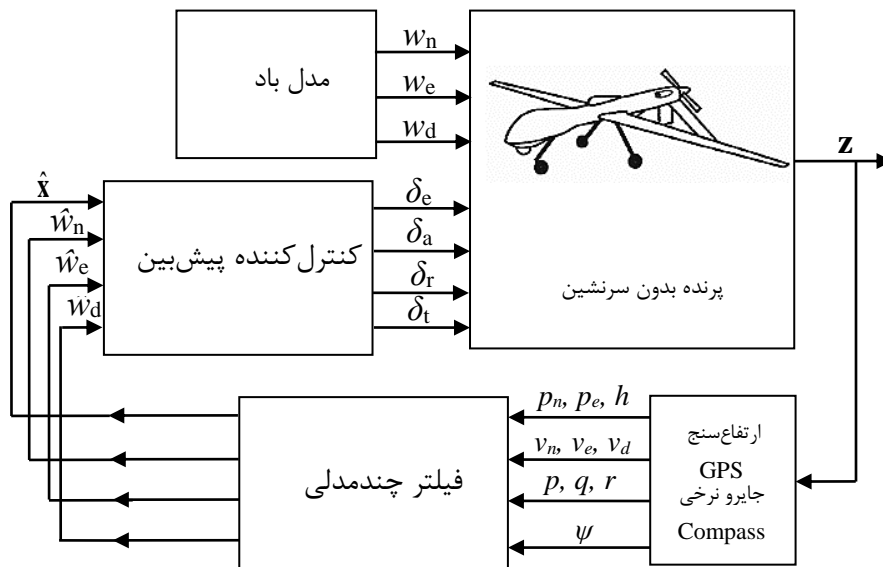
اجرای فرامین تولیدشده توسط سیستم هدایت و نیز پایدارسازی پرنده از جمله وظایف سیستم کنترل فرآیند فرود خودکار محسوب می‌شود. سیستم کنترل مجموعه‌ای شامل حسگرهای کنترلی، کنترل‌کننده (یا منطق کنترلی) و سرومکانیزم است. حسگرهای کنترلی موقعیت، سرعت، وضعیت لحظه‌ای پرنده را نسبت به دستگاه مختصات اینرسی اندازه‌گیری می‌کنند. کنترل‌کننده باید پایداری وسیله در مقابل نامعینی‌های مدل، نویز اندازه‌گیری، اغتشاشات محیط مانند باد و پدیده آیرودینامیکی اثر زمین و همچنین، اجرای سریع فرامین هدایت را تضمین کند. خروجی کنترل‌کننده فرامین زاویه مطلوب سطوح کنترلی است که باید توسط سرومکانیزم اجرا شود. به عبارت دیگر، کنترل‌کننده فرامین هدایت را به فرامین کنترلی که توسط سرومکانیزم قابل اجرا باشد، تبدیل و سرومکانیزم آن را اجرا می‌کند.

به منظور تولید سیگنال‌های کنترلی دقیق پرنده در فرآیند فرود خودکار حتی‌الامکان باید مقدار تمام متغیرهای حالت و همین‌طور اطلاعات اغتشاشات ورودی در دسترس باشد. در عمل، بعضی از متغیرهای حالت و نیز اغتشاشات ورودی قابل اندازه‌گیری نیستند؛ لذا، در صورت وزش باد لازم است تا علاوه بر متغیرهای حالت غیرقابل اندازه‌گیری، سرعت و جهت باد نیز به منظور بهبود عملکرد پروازی پرنده تخمین زده شوند. در این صورت، پرنده می‌تواند اثر باد را جبران کرده و مسیر مطلوب پروازی را به صورت دقیق ردگیری کند.

هدف این رساله تخمین و جبران‌سازی برخط اغتشاشات اتمسفری به منظور فرود خودکار ایمن پرنده بدون سرنشین بال‌ثابت با استفاده از فیلترهای چندمدلی است. بلوک دیاگرام الگوریتم تخمین مدل باد و متغیرهای حالت پرنده در شکل ۹.۱ نشان داده شده است. به منظور مدل‌سازی دینامیکی، پرنده صلب فرض شده و مدل دینامیکی حسگرها ایده‌آل و خروجی آن‌ها همراه با نویز در نظر گرفته می‌شود. همچنین، انواع باد به منظور ارزیابی عملکرد فاز فرود مدل‌سازی می‌شود. به منظور مدل‌کردن باد از مدل‌های استاندارد موجود در مراجع شامل مدل‌های باد معین و تصادفی استفاده می‌شود. سپس، تحلیل مشاهده‌پذیری به منظور امکان‌سنجی تخمین متغیرهای حالت و مولفه‌های باد با استفاده از اندازه‌گیری انجام می‌شود. در مرحله بعد، فیلتر چندمدلی با استفاده از خروجی حسگرها، نوع باد و پارامترهای آن و نیز متغیرهای حالت پرنده را تخمین زده و به الگوریتم کنترل‌کننده مدل پیش‌بین ارسال می‌کند.



کنترل کننده با استفاده از اطلاعات حاصل از فیلتر چندمدلی و الگوریتم فرود، فرامین لازم جهت فرود خودکار را صادر می کند.



شکل ۹.۱ بلوک دیاگرام الگوریتم تخمین مدل باد به منظور استفاده در کنترل کننده مدل پیش‌بین.

در ادامه، ابتدا در فصل ۲ پیشینه‌ای از کارهای انجام شده در زمینه مدل‌سازی، تخمین و جبران‌سازی اغتشاشات اتمسفری، تحلیل مشاهده‌پذیری اغتشاشات ورودی و فیلترهای چندمدلی ارائه می‌شود. سپس، مدل‌سازی دینامیک پرنده و مدل‌سازی پدیده باد در فصل ۳ ارائه می‌شود. همچنین، مشاهده‌پذیری پدیده باد و متغیرهای حالت پرنده بدون سرنشین در فصل ۴ بررسی می‌شود. در گام بعد، در فصل ۵ فیلترهای چندمدلی معرفی و تخمین‌گر چندمدلی باد به منظور تخمین نوع مدل باد، پارامترهای آن و متغیرهای حالت پرنده طراحی می‌شود. همچنین، فیلترهای چندمدلی ابتکاری در فصل ۶ توسعه داده شده و یک کنترل کننده پیش‌بین غیرخطی در فصل ۷ طراحی و بکارگیری می‌شود. در فصل ۸ نیز نتایج پیاده‌سازی فیلتر چندمدلی و کنترل کننده پیش‌بین ارائه می‌شود. در نهایت، در فصل ۹ به جمع‌بندی، نتیجه‌گیری و ارائه پیشنهادات پرداخته می‌شود.

## ۲ پیشینه پژوهش و نوآوری‌های آن

تاکنون تحقیقات زیادی در زمینه فرود خودکار یک پرنده بدون سرنشین بال ثابت در حضور باد انجام شده است. تخمین بخش مهمی از این مساله است. در این فصل نقش آفرینی‌هایی که دیگران در این مسئله داشته‌اند، با نگاهی تکاملی و انتقادی بیان می‌شود. برای نیل به این هدف، در ابتدا پژوهش‌های صورت گرفته در زمینه مدلسازی و اثر اغتشاشات اتمسفری در فرآیند فرود در بخش ۱.۲ مرور می‌شوند. سپس، پیشینه تحقیقات انجام شده در زمینه مشاهده پذیری در حضور ورودی‌های نامعلوم در بخش ۲.۲ بررسی می‌شوند. در مرحله بعد، نوشته‌های علمی در زمینه فیلترهای چندمدلی در بخش ۳.۲ معرفی می‌شود. در نهایت، رویکرد مورد نظر در این رساله با توجه به نتایج پژوهش‌های صورت گرفته در بخش ۴.۲ بررسی می‌شود.

### ۱.۲ اغتشاشات اتمسفری

اغتشاشات اتمسفری در پرنده‌های بدون سرنشین بال ثابت سبب تغییر مکان و سرعت پرنده می‌شوند. در فازهای پروازی مثل کروز، سرعت و ارتفاع پرنده در حدی است که می‌تواند مسیر و عملکرد پروازی خود را بدون انحراف از مسیر اصلی حفظ کند. اما، در صورتیکه پرنده در حین برخاست یا فرود با اغتشاشات اتمسفری مواجه شود، به دلیل نزدیک بودن به زمین می‌تواند منجر به سانحه شود. پس، در هنگام فرود، توجه ویژه به ماهیت اغتشاشات اتمسفری در نزدیک زمین بسیار حائز اهمیت است. پژوهش‌های انجام شده در زمینه اثر اغتشاشات اتمسفری در فرآیند فرود را می‌توان به حوزه‌های زیر طبقه‌بندی کرد:

- مدل‌سازی اغتشاشات اتمسفری (بخش ۱.۱.۲)
- تخمین اغتشاشات اتمسفری (بخش ۲.۱.۲)
- اثرات آیرودینامیکی اغتشاشات اتمسفری (بخش ۳.۱.۲)
- اصلاح مسیر پروازی در حضور اغتشاشات اتمسفری (بخش ۴.۱.۲)
- جبران‌سازی اغتشاشات اتمسفری در کنترل کننده (بخش ۵.۱.۲)

در ادامه هر یک از این حوزه‌ها توضیح داده می‌شوند.

## ۱.۱.۲ مدل‌سازی اغتشاشات اتمسفری

درک صحیحی از ماهیت اغتشاشات اتمسفری و ایجاد یک مدل پیش‌گویانه باعث بهبود کیفیت پرواز و کاهش سوانح خواهد شد. همچنین، مدل‌سازی اغتشاشات اتمسفری نقش مهمی در طراحی پرنده و تحلیل رفتار دینامیکی آن ایفا می‌کند. از این‌رو، در چند دهه اخیر تلاش‌های گسترده‌ای به‌منظور مدل‌سازی اغتشاشات اتمسفری انجام شده‌است. اغتشاشات اتمسفری می‌تواند به‌صورت تابعی از زمان و موقعیت در سه جهت مدل شود. از دیگر دلایل اهمیت مدل‌سازی اغتشاشات اتمسفری می‌توان به موارد زیر اشاره کرد:

- بررسی تاثیر اغتشاشات اتمسفری بر مسیر پرواز پرنده
- بررسی عملکرد کنترل‌کننده در حضور اغتشاشات
- بررسی پاسخ پرنده به اغتشاشات در حین پرواز

مدل اغتشاشات اتمسفری را می‌توان به دو دسته اغتشاشات معین<sup>۱</sup> و اغتشاشات تصادفی<sup>۲</sup> تقسیم کرد [۵]. از جمله مدل‌های اغتشاشات اتمسفری معین می‌توان به مدل باد روبه‌رو<sup>۳</sup>، باد هم‌سو یا باد از پشت<sup>۴</sup>، باد جانبی<sup>۵</sup>، باد "1-cosine"<sup>۶</sup>، باد برشی<sup>۶</sup> و دانبرست<sup>۷</sup> اشاره کرد. اغتشاشات اتمسفری معین را می‌توان از لحاظ استراتژی طیفی به دو دسته بادهای ثابت و برشی طبقه‌بندی کرد. این مدل‌ها از نظر مقیاس و فرکانس تحریک با یکدیگر متفاوت هستند. اگر باد ثابت یا فرکانس آن کمتر از فرکانس مود فوگوئید باشد، سیستم کنترل پرنده توانایی غلبه بر این نوع از اغتشاشات اتمسفری را دارد. از جمله مدل‌های باد ثابت می‌توان به باد روبه‌رو، باد هم‌سو یا باد از پشت و باد جانبی اشاره کرد.

<sup>1</sup> Deterministic Turbulance

<sup>2</sup> Stochastic Turbulance

<sup>3</sup> Head Wind

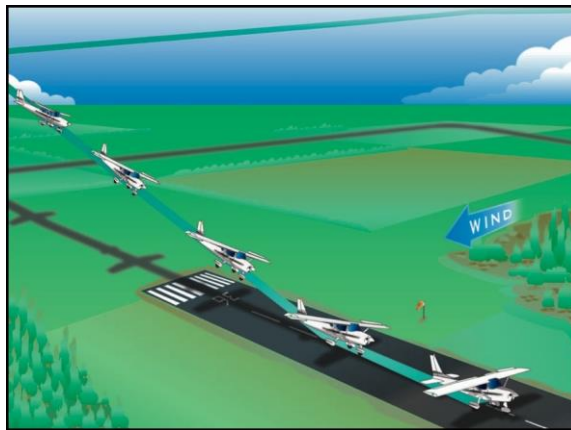
<sup>4</sup> Tail Wind

<sup>5</sup> Cross Wind

<sup>6</sup> Wind Shear

<sup>7</sup> DownBurst

باد روبه‌رو، بادی است که در خلاف جهت پرواز می‌وزد. از این‌رو، به‌دلیل کاهش سرعت زمینی پرنده در هنگام نشست و برخاست بسیار مفید است و در حین پرواز باعث افزایش مصرف سوخت می‌شود. باد هم‌سو یا پشت، بادی است که هم‌سو با جهت پرواز می‌وزد. از آنجا که این باد باعث افزایش طول باند می‌شود، لذا برای نشست و برخاست مضر است. اما در طول پرواز مفید بوده و باعث زودتر رسیدن به مقصد و کاهش مصرف سوخت می‌شود. باد جانبی بادی است که همیشه به سمت راست یا چپ پرنده می‌وزد. وزش این باد باعث خروج پرنده از مسیر مطلوب می‌شود؛ لذا، در فرآیندهای نشست و برخاست و نیز در حین پرواز مضر است. وزش باد جانبی در حین فرآیند فرود در شکل ۱.۲ نشان داده شده‌است.



شکل ۱.۲ وزش باد جانبی در حین فرآیند فرود.

باد برشی<sup>۸</sup> یک پدیده مهم اتمسفری است که باعث ایجاد تغییر مقدار و جهت میانگین سرعت باد در طی یک بازه مکانی می‌شود. این بادهای می‌توانند باعث انحراف بیشتر پرنده از مسیر اصلی پروازی شوند. طیف فرکانسی بادهای برشی بین محدوده فرکانس موده‌های فوگوئید تا پریود کوتاه قرار دارد. از آنجا که، مود فوگوئید باعث تغییر ارتفاع پرنده می‌شود؛ لذا وزش باد برشی در فازهای برخاست و فرود، احتمال برخورد پرنده را با زمین بیشتر می‌کند. پروفیل سرعت باد برشی به‌صورت تابعی از ارتفاع و سرعت باد اندازه‌گیری شده در ارتفاع ۶ متری سطح زمین مدل می‌شود [۵].

پدیده دانبرست یکی از خطرناک‌ترین بادهای برشی با دنباله بزرگ و مدت زمان کوتاه است. این پدیده به توده‌ای از هوا اطلاق می‌شود که با سرعت قابل توجهی از ارتفاعات بالا به‌طرف زمین حرکت

<sup>۸</sup> انواع متعددی بادهای برشی نظیر جبهه‌های تند باد، جبهه‌های هوای گرم و سرد، امواج حاصل از کوهستان‌ها، نسیم‌های دریایی و طوفان‌های تندی وجود دارند.

علیرضا شریفی، "توسعه و پیاده‌سازی فیلترهای چندمدلی در فرود خودکار پرنده بدون سرنشین جهت شناسایی برخط و جبران‌سازی اغتشاشات اتمسفری"، رساله دکتری، استاد راهنما: دکتر هادی نوبهار، دانشگاه صنعتی شریف، دانشکده مهندسی هوافضا، تابستان ۱۳۹۹

می‌کند. این جریان قوی موضعی پس از برخورد با زمین مولفه‌های شعاعی واگرا از هم تولید می‌کند. پدیده دانبرست در شکل ۲.۲ نشان داده شده‌است.



شکل ۲.۲ پدیده دانبرست.

اندازه دانبرست‌ها از کمتر از یک کیلومتر تا ده کیلومتر متغیر است. دانبرست‌ها بر اساس مقیاس خروجی، به دو دسته میکروبرست<sup>۹</sup> و ماکروبرست<sup>۱۰</sup> طبقه‌بندی می‌شود [۷]. میکروبرست‌ها مطابق با شکل ۳.۲ در قطری کمتر از ۴ کیلومتر پراکنده می‌شوند و نیز دارای سرعت بیش از ۱۰ متر بر ثانیه هستند. اما در مقابل ماکروبرست‌ها مطابق با شکل ۴.۲ در قطری بیش از ۱۰ کیلومتر و با سرعت کمتر از ۱۰ متر بر ثانیه پخش می‌شوند. از آنجا که مقیاس مکانی کوچک میکروبرست سبب ایجاد بادهای برشی با تغییرات سریع سرعت می‌شوند؛ لذا احتمال مواجهه پرنده در ارتفاعات اندک با میکروبرست وجود دارد.

روش‌های استخراج مدل‌های پدیده میکروبرست را می‌توان به سه دسته مدل‌های باد مبتنی بر حل عددی معادلات مکانیک سیالات و شرایط مرزی، تقریب‌های تحلیلی مبتنی بر رفتار پرنده در سوانح هوایی و ترکیب حل عددی معادلات مکانیک سیالات و تقریب‌های تحلیلی طبقه‌بندی کرد. در دسته اول، مدل‌های اغتشاشات اتمسفری مبتنی بر حل عددی معادلات مکانیک سیالات و شرایط مرزی استخراج می‌شوند. به‌عنوان نمونه می‌توان به مدل‌های Chay [۱۰] و Letchford [۱۱] اشاره کرد. در دسته دوم، به‌منظور مدل‌سازی اغتشاشات اتمسفری از تقریب‌های تحلیلی مبتنی بر رفتار پرنده در سوانح هوایی استفاده می‌شود. به‌عنوان نمونه می‌توان به مدل‌های Ivan [۱۲] و Zhu-Etkin [۱۳] اشاره کرد.

<sup>۹</sup> Microburst

<sup>۱۰</sup> Macroburst

در دسته سوم، مدل باد با ترکیب حل عددی معادلات مکانیک سیالات و تقریب‌های تحلیلی استخراج می‌شود. به‌عنوان نمونه می‌توان به مدل‌های Vicory [۱۴] و Oseguera-Bowles [۱۵] اشاره کرد.



شکل ۳.۲ پدیده مایکروبرست [۸].



شکل ۴.۲ پدیده مایکروبرست [۸].

تدوذور فوجیتا نخستین کسی بود که در اواخر دهه ۱۹۷۰ مایکروبرست را به‌عنوان خطری برای جامعه هوانوردی معرفی کرد [۷]. انواع مدل‌های در دسترس به‌منظور مدل‌سازی پدیده مایکروبرست به‌صورت مدل سینوس-کسینوس [۱۶]، Turova [۱۷]، Dogan, Zhu-Etkin [۱۸]، Chao-Chen [۱۹]، Oseguera-Bowles، Vicory و Holmes-Oliver [۲۰] هستند. مدل Ivan یک مدل ناشی از گردابه حلقوی به‌منظور شبیه‌سازی دان‌برست است. مزیت این مدل این است که با اصل برهم‌نهی تطابق دارد و از یک مدل گردابه حلقوی چند مدلی به‌منظور توصیف بهتر جریان استفاده می‌کند. در مقابل، Oseguera یک مدل دو حلقوی گردابه‌ای برای دان‌برست است.

اغتشاشات اتمسفری تصادفی شامل نوسانات نامنظم و کوچک در میانگین سرعت باد هستند که به‌علت اصطکاک با سطح زمین و/یا بین لایه‌های اتمسفری رخ می‌دهند. این اغتشاشات را توربولانس نیز

می‌نامند [۵]. توربولانس برخلاف اغتشاشات معین، در مدت زمان کمتری رخ می‌دهند. رفتار توربولانس تنها با طیف چگالی طیف توان باد، که بیانگر شدت توربولانس است، بیان می‌شود. محدوده فرکانسی توربولانس بیش‌تر از فرکانس مود پریود کوتاه پرنده است؛ لذا سبب خستگی سازه و افزایش بار کاری خلبان می‌شود. از این‌رو، مدل‌سازی توربولانس نقش مهمی را به‌منظور بررسی عملکرد سازه و حلقه‌های کنترل و هدایت ایفا می‌کند.

از جمله مدل‌های اغتشاشات اتمسفری تصادفی، که در ارتفاعات رخ می‌دهد، می‌توان به مدل‌های درایدن<sup>۱۱</sup> و ون‌کارمن<sup>۱۲</sup> اشاره کرد [۵]-[۶]. از مدل ون‌کارمن به‌منظور شبیه‌سازی پرواز در ارتفاعات بالا و سرعت‌های زیاد استفاده می‌شود. همچنین، مدل درایدن کاربرد زیادی به‌منظور شبیه‌سازی پرواز در ارتفاعات کم به‌صورت ویژه در فرآیند فرود دارد. از آنجا که مدل اصلی درایدن دارای توان‌های کسری است، لذا از تقریب‌های آن استفاده می‌شود.

#### ۲.۱.۲ تخمین اغتشاشات اتمسفری

پژوهش‌های انجام‌شده در زمینه تخمین اغتشاشات اتمسفری به شناسایی مولفه‌های سرعت باد می‌پردازد. این پژوهش‌ها به دو روش مثلث باد<sup>۱۳</sup> [۲۱] و تخمین باد مبتنی بر مدل دینامیکی پرنده [۲۲] طبقه‌بندی می‌شود. در ادامه، این دو روش به‌ترتیب در بخش‌های ۱.۲.۱.۲ و ۲.۲.۱.۲ تشریح می‌شوند.

#### ۱.۲.۱.۲ روش مثلث باد

روش مثلث باد یک روش گرافیکی بر مبنای ارتباط هندسی بین حرکت پرنده و باد مطابق با شکل ۵.۲ است. در این صورت، سرعت و جهت بردار باد ( $V_w$ )، که ناشی از اختلاف برداری بین سرعت پرنده نسبت

<sup>11</sup> Dryden Model

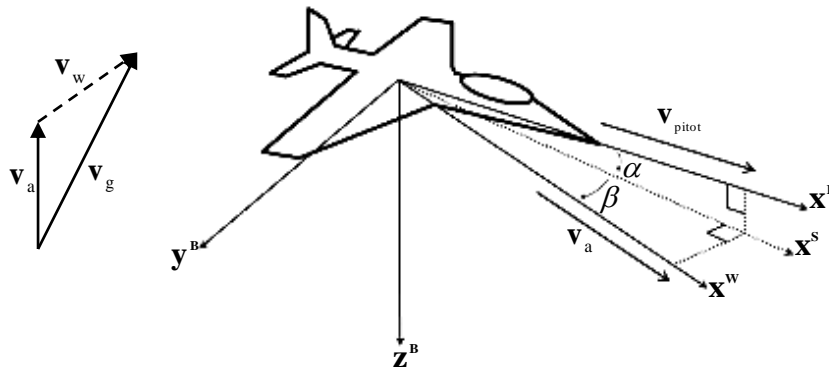
<sup>12</sup> VonKarman

<sup>13</sup> Wind Tringle Method

به زمین ( $\mathbf{v}_g$ )<sup>۱۴</sup> و سرعت حقیقی پرنده نسبت به هوا ( $\mathbf{v}_a$ )<sup>۱۵</sup> است، در سیستم مختصات NED<sup>۱۶</sup> (جهت‌های شمال جغرافیایی، شرق و پایین) حاصل می‌شود:

$$\mathbf{v}_w^N = \mathbf{v}_g^N - \mathbf{C}_B^N \mathbf{v}_a^B \quad (1.2)$$

در رابطه فوق،  $\mathbf{v}_a$  و  $\mathbf{v}_g$  به ترتیب بیانگر سرعت پرنده نسبت به زمین و سرعت حقیقی پرنده نسبت به هوا هستند. همچنین،  $\mathbf{C}_B^N$  نشان‌دهنده ماتریس انتقال از دستگاه مختصات بدنی به دستگاه مختصات NED است.



شکل ۵.۲ تخمین سرعت و جهت باد در روش مثلث باد.

روش مثلث باد به مدل دینامیکی پرنده وابسته نبوده و تنها نیاز به محاسبه سرعت حقیقی پرنده، سرعت زمینی پرنده و ماتریس انتقال دارد. به منظور محاسبه سرعت حقیقی پرنده در دستگاه مختصات بدنی نیاز به اندازه‌گیری زاویه حمله، زاویه لغزش جانبی و نیز فشار دینامیکی با استفاده از حسگر لوله پیتوت است. حسگر لوله پیتوت به دلیل موازی نبودن سر پراپ با جریان هوا همراه با خطا است. همچنین، از آنجا که بردار سرعت حقیقی پرنده در مختصات بدنی محاسبه می‌شود، لذا نیاز به محاسبه

<sup>14</sup> Ground Velocity

<sup>15</sup> Air Velocity

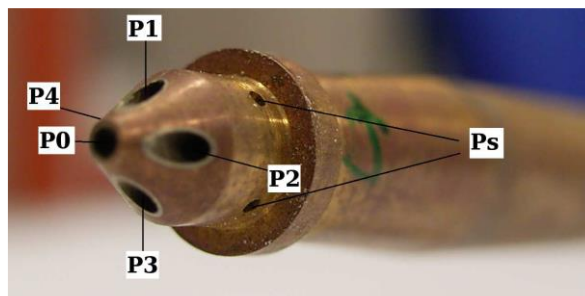
<sup>16</sup> North- East- Down



ماتریس کسینوس‌های هادی (DCM) به‌منظور انتقال بردار سرعت حقیقی پرنده از دستگاه مختصات بدنی به دستگاه مختصات NED است.

ماتریس کسینوس‌های هادی با اندازه‌گیری زوایای اوپلر توسط سیستم تعیین وضعیت و سمت (AHRS)<sup>۱۷</sup> محاسبه می‌شود. به علاوه، سرعت زمینی پرنده در دستگاه مختصات NED از حسگر سامانه موقعیت‌یاب جهانی (GPS)<sup>۱۸</sup> محاسبه می‌شود. خروجی حسگر سامانه موقعیت‌یاب جهانی اغلب همراه با خطا و نویز است. بنابراین، از جمله مشکلات روش مثلث باد به‌منظور محاسبه سرعت و جهت باد می‌توان به ضرورت اندازه‌گیری زوایای حمله و لغزش، نیاز به اندازه‌گیری زوایای اوپلر، خطا در خروجی حسگر GPS، خطای نصب لوله پیتوت و نویزی بودن خروجی‌های سنسور اشاره کرد. این مشکلات باعث عدم دقت در محاسبه سرعت و جهت باد می‌شود. از این‌رو، پژوهش‌های مختلفی به‌منظور رفع این مشکلات انجام شده‌است.

نیاز به اندازه‌گیری زوایای حمله و لغزش: هواپیماهای بزرگ مجهز به تیغه‌ها یا پراپ‌های چند کاناله<sup>۱۹</sup> هستند، که قادر به اندازه‌گیری زوایای حمله و لغزش هستند. اما در پرنده‌های بدون سرنشین استفاده از این حسگر به‌دلیل وزن بالا، اندازه بالا، هزینه و توان مصرفی مقرون به‌صرفه نیست. نمونه‌ای از این حسگرها در شکل ۶.۲ نشان داده شده‌است. در مرجع [۲۵] از این حسگر به‌منظور محاسبه زوایای حمله و لغزش و سپس محاسبه سرعت باد برای پرنده‌های بدون سرنشین استفاده شده‌است.



شکل ۶.۲ حسگر چند کاناله به‌منظور اندازه‌گیری زوایای حمله و لغزش.

<sup>17</sup> Attitude and Heading Reference System

<sup>18</sup> Global Positioning System

<sup>19</sup> Multi-Port Air Data

به منظور رفع این مشکل، در مرجع [۲۶] سرعت و جهت باد مستقل از زوایای حمله و لغزش با استفاده از فیلتر کالمن تخمین زده شده است. به این منظور، ابتدا خروجی سنسور سرعت هوا با در نظر گرفتن پارامتر  $k$  به منظور تصحیح خطای سنسور از رابطه زیر حاصل می‌شود:

$$\mathbf{v}_a = k \tilde{\mathbf{v}}_a \quad (۲.۲)$$

در رابطه فوق،  $\tilde{\mathbf{v}}_a$  بیانگر خروجی اندازه‌گیری شده سرعت هوا توسط سنسور است. سپس با در نظر گرفتن سرعت باد و ضریب تصحیح سنسور به عنوان متغیرهای حالت ( $\mathbf{x} = \begin{bmatrix} \mathbf{v}_w \\ k \end{bmatrix}$ ) و سرعت حاصله از سامانه موقعیت‌یاب جهانی به عنوان خروجی ( $\mathbf{z} = v_g$ ) و همچنین، فرض ثابت بودن سرعت وزش باد و ضریب تصحیح سنسور، معادلات در فضای حالت به صورت زیر حاصل می‌شود:

$$\begin{cases} \dot{\mathbf{x}} = 0 \\ \mathbf{z} = v_g = v_w + k \mathbf{C}_B^N \tilde{\mathbf{v}}_a = x_1 + \mathbf{C}_N^B \tilde{\mathbf{v}}_a x_2 \end{cases} \quad (۳.۲)$$

بنابراین، از رابطه فوق، ماتریس‌های فضای حالت به صورت  $\mathbf{A} = \mathbf{B} = \mathbf{0}$  و  $\mathbf{C} = [\mathbf{I}_{3 \times 3} \quad \mathbf{C}_B^N \tilde{\mathbf{v}}_a]$  بدست می‌آیند. لازم به ذکر است که ماتریس تبدیل سیستم مختصات جغرافیایی به بدنی ( $\mathbf{C}_B^N$ ) توسط سیستم تعیین وضعیت و سمت اندازه‌گیری می‌شود. در نهایت، فیلتر کالمن قادر است تا متغیرهای حالت (سرعت باد ثابت و نیز فاکتور تصحیح سنسور سرعت هوا) را تخمین بزند. سپس با توجه به معادله (۱.۲)، مولفه‌های سرعت حقیقی پرنده نسبت به جریان هوا ( $\mathbf{v}_a^B = [u_{rel} \quad v_{rel} \quad w_{rel}]^T$ ) از رابطه زیر حاصل می‌شود:

$$\mathbf{v}_a^B = \mathbf{v}_w^B - \mathbf{C}_N^B \mathbf{v}_g^N \quad (۴.۲)$$

در این صورت می‌توان زوایای حمله و لغزش جانبی را با توجه به شکل ۵.۲ از روابط زیر استخراج کرد:

$$\alpha = \tan^{-1} \left( \frac{w_{rel}}{u_{rel}} \right) \quad (۵.۲)$$

$$\beta = \sin^{-1} \left( \frac{v_{rel}}{v_a} \right) = \sin^{-1} \left( \frac{v_{rel}}{\sqrt{u_{rel}^2 + v_{rel}^2 + w_{rel}^2}} \right) \quad (۶.۲)$$

از مشکلات این روش می‌توان به ثابت در نظر گرفتن سرعت باد و ضریب تصحیح سنسور سرعت هوا اشاره کرد.

نیاز به اندازه‌گیری زوایای اویلر: به منظور محاسبه ماتریس تبدیل دستگاه مختصات بدنی به ناوبری به زوایای اویلر (رول، پیچ و یاو) نیاز است. از سنسور تعیین وضعیت و سمت به منظور تعیین زوایای اویلر استفاده می‌شود. این سنسور قادر به فراهم کردن اطلاعات زوایای رول، پیچ و یاو پرنده به منظور پیش‌بینی سرعت و جهت باد است. سنسور تعیین وضعیت و سمت از چندین حسگر نظیر حسگر میدان مغناطیسی، شتاب‌سنج خطی، ژيروسکوپ نرخی سه‌درجه‌آزادی و یک مدار الکترونیکی به منظور پردازش خروجی این حسگرها با استفاده از فیلتر کالمن تشکیل شده است. شتاب‌سنج‌ها و ژيروسکوپ‌های استفاده شده در سنسور AHRS برای محاسبه دقیق زوایای رول و پیچ کافی هستند؛ اما از حسگر میدان مغناطیسی زمین بهبود تخمین زاویه یاو استفاده می‌شود.

**خطا در خروجی حسگر GPS:** از جمله معایب استفاده از سامانه GPS در روش مثلث باد می‌توان به دقت اندازه‌گیری سرعت زمینی پرنده در حدود ۰/۱ متر بر ثانیه اشاره کرد. از این‌رو، استفاده از این سامانه به منظور پیش‌بینی سرعت و جهت باد با خطایی همراه است. به منظور افزایش دقت اندازه‌گیری سرعت زمینی در سامانه تعیین موقعیت جهانی از تکنیک سامانه GPS تفاضلی (DGPS)<sup>۲۰</sup> استفاده می‌شود. سامانه DGPS خطاهای تاخیر زمانی را محاسبه کرده و اطلاعات مربوط به تصحیح خطاها را به گیرنده متحرک ارسال می‌کند. از مشکلات سامانه تعیین موقعیت جهانی تفاضلی می‌توان به نویزی بودن سرعت زمینی پرنده اشاره کرد.

**خطای نصب حسگر لوله پیتوت:** لوله پیتوت از یک تیوب پر شده از یک سیال که سر آن<sup>۲۱</sup> در معرض جریان هوا است، مطابق با شکل ۷.۲ تشکیل شده است. سیال تیوب در حالت جریان هوای صفر دارای

<sup>20</sup> Differential Global Positioning System

<sup>21</sup> Stagnation Point

فشار برابر با فشار محیط، که فشار استاتیکی نامیده می‌شود، است. با حرکت پرنده و ایجاد جریان هوا متناسب با سرعت آن، یک فشار دینامیکی به سر لوله پیتوت اعمال می‌شود که برابر با اختلاف فشار کل با فشار استاتیکی است. در نتیجه، سرعت جریان هوا حاصله از لوله پیتوت با فرضیات کامل بودن گاز، حالت دائم دما، صفر بودن ویسکوزیته هوا و جریان آرام در امتداد خط جریان بر حسب اختلاف فشار استاتیکی و فشار کل، به صورت زیر حاصل می‌شود:

$$v_{\text{pitot}}^2 = \frac{2(P_t - P_s)}{\rho} \quad (7.2)$$



شکل ۷.۲ نمایی از لوله پیتوت [۲۳].

از جمله عوامل موثر بر عملکرد و دقت لوله پیتوت می‌توان به هندسه لوله پیتوت، هم راستابودن کامل سر تیوب با سرعت جریان هوا، اثرات ویسکوزیته سیال و عمودبودن جهت گرادیان جریان سیال بر لوله پیتوت (که باعث ثبت اشتباه فشار استاتیکی می‌شود) اشاره کرد. با توجه به نقش مهم این حسگر در پرنده، اختلال در عملکرد آن باعث پیش‌بینی نادرست جهت و سرعت باد می‌شود. به منظور رفع این مشکل، در مرجع [۲۴] علاوه بر سرعت و جهت باد، ضریب تصحیح این حسگر نیز با استفاده از روش فیلتر کالمن توسعه یافته تخمین زده شده است. به این منظور، ابتدا سرعت حقیقی پرنده با توجه به معادله (۱.۲) و شکل ۸.۲ و در نظر گرفتن دو جهت شرق و شمال به صورت زیر حاصل می‌شود:

$$v_a^2 = v_g^2 + v_w^2 - 2 v_g v_w \cos(\phi_g - \phi_w) \quad (8.2)$$

همچنین، سرعت حاصل از لوله پیتوت با در نظر گرفتن پارامتر  $k$  به منظور تصحیح جبران فرضیات بیان شده در معادله (۷.۲) و خطای نصب حسگر لوله پیتوت از رابطه زیر حاصل می‌شود:

$$v_{\text{pitot}}^2 = k \frac{2\Delta P}{\rho} \quad (9.2)$$

سپس سرعت حقیقی پرنده نسبت به هوا به صورت زیر محاسبه می‌شود:

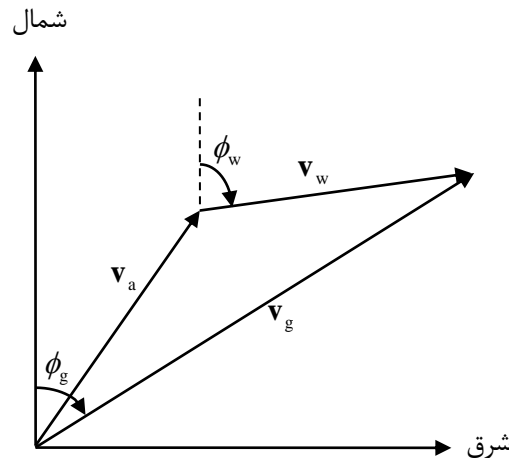
$$\mathbf{v}_a^2 = \frac{\Delta P}{\rho \cos \alpha \cos \beta / 2k} \quad (10.2)$$

سرعت حقیقی پرنده نسبت به هوا با تعریف  $sf = \frac{\rho \cos \alpha \cos \beta}{2k}$  به عنوان ضریب تصحیح حسگر

لوله پیتوت به صورت  $\mathbf{v}_a^2 = \frac{\Delta P}{sf}$  حاصل می‌شود. بنابراین، تغییرات فشار را می‌توان با جایگذاری

در رابطه (۸.۲) به صورت زیر بیان کرد:

$$\Delta P = sf [\mathbf{v}_g^2 + \mathbf{v}_w^2 - 2\mathbf{v}_g \mathbf{v}_w \cos(\phi_g - \phi_w)] \quad (11.2)$$



شکل ۸.۲ روش مثلث باد.

در این صورت، با در نظر گرفتن مولفه‌های سرعت باد، جهت باد و ضریب تصحیح به عنوان متغیرهای حالت  $(\mathbf{x} = [\mathbf{v}_w \ \phi_w \ sf]^T)$  و اختلاف فشار دینامیکی حاصل از لوله پیتوت به عنوان خروجی  $(\mathbf{y} = \Delta P)$  و همچنین، فرض وزش باد ثابت، معادلات در فضای حالت به صورت زیر حاصل می‌شود:

$$\begin{cases} \dot{\mathbf{x}} = 0 \\ \mathbf{y} = x_3 [\mathbf{v}_g^2 + x_1^2 - 2\mathbf{v}_g x_1 \cos(\phi_g - x_2)] \end{cases} \quad (12.2)$$

لازم به ذکر است که سرعت زمینی پرنده  $(\mathbf{v}_g)$  و زاویه سمت  $(\phi_g)$  توسط GPS اندازه‌گیری می‌شود. در نهایت، فیلتر کالمن توسعه‌یافته قادر است تا متغیرهای حالت (مولفه‌های سرعت و جهت باد ثابت و نیز

فاکتور تصحیح لوله پیتوت) را تخمین بزند. از محدودیت‌های این روش می‌توان به در نظر گرفتن باد ثابت، ثابت در نظر گرفتن زوایای حمله و لغزش جانبی و فرض باد افقی اشاره کرد.

**نویزی بودن خروجی سنسورها:** از جمله معایب روش مثلث باد می‌توان به نویز همراه با خروجی سنسورهای سامانه تعیین موقعیت جهانی، لوله پیتوت و سیستم تعیین وضعیت و سمت اشاره کرد. از این‌رو، محاسبه سرعت و جهت باد با خطا همراه است. به منظور رفع این مشکل، در مراجع [۲۴] و [۲۷] تخمین مولفه‌های باد با استفاده از روش فیلتر کالمن انجام شده است. به این منظور، در مرجع [۲۷] با در نظر گرفتن عبارات  $\mathbf{v}_w = [u_w \ v_w \ w_w]^T$  و  $\mathbf{v}_g = [\dot{x} \ \dot{y} \ \dot{z}]^T$  و نیز جایگذاری در معادله (۱۰.۲) عبارت زیر حاصل می‌شود:

$$\mathbf{v}_g = \mathbf{v}_a + \mathbf{v}_w \rightarrow \begin{bmatrix} \dot{x} \\ \dot{y} \\ \dot{z} \end{bmatrix} = v \begin{bmatrix} \cos \gamma \cos \chi \\ \cos \gamma \sin \chi \\ \sin \gamma \end{bmatrix} + \begin{bmatrix} w_n \\ w_e \\ w_d \end{bmatrix} \quad (۱۳.۲)$$

خروجی‌های سرعت و زاویه سمت حاصل از GPS را می‌توان بر حسب مولفه‌های سرعت باد زمینی به صورت زیر نوشت:

$$\begin{cases} v_{\text{GPS}} = \sqrt{\dot{X}^2 + \dot{Y}^2 + \dot{Z}^2} \\ \psi_{\text{GPS}} = \tan^{-1} \left( \frac{\dot{Y}}{\dot{X}} \right) \end{cases} \quad (۱۴.۲)$$

همچنین، از آنجا که زاویه مسیر پرواز<sup>۲۲</sup> در صفحه قائم توسط GPS اندازه‌گیری نمی‌شود، می‌توان آن را به صورت زیر تقریب زد:

$$\gamma_{\text{GPS}} = \sin^{-1} \left( \frac{\dot{z}}{v_{\text{GPS}}} \right) \quad (۱۵.۲)$$

سپس از ترکیب دو معادله (۱۴.۲) و (۱۵.۲)، مولفه‌های سرعت باد زمینی به صورت زیر حاصل می‌شود:

<sup>22</sup> Flight Path Angle

علیرضا شریفی، "توسعه و پیاده‌سازی فیلترهای چندمدلی در فرود خودکار پرنده بدون سرنشین جهت شناسایی برخط و جبران‌سازی اغتشاشات اتمسفری"، رساله دکتری، استاد راهنما: دکتر هادی نوبهاری، دانشگاه صنعتی شریف، دانشکده مهندسی هوافضا، تابستان ۱۳۹۹

$$\begin{bmatrix} \dot{x} \\ \dot{y} \\ \dot{z} \end{bmatrix} = v_{GPS} \begin{bmatrix} \cos \gamma_{GPS} \cos \psi_{GPS} \\ \cos \gamma_{GPS} \sin \psi_{GPS} \\ \sin \gamma_{GPS} \end{bmatrix} \quad (۱۶.۲)$$

در این صورت، با در نظر گرفتن مولفه‌های سرعت باد به‌عنوان متغیرهای حالت  $(\mathbf{x} = \mathbf{v}_w = [w_n \ w_e \ w_d]^T)$  و مولفه‌های سرعت GPS به‌عنوان خروجی  $(\mathbf{z} = [\dot{x} \ \dot{y} \ \dot{z}]^T)$  و همچنین، فرض وزش باد ثابت، معادلات در فضای حالت با توجه به روابط (۱۳.۲) و (۱۵.۲) به‌صورت زیر حاصل می‌شود:

$$\begin{cases} \dot{\mathbf{x}} = 0 \\ \mathbf{z} = \mathbf{x} + \mathbf{u} \end{cases} \quad (۱۷.۲)$$

در رابطه فوق، بردار ورودی از عبارت  $\mathbf{u} = v \begin{bmatrix} \cos \gamma \cos \chi \\ \cos \gamma \sin \chi \\ \sin \gamma \end{bmatrix}$  حاصل می‌شود. در این رابطه سرعت  $(v)$

توسط لوله پیتوت و زوایای مسیر پرواز در صفحه قائم و افقی ( $\chi$  و  $\gamma$ ) با استفاده از INS اندازه‌گیری می‌شود. همچنین، لازم به‌ذکر است که در عمل خروجی سنسور  $(\mathbf{z})$  از رابطه (۱۵.۲) حاصل می‌شود. در نهایت، فیلتر کالمن قادر است تا متغیرهای حالت (مولفه‌های سرعت باد ثابت) را تخمین بزند. از محدودیت‌های این روش می‌توان به در نظر گرفتن باد ثابت و تقریب زاویه مسیر پرواز سامانه GPS اشاره کرد.

#### ۲.۲.۱.۲ تخمین باد بر مبنای مدل دینامیکی پرنده

معادلات حرکت پرنده شامل نحوه تغییرات زمانی متغیرهای حالت، ورودی‌های کنترل و مولفه‌های باد هستند. در این صورت، می‌توان بردار شتاب باد را با اندازه‌گیری خروجی‌های پرنده و نیز پیش‌بینی حرکت پرنده با استفاده از مدل دینامیکی آن محاسبه کرد. این روش بیانگر محاسبه مولفه‌های سرعت باد مبتنی بر خروجی‌های پرنده است. در مرجع [۲۲]، معادلات انتقالی حرکت پرنده با فرض قرارگیری یک IMU<sup>۲۳</sup> در مرکز جرم پرنده به‌صورت زیر در نظر گرفته شده‌است:

<sup>23</sup> Inertial Measurement Unit

علیرضا شریفی، "توسعه و پیاده‌سازی فیلترهای چندمدلی در فرود خودکار پرنده بدون سرنشین جهت شناسایی برخط و جبران‌سازی اغتشاشات اتمسفری"، رساله دکتری، استاد راهنما: دکتر هادی نوبهاری، دانشگاه صنعتی شریف، دانشکده مهندسی هوافضا، تابستان ۱۳۹۹

$$\begin{bmatrix} a_x \\ a_y \\ a_z \end{bmatrix} = \begin{bmatrix} \dot{u} + \dot{w}_x + qw - rv + g \sin \theta \\ \dot{v} + \dot{w}_y + ru - pw - g \sin \phi \cos \theta \\ \dot{w} + \dot{w}_z + pv - qu - g \cos \theta \cos \phi \end{bmatrix} \quad (18.2)$$

در روابط فوق،  $[a_x \ a_y \ a_z]^T$  بیانگر مولفه‌های شتاب در سیستم مختصات بدنی است. مولفه‌های شتاب در سیستم مختصات بدنی با فرض قرارگیری IMU در مرکز جرم پرنده معلوم است. در این صورت، بردار شتاب باد به صورت زیر حاصل می‌شود:

$$\begin{bmatrix} \dot{w}_x \\ \dot{w}_y \\ \dot{w}_z \end{bmatrix} = \begin{bmatrix} a_x \\ a_y \\ a_z \end{bmatrix} - \begin{bmatrix} \dot{u} + qw - rv + g \sin \theta \\ \dot{v} + ru - pw - g \sin \phi \cos \theta \\ \dot{w} + pv - qu - g \cos \theta \cos \phi \end{bmatrix} \quad (19.2)$$

در نهایت، مولفه‌های سرعت باد با انتگرال‌گیری از بردار شتاب باد حاصل می‌شود. از جمله مشکلات این روش می‌توان به خطا در خروجی حسگر GPS، نویزی بودن و عدم دقت در خروجی‌های سنسور، وابستگی به مدل دینامیکی دقیق پرنده و وابستگی مدل دینامیکی پرنده به گرادیان باد اشاره کرد. این مشکلات باعث عدم دقت در پیش‌بینی سرعت و جهت باد می‌شود.

### ۳.۲.۱.۲ مقایسه روش‌های تخمین اغتشاشات اتمسفری

مقایسه بین مزایا و معایب انواع روش‌های تخمین در جدول ۱.۲ ارائه شده است.

#### جدول ۱.۲ مزایا و معایب انواع روش‌های تخمین

سیستم ناوبری	مزایا	معایب
		هزینه زیاد
		ضرورت اندازه‌گیری زوایای حمله و لغزش
		نیاز به اندازه‌گیری زوایای اویلر
روش مثلث باد	سادگی	خطا در خروجی حسگر GPS
		خطای نصب لوله پیتوت
		نویزی بودن خروجی‌های سنسور
		ضرورت تخمین متغیرهای حالت پرنده



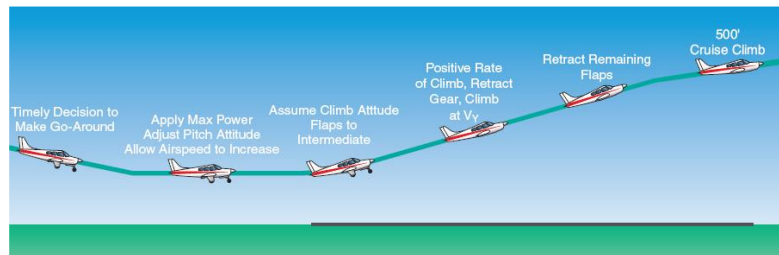
سیستم ناوبری	مزایا	معایب
تخمین باد بر مبنای مدل دینامیکی پرنده	هزینه کم سادگی	خطا در خروجی حسگر GPS نویزی بودن خروجی‌های سنسور عدم دقت در خروجی‌های سنسور وابستگی به مدل دینامیکی دقیق پرنده وابستگی مدل دینامیکی پرنده به گرادیان باد

### ۳.۱.۲ اثرات آیرودینامیکی اغتشاشات اتمسفری

یکی از موضوعات پژوهشی در زمینه تاثیر اغتشاشات اتمسفری در فرآیند فرود، بررسی نحوه تغییرات زمانی و مکانی مولفه‌های باد بر معادلات حرکت پرنده است. در این صورت، می‌توان با شبیه‌سازی اغتشاشات اتمسفری، معادلات حرکت را تصحیح کرد. همچنین، می‌توان عملکرد پرنده را در حضور اغتشاشات اتمسفری بررسی کرد. به‌عنوان نمونه، اغتشاشات فرکانس بالا نقش مهمی در تحریک سازه ایفا کرده و باعث پدیده مخرب فلاتر می‌شود. لذا، از دیدگاه کنترلی اغتشاشات فرکانس بالا باید به‌خوبی حذف شوند. از جمله مهم‌ترین پژوهش‌هایی که در زمینه اثرات آیرودینامیکی اغتشاشات اتمسفری بر معادلات حرکت پرنده انجام شده‌است، می‌توان به [۲۸] و [۲۹] اشاره کرد.

### ۴.۱.۲ اصلاح مسیر پروازی در حضور اغتشاشات اتمسفری

به‌منظور طراحی مسیر پروازی در حضور اغتشاشات اتمسفری پرنده‌های بدون سرنشین بال ثابت دو رویکرد وجود دارد. در رویکرد اول، پرنده مسیر بهینه را به‌منظور اجتناب از اغتشاشات اتمسفری انتخاب می‌کند. در این صورت، مسیر پروازی به‌گونه‌ای تعیین می‌شود که با ارضای قیود حاکم بر مسئله، شاخص عملکرد بهینه شود. به‌عنوان مثال، هنگامی که پرنده در فرآیند فرود با مایکروبرست مواجه می‌شود؛ با قرارگیری در بیشینه تراست و در نتیجه افزایش ارتفاع، فرآیند فرود را لغو کرده و یک مسیر پروازی بهینه را تعقیب می‌کند. نمونه‌ای از اجتناب از اغتشاشات اتمسفری در فرآیند فرود در شکل ۹.۲ نشان داده شده‌است.



شکل ۹.۲ اجتناب از اغتشاشات اتمسفری در فرآیند فرود.

هدف از رویکرد دوم، تعقیب مسیر نامی فرود توسط کنترل‌کننده در حضور اغتشاشات اتمسفری است. لذا پژوهش‌های انجام‌شده در این حوزه به دو دسته جبران‌سازی اغتشاشات اتمسفری در حلقه هدایت و عدم جبران اغتشاشات اتمسفری در حلقه هدایت طبقه‌بندی می‌شود. از آنجا که هدف از این رساله، جبران‌سازی اغتشاشات اتمسفری در حلقه هدایت است. لذا در ادامه تاثیر جبران‌سازی اغتشاشات اتمسفری در حلقه هدایت بیان می‌شود.

اغتشاشات اتمسفری باعث انحراف پرنده از مسیر مطلوب در فرآیند فرود می‌شود. به‌عنوان نمونه، پرنده در فرآیند فرود تحت وزش باد جانبی از باند فرود منحرف می‌شود. از این‌رو، مطلع‌بودن پرنده از سرعت باد و جبران آن در حلقه هدایت سبب جلوگیری از انحراف پرنده از مسیر مطلوب می‌شود. در مرجع [۳۰] یک کنترل‌کننده سری<sup>۲۴</sup> به‌منظور تعقیب ارتفاع مطلوب و نرخ آن در فرآیند فرود خودکار یک پرنده بدون سرنشین در مراحل سرش و چرخش طراحی شده‌است. سرعت‌های باد با استفاده از مدل درآیدن در مدل شبیه‌سازی پرنده ایجاد شده و در حلقه هدایت جبران می‌شود. جبران سرعت باد در حلقه هدایت سبب تصحیح سرعت حقیقی پرنده و در نتیجه عدم انحراف پرنده از مسیر مطلوب در فرآیند فرود می‌شود.

### ۵.۱.۲ جبران‌سازی اغتشاشات اتمسفری در کنترل‌کننده

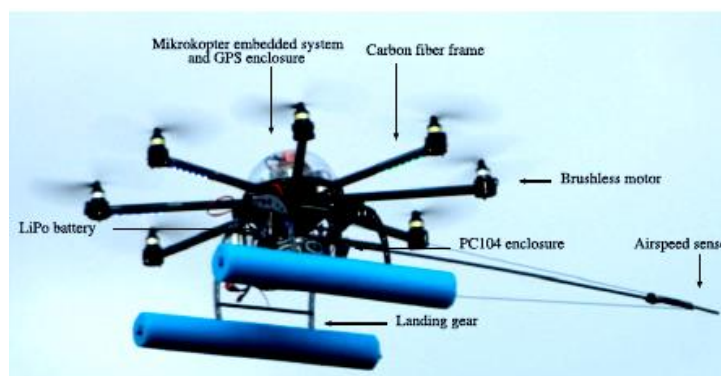
کنترل‌کننده‌های استفاده‌شده در حضور اغتشاشات اتمسفری به دو دسته طبقه‌بندی می‌شوند. در دسته اول، اغتشاشات اتمسفری مدل‌سازی شده و عملکرد کنترل‌کننده در حضور آن‌ها ارزیابی می‌شوند. در این حالت، مقاوم‌بودن کنترل‌کننده نسبت به اغتشاشات اتمسفری بررسی می‌شود. در دسته دوم، اغتشاشات اتمسفری در زمان حقیقی تخمین‌زده شده و در کنترل‌کننده جبران می‌شوند. از آنجا که هدف از این

<sup>24</sup> Cascade

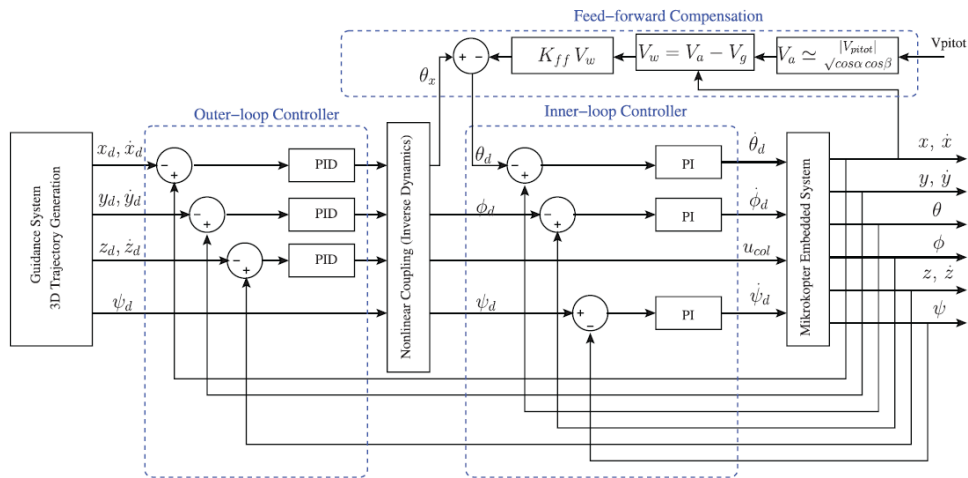
رساله، جبران‌سازی اغتشاشات اتمسفری در حلقه کنترل نیز هست. لذا در ادامه تاثیر جبران‌سازی اغتشاشات اتمسفری در کنترل‌کننده بیان می‌شود.

هر کنترل‌کننده‌ای، در مرحله طراحی نیاز به مدلی از سیستم دینامیکی دارد. بر خلاف بسیاری از انواع کنترل‌کننده‌ها که بعد از انجام طراحی، مدل سیستم کنار گذاشته می‌شود؛ در کنترل‌کننده‌های مبتنی بر مدل، این مدل در درون کنترل‌کننده به‌منظور بهبود عملکرد این دسته از کنترل‌کننده‌ها و حذف اغتشاش استفاده می‌شود. هر چه اطلاعات مدل ریاضی سیستم دقیق‌تر باشد، عملکرد کنترل‌کننده‌های مبتنی بر مدل بهتر خواهد بود. از این‌رو، جبران‌سازی اغتشاشات اتمسفری در کنترل‌کننده‌های مبتنی بر مدل سبب بهبود عملکرد این دسته از کنترل‌کننده‌ها می‌شود.

در مرجع [۳۱] سرعت باد در زمان حقیقی با استفاده از روش مثلث تخمین‌زده شده و در حلقه کنترل برای یک چهارپره مطابق با شکل ۱۱.۲ جبران‌سازی شده‌است. در این چهارپره از سنسورهای لوله پیتوت و سامانه موقعیت‌یاب جهانی به‌ترتیب برای اندازه‌گیری سرعت حقیقی هوا و سرعت زمینی به‌منظور شناسایی سرعت و جهت باد استفاده می‌شود. از آنجا که تنها لوله پیتوت در جهت محور X سیستم مختصات بدنی نصب شده‌است؛ لذا سرعت باد در این جهت شناسایی شده و تنها در حلقه پیچ کنترل‌کننده فیدفوروارد جبران می‌شود. شماتیک جبران سرعت باد در حلقه پیچ کنترل‌کننده فیدفوروارد برای چهارپره در شکل ۱۱.۲ نشان داده شده‌است. لازم به ذکر است که به‌منظور شناسایی سرعت فرض شده‌است که زوایای حمله و لغزش جانبی ناچیز هستند.



شکل ۱۰.۲ اجتناب از اغتشاشات اتمسفری در فرآیند فرود [۳۱].



شکل ۱۱.۲ جبران سرعت باد در کانال پیچ کنترل کننده فیدفوروارد برای چهارپره [۳۱].

## ۲.۲ مشاهده پذیری در حضور ورودی‌های نامعلوم

در مسائل مهندسی، انواع مختلفی از کنترل کننده‌ها به منظور ردگیری مقدار مطلوب در حضور ورودی‌های نامعلوم همچون اغتشاشات اتمسفری استفاده می‌شوند. این کنترل کننده‌ها به منظور تولید سیگنال‌های کنترلی دقیق ممکن است نیاز به تمام متغیرهای حالت و نیز اطلاعات ورودی‌های نامعلوم داشته باشند. در عمل، بعضی از متغیرهای حالت اندازه‌گیری نمی‌شوند و نیز ورودی‌های نامعلوم قابل اندازه‌گیری نیستند. بنابراین، مطالعه امکان‌پذیری تخمین متغیرهای حالت سیستم و ورودی‌های نامعلوم با استفاده از اندازه‌گیری ضروری است [۳۲]، که این فرآیند تحلیل مشاهده‌پذیری نامیده می‌شود.

تحقیقات انجام‌شده در تحلیل مشاهده‌پذیری سیستم‌های دینامیکی به مشاهده‌پذیری متغیرهای حالت<sup>۲۵</sup> [۳۲]، مشاهده‌پذیری قوی<sup>۲۶</sup> [۳۳]، مشاهده‌پذیری ورودی‌های نامعلوم<sup>۲۷</sup> [۳۴] و مشاهده‌پذیری توامان متغیرهای حالت و ورودی‌های نامعلوم<sup>۲۸</sup> طبقه‌بندی می‌شود. مشاهده‌پذیری متغیرهای حالت صرفاً به منظور بازیابی متغیرهای حالت بر مبنای اندازه‌گیری‌ها در حضور ورودی‌های معلوم تعریف می‌شود. از

<sup>25</sup> State Observability

<sup>26</sup> Strong Observability

<sup>27</sup> Unknown Input Observability

<sup>28</sup> Simultaneous State and Unknown Input Observability

این رو، مشاهده‌پذیری متغیرهای حالت نقش مهمی را در تخمین متغیرهای حالت یک سیستم ایفا می‌کند.

تحلیل مشاهده‌پذیری متغیرهای حالت یک سیستم به ویژگی‌های مدل دینامیکی آن سیستم وابسته است. بنابراین، مشاهده‌پذیری متغیرهای حالت برای گروه‌های وسیعی از سیستم‌های دینامیکی هم‌چون سیستم‌های دینامیکی همراه با تاخیر زمانی<sup>۲۹</sup> [۳۵]، سیستم‌های منفرد<sup>۳۰</sup> [۳۶]، سیستم‌های پرش مارکوف<sup>۳۱</sup> [۳۷]، سیستم‌های پربودیک<sup>۳۲</sup> [۳۸]، سیستم‌های خطی نمونه‌برداری‌شده<sup>۳۳</sup> [۳۹]، سیستم‌های دینامیکی غیرخطی هموار<sup>۳۴</sup> [۴۰]-[۴۱] و ناهموار<sup>۳۵</sup> [۴۲] و نیز سیستم‌های غیرخطی کنترل‌نشده<sup>۳۶</sup> [۴۳] توسعه داده شده‌است. همچنین، تحلیل مشاهده‌پذیری متغیر حالت برای سیستم‌های خطی [۳۲] توسط یک شرط لازم و کافی بر مبنای رنک ماتریس مشاهده‌پذیری انجام می‌شود. در مقابل، به‌منظور تحلیل مشاهده‌پذیری متغیرهای حالت برای سیستم‌های غیرخطی تنها از یک شرط کافی بر مبنای مشتقات لی متوالی خروجی‌های سیستم استفاده می‌شود [۴۴]-[۴۵].

در مشاهده‌پذیری متغیرهای حالت، ورودی‌های سیستم معلوم فرض می‌شوند. با این وجود، ممکن است سیستم‌هایی متشکل از یک یا چند ورودی نامعلوم وجود داشته باشند. در چنین سیستم‌هایی ورودی‌های نامعلوم می‌تواند دینامیک سیستم و در نتیجه شرط مشاهده‌پذیری متغیرهای حالت را تحت تاثیر قرار دهد. به مفهوم مشاهده‌پذیری متغیرهای حالت در حضور ورودی‌های نامعلوم، مشاهده‌پذیری

<sup>29</sup> Time-delay Systems

<sup>30</sup> singular systems

<sup>31</sup> Markov jump systems

<sup>32</sup> Periodic Systems

<sup>33</sup> Sampled Systems

<sup>34</sup> Smooth Nonlinear Dynamic Systems

<sup>35</sup> Non-smooth Nonlinear Systems

<sup>36</sup> Uncontrolled Nonlinear systems

قوی [۳۳] گفته می‌شود. این مفهوم، در تحلیل مشاهده‌پذیری متغیرهای حالت در حضور ورودی‌های نامعلوم مانند خطای عملگر [۴۶]، میدان باد و اغتشاشات خارجی [۴۷] دارای اهمیت است.

تحلیل مشاهده‌پذیری قوی برای سیستم‌های خطی بر مبنای ارتباط بین ماتریس‌های مشاهده‌پذیری و معکوس‌پذیری حاصل می‌شود [۴۸]-[۴۹]. از این‌رو، شرط مشاهده‌پذیری قوی ارتباط بین متغیرهای حالت، خروجی‌های سیستم و ورودی‌های نامعلوم را بررسی می‌کند. همچنین، در مراجع [۵۰]-[۵۱] یک الگوریتم بازگشتی به‌منظور تحلیل مشاهده‌پذیری متغیرهای حالت در حضور یک ورودی نامعلوم ارائه شده‌است.

برخلاف مشاهده‌پذیری متغیرهای حالت و مشاهده‌پذیری قوی، مفهوم مشاهده‌پذیری ورودی‌های نامعلوم به بازیابی ورودی‌های نامعلوم با استفاده از اندازه‌گیری‌های سیستم می‌پردازد. از این‌رو، این مفهوم در بسیاری از مسائل کاربردی هم‌چون تشخیص خطا [۵۲]-[۵۳] و تخمین ورودی‌های نامعلوم در مساله کنترل موتور اتومبیل [۵۴] بکار برده می‌شود. در مرجع [۵۵]، یک الگوریتم بازگشتی به‌منظور تحلیل مشاهده‌پذیری ورودی نامعلوم برای یک سیستم غیرخطی ارائه شده‌است.

در نهایت، مفهوم مشاهده‌پذیری توامان متغیرهای حالت و ورودی‌های نامعلوم به مطالعه امکان‌پذیری تخمین توامان متغیرهای حالت سیستم و ورودی‌های نامعلوم با استفاده از ماتریس اندازه‌گیری‌های سیستم می‌پردازد. این مفهوم در بسیاری از سناریوهای واقعی هم‌چون کنترل سیستم‌های رباتیک [۵۶]، کنترل سیستم‌های الکتریکی [۵۷]، تخمین جمعیت [۵۸]، شناسایی خطا و تخمین متغیرهای حالت [۵۹] کاربرد دارد.

## ۳.۲ فیلترهای چندمدلی

در بسیاری از کاربردهای مهندسی، تغییرات دینامیک یک سیستم وابسته به یک مدل از بین مجموعه‌ای از مدل‌ها است. هر مدل توسط یک رابطه ریاضی بیان می‌شود. همچنین، پارامترهای یک مدل هم‌چون نویز فرآیند، تعداد ورودی‌ها و نیز ابعاد متغیرهای حالت می‌تواند متفاوت از دیگر مدل‌ها باشد. بنابراین، نیاز به یافتن مدل صحیح از بین مجموعه‌ای از مدل‌ها، پارامترهای مدل و نیز متغیرهای حالت سیستم با استفاده از خروجی‌های نویزی یک سیستم است. به این‌منظور، مجموعه‌ای از فیلترها، که هر کدام با یک مدل منطبق شده‌است، به‌صورت موازی اجرا می‌شود. در گام بعد، پس از محاسبه احتمال هر فیلتر، مدل

نهایی و متغیرهای حالت بر مبنای میانگین وزن دار نتایج هر فیلتر محاسبه می‌شود. این ساختار، فیلتر چندمدلی (MMF)<sup>۳۷</sup> [۶۰] نامیده می‌شود.

در فیلترهای چندمدلی تابع توزیع احتمال با مجموع وزن دار چند تابع توزیع احتمال با چگالی گوسی تقریب زده می‌شود. از این رو، فیلترهای چندمدلی را فیلترهای مجموع گوسی (GSF)<sup>۳۸</sup> نیز می‌نامند [۶۱]. بنابراین، در صورتیکه مدل دینامیکی سیستم یکتا نباشد و/یا در حین فرآیند تغییر کند، از فیلترهای چندمدلی به منظور تشخیص نوع مدل استفاده می‌شود. در فیلترهای چندمدلی فرض می‌شود سیستم دینامیکی از تعداد محدودی مدل تشکیل شده است. فیلترهای چندمدلی را می‌توان به دو دسته فیلتر چندمدلی استاتیکی (SMM)<sup>۳۹</sup> [۶۲] و فیلترهای چندمدلی دینامیکی (DMM)<sup>۴۰</sup> طبقه‌بندی کرد [۶۳].

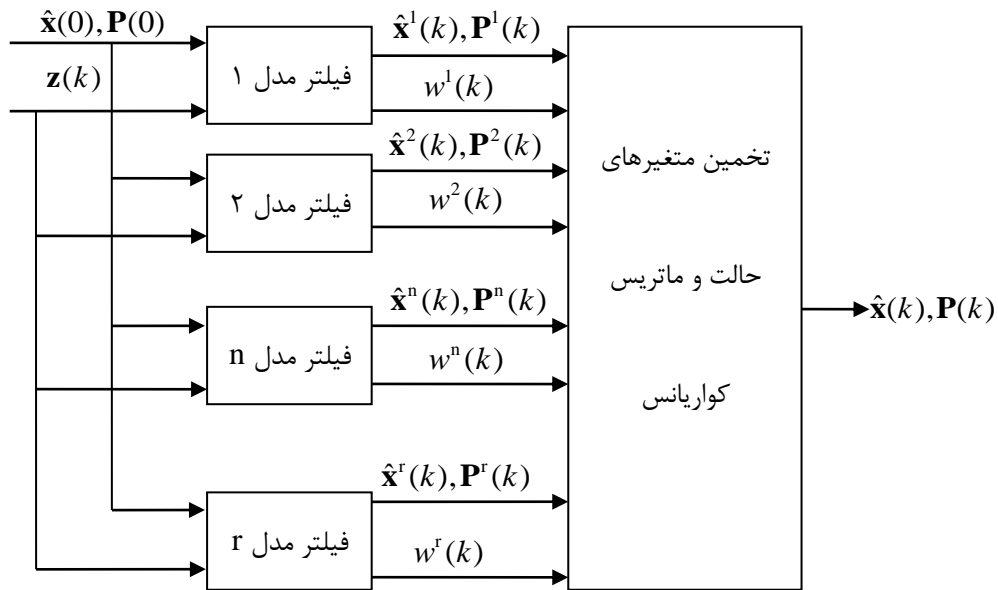
فیلتر چندمدلی استاتیکی به دنبال یافتن مدل صحیح از بین مجموعه‌ای از مدل‌هاست که رفتار آن منطبق بر دینامیک سیستم باشد. در این دسته از فیلترها فرض می‌شود که تعداد مدل‌ها ثابت و هر مدل دارای دینامیک مربوط به خودش است. همچنین، در این فیلترها، هیچ تغییری از یک مدل به مدل دیگر وجود ندارد. فیلترهای چندمدلی استاتیکی شامل مجموعه‌ای از فیلترها است که هر کدام با یک مدل منطبق شده و به صورت جداگانه کار می‌کنند. سپس، هر فیلتر علاوه بر محاسبه تخمین متغیرهای حالت و ماتریس کواریانس، ضریب وزنی را بر مبنای اختلاف خروجی تخمین زده شده با خروجی اندازه‌گیری نیز محاسبه می‌کند. در نهایت، خروجی فیلتر چندمدلی استاتیکی یک ترکیب گوسی است که از میانگین وزن دار تخمین متغیرهای حالت و ماتریس کواریانس هر فیلتر حاصل می‌شود. اثبات می‌شود که احتمال همگرایی مدل تخمین زده شده توسط فیلتر چندمدلی استاتیک به مدل واقعی یک است. شماتیک نحوه عملکرد فیلترهای چندمدلی استاتیک در شکل ۱۲.۲ نشان داده شده است.

<sup>37</sup> Multiple Model Filter

<sup>38</sup> Gaussian Sum Filter

<sup>39</sup> Static Multiple Model

<sup>40</sup> Dynamic Multiple Model



شکل ۱۲.۲ شماتیک نحوه عملکرد فیلترهای چندمدلی استاتیک.

در صورت تغییر یک مدل به مدل دیگر در طول زمان نمی‌توان از فیلتر چندمدلی استاتیکی به‌دلیل افزایش خطای ناشی از عدم تطبیق مدل با مدل واقعی استفاده کرد. در این حالت از فیلترهای چندمدلی دینامیکی استفاده می‌شود [۶۳]. فیلترهای چندمدلی دینامیکی با استفاده از قانون احتمالات می‌توانند احتمال تغییر یک مدل به مدل دیگر را در نظر بگیرند. در این روش، به‌منظور جلوگیری از افزایش حجم محاسبات، احتمال تغییر یک مدل به مدل دیگر مستقل از زمان در نظر گرفته می‌شود. فیلترهای دینامیکی را می‌توان به فیلترهای شبه‌بیزین تعمیم‌یافته مرتبه اول (GPB1) <sup>۴۱</sup> [۶۲]، شبه‌بیزین تعمیم‌یافته مرتبه دوم (GPB2) <sup>۴۲</sup> [۶۲] و فیلتر تعاملی چندمدلی (IMM) <sup>۴۳</sup> [۶۴] تقسیم‌بندی کرد. در روش فیلتر شبه‌بیزین تعمیم‌یافته مرتبه اول (GPB1)، متناظر با هر مدل یک فیلتر وجود دارد. هر فیلتر علاوه بر محاسبه تخمین متغیرهای حالت و ماتریس کواریانس، ضریب وزنی را بر مبنای اختلاف خروجی تخمین‌زده شده با خروجی اندازه‌گیری نیز محاسبه می‌کند. سپس، مقادیر اولیه هر فیلتر با استفاده از نتیجه تخمین در هر گام نمونه‌برداری به‌روزرسانی می‌شود. در نهایت، خروجی فیلتر

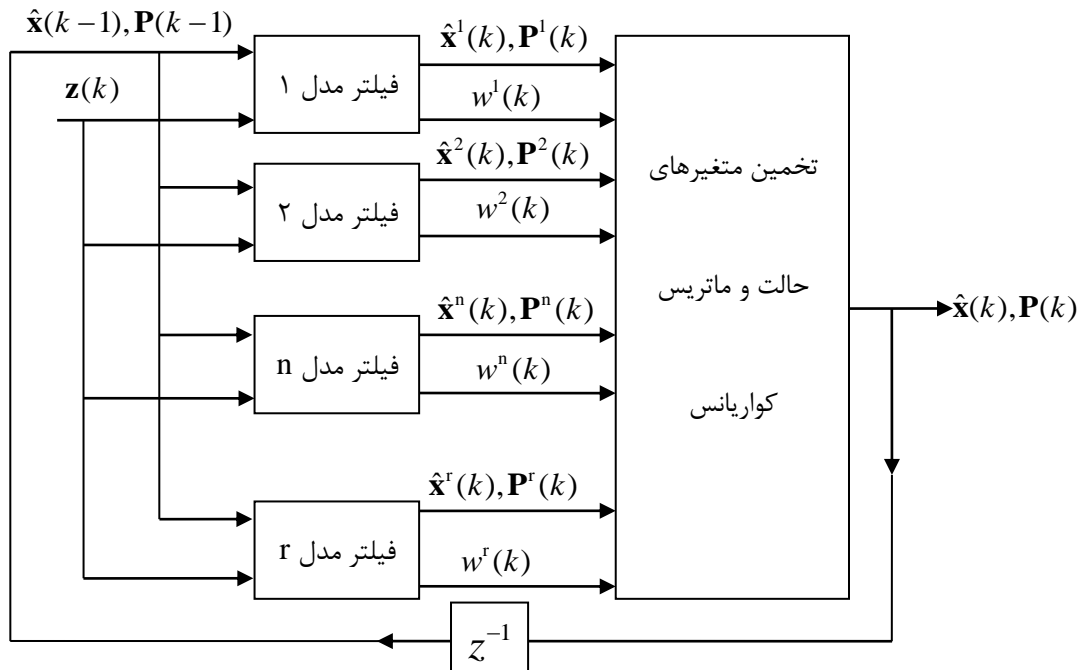
<sup>41</sup>First Order Generalized Pseudo-Baysian Approach

<sup>42</sup> Second Order Generalized Pseudo-Baysian Approach

<sup>43</sup> Interacting Multiple Model



شبه‌بیزین تعمیم‌یافته مرتبه اول از میانگین وزن‌دار تخمین متغیرهای حالت و ماتریس کواریانس به‌ازای هر فیلتر حاصل می‌شود. شماتیک نحوه عملکرد فیلترهای شبه‌بیزین تعمیم‌یافته مرتبه اول در شکل ۱۳.۲ نشان داده شده‌است.



شکل ۱۳.۲ شماتیک نحوه عملکرد فیلترهای شبه‌بیزین تعمیم‌یافته مرتبه اول.

در روش فیلتر شبه‌بیزین تعمیم‌یافته مرتبه دوم (GPB2)، تعداد فیلترها به اندازه مربع تعداد مدل‌ها است. در این صورت، هر فیلتر علاوه بر محاسبه تخمین متغیرهای حالت و ماتریس کواریانس، ضریب وزنی را بر مبنای اختلاف خروجی تخمین‌زده شده با خروجی اندازه‌گیری نیز محاسبه می‌کند. سپس، نتایج هر یک از فیلترهای مرتبط با هر مدل با یکدیگر ادغام می‌شود. در این صورت، تعداد تخمین‌ها با تعداد مدل‌ها برابر می‌شود. در گام بعد، از نتیجه این بخش به‌عنوان شرط ابتدایی برای هر فیلتر در هر گام نمونه‌برداری استفاده می‌شود. در نهایت، خروجی فیلتر شبه‌بیزین تعمیم‌یافته مرتبه دوم از میانگین وزن‌دار تخمین متغیرهای حالت و ماتریس کواریانس به‌ازای هر فیلتر حاصل می‌شود. شماتیک نحوه عملکرد فیلترهای شبه‌بیزین تعمیم‌یافته مرتبه دوم در شکل ۱۴.۲ نشان داده شده‌است.

فیلترهای تعاملی چندمدلی (IMM) مشابه با فیلترهای شبه‌بیزین تعمیم‌یافته مرتبه دوم است؛ اما، در این دسته از فیلترها، تعامل در ابتدای چرخه انجام می‌شود. در فیلتر تعاملی چندمدلی، تعداد فیلتر به

تعداد مدل مورد نیاز است. از این‌رو، هر فیلتر علاوه بر محاسبه تخمین متغیرهای حالت و ماتریس کواریانس، ضریب وزنی را بر مبنای اختلاف خروجی تخمین‌زده‌شده با خروجی اندازه‌گیری‌شده نیز محاسبه می‌کند. در نهایت، خروجی فیلترهای تعاملی چندمدلی از میانگین وزن‌دار تخمین متغیرهای حالت و ماتریس کواریانس به‌ازای هر فیلتر حاصل می‌شود. لازم به‌ذکر است که در هر گام نمونه‌برداری شرایط اولیه هر فیلتر از تعامل بین نتیجه تخمین با مقدار احتمال به‌روزرسانی‌شده حاصل می‌شود. شماتیک نحوه عملکرد فیلترهای تعاملی چندمدلی در شکل ۱۵.۲ نشان داده شده‌است.

از جنبه دیگر، فیلترهای چندمدلی به دو دسته فیلترهای چندمدلی خطی<sup>۴۴</sup> و فیلترهای چندمدلی غیرخطی<sup>۴۵</sup> تقسیم‌بندی می‌شوند. در یک فیلتر چندمدلی خطی مانند فیلتر کالمن چندمدلی (MMKF)<sup>۴۶</sup> [۶۵]، برای هر فیلتر منطبق با هر مدل، از فیلتر کالمن (KF)<sup>۴۷</sup> [۶۶] استفاده شده و در نتیجه تابع توزیع احتمال پسین برای هر فیلتر به‌صورت گوسی فرض می‌شود. در مقابل، هنگامی که مدل‌ها غیرخطی هستند؛ یک فیلتر چندمدلی غیرخطی همچون فیلتر کالمن توسعه‌یافته چندمدلی (MMEKF)<sup>۴۸</sup> [۶۷] و فیلتر کالمن Unscented چندمدلی (MMUKF)<sup>۴۹</sup> [۶۸] به‌منظور تخمین مدل واقعی و نیز متغیرهای حالت یک سیستم غیرخطی استفاده می‌شود.

فیلترهای چندمدلی مبتنی بر تقریب تحلیلی (MMAF)<sup>۵۰</sup> و فیلترهای چندمدلی مبتنی بر نمونه‌برداری (MMSBF)<sup>۵۱</sup> از بارزترین فیلترهای چندمدلی غیرخطی به‌شمار می‌روند. در فیلترهای چندمدلی مبتنی بر تقریب تحلیلی، ابتدا مدل‌های غیرخطی خطی‌سازی شده و سپس از فیلتر خطی

<sup>44</sup> Linear Multiple Model Filter

<sup>45</sup> Nonlinear Multiple Model Filter

<sup>46</sup> Multiple Model Kalman Filter

<sup>47</sup> Kalman Filter

<sup>48</sup> Multiple Model Extended Kalman Filter

<sup>49</sup> Multiple Model Unscented Kalman Filter

<sup>50</sup> Multiple Model Analytical Approximation Filter

<sup>51</sup> Multiple Model Sample Based Filter

هم‌چون فیلتر کالمن برای هر فیلتر منطبق با مدل استفاده می‌شود. فیلتر چندمدلی کالمن توسعه‌یافته (MMEKF) [۶۷] مثالی از این نوع فیلترها است.

فیلتر چندمدلی کالمن Unscented (MMUKF) [۶۸] جزو خانواده فیلترهای چندمدلی مبتنی بر نمونه‌برداری محسوب می‌شود. این روش از مجموعه‌ای از ذرات معین به‌منظور تقریب تابع توزیع احتمال پسین و از یک رگرسیون خطی مانند فیلتر کالمن برای هر فیلتر منطبق با هر مدل استفاده می‌کند. با این وجود، فیلترهای چندمدلی MMEKF و MMUKF توانایی تشخیص مدل واقعی و تخمین متغیرهای حالت یک سیستم غیرخطی را در حضور نویز غیرگوسی ندارند [۶۹].

به‌منظور حل این مشکل، در گروهی از فیلترهای چندمدلی مبتنی بر نمونه‌برداری (MMSBF) از الگوریتم‌های ابتکاری استفاده شده‌است. این دسته از فیلترهای چندمدلی، فیلترهای چندمدلی ابتکاری (MMHF)<sup>۵۲</sup> نامیده می‌شوند. فیلتر ذرات چندمدلی (MMPF)<sup>۵۳</sup> [۷۰] نمونه‌ای از فیلترهای چندمدلی ابتکاری است. فیلتر ذرات چندمدلی برخلاف MMUKF شامل مجموعه‌ای از ذرات تصادفی به‌منظور بیان تابع توزیع احتمال پسین [۷۱] است و نیز از فرآیند باز نمونه‌برداری<sup>۵۴</sup> به‌منظور جلوگیری از واگرایی ذرات برای هر فیلتر منطبق با مدل استفاده می‌کند. با استفاده از فرآیند باز نمونه‌برداری شانس انتخاب ذرات با اهمیت افزایش یافته و از تنوع بیش‌ازحد ذرات جلوگیری می‌شود. فیلتر ذرات سیستم پرش مارکوف (JMS-PF)<sup>۵۵</sup> [۷۲]-[۷۳]، فیلتر ذرات چندمدلی کمکی (AUX-PF)<sup>۵۶</sup> [۷۴] و فیلتر ذرات چندمدلی تعاملی (IMMPF)<sup>۵۷</sup> [۷۵] از معروف‌ترین الگوریتم‌های فیلتر ذرات چندمدلی هستند.

در روش فیلتر ذرات سیستم پرش مارکوف، هر کدام از ذرات یک مدل را به خود اختصاص می‌دهد. به‌عبارت دیگر، مدل‌ها به تعداد ذرات تکرار می‌شوند. سپس این ذرات با استفاده از مدل دینامیکی

<sup>52</sup> Multiple Model Heuristic Filter

<sup>53</sup> Multiple Model Particle Filter

<sup>54</sup> Resampling

<sup>55</sup> Jump Markov System Particle Filter

<sup>56</sup> Auxiliary Multiple Model Particle Filter

<sup>57</sup> Interacting Multiple Model Particle Filter

سیستم در مرحله نمونه‌برداری انتشار می‌یابند. در مرحله بعد، مشابه با الگوریتم فیلتر ذرات، پس از محاسبه وزن هر یک از این ذرات و نرمالیزه کردن آن‌ها با استفاده از یک الگوریتم بازنمونه‌برداری، ذرات با وزن بالاتر انتخاب می‌شوند. در انتها، متغیر حالت و نوع مدل با استفاده از میانگین‌گیری وزنی از ذرات حاصل از الگوریتم بازنمونه‌برداری تخمین‌زده می‌شود.

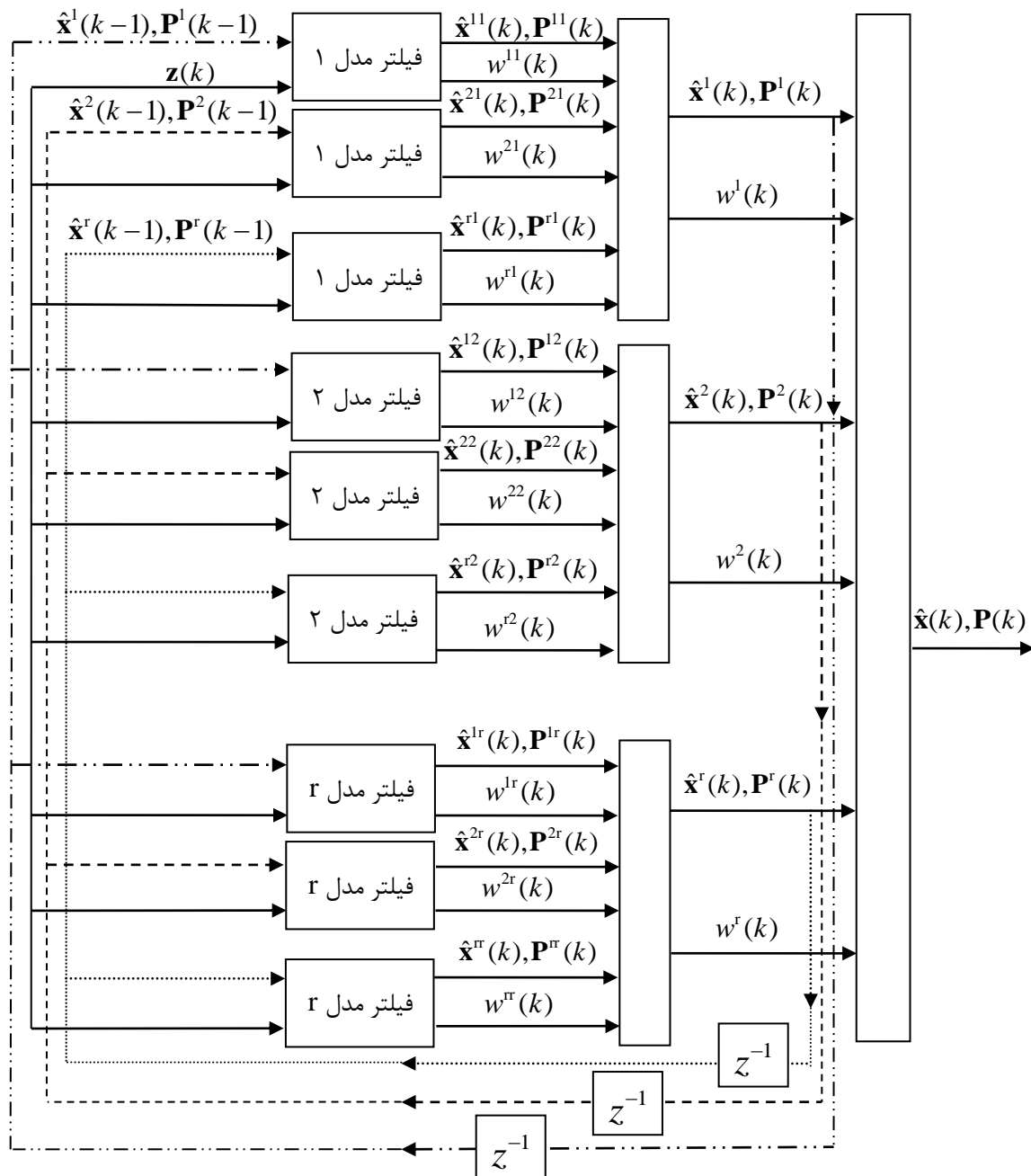
در مقابل در روش فیلتر ذرات چندمدلی کمکی، تعداد  $N \times r$  ذره، که  $N$  و  $r$  به ترتیب بیانگر تعداد متغیرهای حالت و تعداد مدل‌ها هستند، در فضا توزیع می‌شوند. سپس، این ذرات با استفاده از مدل دینامیکی سیستم در مرحله نمونه‌برداری انتشار می‌یابند. در مرحله بعد، وزن هر یک از این ذرات محاسبه می‌شود. در گام بعد، با استفاده از یک الگوریتم بازنمونه‌برداری تعداد  $N$  ذره با وزن بالاتر انتخاب می‌شود. در انتها، مجدداً مراحل الگوریتم فیلتر ذرات خالص شامل انتشار ذرات، محاسبه وزن آن‌ها، نرمالیزه کردن، بازنمونه‌برداری ذرات و میانگین‌گیری وزنی از ذرات با اهمیت تکرار می‌شود. الگوریتم فیلتر ذرات چندمدلی کمکی در شکل ۱۶.۲ نشان داده شده‌است.

فیلتر ذرات چندمدلی، از آنجا که یک تخمین‌گر زیربهبینه است، دارای مشکلاتی هم‌چون فقر ذرات<sup>۵۸</sup> است. در صورتیکه تابع توزیع احتمال خیلی باریک باشد؛ فقر ذرات رخ می‌دهد. در این صورت، تعداد ذرات کمی در منطقه‌ای با توزیع احتمال زیاد وجود داشته و بیشتر ذرات در منطقه‌ای با توزیع احتمال کم هستند [۷۶]–[۷۷]. از این‌رو، با کوچک شدن وزن بیشتر ذرات، دقت تخمین کاهش می‌یابد. فقر ذرات در شکل ۱۷.۲ نشان داده شده‌است. همانطور که مشاهده می‌شود، به دلیل فقر ذرات، تعداد ذرات کمی دارای وزن موثری هستند و در نتیجه ذرات با ارزش از دست می‌روند.

یکی دیگر از مشکلات فیلتر ذرات چندمدلی وابستگی به تعداد ذرات است. اگر تعداد ذرات نسبتاً کم باشد؛ آنگاه توزیع صحیح ذرات حول متغیرهای حالت واقعی رخ نمی‌دهد. همچنین، اگر تعداد ذرات زیاد باشد؛ آنگاه حجم محاسباتی افزایش یافته و کاربردهای زمان حقیقی غیرممکن می‌شود.

<sup>58</sup> Particle Impoverishment

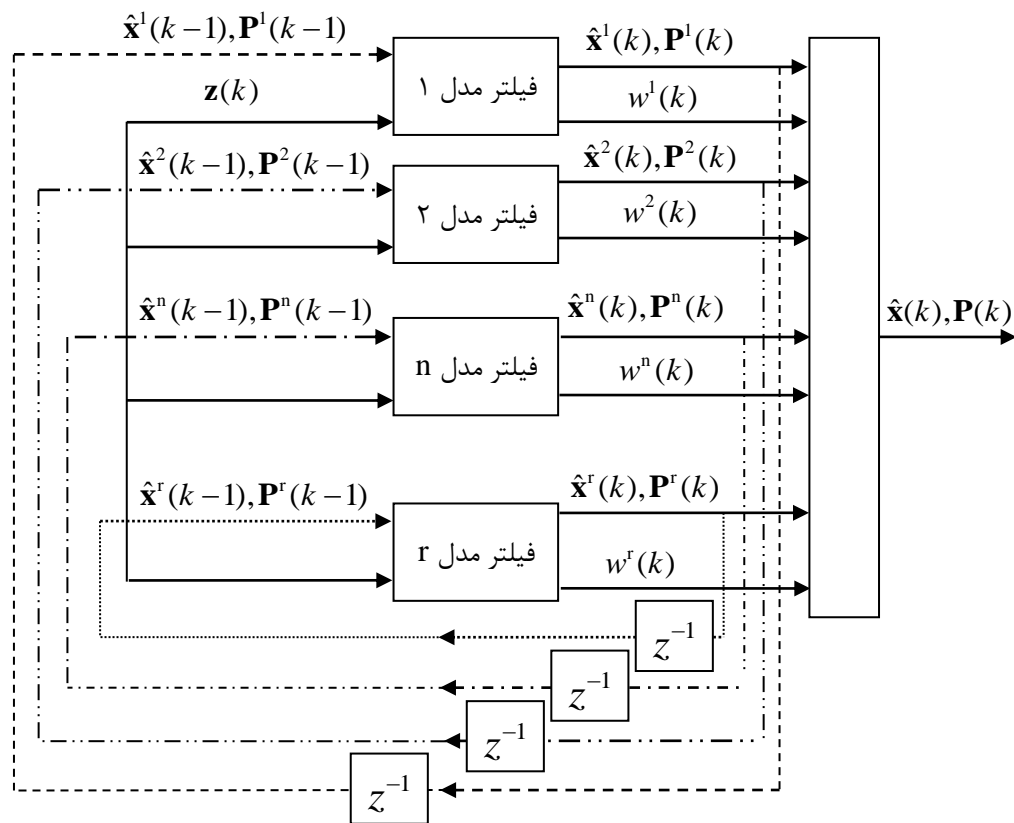
علیرضا شریفی، "توسعه و پیاده‌سازی فیلترهای چندمدلی در فرود خودکار پرنده بدون سرنشین جهت شناسایی برخط و جبران‌سازی اغتشاشات اتمسفری"، رساله دکتری، استاد راهنما: دکتر هادی نوبهاری، دانشگاه صنعتی شریف، دانشکده مهندسی هوافضا، تابستان ۱۳۹۹



شکل ۱۴.۲ شماتیک نحوه عملکرد فیلترهای شبه‌بیزین تعمیم‌یافته مرتبه دوم.

به‌منظور حل مشکلات فیلتر ذرات چندمدلی، در گروهی از فیلترهای چندمدلی ابتکاری از الگوریتم‌های بهینه‌سازی مبتنی بر هوش دسته‌جمعی به‌منظور جستجوی فضای حالت و در نتیجه یافتن بهترین مدل استفاده می‌شود. این دسته از فیلترها، فیلترهای چندمدلی ابتکاری مبتنی بر هوش

دسته‌جمعی (MMSF)<sup>۵۹</sup> نامیده می‌شوند. از این جمله، می‌توان به ترکیب فیلتر ذرات چندمدلی با الگوریتم بهینه‌سازی گروهی ذرات (PSO)<sup>۶۰</sup> [۷۸] اشاره کرد. در این روش، به‌منظور هدایت مجموعه ذرات به سمت منطقه‌ای با توزیع احتمال زیاد، الگوریتم بهینه‌سازی گروهی ذرات با فرآیند نمونه‌برداری<sup>۶۱</sup> فیلتر ذرات چندمدلی ادغام شده‌است. بنابراین، تکنیک‌های مختلف هوش دسته‌جمعی می‌تواند به‌منظور تخمین متغیرهای حالت در حضور مدل‌های رفتاری گوناگون یک سیستم توسعه داده شوند.

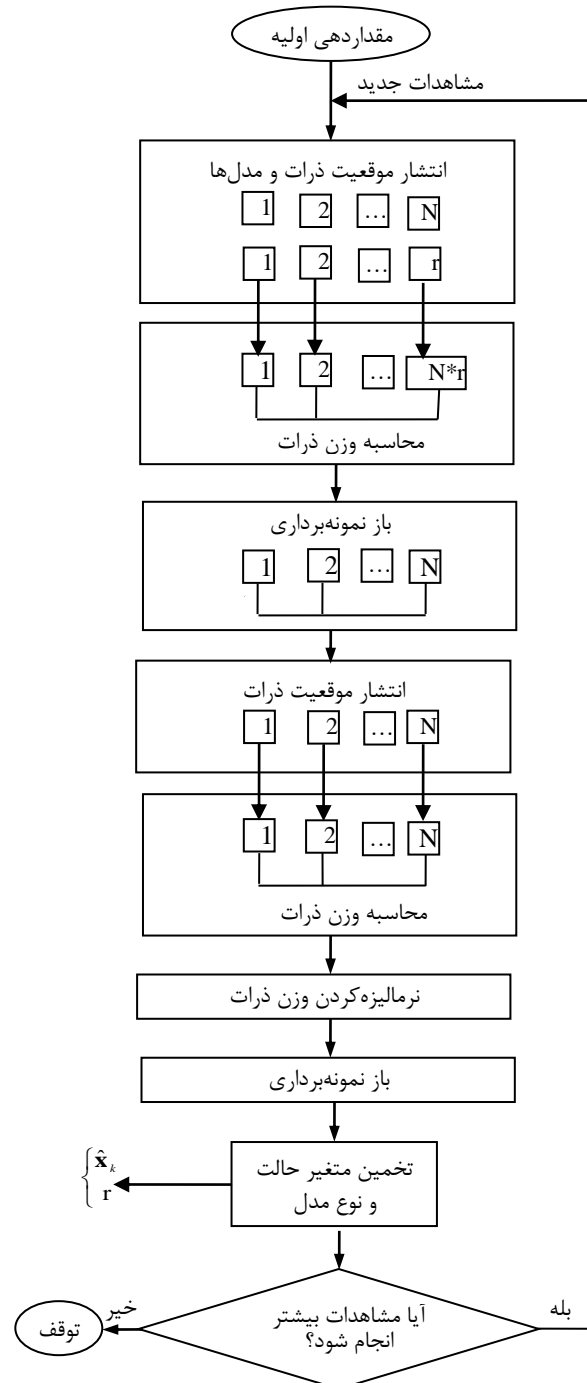


شکل ۱۵.۲ شماتیک نحوه عملکرد فیلترهای تعاملی چندمدلی.

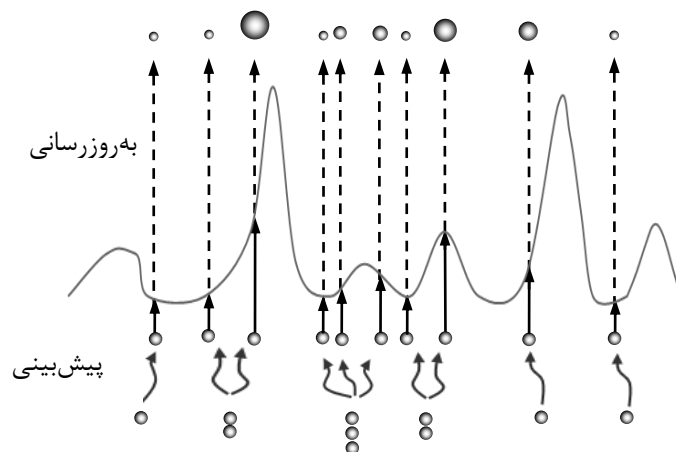
<sup>59</sup> Multiple Model Swarm Filter

<sup>60</sup> Particle Swarm Optimization

<sup>61</sup> sampling process



شکل ۱۶.۲ الگوریتم فیلتر ذرات چندمدلی کمکی.



شکل ۱۷.۲ فقر ذرات ناشی از باریک بودن تابع توزیع احتمال بالا.

#### ۴.۲ نتیجه‌گیری و بیان نوآوری‌ها

مسئله مورد بررسی در این رساله، تخمین برخط مدل اغتشاشات اتمسفری و جبران‌سازی آن در حلقه‌های هدایت و کنترل به‌منظور توسعه الگوریتم فرود خودکار یک پرنده بدون سرنشین بال ثابت است. به‌این‌منظور، نوع مدل باد، پارامترهای مدل باد و نیز متغیرهای حالت پرنده در طول پرواز با استفاده از فیلترهای چندمدلی تخمین‌گر باد (MMWE)<sup>۶۲</sup> تخمین زده می‌شود. در هیچ یک از مراجع موجود، که به مسئله تخمین اغتشاشات اتمسفری پرداخته‌اند، تخمین نوع مدل باد در نظر گرفته نشده‌است. از آنجا که پرواز تحت تاثیر اغتشاشات اتمسفری است، مدل‌های باد ثابت، باد "1-cosine"، باد برشی و نیز مایکروبرست به‌طور نمونه در نظر گرفته می‌شود.

سپس، به‌منظور تخمین نوع مدل باد از فیلترهای چندمدلی ابتکاری مبتنی بر هوش جمعی استفاده می‌شود. به‌این‌منظور با تعمیم الگوریتم‌های هوش جمعی، یک فیلتر چندمدلی ابتکاری جدید که مبتنی بر هوش دسته‌جمعی است، ارائه می‌شود. فیلتر جدید مساله تخمین را به‌صورت یک مساله بهینه‌سازی دینامیکی مدل کرده و بهترین مدل را در هر لحظه پیدا می‌کند. نتایج فیلتر جدید در فرآیند فرود خودکار ارزیابی می‌شود.

<sup>62</sup> Multiple Model Wind Estimator

علیرضا شریفی، "توسعه و پیاده‌سازی فیلترهای چندمدلی در فرود خودکار پرنده بدون سرنشین جهت شناسایی برخط و جبران‌سازی اغتشاشات اتمسفری"، رساله دکتری، استاد راهنما: دکتر هادی نوبهاری، دانشگاه صنعتی شریف، دانشکده مهندسی هوافضا، تابستان ۱۳۹۹



همچنین، مشاهده‌پذیری متغیرهای حالت پرنده و نیز مدل باد تحلیل می‌شود. در هیچ یک از مقالات قبلی، این شرایط برای یک پرنده بدون سرنشین بررسی نشده‌است. به این منظور، از تئوری مشاهده‌پذیری متغیرهای حالت و مشاهده‌پذیری قوی برای سیستم‌های خطی پیوسته و گسسته استفاده می‌شود.

در گام بعد، از تئوری‌ها مشاهده‌پذیری ورودی‌های نامعلوم و نیز مشاهده‌پذیری توأمان متغیرهای حالت و ورودی‌های نامعلوم برای سیستم‌های خطی پیوسته و گسسته، به منظور تحلیل مشاهده‌پذیری پرنده استفاده می‌شود. در هیچ یک از مقالات قبلی، که به مسئله مشاهده‌پذیری ورودی‌های نامعلوم پرداخته‌اند، شرایط مشاهده‌پذیری ورودی‌های نامعلوم و نیز مشاهده‌پذیری توأمان متغیرهای حالت و ورودی‌های نامعلوم استخراج نشده‌است. همچنین، شرایط مشاهده‌پذیری متغیرهای حالت، مشاهده‌پذیری قوی، مشاهده‌پذیری ورودی‌های نامعلوم و نیز مشاهده‌پذیری توأمان متغیرهای حالت و ورودی‌های نامعلوم برای یک سیستم غیرخطی افاین پیوسته استخراج می‌شود.

به منظور اثبات امکان پیاده‌سازی فیلتر چندمدلی، شبیه‌سازی سخت‌افزار در حلقه (HIL)<sup>۶۳</sup> فیلتر چندمدلی انجام می‌شود. در هیچ یک از مقالات قبلی، که به مساله اعتبارسنجی تخمین اغتشاشات اتمسفری پرداخته‌اند، شبیه‌سازی سخت‌افزار در حلقه فیلتر چندمدلی انجام نشده‌است. در نهایت، نتایج تخمین باد با استفاده از فیلتر چندمدلی در کنترل‌کننده پیش‌بین جبران‌سازی می‌شود. در هیچ یک از مقالات قبلی جبران‌سازی مدل باد در کنترل‌کننده پیش‌بین در نظر گرفته نشده‌است. همچنین، به منظور بهبود عملکرد فرآیند فرود خودکار، جبران‌سازی مدل باد در حلقه هدایت نیز در نظر گرفته می‌شود.

---

<sup>63</sup> Hardware in the Loop

علیرضا شریفی، "توسعه و پیاده‌سازی فیلترهای چندمدلی در فرود خودکار پرنده بدون سرنشین جهت شناسایی برخط و جبران‌سازی اغتشاشات اتمسفری"، رساله دکتری، استاد راهنما: دکتر هادی نوبهاری، دانشگاه صنعتی شریف، دانشکده مهندسی هوافضا، تابستان ۱۳۹۹

### ۳ مدل‌سازی دینامیکی پرنده و پدیده باد

مدل‌سازی ریاضی اولین گام در طراحی سامانه‌های هوافضایی محسوب می‌شود. در این فصل، ابتدا دینامیک پرنده در بخش ۱.۳ با استفاده از قوانین پایه و معادلات حاکم بر حرکت به صورت مجموعه‌ای از معادلات دیفرانسیل بیان می‌شود. سپس، در بخش ۵.۱.۳ مدل‌سازی پدیده باد شامل مدل‌های باد معین و تصادفی بیان می‌شود.

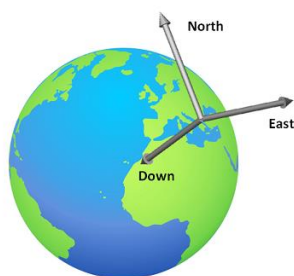
#### ۱.۳ مدل‌سازی دینامیکی پرنده بدون سرنشین

به منظور دستیابی به معادلات حرکت شش درجه‌آزادی پرنده، ابتدا در بخش ۱.۱.۳ سیستم‌های مختصات معرفی خواهند شد. سپس، در بخش ۲.۱.۳ نیروها و گشتاورهای خارجی وارد بر پرنده بررسی می‌شوند. در گام بعد، مدل‌سازی سنسورها و معادلات تصادفی به ترتیب در بخش‌های ۳.۱.۳ و ۴.۱.۳ ارائه می‌شوند. در انتها، معادلات غیرخطی پرنده در بخش ۵.۱.۳ خطی‌سازی می‌شود.

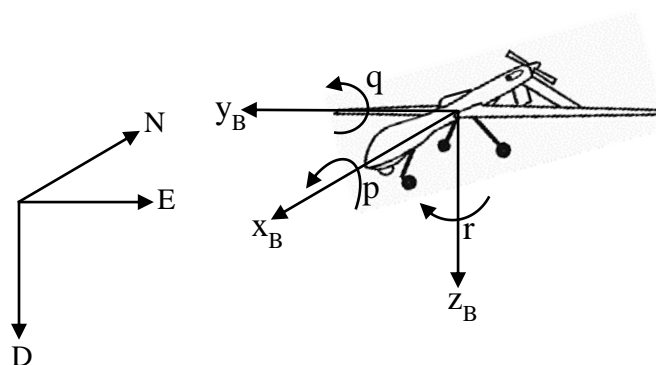
#### ۱.۱.۳ سیستم‌های مختصات

به منظور توصیف حرکت شش درجه‌آزادی و نیز کنترل پرنده بودن سرنشین بال ثابت، معمولاً دستگاه‌های مختصات بدنی<sup>۱</sup> و جغرافیایی (NED) تعریف می‌شوند (شکل ۱.۳ و شکل ۲.۳). دستگاه مختصات بدنی متحرک و متصل به مرکز جرم پرنده ( $O_{xyz}$ ) است. در این سیستم، محورهای  $X_B$  و  $Y_B$  به ترتیب به سمت دماغه و بال سمت راست پرنده هستند و محور  $Z_B$  با توجه به قانون دست راست تعریف می‌شود. در دستگاه مختصات NED، محورهای  $E$ ،  $N$  و  $D$  به ترتیب در امتداد شمال محلی، شرق و مرکز زمین هستند.

<sup>1</sup> Body Coordinate System



شکل ۱.۳ دستگاه مختصات NED.



شکل ۲.۳ تعاریف قاب‌های بدنی و NED.

## ۲.۱.۳ مدل‌سازی پرنده

به‌منظور مدل‌سازی معادلات حرکت شش‌درجه‌آزادی پرنده شامل معادلات سینماتیک و دینامیک از روش نیوتن-اوایلر [۷۹] استفاده می‌شود. در این صورت، این معادلات به‌صورت زیر بیان می‌شوند [۸۰]:

$$\dot{\mathbf{p}}^N = \mathbf{C}_B^N \mathbf{v}_g^B \quad (۱.۳)$$

$$\dot{\mathbf{v}}_g^B = \frac{1}{m} \mathbf{f}^B - \boldsymbol{\omega}_{NB}^B \times \mathbf{v}_g^B \quad (۲.۳)$$

$$\begin{bmatrix} \dot{\phi} \\ \dot{\theta} \\ \dot{\psi} \end{bmatrix} = \begin{bmatrix} 1 & \sin \phi \operatorname{tg} \theta & \cos \phi \operatorname{tg} \theta \\ 0 & \cos \phi & -\sin \phi \\ 0 & \sin \phi \operatorname{sec} \theta & \cos \phi \operatorname{sec} \theta \end{bmatrix} \begin{bmatrix} p \\ q \\ r \end{bmatrix} \quad (۳.۳)$$

$$\dot{\boldsymbol{\omega}}_{NB}^B = \mathbf{J}^{-1} \left[ -\boldsymbol{\omega}_{NB}^B \times (\mathbf{J} \boldsymbol{\omega}_{NB}^B) + \mathbf{m}^B \right] \quad (۴.۳)$$

در معادلات فوق،  $\mathbf{p}^N = [p_n \ p_e \ p_d]^T$  و  $\mathbf{v}_g^B = [u \ v \ w]^T$  به ترتیب بیانگر موقعیت پرنده در سیستم مختصات NED و سرعت انتقالی پرنده نسبت به سیستم مختصات NED بیان شده در سیستم مختصات بدنی هستند. همچنین،  $\boldsymbol{\omega}_{NB}^B = [p \ q \ r]^T$  نشان دهنده سرعت زاویه ای قاب بدنی نسبت به سیستم مختصات NED بیان شده در سیستم مختصات بدنی است. به علاوه،  $[\phi, \theta, \psi]$  و  $m$  به ترتیب بیانگر زوایای اوایلر و جرم پرنده هستند. همچنین،  $\mathbf{C}_B^N$  بیانگر ماتریس کسینوس های هادی (DCM)<sup>۱</sup> به منظور تبدیل سیستم مختصات بدنی به سیستم مختصات NED است؛ که به صورت زیر محاسبه می شود [۸۰]:

$$\mathbf{C}_B^N = \begin{bmatrix} c_\theta c_\psi & s_\theta s_\theta c_\psi - c_\theta s_\psi & c_\theta s_\theta c_\psi + s_\theta s_\psi \\ c_\theta s_\psi & s_\theta s_\theta s_\psi + c_\theta c_\psi & c_\theta s_\theta s_\psi - s_\theta c_\psi \\ -s_\theta & s_\theta c_\theta & c_\theta c_\theta \end{bmatrix} \quad (۵.۳)$$

که  $s_\theta$  و  $c_\theta$  به ترتیب نشان دهنده  $\sin\theta$  و  $\cos\theta$  هستند.  $\mathbf{J}$  نیز بیانگر ماتریس ممان اینرسی است؛ که به صورت زیر بیان می شود [۸۰]:

$$\mathbf{J} = \begin{bmatrix} \int (y^2 + z^2) dm & 0 & -\int xz dm \\ 0 & \int (x^2 + z^2) dm & 0 \\ -\int xz dm & 0 & \int (x^2 + z^2) dm \end{bmatrix} \triangleq \begin{bmatrix} J_{xx} & 0 & -J_{xz} \\ 0 & J_{yy} & 0 \\ -J_{xz} & 0 & J_{zz} \end{bmatrix} \quad (۶.۳)$$

در معادله فوق،  $J_{xx}$ ،  $J_{yy}$  و  $J_{zz}$  به ترتیب بیانگر ممان های اینرسی اصلی و  $J_{xz}$  بیانگر ممان اینرسی ضربی هستند. همچنین،  $\mathbf{f}^B = [f_x \ f_y \ f_z]^T$  نشان دهنده برآیند نیروهای خارجی اعمالی به پرنده است؛ که به صورت زیر تعریف می شود:

$$\mathbf{f}^B = \mathbf{C}_N^B \mathbf{f}_g^N + \mathbf{f}_a^B + \mathbf{f}_p^B \quad (۷.۳)$$

در رابطه فوق،  $\mathbf{f}_g^N$  بیانگر نیروی جاذبه بیان شده در سیستم مختصات NED است. همچنین،  $\mathbf{f}_a^B$  نیروی آیرودینامیکی بیان شده در سیستم مختصات بدنی است؛ که به صورت زیر محاسبه می شود [۷۹]:

<sup>1</sup> Direction Cosine Matrix

$$\mathbf{f}_a^B = \frac{1}{2} \rho V_a^2 S \begin{bmatrix} C_{x_0} + C_{x_\alpha} \alpha + C_{x_q} \frac{q_{rel} \bar{c}}{2V_a} + C_{x_{\delta_e}} \delta_e \\ C_{y_0} + C_{y_\beta} \beta + (C_{y_p} p_{rel} + C_{y_r} r_{rel}) \frac{b}{2V_a} + C_{y_{\delta_a}} \delta_a + C_{y_{\delta_r}} \delta_r \\ C_{z_0} + C_{z_\alpha} \alpha + C_{z_q} \frac{q_{rel} \bar{c}}{2V_a} + C_{z_{\delta_e}} \delta_e \end{bmatrix} \quad (۸.۳)$$

که  $S$ ،  $\rho$ ،  $\bar{c}$  و  $b$  به ترتیب بیانگر سطح مرجع (بال)، چگالی، میانگین وتر آیرودینامیکی<sup>۱</sup> و طول بال<sup>۲</sup> هستند. همچنین،  $V_a$  نشان دهنده سرعت هوا است؛ که به صورت زیر بیان می شود:

$$V_a = \|\mathbf{v}_a^B\| = \sqrt{u_{rel}^2 + v_{rel}^2 + w_{rel}^2} \quad (۹.۳)$$

که  $\mathbf{v}_a^B = [u_{rel} \quad v_{rel} \quad w_{rel}]^T$  بیانگر سرعت پرنده نسبت به باد بیان شده در سیستم مختصات بدنی است؛ که به صورت زیر محاسبه می شود:

$$\mathbf{v}_a^B = \mathbf{v}_g^B - \mathbf{C}_N^B \mathbf{v}_w^N \quad (۱۰.۳)$$

در معادله فوق،  $\mathbf{v}_w^N = [w_n \quad w_e \quad w_d]^T$  بیانگر سرعت باد بیان شده در سیستم مختصات NED است. همچنین،  $\alpha$  و  $\beta$  به ترتیب نشان دهنده زاویه حمله و زاویه لغزش جانبی هستند. به علاوه،  $C_{x_i}$  و  $C_{z_i}$  به ازای  $i = 0, \alpha, q, \delta_e$  بیانگر ضرایب آیرودینامیکی طولی بی بعد هستند؛ که به صورت زیر بیان می شوند:

$$C_{x_i} = -C_{D_i} \cos \alpha + C_{L_i} \sin \alpha \quad (۱۱.۳)$$

$$C_{z_i} = -C_{D_i} \sin \alpha - C_{L_i} \cos \alpha \quad (۱۲.۳)$$

در رابطه فوق،  $C_D$  و  $C_L$  به ترتیب ضرایب لیفت و درگ هستند. همچنین،  $C_{y_i}$  در رابطه (۸.۳) به ازای  $\mathbf{f}_p^B$  نشان دهنده ضرایب نیروی آیرودینامیک عرضی هستند. به علاوه،  $i = 0, \beta, p, r, \delta_a, \delta_r$  نشان دهنده نیروی جلو برنده است؛ که به صورت زیر فرض می شود:

<sup>1</sup> Mean Aerodynamic Chord

<sup>2</sup> Wing Span

$$\mathbf{f}_p^B = \begin{bmatrix} T \delta_t \\ 0 \\ 0 \end{bmatrix} \quad (۱۳.۳)$$

در رابطه فوق،  $T$  و  $\delta_t$  به ترتیب بیانگر برآیند نیروی تراست و تنظیم تراست هستند. همچنین،  $\delta_e$ ،  $\delta_a$  و  $\delta_r$  به ترتیب نشان دهنده انحراف سطوح کنترلی الویتور<sup>۱</sup>، الرون<sup>۲</sup> و رادر<sup>۳</sup> هستند. به علاوه،  $\mathbf{m}^B = [\ell \ m \ n]^T$  بردار گشتاور آیرودینامیکی است؛ که به صورت زیر تعریف می شود [۷۹]:

$$\mathbf{m}^B = \frac{1}{2} \rho V_a^2 S \begin{bmatrix} b \left( C_{\ell_0} + C_{\ell_\beta} \beta + C_{\ell_p} \frac{p_{rel} b}{2V_a} + C_{\ell_r} \frac{r_{rel} b}{2V_a} + C_{\ell_{\delta_a}} \delta_a + C_{\ell_{\delta_r}} \delta_r \right) \\ \bar{c} \left( C_{m_0} + C_{m_\alpha} \alpha + C_{m_q} \frac{q_{rel} \bar{c}}{2V_a} + C_{m_{\delta_e}} \delta_e \right) \\ b \left( C_{n_0} + C_{n_\beta} \beta + C_{n_p} \frac{p_{rel} b}{2V_a} + C_{n_r} \frac{r_{rel} b}{2V_a} + C_{n_{\delta_a}} \delta_a + C_{n_{\delta_r}} \delta_r \right) \end{bmatrix} \quad (۱۴.۳)$$

در رابطه فوق،  $C_{m_i}$  به ازای  $i = 0, \alpha, q, \delta_e$  نشان دهنده ضرایب گشتاور آیرودینامیکی طولی هستند. همچنین،  $C_{n_i}$  و  $C_{\ell_i}$  نیز به ازای  $i = 0, \beta, p, r, \delta_a, \delta_r$  نشان دهنده ضرایب گشتاور آیرودینامیکی عرضی هستند. به علاوه،  $\boldsymbol{\omega}_a^B = [p_{rel} \ q_{rel} \ r_{rel}]^T$  بیانگر سرعت زاویه ای پرنده نسبت به باد بیان شده در سیستم مختصات بدنی است؛ که به صورت زیر تعریف می شود:

$$\boldsymbol{\omega}_a^B = \boldsymbol{\omega}_{NB}^B - \mathbf{C}_N^B \boldsymbol{\omega}_w^N \quad (۱۵.۳)$$

در معادله فوق،  $\boldsymbol{\omega}_w^N$  سرعت زاویه ای باد نسبت به سیستم مختصات NED است؛ که به صورت زیر محاسبه می شود [۸۱]:

$$\boldsymbol{\omega}_w^N = \frac{1}{2} \nabla \times \mathbf{v}_w^N = \frac{1}{2} \begin{bmatrix} \frac{\partial w_d}{\partial y} - \frac{\partial w_e}{\partial z} & \frac{\partial w_n}{\partial z} - \frac{\partial w_d}{\partial x} & \frac{\partial w_e}{\partial x} - \frac{\partial w_n}{\partial y} \end{bmatrix}^T \quad (۱۶.۳)$$

<sup>1</sup> Elevator Deflection

<sup>2</sup> Aileron Deflection

<sup>3</sup> Rudder Deflection

لازم به ذکر است که نرخ شبیه سازی معادلات پرنده نیز برابر با ۰/۰۱ ثانیه در نظر گرفته شده است.

### ۳.۱.۳ مدل سازی حسگرها

اندازه گیری های پرنده توسط سه ژيروسکوپ نرخ<sup>۱</sup>، یک ارتفاع سنج<sup>۲</sup>، یک قطب نما<sup>۳</sup> دیجیتالی و یک گیرنده سیستم موقعیت یاب جهانی (GPS)<sup>۴</sup> انجام می شوند. این حسگرها در پیوست "الف" معرفی می شوند. به منظور مدل سازی، حسگرها به صورت ایده آل در نظر گرفته می شوند؛ در حالیکه خروجی آنها به نوبت اندازه گیری آغشته است. بنابراین، خروجی حسگرها به صورت زیر مدل سازی می شوند:

$$\mathbf{z} = \begin{bmatrix} p_{n_m} \\ p_{e_m} \\ h_m \\ \dot{p}_{n_m} \\ \dot{p}_{e_m} \\ \dot{p}_{d_m} \\ p_m \\ q_m \\ r_m \\ \psi_m \end{bmatrix} + \mathbf{v} \quad (۱۷.۳)$$

در رابطه فوق،  $h = -p_d$  بیانگر ارتفاع پرنده از سطح زمین و  $\mathbf{v}$  بیانگر بردار نویز اندازه گیری است.

### ۴.۱.۳ بیان معادلات غیرخطی حرکت در فضای حالت

در این بخش، مدل دینامیکی تصادفی پرنده در فضای حالت بیان می شود. به این منظور، مدل یقینی بیان شده توسط معادلات (۱.۳) تا (۴.۳) به نوبت فرآیند آغشته می شود. لذا، با تعریف متغیرهای حالت به صورت  $x_1 = p_n$ ،  $x_2 = p_e$ ،  $x_3 = p_d$ ،  $x_4 = u$ ،  $x_5 = v$ ،  $x_6 = w$ ،  $x_7 = \phi$ ،  $x_8 = \theta$ ،  $x_9 = \psi$ ،  $x_{10} = p$ ،  $x_{11} = q$  و  $x_{12} = r$  مدل تصادفی پرنده به صورت زیر بیان می شود:

<sup>1</sup> Rate Gyro

<sup>2</sup> Altimeter

<sup>3</sup> Digital Compass

<sup>4</sup> Global Positioning System

$$\begin{bmatrix} \dot{x}_1 \\ \dot{x}_2 \\ \dot{x}_3 \end{bmatrix} = \begin{bmatrix} c_{x_8} c_{x_9} & s_{x_7} s_{x_8} c_{x_9} - c_{x_7} s_{x_9} & c_{x_7} s_{x_8} c_{x_9} + s_{x_7} s_{x_9} \\ c_{x_8} s_{x_9} & s_7 s_{x_8} s_{x_9} + c_{x_7} c_{x_9} & c_{x_7} s_{x_8} s_{x_9} - s_{x_7} c_{x_9} \\ -s_{x_8} & s_{x_7} c_{x_8} & c_{x_7} c_{x_8} \end{bmatrix} \begin{bmatrix} x_4 \\ x_5 \\ x_6 \end{bmatrix} + \begin{bmatrix} \omega_1 \\ \omega_2 \\ \omega_3 \end{bmatrix} \quad (18.3)$$

$$\begin{bmatrix} \dot{x}_4 \\ \dot{x}_5 \\ \dot{x}_6 \end{bmatrix} = \begin{bmatrix} x_{12} x_5 - x_{11} x_6 \\ x_{10} x_6 - x_{12} x_4 \\ x_{11} x_4 - x_{10} x_5 \end{bmatrix} + \mathbf{g} \begin{bmatrix} -s_{x_8} \\ s_{x_7} c_{x_8} \\ c_{x_7} c_{x_8} \end{bmatrix} + \begin{bmatrix} \frac{T}{m} \delta_t \\ 0 \\ 0 \end{bmatrix} + \frac{\rho \left[ (x_4 - u_w)^2 + (x_5 - v_w)^2 + (x_6 - w_w)^2 \right] S}{2m}$$

$$\begin{bmatrix} C_{x_0} + C_{x_\alpha} \tan^{-1} \left( \frac{x_6 - w_w}{x_4 - u_w} \right) + C_{x_{\delta_e}} \delta_e \\ C_{y_0} + C_{y_\beta} \sin^{-1} \left( \frac{x_5 - v_w}{\sqrt{(x_4 - u_w)^2 + (x_5 - v_w)^2 + (x_6 - w_w)^2}} \right) + C_{y_{\delta_a}} \delta_a + C_{y_{\delta_r}} \delta_r + \frac{\rho S}{4m} \\ C_{z_0} + C_{z_\alpha} \tan^{-1} \left( \frac{x_6 - w_w}{x_4 - u_w} \right) + C_{z_{\delta_e}} \delta_e \end{bmatrix} + \frac{\rho S}{4m}$$

$$\sqrt{(x_4 - u_w)^2 + (x_5 - v_w)^2 + (x_6 - w_w)^2} \begin{bmatrix} (x_{11} - q_w) \bar{c} C_{x_q} \\ b \left( C_{y_r} (x_{12} - r_w) + C_{y_p} (x_{10} - p_w) \right) \\ (x_{11} - q_w) \bar{c} C_{z_q} \end{bmatrix} + \begin{bmatrix} \omega_4 \\ \omega_5 \\ \omega_6 \end{bmatrix} \quad (19.3)$$

$$\begin{bmatrix} \dot{x}_7 \\ \dot{x}_8 \\ \dot{x}_9 \end{bmatrix} = \begin{bmatrix} 1 & s_{x_7} \tan_{x_8} & c_{x_7} \tan_{x_8} \\ 0 & c_{x_7} & -s_{x_7} \\ 0 & s_{x_7} \sec_{x_8} & c_{x_7} \sec_{x_8} \end{bmatrix} \begin{bmatrix} x_{10} \\ x_{11} \\ x_{12} \end{bmatrix} + \begin{bmatrix} \omega_7 \\ \omega_8 \\ \omega_9 \end{bmatrix} \quad (20.3)$$

$$\begin{bmatrix} \dot{x}_{10} \\ \dot{x}_{11} \\ \dot{x}_{12} \end{bmatrix} = \begin{bmatrix} \Gamma_1 x_{10} x_{11} - \Gamma_2 x_{11} x_{12} \\ \Gamma_5 x_{10} x_{12} - \Gamma_6 (x_{10}^2 - x_{12}^2) \\ \Gamma_7 x_{10} x_{11} - \Gamma_1 x_{11} x_{12} \end{bmatrix} + \frac{\rho \left[ (x_4 - u_w)^2 + (x_5 - v_w)^2 + (x_6 - w_w)^2 \right] S}{2}$$

$$\begin{bmatrix} b \left( C_{p_0} + C_{p_{\delta_a}} \delta_a + C_{p_{\delta_r}} \delta_r + C_{p_\beta} \sin^{-1} \left( \frac{x_5 - v_w}{\sqrt{(x_4 - u_w)^2 + (x_5 - v_w)^2 + (x_6 - w_w)^2}} \right) \right) \\ \frac{\bar{c}}{J_{yy}} \left( C_{m_0} + C_{m_\alpha} \tan^{-1} \left( \frac{x_6 - w_w}{x_4 - u_w} \right) + C_{m_{\delta_e}} \delta_e \right) \\ b \left( C_{r_0} + C_{r_{\delta_a}} \delta_a + C_{r_{\delta_r}} \delta_r + C_{r_\beta} \sin^{-1} \left( \frac{x_5 - v_w}{\sqrt{(x_4 - u_w)^2 + (x_5 - v_w)^2 + (x_6 - w_w)^2}} \right) \right) \end{bmatrix}$$

$$+ \frac{\rho S \sqrt{(x_4 - u_w)^2 + (x_5 - v_w)^2 + (x_6 - w_w)^2}}{4} \begin{bmatrix} b^2 \left( C_{p_p} (x_{10} - p_w) + C_{p_r} (x_{12} - r_w) \right) \\ \frac{(x_{11} - q_w) \bar{c}^2}{J_{yy}} C_{m_q} \\ b^2 \left( C_{r_p} (x_{10} - p_w) + C_{r_r} (x_{12} - r_w) \right) \end{bmatrix} + \begin{bmatrix} \omega_{10} \\ \omega_{11} \\ \omega_{12} \end{bmatrix} \quad (21.3)$$



در روابط فوق،  $\mathbf{v}_w^B = [u_w \ v_w \ w_w]^T$  و  $\mathbf{\omega}_w^B = [p_w \ q_w \ r_w]^T$  به ترتیب بیانگر سرعت های خطی و زاویه ای باد بیان شده در سیستم مختصات بدنی هستند. همچنین،  $\omega_i$  به ازای  $i=1, \dots, 12$  نشان دهنده نویز فرآیند است؛ که به صورت نویز سفید مدل می شود. به علاوه،  $C_{p_i} = \Gamma_3 C_{\ell_i} + \Gamma_4 C_{n_i}$  و  $C_{r_i} = \Gamma_4 C_{\ell_i} + \Gamma_8 C_{n_i}$  به ازای  $i=0, \beta, p, r, \delta_a, \delta_r$  هستند. همچنین،  $\Gamma_i$  به ازای  $i=1, \dots, 8$  به صورت زیر تعریف می شود:

$$\begin{aligned} \Gamma_1 &= \frac{J_{xz}(J_{xx} - J_{yy} + J_{zz})}{\Gamma}; \Gamma_2 = \frac{J_{zz}(J_{zz} - J_{yy}) + J_{xz}^2}{\Gamma}; \\ \Gamma_3 &= \frac{J_{zz}}{\Gamma}; \Gamma_4 = \frac{J_{xz}}{\Gamma}; \Gamma_5 = \frac{J_{zz} - J_{xx}}{J_{yy}}; \\ \Gamma_6 &= \frac{J_{xz}}{J_{yy}}; \Gamma_7 = \frac{J_{xx}(J_{xx} - J_{yy}) + J_{xz}^2}{\Gamma}; \Gamma_8 = \frac{J_{xx}}{\Gamma} \end{aligned} \quad (22.3)$$

در روابط فوق،  $\Gamma = J_{xx}J_{zz} - J_{xz}^2$  است. همچنین، مدل اندازه گیری تصادفی در فضای حالت می تواند به صورت زیر بیان شود:

$$\mathbf{z} = \begin{bmatrix} p_{n_m} \\ p_{e_m} \\ h_m \\ \dot{p}_{n_m} \\ \dot{p}_{e_m} \\ \dot{p}_{d_m} \\ p_m \\ q_m \\ r_m \\ \psi_m \end{bmatrix} = \begin{bmatrix} x_1 + v_1 \\ x_2 + v_2 \\ -x_3 + v_3 \\ (c_{x_8} c_{x_9})x_4 + (s_{x_7} s_{x_8} c_{x_9} - c_{x_7} s_{x_9})x_5 + (c_{x_7} s_{x_8} c_{x_9} + s_{x_7} s_{x_9})x_6 + v_4 \\ (c_{x_8} s_{x_9})x_4 + (s_7 s_{x_8} s_{x_9} + c_{x_7} c_{x_9})x_5 + (c_{x_7} s_{x_8} s_{x_9} - s_{x_7} c_{x_9})x_6 + v_5 \\ -s_{x_8} x_4 + (s_{x_7} c_{x_8})x_5 + (c_{x_7} c_{x_8})x_6 + v_6 \\ x_{10} + v_7 \\ x_{11} + v_8 \\ x_{12} + v_9 \\ x_9 + v_{10} \end{bmatrix} \quad (23.3)$$

در رابطه فوق،  $v_i$  به ازای  $i=1, \dots, 10$  بیانگر نویز اندازه گیری است؛ که به صورت نویز سفید با میانگین صفر و کواریانس مشخص مدل می شود.

## ۵.۱.۳ معادلات خطی پرنده

مدل خطی پیوسته زمان فضای حالت پرنده بدون سرنشین بال ثابت از خطی سازی معادلات (۱.۳) تا (۴.۳) حول شرایط تریم به صورت زیر حاصل می شود:

$$\dot{\mathbf{x}} = \begin{bmatrix} \dot{\mathbf{x}}_{lon} \\ \dot{\mathbf{x}}_{lat} \end{bmatrix} = \begin{bmatrix} \mathbf{A}_{lon} & \mathbf{A}_{lon-lat} \\ \mathbf{A}_{lat-lon} & \mathbf{A}_{lat} \end{bmatrix} \begin{bmatrix} \mathbf{x}_{lon} \\ \mathbf{x}_{lat} \end{bmatrix} + \begin{bmatrix} \mathbf{B}_{lon} & \mathbf{0} \\ \mathbf{0} & \mathbf{B}_{lat} \end{bmatrix} \begin{bmatrix} \delta_{lon} \\ \delta_{lat} \end{bmatrix} + \begin{bmatrix} \mathbf{B}_{d_{lon}} & \mathbf{B}_{d_{lon-lat}} \\ \mathbf{B}_{d_{lat-lon}} & \mathbf{B}_{d_{lat}} \end{bmatrix} \begin{bmatrix} \mathbf{d}_{lon} \\ \mathbf{d}_{lat} \end{bmatrix} \quad (۲۴.۳)$$

در معادله فوق،  $\mathbf{x}_{lon} = [u \ w \ q \ \theta \ h \ p_n]^T$ ،  $\delta_{lon} = [\delta_e \ \delta_t]^T$  و  $\mathbf{d}_{lon} = [u_w \ w_w]^T$  به ترتیب بیانگر بردار متغیرهای حالت، بردار متغیرهای ورودی و بردار ورودی های نامعلوم مرتبط با کانال طولی و بیان شده در سیستم مختصات بدنی هستند. همچنین،  $\mathbf{x}_{lat} = [v \ p \ r \ \phi \ \psi \ p_e]^T$ ،  $\delta_{lat} = [\delta_a \ \delta_r]^T$  و  $\mathbf{d}_{lat} = v_w$  به ترتیب نشان دهنده بردار متغیرهای حالت، بردار متغیرهای ورودی و بردار ورودی های نامعلوم مرتبط با کانال عرضی و بیان شده در سیستم مختصات بدنی هستند. ماتریس های سیستم برای هر دو حرکت طولی و عرضی به صورت زیر بیان می شوند:

$$\mathbf{A}_{lon} = \begin{bmatrix} X_u & X_w & X_q & X_\theta & 0 & 0 \\ Z_u & Z_w & Z_q & Z_\theta & 0 & 0 \\ M_u & M_w & M_q & 0 & 0 & 0 \\ 0 & 0 & \Theta_q & 0 & 0 & 0 \\ H_u & H_w & 0 & H_\theta & 0 & 0 \\ P_{n_u} & P_{n_w} & 0 & P_{n_\theta} & 0 & 0 \end{bmatrix} \quad (۲۵.۳)$$

$$\mathbf{A}_{lat} = \begin{bmatrix} Y_v & Y_p & Y_r & Y_\phi & 0 & 0 \\ L_v & L_p & L_r & 0 & 0 & 0 \\ N_v & N_p & N_r & 0 & 0 & 0 \\ 0 & 1 & \Phi_r & \Phi_\phi & 0 & 0 \\ 0 & 0 & \Psi_r & \Psi_\phi & 0 & 0 \\ P_{e_v} & 0 & 0 & P_{e_\phi} & P_{e_\psi} & 0 \end{bmatrix} \quad (۲۶.۳)$$

$$\mathbf{A}_{\text{lon-lat}} = \begin{bmatrix} X_v & 0 & X_r & 0 & 0 & 0 \\ Z_v & Z_p & 0 & Z_\phi & 0 & 0 \\ M_v & M_p & M_r & 0 & 0 & 0 \\ 0 & 0 & \Theta_r & \Theta_\phi & 0 & 0 \\ H_v & 0 & 0 & H_\phi & 0 & 0 \\ P_{n_v} & 0 & 0 & P_{n_\phi} & P_{n_\psi} & 0 \end{bmatrix} \quad (27.3)$$

$$\mathbf{A}_{\text{lat-lon}} = \begin{bmatrix} Y_u & Y_w & 0 & Y_\theta & 0 & 0 \\ L_u & L_w & L_q & 0 & 0 & 0 \\ N_u & N_w & N_q & 0 & 0 & 0 \\ 0 & 0 & \Phi_q & \Phi_\theta & 0 & 0 \\ 0 & 0 & \Psi_q & \Psi_\theta & 0 & 0 \\ P_{e_u} & P_{e_w} & 0 & P_{e_\theta} & 0 & 0 \end{bmatrix} \quad (28.3)$$

به علاوه، ماتریس های ورودی به صورت زیر حاصل می شوند:

$$\mathbf{B}_{\text{lon}} = \begin{bmatrix} X_{\delta_e} & X_{\delta_i} \\ Z_{\delta_e} & 0 \\ M_{\delta_e} & 0 \\ 0 & 0 \\ 0 & 0 \\ 0 & 0 \end{bmatrix}; \mathbf{B}_{\text{lat}} = \begin{bmatrix} Y_{\delta_a} & Y_{\delta_r} \\ L_{\delta_a} & L_{\delta_r} \\ N_{\delta_a} & N_{\delta_r} \\ 0 & 0 \\ 0 & 0 \\ 0 & 0 \end{bmatrix} \quad (29.3)$$

و ماتریس های ورودی های نامعلوم به صورت زیر نتیجه می شوند:

$$\mathbf{B}_{\text{d lon}} = \begin{bmatrix} -X_u & -(X_w + q) \\ -(Z_u - q) & -Z_w \\ -M_u & -M_w \\ 0 & 0 \\ 0 & 0 \\ 0 & 0 \end{bmatrix}; \mathbf{B}_{\text{d lat}} = \begin{bmatrix} -Y_v \\ -L_v \\ -N_v \\ 0 \\ 0 \\ 0 \end{bmatrix} \quad (30.3)$$

$$\mathbf{B}_{d_{lon-lat}} = \begin{bmatrix} -(X_v - r) \\ -(Z_v + p) \\ -M_v \\ 0 \\ 0 \\ 0 \end{bmatrix}; \mathbf{B}_{d_{lat-lon}} = \begin{bmatrix} -(Y_u + r) & -(Y_w - p) \\ -L_u & -L_w \\ -N_u & -N_w \\ 0 & 0 \\ 0 & 0 \\ 0 & 0 \end{bmatrix} \quad (۳۱.۳)$$

در روابط فوق،  $X_i, Y_i, Z_i, L_i, M_i, N_i, \Phi_i, \Theta_i, \Psi_i, P_{n_i}, P_{e_i}$  و  $H_i$  به ازای  $i=u, v, w, p, q, r, \phi, \theta$  در روابط فوق،  $\psi, \delta_e, \delta_t, \delta_a, \delta_r$  نشان دهنده مشتقات آیرودینامیک و کنترل هستند؛ که به صورت زیر محاسبه می شوند:

$$\begin{cases} X_i = \frac{\partial u}{\partial i}; Y_i = \frac{\partial v}{\partial i}; Z_i = \frac{\partial w}{\partial i} \\ L_i = \frac{\partial \dot{p}}{\partial i}; M_i = \frac{\partial \dot{q}}{\partial i}; N_i = \frac{\partial \dot{r}}{\partial i} \\ \Phi_i = \frac{\partial \dot{\phi}}{\partial i}; \Theta_i = \frac{\partial \dot{\theta}}{\partial i}; \Psi_i = \frac{\partial \dot{\psi}}{\partial i} \\ P_{n_i} = \frac{\partial \dot{p}_n}{\partial i}; P_{e_i} = \frac{\partial \dot{p}_e}{\partial i}; H_i = \frac{\partial \dot{h}}{\partial i} \end{cases} \quad (۳۲.۳)$$

مشتقات آیرودینامیک و کنترل کانال های طولی و عرضی به ترتیب در جداول پ-۱ و پ-۲، که در پیوست "ب" موجود است، تعریف شده است. همچنین، شرایط پروازی و پارامترهای پرنده در پیوست "پ" بیان شده است. در نهایت، ماتریس خروجی های خطی سازی شده پرنده نیز به صورت زیر حاصل می شود:

$$\mathbf{z} = [p_n \quad p_e \quad h \quad u \quad v \quad w \quad p \quad q \quad r \quad \psi]^T \quad (۳۳.۳)$$

با در نظر گرفتن  $\mathbf{A}_{lon-lat} = \mathbf{A}_{lat-lon} = \mathbf{0}$ ، معادلات دکوپله کانال طولی و عرضی بدست می آید. در این صورت، معادلات حاکم بر حرکت کانال طولی به صورت زیر حاصل می شود:

$$\dot{u} = X_u(u - u_w) + X_w(w - w_w) + X_q q + X_\theta \theta + X_{\delta_e} \delta_e + X_{\delta_t} \delta_t \quad (۳۴.۳)$$

$$\dot{w} = Z_u(u - u_w) + Z_w(w - w_w) + Z_q q + Z_\theta \theta + Z_{\delta_e} \delta_e + Z_{\delta_t} \delta_t \quad (۳۵.۳)$$

$$\dot{q} = M_u(u - u_w) + M_w(w - w_w) + M_q q + M_{\delta_e} \delta_e + M_{\delta_t} \delta_t \quad (۳۶.۳)$$

$$\dot{\theta} = \theta_{\theta} q \quad (۳۷.۳)$$

$$\dot{h} = H_u u + H_w w + H_{\theta} \theta \quad (۳۸.۳)$$

$$\dot{P}_n = P_{n_u} u + P_{n_w} w + P_{n_{\theta}} \theta \quad (۳۹.۳)$$

همچنین، معادلات حاکم بر حرکت کانال عرضی به صورت زیر حاصل می شود:

$$\dot{v} = Y_v (v - v_w) + Y_p p + Y_r r + Y_{\phi} \phi + Y_{\delta_a} \delta_a + Y_{\delta_r} \delta_r \quad (۴۰.۳)$$

$$\dot{p} = L_u (v - v_w) + L_p p + L_r r + L_{\delta_a} \delta_a + L_{\delta_r} \delta_r \quad (۴۱.۳)$$

$$\dot{r} = N_v (v - v_w) + N_p p + N_r r + N_{\delta_a} \delta_a + N_{\delta_r} \delta_r \quad (۴۲.۳)$$

$$\dot{\phi} = p + \Phi_r r + \Phi_{\phi} \phi \quad (۴۳.۳)$$

$$\dot{\psi} = \Psi_r r + \Psi_{\phi} \phi \quad (۴۴.۳)$$

$$\dot{P}_e = P_{e_v} v + P_{e_{\phi}} \phi + P_{e_{\psi}} \psi \quad (۴۵.۳)$$

## ۲.۳ مدل سازی پدیده باد

مدل سازی اغتشاشات اتمسفری نقش مهمی را در کنترل پرنده بدون سرنشین ایفا می کند. در این بخش، مدل اغتشاشات اتمسفری به صورت زیر در نظر گرفته می شود:

$$\mathbf{V}_w = \mathbf{V}_{w_d} + \mathbf{V}_{w_s} \quad (۴۶.۳)$$

در رابطه فوق،  $\mathbf{V}_{w_d}$  و  $\mathbf{V}_{w_s}$  به ترتیب بیانگر مدل های باد معین و تصادفی هستند. در ادامه، مدل های باد به صورت جزئی بیان می شوند.

### ۱.۲.۳ مدل سازی باد معین

مولفه های باد معین عمدتاً در سیستم مختصات NED به صورت زیر بیان می شوند:

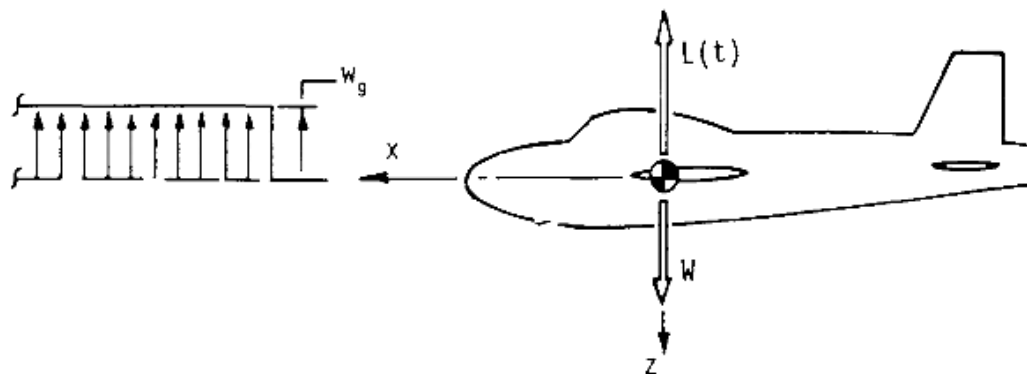
$$\mathbf{V}_{w_d}^N = [w_{n_d} \quad w_{e_d} \quad w_{d_d}]^T \quad (۴۷.۳)$$

در رابطه فوق،  $w_{n_d}$ ،  $w_{e_d}$  و  $w_{d_d}$  به ترتیب بیانگر مولفه های باد معین در جهات شمال، شرق و جنوب هستند. در ادامه، مدل بادهای معین شامل مدل باد ثابت (بخش ۱.۱.۲.۳)، مدل باد "1-cosine" (بخش ۲.۱.۲.۳)، مدل باد برشی (بخش ۳.۱.۲.۳) و مدل مایکروبرست (بخش ۴.۱.۲.۳) با توجه به مدل های موجود در مقالات تشریح می شوند.

### ۱.۱.۲.۳ مدل سازی باد ثابت

باد ثابت با مشخصه هایی مانند سرعت و جهت در سیستم مختصات زمینی بیان می شوند. جهت باد بیانگر جهت وزش باد است. به منظور مدل سازی بادهای ثابت، میزان سرعت و جهت باد ثابت فرض می شود. در ادامه، نمونه ای از بادهای ثابت هم چون تندباد لبه تیز، باد روبه رو، باد از پشت و باد جانبی بررسی می شوند.

تندباد لبه تیز: در صورتیکه پرنده با یک تندباد لبه تیز<sup>۱</sup> [۸۲] یا گاست پله<sup>۲</sup> [۸۳] ایده آل مطابق با شکل ۳.۳ مواجه شود؛ آنگاه فرض می شود که پاسخ دینامیکی پرنده تنها در جهت عمودی تغییر می کند و حرکت پیچ پرنده ناچیز است. پروفیل سرعت تندباد لبه تیز ایده آل به ندرت در طبیعت رخ می دهد. در مرجع [۸۳] مقدار سرعت باد در حدود  $50 \text{ft/sec}$  در نظر گرفته شده است.



شکل ۳.۳ مواجه پرنده با تندباد لبه تیز ایده آل [۸۳].

<sup>1</sup> Sharp-edged gust

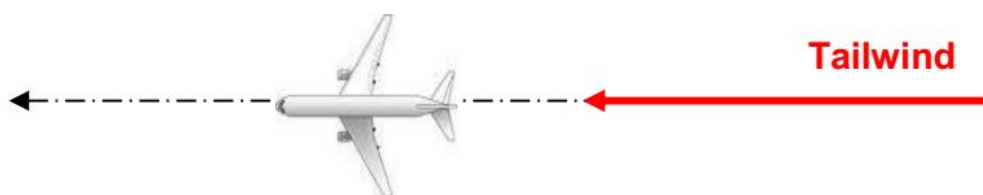
<sup>2</sup> Step Gust

**باد از جلو:** در صورتیکه پرنده تنها با باد ثابت روبه‌رو مطابق با شکل ۴.۳ مواجه شود؛ آنگاه مسیر پروازی پرنده مخالف جهت وزش باد است. در این صورت، وزش این نوع باد باعث عملکرد مناسب در فازهای فرود و برخاست پرنده می‌شود.



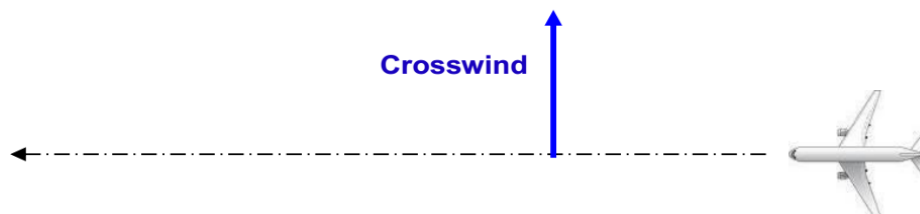
شکل ۴.۳ مواجه پرنده با باد ثابت خالص روبه‌رو

**باد از پشت:** در صورتیکه پرنده تنها با باد ثابت از پشت مطابق با شکل ۵.۳ مواجه شود؛ آنگاه پرنده در همان جهت وزش باد حرکت می‌کند. در این صورت، وزش این نوع باد باعث عملکرد مناسب در طول مسیر پرواز پرنده به دلیل کمینه‌کردن زمان پروازی می‌شود.

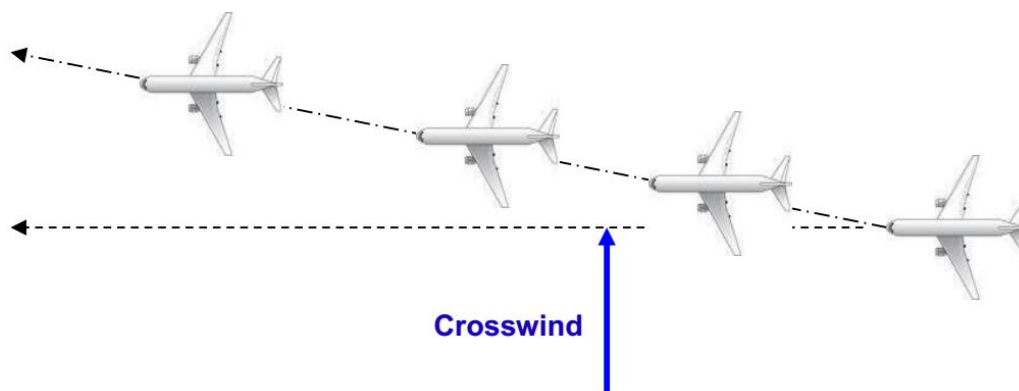


شکل ۵.۳ مواجه پرنده با باد ثابت خالص از پشت

**باد جانبی:** در صورتیکه پرنده تنها با باد جانبی مطابق با شکل ۶.۳ مواجه شود؛ آنگاه جهت وزش باد عمود بر جهت مسیر پروازی پرنده است. در این صورت، وزش این نوع باد باعث انحراف پرنده از مسیر مطلوب مطابق با شکل ۷.۳ پرنده می‌شود. باد جانبی می‌تواند از چپ به راست (مطابق با شکل ۶.۳) یا از راست به چپ بوزد. وزش باد جانبی در فازهای پروازی فرود و برخاست خطرناک است و باعث افزایش میزان نیاز به انحراف سطوح کنترلی رادر و الرون به‌منظور بالانس پرنده می‌شود. سطوح مختلف شدت باد جانبی اعمالی به پرنده در جدول ۱.۳ نشان داده شده‌است.



شکل ۶.۳ مواجه پرنده با باد ثابت خالص جانبی



شکل ۷.۳ انحراف پرنده از مسیر مطلوب در صورت وزش باد جانبی

جدول ۱.۳ شدت باد جانبی [۸۴].

مقدار (فوت بر ثانیه)	مقدار (نات)	شدت
۱۸-۰	۱۰-۰	کم
۵۰-۱۸	۳۰-۱۱	متوسط
۷۵-۵۰	۴۵-۳۱	شدید

## ۲.۱.۲.۳ مدل سازی باد "1-cosine"

بر مبنای استاندارد MIL-HDBK-1797B [۸۵]، مدل استاندارد "1-cosine" در شکل ۸.۳ نشان داده شده است. باد "1-cosine" ایده آل یک ساختار باد شامل یک پالس "1-cosine" مطابق با شکل ۹.۳ است. از این الگوی باد می توان به منظور ارزیابی پاسخ پرنده در برابر اغتشاشات بزرگ استفاده کرد [۸۶]. مدل ریاضی سرعت باد "1-cosine" به صورت زیر بیان می شود [۸۷]:

$$w_{1-\text{cosine}} = \left\{ \begin{array}{ll} \frac{v_m}{2} \left( 1 - \cos \left( \frac{2\pi x_g}{d_m} \right) \right) & \text{if } 0 < x_g < d_m \\ 0 & \text{otherwise} \end{array} \right\} \quad (۴۸.۳)$$

در رابطه فوق،  $v_m$  و  $d_m$  به ترتیب بیانگر اندازه و طول موج باد<sup>۱</sup> در جهت مورد نظر هستند. همچنین،  $x_g$  بیانگر فاصله طی شده است. لازم به ذکر است که  $\frac{d_m}{2}$  را فاصله گرادیانی<sup>۱</sup> می نامند. نمونه ای از اندازه باد

<sup>۱</sup> Gust Length

علیرضا شریفی، "توسعه و پیاده سازی فیلترهای چندمدلی در فرود خودکار پرنده بدون سرنشین جهت شناسایی برخط و جبران سازی اغتشاشات اتمسفری"، رساله دکتری، استاد راهنما: دکتر هادی نوبهاری، دانشگاه صنعتی شریف، دانشکده مهندسی هوافضا، تابستان ۱۳۹۹



$(v_m)$  در جهت محور Z سیستم مختصات بدنی در جدول ۲.۳ نشان داده شده است. همچنین، طول موج باد ( $d_m$ ) از دیدگاه سازه ای در بدترین حالت تقریباً ۲۵ برابر وتر میانگین هندسی بال ( $d_m = 25 \bar{c}$ ) در نظر گرفته می شود [۸۸].

به منظور محاسبه پاسخ پرنده، لازم است تا سرعت باد در حوزه زمان محاسبه شود. در این صورت، هنگامی که پرنده دارای سرعت ثابت  $V$  باشد؛ آنگاه بال پرنده با باد "1-cosine" در موقعیت  $x_g = Vt$  مواجه می شود. بنابراین، پاسخ زمانی باد "1-cosine" به صورت زیر حاصل می شود:

$$w_{1-\text{cosine}}(t) = \begin{cases} \frac{v_m}{2} \left( 1 - \cos \left( \frac{2\pi V}{d_m} t \right) \right) & \text{if } 0 < x_g < d_m \\ 0 & \text{otherwise} \end{cases} \quad (49.3)$$

در رابطه فوق،  $V$  بیانگر سرعت حقیقی هوا (TAS)<sup>۲</sup> است. همچنین، لازم به ذکر است که مولفه های سرعت باد در سیستم مختصات بدنی بر مبنای ماتریس انتقال به سیستم مختصات NED منتقل می شوند.

### ۳.۱.۲.۳ مدل سازی باد برشی

سرعت و جهت میانگین باد نسبت به زمین همواره در امتداد مسیر پروازی ثابت نیست. تغییرات میانگین باد در امتداد مسیر پرواز به صورت باد برشی شناخته می شوند. به عبارت دیگر، باد برشی از مجموع بادهای انتقالی، دورانی صلب و تغییر شکل یافته خالص مطابق با شکل ۱۰.۳ حاصل می شود. تاثیر باد برشی بر حرکت پرنده به خصوص در طول فازهای پروازی فرود و برخاست و نیز هنگامی که اندازه باد نسبتاً بزرگ باشد، دارای اهمیت است. سرعت باد برشی به صورت معکوس متناسب با ارتفاع است. در نتیجه، با افزایش ارتفاع، سرعت باد برشی کاهش می یابد [۹۱]. پروفیل سرعت باد برشی با توجه به مدل استاندارد سازمان هوانوردی غیرنظامی بین المللی (ICAO)<sup>۳</sup> به صورت زیر است [۸۷]:

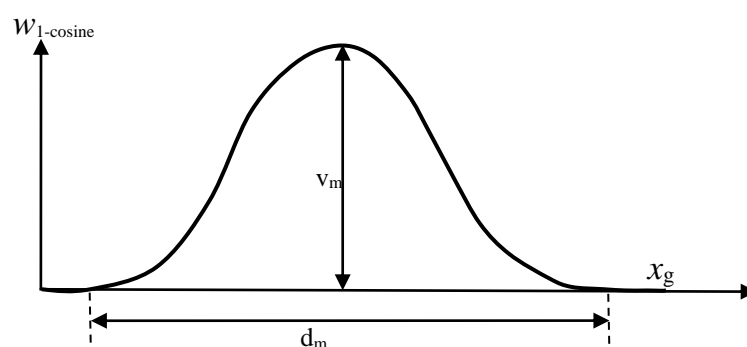
<sup>1</sup> Gradient Distance

<sup>2</sup> True Air Speed

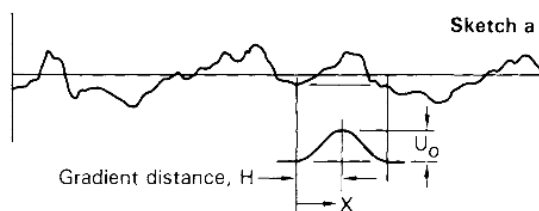
<sup>3</sup> International Civil Aviation Organization

$$w_{\text{wind shear}} = \begin{cases} w_{9.15} \frac{(h^{0.2545} - 0.4097)}{1.3470} & 0 < h < 300 \text{ m} \\ 2.86585 w_{9.15} & h \geq 300 \text{ m} \end{cases} \quad (۵۰.۳)$$

در رابطه فوق،  $w_{9.15}$  بیانگر سرعت باد در ارتفاع ۹/۱۵ متر است. همچنین، با در نظر گرفتن تاثیرات لایه مرزی جو، سرعت میانگین باد برشی در ارتفاعات پایین و در امتداد محور طولی قاب NED، هنگامی که باد از جهت شمال می‌وزد، بر مبنای استاندارد MIL-F-8785C [۸۶] به صورت زیر در نظر گرفته می‌شود [۸۷]:



شکل ۸.۳ پروفیل سرعت باد "1-cosine"



شکل ۹.۳ ساختار ایده آل باد شامل باد "1-cosine" [۸۹]

جدول ۲.۳ اندازه سرعت باد "1-cosine" [۹۰].

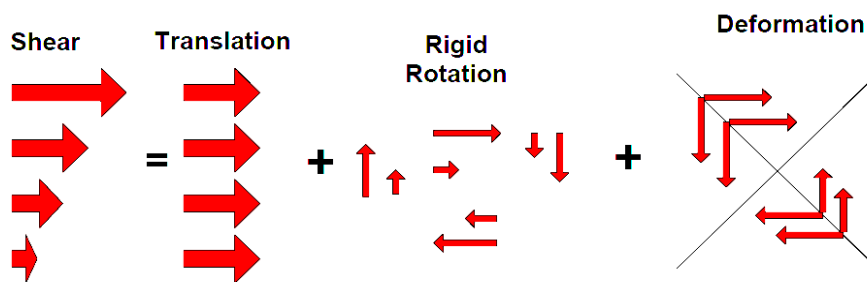
اندازه سرعت باد (فوت بر ثانیه)		فاز پروازی
ارتفاع از سطح دریا تا ۲۰,۰۰۰ فوت	ارتفاع ۵۰,۰۰۰ فوت	
۲۵	۵۰	کروز
۱۲/۵	۲۵	نزول

$$w_{n_{wind\ shear}} = w_{20} \frac{\ln(\frac{h}{z_0})}{\ln(\frac{20}{z_0})} \quad 3ft < h < 1000ft \quad (۵۱.۳)$$

در رابطه فوق،  $h = -pd$  بیانگر ارتفاع پرند و  $w_{20}$  بیانگر سرعت باد اندازه‌گیری شده در ارتفاع ۲۰ فوت (۶ متری) است. همچنین،  $z_0$  معادل ۰/۱۵ فوت برای فاز پروازی C و ۲ فوت برای سایر فازهای پروازی است. فاز پروازی C بیانگر فاز مراحل برخاست و نهایی شامل تقرب و فرود است [۹۲]. در صورتیکه جهت بردار باد نسبت به شمال با  $\psi_{wind}$  نشان داده شود؛ آنگاه مولفه‌های باد برشی در قاب NED به صورت زیر حاصل می‌شوند:

$$w_{n_{wind\ shear}} = w_{20} \frac{\ln(\frac{h}{z_0})}{\ln(\frac{20}{z_0})} \cos(\psi_{wind}) \quad (۵۲.۳)$$

$$w_{e_{wind\ shear}} = w_{20} \frac{\ln(\frac{h}{z_0})}{\ln(\frac{20}{z_0})} \sin(\psi_{wind}) \quad (۵۳.۳)$$

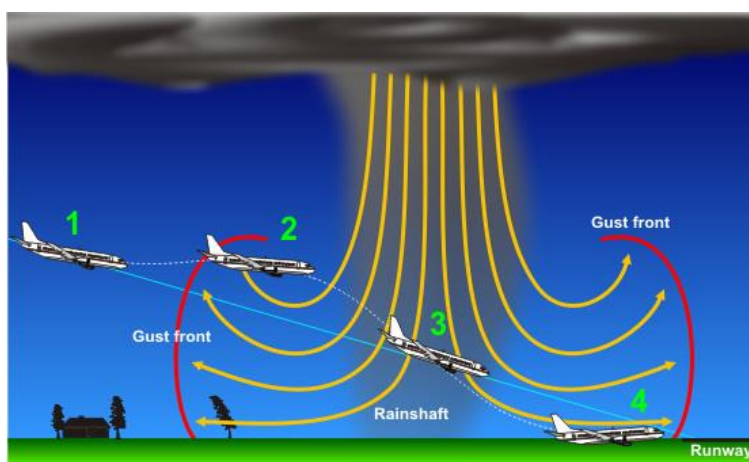


شکل ۱۰.۳ چگونگی ایجاد باد برشی.

#### ۴.۱.۲.۳ مدل‌سازی مایکروبرست

مایکروبرست نوع شدیدی از باد برشی است. این نوع باد زمانی ایجاد می‌شود که بادهای رو به جلو با شدت زیاد در مدت زمان کوتاهی به بادهای از پشت با شدت زیاد تبدیل می‌شوند [۸۷]. بنابراین یک پرند عبوری از مایکروبرست مطابق با شکل ۱۱.۳ می‌تواند بادهای برشی شدیدی را تجربه کند. همانطور

که مشاهده می‌شود، پرنده ابتدا در هنگام ورود به مایکروبرست با باد روبه جلو مواجه می‌شود. این باد باعث افزایش سرعت هوا پرنده و/یا انحراف پرنده از مسیر پروازی مطلوب می‌شود. سپس، خلبان با کاهش تراس و زاویه پیچ پرنده تمایل به بازگرداندن پرنده به مسیر پروازی مطلوب را دارد. در نتیجه، انرژی جنبشی پرنده کاهش می‌یابد. پس از آنکه پرنده به‌طور ناگهانی با هسته مایکروبرست مواجه می‌شود؛ آنگاه با کاهش شدید سرعت رو به جلو و انتقال به سرعت از پشت مواجه می‌شود. در نتیجه، یک جریان روبه پایین قوی ایجاد می‌شود.



شکل ۱۱.۳ مواجهه پرنده با مایکروبرست.

در این رساله، از مدل مایکروبرست Vicroy [۹۳]، که توسط ناسا ایجاد شده‌است، به‌عنوان یک مدل تجربی متقارن بر مبنای قانون بقای جرم جریان و همچنین، با در نظر گرفتن لایه مرزی استفاده می‌شود. این مدل انطباق خوبی با داده‌های واقعی مایکروبرست دارد [۹۴]. همچنین، این مدل تحلیلی یک تصحیحی از مدل پایین‌رونده Oseguera/Bowles [۹۴] است و مایکروبرست در مرکز سیستم مختصات مطابق با شکل ۱۲.۳ قرار گرفته‌است. بر اساس این مدل، مولفه‌های سرعت‌های باد در مایکروبرست در نقطه P به‌صورت زیر بیان می‌شوند [۹۴]:

$$w_{x_{mb}} = \frac{\lambda x}{2} \left[ \exp\left(c_1 \frac{h}{h_{max}}\right) - \exp\left(c_2 \frac{h}{h_{max}}\right) \right] \exp \left[ \frac{2 - (x^2 + y^2)^{\alpha_{mb}} / r_{max}^{2\alpha_{mb}}}{2\alpha_{mb}} \right] \quad (۵۴.۳)$$

$$w_{y_{mb}} = \frac{\lambda y}{2} \left[ \exp\left(c_1 \frac{h}{h_{max}}\right) - \exp\left(c_2 \frac{h}{h_{max}}\right) \right] \exp \left[ \frac{2 - (x^2 + y^2)^{\alpha_{mb}} / r_{max}^{2\alpha_{mb}}}{2\alpha_{mb}} \right] \quad (۵۵.۳)$$

$$w_{h_{mb}} = -\lambda \left\{ \frac{h_{max}}{c_1} \left[ \exp\left(c_1 \frac{h}{h_{max}}\right) - 1 \right] - \frac{h_{max}}{c_2} \left[ \exp\left(c_2 \frac{h}{h_{max}}\right) - 1 \right] \right\} \quad (۵۶.۳)$$

$$\left[ 1 - \frac{(x^2 + y^2)^{\alpha_{mb}}}{2r_{max}^{2\alpha}} \right] \exp\left[ \frac{2 - (x^2 + y^2)^{\alpha_{mb}} / r_c^{2\alpha_{mb}}}{2\alpha_{mb}} \right]$$

در رابطه فوق،  $x=p_n$  و  $y=-p_e$  هستند. همچنین،  $\alpha_{mb} = 2$  بیانگر مقدار متغیر شکل دهی<sup>۱</sup> است. به علاوه،  $\lambda$  بیانگر ضریب مقیاس<sup>۲</sup> است، که از رابطه زیر حاصل می شود:

$$\lambda = \frac{2u_{max}}{r_{max} [\exp(c_1) - \exp(c_2)] \exp\left(\frac{1}{2\alpha_{mb}}\right)} \quad (۵۷.۳)$$

در رابطه فوق،  $r_{max}$ ،  $h_{max}$  و  $u_{max}$  به ترتیب بیانگر فاصله شعاعی، ارتفاع و اندازه متناظر با حداکثر سرعت افقی<sup>۳</sup> هستند. همچنین، در مرجع [۹۵] مقادیر پارامترهای  $c_1$  و  $c_2$  به ترتیب برابر با  $-۰/۱۵$  و  $-۳/۲۱۷۵$  پیشنهاد شده است. نمونه ای از پارامترهای مدل مایکروبرست Vicroy در جدول ۳.۳ نشان داده شده است. مولفه های سرعت باد در مایکروبرست در نقطه P با تبدیل زیر به سیستم مختصات NED منتقل می شوند:

$$\mathbf{v}_{mb}^N = \begin{bmatrix} w_{n_{mb}} \\ w_{e_{mb}} \\ w_{d_{mb}} \end{bmatrix} = \begin{bmatrix} -1 & 0 & 0 \\ 0 & 1 & 0 \\ 0 & 0 & -1 \end{bmatrix} \begin{bmatrix} w_{x_{mb}} \\ w_{y_{mb}} \\ w_{h_{mb}} \end{bmatrix} \quad (۵۸.۳)$$

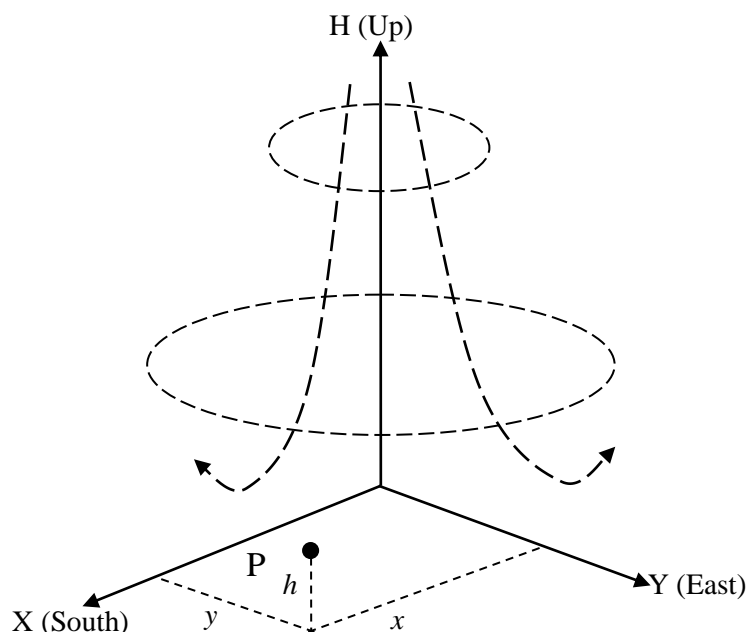
جدول ۳.۳ پارامترهای مدل مایکروبرست Vicroy.

پارامتر	توصیف	واحد	مقدار
$r_{max}$	فاصله شعاعی از مرکز مایکروبرست	ft	۳۶۷۸/۵
$h_{max}$	ارتفاع متناظر با حداکثر سرعت افقی	ft	۳۹۴
$u_{max}$	اندازه باد افقی ماکزیمم	ft/sec	۹۸/۴
$(x_c, y_c)$	مرکز مایکروبرست	ft	(0,0)

<sup>1</sup> Shaping Variable

<sup>2</sup> Scale Factor

<sup>3</sup> Most severe Horizontal Velocity



شکل ۱۲.۳ سیستم مختصات مدل Vicroy [۹۳].

### ۲.۲.۳ مدل سازی باد تصادفی

باد تصادفی می تواند به صورت یک سیگنال نویز سفید و/یا از طریق عبور دادن نویز سفید از یک فیلتر خطی نامتغیر با زمان توسط طیف توربولانس درآیدن مدل سازی شود. در ادامه، مدل های باد تصادفی شامل نویز سفید و مدل های باد درآیدن به ترتیب در بخش های ۱.۲.۲.۳ و ۲.۲.۲.۳ معرفی می شوند.

#### ۱.۲.۲.۳ نویز سفید

در این بخش، باد تصادفی به صورت نویز سفید مدل سازی می شود. نویز سفید توسط یک طیف توانی در محدوده وسیعی از فرکانس ها مشخص می شود. این نویز، با استفاده از تولید اعداد تصادفی بر مبنای توزیع گوسی با میانگین صفر و کواریانس مشخص ( $\mathbf{P}_{w_s}$ ) مدل می شود.

#### ۲.۲.۲.۳ مدل درآیدن

بر مبنای نتایج آزمایشگاهی، یک مدل مناسب برای تولید باد تصادفی از طریق عبور دادن یک سیگنال نویز سفید از فیلتر شکل دهنده<sup>۱</sup> توسط مدل های باد درآیدن و ون کرامن حاصل می شود. فیلترهای

<sup>1</sup> Shaping Filter

شکل‌دهنده درآیدن تقریب مناسبی به‌منظور تولید مولفه‌های توربولانس واقعی هستند؛ که به‌صورت زیر در سیستم مختصات بدنی مدل می‌شوند [۹۶]:

$$G_u(s) = \sigma_u \sqrt{\frac{2 V_a}{L_u}} \frac{1}{s + \frac{V_a}{L_u}} \quad (۵۹.۳)$$

$$G_v(s) = \sigma_v \sqrt{\frac{3 V_a}{L_v}} \frac{\left(s + \frac{V_a}{\sqrt{3}L_v}\right)}{\left(s + \frac{V_a}{L_v}\right)^2} \quad (۶۰.۳)$$

$$G_w(s) = \sigma_w \sqrt{\frac{3 V_a}{L_w}} \frac{\left(s + \frac{V_a}{\sqrt{3}L_w}\right)}{\left(s + \frac{V_a}{L_w}\right)^2} \quad (۶۱.۳)$$

در روابط فوق،  $\sigma_u$ ،  $\sigma_v$  و  $\sigma_w$  بیانگر شدت توربولانس و  $L_u$ ،  $L_v$  و  $L_w$  نشان‌دهنده طول موج توربولانس در امتداد محورهای بدنی هستند. بر مبنای MIL-F-8785C، پارامترهای مدل درآیدن در ارتفاع‌های پایین و متوسط و نیز برای شدت توربولانس‌های کم و متوسط در جدول ۴.۳ بیان شده‌است.

جدول ۴.۳ پارامترهای مدل درآیدن [۹۶].

پارامتر	واحد	ارتفاع پایین		ارتفاع متوسط	
		توربولانس کم	توربولانس متوسط	توربولانس کم	توربولانس متوسط
ارتفاع	m	۵۰	۵۰	۶۰	۶۰
$L_u=L_v$	m	۲۰۰	۲۰۰	۵۳۳	۵۳۳
$L_w$	m	۵۰	۵۰	۵۳۳	۵۳۳
$\sigma_u = \sigma_v$	m/sec	۱/۰۶	۲/۱۲	۱/۵	۳
$\sigma_w$	m/sec	۰/۷	۱/۴	۱/۵	۳

## ۴ تحلیل مشاهده‌پذیری متغیرهای حالت و پدیده باد

به‌منظور کنترل دقیق پرنده بدون سرنشین معمولاً به تمام متغیرهای حالت و نیز اطلاعات ورودی‌های نامعلوم نیاز است. در عمل، بعضی از متغیرهای حالت اندازه‌گیری نمی‌شوند و نیز ورودی‌های نامعلوم قابل اندازه‌گیری نیستند. از آنجا که، باد متغیر با زمان است و در هنگام پرواز پرنده بدون سرنشین به‌صورت ورودی نامعلوم است؛ لذا، تحلیل مشاهده‌پذیری متغیرهای حالت پرنده در حضور باد، تحلیل مشاهده‌پذیری باد و تحلیل مشاهده‌پذیری توأمان متغیرهای حالت پرنده و باد با استفاده از اندازه‌گیری ضروری است.

در این فصل، ابتدا تعاریف و قضایای مرتبط با مشاهده‌پذیری متغیرهای حالت، مشاهده‌پذیری قوی، مشاهده‌پذیری ورودی‌های نامعلوم و مشاهده‌پذیری توأمان متغیرهای حالت و ورودی‌های نامعلوم برای سیستم‌های خطی پیوسته زمان و سیستم‌های خطی گسسته زمان به‌ترتیب در بخش‌های ۱.۴ و ۲.۴ توسعه داده می‌شود. سپس، این مفاهیم برای سیستم‌های غیرخطی افاین پیوسته زمان در بخش ۳.۴ توسعه داده می‌شود. در انتها، در بخش ۴.۴ مشاهده‌پذیری متغیرهای حالت پرنده بدون سرنشین، مدل باد و پارامترهای هر مدل باد بررسی می‌شوند.

### ۱.۴ تحلیل مشاهده‌پذیری سیستم‌های خطی پیوسته زمان

این بخش به تحلیل مشاهده‌پذیری متغیرهای حالت و ورودی‌های نامعلوم برای سیستم‌های خطی پیوسته زمان می‌پردازد. مدل فضای حالت یک سیستم خطی پیوسته زمان به‌صورت زیر بیان می‌شود:

$$\dot{\mathbf{x}} = \mathbf{A} \mathbf{x} + \mathbf{B} \delta + \mathbf{B}_d \mathbf{d} \quad (1.4)$$



در معادله فوق،  $\mathbf{x}$ ،  $\delta$  و  $\mathbf{d}$  به ترتیب بیانگر متغیرهای حالت، ورودی‌های کنترلی و ورودی‌های نامعلوم (همچون باد) هستند. همچنین،  $\mathbf{A}$ ،  $\mathbf{B}$  و  $\mathbf{B}_d$  به ترتیب نشان‌دهنده ماتریس‌های سیستم، ورودی‌های کنترل و ورودی‌های نامعلوم هستند. به علاوه، معادله اندازه‌گیری به صورت زیر بیان می‌شود:

$$\mathbf{z} = \mathbf{C}\mathbf{x} + \mathbf{D}\delta + \mathbf{D}_d \mathbf{d} \quad (۲.۴)$$

در معادله فوق،  $\mathbf{C}$  و  $\mathbf{D}$  به ترتیب بیانگر ماتریس خروجی و ماتریس پیش‌خور<sup>۱</sup> ورودی معلوم هستند. همچنین،  $\mathbf{D}_d$  ماتریس پیش‌خور ورودی نامعلوم است.

#### ۱.۱.۴ تحلیل مشاهده‌پذیری متغیرهای حالت

از تئوری مشاهده‌پذیری متغیرهای حالت به منظور بررسی امکان بازیابی متغیرهای حالت با استفاده از اندازه‌گیری‌های موجود استفاده می‌شود. در این بخش، تعاریف و قضیه مربوط به تحلیل مشاهده‌پذیری متغیرهای حالت برای سیستم خطی پیوسته زمان بیان می‌شود.

**تعریف ۱:** سیستم خطی پیوسته زمان، بیان شده در معادلات (۱.۴) و (۲.۴)، مشاهده‌پذیر متغیر حالت نامیده می‌شود؛ اگر مقدار اولیه بردار متغیر حالت  $\mathbf{x}_0$  با استفاده از خروجی‌های  $\mathbf{z}^{(i)}$  و ورودی‌های معلوم  $\delta^{(i)}$  به‌ازای هر  $\mathbf{x}_0$  و برای تمام  $t \in [0, \tau]$  قابل بازیابی باشد. در اینجا،  $\mathbf{z}^{(i)}$  مشتق مرتبه  $i$ -ام خروجی  $\mathbf{z}$  نسبت به زمان است.

**تعریف ۲:** متغیر حالت  $\mathbf{x}$  مشاهده‌پذیر متغیر حالت نامیده می‌شود؛ اگر به‌ازای هر  $\mathbf{x}'$  در همسایگی متغیر حالت  $\mathbf{x}$  و هر ورودی معلوم  $\delta^*$

$$\mathbf{z}(\mathbf{x}', \delta^*) \neq \mathbf{z}(\mathbf{x}, \delta^*) \quad (۳.۴)$$

**قضیه ۱ (شرط مشاهده‌پذیری متغیر حالت):** سیستم خطی پیوسته زمان، بیان شده در معادلات (۱.۴) و (۲.۴)، مشاهده‌پذیر متغیر حالت است؛ اگر و فقط اگر

<sup>۱</sup> Feedforward Matrix

$$\text{rank}(\mathbf{O}_n) = n \quad (۴.۴)$$

در رابطه فوق،  $n$  بیانگر تعداد متغیرهای حالت است. همچنین،  $\mathbf{O}_n$  نشان دهنده ماتریس مشاهده پذیری است؛ که به صورت زیر تعریف می شود [۹۷]:

$$\mathbf{O}_n = \begin{bmatrix} \mathbf{C} \\ \mathbf{CA} \\ \dots \\ \mathbf{CA}^{n-1} \end{bmatrix} \quad (۵.۴)$$

#### ۲.۱.۴ تحلیل مشاهده پذیری قوی

در این بخش، تئوری مشاهده پذیری قوی به منظور تحلیل مشاهده پذیری متغیرهای حالت در حضور ورودی های نامعلوم با استفاده از اندازه گیری های موجود بیان می شود. سپس، دو تعریف و یک قضیه به منظور آنالیز مشاهده پذیری قوی برای سیستم های خطی بیان می شود.

**تعریف ۳:** سیستم خطی پیوسته، بیان شده در معادلات (۱.۴) و (۲.۴)، **مشاهده پذیر قوی** نامیده می شود؛ اگر مقدار ابتدایی بردار متغیر حالت  $\mathbf{x}_0$  با استفاده از خروجی های  $\mathbf{z}^{(i)}$  و ورودی های معلوم  $\delta^{(i)}$  به ازای هر  $\mathbf{x}_0$  و هر  $\mathbf{d}^{(i)}$  و برای تمام  $t \in [0, \tau]$  قابل بازیابی باشد. در اینجا،  $\mathbf{d}^{(i)}$  مشتق مرتبه  $i$ -ام ورودی های نامعلوم  $\mathbf{d}$  نسبت به زمان است.

**تعریف ۴:** متغیر حالت  $\mathbf{x}$  **مشاهده پذیر قوی** نامیده می شود؛ اگر به ازای هر  $\mathbf{x}'$  در همسایگی متغیر

حالت  $\mathbf{x}$ ، هر ورودی نامعلوم  $\mathbf{d}'$  و  $\mathbf{d}$  و هر ورودی معلوم  $\delta^*$

$$\mathbf{z}(\mathbf{x}', \delta^*, \mathbf{d}') \neq \mathbf{z}(\mathbf{x}, \delta^*, \mathbf{d}) \quad (۶.۴)$$

**قضیه ۲ (شرایط مشاهده پذیری قوی):** سیستم خطی پیوسته زمان، بیان شده در معادلات (۱.۴) و

(۲.۴)، **مشاهده پذیر قوی** است؛ اگر و فقط اگر [۹۸]

$$\text{rank}(\mathbf{O}_n) = n \quad (۷.۴)$$

9

$$\text{rank}([\mathbf{O}_n \quad \mathbf{W}_d]) = n + \text{rank}(\mathbf{W}_d) \quad (۸.۴)$$

در رابطه فوق،  $\mathbf{W}_d$  بیانگر ماتریس معکوس پذیری ورودی‌های نامعلوم است؛ که به صورت زیر تعریف می‌شود:

$$\mathbf{W}_d = \begin{bmatrix} \mathbf{D}_d & \mathbf{0} & \mathbf{0} & \dots & \mathbf{0} \\ \mathbf{CB}_d & \mathbf{D}_d & \mathbf{0} & \dots & \mathbf{0} \\ \mathbf{CAB}_d & \mathbf{CB}_d & \mathbf{D}_d & \dots & \mathbf{0} \\ \vdots & \vdots & \vdots & \ddots & \vdots \\ \mathbf{CA}^{n-2}\mathbf{B}_d & \mathbf{CA}^{n-3}\mathbf{B}_d & \mathbf{CA}^{n-4}\mathbf{B}_d & \dots & \mathbf{D}_d \end{bmatrix} \quad (۹.۴)$$

اثبات قضیه ۲ مرتبط با شرایط مشاهده پذیری قوی در پیوست "ت" بیان شده است.

### ۳.۱.۴ تحلیل مشاهده پذیری ورودی نامعلوم

در این بخش، تئوری ورودی‌های نامعلوم به منظور تحلیل مشاهده پذیری ورودی نامعلوم با استفاده از اندازه گیری‌های موجود معرفی می‌شود. به این منظور، ابتدا مشاهده پذیری ورودی نامعلوم تعریف می‌شود. سپس، یک شرط برای بررسی مشاهده پذیری ورودی نامعلوم برای سیستم خطی پیوسته زمان بیان می‌شود.

**تعریف ۵:** سیستم خطی پیوسته زمان، بیان شده در معادلات (۱.۴) و (۲.۴)، مشاهده پذیر ورودی نامعلوم نامیده می‌شود؛ اگر بردار ورودی نامعلوم  $\mathbf{d}_0$  با استفاده از خروجی‌ها،  $\mathbf{z}^{(i)}$ ، متغیر حالت  $\mathbf{x}_0$  و ورودی‌های معلوم  $\delta^{(i)}$  به ازای هر  $\mathbf{d}^{(i+1)}$  و برای تمام  $t \in [0, \tau]$  قابل بازیابی باشد.

**تعریف ۶:** بردار ورودی مجهول  $\mathbf{d}$  مشاهده پذیر ورودی نامعلوم نامیده می‌شود؛ اگر به ازای هر بردار ورودی نامعلوم  $\mathbf{d}'$  در همسایگی  $\mathbf{d}$ ، هر متغیر حالت  $\mathbf{x}'$  و  $\mathbf{x}$  و هر ورودی معلوم  $\delta^*$

$$\mathbf{z}(\mathbf{x}', \delta^*, \mathbf{d}') \neq \mathbf{z}(\mathbf{x}, \delta^*, \mathbf{d}) \quad (۱۰.۴)$$

قضیه ۳ (شرط مشاهده پذیری ورودی نامعلوم): سیستم خطی پیوسته زمان، بیان شده در معادلات (۱.۴) و (۲.۴)، مشاهده پذیر ورودی نامعلوم است؛ اگر و فقط اگر

$$\text{rank}(\mathbf{O}_d) = n_d \quad (11.4)$$

و

$$\text{rank}(\mathbf{W}_d) = n_d + \text{rank}(\mathbf{W}'_d) \quad (12.4)$$

در رابطه فوق،  $n_d$  بیانگر تعداد ورودی‌های نامعلوم است. همچنین،  $\mathbf{O}_d$  نشان‌دهنده ماتریس مشاهده پذیری ورودی‌های نامعلوم است؛ که به صورت زیر تعریف می‌شود:

$$\mathbf{O}_d = \begin{bmatrix} \mathbf{D}_d \\ \mathbf{CB}_d \\ \mathbf{CAB}_d \\ \vdots \\ \mathbf{CA}^{n-1}\mathbf{B}_d \end{bmatrix} \quad (13.4)$$

همچنین،  $\mathbf{W}'_d$  بیانگر ماتریس معکوس پذیری ورودی‌های نامعلوم مرتبط با اولین تا  $n$  امین مشتق زمانی از ورودی نامعلوم  $\mathbf{d}$  است؛ که به صورت زیر تعریف می‌شود:

$$\mathbf{W}'_d = \begin{bmatrix} \mathbf{0} & \mathbf{0} & \dots & \mathbf{0} \\ \mathbf{D}_d & \mathbf{0} & \dots & \mathbf{0} \\ \mathbf{CB}_d & \mathbf{D}_d & \dots & \mathbf{0} \\ \vdots & \vdots & \ddots & \vdots \\ \mathbf{CA}^{n-2}\mathbf{B}_d & \mathbf{CA}^{n-3}\mathbf{B}_d & \dots & \mathbf{D}_d \end{bmatrix} \quad (14.4)$$

اثبات قضیه ۳ مرتبط با شرایط مشاهده پذیری ورودی‌های نامعلوم، که توسط نگارنده انجام شده، در پیوست "ت" ارائه شده است.

#### ۴.۱.۴ تحلیل مشاهده پذیری توأمان متغیرهای حالت و ورودی نامعلوم

از تئوری مشاهده پذیری توأمان متغیرهای حالت و ورودی نامعلوم به منظور تحلیل مشاهده پذیری همزمان متغیرهای حالت و ورودی‌های نامعلوم با استفاده از اندازه‌گیری‌های موجود استفاده می‌شود. در این بخش، ابتدا مشاهده پذیری توأمان متغیرهای حالت و ورودی نامعلوم برای سیستم خطی پیوسته زمان تعریف می‌شود. سپس، یک شرط برای تحلیل مشاهده پذیری توأمان متغیرهای حالت و ورودی نامعلوم بیان می‌شود.

**تعریف ۷:** سیستم خطی پیوسته زمان، بیان شده در معادلات (۱.۴) و (۲.۴)، مشاهده پذیر توأمان متغیر حالت و ورودی نامعلوم نامیده می‌شود؛ اگر مقدار اولیه بردار متغیر حالت افزونه<sup>۱</sup>  $\mathbf{x}_{a_0} = [\mathbf{x}_0^T \quad \mathbf{d}_0^T]^T$  با استفاده از  $\mathbf{z}^{(i)}$  و ورودی‌های معلوم  $\delta^{(i)}$  به ازای هر متغیر حالت افزونه  $\mathbf{x}_{a_0}$  و هر ورودی نامعلوم  $\mathbf{d}^{(i+1)}$  و برای تمام  $t \in [0, \tau]$  بازیابی شود.

**تعریف ۸:** متغیر حالت افزونه  $\mathbf{x}_a$  مشاهده پذیر توأمان متغیرهای حالت و ورودی‌های نامعلوم نامیده می‌شود؛ اگر به ازای هر متغیر حالت افزونه  $\mathbf{x}_a'$  در همسایگی متغیر حالت افزونه  $\mathbf{x}_a$  و هر ورودی معلوم  $\delta^*$

$$\mathbf{z}(\mathbf{x}_a', \delta^*) \neq \mathbf{z}(\mathbf{x}_a, \delta^*) \quad (15.4)$$

**قضیه ۴ (شرط مشاهده پذیری توأمان متغیرهای حالت و ورودی نامعلوم):** سیستم خطی پیوسته زمان، بیان شده در معادلات (۱.۴) و (۲.۴)، مشاهده پذیر توأمان متغیرهای حالت و ورودی نامعلوم است؛ اگر و فقط اگر

$$\text{rank}(\mathbf{O}_{nd}) = n + n_d \quad (16.4)$$

و

<sup>1</sup>Augmented

$$\text{rank}([\mathbf{O}_{nd} \quad \mathbf{W}'_d]) = n + n_d + \text{rank}(\mathbf{W}'_d) \quad (17.4)$$

در رابطه فوق،  $\mathbf{O}_{nd}$  نشان دهنده ماتریس مشاهده پذیری توأمان متغیرهای حالت و ورودی‌های نامعلوم است؛ که به صورت زیر تعریف می‌شود:

$$\mathbf{O}_{nd} = \begin{bmatrix} \mathbf{C} & \mathbf{D}_d \\ \mathbf{CA} & \mathbf{CB}_d \\ \mathbf{CA}^2 & \mathbf{CAB}_d \\ \vdots & \vdots \\ \mathbf{CA}^n & \mathbf{CA}^{n-1}\mathbf{B}_d \end{bmatrix} \quad (18.4)$$

اثبات قضیه ۴ مرتبط با شرایط مشاهده پذیری توأمان متغیرهای حالت و ورودی‌های نامعلوم، که توسط نگارنده انجام شده، در پیوست "ت" ارائه شده است.

#### ۵.۱.۴ تحلیل مشاهده پذیری متغیرهای حالت سیستم غیر خطی در حضور خطای خطی سازی

در این بخش، تاثیر خطاهای خطی سازی سیستم غیر خطی بر مشاهده پذیری متغیرهای حالت بررسی می‌شود. به این منظور، مدل فضای حالت به صورت زیر بیان می‌شود:

$$\dot{\mathbf{x}} = \mathbf{A}\mathbf{x} + \mathbf{B}\delta + \varepsilon \quad (19.4)$$

$$\mathbf{z} = \mathbf{C}\mathbf{x} \quad (20.4)$$

در رابطه فوق،  $\varepsilon$  بیانگر خطاهای خطی سازی سیستم غیر خطی است. در ادامه، یک تعریف و یک قضیه به منظور بیان شرط مشاهده پذیری متغیرهای حالت در حضور خطاهای خطی سازی بیان می‌شود.

**تعریف ۹:** سیستم خطی پیوسته زمان، بیان شده در معادلات (۱۹.۴) و (۲۰.۴)، مشاهده پذیر متغیر

حالت در حضور خطاهای خطی سازی سیستم غیر خطی نامیده می‌شود؛ اگر مقدار اولیه بردار متغیر

حالت  $\mathbf{x}_0$  با استفاده از  $\mathbf{z}^{(i)}$  به ازای هر  $\mathbf{x}_0$  و هر  $\varepsilon^{(i)}$  و برای تمام  $t \in [0, \tau]$  بازیابی شود. در اینجا،  $\varepsilon^{(i)}$  بیانگر مشتق زمانی  $i$ -ام خطاهای خطی سازی است.

قضیه ۵ (شرط مشاهده پذیری متغیر حالت سیستم غیرخطی در حضور خطاهای خطی سازی):  
سیستم خطی پیوسته زمان، بیان شده در معادلات (۱۹.۴) و (۲۰.۴)، مشاهده پذیر متغیر حالت  
سیستم غیرخطی در حضور خطاهای خطی سازی است؛ اگر و فقط اگر

$$\text{rank}(\mathbf{O}_n) = n \quad (21.4)$$

و

$$\text{rank}([\mathbf{O}_n \quad \mathbf{E}_n]) = n + \text{rank}(\mathbf{E}_n) \quad (22.4)$$

در رابطه فوق،  $\mathbf{O}_n$  نشان دهنده ماتریس مشاهده پذیری متغیرهای حالت است؛ که به صورت زیر تعریف  
می شود:

$$\mathbf{O}_n = \begin{bmatrix} \mathbf{C} \\ \mathbf{CA} \\ \mathbf{CA}^2 \\ \vdots \\ \mathbf{CA}^{n-1} \end{bmatrix} \quad (23.4)$$

همچنین،  $\mathbf{E}_n$  بیانگر ماتریس خطای سیستم خطی شده است، که به صورت زیر بیان می شود:

$$\mathbf{E}_n = \frac{1}{2} \begin{bmatrix} \mathbf{0} & \mathbf{0} & \mathbf{0} & \dots & \mathbf{0} \\ \mathbf{Cm} & \mathbf{0} & \mathbf{0} & \dots & \mathbf{0} \\ \mathbf{CAm} & \mathbf{Cm} & \mathbf{0} & \dots & \mathbf{0} \\ \vdots & \vdots & \ddots & \vdots & \vdots \\ \mathbf{CA}^{n-2}\mathbf{m} & \mathbf{CA}^{n-3}\mathbf{m} & \dots & \mathbf{Cm} & \mathbf{0} \end{bmatrix} \quad (24.4)$$

در رابطه فوق،  $\mathbf{m}$  بیانگر بردار مرتبط با بزرگترین مقدار مشتق مرتبه دوم سیستم غیرخطی مورد نظر در  
یک نقطه مشخص است، که به صورت زیر تعریف می شود:

$$\mathbf{m} = \begin{bmatrix} \max \left( \left| \frac{\partial^2 f_1}{\partial x_1^2} \right|, \left| \frac{\partial^2 f_1}{\partial x_1 x_2} \right|, \dots, \left| \frac{\partial^2 f_1}{\partial x_1 x_n} \right|, \dots, \left| \frac{\partial^2 f_1}{\partial x_n^2} \right| \right) \\ \max \left( \left| \frac{\partial^2 f_2}{\partial x_1^2} \right|, \left| \frac{\partial^2 f_2}{\partial x_1 x_2} \right|, \dots, \left| \frac{\partial^2 f_2}{\partial x_1 x_n} \right|, \dots, \left| \frac{\partial^2 f_2}{\partial x_n^2} \right| \right) \\ \vdots \\ \max \left( \left| \frac{\partial^2 f_n}{\partial x_1^2} \right|, \left| \frac{\partial^2 f_n}{\partial x_1 x_2} \right|, \dots, \left| \frac{\partial^2 f_n}{\partial x_1 x_n} \right|, \dots, \left| \frac{\partial^2 f_n}{\partial x_n^2} \right| \right) \end{bmatrix} \quad (25.4)$$

که،  $\mathbf{f} = [f_1 \ f_2 \ \dots \ f_n]^T$  مدل غیر خطی سیستم است.

اثبات قضیه ۵ مرتبط با شرایط مشاهده پذیری متغیر حالت در حضور خطاهای خطی سازی سیستم غیر خطی، که توسط نگارنده انجام شده، در پیوست "ت" ارائه شده است.

۶.۱.۴ تحلیل مشاهده پذیری ورودی های نامعلوم در حضور ماتریس متغیر با زمان ورودی های نامعلوم در این بخش، تاثیر ماتریس متغیر با زمان ورودی های نامعلوم بر روی مشاهده پذیری متغیرهای حالت بررسی می شود. به این منظور، مدل فضای حالت به صورت زیر بیان می شود:

$$\dot{\mathbf{x}} = \mathbf{A} \mathbf{x} + \mathbf{B} \delta + \mathbf{B}_d(t) \mathbf{d} \quad (26.4)$$

$$\mathbf{z} = \mathbf{C} \mathbf{x} + \mathbf{D} \delta + \mathbf{D} \mathbf{d} \quad (27.4)$$

در رابطه فوق،  $\mathbf{B}_d(t)$  بیانگر ماتریس متغیر با زمان ورودی های نامعلوم است.

قضیه ۶ (شرط مشاهده پذیری ورودی های نامعلوم در حضور ماتریس متغیر با زمان ورودی های نامعلوم): سیستم خطی پیوسته زمان، بیان شده در معادلات (۲۶.۴) و (۲۷.۴)، مشاهده پذیر ورودی های نامعلوم در حضور ماتریس متغیر با زمان ورودی های نامعلوم است؛ اگر و فقط اگر

$$\text{rank}(\mathbf{O}_d(t)) = n_d \quad (28.4)$$

و

$$\text{rank}([\mathbf{O}_d(t) \ \mathbf{W}_d'(t)]) = n_d + \text{rank}(\mathbf{W}_d'(t)) \quad (29.4)$$

در روابط فوق،  $\mathbf{O}_d(t)$  و  $\mathbf{W}_d'(t)$  به صورت زیر تعریف می شوند:



$$\mathbf{O}_d = \begin{bmatrix} \mathbf{D}_d \\ \mathbf{C}\mathbf{B}_d(t) \\ \mathbf{C}\mathbf{A}\mathbf{B}_d(t) + \mathbf{C}\mathbf{A}\mathbf{B}_d^{(1)}(t) \\ \vdots \\ \sum_{j=1}^{n-1} \mathbf{C}\mathbf{A}^{n-1-j} \mathbf{B}_d^{(j-1)}(t) \\ \vdots \\ \sum_{j=1}^i \mathbf{C}\mathbf{A}^{i-j} \mathbf{B}_d^{(j-1)}(t) \end{bmatrix} \quad (30.4)$$

$$\mathbf{W}'_d = \begin{bmatrix} \mathbf{0} & \mathbf{0} & \dots & \mathbf{0} \\ \mathbf{D}_d & \mathbf{0} & \dots & \mathbf{0} \\ \mathbf{C}\mathbf{B}_d(t) & \mathbf{D}_d & \dots & \mathbf{0} \\ \vdots & \vdots & \ddots & \vdots \\ \sum_{j=1}^{n-2} j \mathbf{C}\mathbf{A}^{n-2-j} \mathbf{B}_d^{(j-1)}(t) & \dots & \sum_{j=1}^{n-1-m} \frac{(j+m-1)!}{(j-1)!m!} \mathbf{C}\mathbf{A}^{n-1-m-j} \mathbf{B}_d^{(j-1)}(t) & \mathbf{D}_d \end{bmatrix} \quad (31.4)$$

اینجا،  $m=0, \dots, n-1$  و  $\mathbf{O}_d(t)$  ماتریس مشاهده پذیری متغیر با زمان ورودی‌های نامعلوم نامیده می‌شود. اثبات قضیه ۶ مرتبط با شرایط مشاهده پذیری ورودی‌های نامعلوم در حضور ماتریس متغیر با زمان ورودی‌های نامعلوم، که توسط نگارنده انجام شده، در پیوست "ت" ارائه شده است.

## ۲.۴ تحلیل مشاهده پذیری سیستم‌های خطی گسسته زمان

این بخش به تحلیل مشاهده پذیری متغیرهای حالت و ورودی‌های نامعلوم برای سیستم‌های خطی گسسته زمان می‌پردازد. مدل فضای حالت یک سیستم خطی گسسته زمان به صورت زیر بیان می‌شود:

$$\mathbf{x}_{t+1} = \mathbf{A} \mathbf{x}_t + \mathbf{B} \delta_t + \mathbf{B}_d \mathbf{d}_t \quad (32.4)$$

در معادله فوق،  $\mathbf{x}_t$ ،  $\delta_t$  و  $\mathbf{d}_t$  به ترتیب بیانگر متغیرهای حالت، ورودی‌های کنترلی و ورودی‌های نامعلوم (همچون باد) در زمان نمونه برداری  $t$  هستند. همچنین،  $\mathbf{A}$ ،  $\mathbf{B}$  و  $\mathbf{B}_d$  به ترتیب نشان‌دهنده ماتریس سیستم، ماتریس ورودی‌های کنترل و ماتریس ورودی‌های نامعلوم هستند. به علاوه، معادله اندازه‌گیری به صورت زیر بیان می‌شود:

$$\mathbf{z}_t = \mathbf{C}\mathbf{x}_t + \mathbf{D}\delta_t + \mathbf{D}_d \mathbf{d}_t \quad (33.4)$$

در معادله فوق،  $\mathbf{C}$  و  $\mathbf{D}$  به ترتیب بیانگر ماتریس خروجی و پیش خور ورودی معلوم هستند. همچنین،  $\mathbf{D}_d$  نشان دهنده ماتریس پیش خور ورودی نامعلوم است.

#### ۱.۲.۴ تحلیل مشاهده پذیری متغیرهای حالت

در این بخش، تعاریف و قضیه مربوط به تحلیل مشاهده پذیری متغیرهای حالت برای سیستم خطی گسسته زمان بیان می شود.

**تعریف ۱۰:** سیستم خطی گسسته زمان، بیان شده در معادلات (۳۲.۴) و (۳۳.۴)، مشاهده پذیر متغیر حالت در فاصله زمانی  $[0, \tau]$  نامیده می شود؛ اگر مقدار اولیه بردار متغیر حالت  $\mathbf{x}_0$  با استفاده از دنباله خروجی های  $\mathbf{z}_t$  و ورودی های معلوم  $\delta_t$  به ازای هر متغیر ابتدایی  $\mathbf{x}_0$  و برای تمام  $t \in [0, \tau]$  قابل بازیابی باشد.

**تعریف ۱۱:** متغیر حالت  $\mathbf{x}_k$  مشاهده پذیر متغیر حالت نامیده می شود؛ اگر برای هر  $\mathbf{x}'_k$  در همسایگی متغیر حالت  $\mathbf{x}_k$  و هر ورودی معلوم  $\delta^*$

$$\mathbf{z}_k(\mathbf{x}'_k, \delta_k^*) \neq \mathbf{z}_k(\mathbf{x}_k, \delta_k^*) \quad (34.4)$$

**قضیه ۷ (شرط مشاهده پذیری متغیر حالت):** سیستم خطی گسسته زمان، بیان شده در معادلات (۳۲.۴) و (۳۳.۴)، مشاهده پذیر متغیر حالت است؛ اگر و فقط اگر

$$\text{rank}(\mathbf{O}_n) = n \quad (35.4)$$

در رابطه فوق،  $n$  بیانگر تعداد متغیرهای حالت است. همچنین،  $\mathbf{O}_n$  نشان دهنده ماتریس مشاهده پذیری است؛ که به صورت زیر تعریف می شود [۹۷]:

$$\mathbf{O}_n = \begin{bmatrix} \mathbf{C} \\ \mathbf{CA} \\ \dots \\ \mathbf{CA}^{n-1} \end{bmatrix} \quad (۳۶.۴)$$

### ۲.۲.۴ تحلیل مشاهده پذیری قوی

در این بخش، تئوری مشاهده پذیری قوی به منظور تحلیل مشاهده پذیری متغیرهای حالت در حضور ورودی‌های نامعلوم برای یک سیستم خطی گسسته زمان بیان می‌شود. به این منظور، در ادامه دو تعریف و یک قضیه به منظور تحلیل مشاهده پذیری قوی برای سیستم‌های خطی گسسته زمان بیان می‌شود.

**تعریف ۱۲:** سیستم خطی گسسته زمان، بیان شده در معادلات (۳۲.۴) و (۳۳.۴)، مشاهده پذیر قوی در فاصله  $[0, \tau]$  نامیده می‌شود؛ اگر  $\mathbf{x}_0$  با استفاده از دنباله خروجی‌های  $\mathbf{z}_t$  و ورودی‌های معلوم  $\delta_t$  به ازای هر متغیر ابتدایی  $\mathbf{x}_0$  و هر دنباله ورودی‌های مجهول  $\mathbf{d}_t$  و برای تمام  $t \in [0, \tau]$  قابل بازیابی باشد.

**تعریف ۱۳:** متغیر حالت  $\mathbf{x}_k$  مشاهده پذیر قوی نامیده می‌شود؛ اگر برای هر  $\mathbf{x}'_k$  در همسایگی متغیر حالت  $\mathbf{x}_k$ ، هر ورودی نامعلوم  $\mathbf{d}'_k$  و  $\mathbf{d}_k$  و هر ورودی معلوم  $\delta_k^*$

$$\mathbf{z}_k(\mathbf{x}'_k, \delta_k^*, \mathbf{d}'_k) \neq \mathbf{z}_k(\mathbf{x}_k, \delta_k^*, \mathbf{d}_k) \quad (۳۷.۴)$$

**قضیه ۸ (شرط مشاهده پذیری قوی):** سیستم خطی گسسته زمان، بیان شده در معادلات (۳۲.۴) و

$$(۳۳.۴)، مشاهده پذیر قوی است؛ اگر و فقط اگر [۹۸]$$

$$\text{rank}(\mathbf{O}_n) = n \quad (۳۸.۴)$$

و

$$\text{rank}([\mathbf{O}_n \quad \mathbf{W}_d]) = n + \text{rank}(\mathbf{W}_d) \quad (۳۹.۴)$$

در رابطه فوق،  $\mathbf{W}_d$  بیانگر ماتریس معکوس پذیری ورودی‌های نامعلوم است؛ که به صورت زیر تعریف می‌شود:

$$W_d = \begin{bmatrix} D_d & 0 & 0 & \dots & 0 \\ CB_d & D_d & 0 & \dots & 0 \\ CAB_d & CB_d & D_d & \dots & 0 \\ \vdots & \vdots & \vdots & \ddots & \vdots \\ CA^{n-2}B_d & CA^{n-3}B_d & CA^{n-4}B_d & \dots & D_d \end{bmatrix} \quad (40.4)$$

اثبات قضیه ۸ مرتبط با شرایط مشاهده پذیری قوی در پیوست "ث" بیان شده است.

### ۳.۲.۴ تحلیل مشاهده پذیری ورودی نامعلوم

در این بخش، ابتدا مشاهده پذیری ورودی نامعلوم برای یک سیستم خطی گسسته زمان تعریف می شود. سپس، یک شرط برای بررسی مشاهده پذیری ورودی نامعلوم برای سیستم خطی گسسته زمان بیان می شود.

**تعریف ۱۴:** سیستم خطی گسسته زمان، بیان شده در معادلات (۳۲.۴) و (۳۳.۴)، مشاهده پذیر ورودی مجهول در فاصله  $[0, \tau]$  نامیده می شود؛ اگر بردار ورودی نامعلوم  $\mathbf{d}_0$  با استفاده از دنباله های خروجی،  $\mathbf{z}_t$ ، و ورودی های معلوم  $\delta_t$  به ازای هر دنباله از ورودی های نامعلوم  $\mathbf{d}_t$  و برای تمام  $t \in [0, \tau]$  قابل بازیابی باشد.

**تعریف ۱۵:** بردار ورودی مجهول  $\mathbf{d}_k$  مشاهده پذیر ورودی مجهول نامیده می شود؛ اگر برای هر بردار ورودی نامعلوم  $\mathbf{d}'_k$  در همسایگی  $\mathbf{d}_k$ ، هر متغیر حالت  $\mathbf{x}_k$  و  $\mathbf{x}'_k$  و هر ورودی معلوم  $\delta_k^*$

$$\mathbf{z}_k(\mathbf{x}'_k, \delta_k^*, \mathbf{d}'_k) \neq \mathbf{z}_k(\mathbf{x}_k, \delta_k^*, \mathbf{d}_k) \quad (41.4)$$

**قضیه ۹ (شرط مشاهده پذیری ورودی نامعلوم):** سیستم خطی پیوسته، بیان شده در معادلات (۳۲.۴) و (۳۳.۴)، مشاهده پذیر ورودی نامعلوم است؛ اگر و فقط اگر

$$\text{rank}(\mathbf{O}_d) = n_d \quad (42.4)$$

و

$$\text{rank}(\mathbf{W}_d) = n_d + \text{rank}(\mathbf{W}'_d) \quad (43.4)$$

در رابطه فوق،  $n_d$  بیانگر تعداد ورودی‌های نامعلوم است. همچنین،  $\mathbf{O}_d$  نشان‌دهنده ماتریس مشاهده‌پذیری ورودی‌های نامعلوم است؛ که به صورت زیر تعریف می‌شود:

$$\mathbf{O}_d = \begin{bmatrix} \mathbf{D}_d \\ \mathbf{C}\mathbf{B}_d \\ \mathbf{C}\mathbf{A}\mathbf{B}_d \\ \vdots \\ \mathbf{C}\mathbf{A}^{n-1}\mathbf{B}_d \end{bmatrix} \quad (44.4)$$

همچنین،  $\mathbf{W}'_d$  بیانگر ماتریس معکوس‌پذیری ورودی‌های نامعلوم مرتبط با گام‌های زمانی  $k+1$  تا  $k+n$  است؛ که به صورت زیر تعریف می‌شود:

$$\mathbf{W}'_d = \begin{bmatrix} \mathbf{0} & \mathbf{0} & \dots & \mathbf{0} \\ \mathbf{D}_d & \mathbf{0} & \dots & \mathbf{0} \\ \mathbf{C}\mathbf{B}_d & \mathbf{D}_d & \dots & \mathbf{0} \\ \vdots & \vdots & \ddots & \vdots \\ \mathbf{C}\mathbf{A}^{n-2}\mathbf{B}_d & \mathbf{C}\mathbf{A}^{n-3}\mathbf{B}_d & \dots & \mathbf{D}_d \end{bmatrix} \quad (45.4)$$

اثبات قضیه ۹ مرتبط با شرایط مشاهده‌پذیری ورودی‌های نامعلوم، که توسط نگارنده انجام شده، در پیوست "ث" ارائه شده است.

#### ۴.۲.۴ تحلیل مشاهده‌پذیری توأمان متغیرهای حالت و ورودی نامعلوم

در این بخش، ابتدا مشاهده‌پذیری توأمان متغیرهای حالت و ورودی نامعلوم برای سیستم خطی گسسته زمان تعریف می‌شود. سپس، یک شرط برای تحلیل مشاهده‌پذیری توأمان متغیرهای حالت و ورودی نامعلوم بیان می‌شود.

**تعریف ۱۶:** سیستم خطی گسسته زمان، بیان شده در معادلات (۳۲.۴) و (۳۳.۴)، مشاهده‌پذیر توأمان متغیر حالت و ورودی نامعلوم در فاصله زمانی  $[0, \tau]$  نامیده می‌شود؛ اگر مقدار اولیه بردار متغیر

حالت ابتدایی  $\mathbf{x}_{a_0} = [\mathbf{x}_0^T \quad \mathbf{d}_0^T]^T$  با استفاده از دنباله خروجی‌های  $\mathbf{z}_t$  و ورودی‌های معلوم  $\delta_t$  به‌ازای هر متغیر حالت افزونه  $\mathbf{x}_{a_0}$  و هر ورودی مجهول  $\mathbf{d}_1, \dots, \mathbf{d}_\tau$  و برای تمام  $t \in [0, \tau]$  بازیابی شود.

**تعریف ۱۷:** متغیر حالت افزونه  $\mathbf{x}_{a_k}$  مشاهده‌پذیر توأمان متغیرهای حالت و ورودی‌های نامعلوم نامیده می‌شود؛ اگر برای هر متغیر حالت افزونه  $\mathbf{x}'_{a_k}$  در همسایگی متغیر حالت افزونه  $\mathbf{x}_{a_k}$  و هر ورودی معلوم  $\delta_k^*$

$$\mathbf{z}_k(\mathbf{x}'_{a_k}, \delta_k^*) \neq \mathbf{z}_k(\mathbf{x}_{a_k}, \delta_k^*) \quad (46.4)$$

**قضیه ۱۰ (شرط مشاهده‌پذیری توأمان متغیرهای حالت و ورودی نامعلوم):** سیستم خطی گسسته زمان، بیان‌شده در معادلات (۳۲.۴) و (۳۳.۴)، مشاهده‌پذیر توأمان متغیرهای حالت و ورودی نامعلوم است؛ اگر و فقط اگر

$$\text{rank}(\mathbf{O}_{nd}) = n + n_d \quad (47.4)$$

و

$$\text{rank}([\mathbf{O}_{nd} \quad \mathbf{W}'_d]) = n + n_d + \text{rank}(\mathbf{W}'_d) \quad (48.4)$$

در رابطه فوق،  $\mathbf{O}_{nd}$  نشان‌دهنده ماتریس مشاهده‌پذیری توأمان متغیرهای حالت و ورودی‌های نامعلوم است؛ که به‌صورت زیر تعریف می‌شود:

$$\mathbf{O}_{nd} = \begin{bmatrix} \mathbf{C} & \mathbf{D}_d \\ \mathbf{CA} & \mathbf{CB}_d \\ \mathbf{CA}^2 & \mathbf{CAB}_d \\ \vdots & \vdots \\ \mathbf{CA}^n & \mathbf{CA}^{n-1}\mathbf{B}_d \end{bmatrix} \quad (49.4)$$

اثبات قضیه ۱۰ مرتبط با شرایط مشاهده‌پذیری توأمان متغیرهای حالت و ورودی‌های نامعلوم، که توسط نگارنده انجام شده، در پیوست "ث" ارائه شده‌است.

### ۳.۴ تحلیل مشاهده‌پذیری سیستم‌های غیرخطی افاین پیوسته زمان

این بخش به تحلیل مشاهده‌پذیری متغیرهای حالت و ورودی‌های نامعلوم برای سیستم‌های غیرخطی افاین پیوسته زمان می‌پردازد. مدل فضای حالت یک سیستم غیرخطی در فرم افاین به صورت زیر بیان می‌شود:

$$\dot{\mathbf{x}} = \mathbf{f}(\mathbf{x}) + \mathbf{g}_d(\mathbf{x})\mathbf{d} \quad (۵۰.۴)$$

در معادله فوق،  $\mathbf{x} \in \mathbb{R}^n$  و  $\mathbf{d} = [d_1 \dots d_{n_d}]^T \in \mathbb{R}^{n_d}$  به ترتیب بیانگر متغیرهای حالت، ورودی‌های کنترلی و ورودی‌های نامعلوم هستند. همچنین،  $\mathbf{f}$  و  $\mathbf{g}_d$  به ترتیب توابع غیرخطی معلوم مرتبط با متغیرهای حالت هستند. به علاوه، معادله اندازه‌گیری به صورت زیر بیان می‌شود:

$$\mathbf{z} = \mathbf{h}(\mathbf{x}) = [h_1(\mathbf{x}) \dots h_p(\mathbf{x})]^T \quad (۵۱.۴)$$

در معادله فوق،  $\mathbf{h}$  تابع غیرخطی معلوم است. در ادامه، قضایای مرتبط با مشاهده‌پذیری متغیرهای حالت، مشاهده‌پذیری قوی، مشاهده‌پذیری ورودی‌های نامعلوم و مشاهده‌پذیری توأمان متغیرهای حالت و ورودی‌های نامعلوم برای یک سیستم غیرخطی پیوسته زمان ارائه می‌شود. لازم به ذکر است که اعتبارسنجی قضایای ارائه شده، در پیوست "ح" برای یک سیستم خطی و یک سیستم غیرخطی انجام شده است.

### ۱.۳.۴ تحلیل مشاهده‌پذیری متغیرهای حالت

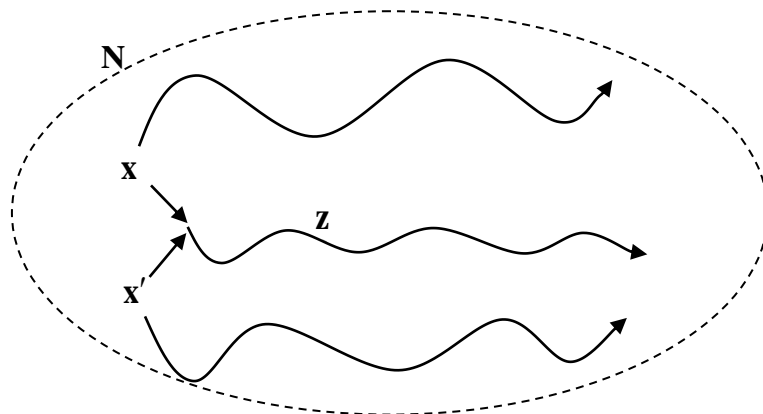
در این بخش، تئوری مشاهده‌پذیری متغیرهای حالت به منظور بازیابی متغیرهای حالت برای یک سیستم پیوسته غیرخطی افاین به صورت زیر بیان می‌شود [۹۹]-[۱۰۰]:

**تعریف ۱۸:** سیستم غیرخطی پیوسته افاین، بیان شده در معادلات (۵۰.۴) و (۵۱.۴)، **مشاهده‌پذیر محلی متغیر حالت** نامیده می‌شود؛ اگر بردار متغیر حالت  $\mathbf{x}$  در هر همسایگی از مقدار اولیه  $\mathbf{x}_0$  با استفاده از خروجی‌های  $\mathbf{z}^{(i)}$  برای تمام  $t \in [0, \tau]$  بازیابی شود [۹۹]. در اینجا،  $\mathbf{z}^{(i)}$  بیانگر مشتق مرتبه  $i$ -ام خروجی  $\mathbf{z}$  نسبت به زمان است.

تعریف ۱۹: متغیر حالت  $\mathbf{x}$  مشاهده پذیر محلی نامیده می‌شود؛ اگر برای هر  $\mathbf{x}'$  در همسایگی  $\mathbf{N}$  از متغیر حالت  $\mathbf{x}$  [۱۰۰]

$$\mathbf{z}(\mathbf{x}') \neq \mathbf{z}(\mathbf{x}) \quad (۵۲.۴)$$

به عبارت دیگر، مجموعه تمامی نقاط  $\mathbf{x}'$  در همسایگی  $\mathbf{N}$  قابل تشخیص از  $\mathbf{x}$  است. دو متغیر حالت غیرقابل تشخیص در شکل ۱.۴ نشان داده شده‌است.



شکل ۱.۴ دو متغیر حالت غیرقابل تشخیص.

قضیه ۱۱ (شرط مشاهده پذیری محلی متغیر حالت): سیستم غیرخطی پیوسته افاین، بیان شده در معادلات (۵۰.۴) و (۵۱.۴)، در نقطه  $\mathbf{x}_0 \in \mathbf{X}$  برای هر همسایگی  $\mathbf{N}$  از  $\mathbf{x}_0$  مشاهده پذیر محلی متغیر حالت است؛ اگر مرتبه ماتریس مشاهده پذیری

$$\mathbf{O}_n(\mathbf{x}_0) = \left. \frac{\partial \mathbf{l}_n(\mathbf{x})}{\partial \mathbf{x}} \right|_{\mathbf{x}=\mathbf{x}_0} \quad (۵۳.۴)$$

کامل باشد [۱۰۱] - [۱۰۲]. در رابطه فوق،  $\mathbf{l}_n$  بیانگر مشتق لی بردار خروجی نسبت به  $\mathbf{f}$  است؛ که به صورت زیر بیان می‌شود:

$$\mathbf{l}_n(\mathbf{x}) = \begin{bmatrix} L_T^0(\mathbf{h}(\mathbf{x})) \\ L_T^1(\mathbf{h}(\mathbf{x})) \\ \dots \\ L_T^{n-1}(\mathbf{h}(\mathbf{x})) \end{bmatrix} \quad (۵۴.۴)$$



اثبات قضیه ۱۱ مرتبط با شرایط مشاهده پذیری متغیرهای حالت یک سیستم غیرخطی افاین پیوسته در پیوست "ج" بیان شده است.

#### ۲.۳.۴ تحلیل مشاهده پذیری قوی

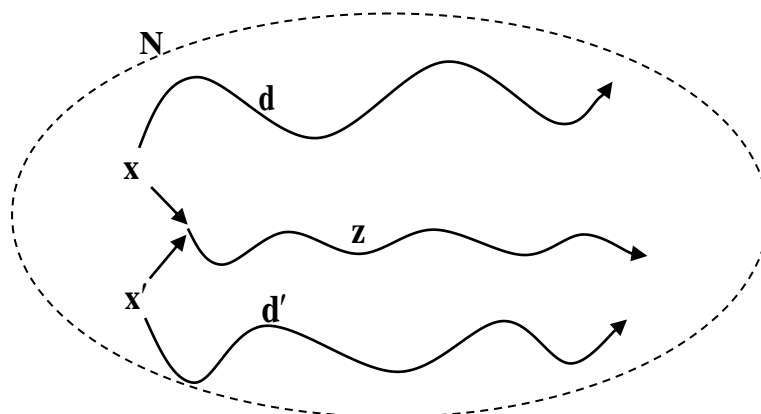
در این بخش، دو تعریف و یک قضیه به منظور تحلیل مشاهده پذیری قوی برای سیستم‌های پیوسته غیرخطی افاین بیان می‌شود.

**تعریف ۲۰:** سیستم غیرخطی پیوسته افاین، بیان شده در معادلات (۵۰.۴) و (۵۱.۴)، مشاهده پذیر محلی قوی نامیده می‌شود؛ اگر بردار متغیر حالت  $\mathbf{x}$  در هر همسایگی از مقدار اولیه  $\mathbf{x}_0$  با استفاده از خروجی‌های  $\mathbf{z}^{(i)}$  به ازای هر  $\mathbf{x}_0$  و هر  $\mathbf{d}^{(i)}$  و برای تمام  $t \in [0, \tau]$  قابل بازیابی باشد. اینجا،  $\mathbf{d}^{(i)}$  بیانگر مشتق مرتبه  $i$ -ام ورودی‌های نامعلوم  $\mathbf{d}$  نسبت به زمان است.

**تعریف ۲۱:** متغیر حالت  $\mathbf{x}$  مشاهده پذیر محلی قوی نامیده می‌شود؛ اگر برای هر  $\mathbf{x}'$  در همسایگی  $\mathbf{N}$  از متغیر حالت  $\mathbf{x}$  و هر ورودی نامعلوم  $\mathbf{d}$  و  $\mathbf{d}'$  [۱۰۳]

$$\mathbf{z}(\mathbf{x}', \mathbf{d}') \neq \mathbf{z}(\mathbf{x}, \mathbf{d}) \quad (۵۵.۴)$$

به عبارت دیگر، مجموعه تمامی نقاط  $\mathbf{x}'$  در همسایگی  $\mathbf{N}$  به ازای هر ورودی نامعلوم قابل تشخیص از  $\mathbf{x}$  است. دو متغیر حالت غیرقابل تشخیص در حضور دو ورودی نامعلوم در شکل ۲.۴ نشان داده شده است.



شکل ۲.۴ دو متغیر حالت غیرقابل تشخیص در حضور دو ورودی نامعلوم.

قضیه ۱۲ (شرط مشاهده پذیری محلی قوی): سیستم غیرخطی پیوسته افاین، بیان شده در معادلات (۵۰.۴) و (۵۱.۴)، در هر همسایگی  $N$  از  $\mathbf{x}_0$  مشاهده پذیر محلی قوی است؛ اگر

$$\text{rank}(\mathbf{O}_n(\mathbf{x}_0)) = n \quad (۵۶.۴)$$

و

$$\text{rank}([\mathbf{O}_n \quad \mathbf{W}_d]) \Big|_{\mathbf{x}=\mathbf{x}_0} = n + \text{rank}(\mathbf{W}_d(\mathbf{x}_0)) \quad (۵۷.۴)$$

در رابطه فوق،  $n$  بیانگر تعداد متغیر حالت است. همچنین،  $\mathbf{W}_d$  ماتریس معکوس پذیری ورودی نامعلوم است که به صورت زیر تعریف می شود:

$$(۵۸.۴)$$

$$\mathbf{W}_d = \begin{bmatrix} \mathbf{0} & \mathbf{0} & \dots & \dots & \dots & \mathbf{0} & \mathbf{0} \\ L_{g_d}^1(\mathbf{h}) & \mathbf{0} & \dots & \dots & \dots & \mathbf{0} & \mathbf{0} \\ L_{g_d}^1 L_f^1(\mathbf{h}) + \frac{\partial L_{g_d}^1(\mathbf{h}\mathbf{d})}{\partial \mathbf{d}} & L_{g_d}^1(\mathbf{h}) & \dots & \dots & \dots & \mathbf{0} & \mathbf{0} \\ \vdots & \vdots & \vdots & \vdots & \vdots & \vdots & \vdots \\ \sum_{j=0}^{n-3} L_{g_d}^j L_f^{n-(j+2)}(\mathbf{h}) + \frac{\partial L_{g_d}^{n-2}(\mathbf{h}\mathbf{d})}{\partial \mathbf{d}} & \dots & \dots & \sum_{j=0}^{n-(m+3)} \frac{(j+m)!}{j! m!} L_{g_d}^j L_f^{n-(m+2+j)}(\mathbf{h}) + \frac{(n-2)!}{(n-(m+2))! m!} \frac{\partial L_{g_d}^{n-(m+2)}(\mathbf{h}\mathbf{d}^{(m)})}{\partial \mathbf{d}^{(m)}} & \dots & L_{g_d}^1(\mathbf{h}) & \mathbf{0} \end{bmatrix}$$

در رابطه فوق،  $m = 0, \dots, n-2$  است.

اثبات قضیه ۱۲ مرتبط با شرایط مشاهده پذیری قوی یک سیستم غیرخطی افاین پیوسته، که توسط نگارنده انجام شده، در پیوست "ج" ارائه شده است.

### ۳.۳.۴ تحلیل مشاهده پذیری ورودی نامعلوم

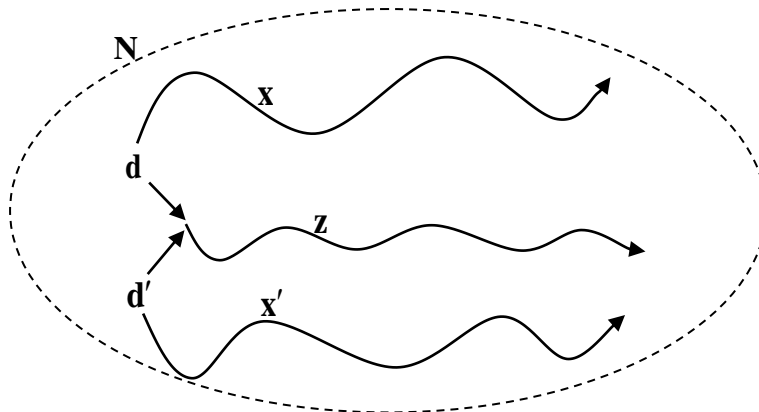
در این بخش، مشاهده پذیری ورودی های نامعلوم تعریف و یک شرط به منظور تحلیل مشاهده پذیری ورودی نامعلوم برای سیستم پیوسته غیرخطی افاین معرفی می شود.

**تعریف ۲۲:** سیستم غیرخطی پیوسته افاین، بیان شده در معادلات (۵۰.۴) و (۵۱.۴)، مشاهده پذیر محلی ورودی نامعلوم نامیده می شود؛ اگر بردار ورودی نامعلوم  $\mathbf{d}$  در هر همسایگی  $\mathbf{N}$  از مقدار اولیه ورودی نامعلوم  $\mathbf{d}_0$  با استفاده از  $\mathbf{z}^{(i)}$  و  $\mathbf{x}_0$  برای هر  $\mathbf{d}^{(i+1)}$  و برای تمام  $t \in [0, \tau]$  قابل بازیابی باشد.

**تعریف ۲۳:** بردار ورودی نامعلوم  $\mathbf{d}$  مشاهده پذیر محلی نامیده می شود؛ اگر برای هر بردار ورودی نامعلوم  $\mathbf{d}'$  در همسایگی  $\mathbf{N}$  از  $\mathbf{d}$  و هر متغیر حالت  $\mathbf{x}$  و  $\mathbf{x}'$

$$\mathbf{z}(\mathbf{x}', \mathbf{d}') \neq \mathbf{z}(\mathbf{x}, \mathbf{d}) \quad (۵۹.۴)$$

به عبارت دیگر، مجموعه تمامی نقاط  $\mathbf{d}'$  در همسایگی  $\mathbf{N}$  به ازای هر متغیر حالت قابل تشخیص از  $\mathbf{d}$  است. دو ورودی نامعلوم غیرقابل تشخیص در شکل ۳.۴ نشان داده شده است.



شکل ۳.۴ دو ورودی نامعلوم غیرقابل تشخیص.

**قضیه ۱۳ (شرط مشاهده پذیری محلی ورودی نامعلوم):** سیستم غیرخطی پیوسته افاین، بیان شده در معادلات (۵۰.۴) و (۵۱.۴)، در نطقه  $\mathbf{d}_0 \in \mathbf{D}$  برای هر همسایگی  $\mathbf{N}$  از  $\mathbf{d}_0$  مشاهده پذیر محلی ورودی نامعلوم است؛ اگر

$$\text{rank}(\mathbf{O}_d(\mathbf{d}_0)) = n_d \quad (۶۰.۴)$$

$$\text{rank}(\mathbf{W}_d) \Big|_{\mathbf{d}=\mathbf{d}_0} = n_d + \text{rank}(\mathbf{W}'_d(\mathbf{d}_0)) \quad (۶۱.۴)$$

در رابطه فوق،  $n_d$  بیانگر تعداد بردار ورودی‌های نامعلوم است. همچنین،  $\mathbf{O}_d$  ماتریس مشاهده‌پذیری ورودی‌های نامعلوم است که به صورت زیر بیان می‌شود:

$$\mathbf{O}_d = \begin{bmatrix} \mathbf{0} \\ L_{g_d}^1(\mathbf{h}) \\ L_{g_d}^1 L_f^1(\mathbf{h}) + \frac{\partial L_f^1 L_{g_d}^1(\mathbf{hd})}{\partial \mathbf{d}} \\ \vdots \\ \sum_{j=0}^{n-2} L_f^j L_{g_d}^1 L_f^{n-(j+1)}(\mathbf{h}) + \frac{\partial L_f^{n-1} L_{g_d}^1(\mathbf{hd})}{\partial \mathbf{d}} \end{bmatrix} \quad (۶۲.۴)$$

و  $\mathbf{W}'_d$  بیانگر ماتریس معکوس‌پذیری ورودی‌های نامعلوم مرتبط با مشتق زمانی اول تا مشتق  $n$ -ام ورودی نامعلوم  $\mathbf{d}$  است؛ که به صورت زیر تعریف می‌شود:

$$(۶۳.۴)$$

$$\mathbf{W}'_d = \begin{bmatrix} \mathbf{0} & \mathbf{0} & \dots & \dots & \mathbf{0} & \mathbf{0} \\ \mathbf{0} & \mathbf{0} & \dots & \dots & \mathbf{0} & \mathbf{0} \\ L_{g_d}^1(\mathbf{h}) & \mathbf{0} & \dots & \dots & \mathbf{0} & \mathbf{0} \\ \vdots & \vdots & \vdots & \vdots & \mathbf{0} & \mathbf{0} \\ \sum_{j=0}^{n-3} (j+1) L_f^j L_{g_d}^1 L_f^{n-(j+2)}(\mathbf{h}) + (n-1) \frac{\partial L_f^{n-2} L_{g_d}^1(\mathbf{hd}^{(1)})}{\partial \mathbf{d}^{(1)}} & \dots & \sum_{j=0}^{n-(m+2)} \frac{(j+m)!}{j! m!} L_f^j L_{g_d}^1 L_f^{n-(m+1+j)}(\mathbf{h}) + \frac{(n-1)!}{(n-(m+1))! m!} \frac{\partial L_f^{n-(m+1)} L_{g_d}^1(\mathbf{hd}^{(m)})}{\partial \mathbf{d}^{(m)}} & \dots & L_{g_d}^1(\mathbf{h}) & \mathbf{0} \end{bmatrix}$$

در رابطه فوق،  $m = 0, \dots, n-1$  است.

اثبات قضیه ۱۳ مرتبط با شرایط مشاهده‌پذیری ورودی‌های نامعلوم یک سیستم غیرخطی افاین پیوسته، که توسط نگارنده انجام شده، در پیوست "ج" ارائه شده است.

#### ۴.۳.۴ تحلیل مشاهده‌پذیری توأمان متغیرهای حالت و ورودی نامعلوم

در این بخش، مشاهده‌پذیری توأمان متغیرهای حالت و ورودی‌های نامعلوم و یک شرط مرتبط با آن برای سیستم‌های پیوسته غیرخطی افاین بیان می‌شود.

**تعریف ۲۴:** سیستم غیرخطی پیوسته افاین، بیان شده در معادلات (۵۰.۴) و (۵۱.۴)، مشاهده پذیر توأمان محلی متغیر حالت و ورودی نامعلوم نامیده می شود؛ اگر بردار متغیر حالت افزونه  $\mathbf{x}_a = [\mathbf{x}^T \quad \mathbf{d}^T]^T$  در هر همسایگی از مقدار اولیه  $\mathbf{x}_{a_0} = [\mathbf{x}_0^T \quad \mathbf{d}_0^T]^T$  با استفاده از خروجی های  $\mathbf{z}_t^{(i)}$  به ازای هر متغیر حالت افزونه  $\mathbf{x}_{a_0}$  و هر ورودی نامعلوم  $\mathbf{d}^{(i+1)}$  و برای تمام  $t \in [0, \tau]$  بازیابی شود.

**تعریف ۲۵:** متغیرهای حالت و ورودی های نامعلوم مشاهده پذیر محلی توأمان نامیده می شوند؛ اگر برای هر متغیر حالت افزونه  $\mathbf{x}_a'$  در همسایگی  $\mathbf{N}$  از متغیر حالت افزونه  $\mathbf{x}_a$

$$\mathbf{z}(\mathbf{x}_a') \neq \mathbf{z}(\mathbf{x}_a) \quad (۶۴.۴)$$

به عبارت دیگر، مجموعه تمامی نقاط  $\mathbf{x}_a'$  در همسایگی  $\mathbf{N}$  قابل تشخیص از  $\mathbf{x}_a$  است. دو متغیر حالت افزونه غیرقابل تشخیص در شکل ۴.۴ نشان داده شده است.

**قضیه ۱۴ (شرط مشاهده پذیری محلی توأمان متغیرهای حالت و ورودی های نامعلوم):** سیستم غیرخطی پیوسته افاین، بیان شده در معادلات (۵۰.۴) و (۵۱.۴)، در نقطه  $\mathbf{x}_{a_0} \in [\mathbf{x}_0 \quad \mathbf{d}_0]$  به ازای هر همسایگی  $\mathbf{N}$  از  $\mathbf{x}_{a_0}$  مشاهده پذیر محلی توأمان متغیرهای حالت و ورودی های نامعلوم است؛ اگر

$$\text{rank}(\mathbf{O}_{nd}(\mathbf{x}_{a_0})) = n + n_d \quad (۶۵.۴)$$

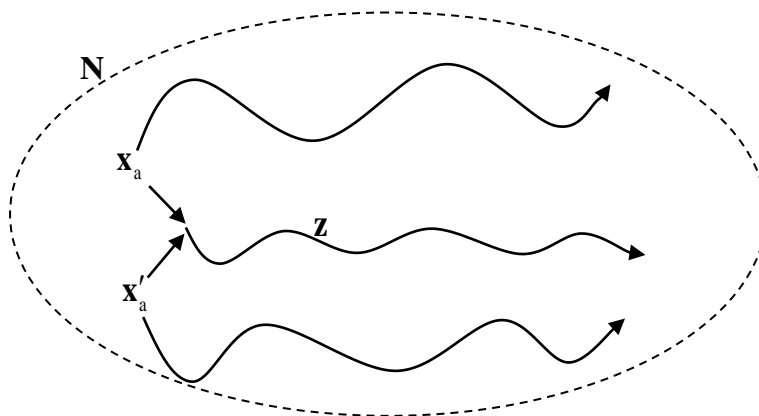
و

$$\text{rank}([\mathbf{O}_{nd} \quad \mathbf{W}'_d]) \Big|_{\mathbf{x}_a = \mathbf{x}_{a_0}} = n + n_d + \text{rank}(\mathbf{W}'_d(\mathbf{x}_{a_0})) \quad (۶۶.۴)$$

در روابط فوق،  $\mathbf{O}_{nd}$  ماتریس مشاهده پذیری توأمان متغیرهای حالت و ورودی های نامعلوم است؛ که به صورت زیر بیان می شود:

$$\mathbf{O}_{nd} = \begin{bmatrix} \left. \frac{\partial L_{\Gamma}^0(\mathbf{h})}{\partial \mathbf{x}} \right|_{\mathbf{x}=\mathbf{x}_0} & \mathbf{0} \\ \left. \frac{\partial L_{\Gamma}^1(\mathbf{h})}{\partial \mathbf{x}} \right|_{\mathbf{x}=\mathbf{x}_0} & L_{g_d}^1(\mathbf{h}) \\ \left. \frac{\partial L_{\Gamma}^2(\mathbf{h})}{\partial \mathbf{x}} \right|_{\mathbf{x}=\mathbf{x}_0} & L_{g_d}^1 L_{\Gamma}^1(\mathbf{h}) + \frac{\partial L_{\Gamma}^1 L_{g_d}^1(\mathbf{hd})}{\partial \mathbf{d}} \\ \vdots & \vdots \\ \left. \frac{\partial L_{\Gamma}^n(\mathbf{h})}{\partial \mathbf{x}} \right|_{\mathbf{x}=\mathbf{x}_0} & \sum_{j=0}^{n-2} L_{\Gamma}^j L_{g_d}^1 L_{\Gamma}^{n-(j+1)}(\mathbf{h}) + \frac{\partial L_{\Gamma}^{n-1} L_{g_d}^1(\mathbf{hd})}{\partial \mathbf{d}} \end{bmatrix} \quad (۶۷.۴)$$

اثبات قضیه ۱۴ مرتبط با شرایط مشاهده پذیری توأمان متغیرهای حالت و ورودی‌های نامعلوم یک سیستم غیرخطی افاین پیوسته، که توسط نگارنده انجام شده، در پیوست "ج" ارائه شده است.



شکل ۴.۴ دو متغیر حالت افزونه غیرقابل تشخیص.

#### ۴.۴ تحلیل مشاهده پذیری پرنده

این بخش به تحلیل مشاهده پذیری پرنده بدون سرنشین بر مبنای متغیرهای حالت و خروجی‌های پرنده، که در فصل ۳ بیان شده است، می‌پردازد. به این منظور، ابتدا در بخش ۱.۴.۴ مشاهده پذیری معادلات پیوسته زمان کانال طولی پرنده بر مبنای قضایای مشاهده پذیری سیستم‌های خطی پیوسته زمان، که در بخش ۱.۴ بیان شد، بررسی می‌شود. سپس، در بخش ۲.۴.۴ به تحلیل مشاهده پذیری معادلات شش درجه آزادی گسسته زمان پرنده بر مبنای قضایای بیان شده در بخش ۲.۴ پرداخته می‌شود.

## ۱.۴.۴ تحلیل مشاهده پذیری معادلات پیوسته-زمان پرنده

مدل خطی پیوسته زمان پرنده بدون سرنشین در فضای حالت بر طبق معادله (۲۴.۳) به صورت زیر بیان می شود [۱۰۴]-[۱۰۵]:

$$\dot{\mathbf{x}} = \begin{bmatrix} \mathbf{A}_{lon} & \mathbf{A}_{lon-lat} \\ \mathbf{A}_{lat-lon} & \mathbf{A}_{lat} \end{bmatrix} \begin{bmatrix} \mathbf{x}_{lon} \\ \mathbf{x}_{lat} \end{bmatrix} + \begin{bmatrix} \mathbf{B}_{lon} & \mathbf{0} \\ \mathbf{0} & \mathbf{B}_{lat} \end{bmatrix} \begin{bmatrix} \delta_{lon} \\ \delta_{lat} \end{bmatrix} + \begin{bmatrix} \mathbf{B}_{d_{lon}} & \mathbf{B}_{d_{lon-lat}} \\ \mathbf{B}_{d_{lat-lon}} & \mathbf{B}_{d_{lat}} \end{bmatrix} \mathbf{C}_N^B \mathbf{d} \quad (۶۸.۴)$$

در رابطه فوق،  $\mathbf{d} = [u_w^N \quad v_w^N \quad w_w^N]^T$  بیانگر بردار سرعت باد در سیستم مختصات جغرافیایی هستند.  $\mathbf{C}_N^B$  نشان دهنده ماتریس تبدیل دستگاه مختصات بدنی به دستگاه مختصات ناوبری است، که در صفحه قائم به صورت زیر بیان می شود:

$$\mathbf{C}_N^B = \begin{bmatrix} \cos \theta_0 \cos \psi_0 & \cos \theta_0 \sin \psi_0 & -\sin \theta_0 \\ \sin \phi_0 \sin \theta_0 \cos \psi_0 - \cos \phi_0 \sin \psi_0 & \sin \phi_0 \sin \theta_0 \sin \psi_0 + \cos \phi_0 \cos \psi_0 & \sin \phi_0 \cos \theta_0 \\ \cos \phi_0 \sin \theta_0 \cos \psi_0 + \sin \phi_0 \sin \psi_0 & \cos \phi_0 \sin \theta_0 \sin \psi_0 - \sin \phi_0 \cos \psi_0 & \cos \phi_0 \cos \theta_0 \end{bmatrix} \quad (۶۹.۴)$$

در رابطه فوق،  $\theta_0$ ،  $\phi_0$  و  $\psi_0$  به ترتیب زوایای رول، پیچ و یاء پرنده در نقطه کاری، که خطی سازی حول آن انجام می شود، است. به منظور بررسی مشاهده پذیری متغیرهای حالت، باید شرط مشاهده پذیری متغیرهای حالت در فضای خطی پیوسته زمان مطابق با قضیه ۱، که در بخش ۱.۱.۴ بیان شد، بررسی شود. در این حالت، رتبه ماتریس مشاهده پذیری ( $\mathbf{O}_n$ ) کامل است؛ بنابراین، متغیرهای حالت پرنده مشاهده پذیر هستند. در گام بعد، باید ارتباط بین ماتریس های مشاهده پذیری و معکوس پذیری برای تحلیل مشاهده پذیری قوی بر مبنای قضیه ۲، که در بخش ۲.۱.۴ بیان شده است، بررسی شود. از آنجا که شرط  $\text{rank}([\mathbf{O}_n \quad \mathbf{W}_a]) - \text{rank}(\mathbf{W}_a) = 12$  برقرار است؛ پس مسئله مشاهده پذیر قوی است. به عبارت دیگر، متغیرهای حالت پرنده به ازای تمام مدل های باد قابل بازیابی هستند.

همچنین، به منظور بررسی مشاهده پذیری مولفه های سرعت باد، شرط مشاهده پذیری ورودی های نامعلوم بر طبق قضیه ۳، که در بخش ۳.۱.۴ بیان شده است، باید بررسی شود. از آنجا که، رتبه ماتریس مشاهده پذیری ورودی های نامعلوم ( $\mathbf{O}_d$ ) کامل و شرط  $\text{rank}(\mathbf{W}_a) - \text{rank}(\mathbf{W}_a') = 3$  برقرار است؛ پس مولفه های باد می تواند از خروجی های سیستم بازیابی شوند. به علاوه، از آنجا که رتبه ستونی ماتریس  $\mathbf{O}_{nd}$

کامل و شرط  $\text{rank}([\mathbf{O}_{nd} \quad \mathbf{W}'_d]) - \text{rank}(\mathbf{W}'_d) = 15$  برقرار است؛ بنابراین، بر اساس قضیه ۴، که در بخش ۴.۱.۴ بیان شد، متغیرهای حالت پرنده و ورودی‌های نامعلوم می‌تواند به صورت همزمان بازیابی شوند.

به منظور تحلیل مشاهده پذیری متغیرهای حالت پرنده در حضور خطاهای خطی‌سازی، ارتباط بین ماتریس مشاهده‌پذیری و ماتریس خطای خطی‌سازی باید ارزیابی شود. از آنجاکه، رتبه ماتریس مشاهده‌پذیری متغیرهای حالت  $(\mathbf{O}_n)$  کامل و شرط  $\text{rank}([\mathbf{O}_n \quad \mathbf{E}_n]) - \text{rank}(\mathbf{E}_n) = 12 = n$  برقرار است؛ پس، بر اساس قضیه ۵، که در بخش ۵.۱.۴ بیان شد، متغیرهای حالت پرنده در حضور خطاهای خطی‌سازی قابل بازیابی هستند.

در نهایت، به منظور بررسی مشاهده‌پذیری بردار سرعت باد در حضور ماتریس متغیر با زمان ورودی‌های نامعلوم، ارتباط بین ماتریسهای  $\mathbf{O}_d(t)$  و  $\mathbf{W}'_d(t)$  باید ارزیابی شود. از آنجاکه، رتبه ماتریس متغیر با زمان ورودی‌های نامعلوم  $(\mathbf{O}_d(t))$  کامل و شرط  $\text{rank}([\mathbf{O}_d(t) \quad \mathbf{W}'_d(t)]) - \text{rank}(\mathbf{W}'_d(t)) = 3 = n_d$  برقرار است؛ پس، بر اساس قضیه ۶، که در بخش ۶.۱.۴ بیان شد، بردار سرعت باد در حین تغییر نقطه کار (تغییر وضعیت پرنده) قابل بازیابی است.

#### ۲.۴.۴ تحلیل مشاهده‌پذیری معادلات گسسته-زمان پرنده

به منظور تحلیل مشاهده‌پذیری، ابتدا مدل فضای حالت خطی پرنده با خطی‌سازی معادلات (۱.۳) تا (۴.۳) پیرامون یک نقطه کاری به صورت زیر بیان می‌شود:

$$\begin{bmatrix} \mathbf{x}_{lon_{k+1}} \\ \mathbf{x}_{lat_{k+1}} \end{bmatrix} = \begin{bmatrix} \mathbf{A}_{lon} & \mathbf{A}_{lon-lat} \\ \mathbf{A}_{lat-lon} & \mathbf{A}_{lat} \end{bmatrix} \begin{bmatrix} \mathbf{x}_{lon_k} \\ \mathbf{x}_{lat_k} \end{bmatrix} + \begin{bmatrix} \mathbf{B}_{lon} & \mathbf{0} \\ \mathbf{0} & \mathbf{B}_{lat} \end{bmatrix} \begin{bmatrix} \delta_{lon_k} \\ \delta_{lat_k} \end{bmatrix} + \begin{bmatrix} \mathbf{B}_{d_{lon}} & \mathbf{B}_{d_{lon-lat}} \\ \mathbf{B}_{d_{lat-lon}} & \mathbf{B}_{d_{lat}} \end{bmatrix} \begin{bmatrix} \mathbf{d}_{lon_k} \\ \mathbf{d}_{lat_k} \end{bmatrix} \quad (۷۰.۴)$$

در رابطه فوق،  $\delta_{lon_k} = [\delta_e \quad \delta_t]^T$ ،  $\mathbf{x}_{lon_k} = [u_k \quad w_k \quad q_k \quad \theta_k \quad h_k \quad p_{n_k}]^T$  و  $\mathbf{d}_{lon_k} = [u_w \quad w_w]^T$  به ترتیب بیانگر بردار متغیر حالت طولی، بردار ورودی و بردار سرعت باد طولی بیان شده در دستگاه مختصات بدنی هستند. همچنین،  $\mathbf{x}_{lat_k} = [v_k \quad p_k \quad r_k \quad \phi_k \quad \psi_k \quad p_{e_k}]^T$ ،  $\mathbf{d}_{lat_k} = [v_w \quad r_w]^T$  و  $\delta_{lat_k} = [\delta_a \quad \delta_r]^T$  به ترتیب بیانگر بردار متغیر حالت عرضی، بردار ورودی و بردار سرعت



باد عرضی بیان شده در دستگاه مختصات بدنی هستند. ماتریس‌های سیستم برای هر دو حرکت طولی و عرضی به صورت زیر بیان می‌شود:

$$\mathbf{A}_{lon} = \begin{bmatrix} 1+T_s X_u & T_s X_w & T_s X_q & T_s X_\theta & 0 & 0 \\ T_s Z_u & 1+T_s Z_w & T_s Z_q & T_s Z_\theta & 0 & 0 \\ T_s M_u & T_s M_w & 1+T_s M_q & 0 & 0 & 0 \\ 0 & 0 & T_s \Theta_q & 1 & 0 & 0 \\ T_s H_u & T_s H_w & 0 & T_s H_\theta & 1 & 0 \\ T_s P_{n_u} & T_s P_{n_w} & 0 & T_s P_{n_\theta} & 0 & 1 \end{bmatrix} \quad (71.4)$$

$$\mathbf{A}_{lat} = \begin{bmatrix} 1+T_s Y_v & T_s Y_p & T_s Y_r & T_s Y_\phi & 0 & 0 \\ T_s L_v & 1+T_s L_p & T_s L_r & 0 & 0 & 0 \\ T_s N_v & T_s N_p & 1+T_s N_r & 0 & 0 & 0 \\ 0 & T_s & T_s \Phi_r & 1+T_s \Phi_\phi & 0 & 0 \\ 0 & 0 & T_s \Psi_r & T_s \Psi_\phi & 1 & 0 \\ T_s P_{e_v} & 0 & 0 & T_s P_{e_\phi} & T_s P_{e_\psi} & 1 \end{bmatrix} \quad (72.4)$$

$$\mathbf{A}_{lon-lat} = \begin{bmatrix} T_s X_v & 0 & T_s X_r & 0 & 0 & 0 \\ T_s Z_v & T_s Z_p & 0 & T_s Z_\phi & 0 & 0 \\ T_s M_v & T_s M_p & T_s M_r & 0 & 0 & 0 \\ 0 & 0 & T_s \Theta_r & T_s \Theta_\phi & 0 & 0 \\ T_s H_v & 0 & 0 & T_s H_\phi & 0 & 0 \\ T_s P_{n_v} & 0 & 0 & T_s P_{n_\phi} & T_s P_{n_\psi} & 0 \end{bmatrix} \quad (73.4)$$

$$\mathbf{A}_{lat-lon} = \begin{bmatrix} T_s Y_u & T_s Y_w & 0 & T_s Y_\theta & 0 & 0 \\ T_s L_u & T_s L_w & T_s L_q & 0 & 0 & 0 \\ T_s N_u & T_s N_w & T_s N_q & 0 & 0 & 0 \\ 0 & 0 & T_s \Phi_q & T_s \Phi_\theta & 0 & 0 \\ 0 & 0 & T_s \Psi_q & T_s \Psi_\theta & 0 & 0 \\ T_s P_{e_u} & T_s P_{e_w} & 0 & T_s P_{e_\theta} & 0 & 0 \end{bmatrix} \quad (74.4)$$

همچنین، ماتریس‌های ورودی به صورت زیر بیان می‌شود:

$$\mathbf{B}_{\text{lon}} = \begin{bmatrix} T_s X_{\delta_e} & T_s X_{\delta_t} \\ T_s Z_{\delta_e} & 0 \\ T_s M_{\delta_e} & 0 \\ 0 & 0 \\ 0 & 0 \\ 0 & 0 \end{bmatrix}; \mathbf{B}_{\text{lat}} = \begin{bmatrix} T_s Y_{\delta_a} & T_s Y_{\delta_r} \\ T_s L_{\delta_a} & T_s L_{\delta_r} \\ T_s N_{\delta_a} & T_s N_{\delta_r} \\ 0 & 0 \\ 0 & 0 \\ 0 & 0 \end{bmatrix} \quad (75.4)$$

و ماتریس‌های ورودی‌های نامعلوم پرنده به صورت زیر حاصل می‌شود:

$$\mathbf{B}_{\text{d lon}} = \begin{bmatrix} -T_s X_u & -T_s (X_w + q) \\ -T_s (Z_u - q) & -T_s Z_w \\ -T_s M_u & -T_s M_w \\ 0 & 0 \\ 0 & 0 \\ 0 & 0 \end{bmatrix}; \mathbf{B}_{\text{d lat}} = \begin{bmatrix} -T_s Y_v \\ -T_s L_v \\ -T_s N_v \\ 0 \\ 0 \\ 0 \end{bmatrix} \quad (76.4)$$

$$\mathbf{B}_{\text{d lon-lat}} = \begin{bmatrix} -T_s (X_v - r) \\ -T_s (Z_v + p) \\ -T_s M_v \\ 0 \\ 0 \\ 0 \end{bmatrix}; \mathbf{B}_{\text{d lat-lon}} = \begin{bmatrix} -T_s (Y_u + r) & -T_s (Y_w - p) \\ -T_s L_u & -T_s L_w \\ -T_s N_u & -T_s N_w \\ 0 & 0 \\ 0 & 0 \\ 0 & 0 \end{bmatrix} \quad (77.4)$$

در رابطه فوق،  $T_s$  زمان نمونه برداری است. همچنین، خروجی‌های خطی شده به صورت زیر بیان می‌شوند:

$$\mathbf{z}_k = [p_{n_k} \quad p_{e_k} \quad h_k \quad u_k \quad v_k \quad w_k \quad p_k \quad q_k \quad r_k \quad \psi_k]^T \quad (78.4)$$

به منظور تحلیل مشاهده پذیری متغیرهای حالت پرنده بدون سرنشین در حالت گسسته زمان، باید رتبه ماتریس مشاهده پذیری متغیرهای حالت، مطابق با قضیه ۷، که در بخش ۱.۲.۴ بیان شد، بررسی شود. از اجرای کد Matlab، نتیجه می‌شود که رتبه ماتریس  $\mathbf{O}_n$  کامل است. بنابراین، متغیرهای حالت پرنده مشاهده پذیر هستند.

سپس، باید ارتباط بین ماتریس‌های مشاهده پذیری و معکوس پذیری به منظور تحلیل مشاهده پذیری قوی بر اساس قضیه ۸، که در بخش ۲.۲.۴ بیان شد، بررسی شود. اجرای کد Matlab نشان می‌دهد که

$\text{rank}([\mathbf{O}_n \quad \mathbf{W}_a]) - \text{rank}(\mathbf{W}_a) = 12$  است. بنابراین، سیستم مشاهده پذیر قوی است. به عبارت دیگر، متغیرهای حالت پرنده به ازای تمام مدل های باد قابل بازیابی هستند.

همچنین، کد Matlab که بر اساس قضیه ۹ بیان شده در بخش ۳.۲.۴ نوشته شده است، مشاهده پذیری مولفه های سرعت باد را تحلیل می کند. با اجرای این کد، رتبه ستونی  $\mathbf{O}_a$  کامل و شرط  $\text{rank}(\mathbf{W}_a) - \text{rank}(\mathbf{W}'_a) = 3$  برقرار است. بنابراین، مولفه های سرعت باد با استفاده از خروجی های سیستم قابل بازیابی هستند.

در نهایت، کد Matlab به منظور تحلیل توأمان مشاهده پذیری متغیرهای حالت و ورودی های نامعلوم، که بر اساس قضیه ۱۰ بیان شده، در بخش ۴.۲.۴ نوشته شده است. از آنجا که، رتبه ستونی ماتریس  $\mathbf{O}_{nd}$  کامل و شرط  $\text{rank}([\mathbf{O}_{nd} \quad \mathbf{W}'_a]) - \text{rank}(\mathbf{W}'_a) = 15$  برقرار است؛ پس متغیرهای حالت پرنده و مولفه های سرعت باد به صورت همزمان قابل بازیابی هستند.

لازم به ذکر است که تحلیل مشاهده پذیری متغیرهای حالت، مشاهده پذیری قوی، مشاهده پذیری مولفه های سرعت باد و مشاهده پذیری توأمان متغیرهای حالت پرنده و مولفه های سرعت باد با در اختیار داشتن انواع حسگرها در جدول پ-۱۵ در پیوست "خ" انجام شده است.

#### ۳.۴.۴ تحلیل مشاهده پذیری پارامترهای مدل باد

در این بخش، به منظور بررسی مشاهده پذیری پارامترهای مرتبط با هر مدل باد در نقطه  $\mathbf{x}_0 \in \mathbf{X}$ ، از شرط مشاهده پذیری محلی بیان شده در قضیه ۱۱ موجود در بخش ۱.۳.۴ برای معادلات پیوسته کانال طولی پرنده (رابطه (۶۸.۴)) استفاده می شود. به این منظور، باید مشتقات لی و شرط مشاهده پذیری محلی بر طبق بردار متغیر حالت هر مدل باد، که در جدول ۱.۴ نشان داده شده است، ارزیابی شود. از آنجا که، ماتریس مشاهده پذیری  $\mathbf{O}_n$  کامل است؛ پس، پارامترهای مدل باد مشاهده پذیر و از خروجی های سیستم قابل بازیابی است.

#### ۵.۴ نتیجه گیری

در این فصل، ابتدا تعاریف و قضایای مرتبط با مشاهده پذیری متغیرهای حالت، مشاهده پذیری قوی، مشاهده پذیری ورودی های نامعلوم و مشاهده پذیری توأمان متغیرهای حالت و ورودی های نامعلوم برای

سیستم‌های خطی پیوسته زمان و سیستم‌های خطی گسسته زمان توسعه داده شد. سپس، این مفاهیم برای سیستم‌های غیرخطی افاین پیوسته زمان بیان شد. در انتها، از این مفاهیم به منظور تحلیل مشاهده پذیری متغیرهای حالت یک پرنده بدون سرنشین، مولفه‌های سرعت باد و پارامترهای هر مدل باد استفاده شد.

#### جدول ۱.۴ بردار متغیرهای حالت برای مدل‌های باد مختلف.

متغیرهای حالت	بردار متغیر حالت	فیلتر	نوع مدل باد
افزوده			
$x_{13} = w_n$ $x_{14} = w_e$ $x_{15} = w_d$	$\mathbf{f}_{\text{constant}} = \begin{bmatrix} \mathbf{Ax} + \mathbf{B}_d \begin{bmatrix} x_{11} \\ x_{12} \\ x_{13} \end{bmatrix} \\ \mathbf{0}_{3 \times 1} \end{bmatrix} + \begin{bmatrix} \mathbf{B} \\ \mathbf{0}_{3 \times 1} \end{bmatrix} \delta$	۱	باد ثابت
$x_{13} = u_m, x_{14} = d_x$ $x_{15} = v_m, x_{16} = d_y$ $x_{17} = w_m, x_{18} = d_z$	$\mathbf{f}_{1-\text{cosine}} = \begin{bmatrix} \mathbf{Ax} + \mathbf{B}_d \begin{bmatrix} \frac{x_{11}}{2} \left( 1 - \cos \left( \frac{2\pi t \sqrt{x_1^2 + x_6^2 + x_2^2}}{x_{12}} \right) \right) \\ \frac{x_{13}}{2} \left( 1 - \cos \left( \frac{2\pi t \sqrt{x_1^2 + x_6^2 + x_2^2}}{x_{14}} \right) \right) \\ \frac{x_{15}}{2} \left( 1 - \cos \left( \frac{2\pi t \sqrt{x_1^2 + x_6^2 + x_2^2}}{x_{16}} \right) \right) \\ \mathbf{0}_{6 \times 1} \end{bmatrix} + \begin{bmatrix} \mathbf{B} \\ \mathbf{0}_{6 \times 1} \end{bmatrix} \delta$	۲	باد 1- cosine
$x_{13} = w_{20}, x_{14} = \psi_w$	$\mathbf{f}_{\text{wind shear}} = \begin{bmatrix} \mathbf{Ax} + \mathbf{B}_d \begin{bmatrix} \ln\left(\frac{x_5}{z_0}\right) \\ x_{11} \frac{z_0}{20} \cos(x_{12}) \\ \ln\left(\frac{20}{z_0}\right) \\ \ln\left(\frac{x_5}{z_0}\right) \\ x_{11} \frac{z_0}{20} \sin(x_{12}) \\ \ln\left(\frac{20}{z_0}\right) \\ x_{13} \\ \mathbf{0}_{3 \times 1} \end{bmatrix} + \begin{bmatrix} \mathbf{B} \\ \mathbf{0}_{3 \times 1} \end{bmatrix} \delta$	۳	باد برشی

علیرضا شریفی، "توسعه و پیاده‌سازی فیلترهای چندمدلی در فرود خودکار پرنده بدون سرنشین جهت شناسایی برخط و جبران‌سازی اغتشاشات اتمسفری"، رساله دکتری، استاد راهنما: دکتر هادی نوبهاری، دانشگاه صنعتی شریف، دانشکده مهندسی هوافضا، تابستان ۱۳۹۹

متغیرهای حالت افزوده	بردار متغیر حالت	فیلتر نوع مدل باد
$x_{13} = X_c, x_{14} = Y_c$ $x_{15} = h_{max}, x_{16} = r_{max}$	$\mathbf{f}_{mb} = \mathbf{Ax} + \mathbf{B}_d \begin{bmatrix} \frac{\lambda(x_1 t - x_{11})}{2} \left[ \exp(c_1 \frac{x_5}{x_{14}}) - \exp(c_2 \frac{x_5}{x_{14}}) \right] \\ \exp \left[ \frac{2 - (x_1 t - x_{11})^{2\alpha_{mb}} / x_{13}^{2\alpha_{mb}}}{2\alpha_{mb}} \right] \\ \frac{\lambda(x_6 t + x_{12})}{2} \left[ \exp(c_1 \frac{x_5}{x_{14}}) - \exp(c_2 \frac{x_5}{x_{14}}) \right] \\ \exp \left[ \frac{2 - ((x_1 t - x_{11})^2 + (x_6 t + x_{12})^2)^{\alpha_{mb}} / x_{13}^{2\alpha_{mb}}}{2\alpha_{mb}} \right] \\ -\lambda \left[ 1 - \frac{(x_1 t - x_{11})^{2\alpha_{mb}}}{2x_{13}^{2\alpha_{mb}}} \right] \exp \left[ \frac{2 - (x_1 t - x_{11})^{2\alpha_{mb}} / x_{13}^{2\alpha_{mb}}}{2\alpha_{mb}} \right] \\ \left\{ \frac{x_{14}}{c_1} \left[ \exp(c_1 \frac{x_5}{x_{14}}) - 1 \right] - \frac{x_{14}}{c_2} \left[ \exp(c_2 \frac{x_5}{x_{14}}) - 1 \right] \right\} \\ \mathbf{0}_{3 \times 1} \end{bmatrix}$	$+ \begin{bmatrix} \mathbf{B} \\ \mathbf{0}_{3 \times 1} \end{bmatrix} \delta$ <p style="text-align: center;">۴ مایکروبرست</p>

## ۵ طراحی فیلترهای چندمدلی

این فصل به بیان جزئیات الگوریتم فیلتر چندمدلی طراحی شده به منظور تخمین نوع مدل باد، پارامترهای آن و همچنین، متغیرهای حالت پرنده بدون سرنشین بال ثابت می پردازد. به این منظور، ابتدا در بخش ۱.۵ فرمولاسیون مساله چندمدلی بیان می شود. سپس، در بخش ۲.۵ الگوریتم فیلتر چندمدلی تخمین باد بیان می شود. سپس، در بخش ۳.۵ نتایج تخمین چندمدلی پدیده باد با استفاده از فیلتر کالمن چندمدلی توسعه یافته به منظور تخمین مدل باد، پارامترهای آن و متغیرهای حالت پرنده بیان می شود. در نهایت، در بخش ۴.۵ جمع بندی این فصل ارائه می شود.

### ۱.۵ فرمولاسیون مساله چندمدلی

هدف از یک فیلتر چندمدلی، تخمین مدل دینامیکی مسئله و متغیرهای حالت سیستم  $(\mathbf{x}_k)$  با استفاده از خروجی های موجود  $(\mathbf{z}_k)$  و از طریق یک فرآیند بازگشتی است. یک سیستم دینامیکی چندمدلی غیرخطی در فضای حالت گسسته زمان به صورت زیر بیان می شود [۱۰۶]:

$$\mathbf{x}_k = \mathbf{f}_{m,k-1}(\mathbf{x}_{k-1}, \delta_{k-1}, \boldsymbol{\omega}_{k-1}) \quad (1.5)$$

در رابطه فوق،  $\delta$  و  $k$  به ترتیب بیانگر ورودی کنترلی و گام زمانی نمونه برداری هستند. همچنین،  $m$  اشاره به  $m$ -امین مدل از مجموعه  $M$  مدل موجود دارد.  $\mathbf{f}$  نیز یک تابع غیرخطی است. معادله اندازه گیری نیز به صورت زیر بیان می شود:

$$\mathbf{z}_k = \mathbf{h}_{m,k}(\mathbf{x}_k, \mathbf{v}_k) \quad (2.5)$$

در رابطه فوق،  $\mathbf{h}$  یک تابع غیرخطی است. همچنین،  $\boldsymbol{\omega}_k$  و  $\mathbf{v}_k$  به ترتیب بیانگر نویزهای فرآیند و اندازه گیری با ماتریس های کواریانس معلوم  $\mathbf{Q}$  و  $\mathbf{R}$  هستند.

## ۲.۵ الگوریتم فیلتر چندمدلی پدیده باد

در این فصل، از روش فیلتر کالمن چندمدلی استاتیکی توسعه یافته به منظور تخمین مدل باد، پارامترهای آن و متغیرهای حالت پرنده بدون سرنشین استفاده می‌شود. در این صورت، مدل صحیح باد در بین مجموعه‌ای از مدل‌های باد وجود دارد. همچنین، هر مدل باد دارای دینامیک مخصوص به خود است؛ لذا، تخمین گر دینامیکی است. این الگوریتم، روش فیلتر چندمدلی پدیده باد (MMWE)<sup>۱</sup> نامیده می‌شود. در این روش، از چهار فیلتر به منظور تخمین مدل باد ثابت، مدل باد "1-cosine"، مدل باد برشی و مدل مایکروبرست استفاده می‌شود که هر کدام با یک مدل باد منطبق شده و به صورت جداگانه کار می‌کنند.

هر فیلتر علاوه بر تخمین متغیرهای حالت و ماتریس کواریانس، یک ضریب وزنی نیز بر مبنای اختلاف خروجی تخمین زده شده با خروجی اندازه‌گیری محاسبه می‌کند. در نهایت، خروجی فیلتر چندمدلی استاتیکی در هر لحظه یک ترکیب گوسی از میانگین وزن دار بهترین تخمین متغیرهای حالت، ماتریس کواریانس و نوع مدل باد حاصل از فیلترهای موجود است. شماتیک نحوه عملکرد فیلتر چندمدلی به منظور تخمین نوع مدل باد و متغیرهای حالت پرنده در شکل ۱.۵ نشان داده شده است. در ادامه، جزئیات فیلتر چندمدلی پیشنهادی تشریح می‌شود.

### ۱.۲.۵ مقداردهی اولیه

در الگوریتم فیلتر چندمدلی باد، هر فیلتر دارای تعدادی پارامتر است که باید قبل از اجرای الگوریتم مقداردهی شود. از جمله این پارامترها می‌توان به مقدار اولیه متغیرهای حالت ابتدایی و ماتریس کواریانس مدل  $m$ - $m$  ( $\mathbf{P}_0^m$  و  $\mathbf{x}_0^m$ ) و احتمال اولیه هر مدل باد ( $\text{Pr}_0^m$ ) اشاره کرد.

### ۲.۲.۵ اجرای فیلتر کالمن توسعه یافته منطبق با هر مدل

در شروع  $k$ -امین گام زمانی، چهار فیلتر کالمن توسعه یافته به صورت مستقل برای هر یک از مدل‌های باد (مدل باد ثابت، مدل باد "1-cosine"، مدل باد برشی و مدل مایکروبرست) اجرا می‌شوند. سپس، در گام نمونه برداری  $k$ -ام، هر یک از فیلترهای منطبق بر مدل به تخمین متغیرهای حالت مرتبط با  $m$ -امین

<sup>1</sup> Multiple Model Wind Estimator

مدل  $(\hat{\mathbf{x}}_k^m)$ ، ماتریس کواریانس مرتبط با هر مدل  $(\mathbf{P}_k^m)$  و تابع احتمال<sup>۱</sup> هر مدل  $(\tau_k^m)$  برای  $m=1, \dots, 4$  می‌پردازد. تابع احتمال مرتبط با هر مدل به صورت زیر محاسبه می‌شود [۱۰۷]:

$$\tau_k^m \approx \frac{\exp\left(-\frac{\mathbf{r}_k^{mT} \mathbf{S}_k^{m-1} \mathbf{r}_k^m}{2}\right)}{(2\pi)^{\frac{n_m}{2}} |\mathbf{S}_k^m|^{\frac{1}{2}}} \quad (۳.۵)$$

در رابطه فوق،  $n_m$  بیانگر تعداد سنسورهای خروجی است. از آنجا که تعداد اندازه‌گیری‌ها برای همه فیلترها یکسان است؛ پس  $n_m$  نیز برای همه مدل‌ها یکسان است. همچنین، بیانگر باقیمانده<sup>۲</sup> فیلتر  $m$ -ام است که بر مبنای اختلاف خروجی اندازه‌گیری‌شده  $(\mathbf{z}_k)$  با خروجی تخمین‌زده شده  $(\hat{\mathbf{z}}_k^m)$  است و به صورت زیر محاسبه می‌شود:

$$\mathbf{r}_k^m = \mathbf{z}_k - \hat{\mathbf{z}}_k^m \quad (۴.۵)$$

همچنین،  $\mathbf{S}_k^m$  ماتریس کواریانس باقیمانده است که از رابطه  $\mathbf{S}_k^m = \mathbf{H}_k^{mT} \mathbf{P}_k^m \mathbf{H}_k^m$  حاصل می‌شود. اینجا،  $\mathbf{H}_k^m$  نیز بیانگر ماتریس خروجی  $m$ -امین مدل در گام زمانی  $k$ -ام است.

### ۳.۲.۵ به‌روز رسانی احتمال هر فیلتر

احتمال انطباق مدل  $m$ -ام در لحظه  $k$  به صورت زیر به‌روز رسانی می‌شود:

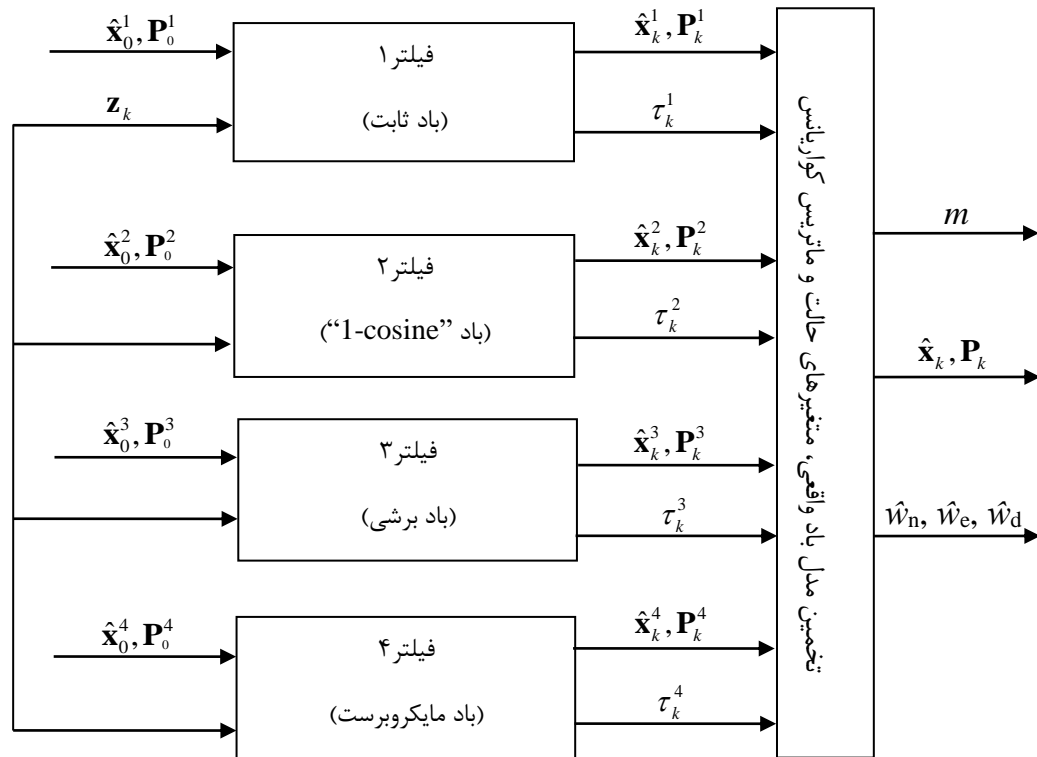
$$\Pr_k^m = \frac{\tau_k^m \Pr_{k-1}^m}{\sum_{m=1}^4 \tau_k^m \Pr_{k-1}^m} \quad (۵.۵)$$

لازم به ذکر است که مقدار اولیه احتمال هر مدل قبل از اجرای الگوریتم فیلتر چندمدلی به صورت تصادفی مقداردهی و نرمالیزه می‌شود.

<sup>1</sup> Likelihood Function

<sup>2</sup> Residual





شکل ۱.۵ فیلتر چندمدلی پدیده باد به منظور تخمین مدل باد و متغیرهای حالت.

#### ۴.۲.۵ تخمین متغیرهای حالت و کواریانس

بهترین تخمین متغیرهای حالت و ماتریس کواریانس متناظر با آن بر مبنای میانگین وزنی تخمین‌های متغیرهای حالت و ماتریس کواریانس به صورت زیر حاصل می‌شود:

$$\hat{\mathbf{x}}_k = \sum_{m=1}^4 \hat{\mathbf{x}}_k^m \Pr_k^m \quad (۶.۵)$$

$$\mathbf{P}_k = \sum_{m=1}^4 \Pr_k^m \left( \mathbf{P}_k^m + [\hat{\mathbf{x}}_k^m - \hat{\mathbf{x}}_k][\hat{\mathbf{x}}_k^m - \hat{\mathbf{x}}_k]^T \right) \quad (۷.۵)$$

#### ۵.۲.۵ تخمین مولفه‌های باد

بهترین تخمین از مولفه‌های باد بر مبنای میانگین وزنی مدل‌های باد به صورت زیر حاصل می‌شود:

$$\hat{W}_n = \sum_{m=1}^4 \Pr_k^m \hat{W}_n^m \quad (۸.۵)$$

$$\hat{W}_e = \sum_{m=1}^4 \text{Pr}_k^m \hat{W}_e^m \quad (۹.۵)$$

$$\hat{W}_d = \sum_{m=1}^4 \text{Pr}_k^m \hat{W}_d^m \quad (۱۰.۵)$$

### ۶.۲.۵ مدل سازی مساله تخمین باد

در این بخش، مدل دینامیکی تصادفی غیرخطی پرنده بدون سرنشین بال ثابت در فضای حالت به منظور تعریف مساله تخمین بر مبنای روش فیلتر چندمدلی بیان می شود. هر فیلتر منطبق بر مدل باد در هر گام نمونه برداری به صورت مستقل اجرا شده و به مدل تصادفی پرنده همراه با مدل باد نیاز دارد. جزییات مدل تصادفی پرنده همراه با هر مدل باد در جدول ۱.۵ ارائه شده است.

### ۳.۵ نتایج تخمین چندمدلی پدیده باد

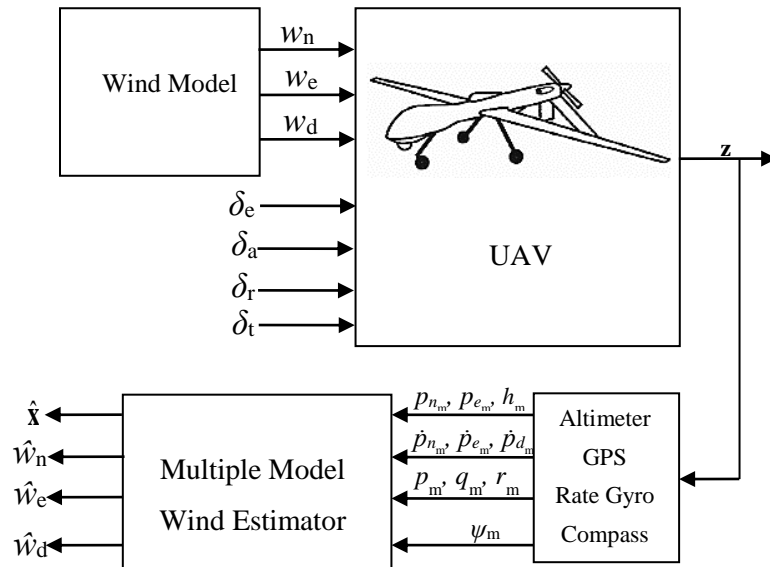
در این بخش، فیلتر چندمدلی MMWE به منظور تخمین توأمان متغیرهای حالت پرنده و نیز مدل باد استفاده می شود. بلوک دیاگرام الگوریتم تخمین مدل باد برای یک پرنده بدون سرنشین بال ثابت در شکل ۲.۵ نشان داده شده است. فرض می شود که اندازه گیری های پرنده توسط سه حسگر ژيروسکوپ نرخی، یک ارتفاع سنج، یک قطب نما دیجیتالی و یک گیرنده GPS فراهم می شود. همچنین، خروجی های سنسور به صورت آغشته به نویز مدل می شود. فیلتر چندمدلی MMWE با استفاده از خروجی های نویزی سنسورها، نوع مدل باد، پارامترهای مدل باد و نیز متغیرهای حالت پرنده را تخمین می زند.

در ادامه، نتایج شبیه سازی عددی به منظور بررسی عملکرد فیلتر چندمدلی MMWE در حضور باد ثابت، باد "1-cosine"، باد برشی و مایکروبرست به ترتیب در بخش های ۱.۳.۵، ۲.۳.۵، ۳.۳.۵ و ۴.۳.۵ بیان می شود. فرض می شود که پرنده در شرایط تریم، در ارتفاع ۱۰۰ متری و سرعت ۳۵ متر بر ثانیه در حال پرواز است. در نهایت، در بخش ۱۰.۳.۵، عملکرد فیلتر چندمدلی MMWE با یک فیلتر EKF مقایسه می شود. همچنین، از آنجا که مدل های باد ممکن است همراه با خطا باشند و نیز درک صحیح از مقادیر اغتشاش فرآیند برای هر مدل مشکل است؛ لذا، فیلترهای مقاوم به منظور تخمین مدل باد همراه با عدم قطعیت استفاده می شود که در پیوست "د" ارائه شده است.

## جدول ۱.۵ مدل دینامیکی متغیرهای حالت افزوده تحت انواع مدل‌های باد.

مدل	نوع باد	متغیرهای حالت افزوده	بیان فضای حالت مدل‌های باد	دینامیک افزوده
۱	باد ثابت	$x_{13} = W_n$ $x_{14} = W_e$ $x_{15} = W_d$	$w_n = \text{constant}$ $w_e = \text{constant}$ $w_d = \text{constant}$	$\dot{x}_i = \omega_i$ $i = 13, \dots, 15$
۲	باد "1-cosine"	$x_{13} = u_m, x_{14} = d_x$ $x_{15} = v_m, x_{16} = d_y$ $x_{17} = w_m, x_{18} = d_z$	$u_{w_{1-\text{cosine}}} = \frac{u_m}{2} \left( 1 - \cos \left( \frac{\pi k \sqrt{x_1^2 + x_2^2 + x_3^2}}{d_x} \right) \right)$ $v_{w_{1-\text{cosine}}} = \frac{v_m}{2} \left( 1 - \cos \left( \frac{\pi k \sqrt{x_1^2 + x_2^2 + x_3^2}}{d_y} \right) \right)$ $w_{w_{1-\text{cosine}}} = \frac{w_m}{2} \left( 1 - \cos \left( \frac{\pi k \sqrt{x_1^2 + x_2^2 + x_3^2}}{d_z} \right) \right)$	$\dot{x}_i = \omega_i$ $i = 13, \dots, 18$
۳	باد برشی	$x_{13} = W_{20}, x_{14} = \Psi_w$	$w_{w_{\text{wind shear}}} = x_{13} \frac{\ln \left( \frac{-x_3}{z_0} \right)}{\ln \left( \frac{20}{z_0} \right)} \cos(x_{14})$ $w_{e_{\text{wind shear}}} = x_{13} \frac{\ln \left( \frac{-x_3}{z_0} \right)}{\ln \left( \frac{20}{z_0} \right)} \sin(x_{14})$	$\dot{x}_i = \omega_i$ $i = 13 \& 14$
۴	مایکروپرست	$x_{13} = x_c, x_{14} = y_c$ $x_{15} = h_{\max}, x_{16} = r_{\max}$	$w_{n_{\text{mb}}} = \frac{\lambda(x_1 - x_{13})}{2} \left[ \exp(c_1 \frac{-x_3}{x_{15}}) - \exp(c_2 \frac{-x_3}{x_{15}}) \right]$ $\exp \left[ \frac{2 - ((x_1 - x_{13})^2 + (x_2 + x_{14})^2)^{\alpha_{\text{mb}}}}{2\alpha_{\text{mb}}} / x_{16}^{2\alpha_{\text{mb}}} \right]$ $w_{e_{\text{mb}}} = \frac{\lambda(x_2 + x_{14})}{2} \left[ \exp(c_1 \frac{-x_3}{x_{15}}) - \exp(c_2 \frac{-x_3}{x_{15}}) \right]$ $\exp \left[ \frac{2 - ((x_1 - x_{13})^2 + (x_2 + x_{14})^2)^{\alpha_{\text{mb}}}}{2\alpha_{\text{mb}}} / x_{16}^{2\alpha_{\text{mb}}} \right]$ $w_{d_{\text{mb}}} = \lambda \left[ 1 - \frac{((x_1 - x_{13})^2 + (x_2 + x_{14})^2)^{\alpha_{\text{mb}}}}{2x_{16}^{2\alpha_{\text{mb}}}} \right]$ $\left\{ \frac{x_{15}}{c_1} \left[ \exp(c_1 \frac{-x_3}{x_{15}}) - 1 \right] - \frac{x_{15}}{c_2} \left[ \exp(c_2 \frac{-x_3}{x_{15}}) - 1 \right] \right\}$ $\exp \left[ \frac{2 - ((x_1 - x_{13})^2 + (x_2 + x_{14})^2)^{\alpha_{\text{mb}}}}{2\alpha_{\text{mb}}} / x_{16}^{2\alpha_{\text{mb}}} \right]$	$\dot{x}_i = \omega_i$ $i = 13, \dots, 16$

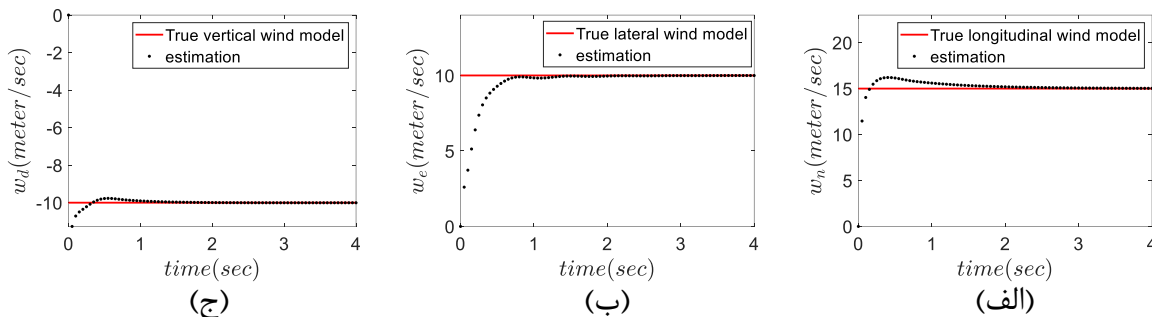
علیرضا شریفی، "توسعه و پیاده‌سازی فیلترهای چندمدلی در فرود خودکار پرنده بدون سرنشین جهت شناسایی برخط و جبران‌سازی اغتشاشات اتمسفری"، رساله دکتری، استاد راهنما: دکتر هادی نوبهاری، دانشگاه صنعتی شریف، دانشکده مهندسی هوافضا، تابستان ۱۳۹۹

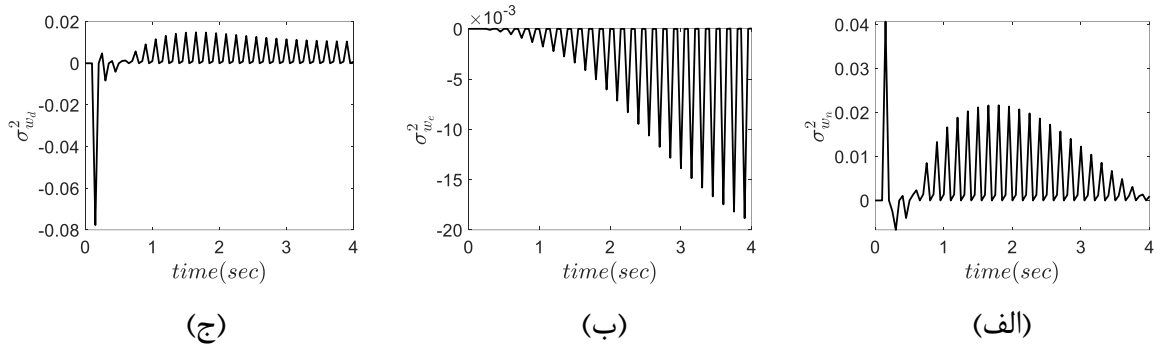


شکل ۲.۵ بلوک دیاگرام الگوریتم تخمین مدل باد.

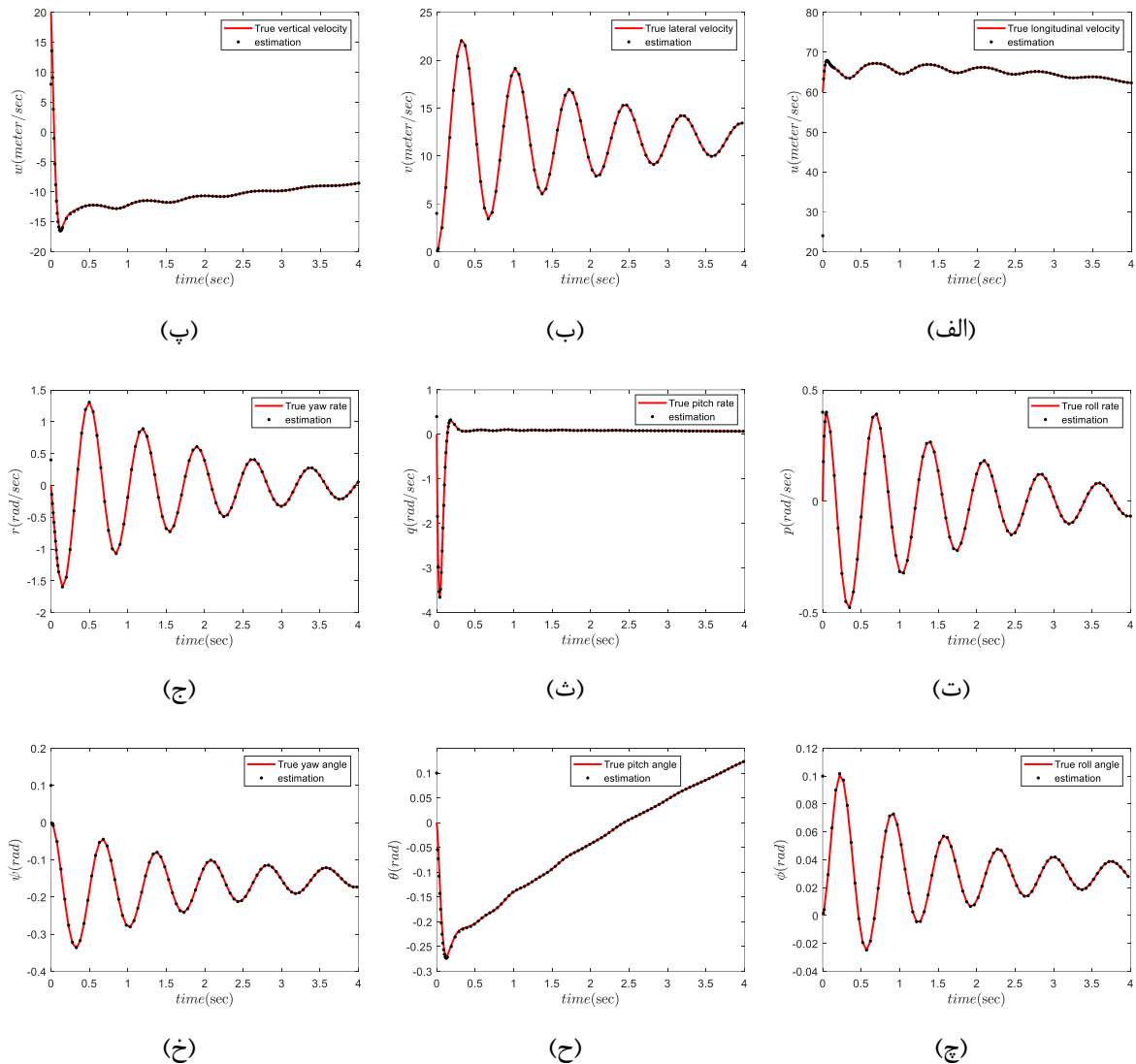
## ۱.۳.۵ تخمین مدل باد ثابت

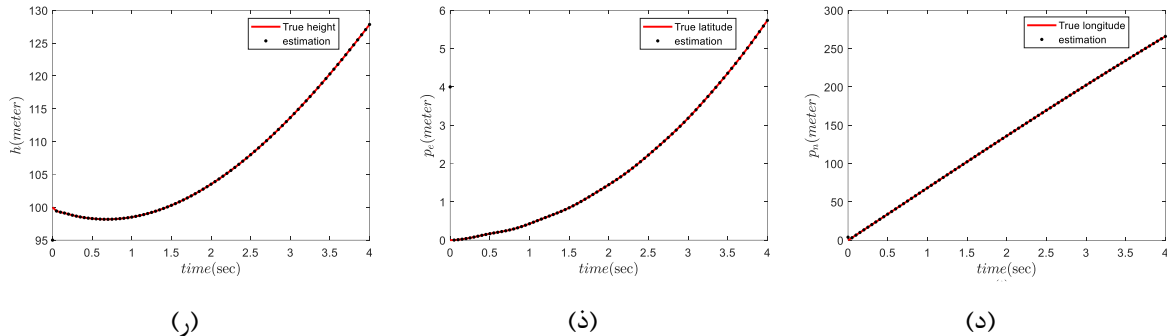
در این بخش، تنها مدل باد ثابت به پرندۀ اعمال می‌شود؛ درحالی‌که فیلتر MMWE از نوع مدل باد ناآگاه است. عملکرد فیلتر MMWE به‌منظور تخمین  $w_n, w_e, w_d$  در شکل ۳.۵ نشان داده شده‌است. مقادیر تخمین‌زده‌شده  $w_n, w_e, w_d$  از مقدار اولیه صفر شروع شده و در کسری از ثانیه به مقادیر واقعی یعنی ۳۰، ۲۰ و ۴۰- همگرا می‌شوند. عملکرد فیلتر MMWE در تخمین متغیرهای حالت پرندۀ در شکل ۵.۵ نشان داده شده‌است. خطوط پر بیانگر متغیر حالت واقعی و خطوط تیره بیانگر متغیر حالت تخمین‌زده شده‌است. همچنین، تاریخچه زمانی المان‌های ماتریس کواریانس سرعت باد به‌منظور تخمین مولفه‌های سرعت باد ثابت در شکل ۴.۵ نشان داده شده‌است. نتایج حاکی از تخمین صحیح مدل باد ثابت و متغیرهای حالت پرندۀ توسط الگوریتم MMWE است. بر اساس بخش ۳.۱.۳، از آنجاکه اندازه‌گیری نویزی از تمام متغیرها بجز زوایای رول و پیچ موجود است، لذا، تخمین متغیرهای حالت دارای دقت و سرعت همگرایی بیشتری نسبت به تخمین مولفه‌های باد است.

شکل ۳.۵ تخمین باد ثابت: (الف)  $w_n$  (ب)  $w_e$  (ج)  $w_d$ .



شکل ۴.۵ تاریخچه زمانی واریانس مولفه‌های سرعت باد: (الف)  $w_n$  (ب)  $w_e$  (ج)  $w_d$ .

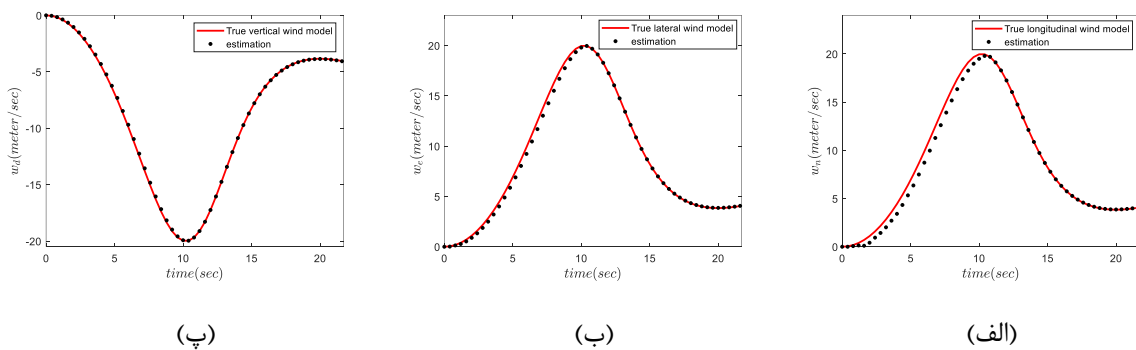


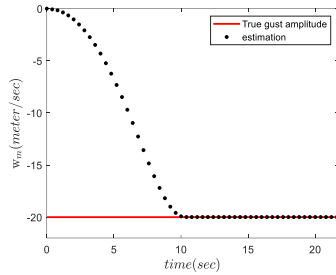


شکل ۵.۵ تخمین متغیرهای حالت در حضور باد ثابت: الف) سرعت طولی ب) سرعت عرضی پ) سرعت عمودی ت) نرخ رول ث) نرخ پیچ ج) نرخ یاو چ) زاویه رول ح) زاویه پیچ خ) زاویه یاو د) ر- موقعیت طولی، عرضی و ارتفاع.

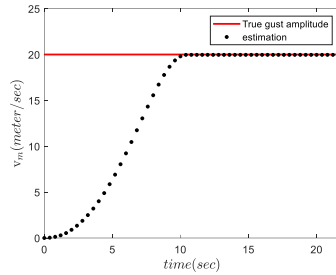
### ۲.۳.۵ تخمین مدل باد "1-cosine"

در این بخش، مدل باد "1-cosine" به پرند اعمال شده و فیلتر MMWE از نوع مدل باد ناآگاه است. نتایج در شکل ۶.۵ تا شکل ۷.۵ نشان داده شده است. عملکرد فیلتر MMWE به منظور تخمین  $w_e$ ,  $w_n$  و  $w_d$  در شکل ۶.۵ (الف)-(پ) نشان داده شده است. همچنین، همگرایی دامنه‌های باد و طول موج‌های تخمین زده شده به مقادیر واقعی به ترتیب در شکل ۶.۵ (ت)-(ج) و شکل ۶.۵ (چ)-(خ) نشان داده شده است.

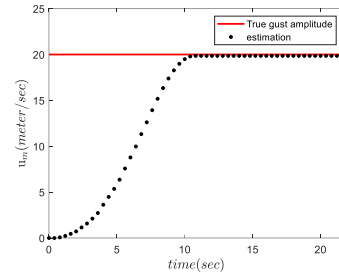




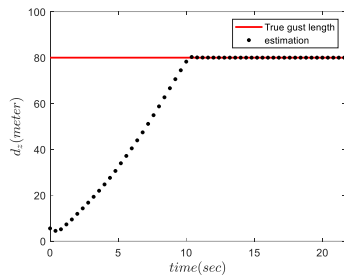
(ج)



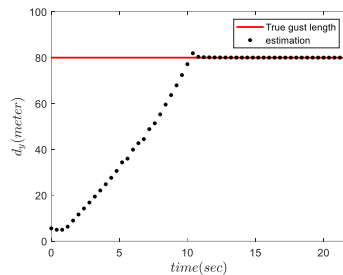
(ث)



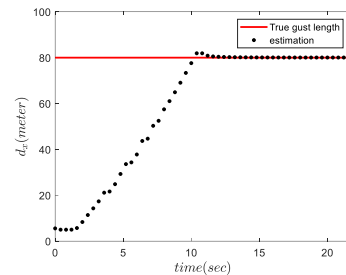
(ت)



(خ)



(ح)



(چ)

شکل ۶.۵ تخمین باد "1-cosine": (الف) - (پ) مولفه‌های باد (ت) - (ج) دامنه‌های باد (چ) - (خ) طول موج‌های باد.

مقادیر تخمین‌زده‌شده اندازه باد "1-cosine" از مقدار اولیه صفر شروع می‌شود. همچنین، مقادیر آغازین طول موج تخمین‌زده‌شده به منظور جلوگیری از تکینگی  $d_m$  در معادله (۴۸.۳) مقداری کوچک (غیر صفر) انتخاب می‌شود. از آنجا که، مقادیر تخمین ابتدایی مولفه‌های باد با مقادیر واقعی منطبق هستند؛ لذا مولفه‌های باد سریعتر از پارامترهای باد همگرا می‌شوند. همچنین، تخمین متغیرهای پرنده در شکل ۷.۵ نشان داده شده است. در نهایت، تخمین سرعت باد در نقطه آغازین متفاوت در شکل ۸.۵ نشان داده شده است. نتایج حاکی از عملکرد دقیق فیلتر چندمدلی MMWE است؛ هنگامی که پدیده باد "1-cosine" به پرنده اعمال می‌شود.

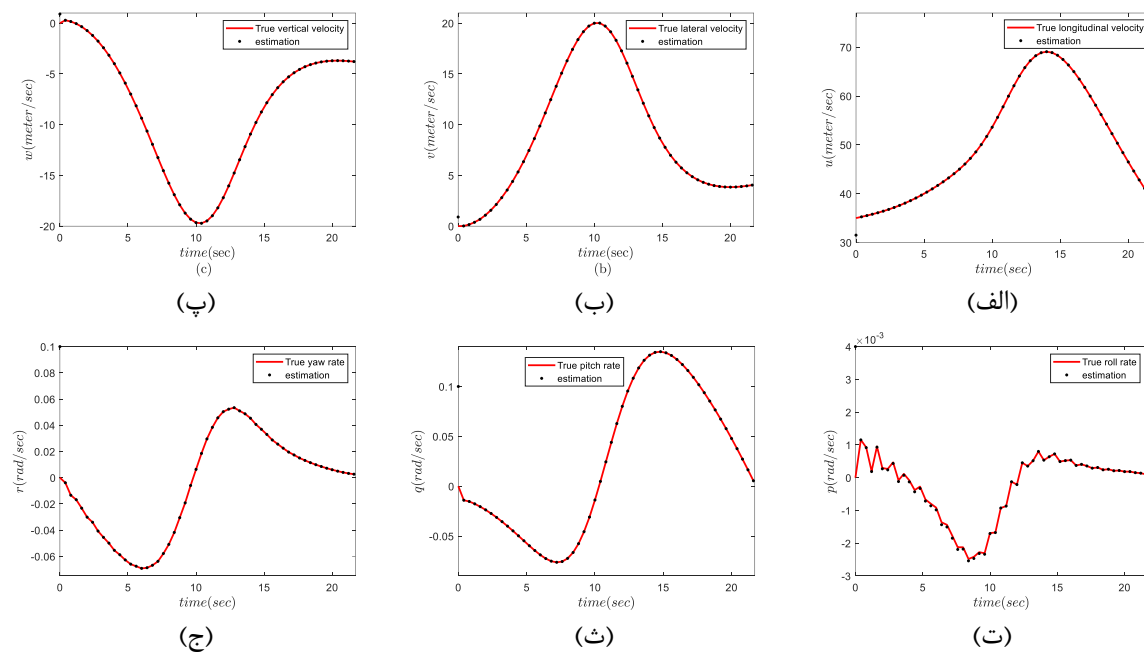
### ۳.۳.۵ تخمین باد برشی

در این بخش، باد برشی به پرنده اعمال می‌شود. عملکرد مناسب فیلتر در تخمین مولفه‌های سرعت باد برشی در شکل ۹.۵ (الف) - (پ) نشان داده شده است. به علاوه، سرعت باد واقعی و تخمین‌زده شده در

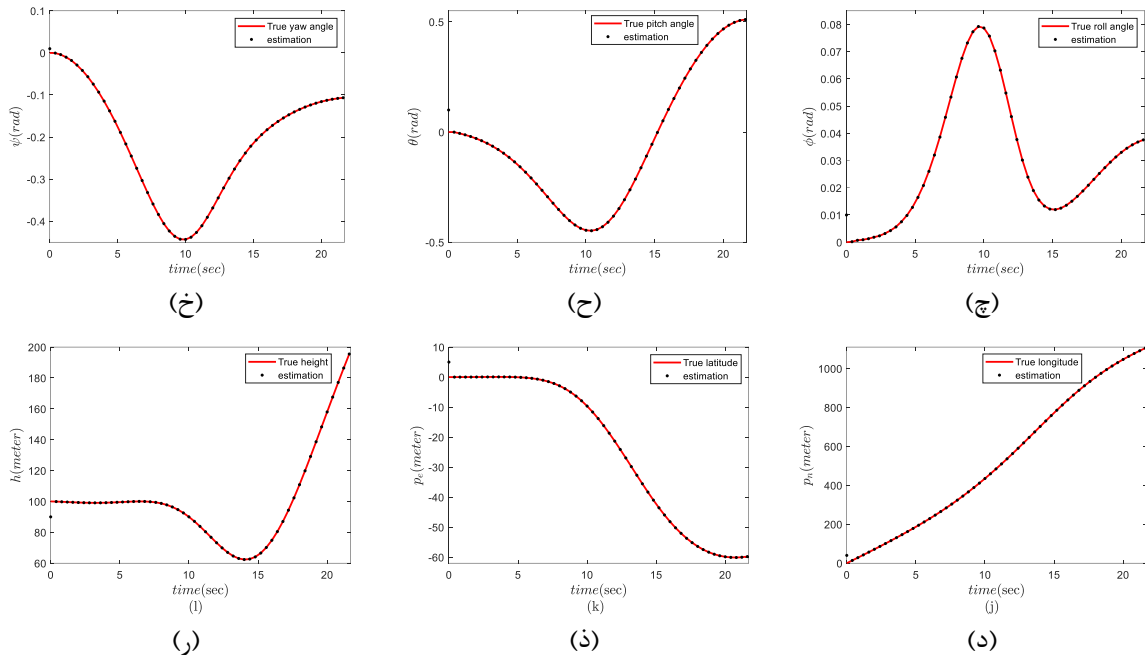
ارتفاع ۲۰ فوت در شکل ۹.۵ (ت) و جهت باد واقعی و تخمین زده شده در شکل ۹.۵ (ث) نشان داده شده است. پارامترهای تخمین زده شده از مقادیر اولیه صفر به مقادیر واقعی همگرا می‌شوند. بر اساس معادله (۵۱.۳)، از آنجاکه تخمین ابتدایی مولفه‌های باد وابسته به مقدار ابتدایی  $w_{20}$  است، لذا، نقطه آغازین مولفه‌های باد صفر است. همچنین، تخمین متغیرهای حالت پرنده در شکل ۱۰.۵ نشان داده شده است. نتایج حاکی از تخمین صحیح مدل باد برشی و متغیرهای حالت پرنده توسط الگوریتم MMWE است.

### ۴.۳.۵ تخمین مایکروبرست

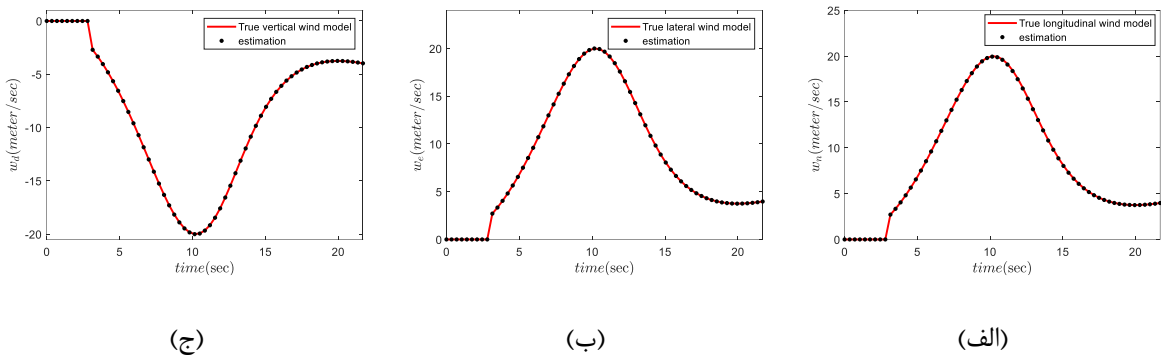
در این بخش، مدل مایکروبرست به پرنده اعمال می‌شود. عملکرد فیلتر MMWE در حضور مایکروبرست در تخمین مولفه‌های سرعت باد در شکل ۱۱.۵ (الف)-(پ) نشان داده شده است. شکل ۱۱.۵ (ت)-(ث) مقادیر تخمین زده شده و واقعی مرکز برست را مقایسه می‌کند. مقادیر ابتدایی این متغیرها صفر انتخاب شده است. همچنین، تخمین ارتفاع، فاصله شعاعی و اندازه باد افقی بیشینه به ترتیب در شکل ۱۱.۵ (ج)-(ح) نشان داده شده است. عملکرد مناسب فیلتر MMWE در تخمین متغیرهای حالت پرنده در شکل ۱۲.۵ نشان داده شده است. نتایج حاکی از عملکرد صحیح الگوریتم MMWE است؛ در حالیکه مایکروبرست به پرنده اعمال می‌شود.



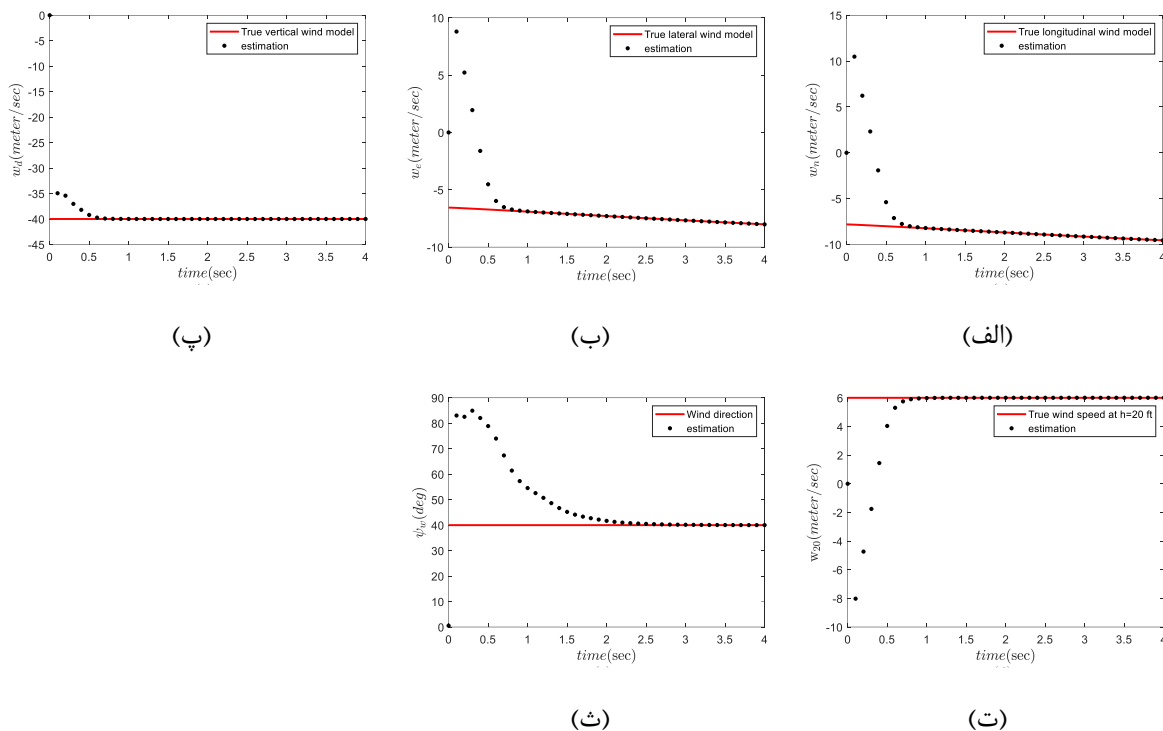




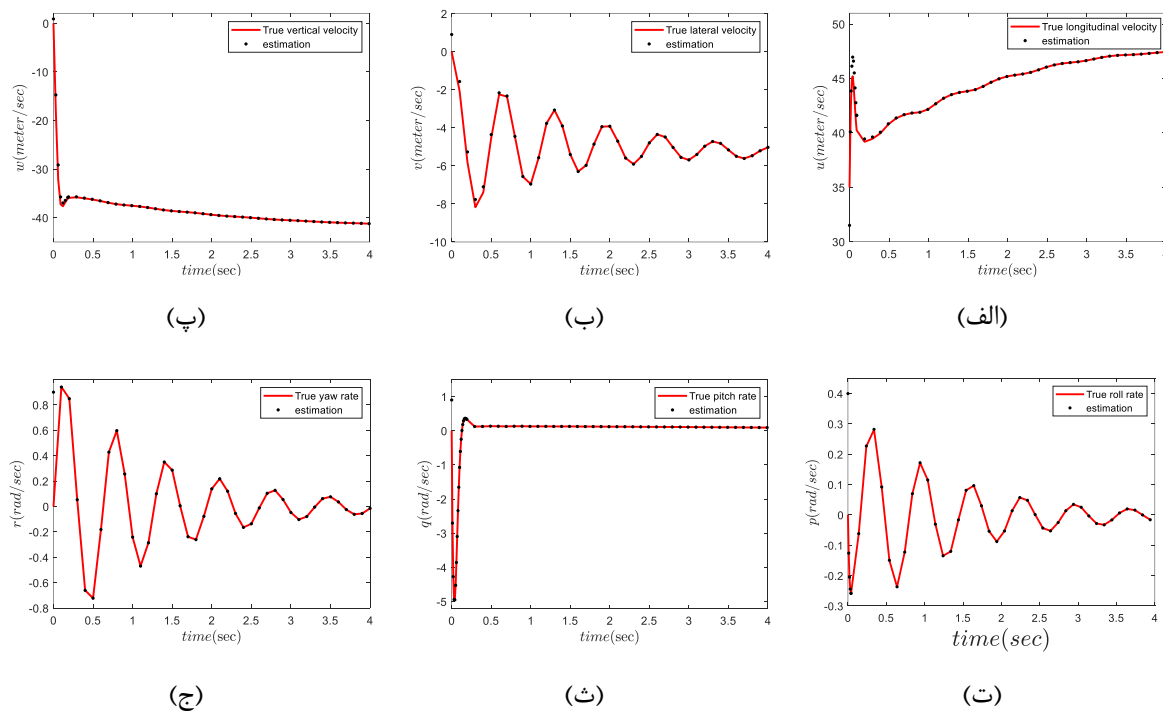
شکل ۷.۵ تخمین متغیرهای حالت در حضور باد "1-cosine": الف) سرعت طولی ب) سرعت عرضی پ) سرعت عمودی ت) نرخ رول ث) نرخ پیچ ج) نرخ یاو چ) زاویه رول ح) زاویه پیچ خ) زاویه یاو د) - ر) موقعیت طولی، عرضی و ارتفاع.



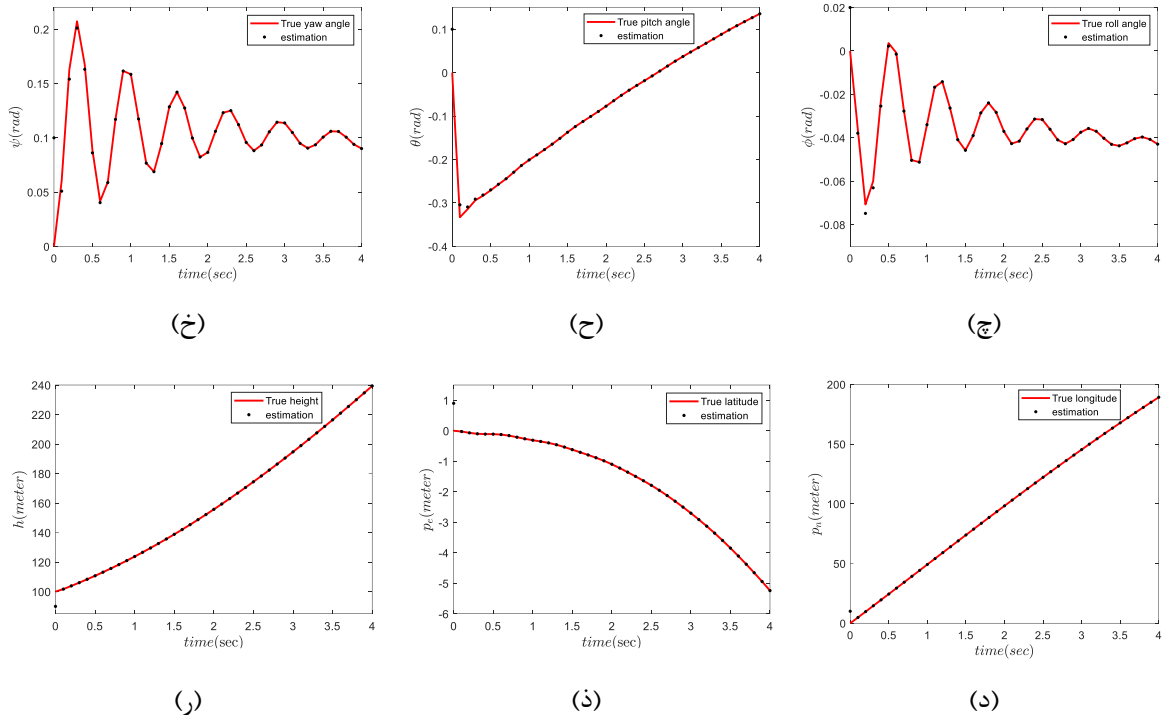
شکل ۸.۵ تخمین باد "1-cosine" اعمال شده در نقطه آغازین متفاوت با پرنده.



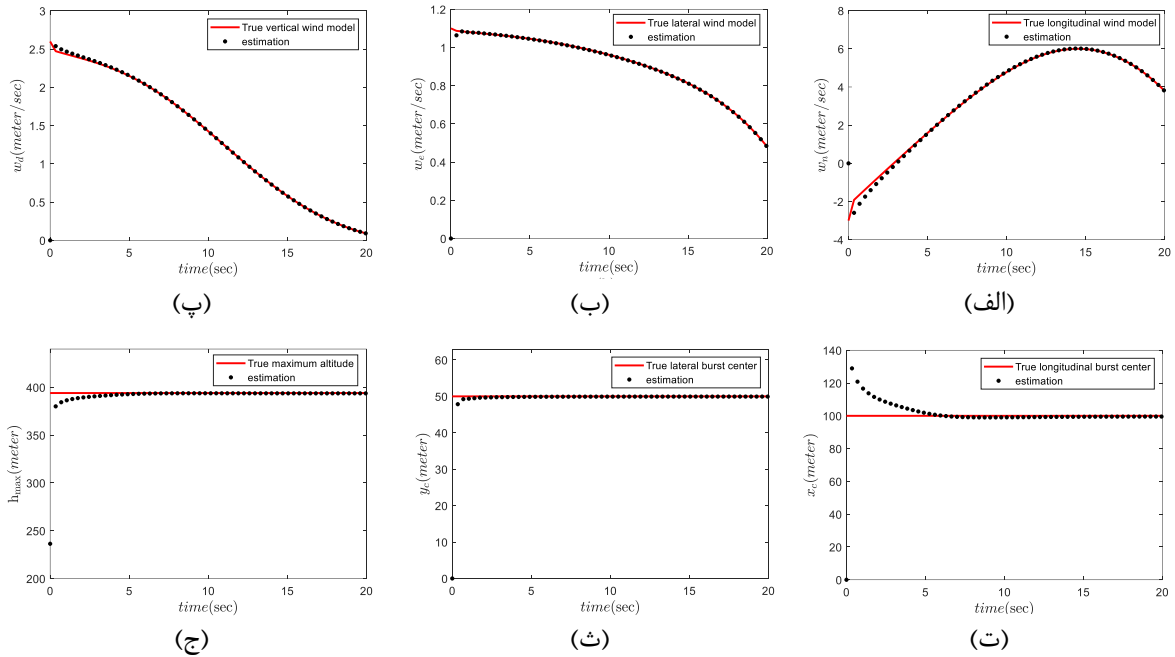
شکل ۹.۵ تخمین باد برشی: الف)  $w_n$  (ب)  $w_e$  (پ)  $w_d$  (ت) سرعت باد در ارتفاع ۲۰ فوت (ث) جهت باد.



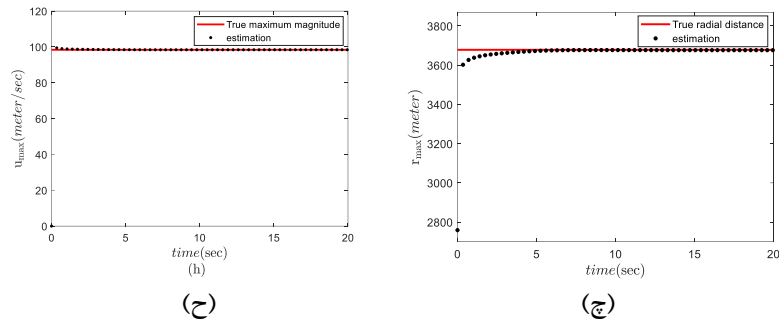
علیرضا شریفی، "توسعه و پیاده‌سازی فیلترهای چندمدلی در فرود خودکار پرنده بدون سرنشین جهت شناسایی برخط و جبران‌سازی اغتشاشات اتمسفری"، رساله دکتری، استاد راهنما: دکتر هادی نوبهاری، دانشگاه صنعتی شریف، دانشکده مهندسی هوافضا، تابستان ۱۳۹۹



شکل ۱۰.۵ تخمین متغیرهای حالت در حضور باد برشی: الف) سرعت طولی ب) سرعت عرضی پ) سرعت عمودی ت) نرخ رول ث) نرخ پیچ ج) نرخ یاو چ) زاویه رول ح) زاویه پیچ خ) زاویه یاو د) ر-موقعیت طولی، عرضی و ارتفاع.



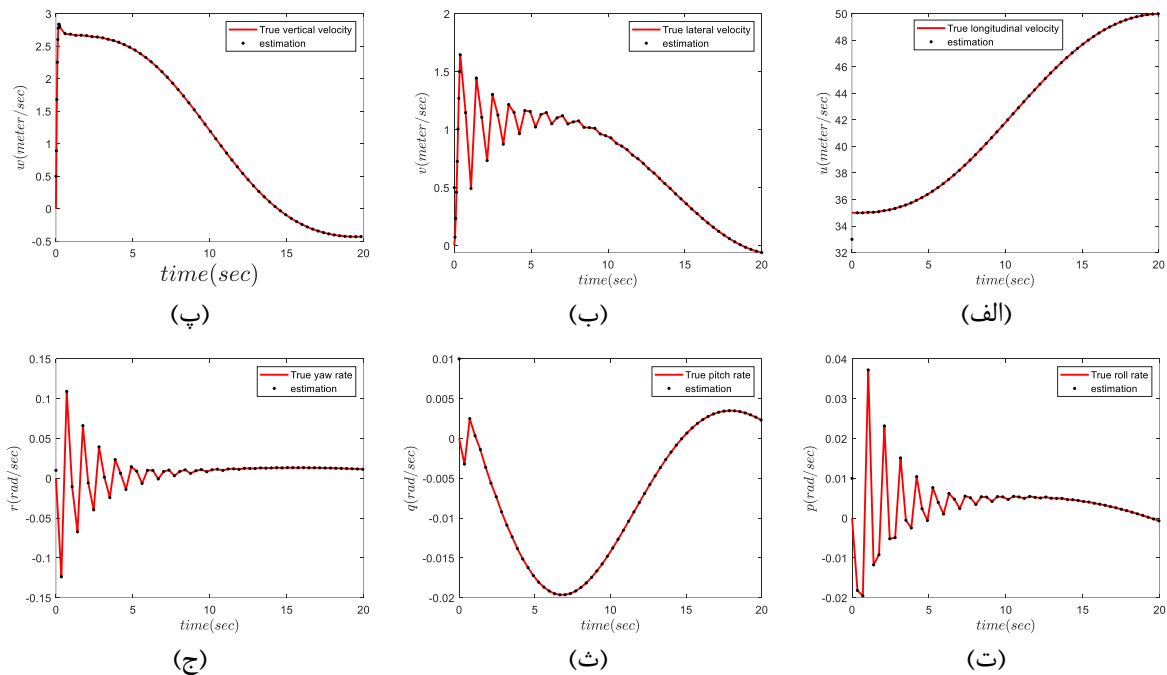
علیرضا شریفی،<sup>۱</sup> توسعه و پیاده‌سازی فیلترهای چندمدلی در فرود خودکار پرند بدون سرنشین جهت شناسایی برخط و جبران‌سازی اغتشاشات اتمسفری<sup>۲</sup>، رساله دکتری، استاد راهنما: دکتر هادی نوبهاری، دانشگاه صنعتی شریف، دانشکده مهندسی هوافضا، تابستان ۱۳۹۹



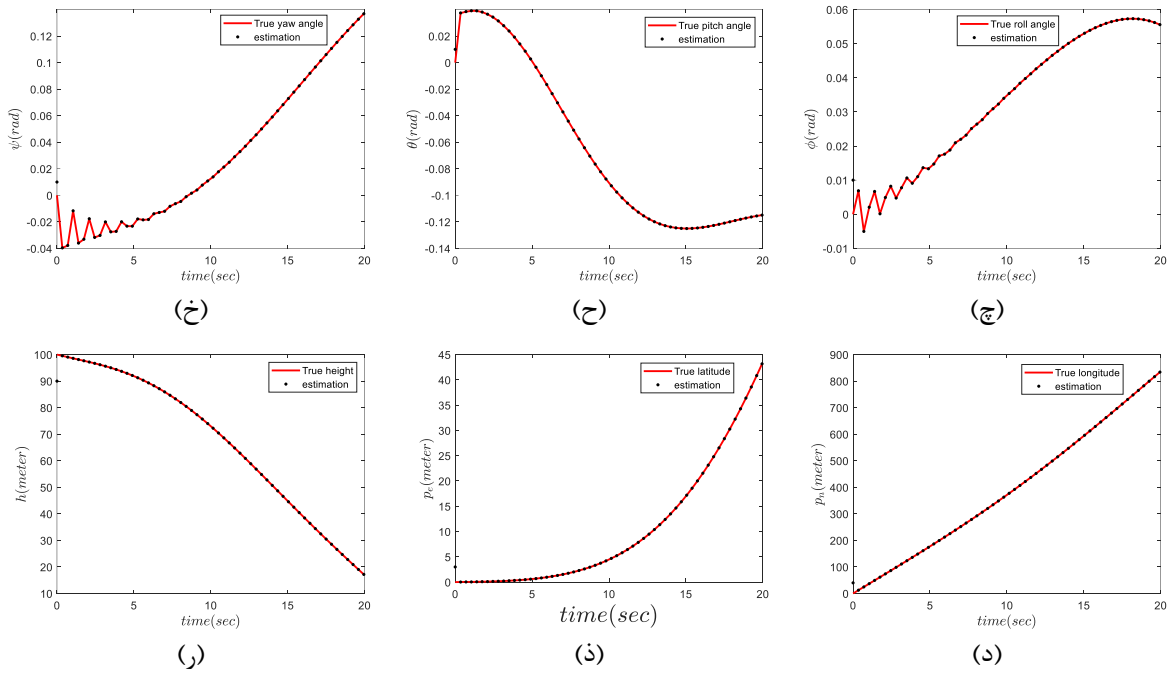
شکل ۱۱.۵ تخمین مایکروبرست: (الف)  $w_n$  (ب)  $w_e$  (پ)  $w_d$  (ت)-(ث) مرکز طولی و عرضی برست (ج)-(ح) ارتفاع، فاصله شعاعی و اندازه متناظر با حداکثر سرعت افقی بیشینه.

### ۵.۳.۵ تخمین مدل باد در حضور عدم قطعیت آیرودینامیکی

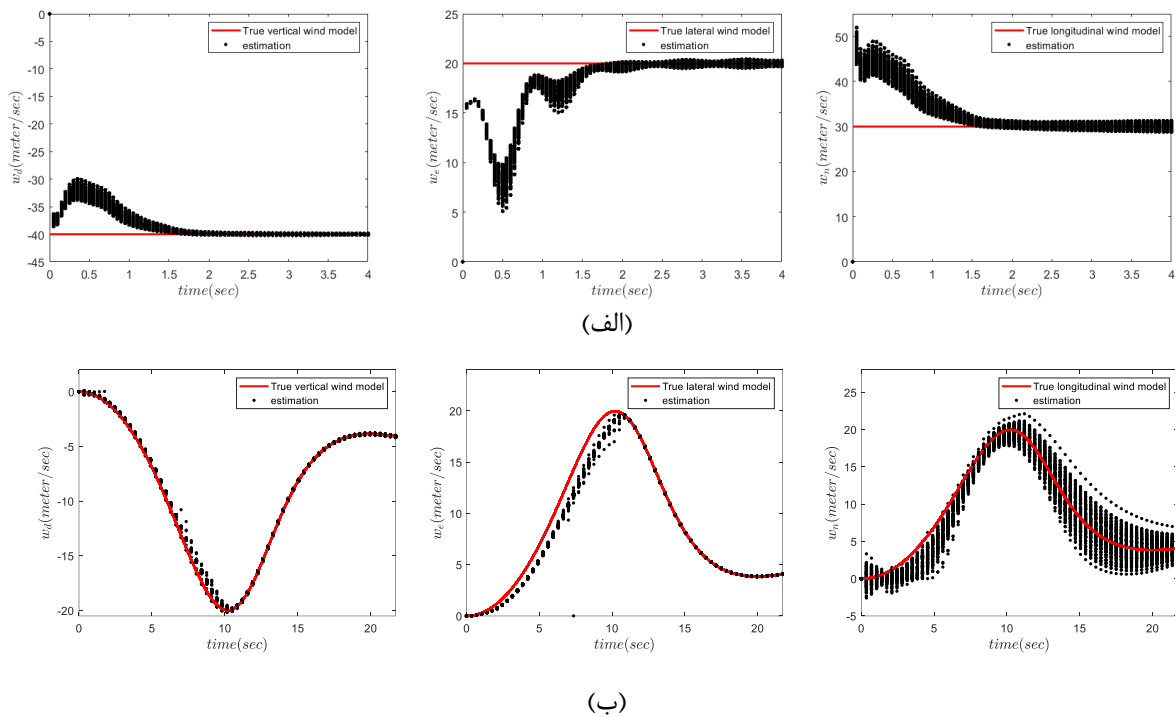
در این بخش، به منظور بررسی مقاومت فیلتر چندمدلی پیشنهادی MMWE به تغییرات ضرایب آیرودینامیکی، ۱۰۰ مرتبه مدل غیرخطی پرنده (معادلات (۱.۳) تا (۴.۳)) به ازای مقادیر مختلف تمام ضرایب آیرودینامیکی در محدوده عدم قطعیت  $\pm 10\%$  حول مقدار نامی شبیه سازی می شود. نتایج، که در شکل ۱۳.۵ نشان داده شده است، حاکی از عملکرد مناسب فیلتر چندمدلی MMWE در حضور عدم قطعیت آیرودینامیکی است.



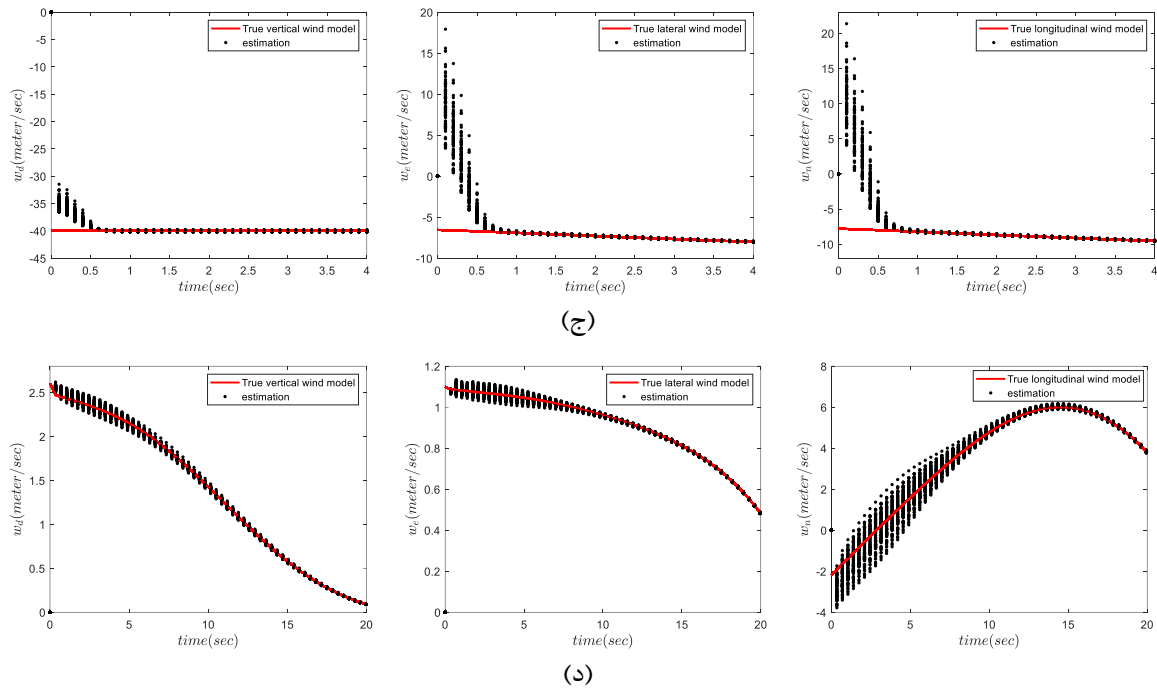
علیرضا شریفی، "توسعه و پیاده سازی فیلترهای چندمدلی در فرود خودکار پرنده بدون سرنشین جهت شناسایی برخط و جبران سازی اغتشاشات اتمسفری"، رساله دکتری، استاد راهنما: دکتر هادی نوبهاری، دانشگاه صنعتی شریف، دانشکده مهندسی هوافضا، تابستان ۱۳۹۹



شکل ۱۲.۵ تخمین متغیرهای حالت در حضور مایکروبرست: الف) سرعت طولی (ب) سرعت عرضی (پ) سرعت عمودی (ت) نرخ رول (ث) نرخ پیچ (ج) نرخ یاو (چ) زاویه رول (ح) زاویه پیچ (خ) زاویه یاو (د) (ر) موقعیت طولی، عرضی و ارتفاع.



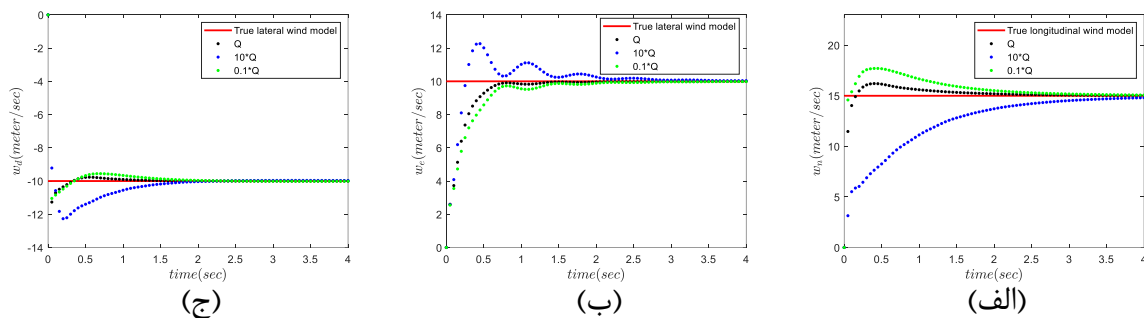
علیرضا شریفی،<sup>۱</sup> توسعه و پیاده‌سازی فیلترهای چندمدلی در فرود خودکار پرنده بدون سرنشین جهت شناسایی برخط و جبران‌سازی اغتشاشات اتمسفری<sup>۲</sup>، رساله دکتری، استاد راهنما: دکتر هادی نوبهاری، دانشگاه صنعتی شریف، دانشکده مهندسی هوافضا، تابستان ۱۳۹۹



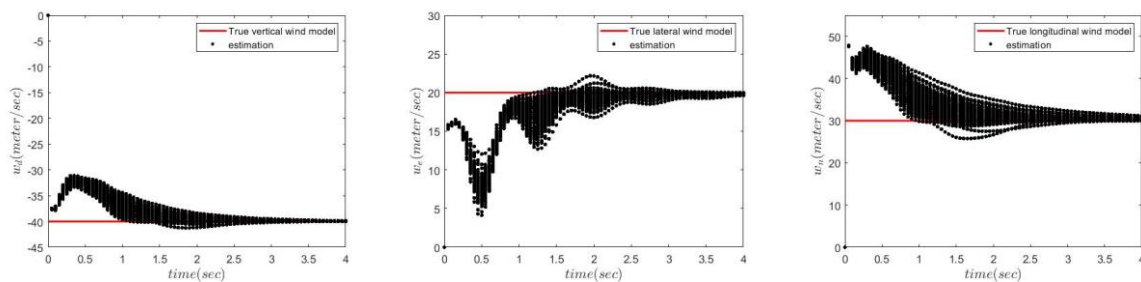
شکل ۱۳.۵ تخمین باد در حضور عدم قطعیت آیرودینامیکی الف) باد ثابت ب) باد "1-cosine" ج) باد برشی د) مایکروپرست.

۶.۳.۵ حساسیت سنجی نسبت به کواریانس نویز فرآیند به منظور تخمین مدل باد

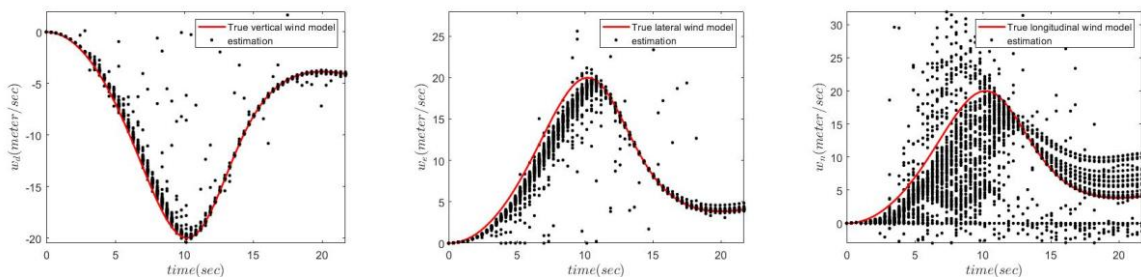
در این بخش، حساسیت فیلتر چندمدلی MMWE نسبت به کواریانس نویز فرآیند بررسی می‌شود. به عنوان نمونه، حساسیت فیلتر چندمدلی در تخمین مولفه‌های سرعت باد ثابت نسبت به مقادیر مختلف کواریانس نویز فرآیند در شکل ۱۴.۵ نشان داده شده است. همچنین، مرتبه فیلتر چندمدلی به ازای مقادیر مختلف کواریانس نویز فرآیند پارامترهای مدل باد در محدوده عدم قطعیت  $\pm 5\%$  حول مقدار نامی در شکل ۱۵.۵ شبیه‌سازی می‌شود. نتایج حاکی از عملکرد مناسب فیلتر چندمدلی MMWE نسبت به مقادیر مختلف کواریانس نویز فرآیند است.



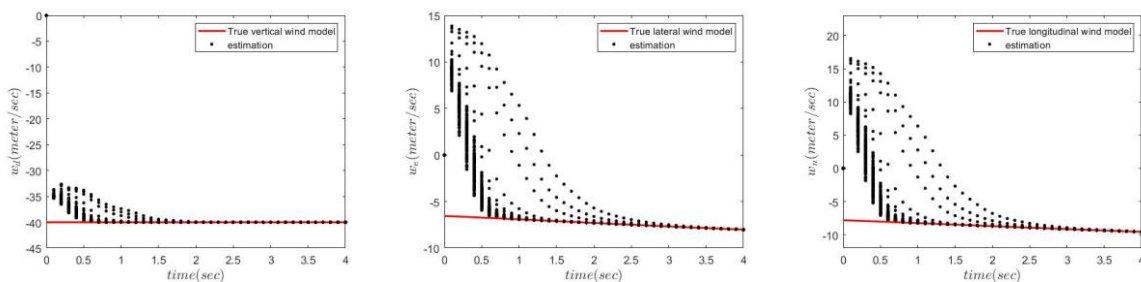
شکل ۱۴.۵ حساسیت فیلتر چندمدلی در تخمین باد ثابت: الف)  $w_n$  ب)  $w_e$  ج)  $w_d$ .



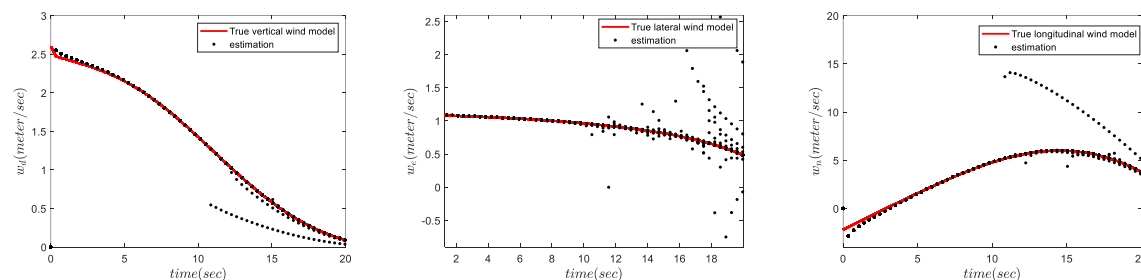
(الف)



(ب)



(ج)



(د)

شکل ۱۵.۵ تخمین باد نسبت به مقادیر مختلف کواریانس نویز فرآیند الف) باد ثابت ب) باد 1-  
 "cosine ج) باد برشی د) مایکروبرست.

### ۷.۳.۵ تخمین مدل باد در حین مانور

به منظور بررسی حساسیت فیلتر چندمدلی MMWE به مانور پرنده، یک مانور طولی و عرضی شبیه‌سازی می‌شود. پرنده ابتدا در حالت تریم در ارتفاع ۱۰۰ متر و سرعت ۳۵ متر بر ثانیه پرواز می‌کند. سپس، مانور زیر در یک ترائل ثابت انجام می‌شود:

$$(۱۱.۵) \quad \begin{cases} \delta_e = 0 \text{ rad} \ \& \ \delta_a = 0 \text{ rad} & t \leq 0.25 t_f \\ \delta_e = 0.1 \text{ rad} \ \& \ \delta_a = -0.1 \text{ rad} & 0.25 t_f < t \leq 0.5 t_f \\ \delta_e = -0.1 \text{ rad} \ \& \ \delta_a = 0.1 \text{ rad} & 0.5 t_f < t \leq t_f \end{cases}$$

در رابطه فوق،  $t_f$  بیانگر زمان نهایی است. عملکرد فیلتر چندمدلی MMWE در تخمین مدل‌های باد در حین مانور در شکل ۱۶.۵ نشان داده شده است. نتایج حاکی از تخمین صحیح مولفه‌های باد توسط فیلتر چندمدلی MMWE در حین مانور پرنده است.

### ۸.۳.۵ تخمین مدل باد ترکیبی

در این بخش، باد واقعی به صورت ترکیبی از مدل باد ثابت با مدل‌های باد "1-cosine" یا باد برشی یا باد مایکروبرست فرض می‌شود. شکل ۱۷.۵ (الف) نشان می‌دهد که فیلتر MMWE قادر به شناسایی مدل باد ترکیبی ثابت "1-cosine" است. همچنین، شکل ۱۷.۵ (ب) و (ج) نیز نشان می‌دهند که فیلتر چندمدلی MMWE به ترتیب قادر به تخمین صحیح مدل باد ترکیبی ثابت-برشی و نیز مدل باد ترکیبی ثابت-مایکروبرست است.

### ۹.۳.۵ تخمین مدل باد آغشته به اغتشاشات تصادفی

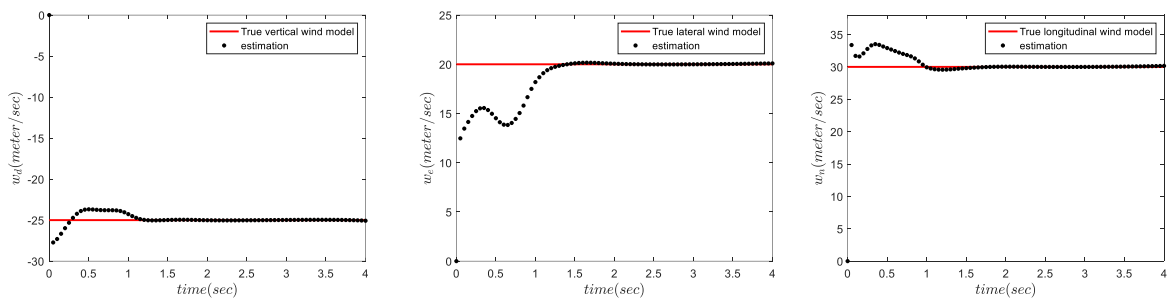
در این بخش، باد به صورت ترکیبی از باد معین و تصادفی بر طبق معادله (۴۶.۳) مدل می‌شود. عملکرد MMWE در حضور مدل باد تصادفی درآیدن با توربولانس کم، که پارامترهای آن در جدول ۴.۳ نشان داده شده است، در شکل ۱۸.۵ نشان داده شده است. نتایج حاکی از عملکرد مناسب فیلتر چندمدلی MMWE به منظور تخمین مدل باد معین است، هنگامی که مدل باد معین با باد تصادفی ترکیب می‌شود.



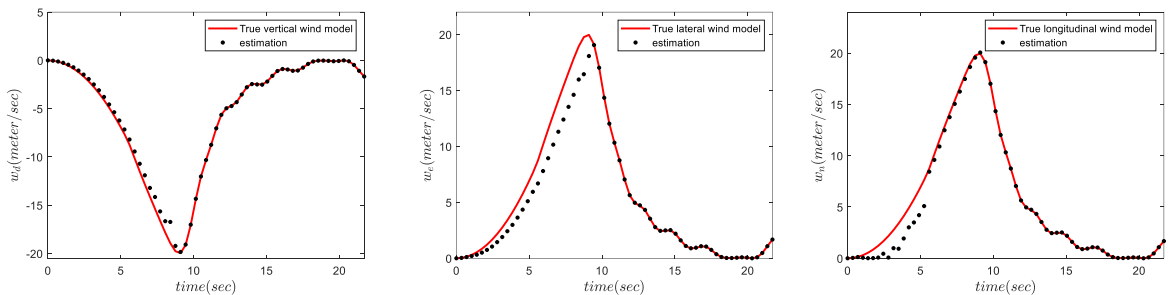
### ۱۰.۳.۵ مقایسه فیلتر چندمدلی تخمین باد با فیلتر کالمن توسعه یافته

در این بخش، عملکرد فیلتر چندمدلی تخمین باد MMWE با یک فیلتر تک مدلی EKF مقایسه می‌شود. فیلتر EKF از مدل تصادفی پرنده، که با مدل‌های باد ترکیب شده‌است، استفاده می‌کند. به این منظور، سرعت باد به صورت ترکیبی از چهار مدل باد بیان می‌شود:

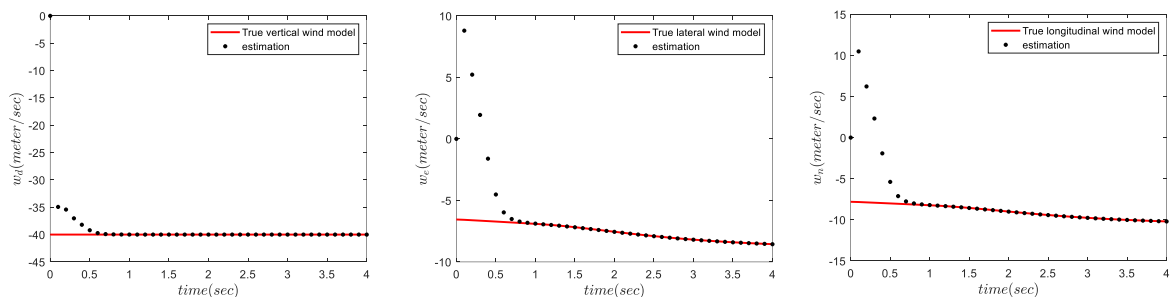
$$\mathbf{v}_w^N = \mathbf{v}_w^N_{\text{constant}} + \mathbf{C}_B^N \mathbf{v}_w^B + \mathbf{v}_w^N_{\text{shear}} + \mathbf{v}_w^N_{\text{mb}} \quad (۱۲.۵)$$



(الف)

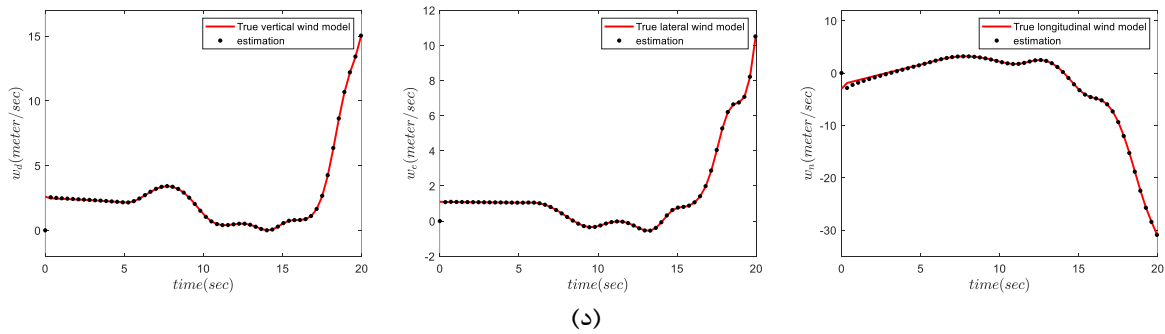


(ب)

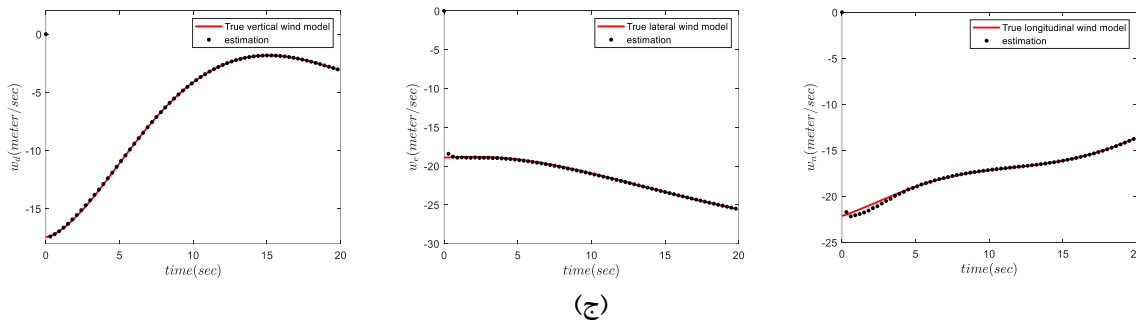
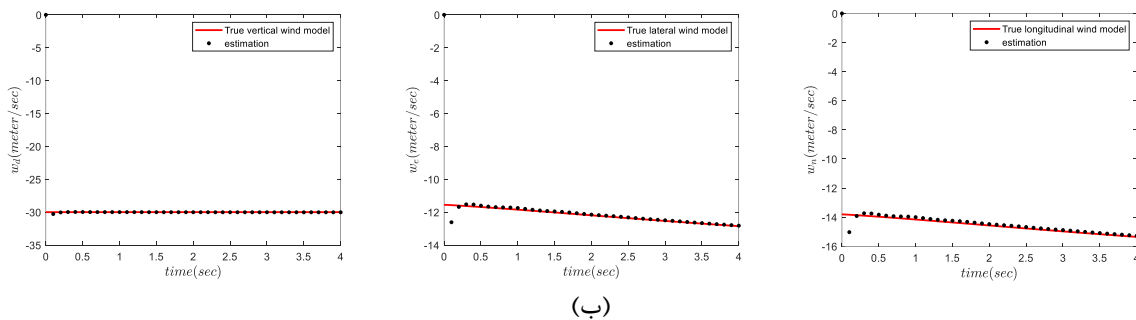
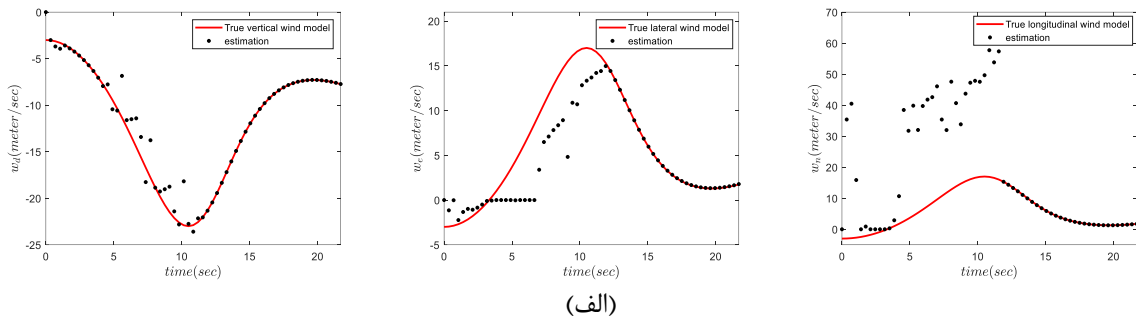


(ج)

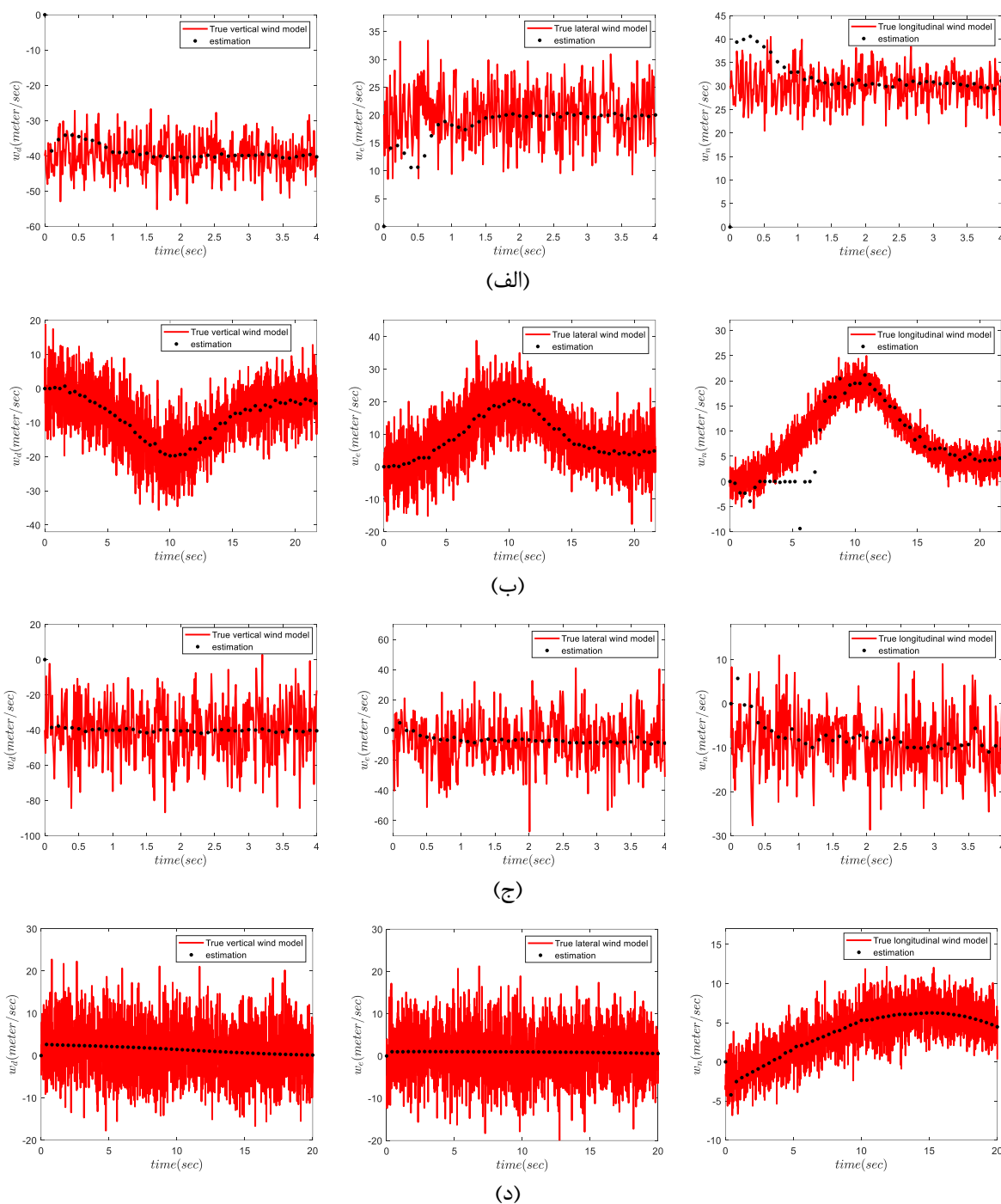
علیرضا شریفی، "توسعه و پیاده‌سازی فیلترهای چندمدلی در فرود خودکار پرنده بدون سرنشین جهت شناسایی برخط و جبران‌سازی اغتشاشات اتمسفری"، رساله دکتری، استاد راهنما: دکتر هادی نوبهاری، دانشگاه صنعتی شریف، دانشکده مهندسی هوافضا، تابستان ۱۳۹۹



شکل ۱۶.۵ تخمین باد در حضور مانور الف) باد ثابت ب) باد "1-cosine" ج) باد برشی د) مایکروبرست.



شکل ۱۷.۵ تخمین مدل باد ترکیبی: الف) باد ترکیبی ثابت - "1-cosine" ب) باد ترکیبی ثابت - برشی ج) باد ترکیبی ثابت - مایکروبرست.



شکل ۱۸.۵ تخمین مولفه‌های باد معین در حضور مدل باد تصادفی درآیدن با توربولانس کم الف) باد ثابت ب) باد "1-cosine" ج) باد برشی د) مایکروبرست.

در این صورت، متغیرهای افزونه به صورت  $x_{13} = W_{n_{\text{constant}}}$ ،  $x_{14} = W_{e_{\text{constant}}}$ ،  $x_{15} = W_{d_{\text{constant}}}$ ،  $x_{16} = u_m$ ،  $x_{17} = d_x$ ،  $x_{18} = v_m$ ،  $x_{19} = d_y$ ،  $x_{20} = W_m$ ،  $x_{21} = d_z$ ،  $x_{22} = W_{20}$ ،  $x_{23} = \psi_w$ ،  $x_{24} = X_c$ ،  $x_{25} = y_c$ ،  $x_{26} = h_{\text{max}}$  و  $x_{27} = r_{\text{max}}$  تعریف می‌شوند. بنابراین، معادلات زیر به معادلات پرندۀ اضافه می‌شود:

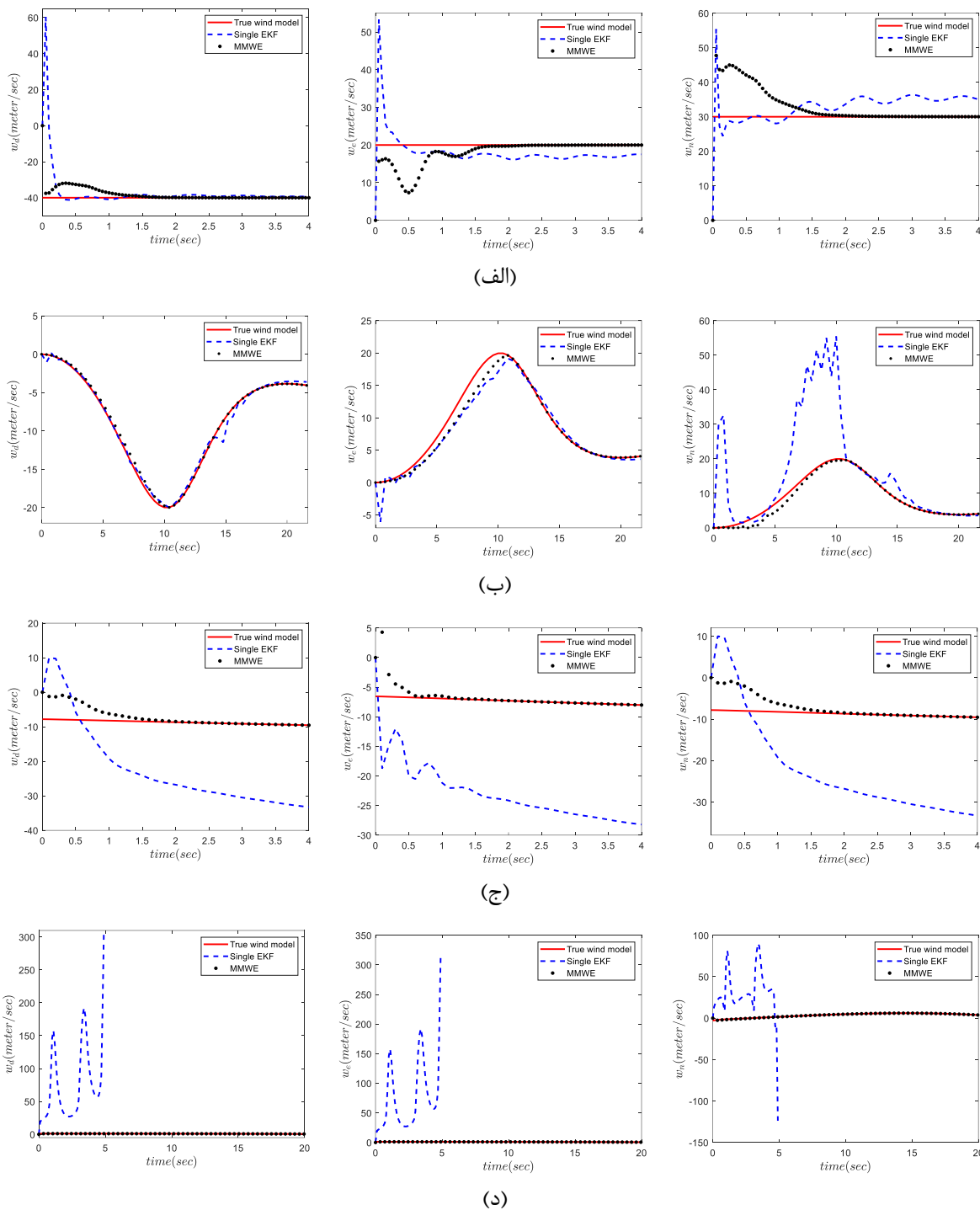
$$\dot{x}_i = \omega_i \quad \text{for } i=13, \dots, 27 \quad (13.5)$$

در رابطه فوق،  $\omega_i$  به‌ازای  $i=13, \dots, 27$  بیانگر نویزهای سفید با میانگین صفر است. مدل تصادفی پرندۀ، که در فیلتر EKF استفاده می‌شود، از ترکیب معادلات (۱.۳) - (۴.۳) با معادله (۱۳.۵) حاصل می‌شود. فیلتر EKF به‌صورت هم‌زمان پارامترهای مرتبط با سرعت‌های باد (۱۶ پارامتر) و نیز متغیرهای حالت را تخمین می‌زند.

به‌منظور مقایسه عملکرد MMWE با فیلتر EKF، چهار آزمایش انجام می‌شود. فیلتر MMWE در حضور باد ثابت، باد "1-cosine"، باد برشی و میکروبرست در شکل ۱۹.۵ با نتایج فیلتر EKF مقایسه می‌شود. در تمامی آزمایش‌ها، عملکرد فیلتر چندمدلی MMWE از فیلتر EKF بهتر است. نتایج فیلتر EKF در حضور بادهای ثابت و "1-cosine" قابل مقایسه با فیلتر چندمدلی MMWE است. درحالی‌که، عملکرد فیلتر EKF در حضور باد برشی قابل قبول نبوده و در حضور میکروبرست واگرا می‌شود. لازم به ذکر است که مدل دینامیکی، که در فیلتر EKF استفاده می‌شود، شامل تعداد زیادی متغیرهای افزونه است. در نتیجه، فرایند تخمین در فیلتر EKF دشوار است.

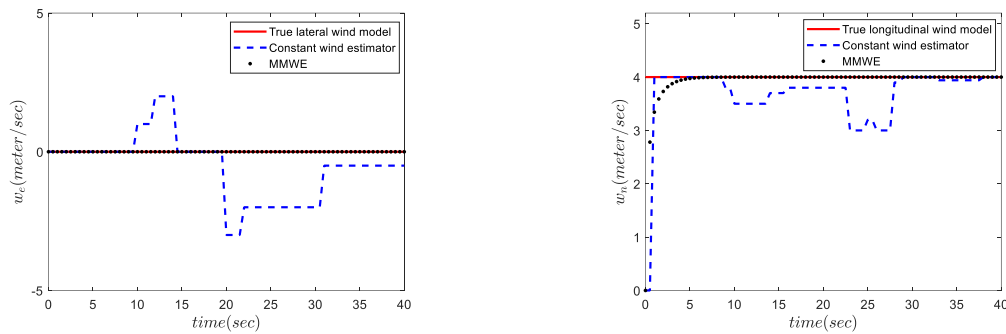
### ۱۱.۳.۵ مقایسه فیلتر چندمدلی تخمین باد با یک تخمین‌گر باد ثابت

در این بخش، عملکرد فیلتر چندمدلی با تخمین‌گر باد ثابت، که در مرجع [۹۶] پیشنهاد شده‌است، مقایسه می‌شود. در مرجع [۹۶]، از یک فیلتر EKF به‌منظور تخمین مولفه‌های باد ثابت بر مبنای خروجی‌های GPS و ارتباط مثلث باد استفاده شده‌است. عملکرد این دو روش در شناسایی مولفه‌های سرعت باد ثابت در شکل ۲۰.۵ مقایسه شده‌است. این نتایج نشان می‌دهد که روش MMWE قادر به یافتن باد واقعی بهتر از روش پیشنهادی در مرجع [۹۶] است.



شکل ۱۹.۵ مقایسه MMWE و یک فیلتر EKF در تخمین مولفه‌های باد (الف) باد ثابت (ب) باد 1- "cosine" (ج) باد برشی (د) مایکروبرست.

علیرضا شریفی، "توسعه و پیاده‌سازی فیلترهای چندمدلی در فرود خودکار پرنده بدون سرنشین جهت شناسایی برخط و جبران‌سازی اغتشاشات اتمسفری"، رساله دکتری، استاد راهنما: دکتر هادی نوبهاری، دانشگاه صنعتی شریف، دانشکده مهندسی هوافضا، تابستان ۱۳۹۹



شکل ۴.۵ تخمین باد ثابت با استفاده از MMWE و روش پیشنهادی در [۹۶].

#### ۴.۵ نتیجه‌گیری

در این فصل، روش یک تخمین‌گر چندمدلی به‌منظور تخمین همزمان مدل باد، پارامترهای آن و متغیرهای حالت یک پرنده بدون سرنشین معرفی شد. در این روش، از چهار فیلتر کالمن توسعه‌یافته به‌منظور تخمین مدل باد ثابت، مدل باد "1-cosine"، مدل باد برشی و مدل مایکروبرست استفاده شد که هر کدام با یک مدل باد منطبق شده و به‌صورت جداگانه کار می‌کنند. نتایج شبیه‌سازی عددی به‌منظور بررسی عملکرد فیلتر چندمدلی تخمین باد در حضور مدل‌های باد بیان شد. از آنجا که مدل‌های باد کسینوسی و مایکروبرست و نیز هنگام مانور دارای نوساناتی است؛ لذا پرنده بهتر تحریک شده و در نتیجه متغیرهای حالت پرنده در هنگام وزش بادهای کسینوسی و مایکروبرست و نیز هنگام مانور با سرعت بیشتری شناسایی می‌شود. همچنین، عملکرد فیلتر چندمدلی پیشنهادی با یک فیلتر کالمن توسعه‌یافته مقایسه شد. نتایج حاکی از تخمین مناسب متغیرهای پرنده، نوع مدل باد و پارامترهای آن توسط فیلتر چندمدلی پیشنهاد شده است.

## ۶ توسعه فیلترهای چندمدلی ابتکاری

در این فصل، یک فیلتر چندمدلی ابتکاری مبتنی بر هوش جمعی به منظور تشخیص مدل سیستم غیرخطی و نیز تخمین متغیرهای حالت توسعه داده می‌شود. به این منظور، ابتدا در بخش ۱.۶ الگوریتم فیلتر چندمدلی توسعه یافته مبتنی بر سیستم پیوسته اجتماع مورچه‌ها (MMECACF)<sup>۱</sup> معرفی می‌شود. سپس، نتایج فیلتر چندمدلی پیشنهادی در تخمین مدل باد، پارامترهای آن و متغیرهای حالت پرنده در بخش ۲.۶ بیان می‌شود.

### ۱.۶ معرفی فیلتر چندمدلی ابتکاری

فیلتر چندمدلی توسعه یافته مبتنی بر سیستم پیوسته اجتماع مورچه‌ها (MMECACF) مشابه فیلتر چندمدلی معرفی شده در فصل قبل است؛ با این تفاوت که در آن به جای چند فیلتر کالمن توسعه یافته از چند فیلتر مبتنی بر سیستم پیوسته توسعه یافته اجتماع مورچه‌ها (ECACF)<sup>۲</sup> به صورت موازی استفاده می‌شود. در فیلتر ECACF، هر مورچه در زمان اندازه‌گیری بر مبنای فیلتر کالمن توسعه یافته (EKF)<sup>۳</sup> [۱۰۸] به روزرسانی شده و سپس گروهی از مورچه‌ها فضای حالت را به صورت تصادفی و دینامیکی به منظور یافتن و ردگیری بهترین مدل و بهترین تخمین متغیرهای حالت جستجو می‌کنند. الگوریتم ECACF در پیوست "ذ" به صورت مفصل تشریح می‌شود. همچنین، اعتبارسنجی این فیلتر در پیوست "ر" انجام می‌شود.

در فیلتر چندمدلی MMECACF، ابتدا فیلترهای ECACF برای هر مدل اجرا شده و سپس احتمال مرتبط با هر فیلتر محاسبه می‌شود. در گام بعد، مدل واقعی و متغیرهای حالت سیستم غیرخطی

<sup>1</sup> Multiple Model Extended Continuous Ant Colony Filter

<sup>2</sup> Extended Continuous Ant Colony Filter

<sup>3</sup> Extended Kalman Filter

بر مبنای میانگین وزن دار نتایج هر فیلتر محاسبه می‌شود. شبه کد الگوریتم MMECACF در شکل ۱.۶ نشان داده شده‌است. در ادامه، مراحل کاری فیلتر چندمدلی MMECACF به صورت مفصل توضیح داده می‌شود.

### ۱.۱.۶ مقداردهی اولیه

در الگوریتم فیلتر چندمدلی MMECACF، هر فیلتر مرتبط با یک مدل دارای پارامترهایی همچون تعداد مورچه‌ها ( $N$ ) و تعداد بهترین مورچه‌های منتخب ( $N_t$ ) است که باید قبل از اجرای الگوریتم مقداردهی شوند. همچنین، موقعیت اولیه مورچه  $j$ -ام ( $\hat{\mathbf{x}}_{m,0}^j$ ) به صورت تصادفی تولید شده و ماتریس کواریانس متناظر با آن ( $\mathbf{P}_{m,0}^j$ ) برای  $m=1, \dots, M$  و به ازای  $j=1, \dots, N$  تولید می‌شود. به علاوه، احتمال اولیه هر فیلتر، که با  $\Pr_{m,0}$  بیان می‌شود، باید قبل از اجرای فیلتر چندمدلی MMECACF به صورت تصادفی مقداردهی شود.

### ۲.۱.۶ انتشار متغیرهای حالت و کواریانس

در  $i$ امین تکرار حلقه داخلی، موقعیت پیشین مورچه  $j$ -ام در زمان  $k-1$  برای  $m$ -امین فیلتر منطبق با هر مدل، که با  $\hat{\mathbf{x}}_{m,k-1|k-1}^{i,j}$  نمایش داده می‌شود، با استفاده از مدل فرآیند تصادفی به صورت زیر محاسبه می‌شود:

$$\hat{\mathbf{x}}_{m,k|k-1}^{i,j} = \mathbf{f}_{m,k-1}(\hat{\mathbf{x}}_{m,k-1|k-1}^{i,j}, \boldsymbol{\delta}_{k-1}, \boldsymbol{\omega}_{m,k-1}^{i,j}) \quad (۱.۶)$$

در رابطه فوق،  $\boldsymbol{\omega}_{m,k-1}^{i,j}$  بیانگر بردار نویز فرآیند است که به صورت تصادفی بر مبنای تابع چگالی احتمال معلوم  $\boldsymbol{\omega}_m$  تولید می‌شود. همچنین، ماتریس کواریانس پیشین مورچه  $j$ -ام در زمان  $k-1$ ، که با  $\mathbf{P}_{m,k-1|k-1}^{i,j}$  نمایش داده می‌شود، از رابطه زیر بر مبنای فیلتر کالمن توسعه یافته (EKF) محاسبه می‌شود:

$$\mathbf{P}_{m,k|k-1}^{i,j} = \mathbf{F}_{m,k-1}^{i,j} \mathbf{P}_{m,k-1|k-1}^{i,j} \mathbf{F}_{m,k-1}^{i,jT} + \mathbf{Q}_m \quad (۲.۶)$$



در رابطه فوق،  $\mathbf{Q}_m$  بیانگر ماتریس کواریانس نویز فرآیند  $m$ -امین مدل است. همچنین،  $\mathbf{F}_{m,k-1}^{i,j}$  بیانگر ماتریس انتقال متغیرهای حالت<sup>۱</sup> هر فیلتر منطبق با مدل است که به صورت زیر بیان می‌شود:

$$\mathbf{F}_{m,k-1}^{i,j} = \left. \frac{\partial \mathbf{f}}{\partial \mathbf{x}} \right|_{\mathbf{x} = \hat{\mathbf{x}}_{m,k-1|k-1}^{i,j}} \quad (۳.۶)$$

### ۳.۱.۶ به روز رسانی اندازه‌گیری

موقعیت پسین مورچه  $j$ -ام در زمان  $k$  ( $\hat{\mathbf{x}}_{m,k|k}^{i,j}$ ) بر مبنای یک ترکیب خطی از موقعیت پیشین مورچه  $j$ -ام ( $\hat{\mathbf{x}}_{m,k|k-1}^{i,j}$ ) و اختلاف بین اندازه‌گیری واقعی در زمان  $k$  ( $\mathbf{z}_k$ ) و اندازه‌گیری پیش‌بینی شده ( $\hat{\mathbf{z}}_{m,k|k-1}^{i,j}$ ) به صورت زیر بر اساس معادله به‌روزرسانی خروجی فیلتر کالمن توسعه‌یافته (EKF) محاسبه می‌شود:

$$\hat{\mathbf{x}}_{m,k|k}^{i,j} = \hat{\mathbf{x}}_{m,k|k-1}^{i,j} + \mathbf{K}_{m,k}^{i,j} (\mathbf{z}_k - \hat{\mathbf{z}}_{m,k|k-1}^{i,j}) \quad (۴.۶)$$

در رابطه فوق،  $\hat{\mathbf{z}}_{m,k|k-1}^{i,j}$  به صورت زیر محاسبه می‌شود:

$$\hat{\mathbf{z}}_{m,k|k-1}^{i,j} = \mathbf{h}_{m,k}(\hat{\mathbf{x}}_{m,k|k-1}^{i,j}) \quad (۵.۶)$$

و  $\mathbf{K}_k^{i,j}$  بیانگر بهره کالمن مرتبط با فیلتر  $m$ -ام است که از رابطه زیر حاصل می‌شود:

$$\mathbf{K}_{m,k}^{i,j} = \mathbf{P}_{m,k|k-1}^{i,j} \mathbf{H}_{m,k}^{i,jT} (\mathbf{H}_{m,k}^{i,j} \mathbf{P}_{m,k|k-1}^{i,j} \mathbf{H}_{m,k}^{i,jT} + \mathbf{R}_m) \quad (۶.۶)$$

جاییکه،  $\mathbf{R}_m$  بیانگر ماتریس‌های کواریانس اندازه‌گیری هر مدل است. همچنین،  $\mathbf{H}_{m,k}^{i,j}$  بیانگر ماتریس مشاهدات مرتبط با فیلتر  $m$ -ام است که به صورت زیر حاصل می‌شود:

$$\mathbf{H}_{m,k-1}^{i,j} = \left. \frac{\partial \mathbf{h}}{\partial \mathbf{x}} \right|_{\mathbf{x} = \hat{\mathbf{x}}_{m,k-1}^{i,j}} \quad (۷.۶)$$

در نهایت، خروجی جاری فیلتر  $m$ -ام به صورت زیر محاسبه می‌شود:

<sup>1</sup> State Transition Matrix

$$\hat{\mathbf{z}}_{m,k|k}^{i,j} = \mathbf{h}_{m,k}(\hat{\mathbf{x}}_{m,k|k}^{i,j}) \quad (۸.۶)$$

#### ۴.۱.۶ ارزیابی تابع هزینه

بر مبنای کیفیت خروجی تخمین زده شده توسط هر مورچه، تابع هزینه مورچه  $j$ -ام در زمان  $k$  و  $i$ -امین تکرار حلقه داخلی به صورت زیر بیان می شود:

$$c_{m,k|k}^{i,j} = \left( \mathbf{z}_k - \hat{\mathbf{z}}_{m,k|k}^{i,j} \right)^T \mathbf{R}^{-1} \left( \mathbf{z}_k - \hat{\mathbf{z}}_{m,k|k}^{i,j} \right) \quad (۹.۶)$$

در رابطه فوق،  $\mathbf{z}_k$  و  $\hat{\mathbf{z}}_{m,k|k}^{i,j}$  به ترتیب بیانگر اندازه گیری واقعی و اندازه گیری تخمین زده شده هستند.

#### ۵.۱.۶ حرکت مورچه‌ها

مورچه‌ها در فضای حالت از موقعیت جاری شان بر مبنای توزیع فرمون به مقصد بعدی حرکت می کنند. این حرکت مشابه با فیلتر پیوسته توده‌ای مورچه‌ها (CACF) با استفاده از یک تابع توزیع گوسی به صورت زیر مدل می شود:

$$\tau(\mathbf{x}_m) = \frac{1}{(2\pi)^{\frac{n}{2}} |\mathbf{P}_{m,k|k}^i|^{\frac{1}{2}}} \exp \left( \frac{-\left( \mathbf{x}_m - \hat{\mathbf{x}}_{m,k|k}^{i,j_{\min}} \right)^T \left( \mathbf{P}_{m,k|k}^i \right)^{-1} \left( \mathbf{x}_m - \hat{\mathbf{x}}_{m,k|k}^{i,j_{\min}} \right)}{2} \right) \quad (۱۰.۶)$$

در رابطه فوق،  $n$  و  $\hat{\mathbf{x}}_{m,k|k}^{i,j_{\min}}$  به ترتیب بیانگر تعداد متغیرهای حالت و بهترین نقطه یافت شده در حلقه داخلی  $i$ -ام توسط  $m$ -امین فیلتر منطبق با هر مدل است. همچنین،  $\mathbf{P}_{m,k|k}^i$  به صورت زیر محاسبه می شود:

$$\mathbf{P}_{m,k|k}^i = \begin{bmatrix} \left( \sigma_{m,k}^i \right)_1^2 & \dots & \dots & \dots & 0 \\ 0 & \ddots & \dots & \dots & 0 \\ \vdots & \dots & \left( \sigma_{m,k}^i \right)_p^2 & \dots & \vdots \\ \vdots & \dots & \dots & \ddots & \vdots \\ 0 & \dots & \dots & \dots & \left( \sigma_{m,k}^i \right)_n^2 \end{bmatrix} \quad (۱۱.۶)$$

در رابطه فوق،  $\left( \sigma_{m,k}^i \right)_p^2$  بیانگر واریانس تابع توزیع فرمون نرمال برای بعد  $p$  است. این پارامتر، بر اساس رابطه زیر و بر مبنای واریانس وزن دار، که در مرجع [۱۰۹] پیشنهاد شده است، به روزرسانی می شود:

$$\left(\sigma_{m,k}^i\right)_p^2 = \frac{\sum_{j=1}^N \frac{1}{c_{m,k}^{i,j} - c_{m,k}^{i,j_{\min}}} \left[ \left(\hat{x}_{m,k|k}^{i,j}\right)_p - \left(\hat{x}_{m,k|k}^{i,j_{\min}}\right)_p \right]^2}{\sum_{j=1}^N \frac{1}{c_{m,k}^{i,j} - c_{m,k}^{i,j_{\min}}}} \quad (12.6)$$

در رابطه فوق،  $\left(\hat{x}_{m,k|k}^{i,j}\right)_p$  و  $\left(\hat{x}_{m,k|k}^{i,j_{\min}}\right)_p$  به ترتیب بیانگر مولفه‌های  $\hat{\mathbf{x}}_{m,k|k}^{i,j}$  و  $\hat{\mathbf{x}}_{m,k|k}^{i,j_{\min}}$  در بعد  $p$  است. در این ساختار، پهن یا باریک بودن توزیع فرمون به تجمع مورچه‌هایی با بهترین کیفیت حول بهترین مورچه وابسته است [۱۰۹].

### ۶.۱.۶ اجرای فیلتر ECACF منطبق با هر مدل

پس از رسیدن به بیشینه تعداد تکرار مشخص ( $i_{\max}$ )، متغیرهای حالت ( $\hat{\mathbf{x}}_{m,k|k}$ )، ماتریس کواریانس ( $\mathbf{P}_{m,k|k}$ ) و تابع احتمال<sup>۱</sup> ( $L_{m,k|k}$ ) توسط فیلتر ECACF منطبق با مدل به صورت مستقل تخمین زده می‌شود. در این صورت،  $m$ -امین فیلتر متغیرهای حالت را به صورت زیر تخمین می‌زند:

$$\hat{\mathbf{x}}_{m,k|k} = \frac{1}{N_t} \sum_{j=1}^{N_t} \hat{\mathbf{x}}_{m,k|k}^{i_{\max},j} \quad (13.6)$$

در رابطه فوق،  $N_t$  بیانگر تعداد بهترین مورچه‌های منتخب است. همچنین، ماتریس کواریانس فیلتر  $m$ -ام منطبق با هر مدل بر مبنای روش انتگرال‌گیری مونت کارلو به صورت زیر محاسبه می‌شود:

$$\mathbf{P}_{m,k|k} = \frac{1}{N_t} \sum_{j=1}^{N_t} \left[ \hat{\mathbf{x}}_{m,k|k} - \hat{\mathbf{x}}_{m,k|k}^{i_{\max},j} \right] \left[ \hat{\mathbf{x}}_{m,k|k} - \hat{\mathbf{x}}_{m,k|k}^{i_{\max},j} \right]^T \quad (14.6)$$

در نهایت، تابع احتمال منطبق با هر مدل به صورت زیر محاسبه می‌شود [۱۰۷]:

$$L_{m,k|k} \approx \exp\left(-\frac{\mathbf{r}_{m,k|k}^T \mathbf{S}_{m,k|k}^{-1} \mathbf{r}_{m,k|k}}{2}\right) \quad (15.6)$$

در رابطه فوق،  $\mathbf{r}_{m,k|k}$  بیانگر باقیمانده<sup>۲</sup>  $m$ -امین فیلتر است، که به صورت زیر تعریف می‌شود:

<sup>1</sup> Likelihood

<sup>2</sup> Residual

$$\mathbf{r}_{m,k|k} = \mathbf{z}_k - \mathbf{H}_{m,k} \hat{\mathbf{x}}_{m,k|k} \quad (۱۶.۶)$$

همچنین،  $\mathbf{S}_{m,k|k}$  نشان‌دهنده ماتریس کواریانس باقیمانده هر فیلتر است، که از رابطه  $\mathbf{S}_{m,k|k} = \mathbf{H}_{m,k}^T \mathbf{P}_{m,k|k} \mathbf{H}_{m,k}$  حاصل می‌شود.

### ۷.۱.۶ به‌روزرسانی احتمال هر مدل

احتمال هر مدل بر مبنای رابطه زیر به‌روزرسانی می‌شود [۱۰۷]:

$$\Pr_{m,k} = \frac{L_{m,k|k} \Pr_{m,k-1}}{\sum_{m=1}^M L_{m,k|k} \Pr_{m,k-1}} \quad (۱۷.۶)$$

لازم به ذکر است که مقدار اولیه احتمال ( $\Pr_{m,0}$ ) قبل از اجرای فیلتر چندمدلی MMECACF به‌صورت تصادفی تعیین و نرمالیزه می‌شود.

### ۸.۱.۶ تخمین متغیرهای حالت و ماتریس کواریانس

بهترین تخمین متغیرهای حالت بر مبنای میانگین وزن دار نتایج فیلترهای منطبق با هر مدل به‌صورت زیر به‌روزرسانی می‌شود [۱۰۷]:

$$\hat{\mathbf{x}}_{k|k} = \sum_{m=1}^M \Pr_{m,k} \hat{\mathbf{x}}_{m,k|k} \quad (۱۸.۶)$$

همچنین، ماتریس کواریانس متناظر با بهترین تخمین متغیرهای حالت به‌صورت زیر محاسبه می‌شود:

$$\mathbf{P}_{k|k} = \sum_{m=1}^M \Pr_{m,k} \left( \mathbf{P}_{m,k-1|k-1} + \left[ \hat{\mathbf{x}}_{m,k|k} - \hat{\mathbf{x}}_{k|k} \right] \left[ \hat{\mathbf{x}}_{m,k|k} - \hat{\mathbf{x}}_{k|k} \right]^T \right) \quad (۱۹.۶)$$

### ۹.۱.۶ تخمین مدل

در نهایت، بهترین مدل بر مبنای بالاترین احتمال شرطی به‌صورت زیر انتخاب می‌شود:

$$\hat{m} = \arg \max_m \Pr_{m,k} \quad (۲۰.۶)$$

## ۲.۶ نتایج تخمین چندمدلی پدیده باد

در این بخش، فیلتر چندمدلی MMECACF به منظور تخمین توأمان متغیرهای حالت کانال طولی پرنده و نیز مدل باد بکار برده می‌شود. بلوک دیاگرام مساله تخمین چندمدلی پدیده باد در شکل ۲.۶ نشان داده شده‌است. به منظور بیان مدل تصادفی کانال طولی پرنده، مدل دینامیکی طولی پرنده (معادلات (۳۴.۳) تا (۳۸.۳)) و مدل خروجی به ترتیب با نویزهای فرایند و اندازه‌گیری آغشته می‌شوند. همچنین، فرض می‌شود که اندازه‌گیری‌های پرنده توسط GPS، جایرو نرخی و یک ارتفاع‌سنج فراهم می‌شود. همچنین، خروجی‌های سنسور به صورت خروجی‌های آغشته به نویز مدل می‌شود. فیلتر چندمدلی MMECACF با استفاده از خروجی‌های سنسور، متغیرهای کانال طولی پرنده و نیز مدل باد را تخمین می‌زند.

به منظور شبیه‌سازی فرض می‌شود که پرنده در ارتفاع ۵۰۰ فوت و سرعت ۱۰۰ فوت بر ثانیه تریم شده‌است. همچنین، پارامترهای مرتبط با شبیه‌سازی فیلتر چندمدلی MMECACF در پیوست "ز" بیان شده‌است. نتایج شبیه‌سازی عددی به منظور بررسی عملکرد فیلتر چندمدلی MMECACF تحت اثر باد ثابت، باد "1-cosine"، باد برشی و مایکروبرست به ترتیب در بخش‌های ۱.۲.۶، ۲.۲.۶، ۳.۲.۶ و ۴.۲.۶ بیان می‌شود. سپس، حساسیت فیلتر چندمدلی MMECACF به مانور طولی در بخش ۵.۲.۶ بررسی می‌شود. در نهایت، عملکرد فیلتر چندمدلی MMECACF با یک فیلتر ECACF و نیز فیلتر چندمدلی MMEKF به ترتیب در بخش‌های ۷.۲.۶ و ۸.۲.۶ مقایسه می‌شود.

### ۱.۲.۶ تخمین باد ثابت

در این بخش، تنها مدل باد ثابت به پرنده اعمال می‌شود؛ درحالی‌که فیلتر MMECACF از نوع مدل باد ناآگاه است. احتمال هر مدل در شکل ۳.۶ (الف) نشان داده شده است. این شکل نشان می‌دهد که فیلتر MMECACF در کمتر از یک ثانیه به مدل واقعی همگرا می‌شود. همچنین، عملکرد مناسب فیلتر MMECACF در تخمین اندازه سرعت باد افقی (40 ft/sec) و اندازه سرعت باد عمودی (-50 ft/sec) به ترتیب در شکل ۳.۶ (ب) و (پ) نشان داده شده‌است. عملکرد فیلتر MMECACF در تخمین متغیرهای حالت پرنده در شکل ۳.۶ (ت) تا شکل ۳.۶ (ح) نشان داده شده است. نتایج حاکی از تخمین صحیح مدل باد و متغیرهای حالت پرنده توسط الگوریتم MMECACF است.

---

Set number of models,  $M$ , number of ants,  $N$ , and number of top ants,  $N_t$ .

Initialize randomly position of the ants,  $\hat{\mathbf{x}}_{m,0}^j$ , for  $m \in [1,M]$  and  $j \in [1,N]$ .

Initialize covariance of the ants,  $\mathbf{P}_{m,0}^j$ , for  $m \in [1,M]$  and  $j \in [1,N]$ .

Initialize probability of each model,  $\text{Pr}_{m,0}$ , for  $m \in [1,M]$ .

**While** (Measurements are available)

**For**  $m=1$  to  $M$

**For**  $i=1$  to  $i_{\max}$

**For**  $j=1$  to  $N$

                Propagate priori position of ant  $j$ ,  $\hat{\mathbf{x}}_{m,k|k-1}^{i,j}$ .

                Compute priori covariance,  $\mathbf{P}_{m,k|k-1}^{i,j}$ .

                Compute posteriori position of ant  $j$ ,  $\hat{\mathbf{x}}_{m,k|k}^{i,j}$ .

                Estimate current output,  $\hat{\mathbf{z}}_{m,k|k}^{i,j}$ .

                Compute the cost function,  $\mathcal{C}_{m,k|k}^{i,j}$ .

**Next** ant  $j$

**For**  $p=1$  to  $n$

                Compute variance of the pheromone distribution,  $(\sigma_{m,k}^i)_p^2$ .

**Next** dimension  $p$

            Update covariance of the pheromone distribution,  $\mathbf{P}_{m,k|k}^i$ .

**For**  $j=1$  to  $N$

                Move ants to the new destination,  $\hat{\mathbf{x}}_{m,k|k}^{i,j}$ , using the normal PDF.

**Next** ant  $j$

**Next** iteration  $i$

        Sort ants according to the cost.

        Compute mean position of  $N_t$  top ants,  $\hat{\mathbf{x}}_{m,k|k}$ .

        Compute the covariance,  $\mathbf{P}_{m,k|k}$ .

        Compute the likelihood function,  $L_{m,k|k}$ .

**Next** model  $m$

    Update probability of each model,  $\text{Pr}_{m,k}$ .

    Compute the best state estimate,  $\hat{\mathbf{x}}_{k|k}$ .

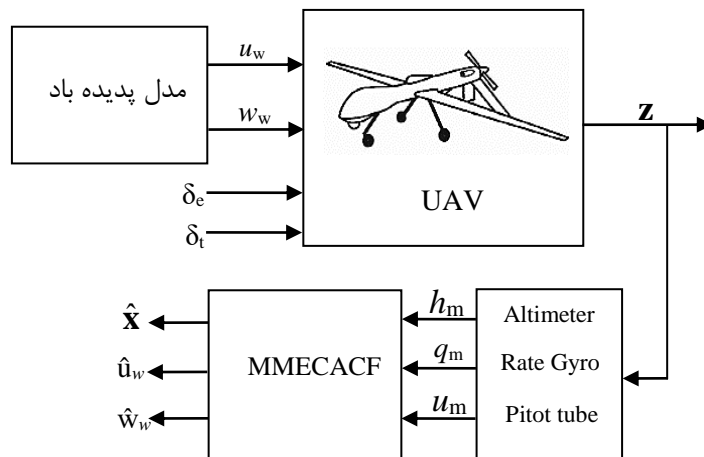
    Compute the best covariance,  $\mathbf{P}_{k|k}$ .

    Compute the best model estimate,  $\hat{\mathbf{m}}$ .

**Next** time step  $k$

---

### شکل ۱.۶ شبه‌کد فیلتر چندمدلی MMECAF.



شکل ۲.۶ الگوریتم تخمین چندمدلی پدیده باد.

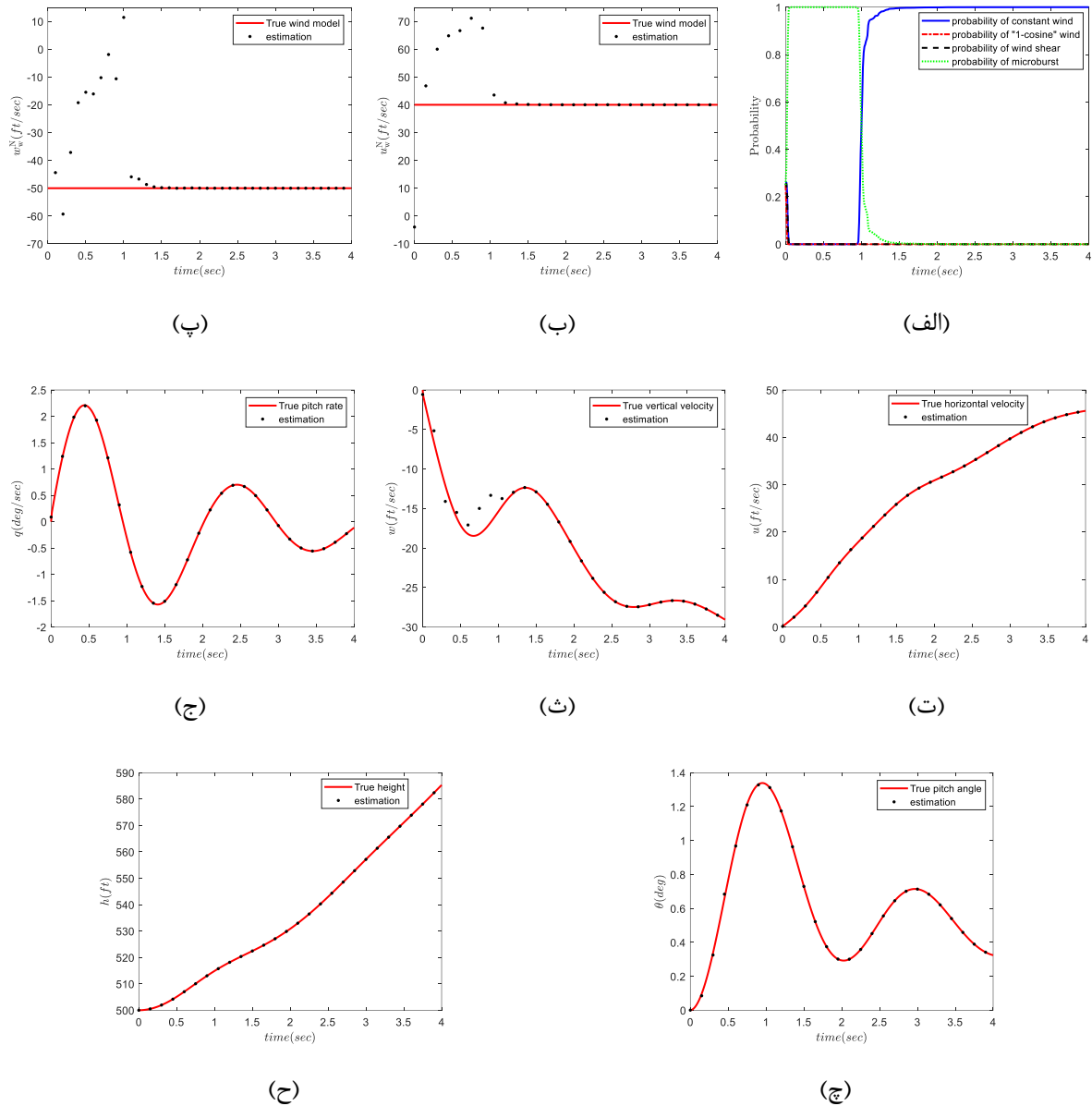
### ۲.۲.۶ تخمین باد "1-cosine"

در این بخش، فیلتر چندمدلی MMECACF از مدل باد "1-cosine" ناآگاه است. شکل ۴.۶ (الف) نشان می‌دهد که فیلتر MMECACF به مدل صحیح همگرا می‌شود. عملکرد فیلتر MMECACF در تخمین بادهای افقی و عمودی به ترتیب در شکل ۴.۶ (ب) و شکل ۴.۶ (پ) نشان داده شده‌است. اندازه باد واقعی (30 ft/sec) و تخمین‌زده شده و نیز طول موج باد واقعی (80 ft) و تخمین‌زده شده به ترتیب در شکل ۴.۶ (ت) و شکل ۴.۶ (ث) نشان داده شده‌است. همچنین، عملکرد فیلتر چندمدلی MMECACF در تخمین پارامترهای باد عمودی در شکل ۴.۶ (ج) تا شکل ۴.۶ (چ) نشان داده شده‌است. تخمین متغیرهای پرنده در شکل ۴.۶ (ح) تا شکل ۴.۶ (ر) نشان داده شده‌است. نتایج حاکی از عملکرد دقیق فیلتر چندمدلی MMECACF است؛ هنگامی که پدیده باد "1-cosine" به پرنده اعمال می‌شود.

### ۳.۲.۶ تخمین باد برشی

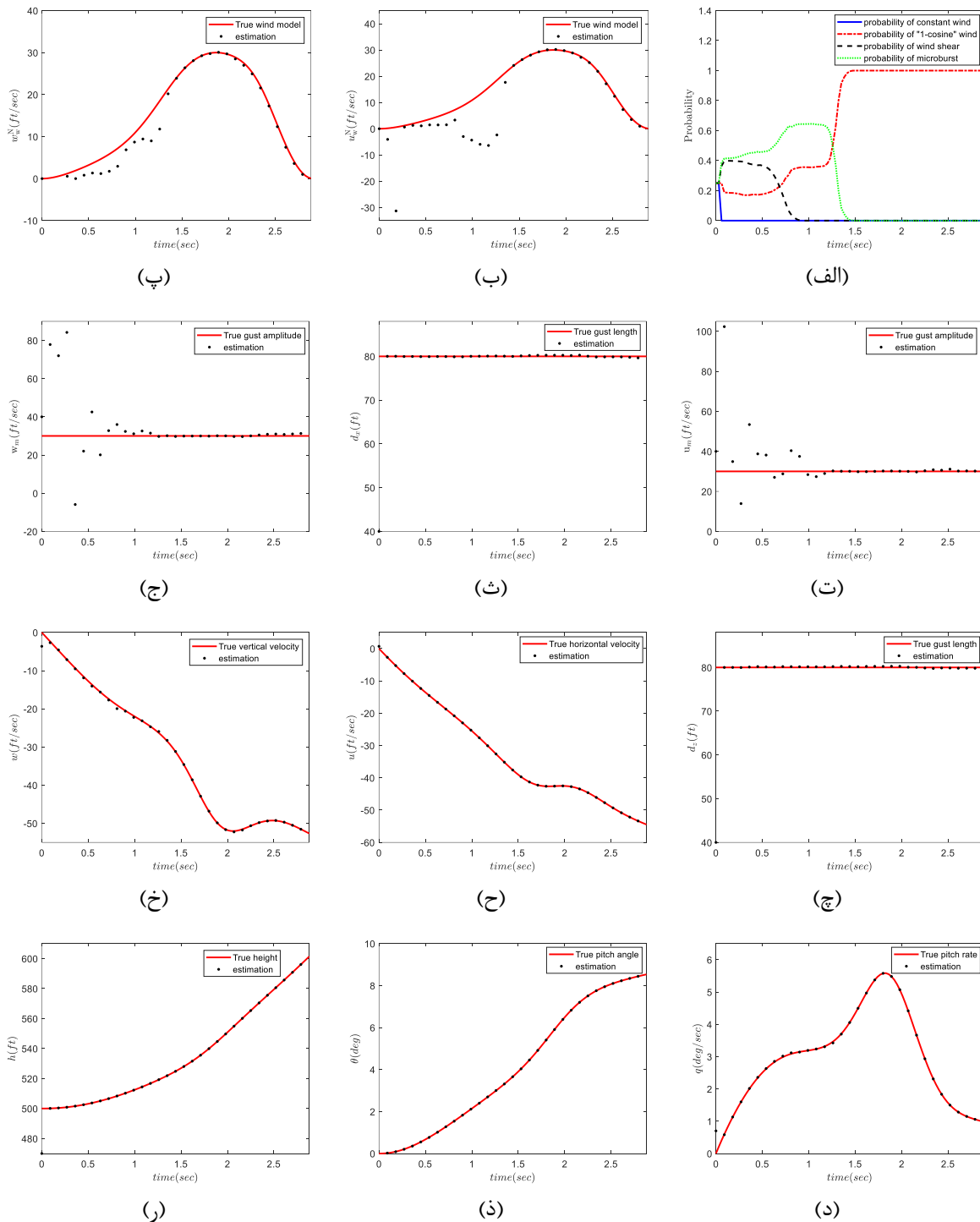
در این بخش، عملکرد فیلتر چندمدلی MMECACF در حضور باد برشی ارزیابی می‌شود. احتمال هر مدل در شکل ۵.۶ (الف) نشان داده شده‌است. این شکل بیانگر همگرایی فیلتر MMECACF به مدل باد برشی در کسری از ثانیه است. همچنین، شکل ۵.۶ (ب) و شکل ۵.۶ (پ) به ترتیب بیانگر عملکرد مناسب فیلتر در تخمین مولفه‌های باد برشی است. به علاوه، سرعت باد واقعی و تخمین‌زده شده در ارتفاع ۲۰ فوت در شکل ۵.۶ (ت) نشان داده شده‌است. مقدار تخمین‌زده شده به مقدار واقعی (20 ft/sec) همگرا می‌شود. همچنین، تخمین متغیرهای حالت پرنده در شکل ۵.۶ (ث) تا شکل ۵.۶ (خ) نشان داده

شده است. نتایج حاکی از تخمین درست متغیرهای پرنده، نوع مدل باد و پارامترهای آن توسط الگوریتم MMECACF است.



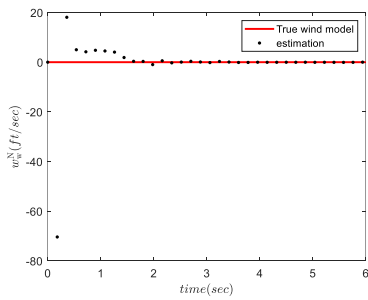
شکل ۳.۶ تخمین باد ثابت: (الف) احتمال هر مدل (ب) باد افقی (پ) باد عمودی (ت) سرعت افقی (ث) سرعت عمودی (ج) نرخ پیچ (چ) زاویه پیچ (ح) ارتفاع.



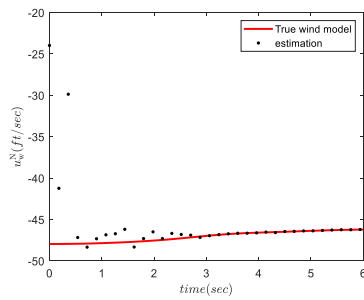


شکل ۴.۶ تخمین باد "1-cosine" (الف) احتمال هر مدل (ب) باد افقی (پ) باد عمودی (ت) و (ث) پارامترهای باد افقی (ج) و (چ) پارامترهای باد عمودی (ح) سرعت طولی (خ) سرعت عمودی (د) نرخ پیچ (ذ) زاویه پیچ (ر) ارتفاع.

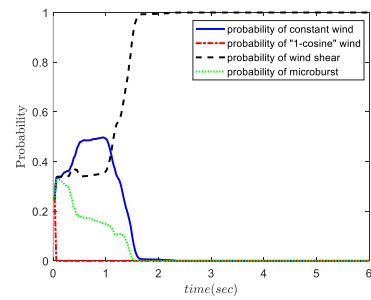
علیرضا شریفی، "توسعه و پیاده‌سازی فیلترهای چندمدلی در فرود خودکار پرنده بدون سرنشین جهت شناسایی برخط و جبران‌سازی اغتشاشات اتمسفری"، رساله دکتری، استاد راهنما: دکتر هادی نوبهاری، دانشگاه صنعتی شریف، دانشکده مهندسی هوافضا، تابستان ۱۳۹۹



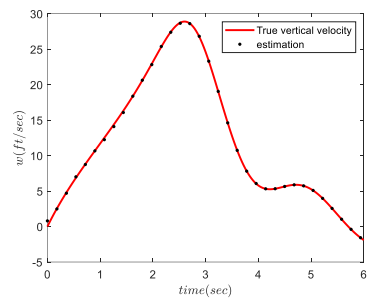
(پ)



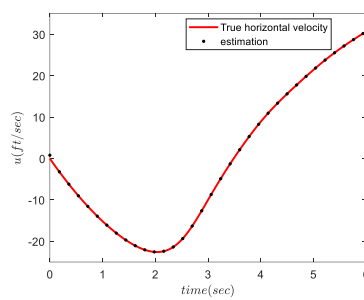
(ب)



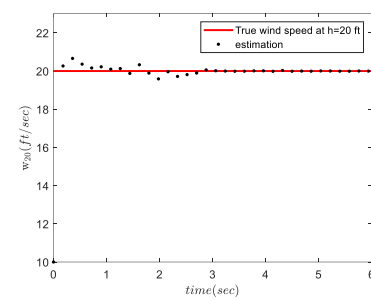
(الف)



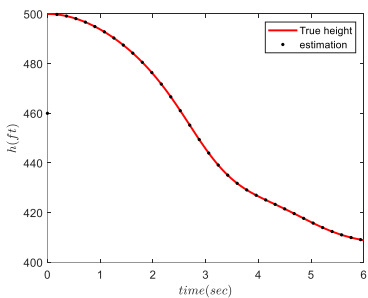
(ج)



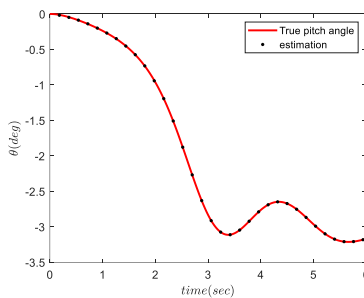
(ث)



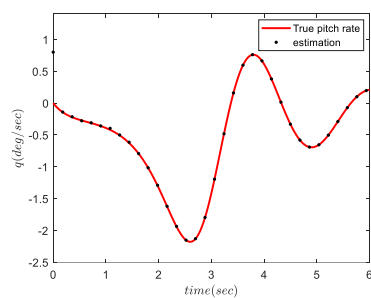
(ت)



(خ)



(ح)



(چ)

شکل ۵.۶ تخمین باد برشی: الف) احتمال هر مدل ب) باد افقی پ) باد عمودی ت) سرعت باد در  $h=20$  ft ث) سرعت طولی ج) سرعت عمودی چ) نرخ پیچ ج) زاویه پیچ ح) ارتفاع.

### ۴.۲.۶ تخمین مایکروبرست

در این بخش، مدل مایکروبرست به پرده بدون سرنشین اعمال می‌شود. عملکرد فیلتر MMEACF در حضور مایکروبرست در شکل ۶.۶ نشان داده شده‌است. احتمال هر مدل در شکل ۶.۶ الف)

نشان داده شده است. همچنین، شکل ۶.۶ (ب) و شکل ۶.۶ (پ) بیانگر عملکرد فیلتر در تخمین مولفه‌های مایکروبرست است. عملکرد مناسب فیلتر MMECACF در تخمین پارامترهای مایکروبرست در شکل ۶.۶ (ت) و شکل ۶.۶ (ث) نشان داده شده است. مرکز واقعی برست (100 ft) و مقدار تخمین زده شده در شکل ۶.۶ (ت) مقایسه می‌شود. همچنین، فاصله شعاعی واقعی از مرکز برست (3678 ft) و مقدار تخمین زده شده در شکل ۶.۶ (ث) نشان داده شده است. عملکرد مناسب فیلتر در تخمین متغیرهای حالت در شکل ۶.۶ (ج) تا شکل ۶.۶ (د) نشان داده شده است. نتایج حاکی از عملکرد صحیح الگوریتم MMECACF در حضور مایکروبرست است.

### ۵.۲.۶ تخمین مدل باد در حین مانور

به منظور بررسی حساسیت روش MMECACF به مانور پرنده، یک مانور طولی شبیه‌سازی می‌شود. در این صورت، پرنده ابتدا در پرواز تریم در ارتفاع ۵۰۰ فوت و سرعت ۱۰۰ فوت بر ثانیه قرار دارد. سپس مانور طولی با اعمال فرمان زیر در یک ترائل ثابت انجام می‌شود:

$$(۲۱.۶) \quad \begin{cases} \delta_e = 0 \text{ rad} & t \leq 0.25 t_f \\ \delta_e = 0.1 \text{ rad} & 0.25 t_f < t \leq 0.5 t_f \\ \delta_e = -0.1 \text{ rad} & 0.5 t_f < t \leq t_f \end{cases}$$

در رابطه فوق،  $t_f$  بیانگر زمان نهایی است. عملکرد فیلتر چندمدلی MMECACF در تخمین مدل‌های باد در حضور مانور طولی در شکل ۷.۶ نشان داده شده است. این نتایج نشان می‌دهد که روش پیشنهادی قادر به تخمین صحیح مولفه‌های باد در حین مانور پرنده است.

### ۶.۲.۶ تخمین مدل باد ترکیبی

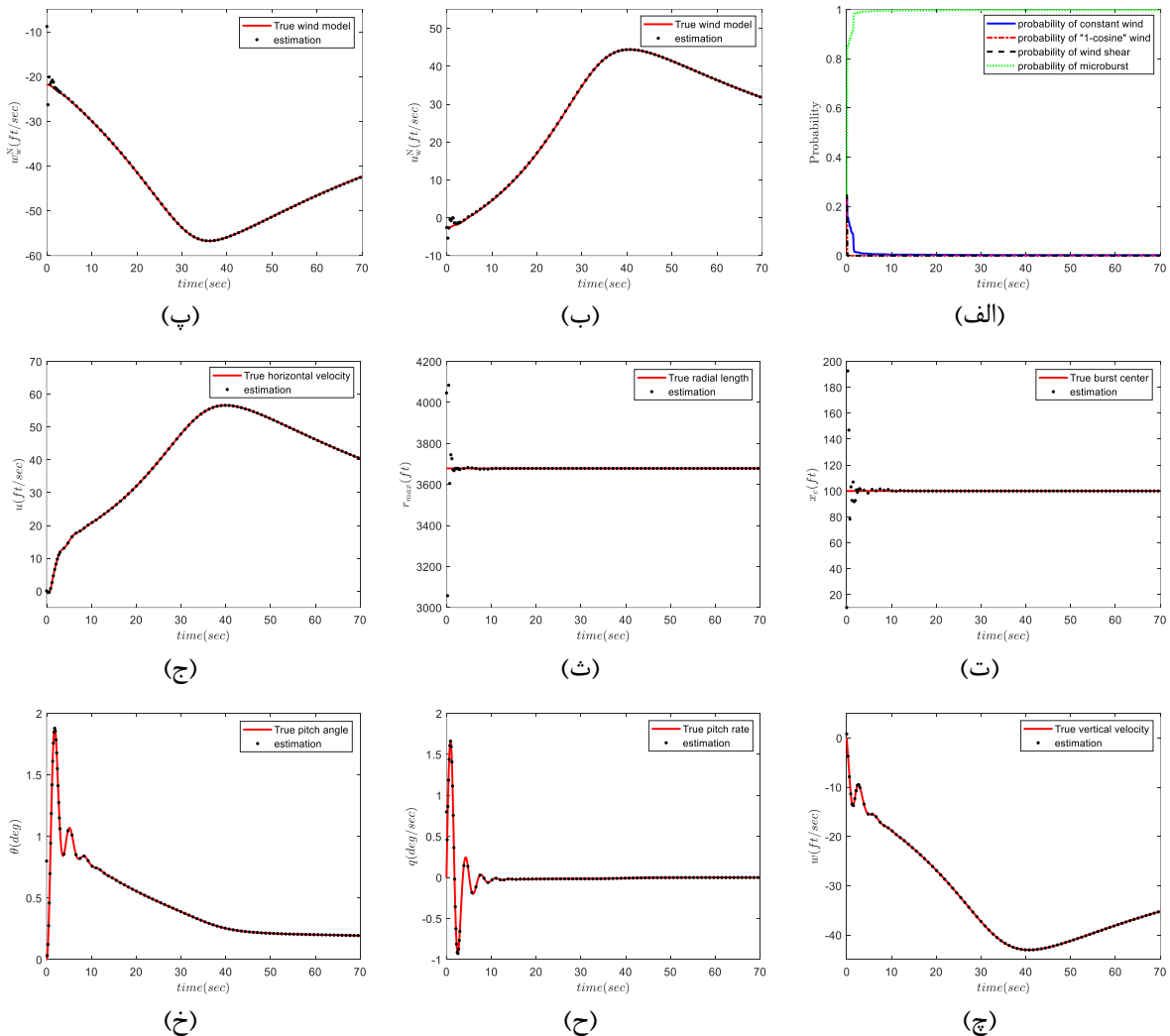
در این بخش، باد واقعی به صورت ترکیبی از مدل باد ثابت با مدل‌های باد "1-cosine" یا باد برشی یا باد مایکروبرست فرض می‌شود. عملکرد فیلتر چندمدلی MMECACF، هنگامی که مدل باد ثابت با مدل باد "1-cosine" ترکیب شده است، در شکل ۸.۶ (الف) نشان داده شده است. نتایج مدل باد ترکیبی ثابت-برشی و نیز ثابت-مایکروبرست به ترتیب در شکل ۸.۶ (ب) و (ج) نشان داده شده است. این نتایج نشان می‌دهد که فیلتر چندمدلی MMECACF قادر به تخمین صحیح مدل باد ترکیبی است.

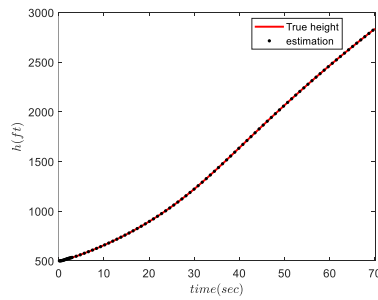
### ۷.۲.۶ مقایسه با یک فیلتر مبتنی بر سیستم پیوسته توسعه یافته اجماع مورچه‌ها

در این بخش، عملکرد فیلتر چندمدلی MMECAF با فیلتر تک مدلی ECACF مقایسه می‌شود. فیلتر ECACF از مدل پرنده همراه با مدل ترکیبی باد استفاده می‌کند. به این منظور، مدل‌های باد به صورت زیر ترکیب می‌شوند:

$$u_w^N = u_{w\text{constant}}^N + u_{w1\text{-cosine}}^N + u_{w\text{wind shear}}^N + u_{w\text{microburst}}^N \quad (۲۲.۶)$$

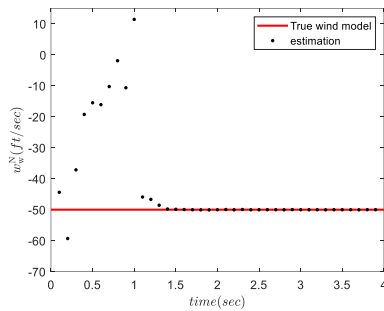
$$w_w^N = w_{w\text{constant}}^N + w_{w1\text{-cosine}}^N + w_{w\text{wind shear}}^N + w_{w\text{microburst}}^N \quad (۲۳.۶)$$



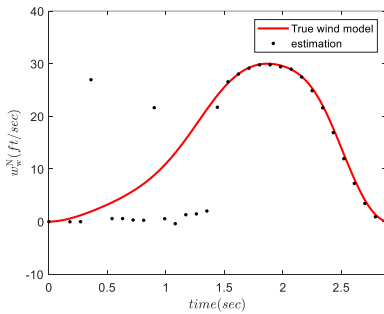
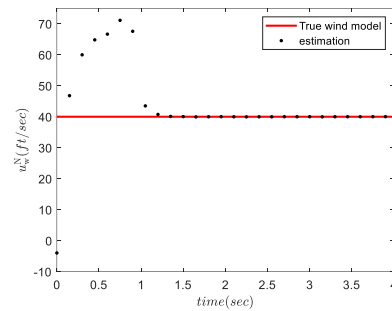


(د)

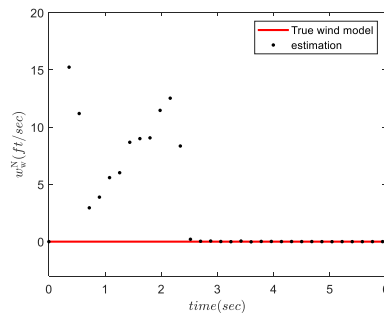
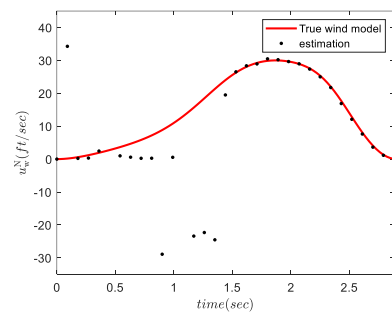
شکل ۶.۶ تخمین مایکروبرست: الف) احتمال هر مدل ب) باد افقی پ) باد عمودی ت) مرکز برست  
ث) فاصله شعاعی از مرکز برست ج) سرعت افقی چ) سرعت عمودی ح) نرخ پیچ خ) زاویه پیچ د)  
ارتفاع.



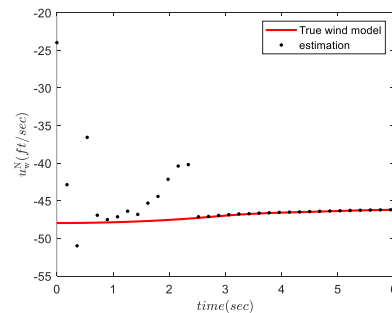
(الف)

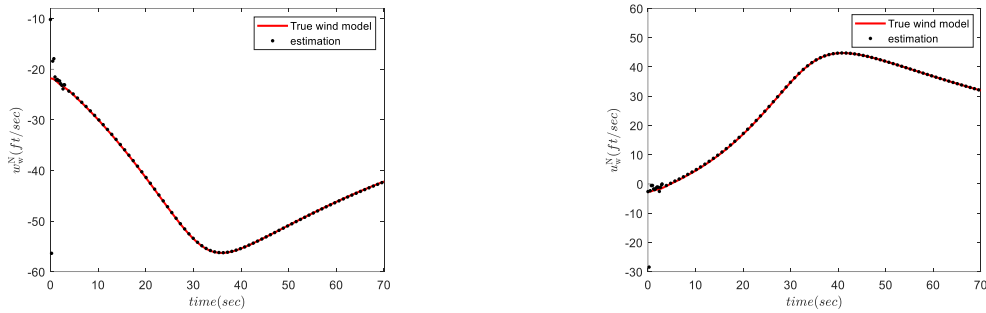


(ب)



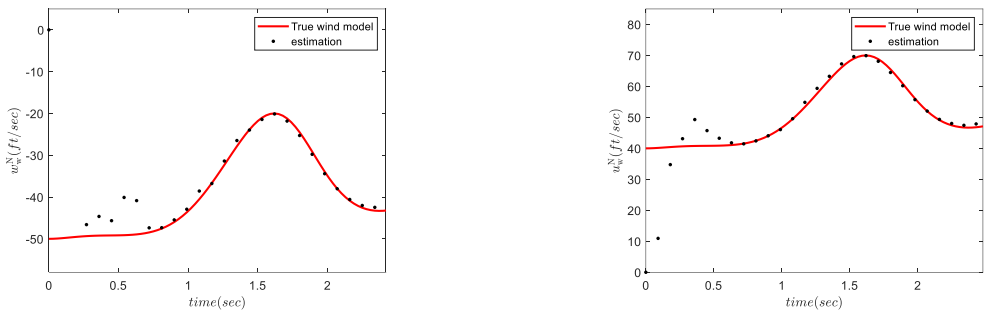
(ج)



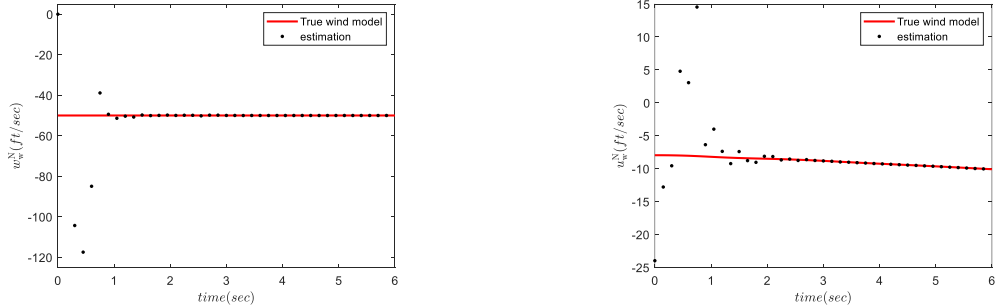


(د)

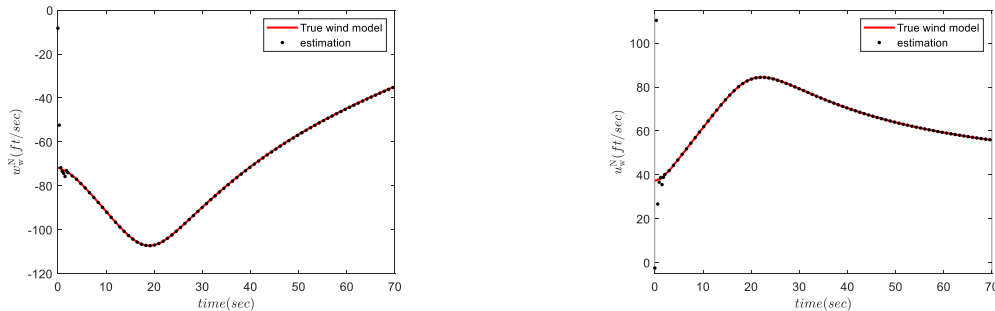
شکل ۷.۶ تخمین مدل باد در حضور مانور: الف) باد ثابت ب) باد "1-cosine" ج) باد برشی د) مایکروپرست.



(الف)



(ب)



(ج)

شکل ۸.۶ تخمین مدل باد ترکیبی: الف) باد ترکیبی ثابت- "1-cosine" ب) باد ترکیبی ثابت- برشی ج) باد ترکیبی ثابت- مایکروپرست.

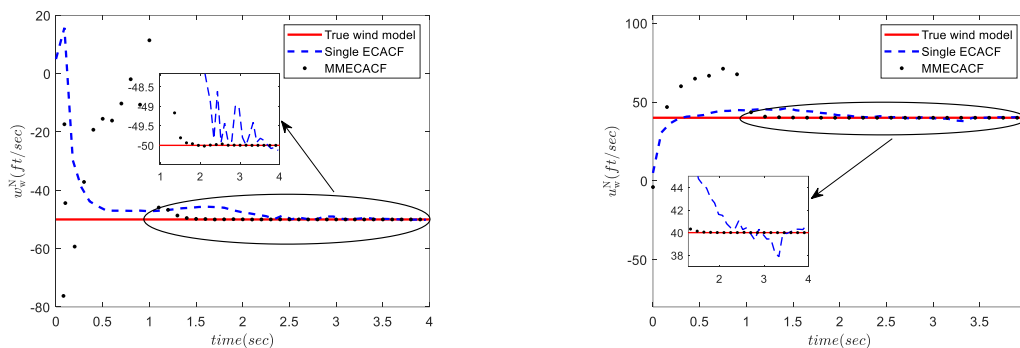
در این صورت، متغیرهای افزونه به صورت  $x_6 = u_{w_{\text{constant}}}^N$ ،  $x_7 = w_{w_{\text{constant}}}^N$ ،  $x_8 = u_m$ ،  $x_9 = d_x$ ،  $x_{10} = w_m$ ،  $x_{11} = d_z$ ،  $x_{12} = w_{20}$ ،  $x_{13} = x_c$ ،  $x_{14} = h_{\text{max}}$  و  $x_{15} = r_{\text{max}}$  تعریف می‌شوند. بنابراین، معادلات زیر به معادلات پرنده اضافه می‌شود:

$$\dot{x}_i = \omega_i \quad \text{for } i = 6, \dots, 15 \quad (24.6)$$

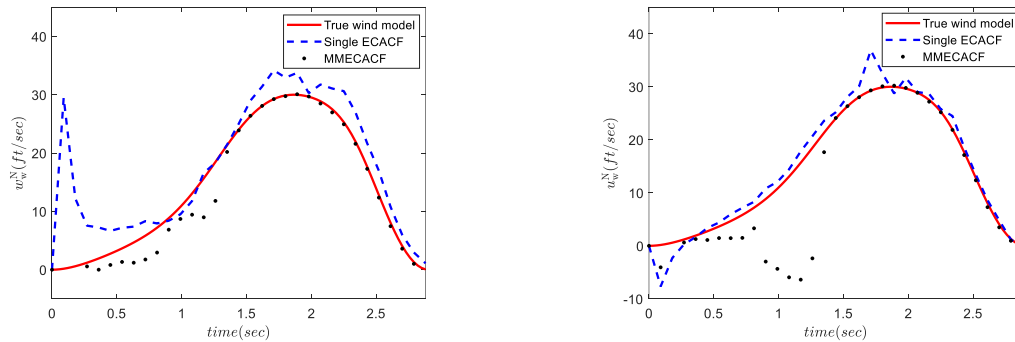
در رابطه فوق،  $\omega_i$  به‌ازای  $i=6, \dots, 15$  بیانگر نویزهای سفید با میانگین صفر است. فیلتر ECACF به صورت هم‌زمان پارامترهای مرتبط با سرعت‌های باد (۱۰ پارامتر) و نیز متغیرهای حالت را تخمین می‌زند.

چهار آزمایش به منظور مقایسه عملکرد فیلتر MMECACF با فیلتر ECACF طراحی شده است. در اولین آزمایش، باد ثابت به پرنده بدون سرنشین اعمال شده است. شکل ۹.۶ نشان می‌دهد که عملکرد فیلتر MMECACF در تخمین سرعت باد ثابت بهتر از فیلتر ECACF است. در آزمایش دوم، عملکرد هر دو فیلتر تحت تاثیر مدل باد "1-cosine" بررسی می‌شود. شکل ۱۰.۶ نشان می‌دهد که فیلتر ECACF قادر به تخمین مولفه‌های باد "1-cosine" به صورت دقیق نیست.

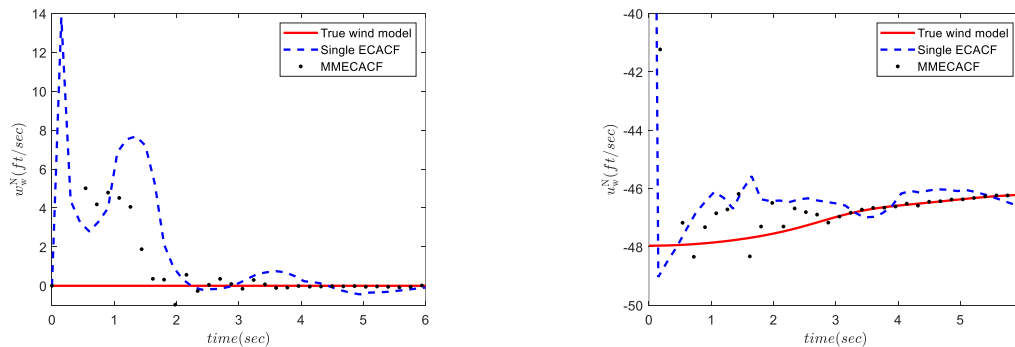
در سومین آزمایش، عملکرد هر دو فیلتر در حضور باد برشی بررسی می‌شود. شکل ۱۱.۶ نشان می‌دهد که نتایج فیلتر MMECACF بهتر از فیلتر ECACF است. در نهایت، شکل ۱۲.۶ نشان می‌دهد که فیلتر ECACF نمی‌تواند به صورت دقیق در حضور مایکروبرست اعمالی به پرنده کار کند. از آنجاکه فیلتر MMECACF به روزرسانی بهینه‌ای را بر مبنای مشاهدات برای هر مدل باد به صورت جداگانه انجام می‌دهد؛ لذا دارای نتایج بهتری نسبت به فیلتر ECACF است.



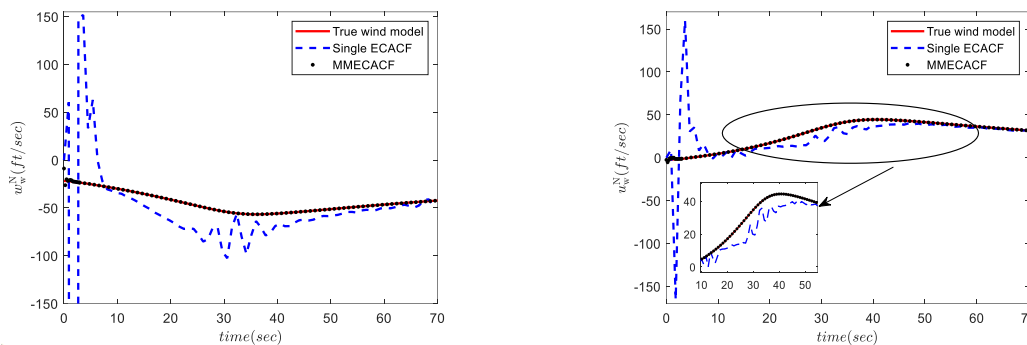
شکل ۹.۶ تخمین باد ثابت با استفاده از MMECACF و ECACF.



شکل ۱۰.۶ تخمین باد "1-cosine" با استفاده از ECACF و MMECACF.



شکل ۱۱.۶ تخمین باد برشی با استفاده از ECACF و MMECACF.



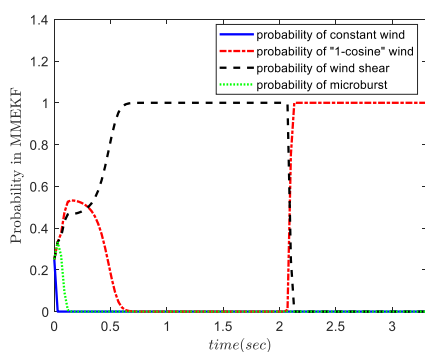
شکل ۱۲.۶ تخمین مایکروبرست با استفاده از ECACF و MMECACF.

### ۸.۲.۶ مقایسه با فیلتر کالمن چندمدلی توسعه یافته

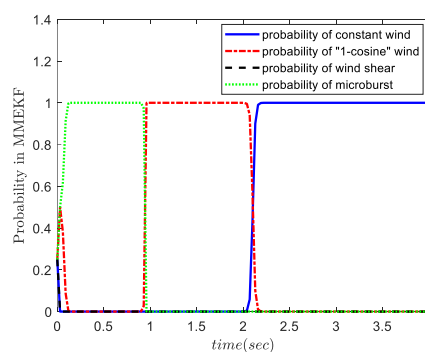
در این بخش، عملکرد فیلترهای چندمدلی MMECACF و MMEKF بر مبنای احتمال تخمین زده شده با یکدیگر مقایسه می شود. عملکرد فیلتر چندمدلی MMEKF در شناسایی مدل باد



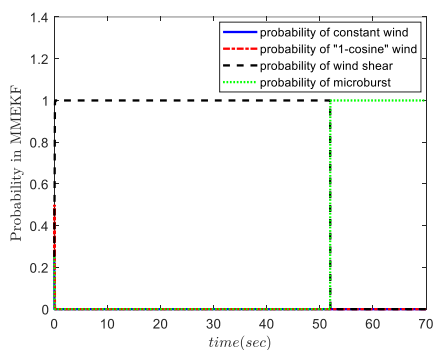
ثابت در شکل ۱۳.۶ (الف) نشان داده شده است. این شکل قابل مقایسه با احتمال تخمین زده شده توسط فیلتر چندمدلی MMECACF در شکل ۳.۶ (الف) است. همچنین، نتایج هر دو فیلتر MMECACF و MMEKF در شناسایی باد "1-cosine" به ترتیب در شکل ۴.۶ (الف) و شکل ۱۳.۶ (ب) نشان داده شده است. شکل ۵.۶ (الف) و شکل ۱۳.۶ (ج) احتمال تخمین زده شده توسط باد برشی را با یکدیگر مقایسه می کند. در نهایت، شکل ۶.۶ (الف) و شکل ۱۳.۶ (د) نشان می دهد که فیلتر چندمدلی MMEKF نمی تواند در حضور مایکروبرست به صورت دقیق کار کند. همچنین، این نتایج نشان می دهد که فیلتر چندمدلی پیشنهادی MMECACF قادر به یافتن مدل باد بهتر و سریعتر از فیلتر چندمدلی MMEKF است.



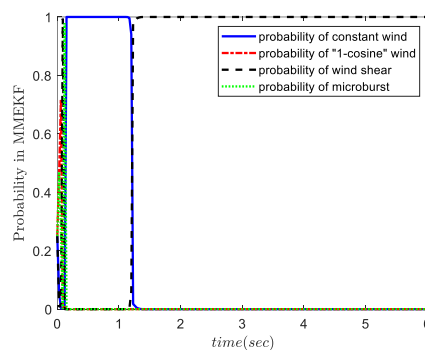
(ب)



(الف)



(د)



(ج)

شکل ۱۳.۶ احتمال تخمین زده شده از هر فیلتر با استفاده از MMEKF (الف) باد ثابت (ب) باد "1-cosine" (ج) باد برشی (د) مایکروبرست.

### ۳.۶ نتیجه‌گیری

در این فصل، ابتدا یک فیلتر ابتکاری با نام فیلتر چندمدلی توسعه‌یافته مبتنی بر سیستم پیوسته اجماع مورچه‌ها (MMECACF) ارائه شد. سپس، این فیلتر به منظور تخمین مدل باد، پارامترهای آن و متغیرهای حالت پرنده بدون سرنشین استفاده شد. در این روش، از چهار فیلتر مبتنی بر سیستم پیوسته توسعه‌یافته اجماع مورچه‌ها (ECACF) به منظور تخمین مدل باد ثابت، مدل باد "1-cosine"، مدل باد برشی و مدل مایکروبرست استفاده شد که هر کدام با یک مدل باد منطبق شده و به صورت جداگانه کار می‌کنند. نتایج شبیه‌سازی عددی به منظور بررسی عملکرد فیلتر MMECACF در حضور مدل‌های باد بیان شد. همچنین، عملکرد فیلتر MMECACF با یک فیلتر ECACF و نیز با فیلتر چندمدلی کالمن توسعه‌یافته (MMEKF) مقایسه شد. نتایج حاکی از تخمین مناسب متغیرهای پرنده، نوع مدل باد و پارامترهای آن توسط الگوریتم چندمدلی پیشنهادی است.

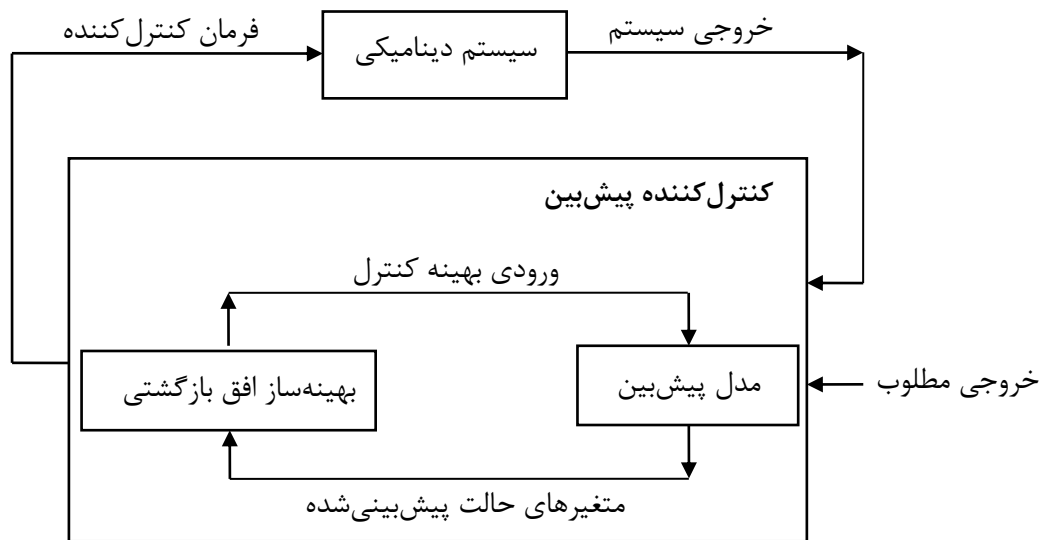
## ۷ طراحی کنترل کننده پیش‌بین

کنترل کننده‌های پیش‌بین یکی از انواع کنترل کننده‌های مبتنی بر مدل هستند که از اواخر دهه ۱۹۷۰ ابداع شده‌اند. این کنترل کننده‌ها به صورت موفق در کاربردهای صنعتی برای سیستم‌های دینامیکی نسبتاً کند استفاده شده‌اند. به عنوان نمونه، می‌توان به کاربرد این کنترل کننده‌ها در صنایع شیمیایی اشاره کرد [۱۱۰]. با افزایش توان محاسباتی در پردازنده‌ها، در یک دهه اخیر، امکان استفاده از کنترل کننده پیش‌بین در بهینه‌سازی برخط سیگنال کنترلی، برای سیستم‌هایی با دینامیک سریع، از جمله در کاربردهای هوافضایی، مهیا شده است. به طور مثال، می‌توان به [۱۱۱]، [۱۱۲] و [۱۱۳] اشاره کرد. از مزایای اصلی کنترل کننده پیش‌بین می‌توان به توانایی بهینه‌سازی ورودی کنترلی در حالت وجود قید بر روی متغیرهای حالت و ورودی اشاره کرد. همچنین، از آنجا که کنترل کننده پیش‌بین به صورت صریح قیود عملیاتی را در نظر می‌گیرد؛ لذا، می‌تواند عملکرد بهتری نسبت به ساختار کنترل کننده‌های متعارف داشته باشد.

کنترل پیش‌بین مجموعه‌ای از روش‌های کنترلی است که سیگنال‌های کنترلی سیستم در گام‌های زمانی بعدی را با استفاده از مدل سیستم و بر مبنای کمینه کردن یک تابع هزینه طوری محاسبه می‌کند که خروجی‌های سیستم در گام‌های زمانی آتی به مقادیر مطلوب همگرا شوند. از این‌رو، این دسته از کنترل کننده‌ها جهت محاسبه خروجی‌های آینده سیستم در یک افق مشخص، که به آن افق پیش‌بین گفته می‌شود، از یک مدل پیش‌بین استفاده می‌کنند. مدل پیش‌بین باید نشان‌دهنده دینامیک سیستم باشد، به گونه‌ای که بتواند دقیقاً خروجی‌های آینده را پیش‌بینی کند. سپس، مجموعه ورودی‌های کنترلی آینده، در یک افق مشخص که به آن افق کنترلی می‌گویند، با بهینه‌سازی یک تابع هزینه مقید به منظور همگرایی سریع‌تر به مسیر مطلوب محاسبه می‌شود.

این معیار معمولاً به صورت تابع مربعی از خطای بین سیگنال خروجی پیش‌بینی شده و مسیر مرجع پیش‌بینی شده و تلاش کنترلی است. اگر مسئله خطی و بدون قید باشد، آنگاه حل صریح برای سیگنال‌های کنترلی وجود خواهد داشت. اما، در حضور قیود، روش‌های عددی بهینه‌سازی قادر به

محاسبه سیگنال‌های کنترلی در هر لحظه هستند [۱۱۴]. پس از محاسبه ورودی‌های آینده، در هر لحظه اولین مقدار از ورودی‌ها به سیستم اعمال می‌شود. این روند را استراتژی بازگشتی یا افق بازگشتی<sup>۱</sup> می‌نامند. البته، ممکن است در مسئله‌ای افق کنترلی یک انتخاب شود؛ در آن صورت، همان یک ورودی به سیستم اعمال می‌شود. شماتیک کنترل کننده پیش‌بین به منظور کمینه کردن تابع هزینه مربعی در افق محدود در شکل ۱.۷ نشان داده شده است.



شکل ۱.۷ شماتیک کنترل کننده پیش‌بین به منظور کمینه کردن تابع هزینه مربعی در افق محدود.

کنترل کننده‌های پیش‌بین را می‌توان به دو دسته کنترل کننده‌های پیش‌بین خطی و غیرخطی تقسیم کرد ( [۱۱۵] و [۱۱۶]). کنترل کننده‌های پیش‌بین خطی بر اساس مدل پیش‌بین خطی سیستم طراحی می‌شوند. از مشهورترین این کنترل کننده‌ها می‌توان به  $MAC$  [۱۱۷]<sup>۲</sup>،  $DMC$  [۱۱۸]<sup>۳</sup> و کنترل کننده پیش‌بین تعمیم‌یافته  $(GPC)$  [۱۱۹]<sup>۴</sup> اشاره کرد. مدل پیش‌بین در کنترل کننده  $MAC$  بر مبنای اندازه‌گیری خروجی سیستم در برابر اعمال ورودی ضربه حاصل می‌شود. همچنین، مدل پیش‌بین در کنترل کننده  $DMC$  بر مبنای اندازه‌گیری خروجی سیستم در برابر اعمال ورودی پله حاصل می‌شود.

<sup>1</sup> Receding Horizon

<sup>2</sup> Model Algorithmic Control

<sup>3</sup> Dynamic Matrix Control

<sup>4</sup> Generalized Predictive Control

سپس در پایان فرآیند طراحی، تغییرات ورودی توسط کنترل کننده DMC بدست می‌آید. از این‌رو، یک انتگرال‌گیر باید قبل از اعمال خروجی این کنترل کننده به سیستم اعمال شود.

کنترل کننده پیش‌بین تعمیم‌یافته (GPC) یکی دیگر از انواع کنترل کننده‌های پیش‌بین خطی است که بیانگر تعمیم الگوریتم‌های کنترلی MAC و DMC در فضای توابع تبدیل است. از این‌رو، توانایی محاسبه ورودی و همین‌طور تغییرات آن را دارد. در این روش، مدل پیش‌بین بر مبنای مدل تابع تبدیل سیستم حاصل شده و تاثیر نویزهای سفید و/یا رنگی در تابع تبدیل سیستم در نظر گرفته می‌شود. در رویکرد دوم، کنترل کننده پیش‌بین بر اساس مدل غیرخطی پیش‌بین طراحی می‌شود. از مشهورترین کنترل کننده‌ها در این زمینه می‌توان به EDMC<sup>۱</sup> [۱۲۰]، LDMC<sup>۲</sup> [۱۲۱] و MMPC<sup>۳</sup> [۱۲۲] اشاره کرد.

همچنین، پژوهش‌هایی با موضوع طراحی کنترل کننده مدل پیش‌بین غیرخطی با استفاده از الگوریتم‌های بهینه‌سازی ابتکاری انجام شده‌است. در مرجع [۱۲۳]، کنترل کننده پیش‌بین غیرخطی برای سیستم‌های قدرت با استفاده از الگوریتم‌های بهینه‌سازی گروهی مورچه‌ها (ACO)<sup>۴</sup> و الگوریتم ژنتیک (GA)<sup>۵</sup> طراحی شده‌است. به این منظور، ابتدا الگوریتم بهینه‌سازی گروهی مورچه‌ها چندین جواب بهینه برای افق کنترلی محاسبه کرده و سپس الگوریتم ژنتیک اقدام به یافتن بهترین فرمان کنترلی با جستجوی دقیق پیرامون جواب‌های حاصله از الگوریتم بهینه‌سازی گروهی مورچه‌ها می‌کند. همچنین، کنترل کننده پیش‌بین غیرخطی مبتنی بر الگوریتم بهینه‌سازی ذرات (PSO)<sup>۶</sup> برای سیستم‌هایی

<sup>1</sup> Extended Dynamic Matrix Control

<sup>2</sup> Linear Extended Dynamic Matrix Control

<sup>3</sup> Multiple Model Predictive Control

<sup>4</sup> Ant Colony Optimization

<sup>5</sup> Genetic Algorithm

<sup>6</sup> Particle Swarm Optimization

هم‌چون شبکه گرمایش محلی [۱۲۴]، پاندول معکوس [۱۲۵] و رآکتور مخزنی با همزن (CSTR)<sup>۱</sup> [۱۲۶]، سرعت چرخش یک موتور [۱۲۷] و چهارپره [۱۲۸] طراحی شده‌است.

در مرجع [۱۲۹]، یک مدل جدید از یک کنترل کننده پیش‌بین غیرخطی بر مبنای ترکیبی از دو فیلتر ارائه شده‌است. بر این اساس، متغیرهای حالت سیستم در فیلتر اول تخمین زده شده و خروجی آن در فیلتر دوم، که در آن ورودی کنترل تخمین زده می‌شود، استفاده می‌شود. همچنین، در مراجع [۱۳۰]، [۱۳۱] و [۱۳۲]، یک کنترل کننده مدل پیش‌بین غیرخطی مبتنی بر الگوریتم بهینه‌سازی پیوسته توده‌ای مورچه‌ها (CACC)<sup>۲</sup> طراحی شده‌است.

از جمله معایب کنترل کننده‌های پیش‌بین می‌توان به ضرورت وجود یک مدل پیش‌بین مناسب، که تضمین کننده دینامیک سیستم باشد، اشاره کرد. مدل پیش‌بین بخش مرکزی کنترل کننده پیش‌بین است و در بسیاری از نمونه‌ها، هنگامی که دینامیک سیستم غیرخطی ناپایدار است، یک مدل پیش‌بین غیردقیق منجر به ناپایداری می‌شود [۱۱۴]. همچنین، تقریب‌های انجام شده در مدل‌سازی، تغییرات دینامیک سیستم و عدم قطعیت شناخته شده می‌تواند باعث کاهش دقت پاسخ مدل پیش‌بین شود. از این‌رو، در بسیاری از کاربردهای کنترل کننده پیش‌بین، تلاش‌هایی به منظور توسعه یک مدل پیش‌بین قابل اعتماد انجام شده‌است [۱۳۳]. در حقیقت، بدون یک مدل پیش‌بین دقیق، تضمین عملکرد و پایداری خیلی محافظه کارانه می‌شود [۱۱۴]. از این‌رو، به منظور پیش‌بینی رفتار آینده سیستم به یک مدل دقیق نیاز است. پس در صورت وجود خطا، تغییرات سیستم، عدم قطعیت مدل‌سازی و همچنین، اغتشاشات، ابتدا باید متغیرهای حالت سیستم تخمین زده شده و در مدل پیش‌بین استفاده شود.

از این‌رو، هدف از این فصل بررسی دقیق الگوریتم فرود خودکار یک پرنده بال ثابت با در نظر گرفتن پدیده باد است. از آنجا که مدل باد تخمین زده شده مشخص است؛ فلذا مدل باد آینده قابل پیش‌بینی است. مدل باد پیش‌بینی شده و مسیر آینده در معادلات کنترل کننده پیش‌بین غیرخطی استفاده می‌شود. از این جهت، کنترل کننده پیش‌بین غیرخطی نسبت به سایر کنترل کننده‌ها در این مسئله استفاده می‌شود. بنابراین، مد نظر است که علاوه بر متغیرهای حالت، نوع مدل باد و پارامترهای آن نیز با استفاده

<sup>1</sup> Continuous Flow Stirred-Tank Reactor

<sup>2</sup> Continuous Ant Colony Controller

از فیلترهای چندمدلی تخمین زده شده و توسط کنترل کننده پیش‌بین غیرخطی ابتکاری جبران شود. به این منظور، ابتدا مدل دینامیکی سیستم در بخش ۱.۷ بیان می‌شود. سپس، کنترل کننده پیش‌بین غیرخطی گروهی ذرات و اثبات پایداری آن به ترتیب در بخش‌های ۲.۷ و ۳.۷ معرفی می‌شود. در انتها، در بخش ۴.۷ نتایج شبیه‌سازی ارائه می‌شود.

### ۱.۷ مدل دینامیکی سیستم

مدل دینامیکی یک سیستم غیرخطی در فضای گسسته به صورت زیر نوشته می‌شود:

$$\mathbf{x}_k = \mathbf{f}(\mathbf{x}_{k-1}, \mathbf{u}_{k-1}, k-1) + \boldsymbol{\omega}_{k-1} \quad (1.7)$$

$$\mathbf{z}_k = \mathbf{h}(\mathbf{x}_k) + \mathbf{v}_k \quad (2.7)$$

در رابطه فوق، بردارهای  $\mathbf{x} \in \mathbb{R}^{n \times 1}$  و  $\mathbf{u} \in \mathbb{R}^{m \times 1}$  به ترتیب بیانگر متغیرهای حالت و ورودی‌های سیستم هستند. همچنین،  $k$  بیانگر زمان نمونه‌برداری،  $\boldsymbol{\omega}_{k-1}$  و  $\mathbf{v}_k$  به ترتیب بیانگر نویزهای فرآیند و اندازه‌گیری با ماتریس‌های کواریانس معلوم  $\mathbf{Q}$  و  $\mathbf{R}$  هستند.

### ۲.۷ کنترل کننده پیش‌بین غیرخطی گروهی ذرات

در این بخش، یک کنترل کننده مدل پیش‌بین غیرخطی مبتنی بر الگوریتم بهینه‌سازی گروهی ذرات (NMPC-PSO)<sup>۱</sup> معرفی می‌شود. الگوریتم بهینه‌سازی ابتکاری PSO یک روش بهینه‌سازی ابتکاری مقاوم است که بر مبنای هوش گروهی و نیز استفاده از تجربیات شخصی و دیگر ذرات به یافتن نقطه کمینه اقدام می‌کند. همچنین، در مورد روند اثبات همگرایی این الگوریتم بهینه‌سازی در مراجع نسبت به سایر روش‌های بهینه‌سازی مطالعات بیشتری انجام شده است. فلذا، در این رساله، کنترل کننده پیش‌بین غیرخطی مبتنی بر این روش اقدام به یافتن نقطه بهینه یعنی بهترین ورودی کنترلی می‌کند. همچنین، اثبات همگرایی کنترل کننده پیش‌بین غیرخطی NMPC-PSO با الگوگیری از اثبات همگرایی الگوریتم بهینه‌سازی PSO انجام شده است. فلوچارت الگوریتم کنترل کننده مبتنی بر بهینه‌سازی انبوه ذرات در شکل ۲.۷ نشان داده شده است. به این منظور، ابتدا پارامترهای الگوریتم مقداردهی شده و بردار فرامین کنترلی اولیه به صورت تصادفی در فضای جستجو توزیع می‌شود. سپس، در حلقه تکرار داخلی و

<sup>1</sup> Nonlinear Model Predictive Control based on the Particle Swarm Optimization

در هر گام زمانی، خروجی‌های آینده سیستم در افق کنترلی محدود برای هر ذره و بر مبنای توزیع گوسی بردار فرامین کنترل آینده پیش‌بینی می‌شوند.

در این صورت، تابع هزینه برای هر ذره بر مبنای هزینه ناشی از خطای ردگیری، تلاش کنترلی و اختلاف فرامین کنترلی در طول افق پیش‌بین کنترل محاسبه می‌شود. در گام بعد، با ثبت بهترین فرامین کنترلی برای هر ذره و نیز بهترین فرامین کنترلی در بین کل ذرات، سرعت و موقعیت فرمان کنترلی هر ذره در طول افق پیش‌بین کنترل به روزرسانی می‌شود. در نهایت، پس از رسیدن به مقدار بیشینه تکرار حلقه داخلی، موقعیت بهترین فرمان کنترلی به منظور اعمال به سیستم بر مبنای امید ریاضی موقعیت فرامین کنترلی ذرات منتخب تعیین می‌شود. شبه‌کد کنترل کننده پیش‌بین غیرخطی گروهی ذرات در شکل ۳.۷ نشان داده شده است. در ادامه، جزییات مربوط به این الگوریتم توضیح داده می‌شود.

### ۱.۲.۷ مقداردهی اولیه

الگوریتم کنترل کننده پیش‌بین غیرخطی گروهی ذرات دارای چند پارامتر کنترلی است که باید قبل از اجرای الگوریتم مقداردهی شوند. پارامترهای این کنترل کننده عبارتند از: طول افق پیش‌بینی ( $T_p$ )، تعداد ذرات ( $N$ ) و تعداد ذرات منتخب ( $N_t$ ).

در این الگوریتم، موقعیت ابتدایی متغیر فرمان کنترلی ذره  $j$ -ام ( $\mathbf{u}_0^j$ ) به ازای  $j=1, \dots, N$  به صورت تصادفی با توزیع یکنواخت در محدوده قابل قبول فرامین کنترلی تولید می‌شود. سپس، مقداری برای سرعت اولیه هر ذره ( $\mathbf{v}_0^j$ ) اختصاص داده می‌شود. به منظور جلوگیری از افزایش بیش از حد سرعت حرکت یک ذره در حرکت از یک محل به محل دیگر، سرعت در محدوده  $v_{\min}$  تا  $v_{\max}$  انتخاب می‌شود.

### ۲.۲.۷ پیش‌بینی خروجی‌های آینده سیستم

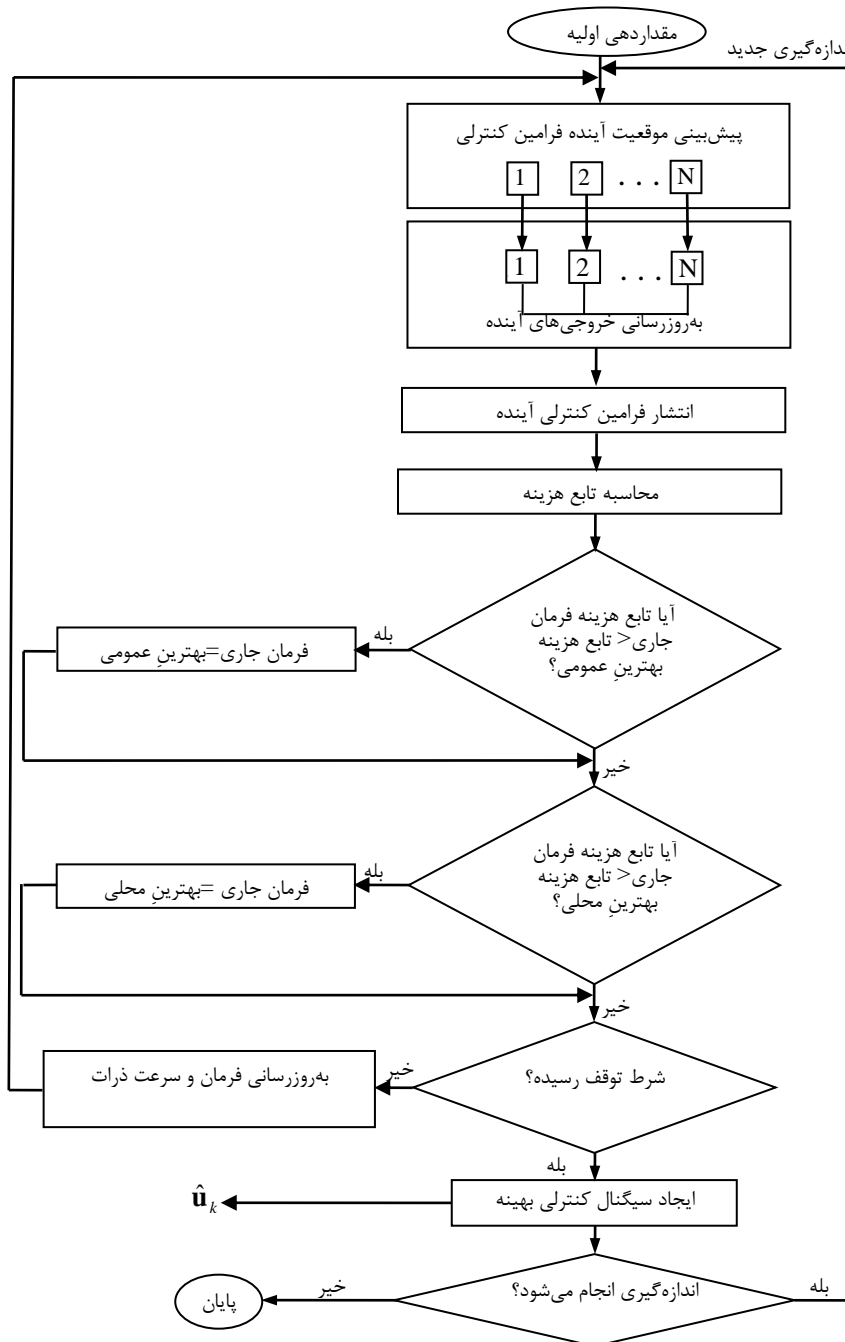
در شروع  $k$ -امین گام زمانی، خروجی‌های آینده ذره  $j$ -ام ( $\mathbf{z}_{k+k_p}^j$ ) به ازای افق کنترلی  $k_p=1, \dots, T_p$  و در حلقه تکرار  $i$ -ام به صورت زیر حاصل می‌شود:

$$\mathbf{x}_{k+k_p}^{j,i} = \mathbf{f}(\mathbf{x}_{k-1+k_p}^{j,i}, \mathbf{u}_{k-1+k_p}^{j,i}, k-1+k_p) \quad (۳.۷)$$

$$\mathbf{z}_{k+k_p}^{j,i} = \mathbf{h}(\mathbf{x}_{k+k_p}^{j,i}) \quad (۴.۷)$$



لازم به ذکر است که در هر گام زمانی، متغیر حالت سیستم ( $\mathbf{x}_{k-1}^{j,i}$ ) از نتیجه الگوریتم تخمین‌گر متغیرهای حالت حاصل می‌شود.



شکل ۲.۷ فلوجارت الگوریتم پیش‌بین غیرخطی گروهی ذرات.

---

Set number of agents,  $N$ , and number of top agents,  $N_t$ .  
 Set prediction horizon,  $T_p$ .  
 Initialize randomly position of the agents,  $\mathbf{u}_0^j$ , for  $j \in [1, N]$ .  
 Initialize randomly velocity of the agents,  $\mathbf{v}_0^j$ , for  $j \in [1, N]$  &  $\mathbf{v}_0^j \in [\mathbf{v}_{\min} \quad \mathbf{v}_{\max}]$ .  
**While** (Measurements,  $\mathbf{z}_k$ , & states,  $\hat{\mathbf{x}}_k$ , are available)  
   **For**  $i=1$  to  $i_{\max}$   
     **For**  $j=1$  to  $N$   
        $\mathbf{x}_k^{j,i} = \hat{\mathbf{x}}_k$   
       **For**  $k_p=1$  to  $T_p$   
         Predict the future states,  $\mathbf{x}_{k+k_p}^{j,i}$ .  
         Predict the future outputs,  $\mathbf{z}_{k+k_p}^{j,i}$ .  
         Propagate the future commands,  $\mathbf{u}_{k+k_p}^{j,i}$ .  
       **Next** prediction step  $k_p$   
       Compute the cost function related to the tracking error,  $c_{te}^{j,i}$ .  
       Compute the cost function related to the control effort,  $c_{ce}^{j,i}$ .  
       Compute the cost function related to the control smoothness,  $c_{cs}^{j,i}$ .  
       Compute the total cost function,  $c_k^{j,i} = c_{te}^{j,i} + c_{ce}^{j,i} + c_{cs}^{j,i}$ .  
       Update local best agent.  
     **Next** agent  $j$   
     Find minimum cost function and optimum agent.  
     Update global best agent.  
   **For**  $j=1$  to  $N$   
     **For**  $k_p=1$  to  $T_p$   
       Update future velocity of agent  $j$ ,  $\mathbf{v}_{k+k_p}^{j,i+1}$ .  
       Update future position of agent  $j$ ,  $\mathbf{u}_{k+k_p}^{j,i+1}$ .  
     **Next** prediction step  $k_p$   
   **Next** agent  $j$   
**Next** iteration  $i$   
 Sort agents according to the cost.  
 Compute mean position of  $N_t$  top agents.  
 Estimate the controller commands,  $\hat{\mathbf{u}}_k$ .  
**Next** time step  $k$

---

شکل ۳.۷ شبه‌کد کنترل کننده پیش‌بین غیرخطی گروهی ذرات.

### ۳.۲.۷ انتشار فرامین کنترلی آینده

در شروع  $k$ -امین گام زمانی، بردار فرامین کنترلی آینده ذره  $j$ -ام سیستم ( $\mathbf{u}_{k+k_p}^{j,i}$ ) در طول افق کنترلی در حلقه تکرار  $i$ -ام به صورت زیر منتشر می‌شود:

$$\mathbf{u}_{k+k_p}^{j,i} = \mathbf{u}_{k-1+k_p}^{j,i} + \gamma_{k-1+k_p}^{j,i} \quad (5.7)$$

در رابطه فوق،  $\gamma_{k-1+k_p}^{j,i}$  بیانگر بردار متغیر تصادفی است که به صورت توزیع گوسی با میانگین صفر و بردار انحراف معیار  $\sigma_u$  مدل می‌شود.

#### ۴.۲.۷ ارزیابی تابع هزینه

تابع هزینه ذره  $j$ -ام در  $k$ -امین گام زمانی و در حلقه تکرار  $i$ -ام به صورت زیر حاصل می‌شود:

$$c_k^{j,i} = c_{te}^{j,i} + c_{ce}^{j,i} + c_{cs}^{j,i} \quad (6.7)$$

در رابطه فوق  $c_{te}^{j,i}$  مقدار هزینه ناشی از خطای ردگیری خروجی‌های پیش‌بینی شده ذره  $j$ -ام با مقدار مطلوب خروجی ( $z_{sp}$ ) است که به صورت زیر بیان می‌شود:

$$c_{te}^{j,i} = \frac{\sum_{k_p=1}^{T_p} \left[ \mathbf{z}_{k+k_p}^{j,i} - \mathbf{z}_{sp_{k+k_p}} \right]^T \mathbf{W}_{te} \left[ \mathbf{z}_{k+k_p}^{j,i} - \mathbf{z}_{sp_{k+k_p}} \right]}{\max_{j=1}^N \sum_{k_p=1}^{T_p} \left[ \mathbf{z}_{k+k_p}^{j,i} - \mathbf{z}_{sp_{k+k_p}} \right]^T \mathbf{W}_{te} \left[ \mathbf{z}_{k+k_p}^{j,i} - \mathbf{z}_{sp_{k+k_p}} \right]} \quad (7.7)$$

همچنین،  $c_{ce}^{j,i}$  مقدار هزینه ناشی از تلاش کنترلی در طول افق کنترلی است که به صورت زیر تعریف می‌شود:

$$c_{ce}^{j,i} = \frac{\sum_{k_p=1}^{T_p} \left[ \mathbf{u}_{k+k_p}^{j,i} \right]^T \mathbf{W}_{ce} \left[ \mathbf{u}_{k+k_p}^{j,i} \right]}{\max_{j=1}^N \sum_{k_p=1}^{T_p} \left[ \mathbf{u}_{k+k_p}^{j,i} \right]^T \mathbf{W}_{ce} \left[ \mathbf{u}_{k+k_p}^{j,i} \right]} \quad (8.7)$$

$c_{cs}^{j,i}$  هزینه ناشی از اختلاف فرامین کنترلی در یک گام زمانی افق پیش‌بین با گام زمانی بعدی است که به منظور جلوگیری از پدیده چترینگ فرمان کنترلی لحاظ شده و به صورت زیر محاسبه می‌شود:

<sup>1</sup> Tracking Error

<sup>2</sup> Control Smoothness

<sup>3</sup> Control Effort

$$C_{cs}^{j,i} = \frac{\sum_{k_p=1}^{T_p} [\mathbf{u}_{k+k_p}^{j,i} - \mathbf{u}_{k-1+k_p}^{j,i}]^T \mathbf{W}_{cs} [\mathbf{u}_{k+k_p}^{j,i} - \mathbf{u}_{k-1+k_p}^{j,i}]}{\max_{j=1}^N \sum_{k_p=1}^{T_p} [\mathbf{u}_{k+k_p}^{j,i} - \mathbf{u}_{k-1+k_p}^{j,i}]^T \mathbf{W}_{cs} [\mathbf{u}_{k+k_p+1}^{j,i} - \mathbf{u}_{k-1+k_p}^{j,i}]} \quad (9.7)$$

در روابط فوق، ماتریس‌های  $\mathbf{W}_{ce}$ ،  $\mathbf{W}_{te}$  و  $\mathbf{W}_{cs}$  به ترتیب بیانگر وزن هر یک از خطاهای  $C_{ce}$ ،  $C_{te}$  و  $C_{cs}$  در توابع هزینه هستند.

### ۵.۲.۷ به‌روزرسانی بهترین تجربه عمومی و محلی فرامین کنترلی

در این مرحله، ابتدا در  $k$ -امین افق پیش‌بین کنترلی و نیز در حلقه تکرار  $i$ -ام، بهترین فرامین کنترلی برای ذره  $j$ -ام ( $\mathbf{p}_{k+k_p}^{j,i}$ ) به‌ازای  $k_p=1, \dots, T_p$  ثبت می‌شود. سپس، در  $k$ -امین افق پیش‌بین کنترلی و نیز در حلقه تکرار  $i$ -ام بهترین فرامین کنترلی در بین کل ذرات ( $\mathbf{g}_{k+k_p}^i$ ) به‌ازای  $k_p=1, \dots, T_p$  ثبت می‌شود. در اولین تکرار ( $i=1$ )، موقعیت فعلی فرمان کنترلی هر ذره به‌عنوان بهترین فرامین کنترلی برای هر ذره به‌صورت زیر در نظر گرفته می‌شود:

$$\mathbf{p}_{k+k_p}^{j,1} = \mathbf{u}_{k+k_p}^{j,1} \quad (10.7)$$

در تکرارهای بعدی، هزینه هر ذره در  $k$ -امین گام افق پیش‌بین کنترلی با بهترین هزینه ذره  $j$ -ام مقایسه می‌شود. در صورتیکه، این هزینه از بهترین هزینه ثبت‌شده برای این ذره کمتر باشد؛ آنگاه موقعیت و هزینه این ذره جایگزین مقدار قبلی می‌شود. در غیر این صورت، تغییری در موقعیت و هزینه ثبت‌شده برای این ذره ایجاد نمی‌شود.

### ۶.۲.۷ به‌روزرسانی سرعت تغییرات فرامین کنترلی آینده

پس از ثبت بهترین فرامین کنترلی برای هر ذره و کل ذرات، سرعت ذره  $j$ -ام، به‌ازای  $k_p=1, \dots, T_p$  در گام زمانی  $k$ -ام و در حلقه تکرار  $i$ -ام ( $\mathbf{v}_{k+k_p}^{j,i}$ ) به‌صورت زیر به‌روزرسانی می‌شود:

$$\mathbf{v}_{k+k_p}^{j,i+1} = w \mathbf{v}_{k+k_p}^{j,i} + c_1 r_1 (\mathbf{p}_{k+k_p}^{j,i} - \mathbf{u}_{k+k_p}^{j,i}) + c_2 r_2 (\mathbf{g}_{k+k_p}^i - \mathbf{u}_{k+k_p}^{j,i}) \quad (11.7)$$

در رابطه فوق،  $W$  بیانگر ماتریس ثابت اصطکاک و  $C_1$  و  $C_2$  ضرایب ثابت مثبت هستند. همچنین،  $r_1$  و  $r_2$  دو عدد تصادفی با توزیع یکنواخت در بازه  $[0,1]$  هستند.

### ۷.۲.۷ به‌روزرسانی موقعیت فرامین کنترلی آینده

در گام زمانی  $k$ -ام و نیز در حلقه تکرار  $i$ -ام، موقعیت فرامین کنترلی ذره  $j$ -ام ( $\mathbf{u}_{k+k_p}^{j,i}$ ) به ازای  $k_p=1, \dots, T_p$  به صورت زیر به‌روزرسانی می‌شود:

$$\mathbf{u}_{k+k_p}^{j,i+1} = \mathbf{u}_{k+k_p}^{j,i} + \mathbf{v}_{k+k_p}^{j,i+1} \quad (12.7)$$

### ۸.۲.۷ شرط توقف

الگوریتم با رسیدن به مقدار بیشینه تکرار ( $i_{\max}$ ) متوقف می‌شود.

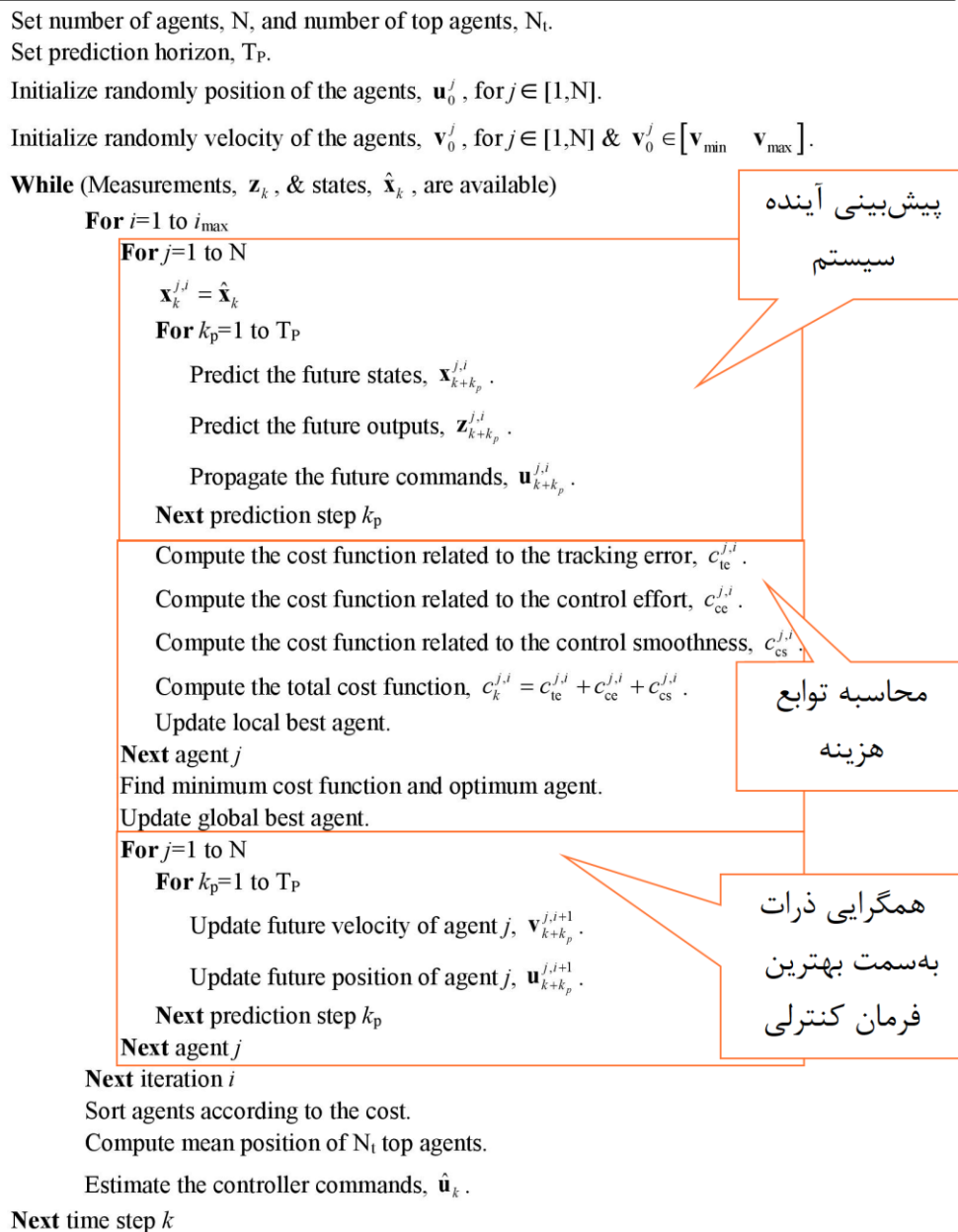
### ۹.۲.۷ تخمین فرامین کنترلی

پس از رسیدن به مقدار بیشینه تکرار حلقه داخلی ( $i_{\max}$ )، بهترین موقعیت فرمان کنترلی در گام زمانی  $k$ -ام بر مبنای امید ریاضی موقعیت فرامین کنترلی ذرات منتخب به صورت زیر محاسبه می‌شود:

$$\hat{\mathbf{u}}_k = \frac{1}{N_t} \sum_{j=1}^{N_t} \mathbf{u}_k^{j,i_{\max}} \quad (13.7)$$

## ۳.۷ تحلیل همگرایی کنترل کننده پیش‌بین غیرخطی گروهی ذرات

همانطور که در بخش ۲.۷ بیان شد، الگوریتم کنترل کننده پیش‌بین غیرخطی گروهی ذرات، در هر تکرار، از سه بخش پیش‌بینی آینده سیستم، محاسبه توابع هزینه و نیز همگرایی ذرات به سمت بهترین فرمان کنترلی مطابق با شکل ۴.۷ تشکیل شده است. در این بخش، ابتدا پایداری رفتار پیش‌بینی شده از آینده سیستم در هر حلقه تکرار بررسی می‌شود. سپس، به تحلیل همگرایی ذرات به سمت بهترین ذره (بهترین فرامین کنترلی) پرداخته می‌شود.



شکل ۴.۷ اجزا کنترل کننده پیش بین غیرخطی گروهی ذرات.

### ۱.۳.۷ پایداری رفتار پیش بینی شده از آینده سیستم

معادلات پیش بینی خروجی های آینده سیستم براساس مطالب بیان شده در بخش ۲.۲.۷ به صورت زیر بیان می شود:

$$\mathbf{x}_{k+k_p}^{j,i} = \mathbf{f}(\mathbf{x}_{k-1+k_p}^{j,i}, \mathbf{u}_{k-1+k_p}^{j,i}, k-1+k_p) \quad (۱۴.۷)$$

$$\mathbf{z}_{k+k_p}^{j,i} = \mathbf{h}(\mathbf{x}_{k+k_p}^{j,i}) \quad (۱۵.۷)$$

معادلات غیرخطی فوق را می‌توان حول حالت جاری ( $\mathbf{x}_k$  و  $\mathbf{u}_k$ ) به صورت زیر تقریب زد:

$$\mathbf{x}_{k+k_p}^{j,i} = \mathbf{A} \mathbf{x}_{k-1+k_p}^{j,i} + \mathbf{B} \mathbf{u}_{k-1+k_p}^{j,i} + \text{h.o.t} \quad (۱۶.۷)$$

$$\mathbf{z}_{k+k_p}^{j,i} = \mathbf{C} \mathbf{x}_{k+k_p}^{j,i} + \text{h.o.t} \quad (۱۷.۷)$$

جاییکه h.o.t بیانگر ترم‌های مرتبه بالای غیرخطی هستند. با جایگذاری معادله فوق در رابطه (۱۶.۷) و صرف‌نظر از ترم‌های غیرخطی، مدل پیش‌بین خروجی سیستم به صورت زیر حاصل می‌شود:

$$\mathbf{z}_{k+k_p}^{j,i} = \mathbf{C} \mathbf{x}_{k+k_p}^{j,i} = \mathbf{C} \mathbf{A} \mathbf{x}_{k-1+k_p}^{j,i} + \mathbf{C} \mathbf{B} \mathbf{u}_{k-1+k_p}^{j,i} \quad (۱۸.۷)$$

به‌طور مشابه، دینامیک مدل پیش‌بین خروجی در گام زمانی پیش‌رو به صورت زیر حاصل می‌شود:

$$\mathbf{x}_{k+1+k_p}^{j,i} = \mathbf{A} \mathbf{x}_{k+k_p}^{j,i} = \mathbf{C} \mathbf{A} \mathbf{x}_{k+k_p}^{j,i} + \mathbf{C} \mathbf{B} \mathbf{u}_{k+k_p}^{j,i} \quad (۱۹.۷)$$

دینامیک تغییرات خروجی بر مبنای اختلاف روابط (۱۸.۷) و (۱۹.۷) و نیز با فرض پس‌خور کامل متغیرهای حالت<sup>۱</sup> ( $\mathbf{C} = \mathbf{I}$ ) به صورت زیر حاصل می‌شود:

$$\begin{aligned} \Delta \mathbf{z}_{k+1+k_p}^{j,i} &= \mathbf{z}_{k+1+k_p}^{j,i} - \mathbf{z}_{k+k_p}^{j,i} = \mathbf{x}_{k+1+k_p}^{j,i} - \mathbf{x}_{k+k_p}^{j,i} \\ &= \mathbf{A} \left( \mathbf{x}_{k+k_p}^{j,i} - \mathbf{x}_{k-1+k_p}^{j,i} \right) + \mathbf{B} \left( \mathbf{u}_{k+k_p}^{j,i} - \mathbf{u}_{k-1+k_p}^{j,i} \right) \\ &= \mathbf{A} \Delta \mathbf{x}_{k+k_p}^{j,i} + \mathbf{B} \left( \mathbf{u}_{k+k_p}^{j,i} - \mathbf{u}_{k-1+k_p}^{j,i} \right) \end{aligned} \quad (۲۰.۷)$$

معادله فوق بر مبنای مدل انتشار فرامین کنترلی آینده (رابطه (۵.۷)) در طول افق پیش‌بین به صورت زیر حاصل می‌شود:

$$\Delta \mathbf{z}_{k+1+k_p}^{j,i} = \mathbf{A} \Delta \mathbf{z}_{k+k_p}^{j,i} + \mathbf{B} \gamma_{k-1+k_p}^{j,i} \quad (۲۱.۷)$$

<sup>۱</sup> Full State Feedback

امید ریاضی رابطه فوق به صورت زیر حاصل می‌شود:

$$\mathbf{E}(\Delta \mathbf{z}_{k+1+k_p}^{j,i}) = \mathbf{A} \mathbf{E}(\Delta \mathbf{z}_{k+k_p}^{j,i}) + \mathbf{B} \mathbf{E}(\gamma_{k-1+k_p}^{j,i}) \quad (22.7)$$

از آنجا که برداری با میانگین صفر و کواریانس  $\gamma_{k-1+k_p}^{j,i}$   $\mathbf{M} = \mathbf{E}(\gamma_{k-1+k_p}^{j,i} \gamma_{k-1+k_p}^{j,i T}) = \text{diag}(\sigma_{u_1}^2, \dots, \sigma_{u_m}^2)$  است، امید ریاضی رابطه فوق به صورت زیر ساده می‌شود:

$$\mathbf{E}(\Delta \mathbf{z}_{k+1+k_p}^{j,i}) = \mathbf{A} \mathbf{E}(\Delta \mathbf{z}_{k+k_p}^{j,i}) \quad (23.7)$$

همچنین، با تعریف  $\mathbf{E}(\Delta \mathbf{z}_{k+k_p}^{j,i}) = \Delta \bar{\mathbf{z}}_{k+k_p}^{j,i} = \bar{\mathbf{z}}_{k+k_p}^{j,i} - \bar{\mathbf{z}}_{k+k_p-1}^{j,i}$  و کواریانس دینامیک تغییرات خروجی به صورت  $\Delta \mathbf{P}_{k+k_p}^{j,i} = \mathbf{E}((\Delta \mathbf{z}_{k+k_p}^{j,i} - \Delta \bar{\mathbf{z}}_{k+k_p}^{j,i})^T (\Delta \mathbf{z}_{k+k_p}^{j,i} - \Delta \bar{\mathbf{z}}_{k+k_p}^{j,i}))$  کواریانس رابطه (۲۱.۷) به صورت زیر حاصل می‌شود:

$$\Delta \mathbf{P}_{k+1+k_p}^{j,i} = \mathbf{A}^T \Delta \mathbf{P}_{k+k_p}^{j,i} \mathbf{A} + \mathbf{B}^T \mathbf{M} \mathbf{B} \quad (24.7)$$

ماتریس کواریانس در اولین افق پیش‌بین ( $k_p = 1$ ) در حلقه تکرار  $i$  به صورت زیر حاصل می‌شود:

$$\Delta \mathbf{P}_{k+2}^{j,i} = \mathbf{A}^T \Delta \mathbf{P}_{k+1}^{j,i} \mathbf{A} + \mathbf{B}^T \mathbf{M} \mathbf{B} \quad (25.7)$$

ماتریس کواریانس در دومین افق پیش‌بین ( $k_p = 2$ ) در حلقه تکرار  $i$  به صورت زیر حاصل می‌شود:

$$\begin{aligned} \Delta \mathbf{P}_{k+3}^{j,i} &= \mathbf{A}^T \Delta \mathbf{P}_{k+2}^{j,i} \mathbf{A} + \mathbf{B}^T \mathbf{M} \mathbf{B} \\ &= (\mathbf{A}^2)^T \Delta \mathbf{P}_{k+1}^{j,i} (\mathbf{A}^2) + (\mathbf{A}^2 + \mathbf{A} + \mathbf{I})^T \mathbf{B}^T \mathbf{M} \mathbf{B} (\mathbf{A}^2 + \mathbf{A} + \mathbf{I}) \end{aligned} \quad (26.7)$$

با ادامه این روند و با در نظر گرفتن  $\Delta \mathbf{P}_{k+1}^{j,i}$  به عنوان تغییرات ماتریس کواریانس اولیه، ماتریس کواریانس در انتهای افق پیش‌بین ( $k_p = T_p$ ) در حلقه تکرار  $i$  به صورت زیر حاصل می‌شود:

$$\Delta \mathbf{P}_{k+1+T_p}^{j,i} = (\mathbf{A}^{T_p})^T \Delta \mathbf{P}_{k+1}^{j,i} (\mathbf{A}^{T_p}) + (\mathbf{A}^{T_p} + \mathbf{A}^{T_p-1} + \dots + \mathbf{A} + \mathbf{I})^T \mathbf{B}^T \mathbf{M} \mathbf{B} (\mathbf{A}^{T_p} + \mathbf{A}^{T_p-1} + \dots + \mathbf{A} + \mathbf{I}) \quad (27.7)$$

بر طبق رابطه (۲۳.۷)، در صورتیکه مقادیر ویژه ماتریس  $\mathbf{A}$  درون دایره واحد باشد ( $|\text{eig}(\mathbf{A})| < 1$ )؛ آنگاه امید ریاضی تغییرات خروجی  $\mathbf{E}(\Delta \mathbf{z}_{k+1+k_p}^{j,i})$  مدل پیش‌بین خطی به‌ازای افق پیش‌بین نامحدود پایدار مجانبی است. لذا، تغییرات خروجی مدل پیش‌بین به‌ازای افق پیش‌بین نامحدود به صفر میل می‌کند. در



نتیجه:

$$\lim_{k_p \rightarrow \infty} \mathbf{E}(\Delta \mathbf{z}_{k+1+k_p}^{j,i}) = \lim_{k_p \rightarrow \infty} \mathbf{E}(\mathbf{z}_{k+1+k_p}^{j,i} - \mathbf{z}_{k+k_p}^{j,i}) = 0 \rightarrow \lim_{k_p \rightarrow \infty} \mathbf{E}(\mathbf{z}_{k+1+k_p}^{j,i}) = \lim_{k_p \rightarrow \infty} \mathbf{E}(\mathbf{z}_{k+k_p}^{j,i}) \quad (28.7)$$

بنابراین، به‌ازای افق پیش‌بین نامحدود امید ریاضی خروجی پایدار و به مقدار ثابت میل خواهد کرد. به‌علاوه، تغییرات ماتریس کواریانس  $(\Delta \mathbf{P}_{k+1+T_p}^{j,i})$  بر طبق رابطه (۲۴.۷) از دو عبارت تشکیل شده است. بر مبنای قضیه کیلی-همیلتون [۱۷۲] مبنی بر صدق کردن هر ماتریس مربعی در معادله مشخصه خود، هر دو عبارت تغییرات ماتریس کواریانس کراندار است. بنابراین، تغییرات ماتریس کواریانس در چنین شرایطی در طول افق پیش‌بین نامحدود کراندار است؛ در نتیجه، ماتریس کواریانس  $\mathbf{P}_{k+1+T_p}^{j,i}$  به‌ازای افق پیش‌بین نامحدود کراندار است. بنابراین، هنگامیکه مقادیر ویژه ماتریس  $\mathbf{A}$  درون دایره واحد باشد؛ آنگاه رفتار پیش‌بینی شده سیستم دینامیکی پایدار است.

در مقابل، در صورتیکه مقادیر ویژه ماتریس  $\mathbf{A}$  خارج از دایره واحد باشد ( $|eig(\mathbf{A})| > 1$ )؛ آنگاه امید ریاضی تغییرات خروجی مدل پیش‌بین به‌ازای افق پیش‌بین نامحدود ناپایدار است. همچنین، ماتریس کواریانس در طول افق پیش‌بین نامحدود، کراندار و صعودی است. بنابراین، هنگامیکه مقادیر ویژه ماتریس  $\mathbf{A}$  خارج از دایره واحد باشد؛ آنگاه افق پیش‌بین باید محدود انتخاب شود تا رفتار پیش‌بینی شده سیستم دینامیکی پایدار باقی بماند.

### ۲.۳.۷ همگرایی ذرات به سمت بهترین ذره

به‌منظور اثبات همگرایی ذرات به سمت بهترین ذره، معادلات حرکت ذرات در الگوریتم کنترل کننده پیش‌بین غیرخطی گروهی ذرات به‌صورت زیر نوشته می‌شود:

$$\mathbf{v}_{k+k_p}^{j,i+1} = \mathbf{W} \mathbf{v}_{k+k_p}^{j,i} + \mathbf{C}_1 (\mathbf{p}_{k+k_p}^{j,i} - \mathbf{u}_{k+k_p}^{j,i}) + \mathbf{C}_2 (\mathbf{g}_{k+k_p}^i - \mathbf{u}_{k+k_p}^{j,i}) \quad (29.7)$$

$$\mathbf{u}_{k+k_p}^{j,i+1} = \mathbf{u}_{k+k_p}^{j,i} + \mathbf{v}_{k+k_p}^{j,i+1} \quad (30.7)$$

در رابطه فوق،  $\mathbf{W} = w \mathbf{I}_{m \times m}$ ،  $\mathbf{C}_1 = c_1 r_1 \mathbf{I}_{m \times m}$  و  $\mathbf{C}_2 = c_2 r_2 \mathbf{I}_{m \times m}$  هستند. با جایگزینی معادله (۲۹.۷) در معادله (۳۰.۷)، رابطه زیر حاصل می‌شود:

$$\mathbf{u}_{k+k_p}^{j,i+1} = \mathbf{u}_{k+k_p}^{j,i} + \mathbf{W}\mathbf{v}_{k+k_p}^{j,i} + \mathbf{C}_1(\mathbf{p}_{k+k_p}^{j,i} - \mathbf{u}_{k+k_p}^{j,i}) + \mathbf{C}_2(\mathbf{g}_{k+k_p}^i - \mathbf{u}_{k+k_p}^{j,i}) \quad (31.7)$$

در این صورت، براساس معادلات (31.7) و (29.7) مدل دینامیک ذرات به صورت زیر حاصل می‌شود:

$$\begin{bmatrix} \mathbf{u}_{k+k_p}^{j,i+1} \\ \mathbf{v}_{k+k_p}^{j,i+1} \end{bmatrix} = \begin{bmatrix} \mathbf{I}_{m \times m} - \mathbf{C}_1 - \mathbf{C}_2 & \mathbf{W} \\ -\mathbf{C}_1 - \mathbf{C}_2 & \mathbf{W} \end{bmatrix} \begin{bmatrix} \mathbf{u}_{k+k_p}^{j,i} \\ \mathbf{v}_{k+k_p}^{j,i} \end{bmatrix} + \begin{bmatrix} \mathbf{C}_1 & \mathbf{C}_2 \\ \mathbf{C}_1 & \mathbf{C}_2 \end{bmatrix} \begin{bmatrix} \mathbf{p}_{k+k_p}^{j,i} \\ \mathbf{g}_{k+k_p}^i \end{bmatrix} \quad (32.7)$$

به منظور بررسی همگرایی ذرات در کنترل کننده پیش‌بین غیرخطی گروهی ذرات، برای بهترین ذره خواهیم داشت:  $\mathbf{p}_{k+k_p}^{j,i} = \mathbf{g}_{k+k_p}^i$ . در نتیجه، معادله فوق برای بهترین ذره از بین تمام ذرات به صورت زیر بازنویسی می‌شود:

$$\begin{bmatrix} \mathbf{u}_{k+k_p}^{i+1} \\ \mathbf{v}_{k+k_p}^{i+1} \end{bmatrix} = \begin{bmatrix} \mathbf{I} - \mathbf{C}_1 - \mathbf{C}_2 & \mathbf{W} \\ -\mathbf{C}_1 - \mathbf{C}_2 & \mathbf{W} \end{bmatrix} \begin{bmatrix} \mathbf{u}_{k+k_p}^i \\ \mathbf{v}_{k+k_p}^i \end{bmatrix} + \begin{bmatrix} \mathbf{C}_1 + \mathbf{C}_2 \\ \mathbf{C}_1 + \mathbf{C}_2 \end{bmatrix} \mathbf{g}_{k+k_p}^i \quad (33.7)$$

با تعریف بردار متغیرهای حالت به صورت  $\mathbf{x}_{k+k_p}^i = [\mathbf{x}_1^i \quad \mathbf{x}_2^i]^T = [\mathbf{u}_{k+k_p}^i \quad \mathbf{v}_{k+k_p}^i]^T$  مدل فضای حالت دینامیک بهترین ذره در کنترل کننده پیش‌بین غیرخطی گروهی ذرات به صورت زیر حاصل می‌شود:

$$\mathbf{x}_{k+k_p}^{i+1} = \begin{bmatrix} \mathbf{I} - \mathbf{C}_1 - \mathbf{C}_2 & \mathbf{W} \\ -\mathbf{C}_1 - \mathbf{C}_2 & \mathbf{W} \end{bmatrix} \mathbf{x}_{k+k_p}^i + \begin{bmatrix} \mathbf{C}_1 + \mathbf{C}_2 \\ \mathbf{C}_1 + \mathbf{C}_2 \end{bmatrix} \mathbf{g}_{k+k_p}^i \quad (34.7)$$

در گام بعد، نقاط تعادل معادله دینامیکی فوق باید محاسبه شود. بر مبنای مرجع [۱۳۴]، نقاط تعادل یک سیستم گسسته زمان به صورت زیر محاسبه می‌شود:

$$\lim_{i \rightarrow i_{\max}} \mathbf{x}_{k+k_p}^{i+1} = \mathbf{x}_{k+k_p}^i \quad (35.7)$$

بنابراین، بر طبق معادلات (34.7) و (35.7)، دینامیک بهترین ذره دارای نقطه تعادل در  $\mathbf{x}_1^* = \mathbf{g}_{k+k_p}^i$  و  $\mathbf{x}_2^* = \mathbf{v}_{k+k_p}^i = \mathbf{0}$  است [۱۳۵]. لذا، تعریف زیر برقرار است:

**تعریف ۲۶:** حالت تعادل بهترین ذره در کنترل کننده پیش‌بین غیرخطی گروهی ذرات در  $\mathbf{x}_1^* = \mathbf{g}_{k+k_p}^i$  و  $\mathbf{x}_2^* = \mathbf{v}_{k+k_p}^i = \mathbf{0}$  قرار دارد.

بر اساس تعریف فوق، معادلات دینامیک خطای ذرات نسبت به حالت تعادل بهترین ذره، به صورت زیر نوشته می‌شود:

$$\boldsymbol{\varepsilon}_{k+k_p}^i = \begin{bmatrix} \boldsymbol{\varepsilon}_1^i \\ \boldsymbol{\varepsilon}_2^i \end{bmatrix} = \begin{bmatrix} \mathbf{X}_1^i - \mathbf{X}_1^* \\ \mathbf{X}_2^i - \mathbf{X}_2^* \end{bmatrix} = \begin{bmatrix} \mathbf{u}_{k+k_p}^i - \mathbf{g}_{k+k_p}^i \\ \mathbf{v}_{k+k_p}^i \end{bmatrix} \quad (36.7)$$

با جایگذاری معادله (۳۳.۷) در عبارت فوق، معادله زیر حاصل می‌شود:

$$\boldsymbol{\varepsilon}_{k+k_p}^{i+1} = \begin{bmatrix} \boldsymbol{\varepsilon}_1^{i+1} \\ \boldsymbol{\varepsilon}_2^{i+1} \end{bmatrix} = \begin{bmatrix} (\mathbf{I} - \mathbf{C}_1 - \mathbf{C}_2)(\mathbf{u}_{k+k_p}^i - \mathbf{g}_{k+k_p}^i) + \mathbf{W}\mathbf{v}_{k+k_p-1}^i \\ (-\mathbf{C}_1 - \mathbf{C}_2)(\mathbf{u}_{k+k_p}^i - \mathbf{g}_{k+k_p}^i) + \mathbf{W}\mathbf{v}_{k+k_p-1}^i \end{bmatrix} = \begin{bmatrix} (\mathbf{I} - \mathbf{C}_1 - \mathbf{C}_2)\boldsymbol{\varepsilon}_1^i + \mathbf{W}\boldsymbol{\varepsilon}_2^i \\ (-\mathbf{C}_1 - \mathbf{C}_2)\boldsymbol{\varepsilon}_1^i + \mathbf{W}\boldsymbol{\varepsilon}_2^i \end{bmatrix} \quad (37.7)$$

بنابراین، معادله دینامیک خطا در هر بعد، با تعریف  $\alpha = c_1 r_1 + c_2 r_2$  به صورت زیر بیان می‌شود:

$$\boldsymbol{\varepsilon}_{k+k_p}^{i+1} = \begin{bmatrix} (1-\alpha) & w \\ -\alpha & w \end{bmatrix} \boldsymbol{\varepsilon}_{k+k_p}^i \quad (38.7)$$

در نتیجه، معادله مشخصه عبارت فوق برای هر بعد به صورت زیر حاصل می‌شود:

$$|\lambda \mathbf{I} - \mathbf{A}| = 0 \rightarrow \begin{vmatrix} \lambda - 1 + \alpha & -w \\ \alpha & \lambda - w \end{vmatrix} = 0 \rightarrow \lambda^2 + (\alpha - 1 - w)\lambda + w = 0 \quad (39.7)$$

بر مبنای مرجع [۱۳۶]، در صورتیکه ریشه‌های معادله مشخصه فوق درون دایره واحد باشند ( $|\lambda_1| < 1$ ) و ( $|\lambda_2| < 1$ )؛ آنگاه معادله دینامیک خطای ذرات در هر بعد پایدار مجانبی است. این شرایط می‌تواند به صورت  $|\lambda_1 + \lambda_2| < 2$  و  $|\lambda_1 \lambda_2| < 1$  بیان شود. در نتیجه، معادله دینامیک خطا (رابطه (۳۸.۷)) پایدار مجانبی است؛ اگر

$$|\lambda_1 + \lambda_2| < 2 \rightarrow -2 < (\alpha - 1 - w) < 2 \rightarrow -1 < \alpha - w < 3 \quad (40.7)$$

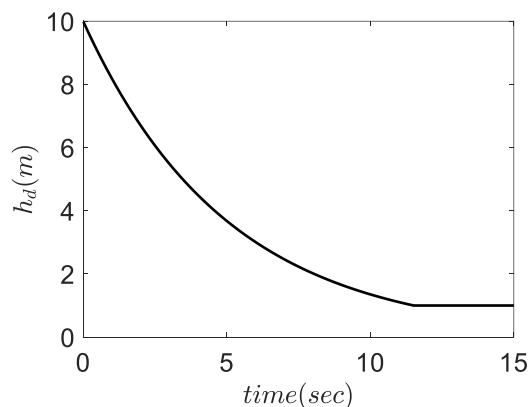
$$|\lambda_1 \lambda_2| < 1 \rightarrow |w| < 1 \rightarrow -1 < w < 1 \quad (41.7)$$

بنابراین، در صورتیکه شرایط فوق تضمین شود؛ آنگاه ذرات در هر گام زمانی به سمت نقطه تعادل بهترین ذره ( $\mathbf{X}_1^* = \mathbf{g}_{k+k_p}^i$  و  $\mathbf{X}_2^* = \mathbf{v}_{k+k_p}^i = \mathbf{0}$ )، یعنی نقاطی که تابع هزینه را به صورت عمومی کمینه می‌کند، همگرا می‌شوند. لذا، قضیه زیر برقرار است:

قضیه ۱۵ (شرط همگرایی کنترل کننده پیش‌بین غیرخطی گروهی ذرات): ذرات در کنترل کننده پیش‌بین غیرخطی گروهی ذرات در هر بعد به سمت بهترین فرامین کنترلی همگرا می‌شوند؛ اگر شرایط  $-1 < \alpha - w < 3$  و  $-1 < w < 1$  برقرار باشد. جاییکه  $\alpha = c_1 r_1 + c_2 r_2$  است.

#### ۴.۷ نتایج شبیه‌سازی

این بخش به بررسی نتایج شبیه‌سازی الگوریتم فرود خودکار کانال طولی پرنده بدون سرنشین در حضور کنترل کننده پیش‌بین غیرخطی مبتنی بر بهینه‌سازی گروهی ذرات و فیلتر چندمدلی ابتکاری می‌پردازد. به منظور عملکرد ایمن در مرحله فرود، پس از ورود پرنده به محدوده فرود، پرنده با کاهش ارتفاع به صورت نمایی به سطح زمین می‌رسد. شکل ۵.۷ ارتفاع مطلوب را برحسب زمان در مرحله فرود را نشان می‌دهد. ابتدا پایداری کنترل کننده پیش‌بین غیرخطی گروهی ذرات در مسئله فرود خودکار پرنده بدون سرنشین در بخش ۱.۴.۷ بررسی می‌شود. در مرحله بعد، در بخش ۲.۴.۷ به بررسی نتایج شبیه‌سازی فرود خودکار پرنده بدون سرنشین در حضور کنترل کننده پیش‌بین غیرخطی گروهی ذرات پرداخته می‌شود. سپس، در بخش ۳.۴.۷ پدیده باد در مدل دینامیکی سیستم شبیه‌سازی شده و اثر آن بر رفتار کنترل کننده پیش‌بین غیرخطی ابتکاری و فیلتر چندمدلی مشاهده می‌شود. در نهایت، در بخش ۴.۴.۷ پدیده باد در کنترل کننده پیش‌بین غیرخطی ابتکاری گروهی ذرات و فیلتر چندمدلی جبران می‌شود.



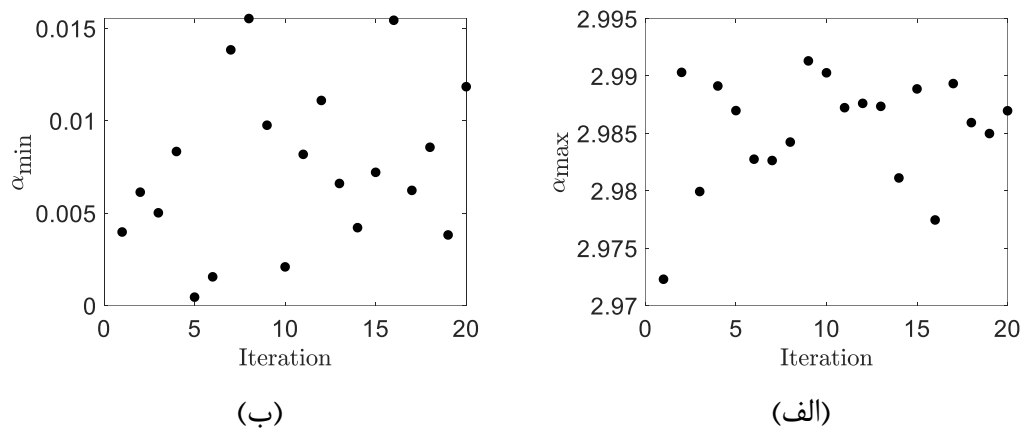
شکل ۵.۷ ارتفاع مطلوب برحسب زمان در مرحله فرود.

### ۱.۴.۷ تحلیل پایداری کنترل کننده پیش‌بین غیرخطی گروهی ذرات

در این پژوهش،  $w = 0.8$  انتخاب شده است. در نتیجه، اولین شرط قضیه ۱۵ به منظور اثبات پایداری کنترل کننده پیش‌بین غیرخطی گروهی ذرات ارضا می‌شود. همچنین، شرط دیگر این قضیه به صورت زیر بیان می‌شود:

$$-0.2 < \alpha < 3.8 \quad (۴۲.۷)$$

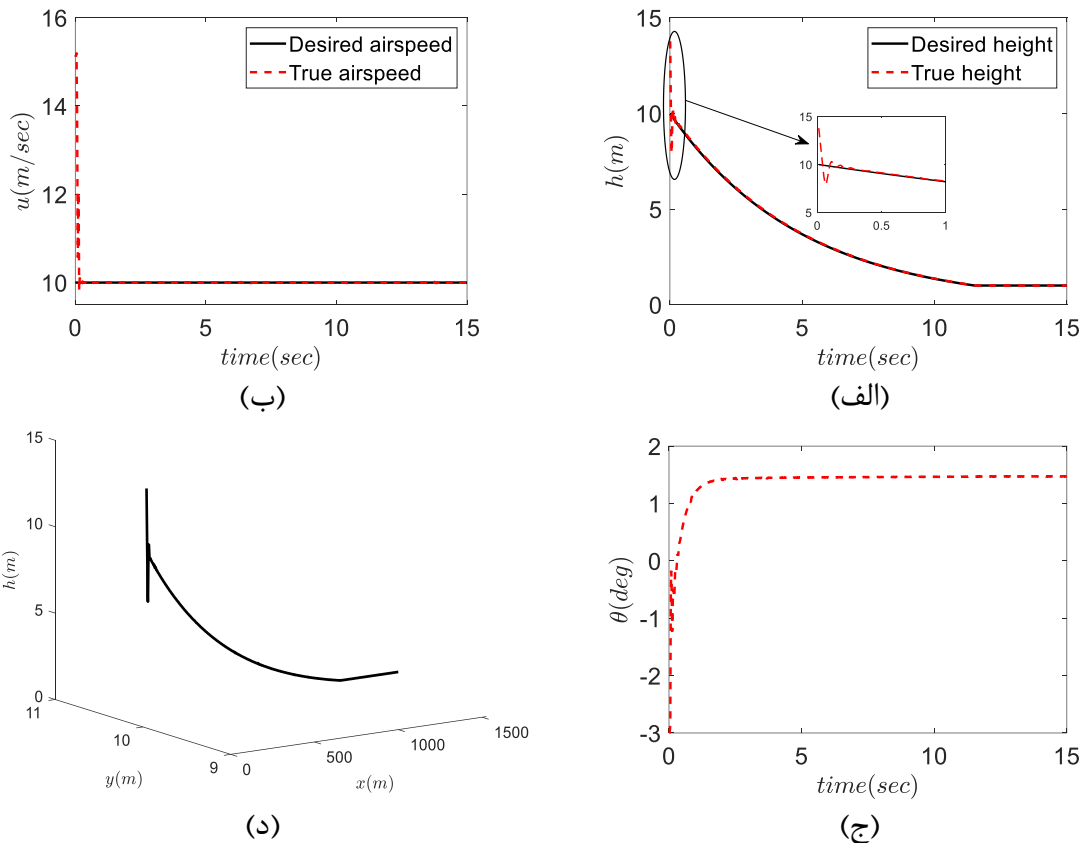
توجه کنیم که در حین اجرای الگوریتم پارامتر  $\alpha$  برای ذرات مختلف و در زمان‌های مختلف، متفاوت و با تکرار حلقه داخلی الگوریتم متغیر است. تغییرات مقدار کمینه و بیشینه پارامتر  $\alpha$  (در همه زمان‌ها و برای همه ذرات)، در سناریوی فرود در نظر گرفته شده، در شکل ۶.۷ نشان داده شده است. همانطور که مشاهده می‌شود، دومین شرط پایداری کنترل کننده برقرار است. بنابراین، ذرات به بهترین فرمان کنترلی در هر لحظه از زمان نمونه برداری همگرا خواهند شد.



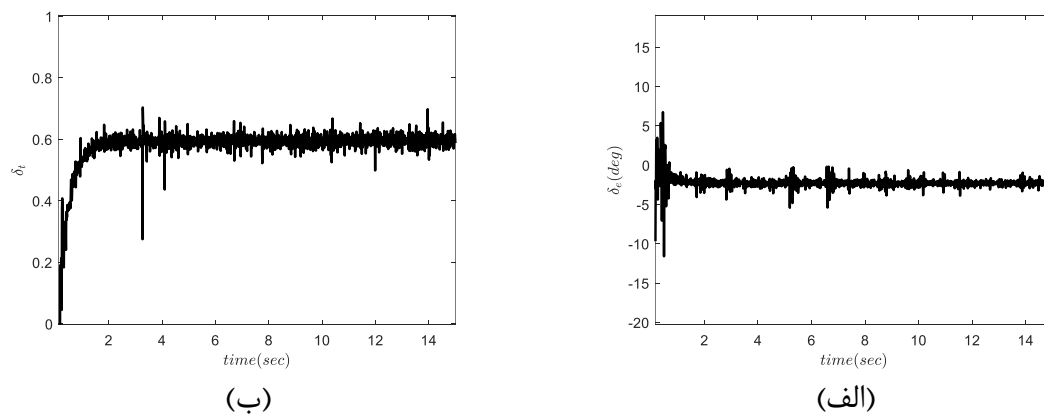
شکل ۶.۷ تغییرات  $\alpha$  بر حسب تعداد دفعات تکرار حلقه داخلی: (الف) بیشینه (ب) کمینه.

### ۲.۴.۷ شبیه‌سازی الگوریتم فرود

این بخش به شبیه‌سازی الگوریتم فرود در حضور کنترل کننده پیش‌بین غیرخطی گروهی ذرات می‌پردازد. عملکرد کنترل کننده در شکل ۷.۷ نشان داده شده است. شکل ۷.۷ (الف) و (ب) به ترتیب ارتفاع و سرعت طولی مطلوب را با مقادیر شبیه‌سازی شده مقایسه می‌کند. شکل ۷.۷ (ج) تاریخچه زمانی زاویه پیچ را نمایش می‌دهد. تاریخچه زمانی فرامین کنترلی در مرحله فرود در شکل ۸.۷ نشان داده شده است. نتایج شبیه‌سازی حاکی از کارایی مناسب کنترل کننده پیش‌بین غیرخطی گروهی ذرات به منظور ردگیری الگوریتم فرود است.



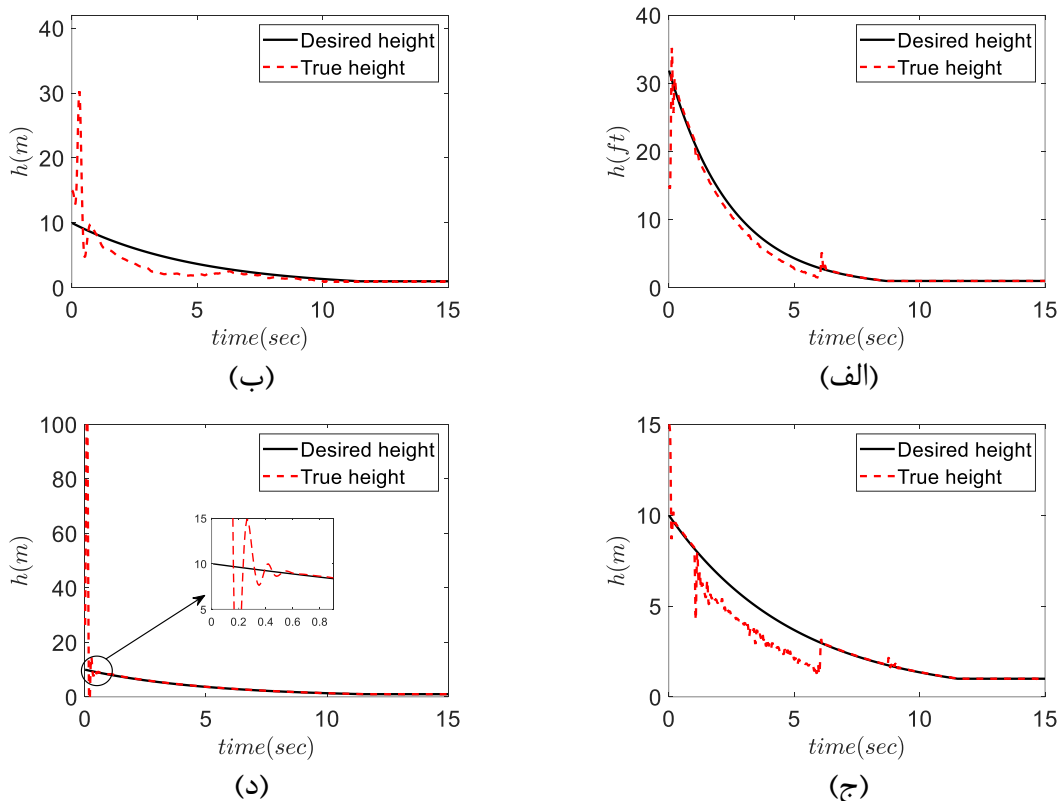
شکل ۷.۷ عملکرد کنترل کننده پیش‌بین غیرخطی گروهی ذرات در مرحله فرود الف) مقایسه ارتفاع مطلوب با مقدار شبیه‌سازی شده ب) مقایسه سرعت طولی مطلوب با مقدار شبیه‌سازی شده ج) زاویه پیچ پرنده د) مسیر فرود.



شکل ۸.۷ تاریخچه زمانی فرامین کنترلی در مرحله فرود الف) انحراف سطح کنترلی الویتور ب) انحراف ترائل.

### ۳.۴.۷ بررسی اثر باد بر عملکرد الگوریتم فرود

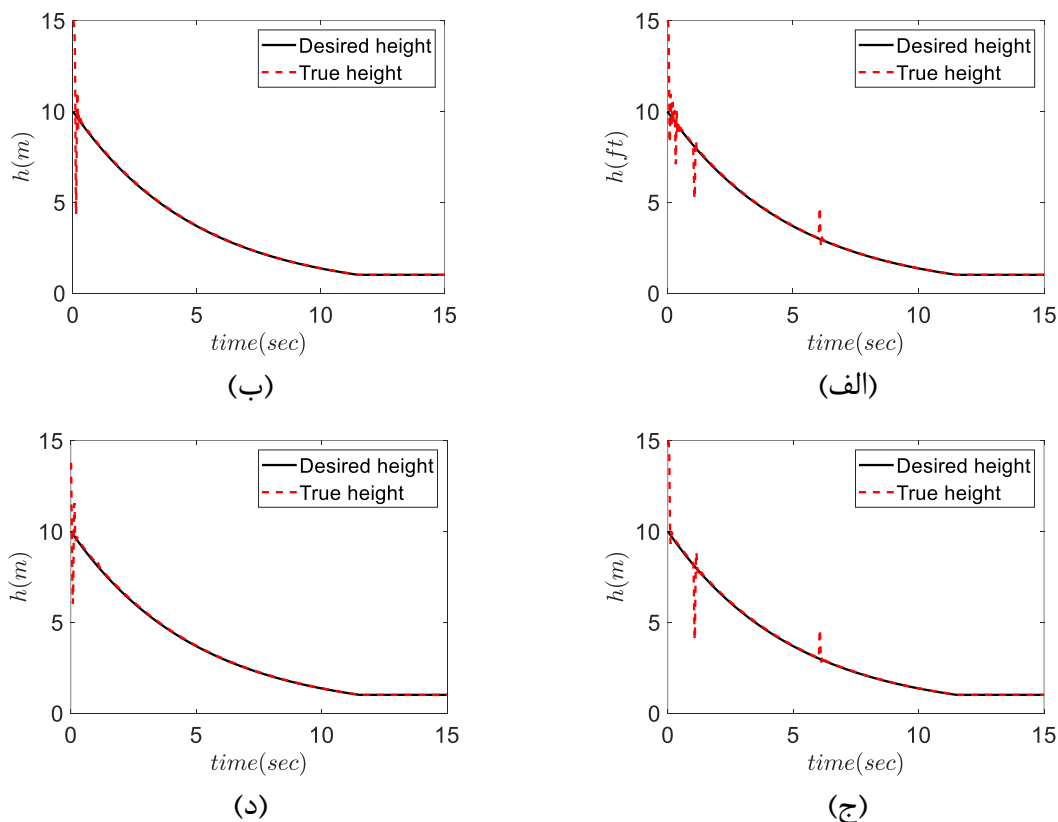
در این بخش، به بررسی اثر باد بر عملکرد الگوریتم فرود خودکار پرنده بدون سرنشین پرداخته می‌شود. به این منظور، چند پدیده باد معین در مدل دینامیکی سیستم شبیه‌سازی شده و اثر آن بر رفتار کنترل کننده و تخمین گر بررسی می‌شود. در این حالت، مولفه‌های سرعت باد شامل بادهای ثابت، "1-cosine" برشی و مایکروبرست به کانال طولی پرنده اعمال می‌شود. همچنین، شکل ۹.۷ به مقایسه ارتفاع مطلوب با ارتفاع شبیه‌سازی شده در مرحله فرود تحت تاثیر پدیده باد در حضور کنترل کننده پیش‌بین غیرخطی گروهی ذرات و فیلتر چندمدلی ابتکاری می‌پردازد. لازم به ذکر است که مدل باد از ثانیه ۱ تا ثانیه ۶ به پرنده اعمال می‌شود و قبل و بعد از آن باد صفر در نظر گرفته شده است. پارامترهای هر یک از مدل‌های باد در جدول ۱.۷ نشان داده شده است. نتایج شبیه‌سازی حاکی از عملکرد نامناسب کنترل کننده در حضور باد است. لذا، باید باد در کنترل کننده پیش‌بین غیرخطی گروهی ذرات جبران شود.



شکل ۹.۷ بررسی عملکرد کنترل کننده پیش‌بین غیرخطی گروهی ذرات در حضور پدیده باد و در مرحله فرود الف) باد ثابت ب) باد "1-cosine" ج) باد برشی د) مایکروبرست.

## ۴.۴.۷ جبران اثر باد

در این بخش به بررسی جبران اثر باد بر عملکرد الگوریتم فرود خودکار پرداخته می‌شود. به این منظور، اثر باد در مدل سیستم شبیه‌سازی شده و سپس در روابط کنترل کننده نیز جبران می‌شود. در این حالت، مولفه‌های سرعت باد شامل بادهای ثابت، سینوسی، برشی و مایکروپرست به کانال طولی پرنده اعمال می‌شود. شکل ۱۰.۷، ارتفاع مطلوب را با ارتفاع شبیه‌سازی شده، با در نظر گرفتن پدیده باد در مدل سیستم و جبران آن در کنترل کننده مقایسه می‌کند. شکل ۱۰.۷ (الف)، (ب)، (ج) و (د)، به ترتیب عملکرد کنترل کننده را در حضور بادهای ثابت، "1-cosine"، برشی و مایکروپرست نشان می‌دهد. همچنین، تاریخچه زمانی انحراف سطح کنترلی الویتور در مرحله فرود در شکل ۱۱.۷ نشان داده شده است. از آنجا که، پدیده باد در کنترل کننده و فیلتر جبران شده است؛ نتایج شبیه‌سازی حاکی از عملکرد مناسب کنترل کننده و فیلتر در حضور باد است.

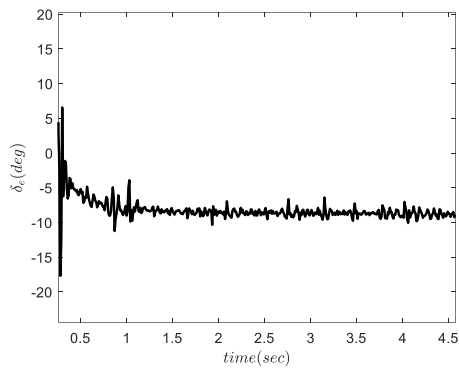


شکل ۱۰.۷ بررسی عملکرد کنترل کننده پیش‌بین غیرخطی گروهی ذرات با جبران پدیده باد در مرحله فرود الف) باد ثابت ب) باد "1-cosine" ج) باد برشی د) مایکروپرست.

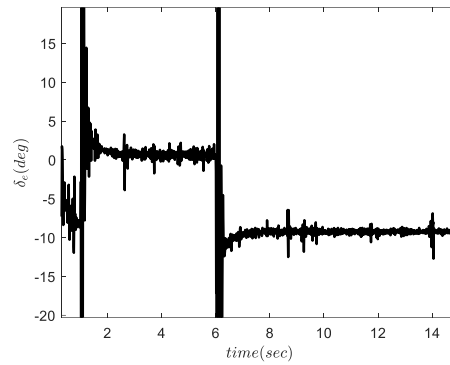


جدول ۱.۷ پارامترهای مدل باد.

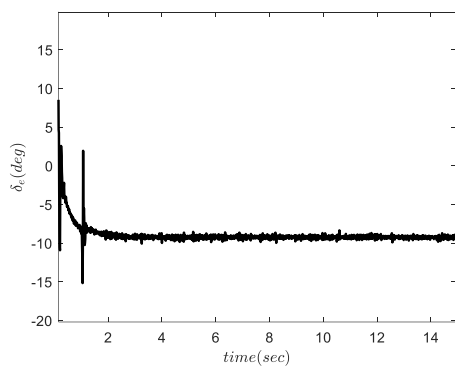
نوع باد	پارامتر	واحد	مقدار	نوع باد	پارامتر	واحد	مقدار
ثابت	$u_g^N$	m/s	۵۰	"1-cosine"	$u_m=W_m$	m/s	۵
	$w_g^N$	m/s	۴۰		$d_x=d_z$	m	۵۰۰
باد برشی	$w_{20}$	m/s	۲۰	مایکروبرست	$h_{max}$	m	۳۹۴
	$\psi_w$	deg	0		$r_{max}$	m	۳۶۷۸/۵
					$u_{max}$	m/s	۹۸/۴



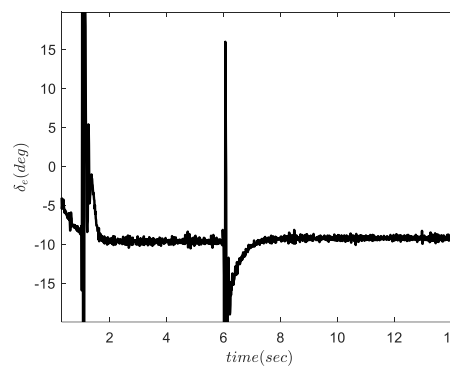
(ب)



(الف)



(د)



(ج)

شکل ۱۱.۷ تاریخچه زمانی انحراف سطح کنترلی الویتور در مرحله فرود الف) باد ثابت ب) باد-1 "cosine ج) باد برشی د) مایکروبرست.

## ۵.۷ نتیجه‌گیری

در این فصل، نتایج شبیه‌سازی الگوریتم فرود خودکار پرنده بدون سرنشین در حضور کنترل کننده پیش‌بین ابتکاری و فیلتر چندمدلی بررسی شد. به این منظور، ابتدا روند طراحی کنترل کننده پیش‌بین ابتکاری غیرخطی گروهی ذرات معرفی شد. سپس، پایداری کنترل کننده پیش‌بین غیرخطی اثبات شد. در نهایت، علاوه بر نتایج مربوط به شبیه‌سازی پدیده باد در مدل سیستم و تاثیر آن بر عملکرد فیلتر و کنترل کننده، نتایج مربوط به جبران پدیده باد در کنترل کننده مشاهده شد.

## ۸ پیاده‌سازی فیلترهای چندمدلی و کنترل‌کننده

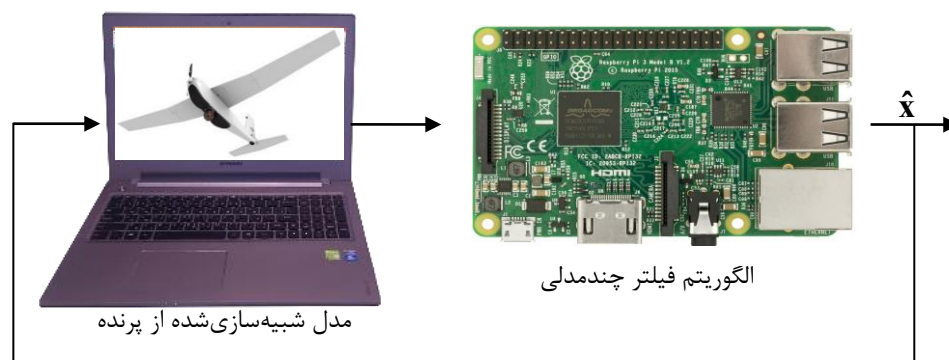
در این فصل، نحوه شبیه‌سازی سخت‌افزار در حلقه (HIL) فیلترهای چندمدلی و شبیه‌سازی پردازشگر در حلقه (PIL) کنترل‌کننده پیش‌بین بیان می‌شود. جایگاه شبیه‌سازی سخت‌افزار در حلقه و پردازشگر در حلقه در طراحی مبتنی بر مدل در پیوست "ص" توضیح داده شده‌است. به این منظور، ابتدا نحوه شبیه‌سازی سخت‌افزار در حلقه فیلترهای چندمدلی در بخش ۱.۸ توضیح داده می‌شود. سپس، نحوه پیاده‌سازی کنترل‌کننده پیش‌بین مبتنی بر روش شبیه‌سازی پردازنده در حلقه در بخش ۲.۸ بیان می‌شود.

### ۱.۸ شبیه‌سازی سخت‌افزار در حلقه فیلترهای چندمدلی

شبیه‌سازی سخت‌افزار در حلقه (HIL) به منظور ارزیابی زمان حقیقی سخت‌افزار واقعی قبل از تست نهایی استفاده می‌شود [۱۳۷]. در این بخش، به منظور شبیه‌سازی سخت‌افزار در حلقه، پردازشگر به مدل شبیه‌سازی شده پرنده بدون سرنشین در رایانه متصل است. در این صورت، ابتدا خروجی‌های مدل شبیه‌سازی پرنده بدون سرنشین در هر لحظه از زمان نمونه‌برداری از طریق پروتکل سریال یا پروتکل شبکه به پردازشگر ارسال می‌شود. سپس، با دریافت خروجی‌های پرنده، مولفه‌های باد و متغیرهای پرنده بدون سرنشین توسط پردازشگر تخمین‌زده می‌شود. در نهایت، داده‌های تخمین‌زده شده، به منظور نمایش، از پردازشگر به رایانه ارسال می‌شود [۱۳۸]. ساختار شبیه‌سازی سخت‌افزار در حلقه فیلتر چندمدلی پدیده باد در شکل ۱.۸ نشان داده شده‌است.

در این بخش، نحوه شبیه‌سازی سخت‌افزار در حلقه فیلترهای چندمدلی پدیده باد بیان می‌شود. به این منظور، ابتدا نحوه شبیه‌سازی سخت‌افزار در حلقه فیلتر چندمدلی پدیده باد مبتنی بر فیلتر چندمدلی کالمن توسعه‌یافته در بخش ۱.۱.۸ توضیح داده می‌شود. سپس، در بخش ۲.۱.۸ نحوه شبیه‌سازی سخت‌افزار در حلقه فیلتر چندمدلی ابتکاری بیان می‌شود.

<sup>1</sup> Processor In the Loop



شکل ۱.۸ شبیه‌سازی سخت‌افزار در حلقه فیلتر چندمدلی پدیده باد.

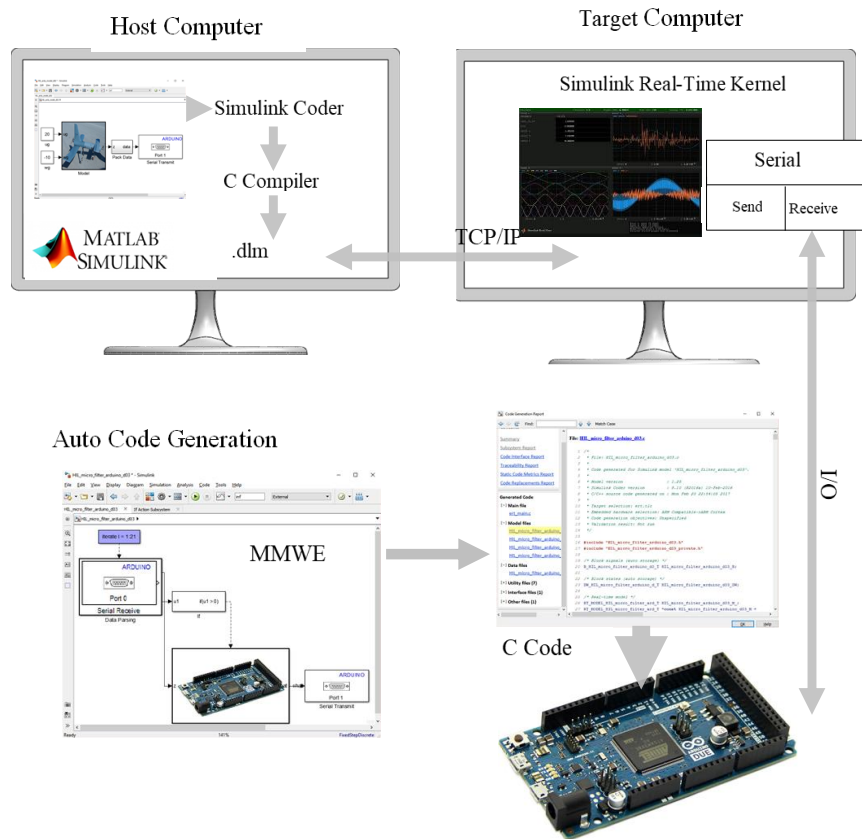
### ۱.۱.۸ فیلتر چندمدلی کاملن توسعه یافته

در این بخش، به اعتبارسنجی کد فیلتر چندمدلی پدیده باد مبتنی بر فیلتر چندمدلی کاملن توسعه یافته (MMWE) بر روی میکروکنترلر با انجام شبیه‌سازی سخت‌افزار در حلقه پرداخته می‌شود. به این منظور، شرایط ابتدایی و پارامترهای فیلتر در شبیه‌سازی سخت‌افزار در حلقه مشابه با شبیه‌سازی نرم‌افزاری در نظر گرفته شده است. جزییات شبیه‌سازی سخت‌افزار در حلقه در شکل ۲.۸ نشان داده شده است.

به منظور پیاده‌سازی شبیه‌سازی سخت‌افزار در حلقه از دو ابزار زمان حقیقی - Simulink Real Time [۱۳۹] و تولید خودکار کد [۱۴۰] استفاده می‌شود. ابزار زمان حقیقی Simulink Real Time به اجرای زمان حقیقی مدل شبیه‌سازی شده پرنده بدون سرنشین، که در محیط سیمولینک ایجاد شده است، با استفاده از یک رایانه میزبان و یک رایانه هدف می‌پردازد. همچنین، الگوریتم فیلتر چندمدلی در ابزار زمان حقیقی تولید خودکار کد به کد C تبدیل شده و سپس بر روی سخت‌افزار هدف (برد آردوینو) با استفاده از Simulink Coder پیاده‌سازی می‌شود.

به منظور شبیه‌سازی سخت‌افزار در حلقه فیلتر چندمدلی پدیده باد، ابتدا مدل شبیه‌سازی شده پرنده با رابط‌های ورودی و خروجی در رایانه میزبان تولید می‌شود. سپس، این مدل با استفاده از Simulink Coder به کد C ترجمه می‌شود. در گام بعد، کد C ترجمه شده از طریق اتصال شبکه TCP/IP بر روی رایانه هدف پیاده‌سازی می‌شود. رایانه هدف از طریق پورت سریال به سخت‌افزار هدف متصل شده تا خروجی‌های تولیدی از مدل شبیه‌سازی پرنده را به سخت‌افزار هدف (برد آردوینو) ارسال کند. خروجی‌های پرنده، که از نوع double است، به منظور ارسال به میکروکنترلر در ۸ بایت (نوع uint8) بسته‌بندی می‌شود. علاوه بر داده اصلی، سه داده از نوع uint8 به عنوان هدر به منظور اطمینان از صحت

اطلاعات داده‌های دریافتی در میکروکنترلر ارسال می‌شود. سخت‌افزار هدف با دریافت خروجی‌های پرنده، مدل باد و متغیرهای حالت پرنده را تخمین می‌زند. سپس خروجی‌های تخمین‌زده را به رایانه هدف برای نمایش زمان حقیقی ارسال می‌کند.



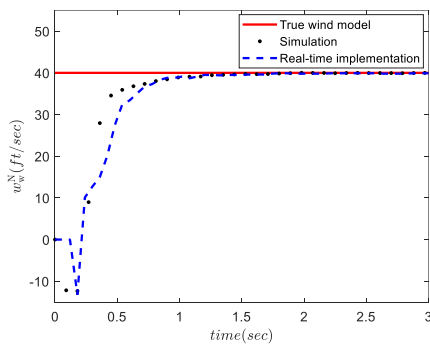
شکل ۲.۸ ساختار شبیه‌سازی سخت‌افزار در حلقه فیلتر چندمدلی پدیده باد با استفاده از ابزارهای زمان حقیقی Simulink Real-Time و تولید خودکار کد.



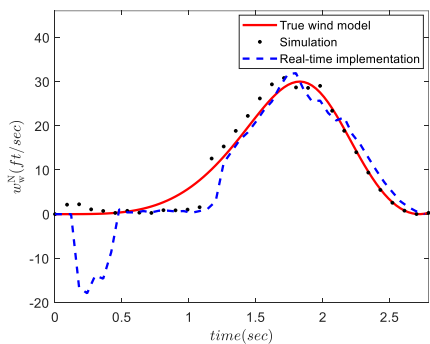
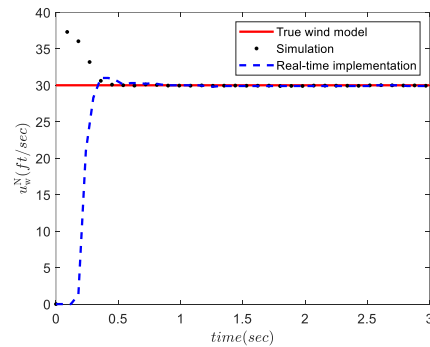
شکل ۳.۸ پیاده‌سازی زمان حقیقی فیلتر چندمدلی کالمن توسعه یافته به منظور تخمین مدل باد.

علیرضا شریفی، "توسعه و پیاده‌سازی فیلترهای چندمدلی در فرود خودکار پرنده بدون سرنشین جهت شناسایی برخط و جبران‌سازی اغتشاشات اتمسفری"، رساله دکتری، استاد راهنما: دکتر هادی نوبهاری، دانشگاه صنعتی شریف، دانشکده مهندسی هوافضا، تابستان ۱۳۹۹

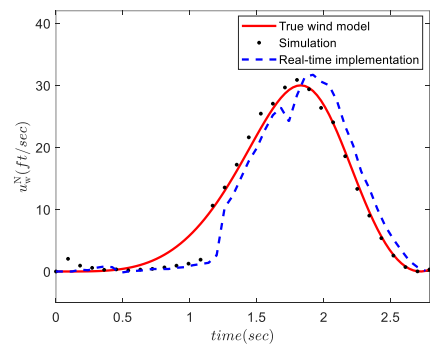
نتایج شبیه‌سازی سخت‌افزار در حلقه (HIL) فیلتر چندمدلی کالمن توسعه‌یافته در شکل ۳.۸ نشان داده شده‌است. اعتبارسنجی شبیه‌سازی سخت‌افزار در حلقه در تخمین مدل باد در شکل ۴.۸ نشان داده شده‌است. نتایج شبیه‌سازی و نتایج پیاده‌سازی زمان حقیقی به‌منظور تخمین مدل باد ثابت در شکل ۴.۸ (الف) مقایسه شده‌است. همچنین، نتایج شبیه‌سازی نرم‌افزاری و نتایج شبیه‌سازی سخت‌افزار در حلقه به‌منظور تخمین مدل باد "1-cosine" در شکل ۴.۸ (ب) مقایسه شده‌است. شکل ۴.۸ (ج) و شکل ۴.۸ (د) به ترتیب نتایج شبیه‌سازی نرم‌افزاری و نتایج شبیه‌سازی سخت‌افزار در حلقه مرتبط با باد برشی و مایکروبرست را نشان می‌دهد. اختلافات بین نتایج شبیه‌سازی سخت‌افزار در حلقه و نتایج نرم‌افزاری می‌تواند ناشی از مشکلات عملی همچون کاهش دقت داده‌های خروجی پرنده با تبدیل به uint8، دست‌رفتن داده‌ها در میکروکنترلر و تاخیر داده‌های دریافتی شود.

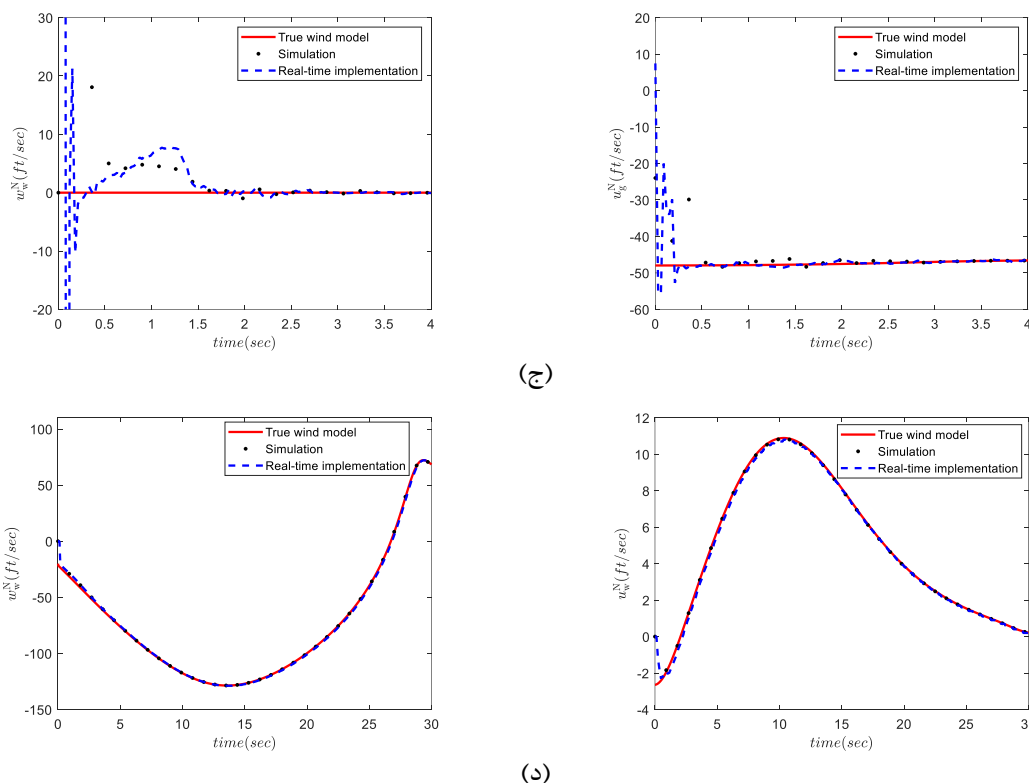


(الف)



(ب)





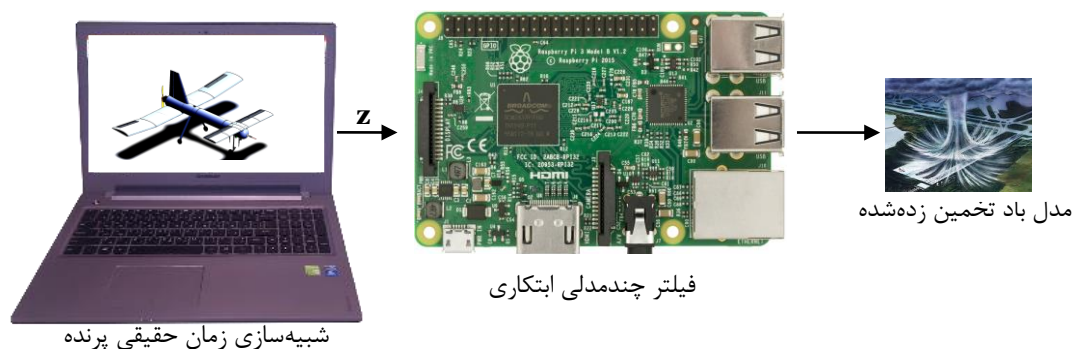
شکل ۴.۸ مقایسه نتایج شبیه‌سازی سخت‌افزار در حلقه و نرم‌افزاری فیلتر چندمدلی کالمن توسعه یافته در تخمین مدل باد: الف) باد ثابت ب) باد "1-cosine" ج) باد برشی د) مایکروبرست.

#### ۲.۱.۸ فیلتر چندمدلی ابتکاری توسعه یافته پیوسته توده‌های مورچه‌ها

این بخش به اعتبارسنجی عملکرد سخت‌افزار فیلتر چندمدلی ابتکاری توسعه یافته پیوسته توده‌های مورچه‌ها (MMECACF) با استفاده از شبیه‌سازی سخت‌افزار در حلقه می‌پردازد. به این منظور، الگوریتم فیلتر چندمدلی بر روی یک پردازنده، که به مدل شبیه‌سازی شده پرنده بدون سرنشین در رایانه متصل است، مطابق با شکل ۵.۸ پیاده‌سازی می‌شود. شرایط ابتدایی و پارامترهای فیلتر در شبیه‌سازی سخت‌افزار در حلقه مشابه با شبیه‌سازی نرم‌افزاری در نظر گرفته شده است.

به منظور پیاده‌سازی شبیه‌سازی زمان حقیقی سخت‌افزار در حلقه از دو ابزار زمان حقیقی Simulink Desktop Real-Time [۱۴۱] و تولید خودکار کد استفاده می‌شود. ابزار زمان حقیقی Simulink Desktop Real Time به اجرای زمان حقیقی مدل شبیه‌سازی شده پرنده بدون سرنشین، که در محیط سیمولینک ایجاد شده است، با استفاده از یک رایانه میزبان و یک رایانه هدف می‌پردازد. همچنین،

الگوریتم فیلتر چندمدلی در ابزار زمان حقیقی تولید خودکار کد به کد C تبدیل شده و سپس بر روی سخت‌افزار هدف با استفاده از Coder Simulink پیاده‌سازی می‌شود. جزئیات شبیه‌سازی سخت‌افزار در حلقه فیلتر چندمدلی ابتکاری توسعه‌یافته پیوسته تودهای مورچه‌ها (MMECACF) در شکل ۶.۸ نشان داده شده‌است.



#### شکل ۵.۸ شبیه‌سازی سخت‌افزار در حلقه به‌منظور اعتبارسنجی فیلتر چندمدلی ابتکاری.

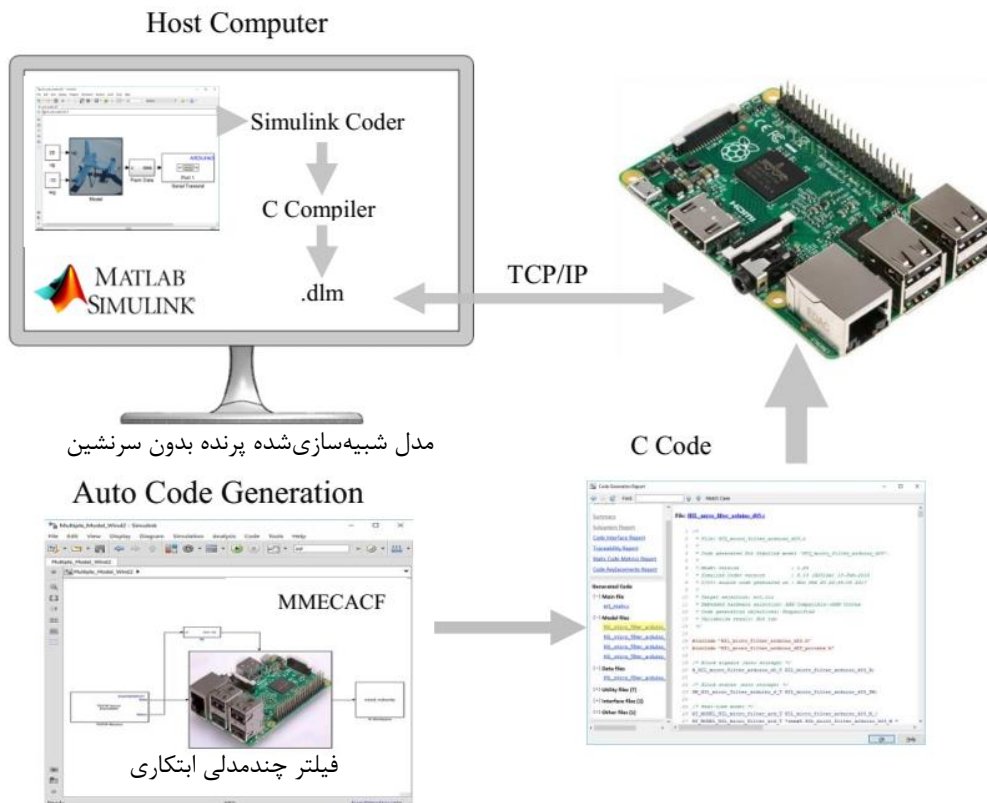
ابتدا مدل شبیه‌سازی شده پرنده بدون سرنشین با استفاده از Simulink Coder به کد C ترجمه شده تا در یک رایانه زمان حقیقی اجرا شود. در گام بعد، کد C ترجمه‌شده از طریق اتصال شبکه TCP/IP بر روی پردازنده پیاده‌سازی می‌شود. رایانه هدف از طریق اتصال شبکه TCP/IP خروجی‌های تولید شده از مدل شبیه‌سازی پرنده بدون سرنشین را به سخت‌افزار هدف (ریزپردازنده Raspberry pi) ارسال می‌کند. سخت‌افزار هدف با دریافت خروجی‌های پرنده بدون سرنشین، مدل باد و متغیرهای حالت پرنده را تخمین می‌زند. سپس، خروجی‌های تخمین را به رایانه هدف برای نمایش زمان حقیقی ارسال می‌کند.

پیاده‌سازی زمان حقیقی فیلتر چندمدلی ابتکاری توسعه‌یافته پیوسته تودهای مورچه‌ها (MMECACF) در شکل ۷.۸ نشان داده شده‌است. اعتبارسنجی شبیه‌سازی سخت‌افزار در حلقه به‌منظور تخمین مدل باد در شکل ۸.۸ نشان داده شده‌است. شکل ۸.۸ (الف) نتایج شبیه‌سازی نرم‌افزاری و نتایج پیاده‌سازی زمان حقیقی را در تخمین مدل باد ثابت مقایسه می‌کند. نتایج شبیه‌سازی نرم‌افزاری و نتایج شبیه‌سازی سخت‌افزار در حلقه به‌منظور تخمین مدل باد "1-cosine" در شکل ۸.۸ (ب)

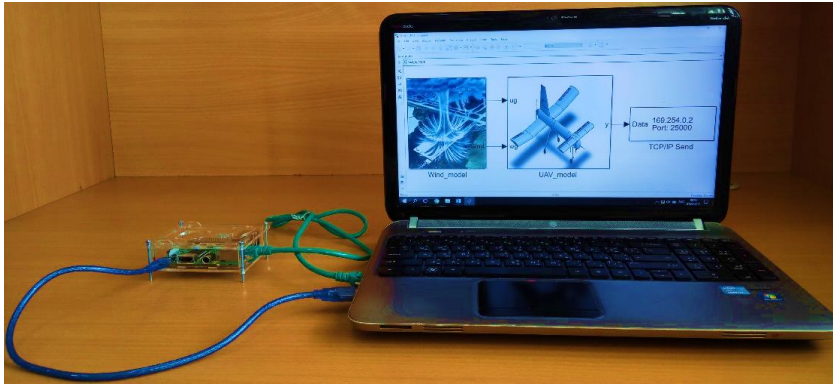


مقایسه شده‌است. شکل ۸.۸ (ج) و شکل ۸.۸ (د) به ترتیب نتایج حاصل از باد برشی و نتایج حاصل از مایکروبرست را نشان می‌دهد.

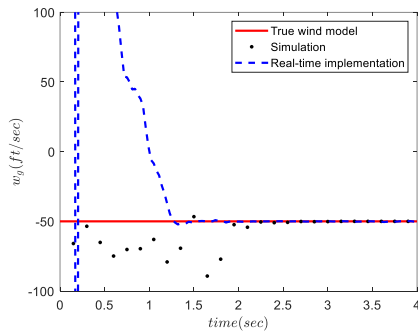
نتایج نشان می‌دهد که الگوریتم MMECACF می‌تواند به صورت موفقیت‌آمیز بر روی یک ریزپردازنده پیاده‌سازی شود. همچنین، وجود اختلافات ناچیز بین نتایج آزمایشگاهی ناشی از شبیه‌سازی سخت‌افزار در حلقه و نتایج نرم‌افزاری می‌تواند ناشی از مشکلات عملی همچون تاخیر داده‌های دریافتی، طبیعت تصادفی نویز از یک آزمایش به آزمایش دیگر و غیره باشد. نتایج پیاده‌سازی نشان می‌دهد که بهتر است شروع استفاده از نتایج فیلترهای تخمین باد حداقل یک ثانیه دیرتر از آغاز به کار فیلتر باشد.



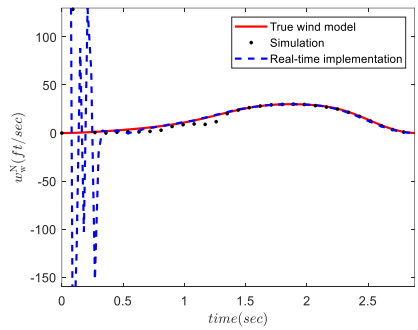
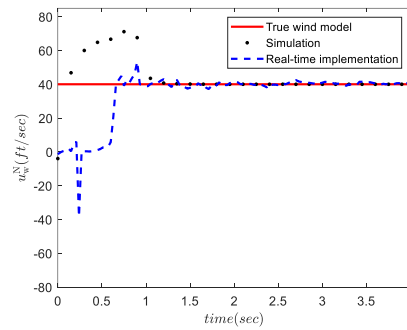
شکل ۶.۸ ساختار شبیه‌سازی سخت‌افزار در حلقه فیلتر چندمدلی ابتکاری با استفاده از ابزارهای زمان حقیقی Simulink Desktop Real-Time و تولید خودکار کد.



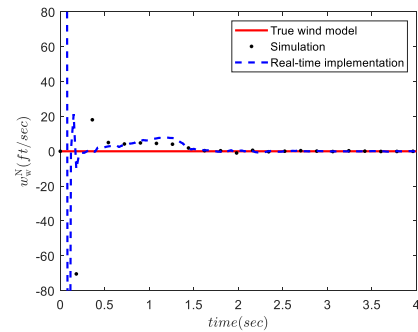
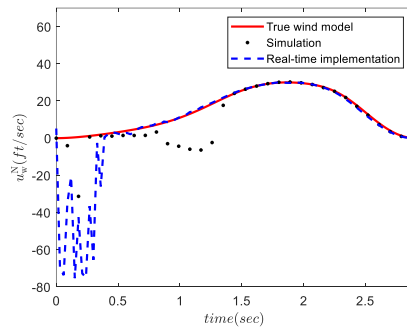
شکل ۷.۸ پیاده‌سازی زمان حقیقی فیلتر چندمدلی ابتکاری.



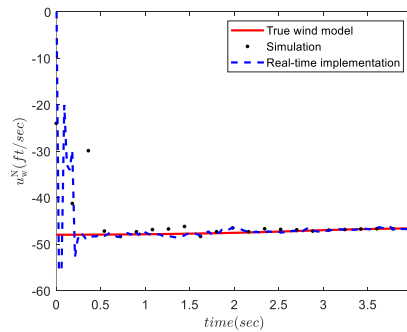
(الف)



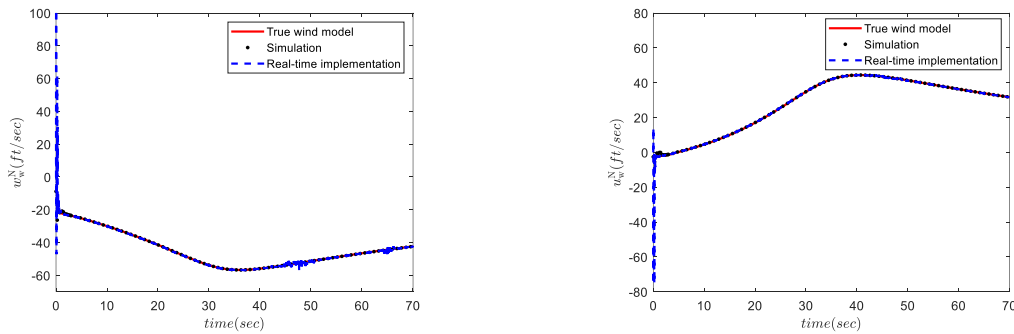
(ب)



(ج)



علیرضا شریفی، "توسعه و پیاده‌سازی فیلترهای چندمدلی در فرود خودکار پرنده بدون سرنشین جهت شناسایی برخط و جبران‌سازی اغتشاشات اتمسفری"، رساله دکتری، استاد راهنما: دکتر هادی نوبهاری، دانشگاه صنعتی شریف، دانشکده مهندسی هوافضا، تابستان ۱۳۹۹



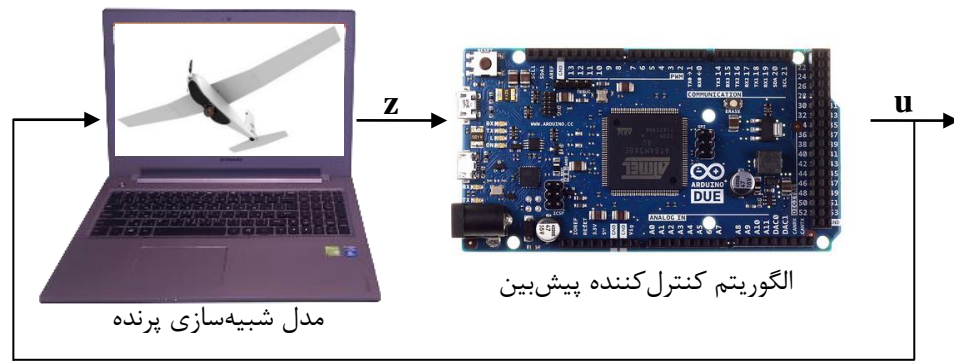
(د)

شکل ۸.۸ مقایسه نتایج شبیه‌سازی سخت‌افزار در حلقه و شبیه‌سازی نرم‌افزاری فیلتر چندمدلی ابتکاری در تخمین مدل باد: الف) باد ثابت ب) باد "1-cosine" ج) باد برشی د) مایکروبرست.

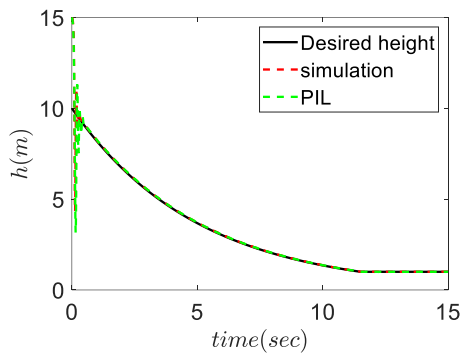
## ۲.۸ شبیه‌سازی پردازشگر در حلقه کنترل‌کننده پیش‌بین

یکی از معایب کنترل‌کننده پیش‌بین حجم محاسبات آن است. از این‌رو، لازم است قابلیت پیاده‌سازی مسئله بهینه‌سازی در کنترل‌کننده بررسی شود. در این بخش، شبیه‌سازی پردازشگر در حلقه (PIL) [۱۴۲] به‌منظور اعتبارسنجی کد کنترل‌کننده پیش‌بین بر روی یک پردازشگر، که به مدل شبیه‌سازی پرنده موجود در رایانه متصل است، انجام می‌شود. شرایط اولیه و پارامترهای کنترل‌کننده پیش‌بین مشابه با شبیه‌سازی نرم‌افزاری است. ساختار شبیه‌سازی پردازشگر در حلقه در شکل ۹.۸ نشان داده شده‌است.

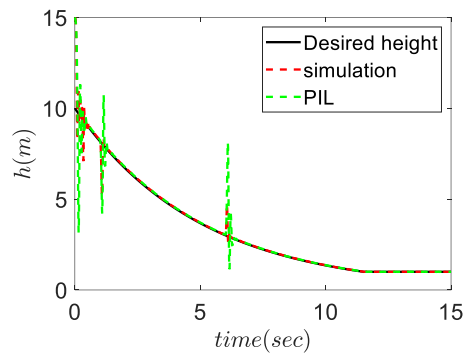
رایانه به‌منظور ارسال خروجی‌های مدل شبیه‌سازی پرنده به پردازشگر از طریق لینک سریال متصل می‌شود. سپس، پردازشگر با دریافت خروجی‌های پرنده، فرامین کنترلی را تولید و به‌منظور اعمال به دینامیک شبیه‌سازی شده پرنده، به رایانه ارسال می‌کند. نتایج شبیه‌سازی پردازشگر در حلقه به‌منظور فرود خودکار پرنده با جبران پدیده باد در حضور کنترل‌کننده پیش‌بین غیرخطی گروهی ذرات در شکل ۱۰.۸ نشان داده شده‌است. نتایج حاکی از پیاده‌سازی موفق کنترل‌کننده بر روی پردازشگر است.



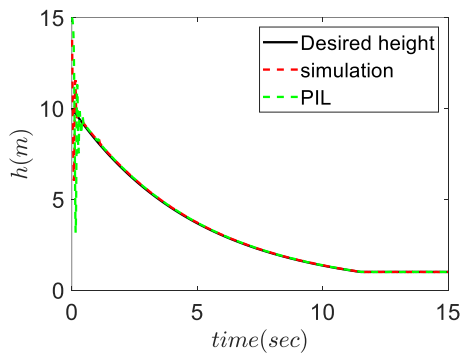
شکل ۹.۸ شبیه‌سازی پردازشگر در حلقه کنترل‌کننده پیش‌بین.



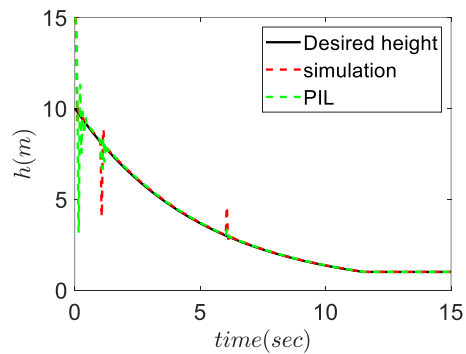
(ب)



(الف)



(د)



(ج)

شکل ۱۰.۸ نتایج شبیه‌سازی پردازشگر در حلقه به‌منظور تولید فرمان کنترل‌کننده با جبران پدیده

باد (الف) باد ثابت (ب) باد سینوسی (ج) باد برشی (د) مایکروبرست.

### ۳.۸ نتیجه‌گیری

در این فصل، نحوه شبیه‌سازی سخت‌افزار در حلقه فیلترهای چندمدلی و شبیه‌سازی پروسسور در حلقه کنترل‌کننده پیش‌بین بیان شد. به این منظور، ابتدا نحوه شبیه‌سازی سخت‌افزار در حلقه فیلترهای چندمدلی توضیح داده شد. شبیه‌سازی سخت‌افزار در حلقه توانایی پیاده‌سازی زمان حقیقی فیلترهای چندمدلی را صحت‌سنجی کرد. در گام بعد، نحوه پیاده‌سازی کنترل‌کننده پیش‌بین مبتنی بر روش شبیه‌سازی پروسسور در حلقه بیان شد. شبیه‌سازی پردازشگر در حلقه قابلیت پیاده‌سازی کنترل‌کننده پیش‌بین غیرخطی ابتکاری را تایید کرد.

## ۹ جمع‌بندی و نتیجه‌گیری

در پژوهشی که از نظر گذشت، یک تخمین‌گر چندمدلی پدیده باد شامل یک فیلتر چندمدلی استاتیکی مبتنی بر فیلتر کالمن توسعه‌یافته و یک فیلتر چندمدلی ابتکاری جدید، که فیلتر چندمدلی ابتکاری توسعه‌یافته پیوسته توده‌ای مورچه‌ها نامیده شد، به‌منظور شناسایی نوع مدل باد، پارامترهای آن و نیز متغیرهای حالت یک پرنده بدون سرنشین بال‌ثابت بدون اندازه‌گیری مستقیم از حسگر سرعت هوا پیشنهاد و نتایج آن توسط کنترل‌کننده پیش‌بین غیرخطی ابتکاری جبران شد. به‌این منظور، دینامیک طولی پرنده و سپس پدیده باد به‌عنوان عامل موثر در مسئله پرواز پرنده بدون سرنشین بال‌ثابت مدل‌سازی شد. به‌منظور مدل‌کردن باد، از مدل‌های استاندارد موجود در مراجع شامل مدل باد ثابت، مدل باد "1-cosine"، مدل باد برشی و مدل مایکروبرست استفاده شد.

در گام بعد، تعاریف و قضایای مرتبط با مشاهده‌پذیری قوی، مشاهده‌پذیری ورودی‌های نامعلوم، مشاهده‌پذیری توامان متغیرهای حالت و ورودی‌های نامعلوم، مشاهده‌پذیری ورودی‌های نامعلوم در حضور ماتریس ورودی‌های نامعلوم متغیر با زمان و نیز مشاهده‌پذیری متغیرهای حالت در حضور خطای خطی‌سازی برای سیستم‌های خطی پیوسته و گسسته زمان، که شامل چهار قضیه جدید است، بیان و اثبات شد. این مفاهیم در مساله تخمین باد در پرواز پرنده بدون سرنشین بررسی شد. به‌علاوه، مشاهده‌پذیری پارامترهای باد با استفاده از تئوری مشاهده‌پذیری سیستم‌های غیرخطی بررسی شد. نتایج نشان می‌دهد که متغیرهای حالت پرنده و مولفه‌های باد با استفاده از خروجی حسگرها قابل بازیابی هستند.

همچنین، از فیلترهای چندمدلی پیشنهادی برای تخمین همزمان مدل باد و متغیرهای حالت پرنده استفاده شد. عملکرد این فیلترها در پروازهای ایستا و مانوری بررسی و با عملکرد فیلتر کالمن توسعه‌یافته و فیلتر ابتکاری توسعه‌یافته پیوسته توده‌ای مورچه‌ها مقایسه شد. نتایج حاکی از عملکرد مناسب فیلترهای چندمدلی در یافتن مدل واقعی باد و متغیرهای حالت پرنده بدون سرنشین است.

در مرحله بعد، جبران‌سازی نتایج تخمین در حلقه کنترل مسیر پرواز پرنده در حین فرود، با استفاده از یک کنترل‌کننده پیش‌بین ابتکاری غیرخطی مبتنی بر بهینه‌سازی گروهی ذرات انجام شد. همچنین، پایداری کنترل‌کننده پیش‌بین غیرخطی گروهی ذرات اثبات شد. در نهایت، امکان پیاده‌سازی زمان حقیقی الگوریتم‌های پیشنهادی با انجام شبیه‌سازی پردازشگر در حلقه و سخت‌افزار در حلقه بررسی شد. نتایج حاکی از بهبود فرآیند فرود خودکار پرنده بال‌ثابت در صورت جبران‌سازی مدل باد در کنترل‌کننده پیش‌بین غیرخطی ابتکاری است.

## ۱.۹ نوآوری‌ها

نوآوری‌های این پژوهش به شرح زیر است:

- تخمین نوع مدل باد با استفاده از فیلتر چندمدلی.
- تخمین متغیرهای حالت، نوع مدل باد و پارامترهای آن بدون استفاده از سنسور سرعت هوا<sup>۱</sup>.
- توسعه فیلتر هیبریدی توسعه‌یافته پیوسته توده‌ای مورچه‌ها.
- توسعه یک فیلتر چندمدلی هیبریدی ابتکاری.
- استخراج قضیه مشاهده‌پذیری ورودی‌های نامعلوم برای سیستم‌های خطی گسسته و پیوسته زمان.
- استخراج قضیه مشاهده‌پذیری توأمان متغیرهای حالت و ورودی‌های نامعلوم برای سیستم‌های خطی گسسته و پیوسته زمان.
- استخراج قضایای مشاهده‌پذیری قوی، مشاهده‌پذیری ورودی‌های نامعلوم و مشاهده‌پذیری توأمان متغیرهای حالت و ورودی‌های نامعلوم برای سیستم‌های غیرخطی افاین پیوسته زمان.
- تحلیل مشاهده‌پذیری متغیرهای حالت، مشاهده‌پذیری قوی، مشاهده‌پذیری ورودی‌های نامعلوم و مشاهده‌پذیری توأمان متغیرهای حالت و ورودی‌های نامعلوم برای پرنده بدون سرنشین و پدیده باد.
- تحلیل مشاهده‌پذیری متغیرهای حالت برای سیستم‌های خطی پیوسته زمان در حضور خطای خطی‌سازی سیستم غیرخطی.

<sup>1</sup> Airspeed Sensor

- تحلیل مشاهده‌پذیری ورودی‌های نامعلوم در حضور تغییرات زمانی ماتریس ضرایب ورودی‌های نامعلوم برای سیستم‌های خطی پیوسته زمان.
- تحلیل مشاهده‌پذیری غیرخطی پارامترهای مدل باد از تئوری مشاهده‌پذیری سیستم‌های غیرخطی.
- تخمین مدل باد با استفاده از فیلتر غیرخطی مقاوم کالمن توسعه‌یافته در حضور عدم قطعیت مدل.
- طراحی کنترل‌کننده پیش‌بین غیرخطی گروهی ذرات برای پرنده بدون سرنشین در حضور باد.
- اثبات پایداری کنترل‌کننده پیش‌بین غیرخطی گروهی ذرات.
- جبران‌سازی مدل باد در کنترل‌کننده پیش‌بین غیرخطی ابتکاری.
- شبیه‌سازی سخت‌افزار در حلقه فیلتر چندمدلی باد مبتنی بر فیلتر چندمدلی کالمن توسعه‌یافته.
- شبیه‌سازی پردازشگر در حلقه کنترل‌کننده پیش‌بین غیرخطی ابتکاری.

## ۲.۹ مقالات مستخرج

مقالات مستخرج از این رساله به شرح زیر است:

### ✓ Journal Papers

- 1- H. Nobahari and AliReza Sharifi, "Multiple Model Extended Continuous Ant Colony Filter Applied to Real-Time Estimation of the Wind in a Fixed-Wing UAV", Journal of Engineering Applications of Artificial Intelligence, 2020. (Impact Factor: 3.526)
- 2- H. Nobahari and AliReza Sharifi, "A Hybridization of Extended Kalman Filter and Ant Colony Optimization for State Estimation of Nonlinear Systems", Journal of Applied Soft Computing, 74, pp.411-423, 2019. (Impact Factor: 4.873)

### ✓ Journal Papers in preparation/submitted for review

- 3- H. Nobahari and AliReza Sharifi, "A Multiple Model Approach for Online Estimation of the Wind in a Fixed-wing UAV", Aerospace Science and Technology, (under review).



4- H. Nobahari and AliReza Sharifi, “**Strong and Unknown Input Observability Analysis for Affine Continuous-time Nonlinear Systems**”. Quarterly Journal of Mechanics and Applied Mathematics, (under review).

### ✓ مقالات کنفرانس منتشر شده

5- H. Nobahari and AliReza Sharifi, “**Wind Compensation in Nonlinear Model Predictive Controller based on the Particle Swarm Optimization for a fixed wing UAV**”, The 7th International Conference on Robotics and Mechatronics, 20-21 November 2019, Sharif University of Technology, Tehran, Iran.

6- H. Nobahari, M. Raoufi and Alireza Sharifi, “**A Heuristic Filter Based on Firefly Algorithm for Nonlinear State**”, IEEE SSCI, Symposium Series on Computational Intelligence, ATHEN, Greece, 2016.

7- AliReza Sharifi and H. Nobahari, “**Multiple Model Filters Applied to Wind Model Estimation for a Fixed Wing UAV**”, International Conference on Mechanical and Aerospace Engineering (ICMAE) in 2016, London, United Kingdom, 2016.

۸- “تخمین باد در یک پرنده بدون سرنشین بال ثابت با استفاده از فیلتر کالمن توسعه یافته مقاوم” نویسندگان: علیرضا شریفی - هادی نوبهاری، بیست و پنجمین همایش سالانه بین‌المللی مهندسی مکانیک ایران (ISME2017)، دانشگاه تربیت مدرس، اردیبهشت‌ماه سال ۱۳۹۶.

۹- “تخمین مدل باد در یک پرنده بدون سرنشین بال ثابت مبتنی بر روش ناوبری مدل مینا” نویسندگان: علیرضا شریفی - هادی نوبهاری - حامد محمدکریمی، اولین کنفرانس بین‌المللی ناوبری و دومین همایش ملی ناوبری، دانشگاه صنعتی شریف، آذرماه سال ۱۳۹۵.

## منابع و مراجع

- Goh, Juliana, and Douglas Wiegmann. "Human factors analysis of accidents involving visual flight rules flight into adverse weather." *Aviation, space, and environmental medicine*, 73.8, 817-822, 2002. [۱]
- Jenamani, Rajendra Kumar, and Ashok Kumar. "Bad weather and aircraft accidents- global vis-a-vis Indian scenario." *Current Science (Bangalore)*, 104.3 316-325, 2013. [۲]
- K. A. Zhukov, V. V. Vyshinsky, and J. Rohacs, "Effects of atmospheric turbulence on UAV," 2014. [۳]
- J. Etele, "Overview of wind gust modelling with application to autonomous low-level UAV control," Mechanical and Aerospace Engineering Department, Carleton University, Ottawa, Canada, 2006. [۴]
- Stevens, Brian L., and Frank L. Lewis. "Aircraft control and simulation" John Wiley & Sons, 2003. [۵]
- Roskam, Jan. "Airplane flight dynamics and automatic flight controls" DARcorporation, 1995. [۶]
- Fujita, T. Theodore. "Downbursts: meteorological features and wind field characteristics." *Journal of Wind Engineering and Industrial Aerodynamics* 36, 75-86, 1990. [۷]
- [www.apollo.lsc.vsc.edu/classes/met130/notes/chapter14/microburst1.html](http://www.apollo.lsc.vsc.edu/classes/met130/notes/chapter14/microburst1.html) [۸]
- [www.shsu.edu/~dl\\_www/bkonline/131online/f12severe/12index.htm](http://www.shsu.edu/~dl_www/bkonline/131online/f12severe/12index.htm) [۹]
- Chay, M. T., Faris Albermani, and Richard Wilson. "Numerical and analytical simulation of downburst wind loads", *Engineering Structures*, 28.2, 240-254, 2006. [۱۰]
- Chen, L., and C. W. Letchford. "Numerical simulation of extreme winds from thunderstorm downbursts." *Journal of Wind Engineering and Industrial Aerodynamics*, 95.9, 977-990, 2007 [۱۱]
- Ivan, Michael. "A ring-vortex downburst model for flight simulations." *Journal of Aircraft*, 23.3, 232-236. 1986 [۱۲]
- Zhu, Shangxiang, and Bernard Etkin. "Model of the wind field in a downburst." *Journal of Aircraft*, 22, no. 7, 595-601, 1985 [۱۳]
- Vicroy, Dan D. "A simple, analytical, axisymmetric microburst model for downdraft estimation", No. DOT/FAA/RD-91/10, 1991. [۱۴]
- Oseguera, Rosam, and Rolandl Bowles. "A simple, analytic 3-dimensional downburst model based on boundary layer stagnation flow", 1988. [۱۵]
- Psiaki, Mark L., and Kihong Park. "Thrust laws for microburst wind shear [۱۶]

- penetration." *Journal of Guidance, Control, and Dynamics*, 15, no. 4, 968-975, 1992.
- Turova, V. L. "Take-off control in a windshear." Preprint, Inst. Math. and Mech., Ekaterinburg, 1991. [۱۷]
- Dogan, Atilla. "Guidance Strategies for Microburst Escape." 2000. [۱۸]
- Cao, Yihua, et al. "Nonlinear inverse dynamics control of the aircraft in the presence of windshear." *Aircraft Engineering and Aerospace Technology*, 76.6, 592-599, 2004. [۱۹]
- Holmes, J. D., and S. E. Oliver. "An empirical model of a downburst." *Engineering Structures*, 22.9, 1167-1172. 2000 [۲۰]
- B. Arain, and F. Kendoul, "Real-time wind speed estimation and compensation for improved flight," *IEEE Transactions on Aerospace and Electronic Systems*, 50.2, 1599-1606, 2014. [۲۱]
- Langelaan, Jack W., Nicholas Alley, and James Neidhoefer. "Wind field estimation for small unmanned aerial vehicles." *Journal of Guidance, Control, and Dynamics*, 34.4, 1016-1030 2011. [۲۲]
- [https://hu.wikipedia.org/wiki/F%C3%A1jl:Litot-cs%20%91\\_helikopteren\\_4.jpg](https://hu.wikipedia.org/wiki/F%C3%A1jl:Litot-cs%20%91_helikopteren_4.jpg) [۲۳]
- Cho, Am, et al. "Wind estimation and airspeed calibration using a UAV with a single-antenna GPS receiver and pitot tube." *Aerospace and Electronic Systems, IEEE Transactions on*, 47.1, 109-117, 2011. [۲۴]
- Van den Kroonenberg, Aline, et al. "Measuring the wind vector using the autonomous mini aerial vehicle M2AV." *Journal of Atmospheric and Oceanic Technology*, 25.11, 1969-1982, 2008. [۲۵]
- Johansen, Tor A., et al. "On estimation of wind velocity, angle-of-attack and sideslip angle of small uavs using standard sensors." *International Conference on Unmanned Aircraft Systems*, 2015. [۲۶]
- Aeronautics, Nextgen, and C. A. Torrance. "On-board wind speed estimation for uavs.", 2011. [۲۷]
- Etkin, Bernard, and Lloyd Duff Reid. "Dynamics of flight: stability and control" Vol. 3. New York: Wiley, 1996. [۲۸]
- Nelson, Robert C. "Flight stability and control." Int. Edition, 1998. [۲۹]
- Miller, W., R. Sutton, and P. Werbos. "A Neural Network Baseline Problem for Control of Aircraft Flare and Touchdown" 403-425. [۳۰]
- Arain, Bilal, and Farid Kendoul. "Real-time wind speed estimation and compensation for improved flight." *Aerospace and Electronic Systems, IEEE Transactions on*, 50.2, 1599-1606, 2014. [۳۱]
- Evangelisti, E. editor., "Controllability and Observability", Lectures given at a Summer School of the Centro Internazionale Matematico Estivo (CIME) held in [۳۲]

- Pontecchio (Bologna), Italy, July 1-9, 1968 (Vol. 46)", Springer Science & Business Media, 2011.
- Hautus, M., "Strong detectability and observers. Linear Algebra and its Applications", 50, 353–368, 1983. [۳۳]
- Floquet, T. and Barbot, J.-P., "An observability form for linear systems with unknown inputs, International Journal of control, vol. 79, 2006, pp. 132–139. [۳۴]
- Olbrot, A. W., "Observability and observers for a class of linear systems with delays", IEEE Transactions on Automatic Control, 26 (2), 513–517, 1981. [۳۵]
- Zheng, G., "Observability Analysis and Observer Design for Complex Dynamical Systems", Doctoral dissertation, University Lille 1, 2015. [۳۶]
- Costa, E.F. and Val, J.B.D., "On the observability and detectability of continuous-time Markov jump linear systems", SIAM Journal on Control and Optimization, 41(4), pp.1295-1314, 2002. [۳۷]
- Bittanti, S., Colaneri, P. and Guardabassi, G., "H-controllability and observability of linear periodic systems", SIAM Journal on Control and Optimization, 22(6), pp.889-893, 1984. [۳۸]
- Ammar, S., Massaoud, M. and Vivalda, J.C., "Genericity of the Strong Observability for Sampled Systems", SIAM Journal on Control and Optimization, 56(2), pp.1463-1490, 2018. [۳۹]
- Roinodotenberg, Y.Y., "Observability of nonlinear systems", SIAM Journal on Control, 8(3), pp.338-345, 1970. [۴۰]
- Van der Schaft, A.J., "Observability and controllability for smooth nonlinear systems", SIAM Journal on Control and Optimization, 20(3), pp.338-354, 1982. [۴۱]
- Zhirabok, A. and Shumsky, A., "An approach to the analysis of observability and controllability in nonlinear systems via linear methods", International Journal of Applied Mathematics and Computer Science, 22(3), pp.507-522, 2012. [۴۲]
- Vivalda, J.C., "On the genericity of the observability of uncontrolled discrete nonlinear systems", SIAM journal on control and optimization, 42(4), pp.1509-1522, 2003. [۴۳]
- Hermann, R. and Krener, A., "Nonlinear controllability and observability", IEEE Transactions on automatic control, 22(5), pp.728-740, 1977. [۴۴]

- Anguelova M, "Observability and identifiability of nonlinear systems with applications in biology", Gothenburg, Sweden: Chalmers University of Technology, 2007. [۴۵]
- Sobhani, M.H. and Poshtan, J., "Fault detection and isolation using unknown input observers with structured residual generation", International Journal of Instrumentation and Control Systems, 2(2), pp.1-12, 2012. [۴۶]
- Martinelli, A., "The Unicycle in Presence of a Single Disturbance: Observability Properties", In 2017 Proceedings of the Conference on Control and its Applications, Society for Industrial and Applied Mathematics, pp. 62-69, 2017. [۴۷]
- Basile, G. and Marro, G., "On the observability of linear, time-invariant systems with unknown inputs", Journal of Optimization theory and applications, 3(6), pp.410-415, 1969. [۴۸]
- Evangelisti, E. editor., "Controllability and Observability: Lectures given at a Summer School of the Centro Internazionale Matematico Estivo (CIME) held in Pontecchio (Bologna), Italy, July 1-9, 1968 (Vol. 46)", Springer Science & Business Media, 2011. [۴۹]
- Hautus, M., "Strong detectability and observers. Linear Algebra and its Applications", 50, 353-368, 1983. [۵۰]
- Martinelli, A., "Nonlinear Unknown Input Observability: Extension of the Observability Rank Condition", IEEE Transactions on Automatic Control, 2018. [۵۱]
- Patton, R., Clark, R., and Frank, P.M., "Fault diagnosis in dynamic systems: theory and applications", Prentice-Hall international series in systems and control engineering, Prentice Hall, 1989. [۵۲]
- Li, F., Zhao, G. and Huang, J., "Fast fault estimation for linear systems with unmatched faults. Proceedings of the Institution of Mechanical Engineers", Part G: Journal of Aerospace Engineering, 230(3), pp.554-565, 2016. [۵۳]
- Liu, C.S. and He, P., "Unknown input estimation for a class of nonlinear systems and its application to automotive engine controls", In American Control Conference, ACC'09, pp. 1195-1200, 2009. [۵۴]
- Barbot, J.P., Boutat, D. and Floquet, T., "An observation algorithm for nonlinear systems with unknown inputs", Automatica, 45(8), pp.1970-1974, 2009. [۵۵]

- Zhu, F., Xu, L., Zhang, W. and Fan, W., "State estimation with unknown input and measurement disturbance reconstruction based on descriptor systems. In Decision and Control (CDC), 2014 IEEE 53rd Annual Conference on, pp. 5524-5529, December, 2014. [۵۶]
- Yong, S.Z., Zhu, M. and Frazzoli, E., December. Simultaneous input and state estimation for linear discrete-time stochastic systems with direct feedthrough. In Decision and Control (CDC), 2013 IEEE 52nd Annual Conference on, pp. 7034-7039, 2013. [۵۷]
- Li, Baibing. "State estimation with partially observed inputs: A unified Kalman filtering approach", *Automatica* 49, no. 3, pp. 816-820, 2013. [۵۸]
- Yong, S.Z., Zhu, M. and Frazzoli, E., "A unified filter for simultaneous input and state estimation of linear discrete-time stochastic systems", *Automatica*, 63, pp.321-329, 2016. [۵۹]
- Y. Bar-Shalom, X. R. Li, and T. Kirubarajan, "Estimation with applications to tracking and navigation: theory algorithms and software," John Wiley and Sons, 2004. [۶۰]
- Ristic, B., Arulampalam, S., Gordon, N.; "Beyond the Kalman Filter", Artech House, London, 2004. [۶۱]
- Bar-Shalom, Yaakov, X. Rong Li, and Thiagalingam Kirubarajan. "Estimation with applications to tracking and navigation: theory algorithms and software" John Wiley & Sons, Chapter11: Adaptive Estimation and Maneuvering Target, 2004. [۶۲]
- Pitre, Ryan R., Vesselin P. Jilkov, and X. Rong Li. "A comparative study of multiple-model algorithms for maneuvering target tracking." *Defense and Security. International Society for Optics and Photonics*, 2005. [۶۳]
- Mazor, Efim, et al. "Interacting multiple model methods in target tracking: a survey." *Aerospace and Electronic Systems, IEEE Transactions on*, 34.1, 103-123, 1998. [۶۴]
- D. Alspach and H. Sorenson, "Nonlinear Bayesian estimation using Gaussian sum approximations", *IEEE Transactions on Automatic Control*, V17, N4, pp439-448, 1972. [۶۵]
- R. E. Kalman, "A New Approach to Linear Filtering and Prediction Problems," *Transaction of the ASME Journal Basic Engineering* 82(Series D), 35–45, 1960. [۶۶]
- C. Barrios, H. Himberg, Y. Motai, and A. Sadek, "Multiple Models of Extended Kalman Filtering for Predicting Vehicle Location", 2006. [۶۷]
- M. S. Djouadi, Y. Morsly, and D. Berkani, "A fuzzy IMM-UKF algorithm for highly maneuvering multi-target visual-based tracking", in: *Proceedings of the* [۶۸]

- Mediterranean Conference on Control and Automation, Greece, 2007.
- B. Ristic, S. Arulampalam, N. Gordon, "Beyond the Kalman filter: particle filters for tracking applications", Blaisdell Publishing Company. Artech House, London, 2004. [۶۹]
- Y. Zhai, M.B. Yeary, S. Cheng, N. Kehtarnavaz, "An object-tracking algorithm based on multiple-model particle filtering with state partitioning", IEEE Transactions on Instrumentation and Measurement 58, 1797–1809, 2009. [۷۰]
- M. S. Arulampalam, S. Maskell, N. Gordon, T. Clapp, "A tutorial on particle filters for online nonlinear/non-Gaussian Bayesian tracking" Journal of Statistical Computation and Simulation 50(1):1–23, 1997. [۷۱]
- A. Doucet, N. J. Gordon, and V. Krishnamurthy, "Particle filters for state estimation of jump Markov linear systems", IEEE Transactions on signal processing, 49.3, 613-624, 2001. [۷۲]
- C. Andrieu, M. Davy, and A. Doucet, "Efficient particle filtering for jump Markov systems", Acoustics, Speech, and Signal Processing (ICASSP), 2002 IEEE International Conference on. Vol. 2. IEEE, 2002. [۷۳]
- R. Karlsson, and N. Bergman, "Auxiliary particle filters for tracking a maneuvering target", In Decision and Control, Proceedings of the 39th IEEE Conference on, Vol. 4, pp. 3891-3895, IEEE, 2000. [۷۴]
- Y. Boers, and J. N. Driessen, "Interacting multiple model particle filter", IEE Proceedings-Radar, Sonar and Navigation, 150.5, 344-349, 2003. [۷۵]
- Brayson, J., Ho, Y.: "Applied Optimal Control", Blaisdell Publishing Company, Waltham, Massachusetts, Toronto, London, 1969. [۷۶]
- Zang W, Shi Z.G, Du S.c and Chen K.S., "Novel roughening method for reentry vehicle tracking using particle filter", Journal of Electromagnetic Waves and Applications, vol 21, no 14, pp. 1969-1981, 2007 [۷۷]
- Z. Chen, Y. Qu, Z. Xi, Y. Bo, B. Liu, and D. Kang, "A multiple model tracking algorithm based on an adaptive particle filter", Asian Journal of Control, 18(5), pp.1877-1890, 2016. [۷۸]
- P. H. Zipfel, "Modeling and Simulation of Aerospace Vehicle Dynamics," AIAA (American Institute of Aeronautics and Ast), ISBN: 1563478757 | 567, 2007. [۷۹]
- M. R. Napolitano, Aircraft dynamics: From modeling to simulation. J. Wiley, 2012. [۸۰]
- W. Frost, R.L. Bowles, Wind shear terms in the equations of aircraft motion, J.of Aircraft 21 866–872, 1984. [۸۱]
- Fuller, J.R. "Evolution of airplane gust loads design requirements", Journal of Aircraft, 32(2), 235–46, 1995. [۸۲]
- Wright, Jan Robert, and Jonathan Edward Cooper., "Introduction to aircraft [۸۳]

- aeroelasticity and loads“. Vol. 20. John Wiley & Sons, 2008.
- Schmidt, Louis V, “Introduction to Aircraft Flight Dynamics American Institute of Aeronautics and Astronautics,“ Inc., Reston, VA, 1998. [۸۴]
- U.S. Military Handbook MIL-HDBK-1797B, 9 April 2012. [۸۵]
- <https://www.mathworks.com/help/aeroblks/discretewindgustmodel.html> [۸۶]
- R. Vepa, “Flight Dynamics, Simulation, and Control: For Rigid and Flexible Aircraft,“ CRC Press, August 2014. [۸۷]
- Ted L. Lomax., “Structural loads analysis for commercial transport aircraft: theory and practice“, Aiaa, 1996. [۸۸]
- Hoblit, Frederic M., “Gust loads on aircraft: concepts and applications“, Aiaa, 1988. [۸۹]
- Ted L. Lomax., “Structural loads analysis for commercial transport aircraft: theory and practice“, Aiaa, 1996. [۹۰]
- Dennis Baldocchi “Lecture 17 Wind and Turbulence Part 2 Surface Boundary Layer Theory and Principles notes,“ University of California, Berkeley, October 5, 2012 [۹۱]
- J. Roskam, “Airplane flight dynamics and automatic flight controls,“ DARcorporation, 1995. [۹۲]
- D.D. Vicroy, “A simple, analytical, axisymmetric microburst model for downdraft estimation“, NASA Technical Memorandum 104053, 1991 [۹۳]
- Oseguera, Rosa M.; Bowles, Roland L, “A simple, analytic 3-dimensional downburst model based on boundry layer stagnation flow“, NASA TM-100632, July 1988. [۹۴]
- D.D. Vicroy, “Microburst vertical wind estimation from horizontal wind measurements“, NASA Technical Paper 3460, 1994. [۹۵]
- R. W. Beard, and T. W. McLain, “Small unmanned aircraft: Theory and practice“, Princeton university press, 2012. [۹۶]
- Simon, Dan. “Optimal state estimation: Kalman, H infinity, and nonlinear approaches“. John Wiley & Sons, 2006. [۹۷]
- S. Sundaram, “Fault-Tolerant and secure control systems“, Department of Electrical and Computer Engineering, University of Waterloo. [۹۸]
- Glad, S. T., “General systems or. Extending linear theory to nonlinear systems“, Department of Electrical Engineering, Class Notes, pp. 11–18, Linköping University, 2012. [۹۹]
- Zerz, Eva. “Introduction to Systems and Control Theory“, 2002. [۱۰۰]
- Respondek, Witold, “Introduction to geometric nonlinear control; linearization, observability, decoupling“ No. INIS-XA—855, 2002. [۱۰۱]
- Hedrick, J.K., Girard, A., “Control of nonlinear dynamic systems: theory and applications“, Class Notes, pp. 62–83, 2005. [۱۰۲]



- Moreno, J.A., Rocha-Cózatl, E. and Wouwer, A.V., A dynamical interpretation of strong observability and detectability concepts for nonlinear systems with unknown inputs: application to biochemical processes. *Bioprocess and biosystems engineering*, 37(1), pp. 37-49, 2014. [۱۰۳]
- H. S. Ju, and C. C. Tsai, "Longitudinal auto-landing controller design via adaptive backstepping," *International Journal of Adaptive Control and Signal Processing*, 23(7), pp. 640-666, 2009. [۱۰۴]
- W. Miller, R. Sutton, and P. Werbos, "A neural network baseline problem for control of aircraft flare and touchdown," pp. 403-425, 1990. [۱۰۵]
- B. Ristic, S. Arulampalam, N. Gordon, "Beyond the Kalman filter: particle filters for tracking applications", Blaisdell Publishing Company. Artech House, London, 2004. [۱۰۶]
- D. Simon, "Optimal state estimation: Kalman, H infinity, and nonlinear approaches," John Wiley and Sons, 2006. [۱۰۷]
- S. J. Julier and J. K. Uhlmann, "A new extension of the Kalman Filter to nonlinear systems", *AeroSense 11th International Symposium Aerospace Defense Sensing, Simulation and Controls*:182-193, 1960. [۱۰۸]
- S. H. Pourtakdoust, and H. Nobahari, "An extension of ant colony system to continuous optimization problems", *Ant colony optimization and swarm intelligence*, p.p 158-173, 2004. [۱۰۹]
- Jourdan, Damien B., et al. "Enhancing UAV survivability through damage tolerant control", *AIAA Guidance, Navigation, and Control Conference*, 2010. [۱۱۰]
- Richards, Arthur, and Jonathan How. "Decentralized model predictive control of cooperating UAVs", *Decision and Control, CDC. 43rd IEEE Conference on*. Vol. 4. IEEE, 2004. [۱۱۱]
- Stovner, Bård Bakken. "Model Predictive Control in UAV Trajectory Planning and Gimbal Control", 2014. [۱۱۲]
- جعفری، نوید؛ کنترل پیش‌بین و غیرخطی هواپیما در حضور باد برشی مایکروبرست، پایان‌نامه کارشناسی‌ارشد، دانشگاه صنعتی شریف، دانشکده مهندسی هوافضا، ۱۳۹۳. [۱۱۳]
- Rawlings, James B. "Tutorial overview of model predictive control", *Control Systems*, IEEE 20, no. 3, 38-52, 2000. [۱۱۴]
- Camacho, Eduardo F., and Carlos Bordons. "Model Based Predictive Controllers" In *Model Predictive Control*, pp. 13-31. Springer London, 1999. [۱۱۵]
- Allgöwer, Frank, and Alex Zheng, eds. "Nonlinear model predictive control", Vol. 26. Birkhäuser, 2012. [۱۱۶]
- Rouhani, Ramine, and Raman K. Mehra. "Model algorithmic control (MAC); basic theoretical properties", *Automatica* 18.4, 401-414, 1982. [۱۱۷]
- Cutler, Charles R., and Brian L. Ramaker. "Dynamic matrix control: A computer control algorithm", *joint automatic control conference*. No. 17, 1980. [۱۱۸]
- Clarke, David W., C. Mohtadi, and P. S. Tuffs. "Generalized predictive control-Part I. The basic algorithm", *Automatica* 23, no. 2, 137-148, 1987. [۱۱۹]
- Haeri, Mohammad, and Hossein Zadehmorshed Beik. "Application of extended DMC for nonlinear MIMO systems", *Computers & chemical engineering*, 29, 9, 1867-1874, 2005. [۱۲۰]

- Morshedi, A. M., C. R. Cutler, and T. A. Skrovanek. "Optimal solution of dynamic matrix control with linear programming techniques (LDMC)", American Control Conference, IEEE, 1985. [۱۲۱]
- Kuure-Kinsey, Matthew, and B. Wayne Bequette. "Multiple model predictive control: a state estimation based approach", American Control Conference, ACC'07. IEEE, 2007. [۱۲۲]
- G.Sandou and S.Olaru, "Ant Colony and Genetic Algorithm for Constrained Predictive Control of Power Systems", 10th International Conference, Hybrid Systems: Computation and Control (HSCC), 4416, 501-514, 2007. [۱۲۳]
- Sandou, Guillaume, and Sorin Olaru. "Particle swarm optimization based nmpc: An application to district heating networks", In Nonlinear Model Predictive Control, pp. 551-559. Springer Berlin Heidelberg, 2009. [۱۲۴]
- Mercieca, Julian, and Simon G. Fabri. "A metaheuristic particle swarm optimization approach to nonlinear model predictive control", International Journal on Advances in Intelligent Systems, 5, 3 & 4, 2012. [۱۲۵]
- Bououden, Sofiane, Mohammed Chadli, Fouad Allouani, and Salim Filali. "A new approach for fuzzy predictive adaptive controller design using particle swarm optimization algorithm", International Journal of Innovative Computing, Information and Control 9, no. 9, 3741-3758, 2013. [۱۲۶]
- Xu, Fang, Hong Chen, Xun Gong, and Qin Mei. "Fast nonlinear model predictive control on FPGA using particle swarm optimization", IEEE Transactions on Industrial Electronics 63, no. 1, 310-321, 2016. [۱۲۷]
- H.Merabti I. Bouchachi and K. Belarbi, "Nonlinear Model Predictive Control of Quadcopter", 16th International Conference on Sciences and Techniques of Automatic Control and Computer Engineering (STA), Pages 208 – 211, 2015. [۱۲۸]
- Stahl, Dominik, and Jan Hauth. "PF-MPC: Particle filter-model predictive control", Systems & Control Letters 60, no. 8, 632-643, 2011. [۱۲۹]
- Nobahari, Hadi, and Saeed Nasrollahi. "A nonlinear estimation and control algorithm based on ant colony optimization", In Evolutionary Computation (CEC), 2016 IEEE Congress on, pp. 5120-5127. IEEE, 2016. [۱۳۰]
- Nobahari, Hadi, and Saeed Nasrollahi. "A non-linear estimation and model predictive control algorithm based on ant colony optimization", Transactions of the Institute of Measurement and Control, 41.4, 1123-1138, 2019. [۱۳۱]
- Nobahari, Hadi, and Saeed Nasrollahi. "A terminal guidance algorithm based on ant colony optimization", Computers & Electrical Engineering, 77, 128-146, 2019. [۱۳۲]
- Allgöwer, Frank, and Alex Zheng. "Nonlinear model predictive control, volume 26 of Progress in Systems and Control Theory", chapter Modeling and Identification for Nonlinear Model Predictive Control: requirements, current status and future research needs, pages 269, 2000. [۱۳۳]
- Farivar, F., & Shoorehdeli, M. A. "Stability analysis of particle dynamics in gravitational search optimization algorithm," Information Sciences, 337, 25-43, [۱۳۴]

- 2016.
- Trelea, Ioan Cristian. "The particle swarm optimization algorithm: convergence analysis and parameter selection," *Information processing letters* 85, no. 6, 317-325, 2003. [۱۳۵]
- Dorf, Richard C., and Robert H. Bishop. "Modern control systems," Pearson, 2011 [۱۳۶]
- L. Pollini, V. Parnenzini and M. Innocenti, "Distributed Real-Time Hardware- and Man-in-the-loop Simulation for the ICARO II Unmanned Systems Autopilot", *Latest Trends in Information Technology*, ISBN: 978-1-61804-134-0. [۱۳۷]
- هادی نوبهاری، و علیرضا شریفی، دستورالعمل آزمایشگاه سیستم‌های کنترل، دانشگاه صنعتی شریف، دانشکده مهندسی هوافضا، ویرایش سوم، تابستان ۱۳۹۵ [۱۳۸]
- Truong, Nguyen-Vu. "Hardware-in-the-loop approach to controller design and testing of motion control systems using xpc target", *Intelligent and Advanced Systems (ICIAS)*, 2012 4th International Conference on. Vol. 1. IEEE, 2012. [۱۳۹]
- A. Kurniawan, "Getting Started with Matlab Simulink and Arduino", PE Press, 2013. [۱۴۰]
- Simulink® Desktop Real-Time User's Guide, MathWorks, Inc., 2015. [۱۴۱]
- G. Gegic, "In-the-loop testing aids embedded system validation", 2009. [۱۴۲]
- H. Nobahari and A. R. Sharifi, "A novel heuristic filter based on ant colony optimization for non-linear systems state estimation, in: *Computational Intelligence and Intelligent Systems*", Springer, pp. 20-29, 2012. [۱۴۳]
- I. Fister, M. Perc, and S. M. Kamal, "A review of chaos-based firefly algorithms: perspectives and research challenges," *Applied Mathematics and Computation*, vol. 252, pp. 155-165, 2015. [۱۴۴]
- D. Simon, *Evolutionary optimization algorithms*: John Wiley & Sons, 2013. [۱۴۵]
- Simon, Daniel J. "From here to infinity" *Embedded Systems Programming*, 14.11, 20-32. 2001. [۱۴۶]
- Poor, Vincent, and Douglas P. Looze. "Minimax state estimation for linear stochastic systems with noise uncertainty." *Automatic Control, IEEE Transactions on*, 26.4, 902-906, 1981. [۱۴۷]
- Darragh, J. C., and D. P. Looze. "Noncausal minimax linear state estimation for systems with uncertain second order statistics." *Decision and Control, 21st IEEE Conference on, IEEE*, 1982. [۱۴۸]
- Verdu, Sergio, and H. Vincent Poor. "Minimax linear observers and regulators for stochastic systems with uncertain second-order statistics" *Automatic Control, IEEE Transactions on*, 29.6, 499-511, 1984 [۱۴۹]
- Simon, Dan. "Optimal state estimation: Kalman, H infinity, and nonlinear approaches". John Wiley & Sons, 2006. [۱۵۰]
- Simon, Dan. "A game theory approach to constrained minimax state estimation" [۱۵۱]

- Signal Processing, IEEE Transactions on, 54.2, 405-412, 2006.
- Grimble, M. J. "H<sub>∞</sub> design of optimal linear filters" Linear Circuits, Systems and Signal Processing: Theory and Applications, 533-540, 1988. [۱۵۲]
- Grimble, Michael J., and Ahmed El Sayed. "Solution of the H<sub>∞</sub> optimal linear filtering problem for discrete-time systems" Acoustics, Speech and Signal Processing, IEEE Transactions on, 38.7, 1092-1104, 1990. [۱۵۳]
- Grimble, M. J., and M. A. Johnson. "H<sub>∞</sub> robust control design—a tutorial review." Computing & Control Engineering Journal, 2.6, 275-282, 1991. [۱۵۴]
- Shaked, Uri, and Yahali Theodor. "H<sub>∞</sub>-optimal estimation: A tutorial" Decision and Control, Proceedings of the 31st IEEE Conference on. IEEE, 1992. [۱۵۵]
- Reif, Konrad, Frank Sonnemann, and Rolf Unbehauen. "Nonlinear state observation using H/sub/spl infin//-filtering Riccati design" Automatic Control, IEEE Transactions on, 44.1 , 203-208, 1999. [۱۵۶]
- Bernstein, Dennis S., and Wassim M. Haddad. "Steady-state Kalman filtering with an H<sub>∞</sub> error bound." In American Control Conference, pp. 847-852. IEEE, 1989. [۱۵۷]
- Hung, Y. S., & Yang, F. "Robust H<sub>∞</sub> filtering with error variance constraints for discrete time-varying systems with uncertainty" Automatica, 39(7), 1185-1194, 2003. [۱۵۸]
- Simon, Dan. "A game theory approach to constrained minimax state estimation." Signal Processing, IEEE Transactions on, 54.2, 405-412, 2006. [۱۵۹]
- Xu, Shengyuan, and Tongwen Chen. "Reduced-order H<sub>∞</sub> filtering for stochastic systems." Signal Processing, IEEE Transactions on, 50.12 , 2998-3007, 2002. [۱۶۰]
- Grigoriadis, Karolos M., and James T. Watson. "Reduced-order H<sub>∞</sub> and L<sub>2</sub>-L<sub>∞</sub> filtering via linear matrix inequalities." Aerospace and Electronic Systems, IEEE Transactions on, 33.4 , 1326-1338, 1997. [۱۶۱]
- Xu, Shengyuan, and Tongwen Chen. "Reduced-order H<sub>∞</sub> filtering for stochastic systems." Signal Processing, IEEE Transactions on, 50.12, 2998-3007, 2002. [۱۶۲]
- Ko, Sangho, and Robert R. Bitmead. "State estimation for linear systems with state equality constraints." Automatica 43.8, 1363-1368, 2007. [۱۶۳]
- Grimble, Michael J. "H<sub>∞</sub> fixed-lag smoothing filter for scalar systems" Signal Processing, IEEE Transactions on, 39.9, 1955-1963, 1991. [۱۶۴]
- Theodor, Y., and U. Shaked. "Game theory approach to H<sub>∞</sub>-optimal discrete-time fixed-point and fixed-lag smoothing." Automatic Control, IEEE Transactions on 39.9, 1944-1948, 1994. [۱۶۵]
- Zadeh, Lotfi A., and John R. Ragazzini. "An extension of Wiener's theory of prediction." Journal of Applied Physics, 21.7, 645-655, 1950. [۱۶۶]
- Theodor, Y., Uri Shaked, and Carlos E. de Souza. "A game theory approach to robust discrete-time H<sub>∞</sub>-estimation" Signal Processing, IEEE Transactions on 42.6, 1486-1495, 1994. [۱۶۷]

- Stoorvogel, Antonie Arij, and Jan H. van Schuppen. "An  $H_\infty$ -parameter estimator and its interpretation." Report-Department of Operations Research, Statistics, and System Theory 34, 1-6, 1994. [۱۶۸]
- Tse, Johnson, Joseph Bentsman, and Norman Miller. "Minimax long range parameter estimation." Decision and Control, Proceedings of the 33rd IEEE Conference on, Vol. 1. IEEE, 1994. [۱۶۹]
- Barbosa, Karina A., Carlos E. de Souza, and Alexandre Trofino. "Robust  $H_2$  filtering for uncertain linear systems: LMI based methods with parametric Lyapunov functions." Systems & Control Letters, 54.3 , 251-262, 2005. [۱۷۰]
- B. Arain, and F. Kendoul, "Real-time wind speed estimation and compensation for improved flight," IEEE Transactions on Aerospace and Electronic Systems, 50.2, 1599-1606, 2014. [۱۷۱]
- K. O'Meara, "Advanced Topics in Linear Algebra: Weaving Matrix Problems through the Weyr Form: Weaving Matrix Problems through the Weyr Form", Oxford University Press, USA, 2011. [۱۷۲]
- R. L. Burden, and J. D. Faires. "Numerical analysis (7th)", Prindle Weber and Schmidt, Boston, 2001. [۱۷۳]
- Malik, Subhash Chandra, and Savita Arora. "Mathematical analysis. New Age International", 1992. [۱۷۴]
- Caliò, Franca, and Alessandro Lazzari. "Elements of Mathematics with Numerical Applications". Società Editrice Esculapio, 2017. [۱۷۵]
- L. Liang-Qun, J. Hong-Bing, L. Jun-Hui, The iterated extended Kalman particle filter, in: Communications and Information Technology, IEEE International Symposium on, Vol. 2, IEEE, pp. 1213-1216. 2005. [۱۷۶]
- R. Van Der Merwe, A. Doucet, N. De Freitas, E. A. Wan, The unscented particle filter, in: Advances in neural information processing systems, pp. 584-590. 2001. [۱۷۷]
- J. Zhong, Y.-f. Fung, M. Dai, A biologically inspired improvement strategy for particle filter: Ant colony optimization assisted particle filter, International Journal of Control, Automation and Systems 8, 3, p.p 519-526, 2010. [۱۷۸]
- R. Roll, A mean/variance analysis of tracking error, The Journal of Portfolio Management 18, 4, p.p 13-22, 1992. [۱۷۹]
- S. Bouabdallah, R. Siegwart, Full control of a quadrotor, in: Intelligent robots and systems, IEEE/RSJ international conference on, Ieee, pp. 153-158. 2007. [۱۸۰]
- H. Nobahari, A. Sharifi, Continuous ant colony filter applied to online estimation and compensation of ground effect in automatic landing of quadrotor, Engineering Applications of Artificial Intelligence 32, p.p 100-111. 2014. [۱۸۱]
- P. H. Zipfel, Modeling and simulation of aerospace vehicle dynamics, reston, va: American institute of aeronautics and astronautics, 2007. [۱۸۲]
- حامد محمدکریمی، ناوبری تلفیقی توأم با شناسایی خطاهای اثر زمین در فرود خودکار پرنده بدون سرنشین با استفاده از فیلترهای ابتکاری، رساله دکتری، ۱۳۹۷ [۱۸۳]

## پیوست‌ها

## پیوست الف: معرفی حسگرهای پرنده

در این پیوست، حسگرهای پرنده بدون سرنشین معرفی می‌شوند. همچنین، نحوه مدل‌سازی این حسگرها بیان می‌شود.

**حسگرژیروسکوپ نرخی:** ژيروسکوپ‌های نرخی به منظور اندازه‌گیری نرخ‌های زاویه‌ای پرنده بدون سرنشین استفاده می‌شوند. به منظور مدل‌سازی، فرض می‌شود که بایاس‌های دورانی<sup>۱۲۳</sup> قبل از شروع الگوریتم تخمین باد تخمین زده شده و در نتیجه حذف می‌شوند. بنابراین، خروجی ژيروسکوپ‌های نرخی به صورت زیر مدل‌سازی می‌شوند:

$$\mathbf{z}_{\text{gyro}} = \begin{bmatrix} z_{\text{gyro},x} \\ z_{\text{gyro},y} \\ z_{\text{gyro},z} \end{bmatrix} = \begin{bmatrix} p + v_{\text{gyro},x} \\ q + v_{\text{gyro},y} \\ r + v_{\text{gyro},z} \end{bmatrix} \quad (\text{پ-۱})$$

در رابطه فوق،  $v_{\text{gyro},x}$ ،  $v_{\text{gyro},y}$  و  $v_{\text{gyro},z}$  به ترتیب بیانگر نویز سفید گوسی با میانگین صفر و واریانس‌های  $\sigma_{\text{gyro},x}^2$ ،  $\sigma_{\text{gyro},y}^2$  و  $\sigma_{\text{gyro},z}^2$  هستند. همچنین، نرخ نمونه‌برداری ژيروسکوپ‌های نرخی برابر  $T_s=0.01$  ثانیه انتخاب می‌شود. یک مثال از یک ژيروسکوپ نرخی MEMS مناسب برای این پروژه حسگر آنالوگ ADXRS450 با انحراف معیار  $\sigma_{\text{gyro}} = 0.13$  درجه بر ثانیه است.

**حسگر ارتفاع سنج:** یک حسگر فشار مطلق به منظور اندازه‌گیری ارتفاع پرنده بالای ایستگاه زمینی استفاده می‌شود. خروجی حسگر فشار مطلق به صورت زیر مدل‌سازی می‌شود:

$$z_{\text{abs pres}} = (P_{\text{ground}} - P) + \beta_{\text{abs pres}} + \mathcal{Q}_{\text{abs pres}} \quad (\text{پ-۲})$$

در رابطه فوق،  $P$  بیانگر فشار مطلق اندازه‌گیری شده توسط حسگر در طول پرواز است. همچنین،  $P_{\text{ground}}$  فشار اتمسفر اندازه‌گیری شده در ایستگاه زمینی قبل از برخاست پرنده است. اختلاف بین این دو ترم

<sup>123</sup> turn-to-turn biases

متناسب با ارتفاع پرنده بالای ایستگاه زمینی است. در نتیجه، خروجی حسگر فشار مطلق به صورت زیر بیان می شود:

$$z_{\text{abs pres}} = \rho g (h - h_{\text{ground}}) + \beta_{\text{abs pres}} + \mathcal{A}_{\text{abs pres}} \quad (\text{پ-۳})$$

در رابطه فوق،  $h$  و  $h_{\text{ground}}$  به ترتیب بیانگر ارتفاع مطلق پرنده و ارتفاع مطلق ایستگاه زمینی نسبت به سطح دریا است. همچنین،  $\beta_{\text{abs pres}}$  نشان دهنده بایاس مرتبط با دما و  $\mathcal{A}_{\text{abs pres}}$  بیانگر نویز گوسی با میانگین صفر و واریانس  $\sigma_{\text{abs pres}}^2$  است. فرض می شود که بایاس حسگر توسط کالیبراسیون دقیق حذف می شود. همچنین، زمان نمونه برداری حسگر برابر با  $T_s = 0.01$  ثانیه انتخاب می شود. یک مثال از یک حسگر فشار مطلق حسگر Freescale Semiconductor MP3H6115A با انحراف معیار  $\sigma_{\text{abs pres}} = 0.01 \text{ kPa}$  است.

**حسگر قطب نما:** یک حسگر قطب نما به منظور اندازه گیری زاویه سمت پرنده استفاده می شود. برای اهداف شبیه سازی، حسگر قطب نما به صورت زیر مدل سازی می شود:

$$z_{\text{mag}} = \psi + \beta_{\text{mag}} + v_{\text{mag}} \quad (\text{پ-۴})$$

در رابطه فوق،  $\beta_{\text{mag}}$  بیانگر بایاس اندازه گیری و  $v_{\text{mag}}$  نشان دهنده نویز گوسی با میانگین صفر و واریانس  $\sigma_{\text{mag}}^2$  است. فرض می شود که ترم بایاس قبل از فرآیند تخمین باد تخمین زده شده و در نتیجه حذف می شوند. یک مثال از حسگر قطب نما دیجیتال برای کار جاری Honeywell HMR3300 با زمان نمونه برداری  $T_{s,\text{compass}} = 0.125$  ثانیه و انحراف معیار  $\sigma_{\text{mag}} = 0.3$  درجه است.

**گیرنده سیستم موقعیت یاب جهانی:** خطاهای ارتفاع، شرق و غرب از یک گیرنده موقعیت یاب جهانی (GPS) ناشی از یک بایاس ثابت با تغییرات کند به همراه نویز رندوم است. خروجی GPS به منظور شبیه سازی به صورت زیر مدل می شود:

$$\mathbf{z}_{\text{GPS}} = \begin{bmatrix} z_{\text{GPS},n} \\ z_{\text{GPS},e} \\ z_{\text{GPS},h} \end{bmatrix} = \begin{bmatrix} p_n + \beta_{\text{GPS},n} + v_{\text{GPS},n} \\ p_e + \beta_{\text{GPS},e} + v_{\text{GPS},e} \\ -p_d + \beta_{\text{GPS},h} + v_{\text{GPS},h} \end{bmatrix} \quad (\text{پ-۵})$$



در رابطه فوق،  $v_{GPS,n}$ ،  $v_{GPS,e}$  و  $v_{GPS,h}$  به ترتیب نویز سفید گوسی با میانگین صفر و واریانس  $\sigma_{GPS,n}^2$ ،  $\sigma_{GPS,e}^2$  و  $\sigma_{GPS,h}^2$  هستند. همچنین،  $\beta_{GPS,n}$ ،  $\beta_{GPS,e}$  و  $\beta_{GPS,h}$  به ترتیب بیانگر بایاس شمال، شرق و غرب است. مقادیر این پارامترها در جدول پ-۱ نشان داده شده است.

همچنین، با استفاده از اندازه گیری داپلر، سرعت زمینی با یک انحراف معیار در محدوده 0.01 تا 0.05 متر بر ثانیه اندازه گیری می شوند. لذا، خروجی سرعت به صورت زیر مدل می شود:

$$\mathbf{z}_{GPS} = \begin{bmatrix} Z_{GPS,v_n} \\ Z_{GPS,v_e} \\ Z_{GPS,v_d} \end{bmatrix} = \begin{bmatrix} v_n + \beta_{GPS,v_n} + v_{GPS,v_n} \\ v_e + \beta_{GPS,v_e} + v_{GPS,v_e} \\ v_d + \beta_{GPS,v_d} + v_{GPS,v_d} \end{bmatrix} \quad (\text{پ-۶})$$

در رابطه فوق،  $v_{GPS,v_n}$ ،  $v_{GPS,v_e}$  و  $v_{GPS,v_d}$  به ترتیب بیانگر نویز گوسی با میانگین صفر و واریانس  $\sigma_{v_n}^2$ ،  $\sigma_{v_e}^2$  و  $\sigma_{v_d}^2$  هستند. زمان نمونه برداری از گیرنده GPS به صورت  $T_{s,GPS} = 0.5$  ثانیه فرض می شود.

#### جدول پ-۱ پارامترهای مدل خطای گیرنده GPS

اندازه گیری	بایاس (متر)	انحراف معیار (متر)
عرض جغرافیایی	۴/۷	۰/۴
طول جغرافیایی	۴/۷	۰/۴
ارتفاع	۹/۲	۰/۷

## پیوست ب: مشتقات آیرودینامیکی وکنترلی پرنده

جدول پ-۲ مشتقات آیرودینامیک وکنترل کانال طولی

$X_u = \frac{\rho S(u-u_w)}{m} [C_{x_0} + C_{x_\alpha} \alpha + C_{x_{\delta_e}} \delta_e] - \frac{\rho S C_{x_\alpha} V_a^2 (w-w_w)}{2m[(u-u_w)^2 + (w-w_w)^2]} + \frac{\rho S \bar{c} C_{x_q}}{4m V_a} (u-u_w)(q-q_w)$
$X_v = r + \frac{\rho S(v-v_w)}{m} [C_{x_0} + C_{x_\alpha} \alpha + C_{x_{\delta_e}} \delta_e] + \frac{\rho S \bar{c} C_{x_q}}{4m V_a} (v-v_w)(q-q_w)$
$X_w = -q + \frac{\rho S(w-w_w)}{m} [C_{x_0} + C_{x_\alpha} \alpha + C_{x_{\delta_e}} \delta_e] + \frac{\rho S C_{x_\alpha} V_a^2 (u-u_w)}{2m[(u-u_w)^2 + (w-w_w)^2]} + \frac{\rho S \bar{c} C_{x_q}}{4m V_a} (w-w_w)(q-q_w)$
$X_q = -w + \frac{\rho S \bar{c} V_a C_{x_q}}{4m}$
$X_r = v$
$X_\theta = -g \cos \theta$
$X_{\delta_e} = \frac{\rho S V_a^2 C_{x_{\delta_e}}}{2m}$
$X_{\delta_i} = \mathbf{T}/m$
$Z_u = q + \frac{\rho S(u-u_w)}{m} [C_{z_0} + C_{z_\alpha} \alpha + C_{z_{\delta_e}} \delta_e] - \frac{\rho S C_{z_\alpha} V_a^2 (w-w_w)}{2m[(u-u_w)^2 + (w-w_w)^2]} + \frac{\rho S \bar{c} C_{z_q}}{4m V_a} (u-u_w)(q-q_w)$
$Z_v = -p + \frac{\rho S(v-v_w)}{m} [C_{z_0} + C_{z_\alpha} \alpha + C_{z_{\delta_e}} \delta_e] + \frac{\rho S \bar{c} C_{z_q}}{4m V_a} (v-v_w)(q-q_w)$
$Z_w = \frac{\rho S(w-w_w)}{m} [C_{z_0} + C_{z_\alpha} \alpha + C_{z_{\delta_e}} \delta_e] + \frac{\rho S C_{z_\alpha} V_a^2 (u-u_w)}{2m[(u-u_w)^2 + (w-w_w)^2]} + \frac{\rho S \bar{c} C_{z_q}}{4m V_a} (w-w_w)(q-q_w)$
$Z_p = -v$
$Z_q = u + \frac{\rho S \bar{c} V_a C_{z_q}}{4m}$
$Z_\phi = -g \sin \phi \cos \theta$
$Z_\theta = -g \cos \phi \sin \theta$
$Z_{\delta_e} = \frac{\rho S V_a^2 C_{z_{\delta_e}}}{2m}$

علیرضا شریفی، "توسعه و پیاده‌سازی فیلترهای چندمدلی در فرود خودکار پرنده بدون سرنشین جهت شناسایی برخط و جبران‌سازی اغتشاشات اتمسفری"، رساله دکتری، استاد راهنما: دکتر هادی نوبهاری، دانشگاه صنعتی شریف، دانشکده مهندسی هوافضا، تابستان ۱۳۹۹

$M_u = \frac{\rho S(u-u_w)}{J_{yy}} [C_{m_0} + C_{m_\alpha} \alpha + C_{m_{\delta_e}} \delta_e] - \frac{\rho S \bar{c} C_{m_z} V_a^2 (w-w_w)}{2J_{yy} [(u-u_w)^2 + (w-w_w)^2]} + \frac{\rho S \bar{c}^2 C_{m_q}}{4J_{yy} V_a} (u-u_w)(q-q_w)$
$M_v = \frac{\rho S(v-v_w)}{J_{yy}} [C_{m_0} + C_{m_\alpha} \alpha + C_{m_{\delta_e}} \delta_e] + \frac{\rho S \bar{c}^2 C_{m_q}}{4J_{yy} V_a} (v-v_w)(q-q_w)$
$M_w = \frac{\rho S(w-w_w)}{J_{yy}} [C_{m_0} + C_{m_\alpha} \alpha + C_{m_{\delta_e}} \delta_e] + \frac{\rho S \bar{c} C_{m_z} V_a^2 (u-u_w)}{2J_{yy} [(u-u_w)^2 + (w-w_w)^2]} + \frac{\rho S \bar{c}^2 C_{m_q}}{4J_{yy} V_a} (w-w_w)(q-q_w)$
$M_p = \Gamma_5 r - 2\Gamma_6 p$
$M_q = \frac{\rho S \bar{c}^2 V_a C_{m_q}}{4J_{yy}}$
$M_r = \Gamma_5 p + 2\Gamma_6 r$
$M_{\delta_e} = \frac{\rho S \bar{c} V_a^2 C_{m_{\delta_e}}}{2J_{yy}}$
$\Theta_q = \cos \phi$
$\Theta_r = -\sin \phi$
$\Theta_\phi = -q \sin \phi - r \cos \phi$
$H_u = \sin \theta$
$H_v = -\sin \phi \cos \theta$
$H_w = -\cos \phi \cos \theta$
$H_\phi = -v \cos \phi \cos \theta + w \sin \phi \cos \theta$
$H_\theta = u \cos \theta + \sin \theta (v \sin \phi + w \cos \phi)$
$P_{n_u} = \cos \theta \cos \psi$
$P_{n_v} = \sin \phi \sin \theta \cos \psi - \cos \phi \sin \psi$
$P_{n_w} = \cos \phi \sin \theta \cos \psi + \sin \phi \sin \psi$
$P_{n_\phi} = (\cos \phi \sin \theta \cos \psi + \sin \phi \sin \psi) v + (\cos \phi \sin \psi - \sin \phi \sin \theta \cos \psi) w$
$P_{n_\theta} = -\sin \theta \cos \psi u + \sin \phi \cos \theta \cos \psi v + \cos \phi \cos \theta \cos \psi w$
$P_{n_\psi} = -\cos \theta \sin \psi u + (\sin \phi \sin \theta \sin \psi + \cos \phi \cos \psi) v + (-\cos \phi \sin \theta \sin \psi + \sin \phi \cos \psi) w$

جدول پ-۳ مشتقات آیرودینامیک کانال عرضی

$$Y_u = -r + \frac{\rho S b (u-u_w)}{4m V_a} [C_{y_p} (p-p_w) + C_{y_r} (r-r_w)] + \frac{\rho S (u-u_w)}{m} [C_{y_0} + C_{y_\beta} \beta + C_{y_{\delta_a}} \delta_a + C_{y_{\delta_r}} \delta_r] - \frac{\rho S C_{y_\beta}}{2m} \frac{(u-u_w)(v-v_w)}{\sqrt{(u-u_w)^2 + (w-w_w)^2}}$$

علیرضا شریفی، "توسعه و پیاده‌سازی فیلترهای چندمدلی در فرود خودکار پرنده بدون سرنشین جهت شناسایی برخط و جبران‌سازی اغتشاشات اتمسفری"، رساله دکتری، استاد راهنما: دکتر هادی نوبهاری، دانشگاه صنعتی شریف، دانشکده مهندسی هوافضا، تابستان ۱۳۹۹

$Y_v = \frac{\rho S b (v - v_w)}{4m V_a} [C_{y_p} (p - p_w) + C_{y_r} (r - r_w)] + \frac{\rho S (v - v_w)}{m} [C_{y_0} + C_{y_\beta} \beta + C_{y_{\delta_a}} \delta_a + C_{y_{\delta_r}} \delta_r] + \frac{\rho S C_{y_\beta}}{2m} \sqrt{(u - u_w)^2 + (w - w_w)^2}$
$Y_w = p + \frac{\rho S b (w - w_w)}{4m V_a} [C_{y_p} (p - p_w) + C_{y_r} (r - r_w)] + \frac{\rho S b (w - w_w)}{m} [C_{y_0} + C_{y_\beta} \beta + C_{y_{\delta_a}} \delta_a + C_{y_{\delta_r}} \delta_r] - \frac{\rho S C_{y_\beta}}{2m} \frac{(v - v_w)(w - w_w)}{\sqrt{(u - u_w)^2 + (w - w_w)^2}}$
$Y_p = \frac{\rho V_a S b}{4m} C_{y_p} + w$
$Y_r = \frac{\rho V_a S b}{4m} C_{y_r} - u$
$Y_\phi = g \cos \theta \cos \phi$
$Y_\theta = -g \sin \theta \sin \phi$
$Y_{\delta_a} = \frac{\rho V_a^2 S}{2m} C_{y_{\delta_a}}$
$Y_{\delta_r} = \frac{\rho V_a^2 S}{2m} C_{y_{\delta_r}}$
$L_u = \frac{\rho S b^2 (u - u_w)}{4 V_a} [C_{p_p} (p - p_w) + C_{p_r} (r - r_w)] + \rho S b (u - u_w) [C_{p_0} + C_{p_\beta} \beta + C_{p_{\delta_a}} \delta_a + C_{p_{\delta_r}} \delta_r] - \frac{\rho S b C_{p_\beta}}{2} \frac{(u - u_w)(v - v_w)}{\sqrt{(u - u_w)^2 + (w - w_w)^2}}$
$L_v = \frac{\rho S b^2 (v - v_w)}{4 V_a} [C_{p_p} (p - p_w) + C_{p_r} (r - r_w)] + \rho S b (v - v_w) [C_{p_0} + C_{p_\beta} \beta + C_{p_{\delta_a}} \delta_a + C_{p_{\delta_r}} \delta_r] + \frac{\rho S b C_{p_\beta}}{2} \sqrt{(u - u_w)^2 + (w - w_w)^2}$
$L_w = \frac{\rho S b^2 (w - w_w)}{4 V_a} [C_{p_p} (p - p_w) + C_{p_r} (r - r_w)] + \rho S b (w - w_w) [C_{p_0} + C_{p_\beta} \beta + C_{p_{\delta_a}} \delta_a + C_{p_{\delta_r}} \delta_r] - \frac{\rho S b C_{p_\beta}}{2} \frac{(w - w_w)(v - v_w)}{\sqrt{(u - u_w)^2 + (w - w_w)^2}}$
$L_p = \Gamma_1 q + \frac{\rho V_a S b^2}{4} C_{p_p}$
$L_q = \Gamma_1 p - \Gamma_2 r$
$L_r = -\Gamma_2 q + \frac{\rho V_a S b^2}{4} C_{p_r}$

علیرضا شریفی، "توسعه و پیاده‌سازی فیلترهای چندمدلی در فرود خودکار پرنده بدون سرنشین جهت شناسایی برخط و جبران‌سازی اغتشاشات اتمسفری"، رساله دکتری، استاد راهنما: دکتر هادی نوبهاری، دانشگاه صنعتی شریف، دانشکده مهندسی هوافضا، تابستان ۱۳۹۹

$L_{\delta_a} = \frac{\rho V_a^2 S b}{2} C_{p_{\delta_a}}$
$L_{\delta_r} = \frac{\rho V_a^2 S b}{2} C_{p_{\delta_r}}$
$N_u = \frac{\rho S b^2 (u - u_w)}{4 V_a} [C_{r_p} (p - p_w) + C_{r_r} (r - r_w)] + \rho S b (u - u_w) [C_{r_0} + C_{r_\beta} \beta + C_{r_{\delta_a}} \delta_a + C_{r_{\delta_r}} \delta_r]$ $- \frac{\rho S b C_{r_\beta}}{2} \frac{(u - u_w)(v - v_w)}{\sqrt{(u - u_w)^2 + (w - w_w)^2}}$
$N_v = \frac{\rho S b^2 (v - v_w)}{4 V_a} [C_{r_p} (p - p_w) + C_{r_r} (r - r_w)] + \rho S b (v - v_w) [C_{r_0} + C_{r_\beta} \beta + C_{r_{\delta_a}} \delta_a + C_{r_{\delta_r}} \delta_r]$ $+ \frac{\rho S b C_{r_\beta}}{2} \sqrt{(u - u_w)^2 + (w - w_w)^2}$
$N_w = \frac{\rho S b^2 (w - w_w)}{4 V_a} [C_{r_p} (p - p_w) + C_{r_r} (r - r_w)] + \rho S b (w - w_w) [C_{r_0} + C_{r_\beta} \beta + C_{r_{\delta_a}} \delta_a + C_{r_{\delta_r}} \delta_r]$ $- \frac{\rho S b C_{r_\beta}}{2} \frac{(w - w_w)(v - v_w)}{\sqrt{(u - u_w)^2 + (w - w_w)^2}}$
$N_p = -\Gamma_7 q + \frac{\rho V_a S b^2}{4} C_{r_p}$
$N_q = \Gamma_7 p - \Gamma_1 r$
$N_r = -\Gamma_1 q + \frac{\rho V_a S b^2}{4} C_{r_r}$
$N_{\delta_a} = \frac{\rho V_a^2 S b}{2} C_{r_{\delta_a}}$
$N_{\delta_r} = \frac{\rho V_a^2 S b}{2} C_{r_{\delta_r}}$
$\Phi_q = \sin \phi \tan \theta$
$\Phi_r = \cos \phi \tan \theta$
$\Phi_\phi = \tan \theta (q \cos \phi - r \sin \phi)$
$\Phi_\theta = (\sec \theta)^2 (q \sin \phi + r \cos \phi)$
$\Psi_q = \sin \phi \sec \theta$
$\Psi_r = \cos \phi \sec \theta$
$\Psi_\phi = \sec \theta (q \cos \phi - r \sin \phi)$
$\Psi_\theta = \sec \theta \tan \theta (q \sin \phi + r \cos \phi)$
$P_{\epsilon_u} = \cos \theta \sin \psi$

علیرضا شریفی، "توسعه و پیاده‌سازی فیلترهای چندمدلی در فرود خودکار پرنده بدون سرنشین جهت شناسایی برخط و جبران‌سازی اغتشاشات اتمسفری"، رساله دکتری، استاد راهنما: دکتر هادی نوبهاری، دانشگاه صنعتی شریف، دانشکده مهندسی هوافضا، تابستان ۱۳۹۹

$P_{e_v} = \sin \phi \sin \theta \sin \psi + \cos \phi \cos \psi$
$P_{e_w} = \cos \phi \sin \theta \sin \psi - \sin \phi \cos \psi$
$P_{e_\phi} = (\cos \phi \sin \theta \sin \psi - \sin \phi \cos \psi)v - (\sin \phi \sin \theta \sin \psi + \cos \phi \cos \psi)w$
$P_{e_\theta} = -\sin \theta \sin \psi u + \sin \phi \cos \theta \sin \psi v + \cos \phi \cos \theta \sin \psi w$
$P_{e_\psi} = \cos \theta \cos \psi u + (\sin \phi \sin \theta \cos \psi - \cos \phi \sin \psi)v + (\cos \phi \sin \theta \cos \psi + \sin \phi \sin \psi)w$

## پیوست پ: پارامترهای پرنده

پارامترهای اینرسی، هندسی و آیرودینامیکی پرنده بدون سرنشین بال ثابت در جدول پ-۴ بیان شده است. به این منظور، فرض می شود که پرنده در شرایط تریم، در ارتفاع ۱۰۰ متر و با سرعت هوا ۳۵ متر بر ثانیه پرواز می کند. از این رو، مقادیر مشتقات پایداری بعددار کانال طولی و عرضی پرنده به ترتیب در جدول پ-۵ و جدول پ-۶ بیان شده است [۱۸۳]. همچنین، ویژگی های تصادفی نویز اندازه گیری سنسورها در جدول پ-۷ نشان داده شده است و نرخ نمونه برداری سنسورها ۱۰۰ هرتز فرض می شود.

جدول پ-۴ پارامترهای پرنده

پارامتر	واحد	مقدار	پارامتر	واحد	مقدار	پارامتر	واحد	مقدار
$C_{m\dot{\alpha}}$	kg	15	$C_{Y_p}$	-	-1.1402	$C_{m\dot{\delta}_e}$	kg.m <sup>2</sup>	2.53
$C_{L\dot{\alpha}}$	m <sup>2</sup>	1.125	$C_{L_p}$	-	3.8938	$C_{m\dot{\delta}_s}$	kg.m <sup>2</sup>	1.76
$C_{D\dot{\alpha}}$	m	0.375	$C_{n_p}$	-	0	$C_{Y\dot{\delta}_e}$	kg.m <sup>2</sup>	0.1
$C_{m\dot{\gamma}}$	m	3	$C_{Y_r}$	-	-25.267	$C_{Y\dot{\delta}_s}$	-	-
$C_{L\dot{\delta}_e}$	kg.m <sup>2</sup>	0.79	$C_{L_i}$	-	0.90527	$C_{L_0}$	-	0.123
$C_{D\dot{\delta}_s}$	kg.m <sup>2</sup>	1.76	$C_{n_r}$	-	0.0038961	$C_{D_0}$	-	0.047
$C_{m\dot{\delta}_s}$	kg.m <sup>2</sup>	2.53	$C_{Y_{\dot{\delta}_e}}$	-	1.8381	$C_{m_0}$	-	0.0089
$C_{Y_0}$	kg.m <sup>2</sup>	0.1	$C_{L_{\dot{\delta}_e}}$	-	0	$C_{L_{\beta}}$	-	6.8755
$C_{L_0}$	-	0.123	$C_{n_{\dot{\delta}_e}}$	-	0	$C_{n_{\beta}}$	-	0.17189
$C_{D_0}$	-	0.047	$C_{Y_{\dot{\delta}_s}}$	-	0	$C_{D_z}$	-	-
$C_{m_0}$	-	0.0089	$C_{L_{\dot{\delta}_s}}$	-	-0.49206			
$C_{L_z}$	-	6.8755	$C_{n_{\dot{\delta}_s}}$	-	0.036211			
$C_{D_z}$	-	0.17189			0.036211			

جدول پ-۵ مشتقات پایداری بعددار کانال طولی پرنده

پارامتر	واحد	مقدار	پارامتر	واحد	مقدار	پارامتر	واحد	مقدار
$X_u$	1/sec	-0.1345	$Z_u$	1/sec	-0.3519	$M_u$	rad/m/sec	0.0814
$X_v$	1/sec	0	$Z_v$	1/sec	0	$M_v$	rad/m/sec	0
$X_w$	1/sec	-0.0699	$Z_w$	1/sec	-9.9035	$M_w$	rad/m/sec	-5.2133
$X_q$	m/rad/sec	0	$Z_p$	m/rad/sec	0	$M_p$	1/sec	0
$X_r$	m/rad/sec	0	$Z_q$	m/rad/sec	33.9555	$M_q$	1/sec	-21.6616
$X_\theta$	m/rad/sec <sup>2</sup>	-9.79	$Z_\phi$	m/rad/sec <sup>2</sup>	0	$M_r$	1/sec	0
$X_{\delta_e}$	m/rad/sec <sup>2</sup>	-0.1951	$Z_\theta$	m/rad/sec <sup>2</sup>	0	$M_{\delta_e}$	1/sec <sup>2</sup>	294.1527
$X_{\delta_i}$	m/rad/sec <sup>2</sup>	3.33	$Z_{\delta_e}$	m/rad/sec <sup>2</sup>	-45.3268	$P_{n_u}$	-	1
$\Theta_q$	-	1	$H_u$	-	0	$P_{n_v}$	-	0
$\Theta_r$	-	0	$H_v$	-	0	$P_{n_w}$	-	0
$\Theta_\phi$	1/sec	0	$H_w$	-	1	$P_{n_\phi}$	m/rad	0
			$H_\phi$	m/rad	0	$P_{n_\theta}$	m/rad	0
			$H_\theta$	m/rad	-35	$P_{n_\psi}$	m/rad	0

جدول پ-۶ مشتقات پایداری بعددار کانال عرضی پرنده

پارامتر	واحد	مقدار	پارامتر	واحد	مقدار	پارامتر	واحد	مقدار
$Y_u$	1/sec	0	$L_u$	rad/m/sec	0	$N_u$	rad/m/sec	0
$Y_v$	1/sec	0-0.704	$L_v$	rad/m/sec	-3.5895	$N_v$	rad/m/sec	0.7795
$Y_w$	1/sec	0	$L_w$	rad/m/sec	0	$N_w$	rad/m/sec	0
$Y_p$	m/rad/sec	0.0073	$L_p$	1/sec	-65.4257	$N_p$	1/sec	-2.6329
$Y_r$	m/rad/sec	-35	$L_q$	1/sec	0	$N_q$	1/sec	0
$Y_\phi$	m/rad/sec <sup>2</sup>	9.79	$L_r$	1/sec	3.2905	$N_r$	1/sec	-0.5184
$Y_\theta$	m/rad/sec <sup>2</sup>	0	$L_{\delta_a}$	1/sec <sup>2</sup>	423.494	$N_{\delta_a}$	1/sec <sup>2</sup>	15.5479
$Y_{\delta_a}$	m/rad/sec <sup>2</sup>	0	$L_{\delta_r}$	1/sec <sup>2</sup>	132.4303	$N_{\delta_r}$	1/sec <sup>2</sup>	-63.2711
$Y_{\delta_i}$	m/rad/sec <sup>2</sup>	-26.9677	$\Psi_q$	-	0	$P_{e_u}$	-	0

علیرضا شریفی، "توسعه و پیاده‌سازی فیلترهای چندمدلی در فرود خودکار پرنده بدون سرنشین جهت شناسایی برخط و جبران‌سازی اغتشاشات اتمسفری"، رساله دکتری، استاد راهنما: دکتر هادی نوبهاری، دانشگاه صنعتی شریف، دانشکده مهندسی هوافضا، تابستان ۱۳۹۹



پارامتر	واحد	مقدار	پارامتر	واحد	مقدار	پارامتر	واحد	مقدار
$\Phi_q$	-	0	$\Psi_r$	-	1	$P_{e_v}$	-	1
$\Phi_r$	-	0	$\Psi_\phi$	1/sec	1	$P_{e_w}$	-	0
$\Phi_\phi$	1/sec	0	$\Psi_\theta$	1/sec	0	$P_{e_\phi}$	m/rad	0
$\Phi_\theta$	1/sec	0	$P_{e_\theta}$	m/rad	0	$P_{e_\psi}$	m/rad	35

جدول پ-۷ انحراف معیار نویز اندازه گیری

متغیر	انحراف معیار	واحد	متغیر	انحراف معیار	واحد	متغیر	انحراف معیار	واحد
اندازه گیری	$p_{n_m}$	m	اندازه گیری	$p_{e_m}$	m	متغیر	$h_m$	m
اندازه گیری	$\dot{p}_{n_m}$	m/s	اندازه گیری	$\dot{p}_{e_m}$	m/s	متغیر	$\dot{p}_{d_m}$	m/s
اندازه گیری	$p_m$	deg/s	اندازه گیری	$q_m$	deg/s	متغیر	$r_m$	deg/s
اندازه گیری	$\psi_m$	deg				متغیر		

## پیوست ت: اثبات قضایای مشاهده پذیری برای سیستم‌های خطی پیوسته زمان

اثبات قضیه ۲ (مشاهده پذیری قوی): در این بخش اثبات قضیه ۲ مرتبط با شرایط مشاهده پذیری قوی برای یک سیستم خطی پیوسته زمان بیان می‌شود [۹۸].

شرط لازم: خروجی سیستم و مشتقات آن تا مرتبه  $i$ -ام به صورت زیر محاسبه می‌شود:

$$\left\{ \begin{array}{l} \mathbf{z} = \mathbf{C}\mathbf{x} + \mathbf{D}\delta + \mathbf{D}_d \mathbf{d} \\ \mathbf{z}^{(1)} = \mathbf{C}\mathbf{x}^{(1)} + \mathbf{D}\delta^{(1)} + \mathbf{D}_d \mathbf{d}^{(1)} = \mathbf{C}\mathbf{A}\mathbf{x} + \mathbf{C}\mathbf{B}\delta + \mathbf{C}\mathbf{B}\mathbf{d} + \mathbf{D}\delta^{(1)} + \mathbf{D}_d \mathbf{d}^{(1)} \\ \vdots \\ \mathbf{z}^{(n-1)} = \mathbf{C}\mathbf{A}^{n-1}\mathbf{x} + \mathbf{C}\mathbf{A}^{n-2}\mathbf{B}\delta + \cdots + \mathbf{D}\delta^{(n-1)} + \mathbf{C}\mathbf{A}^{n-2}\mathbf{B}\mathbf{d} + \cdots + \mathbf{D}_d \mathbf{d}^{(n-1)} \\ \vdots \\ \mathbf{z}^{(i)} = \mathbf{C}\mathbf{A}^i\mathbf{x} + \mathbf{C}\mathbf{A}^{i-1}\mathbf{B}\delta + \cdots + \mathbf{D}\delta^{(i)} + \mathbf{C}\mathbf{A}^{i-1}\mathbf{B}\mathbf{d} + \cdots + \mathbf{D}_d \mathbf{d}^{(i)} \end{array} \right. \quad (\text{پ-۷})$$

معادله فوق می‌تواند به فرم ماتریسی زیر بیان شود:

$$\begin{bmatrix} \mathbf{z} \\ \mathbf{z}^{(1)} \\ \vdots \\ \mathbf{z}^{(n-1)} \\ \vdots \\ \mathbf{z}^{(i)} \end{bmatrix} = \mathbf{O}_i \mathbf{x} + \mathbf{W}_i \begin{bmatrix} \delta \\ \delta^{(1)} \\ \vdots \\ \delta^{(n-1)} \\ \vdots \\ \delta^{(i)} \end{bmatrix} + \mathbf{W}_{d_i} \begin{bmatrix} \mathbf{d} \\ \mathbf{d}^{(1)} \\ \vdots \\ \mathbf{d}^{(n-1)} \\ \vdots \\ \mathbf{d}^{(i)} \end{bmatrix} \quad (\text{پ-۸})$$

جایگه؛

$$\mathbf{O}_i = \begin{bmatrix} \mathbf{C} \\ \mathbf{CA} \\ \vdots \\ \mathbf{CA}^{n-1} \\ \vdots \\ \mathbf{CA}^i \end{bmatrix} \quad (\text{پ-۹})$$

$$\mathbf{W}_i = \begin{bmatrix} \mathbf{D} & \mathbf{0} & \mathbf{0} & \dots & \dots & \dots & \mathbf{0} \\ \mathbf{CB} & \mathbf{D} & \mathbf{0} & \dots & \dots & \dots & \mathbf{0} \\ \mathbf{CAB} & \mathbf{CB} & \mathbf{D} & \dots & \dots & \dots & \mathbf{0} \\ \vdots & \vdots & \vdots & \ddots & \vdots & \vdots & \vdots \\ \mathbf{CA}^{n-2}\mathbf{B} & \mathbf{CA}^{n-3}\mathbf{B} & \mathbf{CA}^{n-4}\mathbf{B} & \dots & \ddots & \dots & \vdots \\ \vdots & \vdots & \vdots & \vdots & \vdots & \ddots & \vdots \\ \mathbf{CA}^{i-1}\mathbf{B} & \mathbf{CA}^{i-2}\mathbf{B} & \mathbf{CA}^{i-3}\mathbf{B} & \dots & \dots & \dots & \mathbf{D} \end{bmatrix} \quad (\text{پ-۱۰})$$

$$\mathbf{W}_{d_i} = \begin{bmatrix} \mathbf{D}_d & \mathbf{0} & \mathbf{0} & \dots & \dots & \dots & \mathbf{0} \\ \mathbf{CB}_d & \mathbf{D}_d & \mathbf{0} & \dots & \dots & \dots & \mathbf{0} \\ \mathbf{CAB}_d & \mathbf{CB}_d & \mathbf{D}_d & \dots & \dots & \dots & \mathbf{0} \\ \vdots & \vdots & \vdots & \ddots & \vdots & \vdots & \vdots \\ \mathbf{CA}^{n-2}\mathbf{B}_d & \mathbf{CA}^{n-3}\mathbf{B}_d & \mathbf{CA}^{n-4}\mathbf{B}_d & \dots & \ddots & \dots & \vdots \\ \vdots & \vdots & \vdots & \vdots & \vdots & \ddots & \vdots \\ \mathbf{CA}^{i-1}\mathbf{B}_d & \mathbf{CA}^{i-2}\mathbf{B}_d & \mathbf{CA}^{i-3}\mathbf{B}_d & \dots & \dots & \dots & \mathbf{D}_d \end{bmatrix} \quad (\text{پ-۱۱})$$

معادله فوق به صورت زیر بازنویسی می‌شود:

$$\begin{bmatrix} \mathbf{z} \\ \mathbf{z}^{(1)} \\ \vdots \\ \mathbf{z}^{(n-1)} \\ \vdots \\ \mathbf{z}^{(i)} \end{bmatrix} - \mathbf{W}_i \begin{bmatrix} \delta \\ \delta^{(1)} \\ \vdots \\ \delta^{(n-1)} \\ \vdots \\ \delta^{(i)} \end{bmatrix} = \mathbf{O}_i \mathbf{x} + \mathbf{W}_{d_i} \begin{bmatrix} \mathbf{d} \\ \mathbf{d}^{(1)} \\ \vdots \\ \mathbf{d}^{(n-1)} \\ \vdots \\ \mathbf{d}^{(i)} \end{bmatrix} = [\mathbf{O}_i \quad \mathbf{W}_{d_i}] \begin{bmatrix} \mathbf{x} \\ \mathbf{d} \\ \vdots \\ \mathbf{d}^{(n-1)} \\ \vdots \\ \mathbf{d}^{(i)} \end{bmatrix} \quad (\text{پ-۱۲})$$

از آنجا که، ورودی‌های سیستم و مشاهدات معلوم هستند؛ سمت چپ معادله فوق معلوم است. بنابراین، به منظور بازیابی بردار متغیرهای حالت،  $\mathbf{x}$ ، از دنباله ورودی‌های نامعلوم،  $\mathbf{d}, \dots, \mathbf{d}^{(i)}$ ، بر طبق قضیه ۱۵،

که در پیوست "ج" بیان شده‌است، ستون‌های ماتریس  $O_i$  باید مستقل خطی از ستون‌های  $W_{d_i}$  باشد؛ یعنی:

$$\text{rank}\left(\begin{bmatrix} O_i & W_{d_i} \end{bmatrix}\right) = \text{rank}(O_i) + \text{rank}(W_{d_i}) \quad (\text{پ-۱۳})$$

همچنین، به منظور بازیابی متغیرهای حالت،  $x$ ، رنک ماتریس  $O_i$  باید کامل باشد. یعنی:

$$\text{rank}(O_i) = n \quad (\text{پ-۱۴})$$

بنابراین،

$$\text{rank}\left(\begin{bmatrix} O_i & W_{d_i} \end{bmatrix}\right) = n + \text{rank}(W_{d_i}) \quad (\text{پ-۱۵})$$

بر مبنای قضیه کیلی-همیلتون [۱۷۲]، توان‌های  $A^i$  با  $i \geq n$  می‌تواند به صورت ترکیب خطی  $I, A, \dots, A^{n-1}$  بیان شود. بنابراین، شرایط قبل به ازای  $i = n-1$  معتبر است. در نتیجه، ماتریس‌های  $O_i$ ،  $W_i$  و  $W_{d_i}$  به صورت زیر کاهش می‌یابد:

$$O_n = \begin{bmatrix} C \\ CA \\ \vdots \\ CA^{n-1} \end{bmatrix} \quad (\text{پ-۱۶})$$

$$W_n = \begin{bmatrix} D & 0 & 0 & \dots & 0 \\ CB & D & 0 & \dots & 0 \\ CAB & CB & D & \dots & 0 \\ \vdots & \vdots & \vdots & \ddots & \vdots \\ CA^{n-2}B & CA^{n-3}B & CA^{n-4}B & \dots & D \end{bmatrix} \quad (\text{پ-۱۷})$$

$$W_d = \begin{bmatrix} D_d & 0 & 0 & \dots & 0 \\ CB_d & D_d & 0 & \dots & 0 \\ CAB_d & CB_d & D_d & \dots & 0 \\ \vdots & \vdots & \vdots & \ddots & \vdots \\ CA^{n-2}B_d & CA^{n-3}B_d & CA^{n-4}B_d & \dots & D_d \end{bmatrix} \quad (\text{پ-۱۸})$$

اینجا،  $O_n$ ،  $W_n$  و  $W_d$  به ترتیب بیانگر ماتریس مشاهده پذیری برای جفت  $(A, C)$ ، ماتریس معکوس پذیری ورودی برای چهارگانه  $(A, B, C, D)$  و ماتریس معکوس پذیری ورودی‌های مجهول برای چهارگانه  $(A, B_d, C, D_d)$  هستند.

**شرط کافی:** با در نظر گرفتن معادلات (پ-۱۴) و (پ-۱۵)، بر مبنای تضاد فرض می‌شود که سیستم مشاهده پذیر قوی نیست. به عبارت دیگر،  $x'$  غیرقابل تشخیص از  $x$  است؛ به گونه‌ای که

$$z^{(0):(n-1)}(x', \delta^{(0):(n-1)}, d^{(1):(n-1)}) = z^{(0):(n-1)}(x, \delta^{(0):(n-1)}, d^{(0):(n-1)})$$

$$O_n x' + W_d \begin{bmatrix} d \\ d^{(1)} \\ \vdots \\ d^{(n-1)} \end{bmatrix} + W_n \begin{bmatrix} \delta \\ \delta^{(1)} \\ \vdots \\ \delta^{(n-1)} \end{bmatrix} = O_n x + W_d \begin{bmatrix} d \\ d^{(1)} \\ \vdots \\ d^{(n-1)} \end{bmatrix} + W_n \begin{bmatrix} \delta \\ \delta^{(1)} \\ \vdots \\ \delta^{(n-1)} \end{bmatrix} \quad (\text{پ-۱۹})$$

بنابراین نتیجه می‌شود که  $O_n(x' - x) = 0$  است؛ یعنی رنک ماتریس  $O_n$  کامل نیست؛ که بیانگر تضاد است. لذا، سیستم خطی پیوسته مشاهده پذیر قوی است.

اثبات قضیه ۳ (مشاهده پذیری ورودی‌های نامعلوم): در این بخش اثبات قضیه ۳ مرتبط با شرایط مشاهده پذیری ورودی‌های نامعلوم برای یک سیستم خطی پیوسته زمان بیان می‌شود.

شرط لازم: خروجی سیستم و مشتقات آن تا مرتبه  $i$ -ام بر طبق معادله (پ-۱۲) با پارتیشن‌بندی  $\mathbf{W}_{d_i} = [\mathbf{O}_{d_i} \quad \mathbf{W}'_{d_i}]$  به صورت زیر در فرم ماتریسی بیان می‌شود:

$$\begin{bmatrix} \mathbf{z} \\ \mathbf{z}^{(1)} \\ \vdots \\ \mathbf{z}^{(n)} \\ \vdots \\ \mathbf{z}^{(i)} \end{bmatrix} = \mathbf{O}_i \mathbf{x} + \mathbf{W}_i \begin{bmatrix} \delta \\ \delta^{(1)} \\ \vdots \\ \delta^{(n)} \\ \vdots \\ \delta^{(i)} \end{bmatrix} + \mathbf{O}_{d_i} \mathbf{d} + \mathbf{W}'_{d_i} \begin{bmatrix} \mathbf{d}^{(1)} \\ \vdots \\ \mathbf{d}^{(n)} \\ \vdots \\ \mathbf{d}^{(i)} \end{bmatrix} \quad (\text{پ-۲۰})$$

جایگه؛

$$\mathbf{O}_{d_i} = \begin{bmatrix} \mathbf{D}_d \\ \mathbf{C}\mathbf{B}_d \\ \mathbf{C}\mathbf{A}\mathbf{B}_d \\ \vdots \\ \mathbf{C}\mathbf{A}^{n-1}\mathbf{B}_d \\ \vdots \\ \mathbf{C}\mathbf{A}^{i-1}\mathbf{B}_d \end{bmatrix}; \mathbf{W}'_{d_i} = \begin{bmatrix} \mathbf{0} & \mathbf{0} & \dots & \dots & \dots & \mathbf{0} \\ \mathbf{D}_d & \mathbf{0} & \dots & \dots & \dots & \mathbf{0} \\ \mathbf{C}\mathbf{B}_d & \mathbf{D}_d & \mathbf{0} & \dots & \dots & \mathbf{0} \\ \vdots & \vdots & \ddots & \vdots & \vdots & \vdots \\ \mathbf{C}\mathbf{A}^{n-2}\mathbf{B}_d & \mathbf{C}\mathbf{A}^{n-3}\mathbf{B}_d & \dots & \ddots & \dots & \dots \\ \vdots & \vdots & \vdots & \vdots & \ddots & \vdots \\ \mathbf{C}\mathbf{A}^{i-2}\mathbf{B}_d & \mathbf{C}\mathbf{A}^{i-3}\mathbf{B}_d & \dots & \dots & \dots & \mathbf{D}_d \end{bmatrix} \quad (\text{پ-۲۱})$$

معادله فوق به صورت زیر بازنویسی می‌شود:

$$\begin{bmatrix} \mathbf{z} \\ \mathbf{z}^{(1)} \\ \vdots \\ \mathbf{z}^{(n)} \\ \vdots \\ \mathbf{z}^{(i)} \end{bmatrix} - \mathbf{O}_i \mathbf{x} - \mathbf{W}_i \begin{bmatrix} \delta \\ \delta^{(1)} \\ \vdots \\ \delta^{(n)} \\ \vdots \\ \delta^{(i)} \end{bmatrix} = \mathbf{O}_{d_i} \mathbf{d} + \mathbf{W}'_{d_i} \begin{bmatrix} \mathbf{d}^{(1)} \\ \vdots \\ \mathbf{d}^{(n)} \\ \vdots \\ \mathbf{d}^{(i)} \end{bmatrix} = [\mathbf{O}_{d_i} \quad \mathbf{W}'_{d_i}] \begin{bmatrix} \mathbf{d} \\ \mathbf{d}^{(1)} \\ \vdots \\ \mathbf{d}^{(n)} \\ \vdots \\ \mathbf{d}^{(i)} \end{bmatrix} \quad (\text{پ-۲۲})$$

سمت چپ معادله فوق معلوم است. بنابراین، به منظور بازیابی ورودی‌های نامعلوم  $\mathbf{d}$ ، از دنباله سایر ورودی‌های نامعلوم،  $\mathbf{d}^{(1)}, \dots, \mathbf{d}^{(i)}$ ، بر طبق قضیه ۱۳، که در پیوست "چ" بیان شده‌است، باید ستون‌های ماتریس  $\mathbf{O}_{d_i}$  مستقل خطی از ستون‌های  $\mathbf{W}'_{d_i}$  باشد؛ یعنی:

$$\text{rank}\left(\begin{bmatrix} \mathbf{O}_{d_i} & \mathbf{W}'_{d_i} \end{bmatrix}\right) = \text{rank}\left(\mathbf{O}_{d_i}\right) + \text{rank}\left(\mathbf{W}'_{d_i}\right) \quad (\text{پ-۲۳})$$

همچنین، به منظور بازیابی ورودی نامعلوم،  $\mathbf{d}$ ، رنک ستونی ماتریس  $\mathbf{O}_{d_i}$  باید کامل باشد. یعنی:

$$\text{rank}\left(\mathbf{O}_{d_i}\right) = n_d \quad (\text{پ-۲۴})$$

بنابراین،

$$\text{rank}\left(\begin{bmatrix} \mathbf{O}_{d_i} & \mathbf{W}'_{d_i} \end{bmatrix}\right) = n_d + \text{rank}\left(\mathbf{W}'_{d_i}\right) \quad (\text{پ-۲۵})$$

بر مبنای قضیه کیلی-همیلتون [۱۷۲]، توان‌های  $\mathbf{A}^i$  با  $i \geq n$  می‌تواند به صورت ترکیب خطی  $\mathbf{I}, \mathbf{A}, \dots, \mathbf{A}^{n-1}$  بیان شود. بنابراین، شرایط قبل به ازای  $i = 0, 1, \dots, n$  معتبر است. در نتیجه، ماتریس‌های  $\mathbf{O}_{d_i}$ ،  $\mathbf{W}_i$  و  $\mathbf{W}'_{d_i}$  به صورت زیر کاهش می‌یابد:

$$\mathbf{O}_d = \begin{bmatrix} \mathbf{D}_d \\ \mathbf{CB}_d \\ \mathbf{CAB}_d \\ \vdots \\ \mathbf{CA}^{n-1}\mathbf{B}_d \end{bmatrix} \quad (\text{پ-۲۶})$$

$$\mathbf{W}_{n+1} = \begin{bmatrix} \mathbf{D} & \mathbf{0} & \mathbf{0} & \dots & \mathbf{0} \\ \mathbf{CB} & \mathbf{D} & \mathbf{0} & \dots & \mathbf{0} \\ \mathbf{CAB} & \mathbf{CB} & \mathbf{D} & \dots & \mathbf{0} \\ \vdots & \vdots & \vdots & \ddots & \vdots \\ \mathbf{CA}^{n-1}\mathbf{B} & \mathbf{CA}^{n-2}\mathbf{B} & \mathbf{CA}^{n-3}\mathbf{B} & \dots & \mathbf{D} \end{bmatrix} \quad (\text{پ-۲۷})$$

$$W_d' = \begin{bmatrix} \mathbf{0} & \mathbf{0} & \dots & \mathbf{0} \\ \mathbf{D}_d & \mathbf{0} & \dots & \mathbf{0} \\ \mathbf{C}\mathbf{B}_d & \mathbf{D}_d & \dots & \mathbf{0} \\ \vdots & \vdots & \ddots & \vdots \\ \mathbf{C}\mathbf{A}^{n-2}\mathbf{B}_d & \mathbf{C}\mathbf{A}^{n-3}\mathbf{B}_d & \dots & \mathbf{D}_d \end{bmatrix} \quad (\text{پ-۲۸})$$

اینجا،  $O_d$  و  $W_d'$  به ترتیب بیانگر ماتریس مشاهده‌پذیری ورودی نامعلوم و ماتریس معکوس‌پذیری ورودی‌های مجهول مرتبط با اولین تا  $n$  امین مشتق  $d_k$  برای چهارگانه  $(A, B_d, C, D_d)$  هستند.

شرط کافی: با در نظر گرفتن معادلات (پ-۲۴) و (پ-۲۵)، بر مبنای تضاد فرض می‌شود که سیستم مشاهده‌پذیر ورودی نامعلوم نیست. به عبارت دیگر،  $d'$  غیرقابل تشخیص از  $d$  است؛ به گونه‌ای که

$$z^{(0):(n)}(d', x, \delta^{(0):(n)}, d^{(1):(n)}) = z^{(0):(n)}(d, x, \delta^{(0):(n)}, d^{(1):(n)})$$

$$O_d d' + O_{n+1} x' + W_{n+1} \begin{bmatrix} \delta \\ \delta^{(1)} \\ \vdots \\ \delta^{(n)} \end{bmatrix} + W_d' \begin{bmatrix} d^{(1)} \\ \vdots \\ d^{(n)} \end{bmatrix} = O_d d + O_{n+1} x + W_{n+1} \begin{bmatrix} \delta \\ \delta^{(1)} \\ \vdots \\ \delta^{(n)} \end{bmatrix} + W_d' \begin{bmatrix} d^{(1)} \\ \vdots \\ d^{(n)} \end{bmatrix} \quad (\text{پ-۲۹})$$

جاییکه؛

$$O_{n+1} = \begin{bmatrix} C \\ \mathbf{C}\mathbf{A} \\ \vdots \\ \mathbf{C}\mathbf{A}^n \end{bmatrix} \quad (\text{پ-۳۰})$$

بنابراین نتیجه می‌شود که  $O_d(d' - d) = 0$  است؛ یعنی رنک ماتریس  $O_d$  کامل نیست؛ که بیانگر تضاد است. لذا، سیستم خطی پیوسته زمان مشاهده‌پذیر ورودی نامعلوم است.



اثبات قضیه ۴ (مشاهده پذیری توأمان متغیرهای حالت و ورودی‌های نامعلوم): در این بخش اثبات قضیه ۴ مرتبط با شرایط مشاهده پذیری توأمان متغیرهای حالت و ورودی‌های نامعلوم برای یک سیستم خطی پیوسته زمان بیان می‌شود.

شرط لازم: خروجی سیستم و مشتقات آن تا مرتبه  $\tau$  ام بر طبق معادله (پ-۲۲) به صورت زیر در فرم ماتریسی بیان می‌شود:

$$\begin{bmatrix} \mathbf{z} \\ \mathbf{z}^{(1)} \\ \vdots \\ \mathbf{z}^{(n)} \\ \vdots \\ \mathbf{z}^{(i)} \end{bmatrix} - \mathbf{W}_i \begin{bmatrix} \boldsymbol{\delta} \\ \boldsymbol{\delta}^{(1)} \\ \vdots \\ \boldsymbol{\delta}^{(n)} \\ \vdots \\ \boldsymbol{\delta}^{(i)} \end{bmatrix} = \mathbf{O}_{nd_i} \mathbf{x}_a + \mathbf{W}'_{d_i} \begin{bmatrix} \mathbf{d}^{(1)} \\ \vdots \\ \mathbf{d}^{(n)} \\ \vdots \\ \mathbf{d}^{(i)} \end{bmatrix} = \begin{bmatrix} \mathbf{O}_{nd_i} & \mathbf{W}'_{d_i} \end{bmatrix} \begin{bmatrix} \mathbf{x}_a \\ \mathbf{d}^{(1)} \\ \vdots \\ \mathbf{d}^{(n)} \\ \vdots \\ \mathbf{d}^{(i)} \end{bmatrix} \quad (\text{پ-۳۱})$$

در رابطه فوق،  $\mathbf{O}_{nd_i} = \begin{bmatrix} \mathbf{O}_i & \mathbf{O}_{d_i} \end{bmatrix}$  به صورت زیر تعریف می‌شود:

$$\mathbf{O}_{nd_i} = \begin{bmatrix} \mathbf{C} & \mathbf{D}_d \\ \mathbf{CA} & \mathbf{CB}_d \\ \mathbf{CA}^2 & \mathbf{CAB}_d \\ \vdots & \vdots \\ \mathbf{CA}^n & \mathbf{CA}^{n-1}\mathbf{B}_d \\ \vdots & \vdots \\ \mathbf{CA}^i & \mathbf{CA}^{i-1}\mathbf{B}_d \end{bmatrix} \quad (\text{پ-۳۲})$$

از آنجاکه، ورودی‌های سیستم و مشاهدات معلوم هستند؛ لذا سمت چپ معادله فوق معلوم است. بنابراین، متغیرهای حالت افزونه  $\mathbf{x}_a$  می‌تواند به صورت یکتا از معادله (پ-۳۱) بازیابی شود؛ اگر رنک ستونی ماتریس  $\mathbf{O}_{nd_i}$  کامل باشد. یعنی:

$$\text{rank}(\mathbf{O}_{nd_i}) = n + n_d \quad (\text{پ-۳۳})$$

همچنین، ستون‌های ماتریس  $\mathbf{O}_{nd_i}$  باید مستقل خطی از ستون‌های ماتریس  $\mathbf{W}'_{d_i}$  باشد؛ یعنی:

$$\text{rank}\left(\begin{bmatrix} \mathbf{O}_{nd_i} & \mathbf{W}'_{d_i} \end{bmatrix}\right) = \text{rank}(\mathbf{O}_{nd_i}) + \text{rank}(\mathbf{W}'_{d_i}) \quad (\text{پ-۳۴})$$

بنابراین،

$$\text{rank}\left(\begin{bmatrix} \mathbf{O}_{nd_i} & \mathbf{W}'_{d_i} \end{bmatrix}\right) = n + n_d + \text{rank}(\mathbf{W}'_{d_i}) \quad (\text{پ-۳۵})$$

بر مبنای قضیه کیلی-همیلتون، شرایط بیان شده به ازای  $i = 0, 1, \dots, n$  معتبر است. در نتیجه، ماتریس  $\mathbf{O}_{nd_i}$  به صورت زیر کاهش می‌یابد:

$$\mathbf{O}_{nd} = \begin{bmatrix} \mathbf{C} & \mathbf{D}_d \\ \mathbf{CA} & \mathbf{CB}_d \\ \mathbf{CA}^2 & \mathbf{CAB}_d \\ \vdots & \vdots \\ \mathbf{CA}^n & \mathbf{CA}^{n-1}\mathbf{B}_d \end{bmatrix} \quad (\text{پ-۳۶})$$

در رابطه فوق،  $\mathbf{O}_{nd} = [\mathbf{O}_n \quad \mathbf{O}_d]$  بیانگر ماتریس مشاهده پذیری متغیر حالت افزونه است.

**شرط کافی:** با در نظر گرفتن معادلات (پ-۳۴) و (پ-۳۵)، بر مبنای تضاد فرض می‌شود که سیستم مشاهده‌پذیر توامان متغیر حالت و ورودی نامعلوم نیست. به عبارت دیگر،  $\mathbf{x}'_a$  غیرقابل تشخیص از  $\mathbf{x}_a$  است؛ لذا  $\mathbf{z}^{(0):(n)}(\mathbf{x}'_a, \boldsymbol{\delta}^{(0):(n)}, \mathbf{d}^{(1):(n)}) = \mathbf{z}^{(0):(n)}(\mathbf{x}_a, \boldsymbol{\delta}^{(0):(n)}, \mathbf{d}^{(1):(n)})$  برقرار است. در نتیجه،

$$\mathbf{O}_{nd} \mathbf{x}'_a + \mathbf{W}_{n+1} \begin{bmatrix} \boldsymbol{\delta} \\ \boldsymbol{\delta}^{(1)} \\ \vdots \\ \boldsymbol{\delta}^{(n)} \end{bmatrix} + \mathbf{W}'_d \begin{bmatrix} \mathbf{d}^{(1)} \\ \vdots \\ \mathbf{d}^{(n)} \end{bmatrix} = \mathbf{O}_{nd} \mathbf{x}_a + \mathbf{W}_{n+1} \begin{bmatrix} \boldsymbol{\delta} \\ \boldsymbol{\delta}^{(1)} \\ \vdots \\ \boldsymbol{\delta}^{(n)} \end{bmatrix} + \mathbf{W}'_d \begin{bmatrix} \mathbf{d}^{(1)} \\ \vdots \\ \mathbf{d}^{(n)} \end{bmatrix} \quad (\text{پ-۳۷})$$

بنابراین نتیجه می‌شود که  $\mathbf{O}_{nd}(\mathbf{x}'_a - \mathbf{x}_a) = \mathbf{0}$  است؛ یعنی رنک ماتریس  $\mathbf{O}_{nd}$  کامل نیست؛ که بیانگر تضاد است. لذا، سیستم خطی پیوسته مشاهده‌پذیر توامان متغیر حالت و ورودی نامعلوم است.

اثبات قضیه ۵ (مشاهده پذیری متغیرهای حالت سیستم غیرخطی در حضور خطای خطی سازی): در این بخش اثبات قضیه ۵ مرتبط با شرایط مشاهده پذیری متغیرهای حالت یک سیستم غیرخطی پیوسته زمان در حضور خطای خطی سازی بیان می‌شود.

شرط لازم: مدل دینامیکی از یک سیستم غیرخطی به صورت زیر بیان می‌شود:

$$\dot{\mathbf{x}} = \mathbf{f}(\mathbf{x}, \delta) \quad (\text{پ-۳۸})$$

این مدل حول نقاط تعادل برطبق سری تیلور به صورت زیر خطی سازی می‌شود:

$$\dot{\mathbf{x}} = \mathbf{A} \mathbf{x} + \mathbf{B} \delta + \varepsilon \quad (\text{پ-۳۹})$$

در رابطه فوق،  $\varepsilon$  بیانگر خطاهای خطی سازی است. بر مبنای قضیه محدوده خطای لاگرانژ<sup>۱۲۴</sup> [۱۷۳]، محدوده بیشینه خطاهای خطی سازی برابر با بزرگترین مقدار مشتق دوم یک سیستم غیرخطی در نقطه تعادل است، که به صورت زیر بیان می‌شود:

$$\max(\varepsilon) = \frac{1}{2} \mathbf{m} e + \frac{1}{2} \mathbf{m}_\delta e_\delta \quad (\text{پ-۴۰})$$

در رابطه فوق،  $e$  بیانگر مشتق دوم سیستم غیرخطی نسبت به متغیرهای حالت است، که به صورت زیر تعریف می‌شود:

$$e = (x_1 - x_1^*)^2 + (x_2 - x_2^*)^2 + \dots + (x_n - x_n^*)^2 + 2(x_1 - x_1^*)(x_2 - x_2^*) + \dots + 2(x_{n-1} - x_{n-1}^*)(x_n - x_n^*) \quad (\text{پ-۴۱})$$

که  $\mathbf{x}^* = [x_1^* \ x_2^* \ \dots \ x_n^*]^T$  بیانگر بردار متغیرهای حالت در نقطه تعادل است. همچنین،  $\mathbf{m}$  نشان دهنده بردار بیشینه  $e$  در نقطه تعادل است، که به صورت زیر تعریف می‌شود:

<sup>124</sup> Lagrange Error Bound Theorem

$$\mathbf{m} = \begin{bmatrix} \max \left( \left| \frac{\partial^2 f_1}{\partial x_1^2} \right|, \left| \frac{\partial^2 f_1}{\partial x_1 x_2} \right|, \dots, \left| \frac{\partial^2 f_1}{\partial x_1 x_n} \right|, \dots, \left| \frac{\partial^2 f_1}{\partial x_n^2} \right| \right) \\ \max \left( \left| \frac{\partial^2 f_2}{\partial x_1^2} \right|, \left| \frac{\partial^2 f_2}{\partial x_1 x_2} \right|, \dots, \left| \frac{\partial^2 f_2}{\partial x_1 x_n} \right|, \dots, \left| \frac{\partial^2 f_2}{\partial x_n^2} \right| \right) \\ \vdots \\ \max \left( \left| \frac{\partial^2 f_n}{\partial x_1^2} \right|, \left| \frac{\partial^2 f_n}{\partial x_1 x_2} \right|, \dots, \left| \frac{\partial^2 f_n}{\partial x_1 x_n} \right|, \dots, \left| \frac{\partial^2 f_n}{\partial x_n^2} \right| \right) \end{bmatrix} \quad (\text{پ-۴۲})$$

همچنین،  $e_\delta$  و  $\mathbf{m}_\delta$  در نقاط تعادل به صورت زیر تعریف می‌شوند:

$$e_\delta = u_1^2 + u_2^2 + \dots + u_n^2 + 2u_1 u_2 + \dots + 2u_{n-1} u_n \quad (\text{پ-۴۳})$$

$$\mathbf{m}_\delta = \begin{bmatrix} \max \left( \left| \frac{\partial^2 f_1}{\partial u_1^2} \right|, \left| \frac{\partial^2 f_1}{\partial u_1 u_2} \right|, \dots, \left| \frac{\partial^2 f_1}{\partial u_1 u_n} \right|, \dots, \left| \frac{\partial^2 f_1}{\partial u_n^2} \right| \right) \\ \max \left( \left| \frac{\partial^2 f_2}{\partial u_1^2} \right|, \left| \frac{\partial^2 f_2}{\partial u_1 u_2} \right|, \dots, \left| \frac{\partial^2 f_2}{\partial u_1 u_n} \right|, \dots, \left| \frac{\partial^2 f_2}{\partial u_n^2} \right| \right) \\ \vdots \\ \max \left( \left| \frac{\partial^2 f_n}{\partial u_1^2} \right|, \left| \frac{\partial^2 f_n}{\partial u_1 u_2} \right|, \dots, \left| \frac{\partial^2 f_n}{\partial u_1 u_n} \right|, \dots, \left| \frac{\partial^2 f_n}{\partial u_n^2} \right| \right) \end{bmatrix} \quad (\text{پ-۴۴})$$

به منظور بررسی تاثیر خطاهای خطی سازی بر روی مشاهده پذیری متغیرهای حالت، مدل زیر بر طبق معادلات (پ-۳۹)، (پ-۴۰) و (۲۰.۴) به صورت زیر بیان می‌شود:

$$\begin{cases} \dot{\mathbf{x}} = \mathbf{A} \mathbf{x} + \mathbf{B} \delta + \frac{1}{2} \mathbf{m} e + \frac{1}{2} \mathbf{m}_\delta e_\delta \\ \mathbf{z} = \mathbf{C} \mathbf{x} \end{cases} \quad (\text{پ-۴۵})$$

در نتیجه، خروجی سیستم و مشتقات زمانی آن تا مرتبه  $i$ -ام به صورت زیر محاسبه می‌شود:

$$\left. \begin{aligned}
 \mathbf{z} &= \mathbf{C}\mathbf{x} \\
 \mathbf{z}^{(1)} &= \mathbf{C}\dot{\mathbf{x}} = \mathbf{C}\mathbf{A}\mathbf{x} + \mathbf{C}\mathbf{B}\delta + \frac{1}{2}\mathbf{C}\mathbf{m}e + \frac{1}{2}\mathbf{C}\mathbf{m}_\delta e_\delta \\
 &\vdots \\
 \mathbf{z}^{(n-1)} &= \mathbf{C}\mathbf{A}^{n-1}\mathbf{x} + \mathbf{C}\mathbf{A}^{n-2}\mathbf{B}\delta + \dots + \mathbf{C}\mathbf{B}\delta^{(n-2)} + \dots + \frac{1}{2}\mathbf{C}\mathbf{A}^{n-2}\mathbf{m}e + \frac{1}{2}\mathbf{C}\mathbf{A}^{n-3}\mathbf{m}e^{(1)} + \dots + \frac{1}{2}\mathbf{C}\mathbf{m}e^{(n-2)} \\
 &\quad + \frac{1}{2}\mathbf{C}\mathbf{A}^{n-2}\mathbf{m}_\delta e_\delta + \frac{1}{2}\mathbf{C}\mathbf{A}^{n-3}\mathbf{m}_\delta e_\delta^{(1)} + \dots + \frac{1}{2}\mathbf{C}\mathbf{m}_\delta e_\delta^{(n-2)} \\
 &\quad \vdots \\
 \mathbf{z}^{(i)} &= \mathbf{C}\mathbf{A}^i\mathbf{x} + \mathbf{C}\mathbf{A}^{i-1}\mathbf{B}\delta + \dots + \mathbf{C}\mathbf{B}\delta^{(i-1)} + \dots + \frac{1}{2}\mathbf{C}\mathbf{A}^{i-1}\mathbf{m}e + \frac{1}{2}\mathbf{C}\mathbf{A}^{i-2}\mathbf{m}e^{(1)} + \dots + \frac{1}{2}\mathbf{C}\mathbf{m}e^{(i-1)} \\
 &\quad + \frac{1}{2}\mathbf{C}\mathbf{A}^{i-1}\mathbf{m}_\delta e_\delta + \frac{1}{2}\mathbf{C}\mathbf{A}^{i-2}\mathbf{m}_\delta e_\delta^{(1)} + \dots + \frac{1}{2}\mathbf{C}\mathbf{m}_\delta e_\delta^{(i-1)}
 \end{aligned} \right\} \quad (\text{پ-۴۶})$$

این معادلات در فرم ماتریسی به صورت زیر بیان می‌شوند:

$$\begin{bmatrix} \mathbf{z} \\ \mathbf{z}^{(1)} \\ \vdots \\ \mathbf{z}^{(n-1)} \\ \vdots \\ \mathbf{z}^{(i)} \end{bmatrix} = \mathbf{O}_{0:i}\mathbf{x} + \mathbf{W}_{0:i} \begin{bmatrix} \delta \\ \delta^{(1)} \\ \vdots \\ \delta^{(n-1)} \\ \vdots \\ \delta^{(i)} \end{bmatrix} + \mathbf{E}_{0:i} \begin{bmatrix} e \\ e^{(1)} \\ \vdots \\ e^{(n-1)} \\ \vdots \\ e^{(i)} \end{bmatrix} + \mathbf{E}_{\delta_{0:i}} \begin{bmatrix} e_\delta \\ e_\delta^{(1)} \\ \vdots \\ e_\delta^{(n-1)} \\ \vdots \\ e_\delta^{(i)} \end{bmatrix} \quad (\text{پ-۴۷})$$

که

$$\mathbf{O}_{0:i} = \begin{bmatrix} \mathbf{C} \\ \mathbf{C}\mathbf{A} \\ \vdots \\ \mathbf{C}\mathbf{A}^{n-1} \\ \vdots \\ \mathbf{C}\mathbf{A}^i \end{bmatrix} \quad (\text{پ-۴۸})$$

$$\mathbf{W}_{0:i} = \begin{bmatrix} \mathbf{0} & \mathbf{0} & \mathbf{0} & \dots & \dots & \dots & \mathbf{0} \\ \mathbf{C}\mathbf{B} & \mathbf{0} & \mathbf{0} & \dots & \dots & \dots & \mathbf{0} \\ \mathbf{C}\mathbf{A}\mathbf{B} & \mathbf{C}\mathbf{B} & \mathbf{0} & \dots & \dots & \dots & \mathbf{0} \\ \vdots & \vdots & \vdots & \ddots & \vdots & \vdots & \vdots \\ \mathbf{C}\mathbf{A}^{n-2}\mathbf{B} & \mathbf{C}\mathbf{A}^{n-3}\mathbf{B} & \mathbf{C}\mathbf{A}^{n-4}\mathbf{B} & \dots & \ddots & \dots & \vdots \\ \vdots & \vdots & \vdots & \vdots & \vdots & \ddots & \vdots \\ \mathbf{C}\mathbf{A}^{i-1}\mathbf{B} & \mathbf{C}\mathbf{A}^{i-2}\mathbf{B} & \mathbf{C}\mathbf{A}^{i-3}\mathbf{B} & \dots & \dots & \mathbf{C}\mathbf{B} & \mathbf{0} \end{bmatrix} \quad (\text{پ-۴۹})$$

$$\mathbf{E}_{0:i} = \frac{1}{2} \begin{bmatrix} \mathbf{0} & \mathbf{0} & \mathbf{0} & \dots & \dots & \dots & \mathbf{0} \\ \mathbf{Cm} & \mathbf{0} & \mathbf{0} & \dots & \dots & \dots & \mathbf{0} \\ \mathbf{CAm} & \mathbf{Cm} & \mathbf{0} & \dots & \dots & \dots & \mathbf{0} \\ \vdots & \vdots & \vdots & \ddots & \vdots & \vdots & \vdots \\ \mathbf{CA}^{n-2}\mathbf{m} & \mathbf{CA}^{n-3}\mathbf{m} & \mathbf{CA}^{n-4}\mathbf{m} & \dots & \ddots & \dots & \vdots \\ \vdots & \vdots & \vdots & \vdots & \vdots & \ddots & \vdots \\ \mathbf{CA}^{i-1}\mathbf{m} & \mathbf{CA}^{i-2}\mathbf{m} & \mathbf{CA}^{i-3}\mathbf{m} & \dots & \dots & \mathbf{Cm} & \mathbf{0} \end{bmatrix} \quad (\text{پ-۵۰})$$

$$\mathbf{E}_{\delta_{0:i}} = \frac{1}{2} \begin{bmatrix} \mathbf{0} & \mathbf{0} & \mathbf{0} & \dots & \dots & \dots & \mathbf{0} \\ \mathbf{Cm}_\delta & \mathbf{0} & \mathbf{0} & \dots & \dots & \dots & \mathbf{0} \\ \mathbf{CAm}_\delta & \mathbf{Cm}_\delta & \mathbf{0} & \dots & \dots & \dots & \mathbf{0} \\ \vdots & \vdots & \vdots & \ddots & \vdots & \vdots & \vdots \\ \mathbf{CA}^{n-2}\mathbf{m}_\delta & \mathbf{CA}^{n-3}\mathbf{m}_\delta & \mathbf{CA}^{n-4}\mathbf{m}_\delta & \dots & \ddots & \dots & \vdots \\ \vdots & \vdots & \vdots & \vdots & \vdots & \ddots & \vdots \\ \mathbf{CA}^{i-1}\mathbf{m}_\delta & \mathbf{CA}^{i-2}\mathbf{m}_\delta & \mathbf{CA}^{i-3}\mathbf{m}_\delta & \dots & \dots & \mathbf{Cm}_\delta & \mathbf{0} \end{bmatrix} \quad (\text{پ-۵۱})$$

معادله (پ-۴۷) به صورت زیر بازنویسی می‌شود:

$$\begin{bmatrix} \mathbf{z} \\ \mathbf{z}^{(1)} \\ \vdots \\ \mathbf{z}^{(n-1)} \\ \vdots \\ \mathbf{z}^{(i)} \end{bmatrix} - \mathbf{W}_{0:i} \begin{bmatrix} \boldsymbol{\delta} \\ \boldsymbol{\delta}^{(1)} \\ \vdots \\ \boldsymbol{\delta}^{(n-1)} \\ \vdots \\ \boldsymbol{\delta}^{(i)} \end{bmatrix} - \mathbf{E}_{\delta_{0:i}} \begin{bmatrix} e_\delta \\ e_\delta^{(1)} \\ \vdots \\ e_\delta^{(n-1)} \\ \vdots \\ e_\delta^{(i)} \end{bmatrix} = [\mathbf{O}_{0:i} \quad \mathbf{E}_{0:i}] \begin{bmatrix} \mathbf{x} \\ e \\ \vdots \\ e^{(n-1)} \\ \vdots \\ e^{(i)} \end{bmatrix} \quad (\text{پ-۵۲})$$

از آنجا که، سمت چپ معادله فوق معلوم است؛ لذا برطبق قضیه ۱۵، که در پیوست "ج" بیان شده است، به منظور بازیابی متغیرهای حالت،  $\mathbf{x}$ ، از خطاهای خطی سازی،  $e^{(1)}, \dots, e^{(i)}$ ، ستون‌های ماتریس  $\mathbf{O}_{0:i}$  باید مستقل خطی از ستون‌های ماتریس  $\mathbf{E}_{0:i}$  باشد؛ یعنی:

$$\text{rank}([\mathbf{O}_{0:i} \quad \mathbf{E}_{0:i}]) = \text{rank}(\mathbf{O}_{0:i}) + \text{rank}(\mathbf{E}_{0:i}) \quad (\text{پ-۵۳})$$

همچنین، رنک ماتریس  $\mathbf{O}_{0:i}$  به منظور تعیین متغیرهای حالت  $\mathbf{x}$  باید کامل باشد؛ یعنی:

$$\text{rank}(\mathbf{O}_{0:i}) = n \quad (\text{پ-۵۴})$$

بنابراین،

$$\text{rank}([\mathbf{O}_{0i} \quad \mathbf{E}_{0i}]) = n + \text{rank}(\mathbf{E}_{0i}) \quad (\text{پ-۵۵})$$

بر مبنای قضیه کیلی-همیلتون، توان‌های ماتریس  $\mathbf{A}^i$  به‌ازای  $i \geq n$  ترکیب خطی از  $\mathbf{I}, \mathbf{A}, \dots, \mathbf{A}^{n-1}$  هستند. لذا، شرایط قبلی به‌ازای  $i = 0, 1, \dots, n-1$  معتبر است. در نتیجه، ابعاد ماتریس‌های  $\mathbf{O}_{0i}$  و  $\mathbf{E}_{0i}$  به‌صورت زیر کاهش می‌یابند:

$$\mathbf{O}_n = \begin{bmatrix} \mathbf{C} \\ \mathbf{CA} \\ \mathbf{CA}^2 \\ \vdots \\ \mathbf{CA}^{n-1} \end{bmatrix} \quad (\text{پ-۵۶})$$

$$\mathbf{E}_n = \frac{1}{2} \begin{bmatrix} \mathbf{0} & \mathbf{0} & \mathbf{0} & \dots & \mathbf{0} \\ \mathbf{Cm} & \mathbf{0} & \mathbf{0} & \dots & \mathbf{0} \\ \mathbf{CAm} & \mathbf{Cm} & \mathbf{0} & \dots & \mathbf{0} \\ \vdots & \vdots & \ddots & \vdots & \vdots \\ \mathbf{CA}^{n-2}\mathbf{m} & \mathbf{CA}^{n-3}\mathbf{m} & \dots & \mathbf{Cm} & \mathbf{0} \end{bmatrix} \quad (\text{پ-۵۷})$$

اینجا، ماتریس‌های  $\mathbf{O}_n$  و  $\mathbf{E}_n$  ماتریس مشاهده‌پذیری متغیرهای حالت و ماتریس خطای خطی‌سازی شده نامیده می‌شوند.

شرط کافی: با در نظر گرفتن معادلات (پ-۵۴) و (پ-۵۵)، بر مبنای تضاد فرض می‌شود که سیستم مشاهده‌پذیر متغیر حالت در حضور خطاهای خطی‌سازی نیست. به عبارت دیگر،  $\mathbf{x}'$  غیرقابل تشخیص از  $\mathbf{x}$  است؛ لذا  $\mathbf{z}^{(0):(n-1)}(\mathbf{x}, \boldsymbol{\delta}^{(0):(n-1)}, e^{(0):(n-1)}, e_{\delta}^{(0):(n-1)}) = \mathbf{z}^{(0):(n-1)}(\mathbf{x}', \boldsymbol{\delta}^{(0):(n-1)}, e^{(0):(n-1)}, e_{\delta}^{(0):(n-1)})$  است. در نتیجه،

$$\mathbf{O}_n \mathbf{x}' + \mathbf{W}_n \begin{bmatrix} \boldsymbol{\delta} \\ \boldsymbol{\delta}^{(1)} \\ \vdots \\ \boldsymbol{\delta}^{(n-1)} \end{bmatrix} + \mathbf{E}_n \begin{bmatrix} e \\ e^{(1)} \\ \vdots \\ e^{(n-1)} \end{bmatrix} + \mathbf{E}_{\delta_n} \begin{bmatrix} e_{\delta} \\ e_{\delta}^{(1)} \\ \vdots \\ e_{\delta}^{(n-1)} \end{bmatrix} = \mathbf{O}_n \mathbf{x} + \mathbf{W}_n \begin{bmatrix} \boldsymbol{\delta} \\ \boldsymbol{\delta}^{(1)} \\ \vdots \\ \boldsymbol{\delta}^{(n-1)} \end{bmatrix} + \mathbf{E}_n \begin{bmatrix} e \\ e^{(1)} \\ \vdots \\ e^{(n-1)} \end{bmatrix} + \mathbf{E}_{\delta_n} \begin{bmatrix} e_{\delta} \\ e_{\delta}^{(1)} \\ \vdots \\ e_{\delta}^{(n-1)} \end{bmatrix} \quad (\text{پ-۵۸})$$

بنابراین نتیجه می‌شود که  $\mathbf{O}_n(\mathbf{x}' - \mathbf{x}) = \mathbf{0}$  است؛ یعنی رنک ماتریس  $\mathbf{O}_n$  کامل نیست؛ که بیانگر تضاد است. لذا، سیستم خطی پیوسته مشاهده‌پذیر متغیر حالت در حضور خطای خطی‌سازی است.

اثبات قضیه ۶ (مشاهده پذیری ورودی‌های نامعلوم در حضور ماتریس متغیر با زمان ورودی‌های نامعلوم): در این بخش اثبات قضیه ۶ مرتبط با شرایط مشاهده پذیری متغیرهای حالت در حضور ماتریس متغیر با زمان ورودی‌های نامعلوم برای یک سیستم خطی پیوسته زمان بیان می‌شود.

شرط لازم: خروجی سیستم و مشتقات آن تا مرتبه  $i-m$  برای یک سیستم خطی در حضور ماتریس متغیر با زمان ورودی‌های نامعلوم برطبق معادلات (۲۶.۴) و (۲۷.۴) به صورت زیر محاسبه می‌شود:

$$\left\{ \begin{array}{l} \mathbf{z} = \mathbf{C}\mathbf{x} + \mathbf{D}\delta + \mathbf{D}_d \mathbf{d} \\ \mathbf{z}^{(1)} = \mathbf{C}\mathbf{x}^{(1)} = \mathbf{C}\mathbf{A}\mathbf{x} + \mathbf{C}\mathbf{B}\delta + \mathbf{D}\delta^{(1)} + \mathbf{C}\mathbf{B}_d(t)\mathbf{d} + \mathbf{D}_d \mathbf{d}^{(1)} \\ \vdots \\ \mathbf{z}^{(n-1)} = \mathbf{C}\mathbf{A}^{n-1}\mathbf{x} + \mathbf{C}\mathbf{A}^{n-2}\mathbf{B}\delta + \dots + \mathbf{C}\mathbf{B}\delta^{(n-2)} + \mathbf{D}\delta^{(n-1)} + \sum_{j=1}^{n-1} \mathbf{C}\mathbf{A}^{n-1-j}\mathbf{B}_d^{(j-1)}(t)\mathbf{d} \\ + \dots + \sum_{j=1}^{n-1-m} \frac{(j+m-1)!}{(j-1)!m!} \mathbf{C}\mathbf{A}^{n-1-m-j}\mathbf{B}_d^{(j-1)}(t)\mathbf{d}^{(m)} + \dots + \mathbf{C}\mathbf{B}_d(t)\mathbf{d}^{(n-2)} + \mathbf{D}_d \mathbf{d}^{(n-1)} \quad (\text{پ-۵۹}) \\ \vdots \\ \mathbf{z}^{(i)} = \mathbf{C}\mathbf{A}^i\mathbf{x} + \mathbf{C}\mathbf{A}^{i-1}\mathbf{B}\delta + \dots + \mathbf{D}\delta^{(i)} + \sum_{j=1}^i \mathbf{C}\mathbf{A}^{i-j}\mathbf{B}_d^{(j-1)}(t)\mathbf{d} + \dots + \\ \sum_{j=1}^{i-m} \frac{(j+m-1)!}{(j-1)!m!} \mathbf{C}\mathbf{A}^{i-m-j}\mathbf{B}_d^{(j-1)}(t)\mathbf{d}^{(m)} + \dots + \mathbf{D}_d \mathbf{d}^{(i)} \end{array} \right.$$

در رابطه فوق،  $\mathbf{d}^{(m)}$  بیانگر مشتق  $m$ -ام ورودی‌های نامعلوم،  $\mathbf{d}$  نسبت به زمان به ازای  $m=0, \dots, i-1$  هستند. معادله فوق در فرم ماتریس به صورت زیر بیان می‌شود:

$$\begin{bmatrix} \mathbf{z} \\ \mathbf{z}^{(1)} \\ \vdots \\ \mathbf{z}^{(n)} \\ \vdots \\ \mathbf{z}^{(i)} \end{bmatrix} = \mathbf{O}_{0:i} \mathbf{x}_k + \mathbf{W}_{0:i} \begin{bmatrix} \delta \\ \delta^{(1)} \\ \vdots \\ \delta^{(n)} \\ \vdots \\ \delta^{(i)} \end{bmatrix} + \mathbf{O}_{d_{0:i}}(t)\mathbf{d} + \mathbf{W}'_{d_{0:i}}(t) \begin{bmatrix} \mathbf{d}^{(1)} \\ \vdots \\ \mathbf{d}^{(n)} \\ \vdots \\ \mathbf{d}^{(i)} \end{bmatrix} \quad (\text{پ-۶۰})$$

جاییکه،



$$\mathbf{O}_{d_{0i}} = \begin{bmatrix} \mathbf{D}_d \\ \mathbf{CB}_d(t) \\ \mathbf{CAB}_d(t) + \mathbf{CAB}_d^{(1)}(t) \\ \vdots \\ \sum_{j=1}^{n-1} \mathbf{CA}^{n-1-j} \mathbf{B}_d^{(j-1)}(t) \\ \vdots \\ \sum_{j=1}^i \mathbf{CA}^{i-j} \mathbf{B}_d^{(j-1)}(t) \end{bmatrix} \quad (\text{پ-۶۱})$$

$$\mathbf{W}'_{d_{0i}} = \begin{bmatrix} \mathbf{0} & \mathbf{0} & \dots & \dots & \dots & \mathbf{0} \\ \mathbf{D}_d & \mathbf{0} & \dots & \dots & \dots & \mathbf{0} \\ \mathbf{CB}_d(t) & \mathbf{D}_d & \mathbf{0} & \dots & \dots & \mathbf{0} \\ \vdots & \vdots & \ddots & \vdots & \vdots & \vdots \\ \sum_{j=1}^{n-2} j \mathbf{CA}^{n-2-j} \mathbf{B}_d^{(j-1)}(t) & \dots & \sum_{j=1}^{n-1} \frac{(j+m-1)!}{(j-1)!m!} \mathbf{CA}^{n-1-m-j} \mathbf{B}_d^{(j-1)}(t) & \ddots & \dots & \dots \\ \vdots & \vdots & \vdots & \vdots & \ddots & \vdots \\ \sum_{j=1}^{i-1} j \mathbf{CA}^{i-1-j} \mathbf{B}_d^{(j-1)}(t) & \dots & \sum_{j=1}^{i-m} \frac{(j+m-1)!}{(j-1)!m!} \mathbf{CA}^{i-m-j} \mathbf{B}_d^{(j-1)}(t) & \dots & \dots & \mathbf{D}_d \end{bmatrix} \quad (\text{پ-۶۲})$$

معادله (پ-۶۰) به صورت زیر بازنویسی می‌شود:

$$\begin{bmatrix} \mathbf{z} \\ \mathbf{z}^{(1)} \\ \vdots \\ \mathbf{z}^{(n)} \\ \vdots \\ \mathbf{z}^{(i)} \end{bmatrix} - \mathbf{O}_{0i} \mathbf{x} - \mathbf{W}_{0i} \begin{bmatrix} \delta \\ \delta^{(1)} \\ \vdots \\ \delta^{(n)} \\ \vdots \\ \delta^{(i)} \end{bmatrix} = \mathbf{O}_{d_{0i}}(t) \mathbf{d}_k + \mathbf{W}'_{d_{0i}}(t) \begin{bmatrix} \mathbf{d}^{(1)} \\ \vdots \\ \mathbf{d}^{(n)} \\ \vdots \\ \mathbf{d}^{(i)} \end{bmatrix} = \begin{bmatrix} \mathbf{O}_{d_{0i}}(t) & \mathbf{W}'_{d_{0i}}(t) \end{bmatrix} \begin{bmatrix} \mathbf{d} \\ \mathbf{d}^{(1)} \\ \vdots \\ \mathbf{d}^{(n)} \\ \vdots \\ \mathbf{d}^{(i)} \end{bmatrix} \quad (\text{پ-۶۳})$$

از آنجا که، سمت چپ معادله فوق معلوم است؛ لذا برطبق قضیه ۱۵، که در پیوست "ج" بیان شده است، به منظور بازیابی ورودی‌های نامعلوم،  $\mathbf{d}$ ، از سایر ورودی‌های نامعلوم دیگر،  $\mathbf{d}^{(1)}, \dots, \mathbf{d}^{(i)}$ ، ستون‌های ماتریس  $\mathbf{O}_{d_{0i}}(t)$  باید مستقل خطی از ستون‌های ماتریس  $\mathbf{W}'_{d_{0i}}(t)$  باشد؛ یعنی:

$$\text{rank} \left( \begin{bmatrix} \mathbf{O}_{d_{0i}}(t) & \mathbf{W}'_{d_{0i}}(t) \end{bmatrix} \right) = \text{rank} \left( \mathbf{O}_{d_{0i}}(t) \right) + \text{rank} \left( \mathbf{W}'_{d_{0i}}(t) \right) \quad (\text{پ-۶۴})$$

همچنین، رنک ماتریس  $\mathbf{O}_{d_{0i}}(t)$  به منظور تعیین ورودی‌های نامعلوم باید کامل باشد؛ یعنی:

$$\text{rank} \left( \mathbf{O}_{d_{0i}}(t) \right) = n_d \quad (\text{پ-۶۵})$$

بنابراین،

$$\text{rank}\left(\begin{bmatrix} \mathbf{O}_{d_{0i}}(t) & \mathbf{W}'_{d_{0i}}(t) \end{bmatrix}\right) = n_d + \text{rank}\left(\mathbf{W}'_{d_{0i}}(t)\right) \quad (\text{پ-۶۶})$$

بر مبنای قضیه کیلی-همیلتون، شرایط قبلی به‌ازای  $i = 0, 1, \dots, n$  معتبر است. در نتیجه، ابعاد ماتریس‌های  $\mathbf{O}_{d_{0i}}(t)$  و  $\mathbf{W}'_{d_{0i}}(t)$  به‌صورت زیر کاهش می‌یابند:

$$\mathbf{O}_d = \begin{bmatrix} \mathbf{D}_d \\ \mathbf{CB}_d(t) \\ \mathbf{CAB}_d(t) + \mathbf{CAB}_d^{(1)}(t) \\ \vdots \\ \sum_{j=1}^{n-1} \mathbf{CA}^{n-1-j} \mathbf{B}_d^{(j-1)}(t) \\ \vdots \\ \sum_{j=1}^i \mathbf{CA}^{i-j} \mathbf{B}_d^{(j-1)}(t) \end{bmatrix} \quad (\text{پ-۶۷})$$

$$\mathbf{W}'_d = \begin{bmatrix} \mathbf{0} & \mathbf{0} & \dots & \mathbf{0} \\ \mathbf{D}_d & \mathbf{0} & \dots & \mathbf{0} \\ \mathbf{CB}_d(t) & \mathbf{D}_d & \dots & \mathbf{0} \\ \vdots & \vdots & \ddots & \vdots \\ \sum_{j=1}^{n-2} j \mathbf{CA}^{n-2-j} \mathbf{B}_d^{(j-1)}(t) & \dots & \sum_{j=1}^{n-1-m} \frac{(j+m-1)!}{(j-1)!m!} \mathbf{CA}^{n-1-m-j} \mathbf{B}_d^{(j-1)}(t) & \mathbf{D}_d \end{bmatrix} \quad (\text{پ-۶۸})$$

شرط کافی: با در نظر گرفتن معادلات (پ-۶۵) و (پ-۶۶)، بر مبنای تضاد فرض می‌شود که سیستم مشاهده‌پذیر متغیر حالت در حضور خطاهای خطی سازی نیست. به عبارت دیگر،  $\mathbf{d}'$  غیرقابل تشخیص از

$$\mathbf{d} \text{ است؛ لذا } \mathbf{z}^{(0):(n)}(\mathbf{d}, \mathbf{x}, \delta^{(0):(n)}, \mathbf{d}^{(1):(n)}) = \mathbf{z}^{(0):(n)}(\mathbf{d}, \mathbf{x}, \delta^{(0):(n)}, \mathbf{d}^{(1):(n)}) \text{ برقرار است. در نتیجه،}$$

$$\mathbf{O}_d(t) \mathbf{d}' + \mathbf{O}_{n+1} \mathbf{x} + \mathbf{W}_{n+1} \begin{bmatrix} \delta \\ \delta^{(1)} \\ \vdots \\ \delta^{(n)} \end{bmatrix} + \mathbf{W}'_d(t) \begin{bmatrix} \mathbf{d}^{(1)} \\ \mathbf{d}^{(2)} \\ \vdots \\ \mathbf{d}^{(n)} \end{bmatrix} = \mathbf{O}_d(t) \mathbf{d} + \mathbf{O}_{n+1} \mathbf{x} + \mathbf{W}_{n+1} \begin{bmatrix} \delta \\ \delta^{(1)} \\ \vdots \\ \delta^{(n)} \end{bmatrix} + \mathbf{W}'_d(t) \begin{bmatrix} \mathbf{d}^{(1)} \\ \mathbf{d}^{(2)} \\ \vdots \\ \mathbf{d}^{(n)} \end{bmatrix} \quad (\text{پ-۶۹})$$

بنابراین نتیجه می‌شود که  $\mathbf{O}_d(t)(\mathbf{d}' - \mathbf{d}) = \mathbf{0}$  است؛ یعنی رنک ماتریس  $\mathbf{O}_d(t)$  کامل نیست؛ که بیانگر تضاد است. لذا، سیستم خطی پیوسته زمان مشاهده‌پذیر ورودی‌های نامعلوم در حضور ماتریس متغیر با زمان ورودی‌های نامعلوم است.

## پیوست ث: اثبات قضایای مشاهده پذیری برای سیستم‌های خطی گسسته زمان

اثبات قضیه ۸ (مشاهده پذیری قوی): در این بخش اثبات قضیه ۸ مرتبط با شرایط مشاهده پذیری قوی برای یک سیستم خطی گسسته زمان بیان می‌شود [۹۸].

شرط لازم: خروجی‌های سیستم در گام زمانی  $k$  تا  $k+\tau$  به صورت زیر محاسبه می‌شود:

$$\left\{ \begin{array}{l} \mathbf{z}_k = \mathbf{C}\mathbf{x}_k + \mathbf{D}\boldsymbol{\delta}_k + \mathbf{D}_d \mathbf{d}_k \\ \mathbf{z}_{k+1} = \mathbf{C}\mathbf{x}_{k+1} + \mathbf{D}\boldsymbol{\delta}_{k+1} + \mathbf{D}_d \mathbf{d}_{k+1} = \mathbf{C}\mathbf{A}\mathbf{x}_k + \mathbf{C}\mathbf{B}\boldsymbol{\delta}_k + \mathbf{C}\mathbf{B}_d \mathbf{d}_k + \mathbf{D}\boldsymbol{\delta}_{k+1} + \mathbf{D}_d \mathbf{d}_{k+1} \\ \vdots \\ \mathbf{z}_{k+(n-1)} = \mathbf{C}\mathbf{A}^{n-1}\mathbf{x}_k + \mathbf{C}\mathbf{A}^{n-2}\mathbf{B}\boldsymbol{\delta}_k + \cdots + \mathbf{D}\boldsymbol{\delta}_{k+(n-1)} + \mathbf{C}\mathbf{A}^{n-2}\mathbf{B}_d \mathbf{d}_k + \cdots + \mathbf{D}_d \mathbf{d}_{k+(n-1)} \\ \vdots \\ \mathbf{z}_{k+\tau} = \mathbf{C}\mathbf{A}^\tau \mathbf{x}_k + \mathbf{C}\mathbf{A}^{\tau-1}\mathbf{B}\boldsymbol{\delta}_k + \cdots + \mathbf{D}\boldsymbol{\delta}_{k+\tau} + \mathbf{C}\mathbf{A}^{\tau-1}\mathbf{B}_d \mathbf{d}_k + \cdots + \mathbf{D}_d \mathbf{d}_{k+\tau} \end{array} \right. \quad (\text{پ-۷۰})$$

معادله فوق می‌تواند به فرم ماتریسی زیر بیان شود:

$$\begin{bmatrix} \mathbf{z}_k \\ \mathbf{z}_{k+1} \\ \vdots \\ \mathbf{z}_{k+(n-1)} \\ \vdots \\ \mathbf{z}_{k+\tau} \end{bmatrix} = \mathbf{O}_{0:\tau} \mathbf{x}_k + \mathbf{W}_{0:\tau} \begin{bmatrix} \boldsymbol{\delta}_k \\ \boldsymbol{\delta}_{k+1} \\ \vdots \\ \boldsymbol{\delta}_{k+(n-1)} \\ \vdots \\ \boldsymbol{\delta}_{k+\tau} \end{bmatrix} + \mathbf{W}_{d0:\tau} \begin{bmatrix} \mathbf{d}_k \\ \mathbf{d}_{k+1} \\ \vdots \\ \mathbf{d}_{k+(n-1)} \\ \vdots \\ \mathbf{d}_{k+\tau} \end{bmatrix} \quad (\text{پ-۷۱})$$

جاییکه؛

$$\mathbf{O}_{0:\tau} = \begin{bmatrix} \mathbf{C} \\ \mathbf{C}\mathbf{A} \\ \vdots \\ \mathbf{C}\mathbf{A}^{n-1} \\ \vdots \\ \mathbf{C}\mathbf{A}^\tau \end{bmatrix} \quad (\text{پ-۷۲})$$

$$W_{0:\tau} = \begin{bmatrix} \mathbf{D} & \mathbf{0} & \mathbf{0} & \cdots & \cdots & \cdots & \mathbf{0} \\ \mathbf{CB} & \mathbf{D} & \mathbf{0} & \cdots & \cdots & \cdots & \mathbf{0} \\ \mathbf{CAB} & \mathbf{CB} & \mathbf{D} & \cdots & \cdots & \cdots & \mathbf{0} \\ \vdots & \vdots & \vdots & \ddots & \vdots & \vdots & \vdots \\ \mathbf{CA}^{n-2}\mathbf{B} & \mathbf{CA}^{n-3}\mathbf{B} & \mathbf{CA}^{n-4}\mathbf{B} & \cdots & \ddots & \cdots & \vdots \\ \vdots & \vdots & \vdots & \vdots & \vdots & \ddots & \vdots \\ \mathbf{CA}^{\tau-1}\mathbf{B} & \mathbf{CA}^{\tau-2}\mathbf{B} & \mathbf{CA}^{\tau-3}\mathbf{B} & \cdots & \cdots & \cdots & \mathbf{D} \end{bmatrix} \quad (\text{پ-۷۳})$$

$$W_{d_{0:\tau}} = \begin{bmatrix} \mathbf{D}_d & \mathbf{0} & \mathbf{0} & \cdots & \cdots & \cdots & \mathbf{0} \\ \mathbf{CB}_d & \mathbf{D}_d & \mathbf{0} & \cdots & \cdots & \cdots & \mathbf{0} \\ \mathbf{CAB}_d & \mathbf{CB}_d & \mathbf{D}_d & \cdots & \cdots & \cdots & \mathbf{0} \\ \vdots & \vdots & \vdots & \ddots & \vdots & \vdots & \vdots \\ \mathbf{CA}^{n-2}\mathbf{B}_d & \mathbf{CA}^{n-3}\mathbf{B}_d & \mathbf{CA}^{n-4}\mathbf{B}_d & \cdots & \ddots & \cdots & \vdots \\ \vdots & \vdots & \vdots & \vdots & \vdots & \ddots & \vdots \\ \mathbf{CA}^{\tau-1}\mathbf{B}_d & \mathbf{CA}^{\tau-2}\mathbf{B}_d & \mathbf{CA}^{\tau-3}\mathbf{B}_d & \cdots & \cdots & \cdots & \mathbf{D}_d \end{bmatrix} \quad (\text{پ-۷۴})$$

معادله فوق به صورت زیر بازنویسی می‌شود:

$$\begin{bmatrix} \mathbf{z}_k \\ \mathbf{z}_{k+1} \\ \vdots \\ \mathbf{z}_{k+(n-1)} \\ \vdots \\ \mathbf{z}_{k+\tau} \end{bmatrix} - W_{0:\tau} \begin{bmatrix} \delta_k \\ \delta_{k+1} \\ \vdots \\ \delta_{k+(n-1)} \\ \vdots \\ \delta_{k+\tau} \end{bmatrix} = \mathbf{O}_{0:\tau} \mathbf{x}_k + W_{d_{0:\tau}} \begin{bmatrix} \mathbf{d}_k \\ \mathbf{d}_{k+1} \\ \vdots \\ \mathbf{d}_{k+(n-1)} \\ \vdots \\ \mathbf{d}_{k+\tau} \end{bmatrix} = \begin{bmatrix} \mathbf{O}_{0:\tau} & W_{d_{0:\tau}} \end{bmatrix} \begin{bmatrix} \mathbf{x}_k \\ \mathbf{d}_k \\ \vdots \\ \mathbf{d}_{k+(n-1)} \\ \vdots \\ \mathbf{d}_{k+\tau} \end{bmatrix} \quad (\text{پ-۷۵})$$

از آنجا که، ورودی‌های سیستم و مشاهدات معلوم هستند؛ سمت چپ معادله فوق معلوم است. بنابراین، بر طبق قضیه ۱۵، که در پیوست "ج" بیان شده‌است، به منظور بازیابی بردار متغیرهای حالت،  $\mathbf{x}_k$ ، از دنباله ورودی‌های نامعلوم،  $\mathbf{d}_k, \dots, \mathbf{d}_{k+\tau}$ ، ستون‌های ماتریس  $\mathbf{O}_{0:\tau}$  باید مستقل خطی از ستون‌های  $W_{d_{0:\tau}}$  باشد؛ یعنی:

$$\text{rank} \left( \begin{bmatrix} \mathbf{O}_{0:\tau} & W_{d_{0:\tau}} \end{bmatrix} \right) = \text{rank}(\mathbf{O}_{0:\tau}) + \text{rank}(W_{d_{0:\tau}}) \quad (\text{پ-۷۶})$$

همچنین، به منظور بازیابی متغیرهای حالت،  $\mathbf{x}_k$ ، رنک ماتریس  $\mathbf{O}_{0:\tau}$  باید کامل باشد. یعنی:

$$\text{rank}(\mathbf{O}_{0:\tau}) = n \quad (\text{پ-۷۷})$$

بنابراین،

$$\text{rank} \left( \begin{bmatrix} \mathbf{O}_{0:\tau} & W_{d_{0:\tau}} \end{bmatrix} \right) = n + \text{rank}(W_{d_{0:\tau}}) \quad (\text{پ-۷۸})$$

بر مبنای قضیه کیلی-همیلتون [۱۷۲]، توان‌های  $\mathbf{A}^t$  با  $t \geq n$  می‌تواند به صورت ترکیب خطی  $\mathbf{I}, \mathbf{A}, \dots, \mathbf{A}^{n-1}$  بیان شود. بنابراین، شرایط قبل به ازای  $t = n-1$  معتبر است. در نتیجه، ماتریس‌های  $\mathbf{O}_{0:t}$ ،  $\mathbf{W}_{d_{0:t}}$  و  $\mathbf{W}_{d_{0:t}}$  به صورت زیر کاهش می‌یابد:

$$\mathbf{O}_n = \begin{bmatrix} \mathbf{C} \\ \mathbf{CA} \\ \vdots \\ \mathbf{CA}^{n-1} \end{bmatrix} \quad (\text{پ-۷۹})$$

$$\mathbf{W}_n = \begin{bmatrix} \mathbf{D} & \mathbf{0} & \mathbf{0} & \dots & \mathbf{0} \\ \mathbf{CB} & \mathbf{D} & \mathbf{0} & \dots & \mathbf{0} \\ \mathbf{CAB} & \mathbf{CB} & \mathbf{D} & \dots & \mathbf{0} \\ \vdots & \vdots & \vdots & \ddots & \vdots \\ \mathbf{CA}^{n-2}\mathbf{B} & \mathbf{CA}^{n-3}\mathbf{B} & \mathbf{CA}^{n-4}\mathbf{B} & \dots & \mathbf{D} \end{bmatrix} \quad (\text{پ-۸۰})$$

$$\mathbf{W}_d = \begin{bmatrix} \mathbf{D}_d & \mathbf{0} & \mathbf{0} & \dots & \mathbf{0} \\ \mathbf{CB}_d & \mathbf{D}_d & \mathbf{0} & \dots & \mathbf{0} \\ \mathbf{CAB}_d & \mathbf{CB}_d & \mathbf{D}_d & \dots & \mathbf{0} \\ \vdots & \vdots & \vdots & \ddots & \vdots \\ \mathbf{CA}^{n-2}\mathbf{B}_d & \mathbf{CA}^{n-3}\mathbf{B}_d & \mathbf{CA}^{n-4}\mathbf{B}_d & \dots & \mathbf{D}_d \end{bmatrix} \quad (\text{پ-۸۱})$$

شرط کافی: با در نظر گرفتن معادلات (پ-۷۷) و (پ-۷۸)، بر مبنای تضاد فرض می‌شود که سیستم مشاهده پذیر قوی نیست. به عبارت دیگر،  $\mathbf{x}'_k$  غیرقابل تشخیص از  $\mathbf{x}_k$  است؛ به گونه‌ای که  $\mathbf{z}_{k:k+(n-1)}(\mathbf{x}'_k, \boldsymbol{\delta}_{k:k+(n-1)}, \mathbf{d}_{k:k+(n-1)}) = \mathbf{z}_{k:k+(n-1)}(\mathbf{x}_k, \boldsymbol{\delta}_{k:k+(n-1)}, \mathbf{d}_{k:k+(n-1)})$  برقرار باشد. در نتیجه،

$$\mathbf{O}_n \mathbf{x}'_k + \mathbf{W}_d \begin{bmatrix} \mathbf{d}_k \\ \mathbf{d}_{k+1} \\ \vdots \\ \mathbf{d}_{k+(n-1)} \end{bmatrix} + \mathbf{W}_n \begin{bmatrix} \boldsymbol{\delta}_k \\ \boldsymbol{\delta}_{k+1} \\ \vdots \\ \boldsymbol{\delta}_{k+(n-1)} \end{bmatrix} = \mathbf{O}_n \mathbf{x}_k + \mathbf{W}_d \begin{bmatrix} \mathbf{d}_k \\ \mathbf{d}_{k+1} \\ \vdots \\ \mathbf{d}_{k+(n-1)} \end{bmatrix} + \mathbf{W}_n \begin{bmatrix} \boldsymbol{\delta}_k \\ \boldsymbol{\delta}_{k+1} \\ \vdots \\ \boldsymbol{\delta}_{k+(n-1)} \end{bmatrix} \quad (\text{پ-۸۲})$$

بنابراین نتیجه می‌شود که  $\mathbf{O}_n(\mathbf{x}'_k - \mathbf{x}_k) = \mathbf{0}$  است؛ یعنی رنک ماتریس  $\mathbf{O}_n$  کامل نیست؛ که بیانگر تضاد است. لذا، سیستم خطی گسسته زمان مشاهده پذیر قوی است.

اثبات قضیه ۹ (مشاهده‌پذیری ورودی‌های نامعلوم): در این بخش اثبات قضیه ۹ مرتبط با شرایط مشاهده‌پذیری ورودی‌های نامعلوم برای یک سیستم خطی گسسته زمان بیان می‌شود.

شرط لازم: خروجی‌های سیستم در گام‌های زمانی  $k$  تا  $k+\tau$  بر طبق معادله (پ-۷۵) با پارتیشن‌بندی  $\mathbf{W}_{d_i} = [\mathbf{O}_{d_i} \quad \mathbf{W}'_{d_i}]$  به صورت زیر در فرم ماتریسی بیان می‌شود:

$$\begin{bmatrix} \mathbf{z}_k \\ \mathbf{z}_{k+1} \\ \vdots \\ \mathbf{z}_{k+n} \\ \vdots \\ \mathbf{z}_{k+\tau} \end{bmatrix} = \mathbf{O}_{0:\tau} \mathbf{x}_k + \mathbf{W}_{0:\tau} \begin{bmatrix} \delta_k \\ \delta_{k+1} \\ \vdots \\ \delta_{k+n} \\ \vdots \\ \delta_{k+\tau} \end{bmatrix} + \mathbf{O}_{d_{0:\tau}} \mathbf{d}_k + \mathbf{W}'_{d_{0:\tau}} \begin{bmatrix} \mathbf{d}_{k+1} \\ \vdots \\ \mathbf{d}_{k+n} \\ \vdots \\ \mathbf{d}_{k+\tau} \end{bmatrix} \quad (\text{پ-۸۳})$$

جایگه؛

$$\mathbf{O}_{d_{0:\tau}} = \begin{bmatrix} \mathbf{D}_d \\ \mathbf{C}\mathbf{B}_d \\ \mathbf{C}\mathbf{A}\mathbf{B}_d \\ \vdots \\ \mathbf{C}\mathbf{A}^{n-1}\mathbf{B}_d \\ \vdots \\ \mathbf{C}\mathbf{A}^{\tau-1}\mathbf{B}_d \end{bmatrix}; \mathbf{W}'_{d_{0:\tau}} = \begin{bmatrix} \mathbf{0} & \mathbf{0} & \dots & \dots & \dots & \mathbf{0} \\ \mathbf{D}_d & \mathbf{0} & \dots & \dots & \dots & \mathbf{0} \\ \mathbf{C}\mathbf{B}_d & \mathbf{D}_d & \mathbf{0} & \dots & \dots & \mathbf{0} \\ \vdots & \vdots & \ddots & \vdots & \vdots & \vdots \\ \mathbf{C}\mathbf{A}^{n-2}\mathbf{B}_d & \mathbf{C}\mathbf{A}^{n-3}\mathbf{B}_d & \dots & \ddots & \dots & \dots \\ \vdots & \vdots & \vdots & \vdots & \ddots & \vdots \\ \mathbf{C}\mathbf{A}^{\tau-2}\mathbf{B}_d & \mathbf{C}\mathbf{A}^{\tau-3}\mathbf{B}_d & \dots & \dots & \dots & \mathbf{D}_d \end{bmatrix} \quad (\text{پ-۸۴})$$

معادله فوق به صورت زیر بازنویسی می‌شود:

$$\begin{bmatrix} \mathbf{z}_k \\ \mathbf{z}_{k+1} \\ \vdots \\ \mathbf{z}_{k+n} \\ \vdots \\ \mathbf{z}_{k+\tau} \end{bmatrix} - \mathbf{O}_{0:\tau} \mathbf{x}_k - \mathbf{W}_{0:\tau} \begin{bmatrix} \delta_k \\ \delta_{k+1} \\ \vdots \\ \delta_{k+n} \\ \vdots \\ \delta_{k+\tau} \end{bmatrix} = \mathbf{O}_{d_{0:\tau}} \mathbf{d}_k + \mathbf{W}'_{d_{0:\tau}} \begin{bmatrix} \mathbf{d}_{k+1} \\ \vdots \\ \mathbf{d}_{k+n} \\ \vdots \\ \mathbf{d}_{k+\tau} \end{bmatrix} = [\mathbf{O}_{d_{0:\tau}} \quad \mathbf{W}'_{d_{0:\tau}}] \begin{bmatrix} \mathbf{d}_k \\ \mathbf{d}_{k+1} \\ \vdots \\ \mathbf{d}_{k+n} \\ \vdots \\ \mathbf{d}_{k+\tau} \end{bmatrix} \quad (\text{پ-۸۵})$$

سمت چپ معادله فوق معلوم است. بنابراین، به منظور بازیابی ورودی‌های نامعلوم  $\mathbf{d}_k$  در گام زمانی  $k$ ، از دنباله سایر ورودی‌های نامعلوم،  $\mathbf{d}_{k+1}, \dots, \mathbf{d}_{k+\tau}$ ، بر طبق قضیه ۱۵، که در پیوست "چ" بیان شده‌است، باید ستون‌های ماتریس  $\mathbf{O}_{d_{0:\tau}}$  مستقل خطی از ستون‌های  $\mathbf{W}'_{d_{0:\tau}}$  باشد؛ یعنی:

$$\text{rank}\left(\begin{bmatrix} \mathbf{O}_{d_{0:\tau}} & \mathbf{W}'_{d_{0:\tau}} \end{bmatrix}\right) = \text{rank}\left(\mathbf{O}_{d_{0:\tau}}\right) + \text{rank}\left(\mathbf{W}'_{d_{0:\tau}}\right) \quad (\text{پ-۸۶})$$

همچنین، به منظور بازیابی ورودی نامعلوم  $\mathbf{d}_k$ ، رنک ستونی ماتریس  $\mathbf{O}_{d_{0:\tau}}$  باید کامل باشد. یعنی:

$$\text{rank}\left(\mathbf{O}_{d_{0:\tau}}\right) = n_d \quad (\text{پ-۸۷})$$

بنابراین،

$$\text{rank}\left(\begin{bmatrix} \mathbf{O}_{d_{0:\tau}} & \mathbf{W}'_{d_{0:\tau}} \end{bmatrix}\right) = n_d + \text{rank}\left(\mathbf{W}'_{d_{0:\tau}}\right) \quad (\text{پ-۸۸})$$

بر مبنای قضیه کیلی-همیلتون [۱۷۲]، توان‌های  $\mathbf{A}^t$  با  $t \geq n$  می‌تواند به صورت ترکیب خطی  $\mathbf{I}, \mathbf{A}, \dots, \mathbf{A}^{n-1}$  بیان شود. بنابراین، شرایط قبل به ازای  $t = 0, 1, \dots, n$  معتبر است. در نتیجه، ماتریس‌های  $\mathbf{O}_{d_{0:\tau}}$ ،  $\mathbf{W}_{0:\tau}$  و  $\mathbf{W}'_{d_{0:\tau}}$  به صورت زیر کاهش می‌یابد:

$$\mathbf{O}_d = \begin{bmatrix} \mathbf{D}_d \\ \mathbf{CB}_d \\ \mathbf{CAB}_d \\ \vdots \\ \mathbf{CA}^{n-1}\mathbf{B}_d \end{bmatrix} \quad (\text{پ-۸۹})$$

$$\mathbf{W}_{n+1} = \begin{bmatrix} \mathbf{D} & \mathbf{0} & \mathbf{0} & \dots & \mathbf{0} \\ \mathbf{CB} & \mathbf{D} & \mathbf{0} & \dots & \mathbf{0} \\ \mathbf{CAB} & \mathbf{CB} & \mathbf{D} & \dots & \mathbf{0} \\ \vdots & \vdots & \vdots & \ddots & \vdots \\ \mathbf{CA}^{n-1}\mathbf{B} & \mathbf{CA}^{n-2}\mathbf{B} & \mathbf{CA}^{n-3}\mathbf{B} & \dots & \mathbf{D} \end{bmatrix} \quad (\text{پ-۹۰})$$

$$W_d' = \begin{bmatrix} \mathbf{0} & \mathbf{0} & \dots & \mathbf{0} \\ \mathbf{D}_d & \mathbf{0} & \dots & \mathbf{0} \\ \mathbf{CB}_d & \mathbf{D}_d & \dots & \mathbf{0} \\ \vdots & \vdots & \ddots & \vdots \\ \mathbf{CA}^{n-2}\mathbf{B}_d & \mathbf{CA}^{n-3}\mathbf{B}_d & \dots & \mathbf{D}_d \end{bmatrix} \quad (\text{پ-۹۱})$$

اینجا،  $O_d$  و  $W_d'$  به ترتیب بیانگر ماتریس مشاهده‌پذیری ورودی نامعلوم و ماتریس معکوس‌پذیری در گام‌های زمانی  $k+1$  تا  $k+n$  برای چهارگانه  $(A, B_d, C, D_d)$  هستند.

شرط کافی: با در نظر گرفتن معادلات (پ-۸۷) و (پ-۸۸)، بر مبنای تضاد فرض می‌شود که سیستم مشاهده‌پذیر ورودی نامعلوم نیست. به عبارت دیگر،  $d'_k$  غیرقابل تشخیص از  $d_k$  است؛ به گونه‌ای که

$$z_{k:k+n}(\mathbf{d}'_k, \mathbf{x}_k, \delta_{k:k+n}, \mathbf{d}_{k+1:k+n}) = z_{k:k+n}(\mathbf{d}_k, \mathbf{x}_k, \delta_{k:k+n}, \mathbf{d}_{k+1:k+n})$$

در نتیجه،

$$O_d \mathbf{d}'_k + O_{n+1} \mathbf{x}_k + W_{n+1} \begin{bmatrix} \delta_k \\ \delta_{k+1} \\ \vdots \\ \delta_{k+n} \end{bmatrix} + W_d' \begin{bmatrix} \mathbf{d}_{k+1} \\ \mathbf{d}_{k+2} \\ \vdots \\ \mathbf{d}_{k+n} \end{bmatrix} = O_d \mathbf{d}_k + O_{n+1} \mathbf{x}_k + W_{n+1} \begin{bmatrix} \delta_k \\ \delta_{k+1} \\ \vdots \\ \delta_{k+n} \end{bmatrix} + W_d' \begin{bmatrix} \mathbf{d}_{k+1} \\ \mathbf{d}_{k+2} \\ \vdots \\ \mathbf{d}_{k+n} \end{bmatrix} \quad (\text{پ-۹۲})$$

جاییکه؛

$$O_{n+1} = \begin{bmatrix} C \\ CA \\ \vdots \\ CA^n \end{bmatrix} \quad (\text{پ-۹۳})$$

بنابراین نتیجه می‌شود که  $O_d(\mathbf{d}'_k - \mathbf{d}_k) = \mathbf{0}$  است؛ یعنی رنک ماتریس  $O_d$  کامل نیست؛ که بیانگر تضاد است. لذا، سیستم خطی گسسته زمان مشاهده‌پذیر ورودی نامعلوم است.



اثبات قضیه ۱۰ (مشاهده پذیری توأمان متغیرهای حالت و ورودی‌های نامعلوم): در این بخش اثبات قضیه ۱۰ مرتبط با شرایط مشاهده پذیری توأمان متغیرهای حالت و ورودی‌های نامعلوم برای یک سیستم خطی گسسته زمان بیان می‌شود.

شرط لازم: خروجی‌های سیستم در گام‌های زمانی  $k$  تا  $k+t$  بر طبق معادله (پ-۸۵) به صورت زیر در فرم ماتریسی بیان می‌شود:

$$\begin{bmatrix} \mathbf{z}_k \\ \mathbf{z}_{k+1} \\ \vdots \\ \mathbf{z}_{k+n} \\ \vdots \\ \mathbf{z}_{k+\tau} \end{bmatrix} - \mathbf{W}_{0:\tau} \begin{bmatrix} \boldsymbol{\delta}_k \\ \boldsymbol{\delta}_{k+1} \\ \vdots \\ \boldsymbol{\delta}_{k+n} \\ \vdots \\ \boldsymbol{\delta}_{k+\tau} \end{bmatrix} = \mathbf{O}_{nd_{0:\tau}} \mathbf{x}_{a_k} + \mathbf{W}'_{d_{0:\tau}} \begin{bmatrix} \mathbf{d}_{k+1} \\ \vdots \\ \mathbf{d}_{k+n} \\ \vdots \\ \mathbf{d}_{k+\tau} \end{bmatrix} = \begin{bmatrix} \mathbf{O}_{nd_{0:\tau}} & \mathbf{W}'_{d_{0:\tau}} \end{bmatrix} \begin{bmatrix} \mathbf{x}_{a_k} \\ \mathbf{d}_{k+1} \\ \vdots \\ \mathbf{d}_{k+n} \\ \vdots \\ \mathbf{d}_{k+\tau} \end{bmatrix} \quad (\text{پ-۹۴})$$

در رابطه فوق،  $\mathbf{O}_{nd_{0:\tau}} = \begin{bmatrix} \mathbf{O}_{0:\tau} & \mathbf{O}_{d_{0:\tau}} \end{bmatrix}$  به صورت زیر تعریف می‌شود:

$$\mathbf{O}_{nd_{0:\tau}} = \begin{bmatrix} \mathbf{C} & \mathbf{D}_d \\ \mathbf{CA} & \mathbf{CB}_d \\ \mathbf{CA}^2 & \mathbf{CAB}_d \\ \vdots & \vdots \\ \mathbf{CA}^n & \mathbf{CA}^{n-1}\mathbf{B}_d \\ \vdots & \vdots \\ \mathbf{CA}^\tau & \mathbf{CA}^{\tau-1}\mathbf{B}_d \end{bmatrix} \quad (\text{پ-۹۵})$$

از آنجاکه، ورودی‌های سیستم و مشاهدات معلوم هستند؛ لذا سمت چپ معادله فوق معلوم است. بنابراین، متغیرهای حالت افزونه  $\mathbf{x}_{a_k}$  می‌تواند به صورت یکتا از معادله (پ-۹۴) بازیابی شود؛ اگر رنک ستونی ماتریس  $\mathbf{O}_{nd_{0:\tau}}$  کامل باشد. یعنی:

$$\text{rank}(\mathbf{O}_{nd_{0:\tau}}) = n + n_d \quad (\text{پ-۹۶})$$

همچنین، ستون‌های ماتریس  $\mathbf{O}_{nd_{0:\tau}}$  باید مستقل خطی از ستون‌های ماتریس  $\mathbf{W}'_{d_{0:\tau}}$  باشد؛ یعنی:

$$\text{rank}\left(\begin{bmatrix} \mathbf{O}_{nd_{0:t}} & \mathbf{W}'_{d_{0:t}} \end{bmatrix}\right) = \text{rank}(\mathbf{O}_{nd_{0:t}}) + \text{rank}(\mathbf{W}'_{d_{0:t}}) \quad (\text{پ-۹۷})$$

بنابراین،

$$\text{rank}\left(\begin{bmatrix} \mathbf{O}_{nd_{0:t}} & \mathbf{W}'_{d_{0:t}} \end{bmatrix}\right) = n + n_d + \text{rank}(\mathbf{W}'_{d_{0:t}}) \quad (\text{پ-۹۸})$$

بر مبنای قضیه کیلی-همیلتون، شرایط بیان شده به ازای  $t = 0, 1, \dots, n$  معتبر است. در نتیجه، ماتریس  $\mathbf{O}_{nd_{0:t}}$  به صورت زیر کاهش می‌یابد:

$$\mathbf{O}_{nd} = \begin{bmatrix} \mathbf{C} & \mathbf{D}_d \\ \mathbf{CA} & \mathbf{CB}_d \\ \mathbf{CA}^2 & \mathbf{CAB}_d \\ \vdots & \vdots \\ \mathbf{CA}^n & \mathbf{CA}^{n-1}\mathbf{B}_d \end{bmatrix} \quad (\text{پ-۹۹})$$

در رابطه فوق،  $\mathbf{O}_{nd} = [\mathbf{O}_n \quad \mathbf{O}_d]$  بیانگر ماتریس مشاهده پذیری متغیر حالت افزونه است.

**شرط کافی:** با در نظر گرفتن معادلات (پ-۹۶) و (پ-۹۷)، بر مبنای تضاد فرض می‌شود که سیستم

مشاهده‌پذیر توأمان متغیر حالت و ورودی نامعلوم نیست. به عبارت دیگر،  $\mathbf{x}'_{a_k}$  غیرقابل تشخیص از  $\mathbf{x}_{a_k}$

است؛ لذا  $\mathbf{z}_{k:k+n}(\mathbf{x}'_{a_k}, \boldsymbol{\delta}_{k:k+n}, \mathbf{d}_{k+1:k+n}) = \mathbf{z}_{k:k+n}(\mathbf{x}_{a_k}, \boldsymbol{\delta}_{k:k+n}, \mathbf{d}_{k+1:k+n})$  برقرار است. در نتیجه،

$$\mathbf{O}_{nd} \mathbf{x}'_a + \mathbf{W}_{n+1} \begin{bmatrix} \boldsymbol{\delta}_k \\ \boldsymbol{\delta}_{k+1} \\ \vdots \\ \boldsymbol{\delta}_{k+n} \end{bmatrix} + \mathbf{W}'_d \begin{bmatrix} \mathbf{d}_{k+1} \\ \mathbf{d}_{k+2} \\ \vdots \\ \mathbf{d}_{k+n} \end{bmatrix} = \mathbf{O}_{nd} \mathbf{x}_a + \mathbf{W}_{n+1} \begin{bmatrix} \boldsymbol{\delta}_k \\ \boldsymbol{\delta}_{k+1} \\ \vdots \\ \boldsymbol{\delta}_{k+n} \end{bmatrix} + \mathbf{W}'_d \begin{bmatrix} \mathbf{d}_{k+1} \\ \mathbf{d}_{k+2} \\ \vdots \\ \mathbf{d}_{k+n} \end{bmatrix} \quad (\text{پ-۱۰۰})$$

بنابراین نتیجه می‌شود که  $\mathbf{O}_{nd}(\mathbf{x}'_a - \mathbf{x}_a) = \mathbf{0}$  است؛ یعنی رنک ماتریس  $\mathbf{O}_{nd}$  کامل نیست؛ که بیانگر

تضاد است. لذا، سیستم خطی گسسته زمان مشاهده‌پذیر توأمان متغیر حالت و ورودی نامعلوم است.

## پیوست ج: اثبات قضایای مشاهده‌پذیری برای سیستم‌های پیوسته غیرخطی افاین

اثبات قضیه ۱۱ (مشاهده‌پذیری متغیرهای حالت): در این بخش اثبات قضیه ۱۱ مرتبط با شرط مشاهده‌پذیری متغیرهای حالت برای یک سیستم غیرخطی پیوسته زمان در حالت افاین بیان می‌شود. اثبات: خروجی سیستم و مشتقات خروجی تا مرتبه  $i$ -ام به صورت زیر محاسبه می‌شود:

$$\left\{ \begin{array}{l} \mathbf{z} = \mathbf{h}(\mathbf{x}) = L_f^0(\mathbf{h}(\mathbf{x})) \\ \mathbf{z}^{(1)} = \frac{\partial \mathbf{z}}{\partial \mathbf{x}} \cdot \frac{\partial \mathbf{x}}{\partial t} = \frac{\partial \mathbf{h}}{\partial \mathbf{x}} \cdot \mathbf{f} = L_f^1(\mathbf{h}(\mathbf{x})) \\ \mathbf{z}^{(2)} = \frac{\partial \mathbf{z}^{(1)}}{\partial \mathbf{x}} \cdot \frac{\partial \mathbf{x}}{\partial t} = L_f^2(\mathbf{h}(\mathbf{x})) \\ \mathbf{z}^{(3)} = \frac{\partial \mathbf{z}^{(2)}}{\partial \mathbf{x}} \cdot \frac{\partial \mathbf{x}}{\partial t} = L_f^3(\mathbf{h}(\mathbf{x})) \\ \vdots \\ \mathbf{z}^{(n-1)} = L_f^{n-1}(\mathbf{h}(\mathbf{x})) \\ \vdots \\ \mathbf{z}^{(i)} = L_f^i(\mathbf{h}(\mathbf{x})) \end{array} \right. \quad (\text{پ-۱۰۱})$$

معادله فوق به صورت زیر در فرم ماتریسی نوشته شود:

$$\begin{bmatrix} \mathbf{z} \\ \mathbf{z}^{(1)} \\ \vdots \\ \mathbf{z}^{(n-1)} \\ \vdots \\ \mathbf{z}^{(i)} \end{bmatrix} = \mathbf{I}_{i+1}(\mathbf{x}) \quad (\text{پ-۱۰۲})$$

در رابطه فوق،  $\mathbf{I}_{i+1}(\mathbf{x})$  به صورت زیر حاصل می‌شوند:

$$\mathbf{I}_{i+1}(\mathbf{x}) = \begin{bmatrix} L_f^0(\mathbf{h}(\mathbf{x})) \\ L_f^1(\mathbf{h}(\mathbf{x})) \\ \vdots \\ L_f^{n-1}(\mathbf{h}(\mathbf{x})) \\ \vdots \\ L_f^i(\mathbf{h}(\mathbf{x})) \end{bmatrix} \quad (\text{پ-۱۰۳})$$

بر مبنای قضیه تابع معکوس‌شونده [۱۷۴]، که در پیوست "ج" بیان شده‌است، نتیجه می‌شود که معادله (پ-۱۰۲) می‌تواند به صورت  $\mathbf{x} = \mathbf{g}(\mathbf{z}, \mathbf{z}^{(1)}, \dots, \mathbf{z}^{(n-1)})$  در همسایگی  $\mathbf{N}$  از متغیر حالت ابتدایی  $\mathbf{x}_0$  برای  $i = n-1$  و به صورت یکتا حل شود؛ اگر رنک ماتریس ژاکوبین زیر کامل باشد:

$$\mathbf{O}_n(\mathbf{x}_0) = \left. \frac{\partial(\mathbf{I}_n(\mathbf{x}))}{\partial \mathbf{x}} \right|_{\mathbf{x} = \mathbf{x}_0} \quad (\text{پ-۱۰۴})$$

در رابطه فوق،  $\mathbf{I}_n$  فرم کاهش‌یافته از  $\mathbf{I}_{i+1}$  برای  $i = n-1$  است؛ که به صورت زیر بیان می‌شوند:

$$\mathbf{I}_n(\mathbf{x}) = \begin{bmatrix} L_T^0(\mathbf{h}(\mathbf{x})) \\ L_T^1(\mathbf{h}(\mathbf{x})) \\ L_T^2(\mathbf{h}(\mathbf{x})) \\ \vdots \\ L_T^{n-1}(\mathbf{h}(\mathbf{x})) \end{bmatrix} \quad (\text{پ-۱۰۵})$$

اینجا،  $\mathbf{O}_n$  ماتریس مشاهده‌پذیری نامیده می‌شود. به صورت ویژه، بر طبق قضیه تابع معکوس‌شونده، دو متغیر غیر قابل تشخیص ( $\mathbf{x}_1$  و  $\mathbf{x}_2$ ) در همسایگی  $\mathbf{N}$  به گونه‌ای که  $\mathbf{z}(\mathbf{x}_1) = \mathbf{z}(\mathbf{x}_2)$  نمی‌تواند وجود داشته باشد.

این اثبات معادل با خطی‌سازی معادله (پ-۱۳۹) با استفاده از بسط سری تیلور مرتبه اول حول  $\mathbf{x}_0$  است؛ یعنی:

$$\mathbf{I}_n(\mathbf{x}) \approx \mathbf{I}_n(\mathbf{x}_0) + \mathbf{O}_n(\mathbf{x}_0)(\mathbf{x} - \mathbf{x}_0) \quad (\text{پ-۱۰۶})$$

با جایگزین کردن معادله فوق در معادله (پ-۱۰۲)، معادله زیر حاصل می‌شود:

$$\begin{bmatrix} \mathbf{z} \\ \mathbf{z}^{(1)} \\ \vdots \\ \mathbf{z}^{(n-1)} \end{bmatrix} - \mathbf{I}_n(\mathbf{x}_0) + \mathbf{O}_n(\mathbf{x}_0)\mathbf{x}_0 = \mathbf{O}_n(\mathbf{x}_0)\mathbf{x} \quad (\text{پ-۱۰۷})$$

از آنجا که سمت چپ معادله فوق معلوم است؛ بر طبق قضیه Rouché–Capelli [۱۷۵]، رنک ستونی ماتریس  $\mathbf{O}_n(\mathbf{x}_0)$  باید کامل باشد تا متغیر حالت  $\mathbf{x}$  در همسایگی  $\mathbf{N}$  از  $\mathbf{x}_0$  قابل بازیابی باشد. یعنی:

$$\text{rank}(\mathbf{O}_n(\mathbf{x}_0)) = n \quad (\text{پ-۱۰۸})$$

اثبات قضیه ۱۲ (مشاهده‌پذیری قوی): در این بخش اثبات قضیه ۱۲ مرتبط با شرایط لازم

مشاهده‌پذیری قوی برای یک سیستم غیرخطی پیوسته زمان در حالت افاین بیان می‌شود.

اثبات: خروجی سیستم و مشتقات خروجی تا مرتبه  $i$ -ام به صورت زیر محاسبه می‌شود:

$$\begin{aligned}
 \mathbf{z} &= \mathbf{h}(\mathbf{x}) = L_{\mathbf{T}}^0(\mathbf{h}) \\
 \mathbf{z}^{(1)} &= L_{\mathbf{T}}^1(\mathbf{h}) + L_{\mathbf{g}_d}^1(\mathbf{h}(\mathbf{x}))\mathbf{d} \\
 \mathbf{z}^{(2)} &= L_{\mathbf{T}}^2(\mathbf{h}) + L_{\mathbf{g}_d}^1 L_{\mathbf{T}}^1(\mathbf{h}(\mathbf{x}))\mathbf{d} + L_{\mathbf{T}}^1 L_{\mathbf{g}_d}^1(\mathbf{hd}) + L_{\mathbf{g}_d}^1(\mathbf{h}(\mathbf{x}))\mathbf{d}^{(1)} + \text{h.o.t} \\
 &\vdots \\
 \mathbf{z}^{(n-1)} &= L_{\mathbf{T}}^{n-1}(\mathbf{h}) + \sum_{j=0}^{n-3} L_{\mathbf{T}}^j L_{\mathbf{g}_d}^1 L_{\mathbf{T}}^{n-(j+2)}(\mathbf{h}(\mathbf{x}))\mathbf{d} + L_{\mathbf{T}}^{n-2} L_{\mathbf{g}_d}^1(\mathbf{hd}) + \dots \\
 &\quad + \sum_{j=0}^{n-(m+3)} \frac{(j+m)!}{j! m!} L_{\mathbf{T}}^j L_{\mathbf{g}_d}^1 L_{\mathbf{T}}^{n-(m+2+j)}(\mathbf{h})\mathbf{d}^{(m)} + \frac{(n-2)!}{(n-(m+2))! m!} L_{\mathbf{T}}^{n-(m+2)} L_{\mathbf{g}_d}^1(\mathbf{hd}^{(m)}) + \dots \\
 &\quad + L_{\mathbf{g}_d}^1(\mathbf{h}(\mathbf{x}))\mathbf{d}^{(n-2)} + \text{h.o.t} \\
 &\vdots \\
 \mathbf{z}^{(i)} &= L_{\mathbf{T}}^i(\mathbf{h}) + \sum_{j=0}^{i-2} L_{\mathbf{T}}^j L_{\mathbf{g}_d}^1 L_{\mathbf{T}}^{i-(j+1)}(\mathbf{h}(\mathbf{x}))\mathbf{d} + L_{\mathbf{T}}^{i-1} L_{\mathbf{g}_d}^1(\mathbf{hd}) + \\
 &\quad \sum_{j=0}^{i-3} (j+1) L_{\mathbf{T}}^j L_{\mathbf{g}_d}^1 L_{\mathbf{T}}^{i-(j+2)}(\mathbf{h}(\mathbf{x}))\mathbf{d}^{(1)} + (i-1) L_{\mathbf{T}}^{i-2} L_{\mathbf{g}_d}^1(\mathbf{hd}^{(1)}) + \dots \\
 &\quad + \sum_{j=0}^{i-(m+2)} \frac{(j+m)!}{j! m!} L_{\mathbf{T}}^j L_{\mathbf{g}_d}^1 L_{\mathbf{T}}^{i-(m+1+j)}(\mathbf{h})\mathbf{d}^{(m)} + \frac{(i-1)!}{(i-(m+1))! m!} L_{\mathbf{T}}^{i-(m+1)} L_{\mathbf{g}_d}^1(\mathbf{hd}^{(m)}) + \dots + L_{\mathbf{g}_d}^1(\mathbf{h}(\mathbf{x}))\mathbf{d}^{(i-1)} + \text{h.o.t}
 \end{aligned} \tag{پ-۱۰۹}$$

در رابطه فوق،  $\mathbf{d}^{(m)}$  بیانگر مشتق  $m$ -ام ورودی‌های نامعلوم  $\mathbf{d}$  نسبت به زمان برای  $m=0, \dots, i-1$  است.

معادلات فوق می‌تواند به صورت زیر بیان شود:

(پ-۱۱۰)

$$\begin{aligned}
 \mathbf{z} &= \mathbf{h}(\mathbf{x}) = L_{\mathbf{T}}^0(\mathbf{h}) \\
 \mathbf{z}^{(1)} &= L_{\mathbf{T}}^1(\mathbf{h}) + L_{\mathbf{g}_d}^1(\mathbf{h}(\mathbf{x}))\mathbf{d} \\
 \mathbf{z}^{(2)} &= L_{\mathbf{T}}^2(\mathbf{h}) + \left( L_{\mathbf{g}_d}^1 L_{\mathbf{T}}^1(\mathbf{h}(\mathbf{x})) + \frac{\partial L_{\mathbf{T}}^1 L_{\mathbf{g}_d}^1(\mathbf{hd})}{\partial \mathbf{d}} \right) \mathbf{d} + L_{\mathbf{g}_d}^1(\mathbf{h}(\mathbf{x}))\mathbf{d}^{(1)} + \text{h.o.t} \\
 &\vdots \\
 \mathbf{z}^{(n-1)} &= L_{\mathbf{T}}^{n-1}(\mathbf{h}) + \left( \sum_{j=0}^{n-3} L_{\mathbf{T}}^j L_{\mathbf{g}_d}^1 L_{\mathbf{T}}^{n-(j+2)}(\mathbf{h}(\mathbf{x})) + \frac{\partial L_{\mathbf{T}}^{n-2} L_{\mathbf{g}_d}^1(\mathbf{hd})}{\partial \mathbf{d}} \right) \mathbf{d} + \dots \\
 &\quad + \left( \sum_{j=0}^{n-(m+3)} \frac{(j+m)!}{j! m!} L_{\mathbf{T}}^j L_{\mathbf{g}_d}^1 L_{\mathbf{T}}^{n-(m+2+j)}(\mathbf{h}) + \frac{(n-2)!}{(n-(m+2))! m!} \frac{\partial L_{\mathbf{T}}^{n-(m+2)} L_{\mathbf{g}_d}^1(\mathbf{hd}^{(m)})}{\partial \mathbf{d}^{(m)}} \right) \mathbf{d}^{(m)} + \dots + L_{\mathbf{g}_d}^1(\mathbf{h}(\mathbf{x}))\mathbf{d}^{(n-2)} + \text{h.o.t} \\
 &\vdots \\
 \mathbf{z}^{(i)} &= L_{\mathbf{T}}^i(\mathbf{h}) + \left( \sum_{j=0}^{i-2} L_{\mathbf{T}}^j L_{\mathbf{g}_d}^1 L_{\mathbf{T}}^{i-(j+1)}(\mathbf{h}(\mathbf{x})) + \frac{\partial L_{\mathbf{T}}^{i-1} L_{\mathbf{g}_d}^1(\mathbf{hd})}{\partial \mathbf{d}} \right) \mathbf{d} + \left( \sum_{j=0}^{i-3} (j+1) L_{\mathbf{T}}^j L_{\mathbf{g}_d}^1 L_{\mathbf{T}}^{i-(j+2)}(\mathbf{h}(\mathbf{x})) + (i-1) \frac{\partial L_{\mathbf{T}}^{i-2} L_{\mathbf{g}_d}^1(\mathbf{hd}^{(1)})}{\partial \mathbf{d}^{(1)}} \right) \mathbf{d}^{(1)} + \dots \\
 &\quad + \left( \sum_{j=0}^{i-(m+2)} \frac{(j+m)!}{j! m!} L_{\mathbf{T}}^j L_{\mathbf{g}_d}^1 L_{\mathbf{T}}^{i-(m+1+j)}(\mathbf{h}) + \frac{(i-1)!}{(i-(m+1))! m!} \frac{\partial L_{\mathbf{T}}^{i-(m+1)} L_{\mathbf{g}_d}^1(\mathbf{hd}^{(m)})}{\partial \mathbf{d}^{(m)}} \right) \mathbf{d}^{(m)} + \dots + L_{\mathbf{g}_d}^1(\mathbf{h}(\mathbf{x}))\mathbf{d}^{(i-1)} + \text{h.o.t}
 \end{aligned}$$

معادله فوق می‌تواند به فرم ماتریسی زیر بازنویسی شود:

$$\begin{bmatrix} \mathbf{z} \\ \mathbf{z}^{(1)} \\ \vdots \\ \mathbf{z}^{(n-1)} \\ \vdots \\ \mathbf{z}^{(i)} \end{bmatrix} = \mathbf{I}_{i+1}(\mathbf{x}) + \mathbf{W}_{d_{i+1}} \begin{bmatrix} \mathbf{d} \\ \mathbf{d}^{(1)} \\ \vdots \\ \mathbf{d}^{(n-1)} \\ \vdots \\ \mathbf{d}^{(i)} \end{bmatrix} \quad (\text{پ-۱۱۱})$$

جاییکه؛

$$(\text{پ-۱۱۲})$$

$$\mathbf{W}_{d_{i+1}} = \begin{bmatrix} \mathbf{0} & \mathbf{0} & \dots & \dots & \dots & \dots & \mathbf{0} \\ L_{g_d}^1(\mathbf{h}) & \mathbf{0} & \dots & \dots & \dots & \dots & \mathbf{0} \\ L_{g_d}^1 L_{f_d}^1(\mathbf{h}) + \frac{\partial L_{g_d}^1 L_{f_d}^1(\mathbf{hd})}{\partial \mathbf{d}} & L_{g_d}^1(\mathbf{h}) & \dots & \dots & \dots & \dots & \mathbf{0} \\ \vdots & \vdots & \ddots & \vdots & \vdots & \vdots & \vdots \\ \sum_{j=0}^{n-3} L_{f_d}^j L_{g_d}^1 L_{f_d}^{n-(j+2)}(\mathbf{h}) + \frac{\partial L_{f_d}^{n-2} L_{g_d}^1(\mathbf{hd})}{\partial \mathbf{d}} & \dots & \dots & \sum_{j=0}^{n-(m+3)} \frac{(j+m)!}{j! m!} L_{f_d}^j L_{g_d}^1 L_{f_d}^{n-(m+2+j)}(\mathbf{h}) + \frac{(n-2)!}{(n-(m+2))! m!} \frac{\partial L_{f_d}^{n-(m+2)} L_{g_d}^1(\mathbf{hd}^{(m)})}{\partial \mathbf{d}^{(m)}} & \dots & \dots & \vdots \\ \vdots & \vdots & \vdots & \vdots & \vdots & \vdots & \vdots \\ \sum_{j=0}^{i-2} L_{f_d}^j L_{g_d}^1 L_{f_d}^{i-(j+1)}(\mathbf{h}) + \frac{\partial L_{f_d}^{i-1} L_{g_d}^1(\mathbf{hd})}{\partial \mathbf{d}} & \dots & \dots & \sum_{j=0}^{i-(m+2)} \frac{(j+m)!}{j! m!} L_{f_d}^j L_{g_d}^1 L_{f_d}^{i-(m+1+j)}(\mathbf{h}) + \frac{(i-1)!}{(i-(m+1))! m!} \frac{\partial L_{f_d}^{i-(m+1)} L_{g_d}^1(\mathbf{hd}^{(m)})}{\partial \mathbf{d}^{(m)}} & \dots & L_{g_d}^1(\mathbf{h}) & \mathbf{0} \end{bmatrix}$$

با جایگزین کردن معادله (پ-۱۰۶) در معادله (پ-۱۱۱)، عبارت زیر حاصل می‌شود:

$$\begin{bmatrix} \mathbf{z} \\ \mathbf{z}^{(1)} \\ \vdots \\ \mathbf{z}^{(n-1)} \\ \vdots \\ \mathbf{z}^{(i)} \end{bmatrix} - \mathbf{I}_{i+1}(\mathbf{x}_0) + \mathbf{O}_{i+1}(\mathbf{x}_0) \mathbf{x}_0 = \mathbf{O}_{i+1}(\mathbf{x}_0) \mathbf{x} + \mathbf{W}_{d_{i+1}}(\mathbf{x}_0) \begin{bmatrix} \mathbf{d} \\ \mathbf{d}^{(1)} \\ \vdots \\ \mathbf{d}^{(n-1)} \\ \vdots \\ \mathbf{d}^{(i)} \end{bmatrix} = \begin{bmatrix} \mathbf{O}_{i+1}(\mathbf{x}_0) & \mathbf{W}_{d_{i+1}}(\mathbf{x}_0) \end{bmatrix} \begin{bmatrix} \mathbf{x} \\ \mathbf{d} \\ \vdots \\ \mathbf{d}^{(n-1)} \\ \vdots \\ \mathbf{d}^{(i)} \end{bmatrix} \quad (\text{پ-۱۱۳})$$

از آنجا که، مشاهدات معلوم هستند؛ سمت چپ معادله فوق معلوم است. بنابراین، بر اساس قضیه ۱۵، که در پیوست "ج" بیان شده است، به منظور تشخیص متغیر حالت،  $\mathbf{x}$ ، از ورودی‌های نامعلوم،  $\mathbf{d}, \dots, \mathbf{d}^{(i)}$ ، ستون‌های ماتریس  $\mathbf{O}_{i+1}(\mathbf{x}_0)$  باید مستقل خطی از ستون‌های ماتریس  $\mathbf{W}_{d_{i+1}}(\mathbf{x}_0)$  باشد؛ یعنی:

$$\text{rank} \left( \begin{bmatrix} \mathbf{O}_{i+1} & \mathbf{W}_{d_{i+1}} \end{bmatrix} \right) \Big|_{\mathbf{x} = \mathbf{x}_0} = \text{rank}(\mathbf{O}_{i+1}(\mathbf{x}_0)) + \text{rank}(\mathbf{W}_{d_{i+1}}(\mathbf{x}_0)) \quad (\text{پ-}114)$$

همچنین، بر طبق قضیه تابع معکوس‌شونده، که در پیوست "چ" بیان شده‌است، رنک ماتریس  $\mathbf{O}_{i+1}(\mathbf{x}_0)$  باید کامل باشد؛ تا متغیر حالت،  $\mathbf{x} = \mathbf{g}(\mathbf{z}^{(1)}, \dots, \mathbf{z}^{(n-1)})$ ، به صورت یکتا در همسایگی  $\mathbf{N}$  از  $\mathbf{x}_0$  برای  $i = n-1$  قابل بازیابی باشند. یعنی؛

$$\text{rank}(\mathbf{O}_n(\mathbf{x}_0)) = n \quad (\text{پ-}115)$$

بنابراین

$$\text{rank} \left( \begin{bmatrix} \mathbf{O}_n & \mathbf{W}_d \end{bmatrix} \right) \Big|_{\mathbf{x} = \mathbf{x}_0} = n + \text{rank}(\mathbf{W}_d(\mathbf{x}_0)) \quad (\text{پ-}116)$$

در رابطه فوق،  $\mathbf{W}_d$  فرم کاهش‌یافته از  $\mathbf{W}_{d_{i+1}}$  برای  $i = n-1$  است، که به صورت زیر بیان می‌شود:

$$(\text{پ-}117)$$

$$\mathbf{W}_d = \begin{bmatrix} \mathbf{0} & \mathbf{0} & \dots & \dots & \dots & \mathbf{0} & \mathbf{0} \\ L_{g_d}^1(\mathbf{h}) & \mathbf{0} & \dots & \dots & \dots & \mathbf{0} & \mathbf{0} \\ L_{g_d}^1 L_{f_d}^1(\mathbf{h}) + \frac{\partial L_{g_d}^1(\mathbf{h}\mathbf{d})}{\partial \mathbf{d}} & L_{g_d}^1(\mathbf{h}) & \dots & \dots & \dots & \mathbf{0} & \mathbf{0} \\ \vdots & \vdots & \vdots & \vdots & \vdots & \vdots & \vdots \\ \sum_{j=0}^{n-3} L_{g_d}^1 L_{f_d}^{n-(j+2)}(\mathbf{h}) + \frac{\partial L_{g_d}^{n-2}(\mathbf{h}\mathbf{d})}{\partial \mathbf{d}} & \dots & \dots & \sum_{j=0}^{n-(m+3)} \frac{(j+m)!}{j! m!} L_{g_d}^1 L_{f_d}^{n-(m+2+j)}(\mathbf{h}) + \frac{(n-2)!}{(n-(m+2))! m!} \frac{\partial L_{g_d}^{n-(m+2)}(\mathbf{h}\mathbf{d}^{(m)})}{\partial \mathbf{d}^{(m)}} & \dots & L_{g_d}^1(\mathbf{h}) & \mathbf{0} \end{bmatrix}$$

اینجا،  $\mathbf{W}_d$  ماتریس معکوس‌پذیر اغتشاش است. به صورت ویژه، بر طبق قضایای تابع معکوس‌شونده و قضیه ۱۵، دو متغیر حالت غیرقابل تشخیص ( $\mathbf{x}_1$  و  $\mathbf{x}_2$ ) در حضور از دو ورودی نامعلوم ( $\mathbf{d}_1$  و  $\mathbf{d}_2$ ) و در همسایگی  $\mathbf{N}$  به گونه‌ای که  $\mathbf{z}(\mathbf{x}_1, \mathbf{d}_1) = \mathbf{z}(\mathbf{x}_2, \mathbf{d}_2)$  نمی‌تواند وجود داشته باشد.

**اثبات قضیه ۱۳ (مشاهده پذیری ورودی‌های نامعلوم):** در این بخش اثبات قضیه ۱۳ به منظور بررسی مشاهده پذیری ورودی‌های نامعلوم برای یک سیستم غیرخطی پیوسته زمان در حالت افاین بیان می‌شود. **اثبات:** خروجی سیستم و مشتقات خروجی تا مرتبه  $i$ -ام بر طبق معادله (پ-۱۱۳) و با پاریشن بندی ماتریس معکوس پذیری به صورت  $\mathbf{W}_{d_{i+1}} = [\mathbf{O}_{d_{i+1}} \quad \mathbf{W}'_{d_{i+1}}]$  به صورت زیر بیان می‌شود:

$$\begin{bmatrix} \mathbf{z} \\ \mathbf{z}^{(1)} \\ \vdots \\ \mathbf{z}^{(n)} \\ \vdots \\ \mathbf{z}^{(i)} \end{bmatrix} - \mathbf{1}_{i+1} = \mathbf{O}_{i+1} (\mathbf{x} - \mathbf{x}_0) + \mathbf{O}_{d_{i+1}} \mathbf{d} + \mathbf{W}'_{d_{i+1}} \begin{bmatrix} \mathbf{d}^{(1)} \\ \vdots \\ \mathbf{d}^{(n)} \\ \vdots \\ \mathbf{d}^{(i)} \end{bmatrix} \quad (\text{پ-۱۱۸})$$

که

$$\mathbf{O}_{d_{i+1}} = \begin{bmatrix} \mathbf{0} \\ L_{g_d}^1(\mathbf{h}) \\ \vdots \\ \sum_{j=0}^{n-2} L_{\mathbf{f}}^j L_{g_d}^1 L_{\mathbf{f}}^{n-(j+1)}(\mathbf{h}) + \frac{\partial L_{\mathbf{f}}^{n-1} L_{g_d}^1(\mathbf{hd})}{\partial \mathbf{d}} \\ \vdots \\ \sum_{j=0}^{i-2} L_{\mathbf{f}}^j L_{g_d}^1 L_{\mathbf{f}}^{i-(j+1)}(\mathbf{h}) + \frac{\partial L_{\mathbf{f}}^{i-1} L_{g_d}^1(\mathbf{hd})}{\partial \mathbf{d}} \end{bmatrix} \quad (\text{پ-۱۱۹})$$

(پ-۱۲۰)

$$\mathbf{W}'_{d_{i+1}} = \begin{bmatrix} \mathbf{0} & \dots & \dots & \dots & \dots & \mathbf{0} & \mathbf{0} \\ \mathbf{0} & \dots & \dots & \dots & \dots & \mathbf{0} & \mathbf{0} \\ L_{g_d}^1(\mathbf{h}) & \dots & \dots & \dots & \dots & \mathbf{0} & \mathbf{0} \\ \vdots & \vdots & \vdots & \vdots & \vdots & \vdots & \vdots \\ \sum_{j=0}^{n-3} (j+1) L_{\mathbf{f}}^j L_{g_d}^1 L_{\mathbf{f}}^{n-(j+2)}(\mathbf{h}) + (n-1) \frac{\partial L_{\mathbf{f}}^{n-2} L_{g_d}^1(\mathbf{hd}^{(1)})}{\partial \mathbf{d}^{(1)}} & \dots & \sum_{j=0}^{n-(m+2)} \frac{(j+m)!}{j! m!} L_{\mathbf{f}}^j L_{g_d}^1 L_{\mathbf{f}}^{n-(m+1+j)}(\mathbf{h}) + \frac{(n-1)!}{(n-(m+1))! m!} \frac{\partial L_{\mathbf{f}}^{n-(m+1)} L_{g_d}^1(\mathbf{hd}^{(m)})}{\partial \mathbf{d}^{(m)}} & \dots & \mathbf{0} & \mathbf{0} \\ \vdots & \vdots & \vdots & \vdots & \vdots & \vdots & \vdots \\ \sum_{j=0}^{i-3} (j+1) L_{\mathbf{f}}^j L_{g_d}^1 L_{\mathbf{f}}^{i-(j+2)}(\mathbf{h}) + (i-1) \frac{\partial L_{\mathbf{f}}^{i-2} L_{g_d}^1(\mathbf{hd}^{(1)})}{\partial \mathbf{d}^{(1)}} & \dots & \sum_{j=0}^{i-(m+2)} \frac{(j+m)!}{j! m!} L_{\mathbf{f}}^j L_{g_d}^1 L_{\mathbf{f}}^{i-(m+1+j)}(\mathbf{h}) + \frac{(i-1)!}{(i-(m+1))! m!} \frac{\partial L_{\mathbf{f}}^{i-(m+1)} L_{g_d}^1(\mathbf{hd}^{(m)})}{\partial \mathbf{d}^{(m)}} & \dots & L_{g_d}^1(\mathbf{h}) & \mathbf{0} \end{bmatrix}$$

روابط فوق،  $\mathbf{d}^{(m)}$  بیانگر مشتق  $m$ -ام  $\mathbf{d}$  نسبت به زمان برای  $m=0, \dots, i-1$  است. با بازنویسی معادله (پ-۱۱۸)، معادله زیر حاصل می‌شود:

$$\begin{bmatrix} \mathbf{z} \\ \mathbf{z}^{(1)} \\ \vdots \\ \mathbf{z}^{(n)} \\ \vdots \\ \mathbf{z}^{(i)} \end{bmatrix} - \mathbf{1}_{i+1}(\mathbf{x}_0) - \mathbf{O}_{i+1} (\mathbf{x} - \mathbf{x}_0) = \mathbf{O}_{d_{i+1}} \mathbf{d} + \mathbf{W}'_{d_{i+1}} \begin{bmatrix} \mathbf{d}^{(1)} \\ \vdots \\ \mathbf{d}^{(n)} \\ \vdots \\ \mathbf{d}^{(i)} \end{bmatrix} = [\mathbf{O}_{d_{i+1}} \quad \mathbf{W}'_{d_{i+1}}] \begin{bmatrix} \mathbf{d} \\ \mathbf{d}^{(1)} \\ \vdots \\ \mathbf{d}^{(n)} \\ \vdots \\ \mathbf{d}^{(i)} \end{bmatrix} \quad (\text{پ-۱۲۱})$$



از آنجا که سمت چپ معادله فوق معلوم است؛ بر طبق قضیه ۱۵، که در پیوست "چ" بیان شده است، به منظور بازیابی ورودی نامعلوم  $\mathbf{d}$  از سایر ورودی‌های نامعلوم  $\mathbf{d}^{(1)}, \dots, \mathbf{d}^{(i)}$ ، ستون‌های ماتریس  $\mathbf{O}_{d_{i+1}}$  باید مستقل خطی از ستون‌های ماتریس  $\mathbf{W}'_{d_{i+1}}$  باشد. یعنی؛

$$\text{rank} \left( \left[ \begin{array}{c|c} \mathbf{O}_{d_{i+1}} & \mathbf{W}'_{d_{i+1}} \end{array} \right] \right) \Big|_{\mathbf{d} = \mathbf{d}_0} = \text{rank}(\mathbf{O}_{d_{i+1}}(\mathbf{d}_0)) + \text{rank}(\mathbf{W}'_{d_{i+1}}(\mathbf{d}_0)) \quad (\text{پ-}122)$$

همچنین، بر مبنای قضیه تابع معکوس شونده، که در پیوست "چ" بیان شده است، ورودی نامعلوم  $i = n$  در همسایگی  $\mathbf{N}$  از  $\mathbf{d}_0$  با دانستن اطلاعات خروجی  $(\mathbf{z})$  و  $\mathbf{x}_0$ ، به ازای  $\mathbf{d} = \mathbf{g}(\mathbf{z}, \mathbf{z}^{(1)}, \dots, \mathbf{z}^{(n-1)}, \mathbf{x}_0)$  به صورت یکتا تعیین می‌شود؛ اگر رنک ماتریس  $\mathbf{O}_d$  کامل باشد. یعنی؛

$$\text{rank}(\mathbf{O}_d(\mathbf{d}_0)) = n_d \quad (\text{پ-}123)$$

در رابطه فوق،  $\mathbf{O}_d$  فرم کاهش یافته ماتریس  $\mathbf{O}_{d_{i+1}}$  به ازای  $i = n$  است؛ که به صورت زیر بیان می‌شود:

$$\mathbf{O}_d = \begin{bmatrix} \mathbf{0} \\ L_{g_d}^1(\mathbf{h}) \\ L_{g_d}^1 L_{f_1}^1(\mathbf{h}) + \frac{\partial L_{f_1}^1 L_{g_d}^1(\mathbf{hd})}{\partial \mathbf{d}} \\ \vdots \\ \sum_{j=0}^{n-2} L_{f_1}^j L_{g_d}^1 L_{f_1}^{n-(j+1)}(\mathbf{h}) + \frac{\partial L_{f_1}^{n-1} L_{g_d}^1(\mathbf{hd})}{\partial \mathbf{d}} \end{bmatrix} \quad (\text{پ-}124)$$

اینجا،  $\mathbf{O}_d$  ماتریس مشاهده پذیری ورودی‌های نامعلوم نامیده می‌شود. بنابراین،

$$\text{rank} \left( \left[ \begin{array}{c|c} \mathbf{O}_d & \mathbf{W}'_d \end{array} \right] \right) \Big|_{\mathbf{d} = \mathbf{d}_0} = n_d + \text{rank}(\mathbf{W}'_d(\mathbf{d}_0)) \quad (\text{پ-}125)$$

در رابطه فوق،  $\mathbf{W}'_d$  فرم کاهش یافته ماتریس  $\mathbf{W}'_{d_{i+1}}$  به ازای  $i = n$  است؛ که به صورت زیر بیان می‌شود:

$$\mathbf{W}'_d = \begin{bmatrix} \mathbf{0} & \mathbf{0} & \dots & \dots & \mathbf{0} & \mathbf{0} \\ \mathbf{0} & \mathbf{0} & \dots & \dots & \mathbf{0} & \mathbf{0} \\ L_{g_d}^1(\mathbf{h}) & \mathbf{0} & \dots & \dots & \mathbf{0} & \mathbf{0} \\ \vdots & \vdots & \vdots & \vdots & \mathbf{0} & \mathbf{0} \\ \sum_{j=0}^{n-3} (j+1) L_{f_1}^j L_{g_d}^1 L_{f_1}^{n-(j+2)}(\mathbf{h}) + (n-1) \frac{\partial L_{f_1}^{n-2} L_{g_d}^1(\mathbf{hd}^{(1)})}{\partial \mathbf{d}^{(1)}} & \dots & \sum_{j=0}^{n-(m+2)} \frac{(j+m)!}{j! m!} L_{f_1}^j L_{g_d}^1 L_{f_1}^{n-(m+j)}(\mathbf{h}) + \frac{(n-1)!}{(n-(m+1))! m!} \frac{\partial L_{f_1}^{n-(m+1)} L_{g_d}^1(\mathbf{hd}^{(m)})}{\partial \mathbf{d}^{(m)}} & \dots & L_{g_d}^1(\mathbf{h}) & \mathbf{0} \end{bmatrix}$$

به صورت ویژه، بر طبق قضایای تابع معکوس شونده و ۱۵، دو بردار مجهول غیرقابل تشخیص ( $\mathbf{d}_1$  و  $\mathbf{d}_2$ ) در حضور از دو متغیر حالت ( $\mathbf{x}_1$  و  $\mathbf{x}_2$ ) و در همسایگی  $\mathbf{N}$  به گونه‌ای که  $\mathbf{z}(\mathbf{x}_1, \mathbf{d}_1) = \mathbf{z}(\mathbf{x}_2, \mathbf{d}_2)$  نمی‌تواند

وجود داشته باشد.

**اثبات قضیه ۱۴ (مشاهده‌پذیری توأمان متغیرهای حالت و ورودی‌های نامعلوم):** در این بخش اثبات قضیه ۱۴ مرتبط با شرایط لازم مشاهده‌پذیری توأمان متغیرهای حالت و ورودی‌های نامعلوم برای یک سیستم غیرخطی پیوسته زمان در حالت افاین بیان می‌شود.

**اثبات:** خروجی سیستم و مشتقات خروجی تا مرتبه  $i$ -ام برطبق معادله (پ-۱۲۱) در فرم ماتریسی به‌صورت زیر محاسبه می‌شود:

$$\begin{bmatrix} \mathbf{z} \\ \mathbf{z}^{(1)} \\ \vdots \\ \mathbf{z}^{(n)} \\ \vdots \\ \mathbf{z}^{(i)} \end{bmatrix} - \mathbf{I}_{i+1}(\mathbf{x}_0) + \mathbf{O}_{nd_{i+1}}(\mathbf{x}_{a_0}) \mathbf{x}_{a_0} = \mathbf{O}_{nd_{i+1}}(\mathbf{x}_{a_0}) \mathbf{x}_a + \mathbf{W}'_{d_{i+1}}(\mathbf{x}_{a_0}) \begin{bmatrix} \mathbf{d}^{(1)} \\ \vdots \\ \mathbf{d}^{(n)} \\ \vdots \\ \mathbf{d}^{(i)} \end{bmatrix} = \begin{bmatrix} \mathbf{O}_{nd_{i+1}} & \mathbf{W}'_{d_{i+1}} \end{bmatrix} \Big|_{\mathbf{x}_a = \mathbf{x}_{a_0}} \begin{bmatrix} \mathbf{x}_a \\ \mathbf{d}^{(1)} \\ \vdots \\ \mathbf{d}^{(n)} \\ \vdots \\ \mathbf{d}^{(i)} \end{bmatrix} \quad (\text{پ-۱۲۷})$$

در رابطه فوق،  $\mathbf{O}_{nd_{i+1}} = \begin{bmatrix} \mathbf{O}_{i+1} & \mathbf{O}_{d_{i+1}} \end{bmatrix}$  به‌صورت زیر تعریف می‌شود:

$$\mathbf{O}_{nd_{i+1}} = \begin{bmatrix} \frac{\partial L_{\mathbf{T}}^0(\mathbf{h})}{\partial \mathbf{x}} \Big|_{\mathbf{x} = \mathbf{x}_0} & \mathbf{0} \\ \frac{\partial L_{\mathbf{T}}^1(\mathbf{h})}{\partial \mathbf{x}} \Big|_{\mathbf{x} = \mathbf{x}_0} & L_{g_d}^1(\mathbf{h}) \\ \frac{\partial L_{\mathbf{T}}^2(\mathbf{h})}{\partial \mathbf{x}} \Big|_{\mathbf{x} = \mathbf{x}_0} & L_{g_d}^1 L_{\mathbf{T}}^1(\mathbf{h}) + \frac{\partial L_{\mathbf{T}}^1 L_{g_d}^1(\mathbf{hd})}{\partial \mathbf{d}} \\ \vdots & \vdots \\ \frac{\partial L_{\mathbf{T}}^n(\mathbf{h})}{\partial \mathbf{x}} \Big|_{\mathbf{x} = \mathbf{x}_0} & \sum_{j=0}^{n-2} L_{\mathbf{T}}^j L_{g_d}^1 L_{\mathbf{T}}^{n-(j+1)}(\mathbf{h}) + \frac{\partial L_{\mathbf{T}}^{n-1} L_{g_d}^1(\mathbf{hd})}{\partial \mathbf{d}} \\ \vdots & \vdots \\ \frac{\partial L_{\mathbf{T}}^i(\mathbf{h})}{\partial \mathbf{x}} \Big|_{\mathbf{x} = \mathbf{x}_0} & \sum_{j=0}^{i-2} L_{\mathbf{T}}^j L_{g_d}^1 L_{\mathbf{T}}^{i-(j+1)}(\mathbf{h}) + \frac{\partial L_{\mathbf{T}}^{i-1} L_{g_d}^1(\mathbf{hd})}{\partial \mathbf{d}} \end{bmatrix} \quad (\text{پ-۱۲۸})$$

از آنجا که ورودی‌های سیستم و مشاهدات معلوم است؛ آنگاه سمت چپ معادله فوق معلوم فرض می‌شود. بنابراین، بر طبق قضیه ۱۵، که در پیوست "ج" بیان شده‌است، به‌منظور بازیابی متغیر حالت افزوده،  $\mathbf{x}_a$  از ورودی‌های نامعلوم  $\mathbf{d}^{(1)}, \dots, \mathbf{d}^{(i)}$ ، ستون‌های ماتریس  $\mathbf{O}_{nd_{i+1}}$  باید مستقل خطی از ستون‌های ماتریس  $\mathbf{W}'_{d_{i+1}}$  باشد. یعنی؛

$$\text{rank}\left(\begin{bmatrix} \mathbf{O}_{nd} & \mathbf{W}'_{d_{0:\tau}} \end{bmatrix}\right) = \text{rank}(\mathbf{O}_{nd}) + \text{rank}(\mathbf{W}'_d) \quad (\text{پ-۱۲۹})$$

همچنین، بر مبنای قضیه تابع معکوس‌شونده، که در پیوست "چ" بیان شده‌است، متغیر حالت افزونه  $\mathbf{x}_a = \mathbf{g}(\mathbf{z}, \mathbf{z}_0^{(1)}, \dots, \mathbf{z}_0^{(n-1)})$  در همسایگی  $\mathbf{N}$  از  $\mathbf{x}_{a_0}$  با دانستن اطلاعات خروجی و مشتقات آن و ورودی‌های نامعلوم،  $\mathbf{d}^{(1)}, \dots, \mathbf{d}^{(i)}$ ، به‌ازای  $i = n$  به‌صورت یکتا از معادله (پ-۱۲۷) تعیین می‌شود؛ اگر رنک ماتریس  $\mathbf{O}_{nd}$  کامل باشد. یعنی؛

$$\text{rank}(\mathbf{O}_{nd}(\mathbf{x}_{a_0})) = n + n_d \quad (\text{پ-۱۳۰})$$

در رابطه فوق،  $\mathbf{O}_{nd} = [\mathbf{O}_n \quad \mathbf{O}_d]$  فرم کاهش‌یافته ماتریس  $\mathbf{O}_{nd+i}$  به‌ازای  $i = n$  است؛ که به‌صورت زیر بیان می‌شود:

$$\mathbf{O}_{nd} = \begin{bmatrix} \left. \frac{\partial L_{\mathbf{r}}^0(\mathbf{h})}{\partial \mathbf{x}} \right|_{\mathbf{x}=\mathbf{x}_0} & \mathbf{0} \\ \left. \frac{\partial L_{\mathbf{r}}^1(\mathbf{h})}{\partial \mathbf{x}} \right|_{\mathbf{x}=\mathbf{x}_0} & L_{g_d}^1(\mathbf{h}) \\ \left. \frac{\partial L_{\mathbf{r}}^2(\mathbf{h})}{\partial \mathbf{x}} \right|_{\mathbf{x}=\mathbf{x}_0} & L_{g_d}^1 L_{\mathbf{r}}^1(\mathbf{h}) + \frac{\partial L_{\mathbf{r}}^1 L_{g_d}^1(\mathbf{hd})}{\partial \mathbf{d}} \\ \vdots & \vdots \\ \left. \frac{\partial L_{\mathbf{r}}^n(\mathbf{h})}{\partial \mathbf{x}} \right|_{\mathbf{x}=\mathbf{x}_0} & \sum_{j=0}^{n-2} L_{\mathbf{r}}^j L_{g_d}^1 L_{\mathbf{r}}^{n-(j+1)}(\mathbf{h}) + \frac{\partial L_{\mathbf{r}}^{n-1} L_{g_d}^1(\mathbf{hd})}{\partial \mathbf{d}} \end{bmatrix} \quad (\text{پ-۱۳۱})$$

اینجا، ماتریس مشاهده‌پذیری متغیر حالت افزونه نامیده می‌شود. بنابراین،

$$\text{rank}\left(\begin{bmatrix} \mathbf{O}_{nd} & \mathbf{W}'_d \end{bmatrix}\right) \Big|_{\mathbf{x}_a = \mathbf{x}_{a_0}} = n + n_d + \text{rank}(\mathbf{W}'_d(\mathbf{x}_{a_0})) \quad (\text{پ-۱۳۲})$$

به‌صورت ویژه، بر طبق قضایای تابع معکوس‌شونده و ۱۵، دو بردار متغیر حالت افزونه غیرقابل تشخیص ( $\mathbf{x}_{a_1}$  و  $\mathbf{x}_{a_2}$ ) در همسایگی  $\mathbf{N}$  به‌گونه‌ای که  $\mathbf{z}(\mathbf{x}_{a_1}) = \mathbf{z}(\mathbf{x}_{a_2})$  نمی‌تواند وجود داشته باشد.

## پیوست چ: قضایای کمکی به منظور اثبات قضایای مشاهده پذیری

قضیه ۱۵: سیستم خطی زیر را در نظر بگیرید:

$$\mathbf{z} = \mathbf{T}\mathbf{x} \quad (\text{پ-۱۳۳})$$

در رابطه فوق،  $\mathbf{z} \in \mathbb{R}^m$  و  $\mathbf{x} \in \mathbb{R}^n$  هستند. فرض می‌شود که رنک ماتریس  $\mathbf{T}$  کامل نباشد؛ یعنی  $\text{rank}(\mathbf{T}) < n$ . همچنین، فرض می‌شود که ماتریس  $\mathbf{T}$  می‌تواند به صورت زیر پارٹیشن بندی شود:

$$\mathbf{T} = [\mathbf{A} \quad \mathbf{B}] \quad (\text{پ-۱۳۴})$$

در رابطه فوق، رنک ماتریس  $\mathbf{A} \in \mathbb{R}^{m \times p}$  کامل است؛ یعنی رنک ماتریس برابر  $p$  است. همچنین، رنک ماتریس  $\mathbf{B} \in \mathbb{R}^{m \times q}$  برابر  $k < q$  است. همچنین، معادله (پ-۱۳۳) می‌تواند به صورت زیر نوشته شود:

$$\mathbf{z} = [\mathbf{A} \quad \mathbf{B}] \begin{bmatrix} \mathbf{x}_1 \\ \mathbf{x}_2 \end{bmatrix} = \mathbf{A}\mathbf{x}_1 + \mathbf{B}\mathbf{x}_2 \quad (\text{پ-۱۳۵})$$

در رابطه فوق،  $\mathbf{x}_1 \in \mathbb{R}^p$  و  $\mathbf{x}_2 \in \mathbb{R}^q$  هستند. اگر ستون‌های ماتریس  $\mathbf{A}$  مستقل خطی از ستون‌های ماتریس  $\mathbf{B}$  باشند؛ یعنی:

$$\text{rank}([\mathbf{A} \quad \mathbf{B}]) = \text{rank}(\mathbf{A}) + \text{rank}(\mathbf{B}) \quad (\text{پ-۱۳۶})$$

آنگاه،  $\mathbf{x}_1$  به صورت یکتا به ازای هر  $\mathbf{z}$  تعیین می‌شود.

اثبات قضیه ۱۵: ماتریس‌های  $\mathbf{A}$  و  $\mathbf{B}$  به صورت زیر بیان می‌شود:

$$\mathbf{A} = [\mathbf{a}_1 \quad \dots \quad \mathbf{a}_k \quad \mathbf{a}_{k+1} \quad \dots \quad \mathbf{a}_{k+p} \quad \dots \quad \mathbf{a}_m]^T \quad (\text{پ-۱۳۷})$$

$$\mathbf{B} = [\mathbf{b}_1 \quad \dots \quad \mathbf{b}_k \quad \mathbf{b}_{k+1} \quad \dots \quad \mathbf{b}_{k+p} \quad \dots \quad \mathbf{b}_m]^T \quad (\text{پ-۱۳۸})$$

بنابراین، معادله (پ-۱۳۵) می‌تواند با استفاده از ترکیب خطی بردارهای پایه به صورت زیر بیان شود:

$$\begin{bmatrix} z_1 \\ \vdots \\ z_k \\ z_{k+1} \\ \vdots \\ z_{k+p} \\ z_{k+p+1} \\ \vdots \\ z_m \end{bmatrix} = \begin{bmatrix} \mathbf{a}_1 & \mathbf{b}_1 \\ \vdots & \vdots \\ \mathbf{a}_k & \mathbf{b}_k \\ \mathbf{a}_{k+1} & \mathbf{b}_{k+1} \\ \vdots & \vdots \\ \mathbf{a}_{k+p} & \mathbf{b}_{k+p} \\ \mathbf{a}_{k+p+1} & \mathbf{b}_{k+p+1} \\ \vdots & \vdots \\ \mathbf{a}_m & \mathbf{b}_m \end{bmatrix} \begin{bmatrix} \mathbf{x}_1 \\ \mathbf{x}_2 \end{bmatrix} \quad (\text{پ-۱۳۹})$$

برطبق معادله (پ-۱۳۵)، رنک ماتریس  $[A \ B]$  برابر  $k+p$  است. بنابراین،  $k+p$  ردیف مستقل خطی وجود دارد. همچنین، از آنجا که رنک ماتریس  $B$  برابر  $k$  است؛ فرض می‌شود که  $b_1, \dots, b_k$  به گونه‌ای هستند که بردارهای  $b_{k+1}, \dots, b_{k+p}$  می‌تواند به صورت ترکیب خطی از  $b_1, \dots, b_k$  بیان شوند. بنابراین، ترکیب خطی از اولین  $k$  ردیف می‌تواند از دیگر ردیف‌ها به گونه‌ای استخراج شود تا معادله زیر حاصل شود:

$$\begin{bmatrix} z_1 \\ \vdots \\ z_k \\ \tilde{z}_{k+1} \\ \vdots \\ \tilde{z}_{k+p} \end{bmatrix} = \begin{bmatrix} \mathbf{a}_1 & \mathbf{b}_1 \\ \vdots & \vdots \\ \mathbf{a}_k & \mathbf{b}_k \\ \tilde{\mathbf{a}}_{k+1} & \mathbf{0} \\ \vdots & \vdots \\ \tilde{\mathbf{a}}_{k+p} & \mathbf{0} \end{bmatrix} \begin{bmatrix} \mathbf{x}_1 \\ \mathbf{x}_2 \end{bmatrix} \quad (\text{پ-۱۴۰})$$

قسمت انتهایی از معادله فوق، می‌تواند به صورت زیر بیان شود:

$$\begin{bmatrix} \tilde{z}_{k+1} \\ \vdots \\ \tilde{z}_{k+p} \end{bmatrix} = \begin{bmatrix} \tilde{\mathbf{a}}_{k+1} \\ \vdots \\ \tilde{\mathbf{a}}_{k+p} \end{bmatrix} \mathbf{x}_1 \quad (\text{پ-۱۴۱})$$

از آنجا که، رنک  $\mathbf{a}_{1:k+p}$  برابر  $k+p$  است؛ آنگاه رنک ماتریس‌های  $\mathbf{a}_{k+1:k+p}$  و  $\tilde{\mathbf{a}}_{k+1:k+p}$  برابر  $p$  است. لذا، بر طبق قضیه Rouché–Capelli [۱۷۵]، بردار  $\mathbf{x}_1 \in \mathbb{R}^p$  به صورت یکتا تعیین می‌شود.

قضیه تابع معکوس شونده: سیستم  $n$  معادله زیر را در نظر بگیرید:

$$\begin{cases} \mathbf{y}_1 = \mathbf{f}_1(\mathbf{x}_1, \mathbf{x}_2, \dots, \mathbf{x}_n) \\ \mathbf{y}_2 = \mathbf{f}_2(\mathbf{x}_1, \mathbf{x}_2, \dots, \mathbf{x}_n) \\ \vdots \\ \mathbf{y}_n = \mathbf{f}_n(\mathbf{x}_1, \mathbf{x}_2, \dots, \mathbf{x}_n) \end{cases} \quad (\text{پ-۱۴۲})$$

یک حل یکتا به صورت  $\mathbf{x} = \mathbf{g}(\mathbf{y})$  در همسایگی  $\mathbf{x}_0$  وجود دارد؛ اگر درمینان ماتریس ژاکوبین زیر غیرصفر باشد:

$$\mathbf{Jf}(\mathbf{x}_0) = \begin{bmatrix} \frac{\partial \mathbf{f}_1}{\partial \mathbf{x}_1} & \frac{\partial \mathbf{f}_1}{\partial \mathbf{x}_2} & \dots & \frac{\partial \mathbf{f}_1}{\partial \mathbf{x}_n} \\ \frac{\partial \mathbf{f}_2}{\partial \mathbf{x}_1} & \frac{\partial \mathbf{f}_2}{\partial \mathbf{x}_2} & \dots & \frac{\partial \mathbf{f}_2}{\partial \mathbf{x}_n} \\ \vdots & \vdots & \vdots & \vdots \\ \frac{\partial \mathbf{f}_n}{\partial \mathbf{x}_1} & \frac{\partial \mathbf{f}_n}{\partial \mathbf{x}_2} & \dots & \frac{\partial \mathbf{f}_n}{\partial \mathbf{x}_n} \end{bmatrix} \quad (\text{پ-۱۴۳})$$

## پیوست ح: اعتبارسنجی قضایای مشاهده‌پذیری غیرخطی

در این بخش، قضایای مشاهده‌پذیری مرتبط با یک سیستم غیرخطی افاین، که در فصل ۴ بیان شده‌است، اعتبارسنجی می‌شود. ابتدا، نتایج قضایای مشاهده‌پذیری سیستم غیرخطی افاین با نتایج قضایای مشاهده‌پذیری برای یک سیستم خطی مقایسه می‌شود. سپس، شرایط مشاهده‌پذیری برای یک مساله غیرخطی بر مبنای قضایای مشاهده‌پذیری بیان شده برای سیستم غیرخطی افاین استخراج می‌شود.

تحلیل نتایج قضایای مشاهده‌پذیری سیستم غیرخطی افاین برای یک سیستم خطی: در این بخش، یک سیستم خطی پیوسته زمان به منظور اعتبارسنجی قضایای مشاهده‌پذیری پیشنهادی استفاده می‌شود. سپس، نتایج تحلیل مشاهده‌پذیری غیرخطی با نتایج تئوری خطی مقایسه می‌شود. مدل فضای حالت یک سیستم خطی پیوسته زمان به صورت زیر بیان می‌شود:

$$\dot{\mathbf{x}} = \mathbf{A} \mathbf{x} + \mathbf{B}_d \mathbf{d} \quad (\text{پ-۱۴۴})$$

در رابطه فوق،  $\mathbf{x}$  و  $\mathbf{d}$  به ترتیب بیانگر متغیرهای حالت و ورودی‌های نامعلوم هستند. همچنین،  $\mathbf{A}$  و  $\mathbf{B}_d$  به ترتیب نشان‌دهنده ماتریس‌های سیستم و ورودی نامعلوم هستند. به علاوه، معادله اندازه‌گیری به صورت زیر بیان می‌شود:

$$\mathbf{z} = \mathbf{C} \mathbf{x} \quad (\text{پ-۱۴۵})$$

در رابطه فوق،  $\mathbf{C}$  ماتریس خروجی است. ارتباط بین سیستم‌های خطی و غیرخطی از مقایسه معادلات (پ-۱۴۴) و (پ-۱۴۵) با معادلات (۵۰.۴) و (۵۱.۴) به صورت زیر حاصل می‌شود:

$$\mathbf{f}(\mathbf{x}) = \mathbf{A} \mathbf{x}; \mathbf{g}_d(\mathbf{x}) = \mathbf{B}_d; \mathbf{h}(\mathbf{x}) = \mathbf{C} \mathbf{x} \quad (\text{پ-۱۴۶})$$

**شرط مشاهده‌پذیری متغیر حالت:** به منظور بررسی قضیه غیرخطی مشاهده‌پذیری متغیر حالت برای یک سیستم خطی بر طبق معادله (۵۴.۴)، مشتقات لی خروجی به صورت زیر محاسبه می‌شوند:

$$\mathbf{I}_n(\mathbf{x}_0) = \begin{bmatrix} L_{\mathbf{f}}^0(\mathbf{h}) \\ L_{\mathbf{f}}^1(\mathbf{h}) \\ L_{\mathbf{f}}^2(\mathbf{h}) \\ \dots \\ L_{\mathbf{f}}^{n-1}(\mathbf{h}) \end{bmatrix} = \begin{bmatrix} \mathbf{h} \\ \frac{\partial \mathbf{h}}{\partial \mathbf{x}} \cdot \mathbf{f} \\ \frac{\partial^2 \mathbf{h}}{\partial \mathbf{x}^2} \cdot \mathbf{f} \\ \dots \\ \frac{\partial^{n-1} \mathbf{h}}{\partial \mathbf{x}^{n-1}} \cdot \mathbf{f} \end{bmatrix} = \begin{bmatrix} \mathbf{C} \mathbf{x}_0 \\ \mathbf{C} \mathbf{A} \mathbf{x}_0 \\ \mathbf{C} \mathbf{A}^2 \mathbf{x}_0 \\ \dots \\ \mathbf{C} \mathbf{A}^{n-1} \mathbf{x}_0 \end{bmatrix} \quad (\text{پ-۱۴۷})$$

همچنین، ماتریس مشاهده‌پذیری ( $\mathbf{O}_n$ ) بر طبق معادله (۵۳.۴) به صورت زیر محاسبه می‌شود:

$$\mathbf{O}_n(\mathbf{x}_0) = \left. \frac{\partial \mathbf{I}_n(\mathbf{x})}{\partial \mathbf{x}} \right|_{\mathbf{x}=\mathbf{x}_0} = \begin{bmatrix} \mathbf{C} \\ \mathbf{C} \mathbf{A} \\ \mathbf{C} \mathbf{A}^2 \\ \dots \\ \mathbf{C} \mathbf{A}^{n-1} \end{bmatrix} \quad (\text{پ-۱۴۸})$$

بنابراین، بر مبنای تئوری مشاهده‌پذیری متغیر حالت، که در قضیه ۹ در بخش ۱.۳.۴ بیان شده‌است، متغیرهای حالت سیستم مشاهده‌پذیر است در صورتیکه  $\text{rank}(\mathbf{O}_n) = n$  باشد. این نتیجه مطابق با تئوری مشاهده‌پذیری متغیر حالت برای یک سیستم خطی است.

**شرایط مشاهده‌پذیری قوی:** به منظور بررسی قضیه غیرخطی مشاهده‌پذیری قوی برای یک سیستم خطی، ماتریس معکوس‌پذیری اغتشاش ( $\mathbf{W}_d$ ) باید ارزیابی شود. از آنجا که،

$$\text{لذا نتیجه زیر حاصل می‌شود: } L_{\mathbf{f}}^1 L_{\mathbf{g}_d}^1(\mathbf{h}) = \frac{\partial L_{\mathbf{g}_d}^1(\mathbf{h})}{\partial \mathbf{x}} \cdot \mathbf{f} = \frac{\partial \left( \frac{\partial \mathbf{h}}{\partial \mathbf{x}} \cdot \mathbf{g}_d \right)}{\partial \mathbf{x}} \cdot \mathbf{f} = \frac{\partial (\mathbf{C} \mathbf{B}_d)}{\partial \mathbf{x}} \cdot \mathbf{A} \mathbf{x} = \mathbf{0}$$

$$L_{\mathbf{f}}^2 L_{\mathbf{g}_d}^1(\mathbf{h}) = L_{\mathbf{f}}^3 L_{\mathbf{g}_d}^1(\mathbf{h}) = \dots = L_{\mathbf{f}}^n L_{\mathbf{g}_d}^1(\mathbf{h}) = \mathbf{0} \quad (\text{پ-۱۴۹})$$

بنابراین، بر طبق معادله (۵۸.۴)، ماتریس معکوس‌پذیری اغتشاش ( $\mathbf{W}_d$ ) به صورت زیر بیان می‌شود:

$$\mathbf{W}_d = \begin{bmatrix} \mathbf{0} & \mathbf{0} & \mathbf{0} & \dots & \dots & \mathbf{0} & \mathbf{0} \\ L_{\mathbf{g}_d}^1(\mathbf{h}) & \mathbf{0} & \mathbf{0} & \dots & \dots & \mathbf{0} & \mathbf{0} \\ L_{\mathbf{g}_d}^1 L_{\mathbf{f}}^1(\mathbf{h}) & L_{\mathbf{g}_d}^1(\mathbf{h}) & \mathbf{0} & \dots & \dots & \mathbf{0} & \mathbf{0} \\ L_{\mathbf{g}_d}^1 L_{\mathbf{f}}^2(\mathbf{h}) & L_{\mathbf{g}_d}^1 L_{\mathbf{f}}^1(\mathbf{h}) & L_{\mathbf{g}_d}^1(\mathbf{h}) & \mathbf{0} & \dots & \mathbf{0} & \mathbf{0} \\ \vdots & \vdots & \vdots & \vdots & \vdots & \vdots & \vdots \\ L_{\mathbf{g}_d}^1 L_{\mathbf{f}}^{n-2}(\mathbf{h}) & L_{\mathbf{g}_d}^1 L_{\mathbf{f}}^{n-3}(\mathbf{h}) & \dots & L_{\mathbf{g}_d}^1 L_{\mathbf{f}}^{n-(m+2)}(\mathbf{h}) & \dots & L_{\mathbf{g}_d}^1(\mathbf{h}) & \mathbf{0} \end{bmatrix} \quad (\text{پ-۱۵۰})$$

مولفه‌های اولین ستون به صورت زیر محاسبه می‌شوند:

$$\left\{ \begin{array}{l} L_{g_d}^1(\mathbf{h}) = \frac{\partial \mathbf{h}}{\partial \mathbf{x}} \cdot \mathbf{g}_d = \mathbf{C} \mathbf{B}_d \\ L_{g_d}^1 L_f^1(\mathbf{h}) = \frac{\partial L_f^1(\mathbf{h})}{\partial \mathbf{x}} \cdot \mathbf{g}_d = \frac{\partial \left( \frac{\partial \mathbf{h}}{\partial \mathbf{x}} \cdot \mathbf{f} \right)}{\partial \mathbf{x}} \cdot \mathbf{g}_d = \frac{\partial (\mathbf{C} \mathbf{A} \mathbf{x})}{\partial \mathbf{x}} \cdot \mathbf{B}_d = \mathbf{C} \mathbf{A} \mathbf{B}_d \\ L_{g_d}^1 L_f^2(\mathbf{h}) = \frac{\partial L_f^2(\mathbf{h})}{\partial \mathbf{x}} \cdot \mathbf{g}_d = \frac{\partial \left( \frac{\partial L_f^1(\mathbf{h})}{\partial \mathbf{x}} \cdot \mathbf{f} \right)}{\partial \mathbf{x}} \cdot \mathbf{g}_d = \frac{\partial (\mathbf{C} \mathbf{A}^2 \mathbf{x})}{\partial \mathbf{x}} \cdot \mathbf{B}_d = \mathbf{C} \mathbf{A}^2 \mathbf{B}_d \\ \vdots \\ L_{g_d}^1 L_f^{n-2}(\mathbf{h}) = \mathbf{C} \mathbf{A}^{n-2} \mathbf{B}_d \end{array} \right. \quad (\text{پ-۱۵۱})$$

در نتیجه،  $\mathbf{W}_d$  به صورت زیر حاصل می‌شود:

$$\mathbf{W}_d = \begin{bmatrix} \mathbf{0} & \mathbf{0} & \mathbf{0} & \dots & \mathbf{0} \\ \mathbf{C} \mathbf{B}_d & \mathbf{0} & \mathbf{0} & \dots & \mathbf{0} \\ \mathbf{C} \mathbf{A} \mathbf{B}_d & \mathbf{C} \mathbf{B}_d & \mathbf{0} & \dots & \mathbf{0} \\ \vdots & \vdots & \vdots & \ddots & \vdots \\ \mathbf{C} \mathbf{A}^{n-2} \mathbf{B}_d & \mathbf{C} \mathbf{A}^{n-3} \mathbf{B}_d & \mathbf{C} \mathbf{A}^{n-4} \mathbf{B}_d & \dots & \mathbf{0} \end{bmatrix} \quad (\text{پ-۱۵۲})$$

بنابراین، بر مبنای تئوری مشاهده‌پذیری قوی، که در قضیه ۲ در بخش ۲.۳.۴ بیان شده‌است، متغیرهای حالت سیستم در حضور ورودی‌های نامعلوم مشاهده‌پذیر است؛ در صورتیکه

$$\text{rank}(\mathbf{O}_n) = n \quad (\text{پ-۱۵۳})$$

و

$$\text{rank}([\mathbf{O}_n \quad \mathbf{W}_d]) = n + \text{rank}(\mathbf{W}_d) \quad (\text{پ-۱۵۴})$$

برقرار باشد. این نتایج مطابق با تئوری مشاهده‌پذیری قوی برای یک سیستم خطی هستند.

**شرایط مشاهده‌پذیری ورودی‌های نامعلوم:** به منظور بررسی قضیه غیرخطی مشاهده‌پذیری ورودی‌های نامعلوم برای یک سیستم خطی، ماتریس مشاهده‌پذیری ورودی‌های نامعلوم ( $\mathbf{O}_d$ ) و ماتریس معکوس‌پذیری اغتشاش ( $\mathbf{W}_d'$ ) باید ارزیابی شود. برطبق معادلات (۶۲.۴) و (۶۳.۴)،  $\mathbf{O}_d$  و  $\mathbf{W}_d'$  به صورت زیر بیان می‌شود:

$$\mathbf{O}_d = \begin{bmatrix} \mathbf{0} \\ L_{g_d}^1(\mathbf{h}) \\ L_{g_d}^1 L_f^1(\mathbf{h}) \\ \vdots \\ L_{g_d}^1 L_f^{n-1}(\mathbf{h}) \end{bmatrix} = \begin{bmatrix} \mathbf{0} \\ \mathbf{C} \mathbf{B}_d \\ \mathbf{C} \mathbf{A} \mathbf{B}_d \\ \vdots \\ \mathbf{C} \mathbf{A}^{n-1} \mathbf{B}_d \end{bmatrix} \quad (\text{پ-۱۵۵})$$



$$\mathbf{W}'_d = \begin{bmatrix} \mathbf{0} & \mathbf{0} & \cdots & \mathbf{0} \\ \mathbf{0} & \mathbf{0} & \cdots & \mathbf{0} \\ L_{g_d}^1(\mathbf{h}) & \mathbf{0} & \cdots & \mathbf{0} \\ \vdots & \vdots & \ddots & \vdots \\ L_{g_d}^1 L_f^{n-2}(\mathbf{h}) & L_{g_d}^1 L_f^{n-3}(\mathbf{h}) & \cdots & \mathbf{0} \end{bmatrix} = \begin{bmatrix} \mathbf{0} & \mathbf{0} & \cdots & \mathbf{0} \\ \mathbf{0} & \mathbf{0} & \cdots & \mathbf{0} \\ \mathbf{C}\mathbf{B}_d & \mathbf{0} & \cdots & \mathbf{0} \\ \vdots & \vdots & \ddots & \vdots \\ \mathbf{C}\mathbf{A}^{n-2}\mathbf{B}_d & \mathbf{C}\mathbf{A}^{n-3}\mathbf{B}_d & \cdots & \mathbf{0} \end{bmatrix} \quad (\text{پ-۱۵۶})$$

بنابراین، برطبق قضیه مشاهده‌پذیری ورودی نامعلوم، که در قضیه ۳ در بخش ۳.۳.۴ بیان شده‌است،

ورودی‌های نامعلوم برای سیستم غیرخطی مشاهده‌پذیر است؛ اگر

$$\text{rank}(\mathbf{O}_d) = n_d \quad (\text{پ-۱۵۷})$$

و

$$\text{rank}(\mathbf{W}_d) = n_d + \text{rank}(\mathbf{W}'_d) \quad (\text{پ-۱۵۸})$$

برقرار باشد. این نتایج مطابق با تئوری مشاهده‌پذیری ورودی‌های نامعلوم برای یک سیستم خطی هستند.

شرایط مشاهده‌پذیری توأمان متغیرهای حالت و ورودی نامعلوم: به‌منظور بررسی قضیه مشاهده‌پذیری توأمان متغیرهای حالت و ورودی‌های نامعلوم، ماتریس متغیرهای حالت و ورودی‌های نامعلوم ( $\mathbf{O}_{nd}$ ) باید ارزیابی شود. برطبق معادله (۶۷.۴)، ماتریس مشاهده‌پذیری متغیرهای افزوده ( $\mathbf{O}_{nd}$ ) به‌صورت زیر محاسبه می‌شود:

$$\mathbf{O}_{nd} = \begin{bmatrix} \left. \frac{\partial L_f^0(\mathbf{h})}{\partial \mathbf{x}} \right|_{\mathbf{x}=\mathbf{x}_0} & \mathbf{0} \\ \left. \frac{\partial L_f^1(\mathbf{h})}{\partial \mathbf{x}} \right|_{\mathbf{x}=\mathbf{x}_0} & L_{g_d}^1(\mathbf{h}) \\ \left. \frac{\partial L_f^2(\mathbf{h})}{\partial \mathbf{x}} \right|_{\mathbf{x}=\mathbf{x}_0} & L_{g_d}^1 L_f^1(\mathbf{h}) \\ \vdots & \vdots \\ \left. \frac{\partial L_f^n(\mathbf{h})}{\partial \mathbf{x}} \right|_{\mathbf{x}=\mathbf{x}_0} & L_{g_d}^1 L_f^{n-1}(\mathbf{h}) \end{bmatrix} = \begin{bmatrix} \mathbf{C} & \mathbf{0} \\ \mathbf{C}\mathbf{A} & \mathbf{C}\mathbf{B}_d \\ \mathbf{C}\mathbf{A}^2 & \mathbf{C}\mathbf{A}\mathbf{B}_d \\ \vdots & \vdots \\ \mathbf{C}\mathbf{A}^n & \mathbf{C}\mathbf{A}^{n-1}\mathbf{B}_d \end{bmatrix} \quad (\text{پ-۱۵۹})$$

بنابراین، بر مبنای شرایط مشاهده‌پذیری توأمان متغیرهای حالت و ورودی‌های نامعلوم، که در قضیه ۴ در بخش ۴.۳.۴ بیان شده‌است، سیستم مشاهده‌پذیر توأمان متغیرهای حالت و ورودی‌های نامعلوم است؛ اگر

$$\text{rank}(\mathbf{O}_{nd}) = n + n_d \quad (\text{پ-۱۶۰})$$

و

$$\text{rank}([\mathbf{O}_{nd} \quad \mathbf{W}'_d]) = n + n_d + \text{rank}(\mathbf{W}'_d) \quad (\text{پ-۱۶۱})$$

برقرار باشد. این نتایج مطابق با تئوری مشاهده‌پذیری توأمان متغیرهای حالت و ورودی‌های نامعلوم برای یک سیستم خطی هستند.

**تحلیل نتایج قضایای مشاهده‌پذیری سیستم غیرخطی افاین برای یک سیستم غیرخطی:** در این بخش، مشاهده‌پذیری متغیرهای حالت، مشاهده‌پذیری قوی، مشاهده‌پذیری ورودی نامعلوم و مشاهده‌پذیری متغیر حالت و ورودی نامعلوم برای یک سیستم غیرخطی بر مبنای قضایای ۹ تا ۱۲، که در بخش ۳.۴ بیان شده‌است، بررسی می‌شود. سیستم غیرخطی به صورت زیر بیان می‌شود:

$$\begin{cases} \dot{x}_1 = x_2 + x_1 x_2 d_2 \\ \dot{x}_2 = x_1 - x_2^2 - x_2^3 + x_2 d_1 + d_2 \end{cases} \quad (\text{پ-۱۶۲})$$

در رابطه فوق،  $d_1$  و  $d_2$  بیانگر ورودی‌های نامعلوم هستند. همچنین، مدل اندازه‌گیری به صورت زیر بیان می‌شود:

$$z = x_1^2 \quad (\text{پ-۱۶۳})$$

اینجا،

$$\mathbf{f} = \begin{bmatrix} x_2 \\ x_1 - x_2^2 - x_2^3 \end{bmatrix}; \mathbf{g}_d = \begin{bmatrix} 0 & x_1 x_2 \\ x_2 & 1 \end{bmatrix}; \mathbf{h} = x_1^2 \quad (\text{پ-۱۶۴})$$

**تحلیل مشاهده‌پذیری متغیر حالت:** به منظور بررسی مشاهده‌پذیری محلی متغیرهای حالت در نقطه  $\mathbf{x}_0 \in \mathbf{X}$ ، مشتقات لی خروجی و ماتریس  $\mathbf{O}_n$  بر طبق معادلات (۵۳.۴) و (۵۴.۴) به صورت زیر محاسبه می‌شود:

$$\mathbf{I}_n(\mathbf{x}_0) = \begin{bmatrix} L_f^0(\mathbf{h}) \\ L_f^1(\mathbf{h}) \end{bmatrix} = \begin{bmatrix} x_1^2 \\ 2x_1 x_2 \end{bmatrix} \quad (\text{پ-۱۶۵})$$

$$\mathbf{O}_n = \begin{bmatrix} 2x_1 & 0 \\ 2x_2 & 2x_1 \end{bmatrix} \quad (\text{پ-۱۶۶})$$

دترمینان  $\mathbf{O}_n$  به صورت زیر محاسبه می‌شود:

$$\det(\mathbf{O}_n) = 4x_1^2 \quad (\text{پ-۱۶۷})$$

از آنجا که درمینان  $\mathbf{O}_n$  تنها در  $x_1 = 0$  صفر است؛ فلذا، متغیرهای حالت سیستم غیرخطی در تمام نقاط بجز در همسایگی  $x_1 = 0$  مشاهده‌پذیر است.

**تحلیل مشاهده‌پذیری قوی:** به منظور بررسی مشاهده‌پذیری قوی محلی متغیرهای حالت در نقطه  $\mathbf{W}_d, \mathbf{x}_0 \in \mathbf{X}$  و  $[\mathbf{O}_n \quad \mathbf{W}_d]$  بر طبق معادلات (۵۶.۴) و (۵۷.۴) به صورت زیر محاسبه می‌شوند:

$$\mathbf{W}_d = \begin{bmatrix} \mathbf{0} & \mathbf{0} \\ L_{g_d}^1(\mathbf{h}) & \mathbf{0} \end{bmatrix} = \begin{bmatrix} 0 & 0 & 0 & 0 \\ 0 & 2x_1^2x_2 & 0 & 0 \end{bmatrix} \quad (\text{پ-۱۶۸})$$

$$[\mathbf{O}_n \quad \mathbf{W}_d] = \begin{bmatrix} 2x_1 & 0 & 0 & 0 & 0 & 0 \\ 2x_2 & 2x_1 & 0 & 2x_1^2x_2 & 0 & 0 \end{bmatrix} \quad (\text{پ-۱۶۹})$$

رنگ ماتریس  $\mathbf{W}_d$  در تمام نقاط به استثنا  $x_1x_2 = 0$  برابر ۱ و رنگ ماتریس  $[\mathbf{O}_n \quad \mathbf{W}_d]$  در تمام نقاط به استثنا  $x_1x_2 = 0$  و  $x_1x_2 = 1$  برابر ۳ است. بنابراین، عبارات  $\text{rank}([\mathbf{O}_n \quad \mathbf{W}_d]) - \text{rank}(\mathbf{W}_d) = 2$  در تمام نقاط به استثنا  $x_1x_2 = 0$  و  $x_1x_2 = 1$  برقرار است. همچنین، رنگ ستونی ماتریس  $\mathbf{O}_n$  در تمام نقاط به استثنا  $x_1 = 0$  کامل است. فلذا، سیستم غیرخطی مشاهده‌پذیر قوی در تمام نقاط بجز در همسایگی  $x_1x_2 = 0$  و  $x_1x_2 = 1$  است. به عبارت دیگر، متغیرهای حالت ابتدایی سیستم غیرخطی می‌تواند به‌ازای تمام ورودی‌های نامعلوم  $d_1$  و  $d_2$  و سایر نقاط به استثنا همسایگی  $x_1x_2 = 0$  و  $x_1x_2 = 1$  بازیابی شود.

**تحلیل مشاهده‌پذیری ورودی‌های نامعلوم:** به منظور بررسی مشاهده‌پذیری محلی ورودی‌های نامعلوم در نقطه  $\mathbf{W}_d' = [\mathbf{O}_d \quad \mathbf{W}_d']$  و  $\mathbf{O}_d, \mathbf{d}_0 \in \mathbf{D}$  بر طبق معادلات (۶۰.۴) و (۶۱.۴) به صورت زیر محاسبه می‌شوند:

$$\mathbf{O}_d = \begin{bmatrix} \mathbf{0} \\ L_{g_d}^1(\mathbf{h}) \\ L_{g_d}^1 L_f^1(\mathbf{h}) + \frac{\partial L_f^1 L_{g_d}^1(\mathbf{h}\mathbf{d})}{\partial \mathbf{d}} \end{bmatrix} = \begin{bmatrix} 0 & 0 \\ 0 & 2x_1^2x_2 \\ 2x_1x_2 & 6x_1x_2^2 + 2x_1 + 2x_1^3 - 2x_1^2x_2^2 - 2x_1^2x_2^3 \end{bmatrix} \quad (\text{پ-۱۷۰})$$

$$\mathbf{W}_d' = \begin{bmatrix} \mathbf{0} & \mathbf{0} \\ \mathbf{0} & \mathbf{0} \\ L_{g_d}^1(\mathbf{h}) & \mathbf{0} \end{bmatrix} = \begin{bmatrix} 0 & 0 & 0 & 0 \\ 0 & 0 & 0 & 0 \\ 0 & 2x_1^2x_2 & 0 & 0 \end{bmatrix} \quad (\text{پ-۱۷۱})$$

$$\mathbf{W}_d = \begin{bmatrix} \mathbf{0} & \mathbf{0} & \mathbf{0} \\ L_{g_d}^1(\mathbf{h}) & \mathbf{0} & \mathbf{0} \\ L_{g_d}^1 L_f^1(\mathbf{h}) + \frac{\partial L_f^1 L_{g_d}^1(\mathbf{hd})}{\partial \mathbf{d}} & L_{g_d}^1(\mathbf{h}) & \mathbf{0} \end{bmatrix} = \quad (پ-۱۷۲)$$

$$\begin{bmatrix} 0 & 0 & 0 & 0 & 0 & 0 \\ 0 & 2x_1^2 x_2 & 0 & 0 & 0 & 0 \\ 2x_1 x_2 & 6x_1 x_2^2 + 2x_1 + 2x_1^3 - 2x_1^2 x_2^2 - 2x_1^2 x_2^3 & 0 & 2x_1^2 x_2 & 0 & 0 \end{bmatrix}$$

رنگ ماتریس‌های  $\mathbf{O}_d$  و  $\mathbf{W}_d'$  در تمام نقاط به استثنا  $x_1 x_2 = 0$  به ترتیب برابر ۲ و ۱ است. همچنین، رنگ ماتریس  $\mathbf{W}_d$  در تمام نقاط به استثنا  $x_1 = 1$  و  $x_1 x_2 = 0$  برابر با ۳ است. بنابراین، رنگ ستونی ماتریس  $\mathbf{O}_d$  در تمام نقاط به استثنا  $x_1 x_2 = 0$  کامل است و عبارت  $\text{rank}(\mathbf{W}_d) - \text{rank}(\mathbf{W}_d') = 2$  در تمام نقاط به استثنا  $x_1 = 1$  و  $x_1 x_2 = 0$  برقرار است. لذا، ورودی‌های نامعلوم قابل بازیابی از خروجی‌های سیستم در تمام نقاط به استثنا همسایگی  $x_1 = 1$  و  $x_1 x_2 = 0$  هستند.

**تحلیل مشاهده‌پذیری توأمان متغیرهای حالت و ورودی‌های نامعلوم:** به منظور بررسی مشاهده‌پذیری محلی توأمان متغیرهای حالت و ورودی‌های نامعلوم در نقطه  $\mathbf{x}_0 \in \mathbf{X}$  و  $\mathbf{d}_0 \in \mathbf{D}$  ماتریس‌های  $\mathbf{O}_{nd}$  و  $[\mathbf{O}_{nd} \quad \mathbf{W}_d']$  بر طبق معادلات (۶۵.۴) و (۶۶.۴) به صورت زیر محاسبه می‌شوند:

$$\mathbf{O}_{nd} = \begin{bmatrix} \left. \frac{\partial L_f^0(\mathbf{h})}{\partial \mathbf{x}} \right|_{\mathbf{x}=\mathbf{x}_0} & \mathbf{0} \\ \left. \frac{\partial L_f^1(\mathbf{h})}{\partial \mathbf{x}} \right|_{\mathbf{x}=\mathbf{x}_0} & L_{g_d}^1(\mathbf{h}) \\ \left. \frac{\partial L_f^2(\mathbf{h})}{\partial \mathbf{x}} \right|_{\mathbf{x}=\mathbf{x}_0} & L_{g_d}^1 L_f^1(\mathbf{h}) + \frac{\partial L_f^1 L_{g_d}^1(\mathbf{hd})}{\partial \mathbf{d}} \end{bmatrix} = \quad (پ-۱۷۳)$$

$$\begin{bmatrix} 2x_1 & 0 & 0 & 0 \\ 2x_2 & 2x_1 & 0 & 2x_1^2 x_2 \\ 4x_1 - 2x_2^2 - 2x_2^3 & 4x_2 - 4x_1 x_2 - 6x_1 x_2^2 & 2x_1 x_2 & 6x_1 x_2^2 + 2x_1 + 2x_1^3 - 2x_1^2 x_2^2 - 2x_1^2 x_2^3 \end{bmatrix} \quad (پ-۱۷۴)$$

$$[\mathbf{O}_{nd} \quad \mathbf{W}_d'] = \begin{bmatrix} 2x_1 & 0 & 0 & 0 & 0 & 0 & 0 & 0 \\ 2x_2 & 2x_1 & 0 & 2x_1^2 x_2 & 0 & 0 & 0 & 0 \\ 4x_1 - 2x_2^2 - 2x_2^3 & 4x_2 - 4x_1 x_2 - 6x_1 x_2^2 & 2x_1 x_2 & 6x_1 x_2^2 + 2x_1 + 2x_1^3 - 2x_1^2 x_2^2 - 2x_1^2 x_2^3 & 0 & 2x_1^2 x_2 & 0 & 0 \end{bmatrix}$$

رنگ ماتریس  $\mathbf{O}_{nd}$  در تمام نقاط به استثنا  $x_1 x_2 = 0$  برابر ۴ و رنگ ماتریس  $[\mathbf{O}_{nd} \quad \mathbf{W}'_d]$  در تمام نقاط به استثنا  $x_1 x_2 = 0$  و  $x_1 = 1$  برابر با ۵ است. بنابراین، رنگ ستونی ماتریس  $\mathbf{O}_{nd}$  در تمام نقاط به استثنا  $x_1 x_2 = 0$  کامل است و عبارت  $\text{rank}([\mathbf{O}_{nd} \quad \mathbf{W}'_d]) - \text{rank}(\mathbf{W}'_d) = 4$  در تمام نقاط به استثنا  $x_1 = 1$  و  $x_1 x_2 = 0$  برقرار است. فلذا، متغیرهای حالت و ورودی‌های نامعلوم توأمان قابل بازیابی از خروجی‌های سیستم در تمام نقاط به استثنا همسایگی  $x_1 = 1$  و  $x_1 x_2 = 0$  هستند.

## پیوست خ: تحلیل مشاهده پذیری پرنده بر مبنای انواع سنسورها

جدول پ-۸: تحلیل مشاهده پذیری مبتنی بر سنسورهای مختلف بکاربرده شده در پرنده.

شماره	سنسور	خروجی	تعداد خروجی	ورودی نامعلوم	مشاهده پذیری متغیر حالت	مشاهده پذیری قوی	مشاهده پذیری ورودی نامعلوم	مشاهده پذیری توآمان متغیر حالت و ورودی نامعلوم
۱	ارتفاع سنج	$h$	۱۲	$u_w,$ $v_w,$ $w_w$	✓	✓	✓	✓
	GPS	$p_n,$ $p_e,$ $u, v,$ $w$		$u_w,$ $v_w,$ $w_w$	✓	✓	✓	✓
۲	AHRS	$p, q,$ $r, \phi,$ $\theta, \psi$	۱۱	$p_w,$ $q_w,$ $r_w$	✓	✓	✓	✓
	GPS	$p_n,$ $p_e,$ $u, v,$ $w$		$u_w,$ $v_w,$ $w_w$	×	×	×	×

				$r_w$				
×	×	×	×	$u_w,$ $v_w,$ $w_w$	۱۰	$h$	ارتفاع سنج	۳
				$u_w,$ $v_w,$ $w_w$		$u, v,$ $w$	شتاب سنج	
×	×	×	×	$p_w,$ $q_w,$ $r_w$		$p, q,$ $r, \phi,$ $\theta, \psi$	AHRS	
√	√	√	√	$u_w,$ $v_w,$ $w_w$	۱۰	$H$	ارتفاع سنج	۴
				$u_w,$ $v_w,$ $w_w$		$u, v,$ $w$	Air Data	
√	√	×	√	$u_w,$ $v_w,$ $w_w$		$p_n,$ $p_e$	GPS	
				$p_w,$ $q_w,$ $r_w$		$\psi$	مغناطیس سنج	
				$p_w,$ $q_w,$ $r_w$		$p, q,$ $r$	جایرو نرخ	
×	×	×	×	$u_w,$ $v_w,$ $w_w$	۹	$H$	ارتفاع سنج	۵
				$u_w,$ $v_w,$ $w_w$		$u, v,$ $w$	Air Data	
×	×	×	×	$p_w,$ $q_w,$ $r_w$		$p_n,$ $p_e$	GPS	
				$p_w,$ $q_w,$ $r_w$		$p, q,$ $r$	جایرو نرخ	

## پیوست د: تخمین باد با استفاده از فیلتر کالمن توسعه یافته مقاوم

در این بخش، از روش فیلتر کالمن توسعه یافته مقاوم به منظور تخمین مدل باد و متغیرهای حالت در یک پرند بدون سرنشین بال ثابت استفاده می شود. به این منظور، فیلتر کالمن توسعه یافته مقاوم به منظور پوشش خطای مدل سازی و عدم قطعیت نویز مدل باد طراحی می شود. سپس، فیلتر کالمن توسعه یافته مقاوم از خروجی همراه با نویز سنسورها برای تخمین مدل باد و همچنین، متغیرهای حالت پرند استفاده می کند. در نهایت، عملکرد فیلتر کالمن توسعه یافته مقاوم به منظور تخمین مدل باد با انجام شبیه سازی بررسی می شود. نتایج حاکی از عملکرد مناسب روش فیلتر کالمن توسعه یافته مقاوم به منظور تخمین مدل باد است.

**پیشینه پژوهش فیلتر مقاوم:** پس از موفقیت فیلتر کالمن در دهه ۱۹۶۰ در صنعت هوافضا، استفاده گسترده ای از این فیلتر در دهه ۱۹۷۰ شروع شد. فیلتر کالمن به منظور اجرا نیاز به دانستن مشخصاتی از سیستم همچون میانگین و همبستگی نویزهای فرآیند و خروجی، مقادیر کواریانس نویزهای فرآیند و خروجی و نیز مدل فضای حالت سیستم در هر لحظه از زمان نمونه برداری دارد. همچنین، در صورتیکه نویزهای فرآیند و خروجی گوسی باشند، فیلتر کالمن خطای واریانس تخمین را کمینه می کند. پس اگر چه این فیلتر خطای واریانس تخمین را کمینه می کند؛ اما هیچ تضمینی برای کمینه کردن خطای واریانس در بدترین حالت را ندارد.

در بسیاری از کاربردهای صنعتی یک عدم انطباق بین فرضیات فیلتر کالمن و مسئله تخمین متغیرهای حالت وجود دارد. به عنوان نمونه، می توان به عدم وجود مدل یک سیستم به صورت دقیق برای مسائل صنعتی و عدم درک صحیح از مشخصه های آماری نویز فرآیند اشاره کرد. به منظور حل این مشکل دو روش پیشنهاد می شود. در روش اول، از فیلتر کالمن با وجود عدم برقراری فرضیات آن استفاده می شود. این روش در بسیاری از کاربردها استفاده می شود. در روش دوم، از فیلترهای که هیچ فرضی



درباره نویز نداشته و خطای بدترین حالت را کمینه می کنند، استفاده می شود. این دسته از فیلترها به عنوان فیلترهای مقاوم<sup>۱۲۵</sup> [۱۴۶] شناخته می شود.

از این رو، مهندسان پس از ارزیابی ماهیت و نقش فیلتر کالمن، در دهه ۱۹۸۰ فیلترهای مقاوم را به منظور پوشش خطای مدل سازی و عدم قطعیت نویز ابداع کردند ([۱۴۷]، [۱۴۸] و [۱۴۹]). در این دسته از فیلترها هیچ گونه فرضی در مورد نویزهای فرآیند و اندازه گیری وجود ندارد. هر چند اگر اطلاعات مربوط به نویزهای فرآیند و اندازه گیری موجود باشند، می توانند در این فیلترها استفاده شوند. از آنجا که هدف از این فیلترها، یافتن تخمین متغیرهای حالت به گونه ای است که بیشینه خطای تخمین را کمینه کنند. از این رو، این فیلترها را فیلتر نورم بی نهایت<sup>۱۲۶</sup> یا کمینه-بیشینه<sup>۱۲۷</sup> می نامند [۱۵۰]. فیلترهای مقاوم در مواردی هم چون غیرقابل پیش بینی بودن تغییرات مدل، غیرقابل پیش بینی بودن منابع نویز، مشخص نبودن مدل سیستم، اهمیت تضمین حاشیه پایداری سیستم، زمان بر یا پیچیده بودن فرآیند شناسایی مدل سیستم استفاده می شود [۱۵۱]. بعضی از تئوری های مربوط به فیلترهای مقاوم توسط آقای مایک گریمبل<sup>۱۲۸</sup> ([۱۵۲]، [۱۵۳] و [۱۵۴]) و آقای شیکد<sup>۱۲۹</sup> [۱۵۵] توسعه داده شده اند. همچنین، فیلترهای غیرخطی مقاوم نیز به منظور تخمین متغیرهای حالت در سیستم های غیرخطی توسط آقای ریف<sup>۱۳۰</sup> ابداع شده است [۱۵۶].

از آنجا که، نویز در فیلتر مقاوم غیرواقعی در نظر گرفته می شود، لذا فیلترهای ترکیبی کالمن-مقاوم<sup>۱۳۱</sup> ایجاد شده است [۱۵۷]. این فیلتر بهترین تخمین متغیرهای حالت را با کمینه کردن ترکیبی از عملکردهای فیلتر کالمن و مقاوم می یابد. همچنین، به دلیل وجود عدم قطعیت در مدل، نسل جدید از

<sup>125</sup> Robust Filter

<sup>126</sup>  $H_{\infty}$  Filter

<sup>127</sup> Minimax Filter

<sup>128</sup> Mike Grumble

<sup>129</sup> Shaked

<sup>130</sup> Reif

<sup>131</sup> Mixed Kalman/  $H^{\infty}$  Filter

فیلترهای مقاوم به نام فیلترهای مقاوم ترکیبی کالمن-مقاوم<sup>۱۳۲</sup> ابداع شده است [۱۵۸]. از آنجا که برآورده شدن قیود مساوی یا نامساوی در متغیرهای حالت باعث بهبود عملکرد فیلترهای مقاوم می شود، لذا فیلترهای مقاوم مقید<sup>۱۳۳</sup> توسعه داده شده است [۱۵۹]. در سالیان گذشته تحقیقات زیادی نیز به منظور توسعه فیلترهای مقاوم انجام شده است. به عنوان نمونه، می توان به فیلترهای مقاوم مرتبه کاهش یافته<sup>۱۳۴</sup> ([۱۶۰]، [۱۶۱] و [۱۶۲])، مقاوم مرتبه کاهش یافته مقید<sup>۱۳۵</sup> [۱۶۳]، هموارسازی نورم بی نهایت<sup>۱۳۶</sup> ([۱۶۴]، [۱۶۵] و [۱۶۶]) و هموارسازی نورم بی نهایت مقاوم<sup>۱۳۷</sup> [۱۶۷] اشاره کرد. همچنین، پژوهش هایی به منظور استفاده از فیلترهای مقاوم در کاربردهای مختلف انجام شده است. به عنوان نمونه، می توان به استفاده از این فیلترها در حوزه شناسایی سیستم اشاره کرد ([۱۶۸]، [۱۶۹] و [۱۷۰]).

**فیلتر کالمن توسعه یافته مقاوم:** در بسیاری از کاربردهای صنعتی یک عدم انطباق بین فرضیات فیلتر کالمن و مسئله تخمین متغیرهای حالت وجود دارد. به عنوان نمونه، می توان به عدم وجود مدل یک سیستم به صورت دقیق برای مسائل صنعتی و عدم درک صحیح از مشخصه های آماری نویز فرآیند اشاره کرد. به منظور حل این مشکل، از فیلترهای مقاوم [۱۰۷]، که هیچ فرضی درباره نویز نداشته و خطای بدترین حالت را کمینه می کنند، استفاده می شود. معادلات حاکم بر فیلتر کالمن توسعه یافته مقاوم به صورت زیر بیان می شوند:

$$\mathbf{K}_k = \mathbf{P}_k \left[ \mathbf{I} - \theta \mathbf{P}_k + \mathbf{H}_k^T + \mathbf{H}_k^T \mathbf{R}_k^{-1} \mathbf{H}_k \mathbf{P}_k \right]^{-1} \mathbf{H}_k^T \mathbf{R}_k \quad (\text{پ-} ۱۷۵)$$

$$\hat{\mathbf{x}}_{k+1} = \mathbf{F}_k \hat{\mathbf{x}}_k + \mathbf{F}_k \mathbf{K}_k (\mathbf{y} - \mathbf{H}_k \hat{\mathbf{x}}_k) \quad (\text{پ-} ۱۷۶)$$

$$\mathbf{P}_{k+1} = \mathbf{F}_k \mathbf{P}_k \left[ \mathbf{I} - \theta \mathbf{P}_k + \mathbf{H}_k^T + \mathbf{H}_k^T \mathbf{R}_k^{-1} \mathbf{H}_k \mathbf{P}_k \right]^{-1} \mathbf{F}_k^T + \mathbf{Q}_k \quad (\text{پ-} ۱۷۷)$$

<sup>132</sup>Robust Mixed Kalman/  $H^\infty$  Filter

<sup>133</sup> Constraint  $H^\infty$  Filter

<sup>134</sup>Reduced-Order  $H^\infty$  Filter

<sup>135</sup> Constraint Reduced-Order  $H^\infty$  Filter

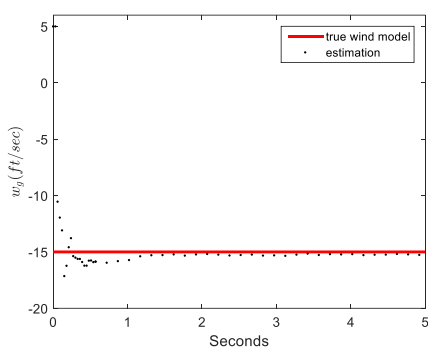
<sup>136</sup>  $H^\infty$  Smoothing

<sup>137</sup> Constraint  $H^\infty$  Smoothing

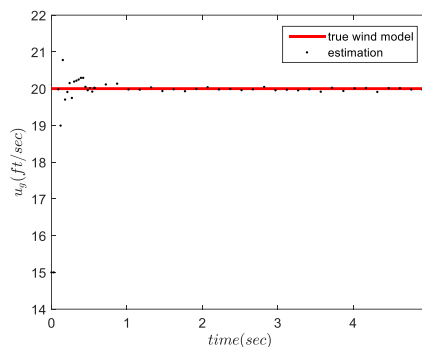
در روابط فوق،  $\theta$  بیانگر محدوده کمینه کردن بیشینه خطای تخمین است. همچنین، در هر لحظه باید شرط مثبت معین بودن ماتریس زیر چک شود:

$$\mathbf{P}_k^{-1} - \theta \mathbf{I} + \mathbf{H}_k^T \mathbf{R}_k \mathbf{H}_k > 0 \quad (\text{پ-۱۷۸})$$

**نتایج شبیه سازی:** در این بخش، عملکرد فیلتر کالمن توسعه یافته به منظور تخمین مدل باد ثابت و همچنین، متغیرهای حالت پرنده در اشکال ۱ تا ۳ ارزیابی می شود. مقدار باد افقی تخمین زده شده پس از چندثانیه به مقدار باد افقی واقعی برابر با ۲۰ فوت بر ثانیه مطابق با شکل پ-۱ (الف) همگرا می شود. همچنین، مطابق با شکل پ-۱ (ب) مقدار باد عمودی تخمین زده شده پس از چندثانیه به باد عمودی واقعی برابر با ۱۵- فوت بر ثانیه همگرا می شود. به علاوه، عملکرد فیلتر به منظور تخمین متغیر حالت ارتفاع در شکل پ-۲ نشان داده شده است. خطوط پر و نقطه چین به ترتیب بیانگر ارتفاع واقعی و ارتفاع تخمین زده شده است. این نتایج حاکی از عملکرد مناسب فیلتر کالمن توسعه یافته مقاوم است.



(ب)

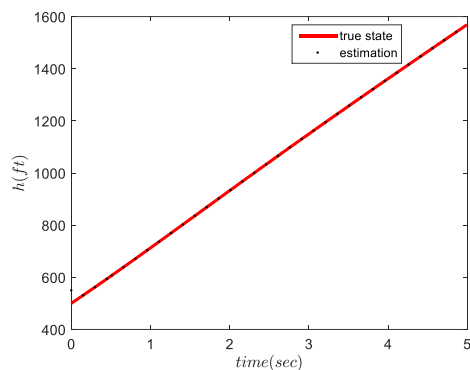


(الف)

شکل پ-۱ تخمین مولفه های سرعت باد (الف) سرعت باد افقی (ب) سرعت باد عمودی.

**نتیجه گیری:** در این پیوست، فیلتر کالمن توسعه یافته مقاوم به منظور تخمین مدل باد و متغیرهای حالت در یک پرنده بدون سرنشین بال ثابت ارائه شد. به این منظور، ابتدا دینامیک پرنده و سپس پدیده باد به عنوان عامل تاثیرگذار در مسئله پرواز پرنده بدون سرنشین بال ثابت مدل سازی شد. در گام بعد، از روش فیلتر کالمن توسعه یافته مقاوم به منظور تخمین نوع مدل باد و نیز تخمین لحظه ای متغیرهای حالت استفاده شد. این روش در هر لحظه بهترین تخمین مدل باد را در حضور خطای مدل سازی و عدم

قطعیت نویز فرآیند پیدا می کند. نتایج شبیه سازی حاکی از کارایی مناسب روش فیلتر کالمن توسعه یافته مقاوم به منظور تخمین مدل باد و متغیرهای پرنده در پرواز پرنده بدون سرنشین بال ثابت است.



شکل پ-۲ تخمین متغیر حالت ارتفاع.

## پیوست ذ: فیلتر ابتکاری جدید توسعه یافته پیوسته توده‌ای مورچه‌ها

این بخش، به طراحی فیلتر ابتکاری مبتنی بر مدل دینامیکی سیستم به منظور استفاده در ساختار فیلتر چندمدلی می‌پردازد. یک فیلتر ابتکاری مساله تخمین را به یک مساله بهینه‌سازی ابتکاری تبدیل کرده و در این صورت، بهترین تخمین را در هر لحظه از زمان نمونه برداری پیدا می‌کند. در ادامه، فیلتر ابتکاری جدید شامل فیلتر ابتکاری توسعه یافته پیوسته توده‌ای مورچه‌ها (ECACF)<sup>۱۳۸</sup> معرفی می‌شوند.

فیلتر ابتکاری توسعه یافته پیوسته توده‌ای مورچه‌ها (ECACF) از ترکیب فیلتر پیوسته توده‌ای مورچه‌ها (CACF) [۱۴۳]-[۱۰۹] با فیلتر کالمن توسعه یافته (EKF) به منظور بهبود دقت و نرخ همگرایی فیلتر پیوسته توده‌ای مورچه‌ها (CACF) حاصل می‌شود. در این روش، هر مورچه در زمان اندازه‌گیری بر مبنای فیلتر کالمن توسعه یافته به روزرسانی شده و سپس حرکت مورچه‌ها با استفاده از توزیع فرمون بر مبنای فیلتر پیوسته توده‌ای مورچه‌ها انجام می‌شود. بنابراین، این فیلتر مشابه با اجرای یک فیلتر کالمن توسعه یافته برای هر مورچه و سپس حرکت در فضای حالت پس از اندازه‌گیری است. شبه کد فیلتر ابتکاری توسعه یافته پیوسته توده‌ای مورچه‌ها در شکل پ-۳ نشان داده شده است.

در ابتدای حلقه داخلی، توزیع پیشین مورچه‌ها و ماتریس کواریانس متناظر با آن در فضای حالت منتشر می‌شود. سپس، موقعیت پسین مورچه‌ها بر مبنای فیلتر کالمن توسعه یافته محاسبه می‌شود تا خروجی جاری تخمین زده شود. در گام بعد، خروجی تخمین زده شده با بردار مشاهدات مقایسه شده و متناسب با آن به هر مورچه یک تابع هزینه اختصاص داده می‌شود. مورچه‌ها با استفاده از تجربیاتشان توزیع فرمون را در فضای حالت پیوسته به روز رسانی کرده و در نتیجه از موقعیت جاری‌شان به سمت مورچه با کمترین تابع هزینه حرکت می‌کنند. در نهایت، تخمین متغیرهای حالت یک سیستم غیرخطی با استفاده از اپراتور میانگین محاسبه می‌شود. در ادامه، این مراحل به صورت مفصل توضیح داده می‌شود.

<sup>138</sup> Extended Continuous Ant Colony Filter

**مقداردهی اولیه:** الگوریتم ECACF دارای چند پارامتر کنترلی شامل تعداد مورچه‌ها ( $N$ ) و تعداد مورچه‌های منتخب ( $N_t$ ) است که باید قبل از اجرای الگوریتم مقداردهی شوند. همچنین، موقعیت ابتدایی از مورچه  $j$ -ام ( $\hat{\mathbf{x}}_0^j = \mathbf{x}_{0|0}^j$ ) به صورت رندوم تولید شده و ماتریس کواریانس متناظر با آن ( $\mathbf{P}_0^j = \mathbf{P}_{0|0}^j$ ) به ازای  $j=1, \dots, N$  تولید می‌شوند.

**انتشار:** موقعیت مورچه  $j$  در زمان  $k-1$  و در  $i$  امین تکرار حلقه داخلی با  $\mathbf{x}_{k-1|k-1}^{i,j}$  نمایش داده می‌شود و به صورت زیر انتشار می‌یابد:

$$\hat{\mathbf{x}}_{k|k-1}^{i,j} = \mathbf{f}_{k-1}(\hat{\mathbf{x}}_{k-1|k-1}^{i,j}, \boldsymbol{\omega}_{k-1}^{i,j}) \quad (\text{پ-}179)$$

در رابطه فوق،  $\boldsymbol{\omega}_{k-1}^{i,j}$  بیانگر بردار نویز است که به صورت رندوم بر مبنای تابع چگالی احتمال معلوم  $\boldsymbol{\omega}_{k-1}$  تولید می‌شود. همچنین، کواریانس خطای تخمین پیشین مورچه  $j$ -ام در زمان  $k-1$  که با  $\mathbf{P}_{k-1|k-1}^{i,j}$  نمایش داده می‌شود، از رابطه زیر بر مبنای فیلتر کالمن توسعه یافته (EKF) منتشر می‌شود:

$$\mathbf{P}_{k|k-1}^{i,j} = \mathbf{F}_{k-1}^{i,j} \mathbf{P}_{k-1|k-1}^{i,j} \mathbf{F}_{k-1}^{i,jT} + \mathbf{Q}_{k-1} \quad (\text{پ-}180)$$

در رابطه فوق،  $\mathbf{F}_{k-1}^{i,j}$  بیانگر ماتریس انتقال است که به صورت زیر بیان می‌شود:

$$\mathbf{F}_{k-1}^{i,j} = \left. \frac{\partial \mathbf{f}}{\partial \mathbf{x}} \right|_{\mathbf{x} = \hat{\mathbf{x}}_{k-1|k-1}^{i,j}} \quad (\text{پ-}181)$$

**به روز رسانی خروجی:** پس از حاصل شدن اندازه گیری ( $\mathbf{z}_k$ ) در زمان  $k$ ، موقعیت پسین مورچه  $j$ -ام در زمان  $k$  ( $\hat{\mathbf{x}}_{k|k}^{i,j}$ ) بر مبنای یک ترکیب خطی از موقعیت پیشین مورچه  $j$ -ام ( $\hat{\mathbf{x}}_{k|k-1}^{i,j}$ ) و اختلاف بین اندازه گیری واقعی در زمان  $k$  ( $\mathbf{z}_k$ ) و اندازه گیری پیش‌بینی شده ( $\hat{\mathbf{z}}_{k|k-1}^{i,j}$ ) به صورت زیر برطبق معادله به روزرسانی خروجی فیلتر کالمن توسعه یافته به روزرسانی می‌شود:

$$\hat{\mathbf{x}}_{k|k}^{i,j} = \hat{\mathbf{x}}_{k|k-1}^{i,j} + \mathbf{K}_k^{i,j} [\mathbf{z}_k - \hat{\mathbf{z}}_{k|k-1}^{i,j}] \quad (\text{پ-}182)$$

در رابطه فوق،  $\hat{\mathbf{z}}_{k|k-1}^{i,j}$  به صورت زیر محاسبه می‌شود:

$$\hat{\mathbf{z}}_{k|k-1}^{i,j} = \mathbf{h}_k(\hat{\mathbf{x}}_{k|k-1}^{i,j}) \quad (\text{پ-}183)$$

و  $\mathbf{K}_k^{i,j}$  بیانگر بهره کالمن برای مورچه  $j$ -ام در زمان  $k$  است که از رابطه زیر حاصل می‌شود:

$$\mathbf{K}_k^{i,j} = \mathbf{P}_{k|k-1}^{i,j} \mathbf{H}_k^{i,jT} (\mathbf{H}_k^{i,j} \mathbf{P}_{k|k-1}^{i,j} \mathbf{H}_k^{i,jT} + \mathbf{R}_k) \quad (\text{پ-۱۸۴})$$

همچنین،  $\mathbf{H}_k^{i,j}$  بیانگر ماتریس مشاهدات است که به صورت زیر حاصل می‌شود:

$$\mathbf{H}_{k-1}^{i,j} = \left. \frac{\partial \mathbf{h}}{\partial \mathbf{x}} \right|_{\mathbf{x} = \hat{\mathbf{x}}_{k|k-1}^{i,j}} \quad (\text{پ-۱۸۵})$$

در نهایت، خروجی تخمین زده شده توسط مورچه  $j$ -ام در زمان  $k$  و در  $i$ -امین تکرار حلقه داخلی به صورت زیر محاسبه می‌شود:

$$\hat{\mathbf{z}}_{k|k}^{i,j} = \mathbf{h}_k(\hat{\mathbf{x}}_{k|k}^{i,j}) \quad (\text{پ-۱۸۶})$$

محاسبه تابع هزینه: به هر مورچه یک تابع هزینه بر مبنای کیفیت تخمین مبتنی بر مربع خطای بین اندازه گیری واقعی ( $\mathbf{z}_k$ ) و خروجی تخمین زده شده مورچه ( $\hat{\mathbf{z}}_{k|k}^{i,j}$ ) محاسبه می‌شود. از این رو، تابع هزینه مورچه  $j$ -ام در زمان  $k$  و  $i$ -امین تکرار حلقه داخلی به صورت زیر بیان می‌شود:

$$c_k^{i,j} = (\mathbf{z}_k - \hat{\mathbf{z}}_{k|k}^{i,j})^T (\mathbf{z}_k - \hat{\mathbf{z}}_{k|k}^{i,j}) \quad (\text{پ-۱۸۷})$$

در این صورت، تابع هزینه در نقاط مختلفی از فضا محاسبه شده و اطلاعات آن در مساله تخمین متغیرهای حالت استفاده می‌شود.

**حرکت مورچه‌ها:** مورچه‌ها در هر بار تکرار حلقه داخلی از موقعیت جاری‌شان بر مبنای توزیع فرمون به مقصد بعدی حرکت می‌کنند. این حرکت مشابه با الگوریتم بهینه‌سازی توده‌ای مورچه‌ها با استفاده از تابع توزیع نرمال زیر مدل سازی می‌شود:

$$\tau(\mathbf{x}) = \frac{1}{(2\pi)^{\frac{n}{2}} |\mathbf{P}_{k|k}^i|^{\frac{1}{2}}} \exp \left( -\frac{(\mathbf{x} - \hat{\mathbf{x}}_{k|k}^{i,j \min})^T (\mathbf{P}_{k|k}^i)^{-1} (\mathbf{x} - \hat{\mathbf{x}}_{k|k}^{i,j \min})}{2} \right) \quad (\text{پ-۱۸۸})$$

در رابطه فوق،  $\hat{\mathbf{x}}_{k|k}^{i,j \min}$  بیانگر بهترین نقطه یافت شده در حلقه داخلی  $i$ -ام و در زمان  $k$  است. همچنین، نشان دهنده  $n$  تعداد متغیرهای حالت است. به علاوه،  $\mathbf{P}_{k|k}^i$  به صورت زیر محاسبه می‌شود:

$$\mathbf{P}_{k|k}^i = \begin{bmatrix} (\sigma_k^i)_1^2 & \dots & \dots & \dots & 0 \\ 0 & \ddots & \dots & \dots & 0 \\ \vdots & \dots & (\sigma_k^i)_p^2 & \dots & \vdots \\ \vdots & \dots & \dots & \ddots & \vdots \\ 0 & \dots & \dots & \dots & (\sigma_k^i)_n^2 \end{bmatrix} \quad (\text{پ-۱۸۹})$$

در رابطه فوق،  $(\sigma_k^i)_p^2$  بیانگر واریانس تابع توزیع فرمون نرمال برای هر بعد  $p$  است که به تجمع سایر نقاط خوب حول بهترین نقطه وابسته است. این پارامتر، بر اساس رابطه زیر و بر مبنای واریانس وزن‌دار، که در مرجع پیشنهاد شده است، محاسبه می‌شود:

$$(\sigma_k^i)_p^2 = \frac{\sum_{j=1}^N \frac{1}{c_k^{i,j} - c_k^{i,j_{\min}}} \left[ \left( \hat{x}_{k|k}^{i,j} \right)_p - \left( \hat{x}_{k|k}^{i,j_{\min}} \right)_p \right]^2}{\sum_{i=1}^N \frac{1}{c_k^{i,j} - c_k^{i,j_{\min}}}} \quad (\text{پ-۱۹۰})$$

در رابطه فوق،  $\left( \hat{x}_{k|k}^{i,j} \right)_p$  و  $\left( \hat{x}_{k|k}^{i,j_{\min}} \right)_p$  به ترتیب بیانگر مولفه‌های  $\hat{\mathbf{x}}_{k|k}^{i,j}$  و  $\hat{\mathbf{x}}_{k|k}^{i,j_{\min}}$  در هر بعد  $p$  است. در این استراتژی، مرکز توزیع فرمون موقعیت بهترین مورچه است و نیز واریانس آن به هزینه نقاط و تجمع آن‌ها حول بهترین نقطه وابسته است.

**شرط توقف:** الگوریتم دارای دو حلقه با شرایط توقف مجزا است. حلقه داخلی با رسیدن به بیشینه تعداد تکرار ( $i_{\max}$ ) متوقف می‌شود و حلقه خارجی با اتمام مشاهدات به پایان می‌رسد.

**تخمین:** پس از اتمام حلقه داخلی، تخمین متغیرهای حالت بر مبنای میانگین موقعیت مورچه‌های برتر به صورت زیر محاسبه می‌شود:

$$\hat{\mathbf{x}}_{k|k} = \frac{1}{N_t} \sum_{j=1}^{N_t} \hat{\mathbf{x}}_{k|k}^{i_{\max},j} \quad (\text{پ-۱۹۱})$$

در معادله فوق،  $N_t$  بیانگر تعداد مورچه‌های برتر است. همچنین، ماتریس کواریانس با استفاده از روش انتگرال گیری مونت کارلو به صورت زیر محاسبه می‌شود:

$$\mathbf{P}_{k|k} = \frac{1}{N_t} \sum_{j=1}^{N_t} \left[ \hat{\mathbf{x}}_{k|k} - \hat{\mathbf{x}}_{k|k}^{i_{\max},j} \right] \left[ \hat{\mathbf{x}}_{k|k} - \hat{\mathbf{x}}_{k|k}^{i_{\max},j} \right]^T \quad (\text{پ-۱۹۲})$$



---

Set the number of ants,  $N$ , and the number of top ants,  $N_t$ .  
 Initialize randomly the position of the ants,  $\hat{\mathbf{x}}_0^j$ , for  $j \in [1, N]$ .  
 Initialize the covariance of the ants,  $\mathbf{P}_0^j$ , for  $j \in [1, N]$ .

**While** (Measurements are available)

**For**  $i=1$  to  $i_{\max}$

**For**  $j=1$  to  $N$

Propagate the priori position of ant  $j$ ,  $\hat{\mathbf{x}}_{k|k-1}^{i,j}$ ,

Compute the priori covariance,  $\mathbf{P}_{k|k-1}^{i,j}$ .

Compute the posteriori position of ant  $j$ ,  $\hat{\mathbf{x}}_{k|k}^{i,j}$ .

Estimate the current output,  $\hat{\mathbf{z}}_{k|k}^{i,j}$ .

Compute the cost function,  $c_k^{i,j}$ .

**Next** ant  $j$

**For**  $p=1$  to  $n$

Compute the variance of the pheromone distribution,  $(\sigma_k^i)^2$ .

**Next** dimension  $p$

Update the covariance matrix of the pheromone distribution,  $\mathbf{P}_{k|k}^i$ .

**For**  $j=1$  to  $N$

Move ants to the new destination,  $\tilde{\mathbf{x}}_{k|k}^{i,j}$ , using the normal PDF.

$$\hat{\mathbf{x}}_{k-1|k-1}^{i+1,j} = \tilde{\mathbf{x}}_{k|k}^{i,j}.$$

$$\mathbf{P}_{k-1|k-1}^{i+1,j} = \mathbf{P}_{k|k}^i.$$

**Next** ant  $j$

**Next** iteration  $i$

Sort ants according to the cost.

Compute the mean position of  $N_t$  top ants,  $\hat{\mathbf{x}}_{k|k}$ .

Compute covariance,  $\mathbf{P}_{k|k}$ .

**For**  $j=1$  to  $N$

$$\hat{\mathbf{x}}_{k-1|k-1}^{1,j} = \hat{\mathbf{x}}_{k|k}^{\max,j}.$$

$$\mathbf{P}_{k-1|k-1}^{1,j} = \mathbf{P}_{k|k}.$$

**Next** ant  $j$

**Next** time step  $k$

---

### شکل پ-۳ شبه کد الگوریتم ECACF.

## پیوست ر: اعتبارسنجی فیلتر ابتکاری جدید توسعه یافته پیوسته توده ای مورچه ها

در این پیوست، عملکرد فیلتر ابتکاری جدید توسعه یافته پیوسته توده ای مورچه ها با حل یک مساله معیار غیرخطی و تخمین متغیرهای وضعیت یک استند آزمایشگاهی چهارپره صحت سنجی می شود.

**مساله معیار:** در این بخش، یک مدل غیرخطی به منظور بررسی عملکرد ECACF استفاده می شود. سپس، نتایج فیلتر ECACF با سایر فیلترهای ترکیبی غیرخطی هم چون ترکیب فیلتر ذرات با فیلتر کالمن توسعه یافته (EPF)<sup>۱۳۹</sup>، ترکیب فیلتر ذرات با فیلتر کالمن Unscented (UPF)<sup>۱۴۰</sup> و فیلتر پیوسته توده ای مورچه ها (CACF)<sup>۱۴۱</sup> مقایسه می شود. سیستم تصادفی به صورت زیر بیان می شود:

$$x_k = 1 + \sin(w\pi k) + \varphi_1 x_{k-1} + \omega_{k-1} \quad (\text{پ-۱۹۳})$$

در رابطه فوق،  $\omega_{k-1}$  بیانگر نویز فرآیند است. همچنین،  $w$  و  $\varphi_1$  به ترتیب بیانگر 0.04 و 0.5 هستند. به علاوه، مدل اندازه گیری به صورت زیر بیان می شود:

$$z_k = \begin{cases} \varphi_2 x_k^2 + v_k & k \leq 30 \\ \varphi_3 x_k - 2 + v_k & 30 < k \leq 60 \end{cases} \quad (\text{پ-۱۹۴})$$

در رابطه فوق،  $v_k$  بیانگر نویز اندازه گیری است. همچنین، پارامترهای  $\varphi_2$  و  $\varphi_3$  معادل با 0.2 و 0.5 هستند. متغیر حالت ابتدایی و کواریانس اولیه فیلتر به ترتیب برابر با  $x_0=1$  و  $P_0=2$  است. به علاوه، تعداد ذرات فیلترهای EPF و UPF برابر ۱۰۰ در نظر گرفته شده است. پارامترهای فیلتر ECACF در جدول پ-۹ بیان شده است.

<sup>139</sup> Extended Kalman Particle Filter

<sup>140</sup> Unscented Particle Filter

<sup>141</sup> Continuous Ant Colony Filter

به منظور بررسی عملکرد فیلتر ECACF، در اولین آزمایش، نویز فرآیند و در دومین آزمایش نویز اندازه‌گیری غیرگوسی در نظر گرفته می‌شود. ویژگی‌های نویز در جدول پ-۱۰ بیان شده است. آزمایش‌ها ۵۰۰ بار به منظور بررسی تاثیر اپراتور رندوم تکرار شده و میانگین نتایج گزارش می‌شود. نتایج میانگین و واریانس خطای حداقل مربعات (RMSE)<sup>۱۴۲</sup> در جدول پ-۱۱ بیان می‌شود. همانطور که مشاهده می‌شود، نتایج فیلتر ECACF بهتر و قابل رقابت با سایر فیلترها است. همچنین، واریانس ECACF در مقایسه با سایر روش‌ها دارای کمترین مقدار است؛ در این صورت، بر اساس مرجع [۱۷۹] فیلتر دارای عملکرد پایدار است. همچنین، نمودار جعبه‌ای<sup>۱۴۳</sup> و هیستوگرام<sup>۱۴۴</sup> در شکل پ-۴ نشان داده شده است تا RMSE تمام فیلترها با یکدیگر مقایسه شوند. خط چین در نمودار جعبه‌ای بیانگر متوسط RMSE است. با توجه به این نمودار، قابلیت فیلتر ECACF مشاهده می‌شود.

#### جدول پ-۹: عملکرد ECACF.

پارامتر	مقدار	توصیف
N	10	تعداد مورچه‌ها
$i_{max}$	5	تعداد تکرار بیشینه
$N_t$	40%	درصد مورچه‌های منتخب

#### جدول پ-۱۰: مدل نویز مساله معیار.

شماره آزمایش	نویز فرآیند			نویز اندازه‌گیری		
	توزیع	پارامتر	مقدار	توزیع	پارامتر	مقدار
۱	گاما	Shape	3	گوسی	میانگین	0
[۱۷۶]-[۱۷۷]		Scale	2		واریانس	$1 \times 10^{-5}$
۲	گوسی	میانگین	0	گاما	Shape	7
[۱۷۸]		واریانس	$1 \times 10^{-5}$		Scale	2

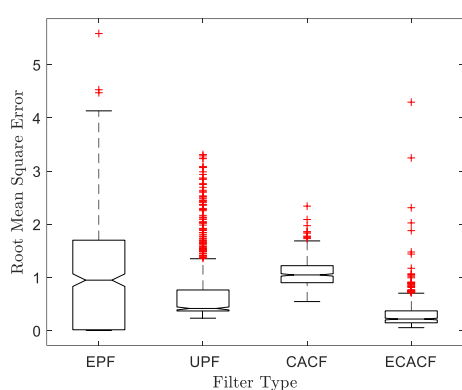
<sup>142</sup> Root Mean Square Error

<sup>143</sup> Box Plot

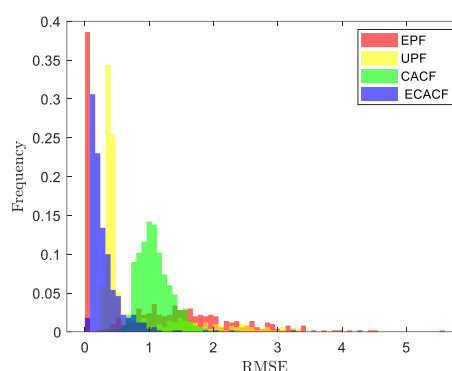
<sup>144</sup> Histograms

جدول پ-۱۱: مقایسه میانگین و واریانس RMSE تشکیل شده از تکرار ۵۰۰ بار اجرا.

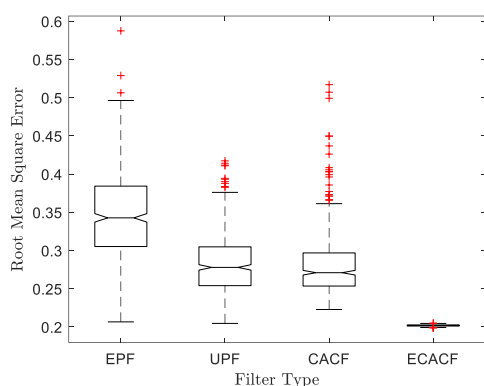
فیلتر	RMSE برای آزمایش ۱		RMSE برای آزمایش ۲	
	میانگین	واریانس	میانگین	واریانس
EPF	1.0326	1.0689	0.3463	0.0035
UPF	0.7525	0.4726	0.2816	0.0014
CACF	1.0861	0.0668	0.2813	0.0016
ECACF	0.3154	0.1142	0.2019	1.107e-6



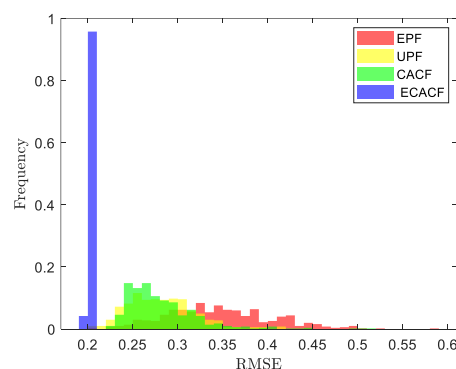
(ب)



(الف)



(د)

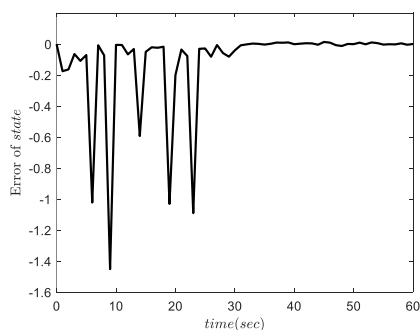


(ج)

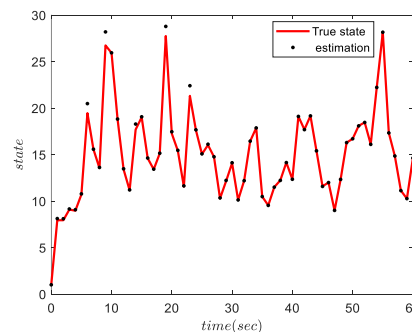
شکل پ-۴: مقایسه فیلتر ECACF حاصل از تکرار ۵۰۰ بار اجرا: الف و ب) آزمایش ۱ (نویز فرآیند غیرگوسی) ج و د) آزمایش ۲ (نویز اندازه‌گیری غیرگوسی).

عملکرد فیلتر ECACF در یک اجرا در آزمایش اول (نویز فرآیند غیرگوسی) در شکل پ-۱۲ نشان داده شده است. در شکل پ-۵ (الف) متغیر حالت واقعی و تخمین زده شده مقایسه می‌شود. در

شکل پ-۵ (ب) خطای تخمین نشان داده می‌شود. نتایج بیانگر عملکرد مناسب الگوریتم پیشنهادی به منظور تخمین متغیر حالت سیستم غیرخطی در حضور نویز فرآیند غیرگوسی است. عملکرد فیلتر ECACF با سایر فیلترها در شکل پ-۶ مقایسه می‌شود. خروجی ECACF می‌تواند خروجی واقعی را بهتر از فیلترهای ابتکاری ردگیری کند. همچنین، مشاهده می‌شود که ترکیب فیلتر CACF با فیلتر EKF می‌تواند دقت CACF را بهبود دهد. عملکرد فیلتر ECACF در یک اجرا در آزمایش دوم (نویز اندازه‌گیری غیرگوسی) در شکل پ-۷ و شکل پ-۸ نشان داده شده است. نتایج فیلتر ECACF حاکی از عملکرد مناسب فیلتر در حضور نویز اندازه‌گیری غیرگوسی است.

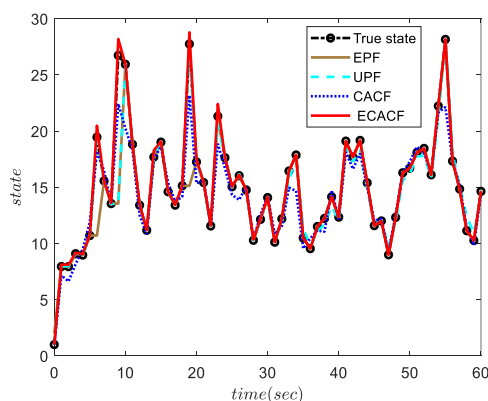


(ب)

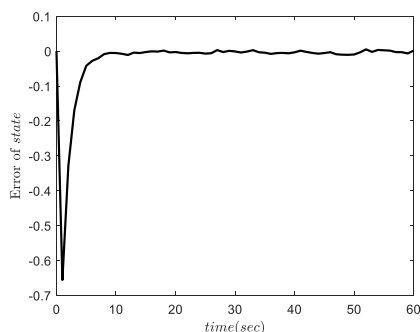


(الف)

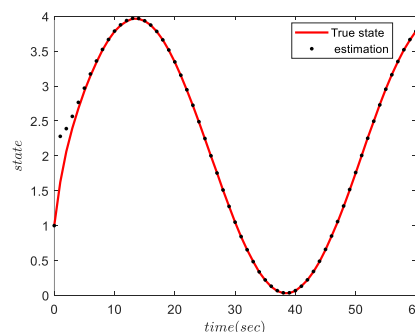
شکل پ-۵ عملکرد فیلتر ECACF در حضور نویز فرآیند غیرگوسی: (الف) مقدار واقعی در برابر مقدار تخمین زده شده (ب) خطای تخمین.



شکل پ-۶ مقایسه فیلتر ECACF با سایر فیلترها: تخمین متغیر حالت در حضور نویز فرآیند غیرگوسی.

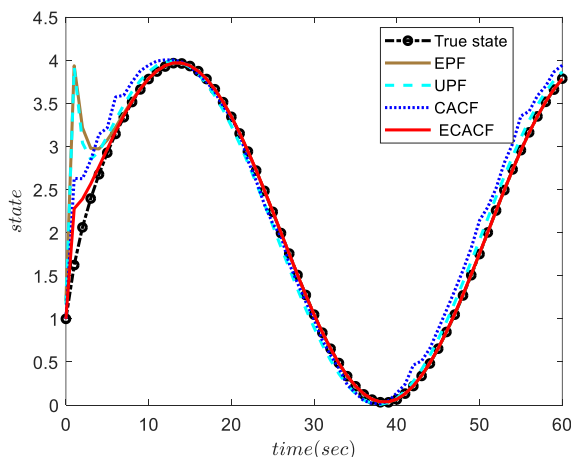


(ب)



(الف)

شکل پ-۷ عملکرد فیلتر ECACF در حضور نویز اندازه‌گیری غیرگوسی: (الف) مقدار واقعی در برابر مقدار تخمین زده شده (ب) خطای تخمین.

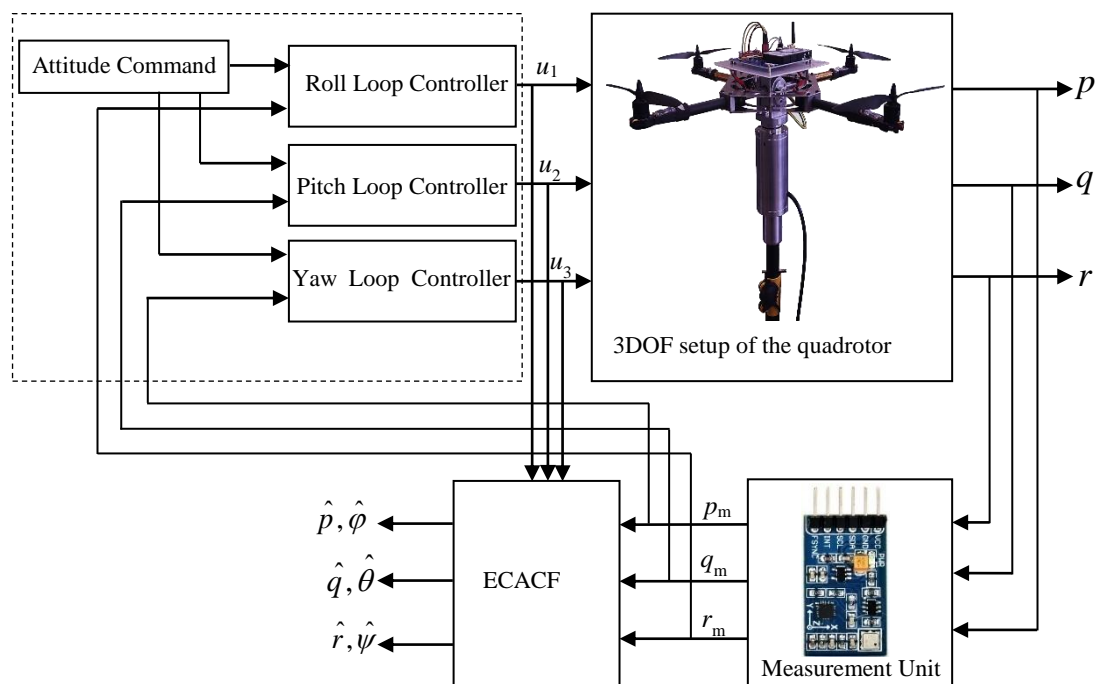


شکل پ-۸ مقایسه فیلتر ECACF با سایر فیلترها: تخمین متغیر حالت در حضور نویز اندازه‌گیری غیرگوسی.

تخمین زمان حقیقی وضعیت برای یک استند آزمایشگاهی چهارپره: در این بخش، فیلتر ECACF بر روی یک استند آزمایشگاهی سه‌درجه‌آزادی چهارپره، که در شکل پ-۹ نشان داده شده است، پیاده‌سازی می‌شود. استند آزمایشگاهی سه‌درجه‌آزادی چهارپره قادر به دوران حول محورهای رول، پیچ و یاو است. فیلتر ECACF از خروجی‌های نویزی به منظور تخمین زمان حقیقی سرعت‌های زاویه‌ای و زوایای اوایلر استفاده می‌کند. بلوک دیاگرام فرآیند تخمین در شکل پ-۱۰ نشان داده شده است.

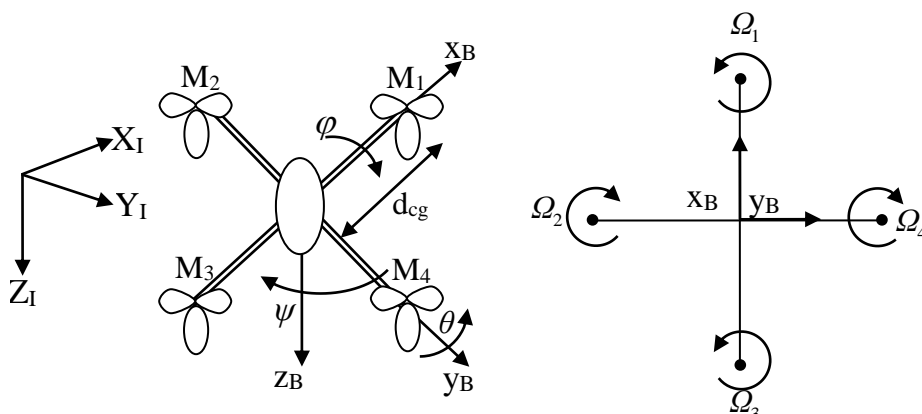


شکل پ-۹ استند آزمایشگاهی سه‌درجه آزادی چهارپره.



شکل پ-۱۰ بلوک دیاگرام فرآیند تخمین.

ساختار چهارپره در شکل پ-۱۱ نشان داده شده است. هر روتور به صورت یک جسم صلب دوار حول محور  $Z_B$  در سیستم مختصات بدنی با سرعت زاویه‌ای  $\Omega$  دوران می‌کند. روتورهای ۱ و ۳ در یک جهت (خلاف جهت عقربه‌های ساعت) و روتورهای ۲ و ۴ در جهت مخالف (جهت عقربه‌های ساعت) به منظور حذف گشتاور یاو کل سیستم دوران می‌کنند.



شکل پ-۱۱ تعریف محورهای مختصات چهارپره.

مدل دینامیکی چهارپره بر مبنای قانون نیوتن به صورت زیر بیان می‌شود [۱۸۰]-[۱۸۱]:

$$\dot{p} = \frac{(I_{yy} - I_{zz})qr}{I_{xx}} + \frac{u_1}{I_{xx}} + q \frac{I_{rotor}}{I_{xx}} \Omega_r \quad (\text{پ-۱۹۵})$$

$$\dot{q} = \frac{(I_{zz} - I_{xx})rp}{I_{yy}} + \frac{u_2}{I_{yy}} - p \frac{I_{rotor}}{I_{yy}} \Omega_r \quad (\text{پ-۱۹۶})$$

$$\dot{r} = \frac{(I_{xx} - I_{yy})pq}{I_{zz}} + \frac{u_3}{I_{zz}} \quad (\text{پ-۱۹۷})$$

در روابط فوق،  $(p, q, r)$  بیانگر سرعت‌های زاویه‌ای و  $(\phi, \theta, \psi)$  نشان‌دهنده زوایای رول، پیچ و یاو هستند. ارتباط بین نرخ زوایای اوپلر و نرخ سرعت‌های زاویه‌ای سیستم مختصات بدنی به صورت زیر بیان می‌شود [۱۸۲]:

$$\dot{\phi} = p + q \sin \phi \tan \theta + r \cos \phi \tan \theta \quad (\text{پ-۱۹۸})$$

$$\dot{\theta} = q \cos \phi - r \sin \phi \quad (\text{پ-۱۹۹})$$

$$\dot{\psi} = q \sin \phi \sec \theta + r \cos \phi \sec \theta \quad (\text{پ-۲۰۰})$$

همچنین،  $I_{xx}$ ،  $I_{yy}$  و  $I_{zz}$  بیانگر ممان‌های اینرسی اصلی و  $I_{rotor}$  نشان‌دهنده ممان اینرسی روتور است.  $\Omega_r$  نیز سرعت زاویه‌ای کل روتور نامیده می‌شود، که به صورت زیر تعریف می‌شود:

$$\Omega_r = -\Omega_1 + \Omega_2 - \Omega_3 + \Omega_4 = \sum_{i=1}^4 (-1)^i \Omega_i \quad (\text{پ-۲۰۱})$$

ورودی‌های کنترلی  $u_1$ ،  $u_2$  و  $u_3$  به ترتیب بیانگر گشتاورهای رول، پیچ و یاو هستند که توسط

روتورها تولید می‌شوند، از روابط زیر حاصل می‌شود [۱۸۰]:



$$u_1 = b d_{cg} (\Omega_2^2 - \Omega_4^2) \quad (\text{پ-} 202)$$

$$u_2 = b d_{cg} (\Omega_1^2 - \Omega_3^2) \quad (\text{پ-} 203)$$

$$u_3 = d (\Omega_1^2 - \Omega_2^2 + \Omega_3^2 - \Omega_4^2) \quad (\text{پ-} 204)$$

همچنین،  $b$  و  $d$  به ترتیب ضرایب تراست و درگ هستند. به علاوه،  $d_{cg}$ ، که در شکل پ-۱۱ نشان داده شده است، بیانگر فاصله افقی هر روتور از مرکز جرم پرنده است. بنابراین، بر طبق معادلات (پ-۲۰۲) تا (پ-۲۰۴)، فرامین سرعت زاویه‌ای می‌تواند به صورت زیر محاسبه شود [۱۸۱]:

$$\Omega_{c,1}^2 = \Omega_{\text{mean}}^2 + \frac{1}{2bd_{CG}} u_2 + \frac{1}{4d} u_3 \quad (\text{پ-} 205)$$

$$\Omega_{c,2}^2 = \Omega_{\text{mean}}^2 + \frac{1}{2bd_{CG}} u_1 - \frac{1}{4d} u_3 \quad (\text{پ-} 206)$$

$$\Omega_{c,3}^2 = \Omega_{\text{mean}}^2 - \frac{1}{2bd_{CG}} u_2 + \frac{1}{4d} u_3 \quad (\text{پ-} 207)$$

$$\Omega_{c,4}^2 = \Omega_{\text{mean}}^2 - \frac{1}{2bd_{CG}} u_1 - \frac{1}{4d} u_3 \quad (\text{پ-} 208)$$

در روابط فوق،  $\Omega_{\text{mean}}$  بیانگر سرعت زاویه‌ای متوسط هر روتور است. پارامترهای چهارپره در جدول پ-۱۲ بیان شده است. در گام بعد، به منظور ایجاد مدل تصادفی چهارپره برای فرآیند تخمین، مدل یقینی، که در معادلات (پ-۱۹۵) تا (پ-۲۰۰) بیان شده است، با نویز فرآیند ترکیب می‌شود. در این صورت، با تعریف  $x_1 = p$ ،  $x_2 = q$ ،  $x_3 = r$ ،  $x_4 = \varphi$ ،  $x_5 = \theta$  و  $x_6 = \psi$ ، مدل تصادفی پرنده در فضای حالت به صورت زیر بیان می‌شود:

$$\dot{x}_1 = \frac{(I_{yy} - I_{zz})x_2 x_3}{I_{xx}} + \frac{u_1}{I_{xx}} + x_2 \frac{I_{\text{rotor}}}{I_{xx}} \Omega_r + \omega_1 \quad (\text{پ-} 209)$$

$$\dot{x}_2 = \frac{(I_{zz} - I_{xx})x_1 x_3}{I_{yy}} + \frac{u_2}{I_{yy}} - x_1 \frac{I_{\text{rotor}}}{I_{yy}} \Omega_r + \omega_2 \quad (\text{پ-} 210)$$

$$\dot{x}_3 = \frac{(I_{xx} - I_{yy})x_1 x_2}{I_{zz}} + \frac{u_3}{I_{zz}} + \omega_3 \quad (\text{پ-} 211)$$

$$\dot{x}_4 = x_1 + x_2 \sin x_4 \tan x_5 + x_3 \cos x_4 \tan x_5 + \omega_4 \quad (\text{پ-} 212)$$

$$\dot{x}_5 = x_2 \cos x_4 - x_3 \sin x_4 + \omega_5 \quad (\text{پ-} 213)$$

$$\dot{x}_6 = x_2 \sin x_4 \sec x_5 + x_3 \cos x_4 \sec x_5 + \omega_6 \quad (\text{پ-} 214)$$

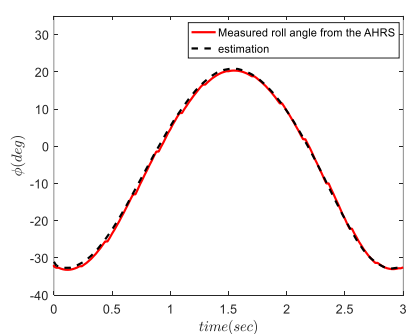
در روابط فوق،  $\omega_i$  ( $i=1, \dots, 6$ ) بیانگر نویز فرآیند است، که به صورت متغیر رندوم گوسی با میانگین صفر مدل می‌شود. مدل اندازه‌گیری به صورت زیر بیان می‌شود:

$$z_1 = p_m = x_1 + v_1 \quad (پ-۲۱۵)$$

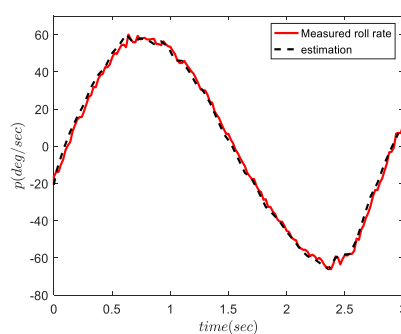
$$z_2 = q_m = x_2 + v_2 \quad (پ-۲۱۶)$$

$$z_3 = r_m = x_3 + v_3 \quad (پ-۲۱۷)$$

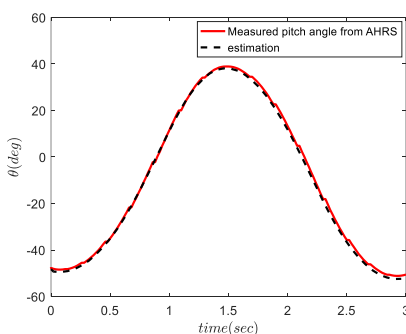
در روابط فوق،  $v_i$  ( $i=1, \dots, 3$ ) بیانگر نویز اندازه گیری است، که به صورت نویز سفید گوسی با میانگین صفر مدل می شود. عملکرد فیلتر ECACF در تخمین زمان حقیقی تخمین مولفه های وضعیت چهارپره در شکل پ-۱۲ نشان داده شده است. این نتایج با خروجی سنسور AHRS به منظور اعتبارسنجی مقایسه می شود. عملکرد ECACF در تخمین زاویه رول و نرخ آن در شکل پ-۱۲ (الف) و شکل پ-۱۲ (ب) نشان داده شده است. شکل پ-۱۲ (الف) زاویه رول اندازه گیری شده و تخمین زده شده را مقایسه می کند. همچنین، شکل پ-۱۲ (ب) زاویه رول تخمین زده شده را با خروجی سنسور AHRS مقایسه می کند. نتایج مشابه برای کانال های پیچ در شکل پ-۱۲ (پ) و (ت) نشان داده شده است. همچنین، نتایج مشابه برای کانال های یاو در شکل پ-۱۲ (ث) و (ج) نشان داده شده است. این نتایج حاکی از توانایی پیاده سازی زمان حقیقی فیلتر ECACF است.



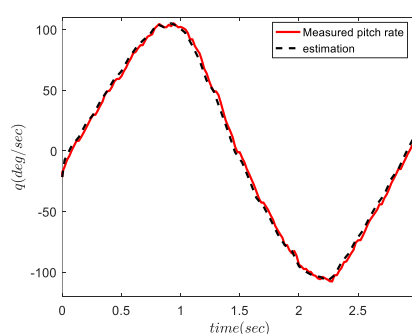
(ب)



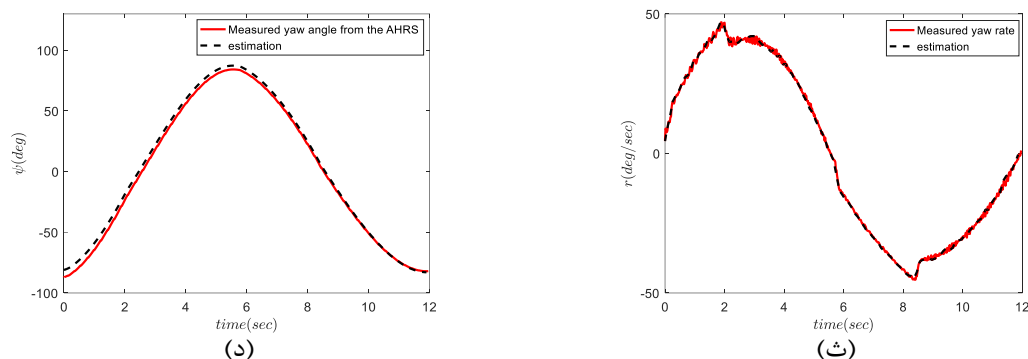
(الف)



(ت)



(پ)



شکل پ-۱۲ تخمین وضعیت زمان حقیقی با استفاده از فیلتر: الف) نرخ رول ب) زاویه رول پ) نرخ پیچ ت) زاویه پیچ ث) نرخ یاو ج) زاویه یاو.

جدول پ-۱۲: پارامترهای چهارپره.

پارامتر	واحد	مقدار	توصیف
$d_{cg}$	M	0.2	فاصله افقی از هر روتور
$b$	$\text{Kg.m}^2$	$3 \times 10^{-5}$	فاکتور تراست
$d$	$\text{Kg.m}^2$	$3 \times 10^{-6}$	فاکتور درگ
$I_{xx}$	$\text{Kg.m}^2$	0.028	ممان اینرسی حول محور $x$
$I_{yy}$	$\text{Kg.m}^2$	0.031	ممان اینرسی حول محور $y$
$I_{zz}$	$\text{Kg.m}^2$	0.044	ممان اینرسی حول محور $z$
$I_{rotor}$	$\text{Kg.m}^2$	$8.3 \times 10^{-5}$	ممان اینرسی روتور
$\Omega_{mean}$	RPM	2000	سرعت متوسط روتورها

## پیوست ز: پارامترهای مرتبط با شبیه‌سازی فیلتر چندمدلی MMECACF

در این پیوست، پارامترهای مرتبط با شبیه‌سازی فیلتر چندمدلی MMECACF بیان می‌شود. به این منظور، مشتقات پایداری طولی پرنده ابتدا در جدول پ-۱۳ بیان شده‌است. همچنین، پارامترهای میکروبرست در جدول پ-۱۴ نشان داده شده‌است. در نهایت، پارامترهای فیلتر چندمدلی MMECACF و ویژگی‌های تصادفی نویزهای فرآیند و اندازه‌گیری به ترتیب در جدول پ-۱۵ و جدول پ-۱۶ بیان شده‌است.

جدول پ-۱۳: مشتقات پایداری طولی پرنده.

پارامتر	واحد	مقدار	پارامتر	واحد	مقدار	پارامتر	واحد	مقدار
$X_u$	1/sec	-0.038	$Z_u$	1/sec	0.313	$M_u$	rad/ft/sec	-0.0211
$X_w$	1/sec	-0.0513	$Z_w$	1/sec	-0.605	$M_w$	rad/ft/sec	0.157
$X_q$	ft/rad/sec	0.00152	$Z_q$	ft/rad/sec	-0.041	$M_q$	1/sec	-0.612
$X_e$	ft/rad/sec <sup>2</sup>	0.00005	$Z_e$	ft/rad/sec <sup>2</sup>	-0.146	$M_e$	1/sec <sup>2</sup>	0.459
$X_t$	ft/rad/sec <sup>2</sup>	0.158	$Z_t$	ft/rad/sec <sup>2</sup>	0.031	$M_t$	1/sec <sup>2</sup>	0.0543

جدول پ-۱۴: پارامترهای میکروبرست.

پارامتر	واحد	مقدار	توصیف
$h_{max}$	ft	394	ارتفاع بیشینه باد افقی
$r_{max}$	ft	3678.5	فاصله شعاعی از مرکز میکروبرست
$u_{max}$	ft/sec	98.4	اندازه بیشینه باد افقی

## جدول پ-۱۵: پارامترهای فیلتر چندمدلی MMECAF

واحد	پارامتر	توصیف
N	10	تعداد مورچه‌ها
$i_{max}$	5	بیشینه تعداد تکرار در هر گام زمانی
$N_t$	40%	درصد مورچه‌های منتخب
M	4	تعداد مدل‌های منتخب
$Pr_0$	$[0.25 \ 0.25 \ 0.25 \ 0.25]^T$	احتمال ابتدایی هر فیلتر

## جدول پ-۱۶: پارامترهای نویزهای فرآیند و اندازه‌گیری.

مدل	نویز فرآیند	نویز اندازه‌گیری
مدل پرنده	$Q = \text{diag}[1 \ 10 \ 1 \ 1 \ 1] \times 10^{-2}$	
مدل ۱	$Q_1 = \begin{bmatrix} Q & \mathbf{0} \\ \mathbf{0} & [0.1\mathbf{I}_{2 \times 2}] \end{bmatrix}$	
مدل ۲	$Q_2 = \begin{bmatrix} Q & \mathbf{0} & \mathbf{0} \\ \mathbf{0} & [0.01\mathbf{I}_{2 \times 2}] & \mathbf{0} \\ \mathbf{0} & \mathbf{0} & [0.01\mathbf{I}_{2 \times 2}] \end{bmatrix}$	
مدل ۳	$Q_3 = \begin{bmatrix} Q & \mathbf{0} \\ \mathbf{0} & 0.1 \end{bmatrix}$	
مدل ۴	$Q_4 = \begin{bmatrix} Q & \mathbf{0} \\ \mathbf{0} & [0.01\mathbf{I}_{2 \times 2}] \end{bmatrix}$	

$$R = \begin{bmatrix} 0.25 & 0 & 0 & 0 \\ 0 & 5e^{-4} & 0 & 0 \\ 0 & 0 & 0.01 & 0 \\ 0 & 0 & 0 & 0.25 \end{bmatrix}$$

## **Development and Implementation of Multiple Model Filters for Online Identification and Compensation of Atmospheric Disturbances in Automatic Landing of Fixed Wing UAV**

### **Abstract**

In this study, a multiple model wind estimator is proposed to detect the wind type and to estimate the wind components as well as the states of a fixed-wing UAV without any direct measurement of the air data. Then, the identified wind model and the estimated states are compensated in the heuristic nonlinear model predictive controller during landing phase. For this purpose, a static multiple model approach is taken, comprised of four independent extended Kalman filters, each one is estimating the wind based on one of the four wind models including a constant wind, a “1-cosine” model, a wind shear and a microburst.

Moreover, a new heuristic multiple model filter, called Multiple Model Extended Continuous Ant Colony Filter, is proposed to find the best wind model among a set of wind models and to estimate the states of the UAV. In this filter, a colony of virtual ants search the state space stochastically and dynamically for each model. Pheromone distribution attracts the ants toward the true model and the true states.

Then, observability of the states and the wind components are analyzed. Four new propositions are introduced and proved for unknown input observability, state and unknown input observability, the effect of time-varying unknown input matrix on the unknown input observability, and the effect of linearization errors on the state observability. Moreover, observability of the wind parameters is analyzed using the theory of nonlinear systems observability.

Performance of the proposed multiple model filters is also evaluated in maneuvering flight and compared to a single Kalman filter and a single extended continuous ant colony filter. The results show that the proposed approach provides excellent performance in estimating the states, the wind model and its parameters.

Then, the outputs of the proposed filtering algorithms are utilized and compensated in the heuristic nonlinear model predictive controller based on the particle swarm optimization. Moreover, stability of this controller is introduced and proved. Finally, a hardware-in-the-loop experiment is also performed to verify the real-time implementation capability of the suggested architectures. The results show that the proposed algorithm effectively improves the controller performance with the wind compensation and the UAV lands accurately.

**Keywords:** Unmanned Aerial Vehicle, Wind Model, Wind Estimation, Multiple Model Filters, Heuristic Filter, Nonlinear Observability, Model Predictive Controller, Hardware in the Loop.



**Sharif University of Technology**  
**Faculty of Aerospace Engineering**

**PHD. Thesis**

**Development and Implementation of Multiple Model  
Filters for Online Identification and Compensation of  
Atmospheric Disturbances in Automatic Landing of  
Fixed Wing UAV**

**By:**

**Alireza Sharifi**

**Supervisor:**

**Dr. Hadi Nobahari**

**July 2020**